

UNIVERSIDAD NACIONAL AUTÓNOMA DE MÉXICO

**FACULTAD DE PSICOLOGIA
DIVISIÓN DE ESTUDIOS DE POSGRADO**

**“DISEÑO DE UN INSTRUMENTO DE EVALUACIÓN DE INDICADORES
DE HABILIDADES INTELECTUALES Y SUS CORRELATOS
ELECTROFISIOLÓGICOS”**

TESIS

QUE PARA OBTENER EL GRADO DE:
DOCTORADO EN PSICOLOGÍA
NEUROCIENCIAS DE LA CONDUCTA

PRESENTA EL:
MAESTRO ALEJANDRO ZALCE ACEVES

DIRECTOR DE TESIS: DR. JUAN JOSÉ SÁNCHEZ SOSA.

SINODALES: DRA. SANDRA CASTAÑEDA FIGUEIRAS.
DRA. IRMA YOLANDA DEL RÍO PORTILLA
DR. MIGUEL ÁNGEL GUEVARA PÉREZ
DRA. ANGÉLICA RIVEROS ROSAS

MÉXICO, D. F., ABRIL DEL 2012



Universidad Nacional
Autónoma de México



UNAM – Dirección General de Bibliotecas
Tesis Digitales
Restricciones de uso

DERECHOS RESERVADOS ©
PROHIBIDA SU REPRODUCCIÓN TOTAL O PARCIAL

Todo el material contenido en esta tesis esta protegido por la Ley Federal del Derecho de Autor (LFDA) de los Estados Unidos Mexicanos (México).

El uso de imágenes, fragmentos de videos, y demás material que sea objeto de protección de los derechos de autor, será exclusivamente para fines educativos e informativos y deberá citar la fuente donde la obtuvo mencionando el autor o autores. Cualquier uso distinto como el lucro, reproducción, edición o modificación, será perseguido y sancionado por el respectivo titular de los Derechos de Autor.

CONTENIDO

	PÁGINA
DEDICATORIA	3
AGRADECIMIENTOS	5
RESUMEN	7
INTRODUCCIÓN	9
FUNDAMENTO TEÓRICO	11
MÉTODO DEL PRIMER ESTUDIO. DISEÑO Y CALIBRACIÓN DE REACTIVOS.	18
MÉTODO DEL SEGUNDO ESTUDIO. CORRELATOS ELECTROFISIOLÓGICOS.	23
BIBLIOGRAFÍA	106
APÉNDICES MODELO Y CONSTRUCCIÓN DE REACTIVOS.	112
APÉNDICES TABLAS ESTADÍSTICA Y TOPOGRAMAS.	134

DEDICATORIA

A lo largo de mi recorrido profesional he tenido la fortuna de encontrarme con retos que han marcado mi vida, y uno de ellos es el trabajar estimulando habilidades intelectuales, algo que en otros tiempos era inimaginable, sin embargo, el mayor reto es haber enfrentado mis propias limitaciones a través de la interacción con seres humanos increíbles que el Universo a puesto cerca de mí, sin ellos no sería lo que soy hoy, por ello dedico este trabajo a:

Francisco Javier Ríos,

Laura Campero,

Jorge Manzano,

José María Álvarez,

Santiago Constante †,

Francisco Vicencio,

Raisa Thirión, y

Luis Alberto Ortíz.

Siempre estarán en mi corazón, gracias por ser mis mejores maestros.

AGRADECIMIENTOS

Hoy he hecho un recuento de los más de 8 años que ha durado esta investigación, y de todas las personas que de una u otra forma han creído en mí y en el proyecto en sí, son tantas y todas tan valiosas, que pienso que el resultado de este trabajo es un poquito de todos, así que hoy les agradezco sus aportaciones.

A mi esposita por todas esas horas de no estar juntos, por todos los desvelos y tu comprensión invaluable, TE AMO.

A toda mi familia por tolerar mis ausencias y pensar que lo que hago es importante.

A todos los niños que con valor participaron en esta locura de idea, por darme aliento y certeza de que lo que hacía era lo correcto, y sobre todo por dejarme saber cómo piensan.

A las siguientes personas que me acompañaron como un fuerte equipo de apoyo, dejando sus ideas, tiempo y descanso momentáneamente en mis manos, los valoro y siempre estarán mis pensamientos, sin ustedes no lo habría logrado.

Dr. Juan José Sánchez Sosa, por tomarme de la mano.

Dra. Sandra Castañeda, por guiarme hasta mi destino.

Dra. Yolanda del Río, por cuidarme cuando los demás me dejaban.

Dr. Miguel Ángel Guevara, por creer en mí e impulsarme hasta el cansancio.

Dra. Angélica Riveros, por escuchar mis quejas.

Reconocimientos especiales.

Héctor Velázquez, por regalarme tu tiempo, jamás tendré cómo pagarlo.

Edgar Salinas, por estar ahí cuando te necesité, nunca lo olvidaré.

Gabriela Chavero, por aguantar mis gritos y aún así estar junto a mí.

Dra. Laura Hernández, por tu apoyo y confianza en mi trabajo.

Fernando Salinas, por tu colaboración incondicional.

Viviana Martínez, por tu cuidado en el difícil proceso.

Ana Cecilia López, por tu inquietud, paciencia, tiempo e interés.

Verónica Jiménez, por tu compromiso y tiempo.

Jesús, por tu tiempo.

Alejandro Dovek, por su esmero en la fotografía.

Carlos Piña, por su paciencia y compromiso.

Cynthia Sayuri Suárez Basurto, por sus aportaciones técnicas invaluable.

Mi especial agradecimiento al Colegio Ascot e Instituto Tlalpan por haberme abierto las puertas de su Alma Mater.

Un especial agradecimiento al CONACyT por su apoyo parcial a este trabajo, a través de su programa de becas de Doctorado.

Resumen

El estudio de la inteligencia parece no haber generado un conocimiento suficiente y articulado para comprender la interacción de varias de sus dimensiones. Dos razones para ello incluyen, entre otras, fallas metodológicas y la escasa incorporación de los hallazgos de las neurociencias sobre funcionamiento y maduración cerebral en su estudio. El presente trabajo propone un modelo para la construcción de reactivos, basado en el Análisis Cognitivo de Tareas y describe un banco de reactivos diseñado para medir habilidades perceptuales, emocionales y cognitivas en cuatro niveles de complejidad en niños de tercero y quinto de primaria. Los resultados de la calibración de reactivos se obtuvieron mediante dos tipos de análisis: psicométrico clásico y de Rasch, en el primero los valores de Alpha evidenciaron homogeneidad en un alto porcentaje de los reactivos, y en el segundo se aprecia que un porcentaje significativo de estos presentan la complejidad ubicada dentro de la curva característica del ítem. Con estos resultados se documentan niveles crecientes de dificultad y la consistencia de los reactivos en dos de los niveles. Los hallazgos corroboran la eficacia del modelo y de los reactivos. Asimismo, se realizó un registro electroencefalográfica a una población infantil diferente, mientras resolvían en un programa de cómputo especímenes de los reactivos de cada nivel y variedad, en los cuales se apreciaron patrones de activación en diferentes regiones cerebrales que indican que el modelo puede ser también sustentado por la evidencia de los hallazgos fisiológicos.

Palabras clave: calibración, habilidades intelectuales, percepción, cognición, emociones, análisis de tareas, teoría de la respuesta al reactivo, electroencefalografía, potencia absoluta, patrones de activación.

Design of an Assessment Instrument for Intellectual Skills and their Electrophysiological Correlates

Abstract

Historically the study of intelligence does not seem to have yielded enough articulated knowledge allowing psychologists to understand the complex interaction among several of its dimensions. Two main reasons for this situation involve, among other, methodological flaws of some studies and a scarce inclusion of findings from such fields as the neuro-sciences regarding brain maturation and functioning. The study conducted for the present dissertation proposes a model for the development of items on the basis of cognitive task analysis and describes an item bank designed to measure perceptual, emotional and cognitive skills, through four levels of complexity for third and fifth grade children. Results from the calibration were obtained through two types of analysis: classical psychometric and Rasch. Results of the first one revealed Alpha homogeneity in a high percentage of items while the second showed that a significant proportion of items actually have the corresponding complexity in terms of their position along an item characteristic curve. Results additionally show increasing levels of difficulty and item consistency in two of the expected levels. Findings confirm the efficacy of the both the model and the items. Additionally, electro-encephalographic recordings from a matched group of children while solving samples of items with varying degrees of difficulty and type showed brain activation patterns in diverse areas. These records furthermore suggest that the study's physiological findings also sustain the proposed model.

Key words: item calibration, intellectual skills, perception, cognition, emotions, task analysis, item response theory, electro-encephalography, absolute potency, activation patterns.

Introducción.

El interés por estudiar la inteligencia radica en la innegable injerencia que este proceso superior tiene sobre la supervivencia y la estructura de la adaptación ambiental del ser humano. Aun cuando la Psicología lo ha abordado desde distintos ángulos, el de su medición (el más frecuente), requiere resolver retos planteados por el avance teórico en la Cognición humana y por satisfacer necesidades en la población contemporánea, particularmente en lo que toca a la descripción de perfiles intelectuales y a la generación de conocimiento sobre el funcionamiento mental. Tal problemática se genera porque las teorías bajo las que se sustentaron las pruebas de inteligencia no han podido evidenciar su solidez o porque los procedimientos con los que se construyeron las pruebas tienen errores metodológicos. Dos de éstos son enfáticamente descritos en la literatura especializada: uno hace referencia a que la variable medida no pudo ser separada del instrumento utilizado, lo que inevitablemente acabó definiendo operativamente la variable por el instrumento con el que se mide y el otro problema es que las propiedades del instrumento de medida, y por tanto de las pruebas, han sido elaboradas en función de los sujetos a los que se aplican (Carretero-Dios & Pérez, 2005; Irving & Dann, 1990; Muñiz, 1997; Östberg, 2002).

Un ejemplo de lo anterior son las pruebas basadas en el concepto de “Coeficiente Intelectual” (C.I.) también llamado factor g, o inteligencia fluida. Su procedimiento de construcción ha evidenciado que el instrumento define operativamente la variable y que el objetivo con el que se crearon fue conocer la distribución normal de los resultados obtenidos de la aplicación de una serie de tareas clasificadas como de poder, tal y como sucede en las escalas Wechsler (1955, 2003), o en el test de Matrices Progresivas de Raven (Raven, 1976), diseñado para usarse en la investigación de los orígenes de la deficiencia mental (Liporace, Ongarato, Saavedra & Casullo, 2004; Raven, 1976; Schweizer, Goldhammer, Rauch & Moosbrugger, 2007).

En el mercado mexicano existen pruebas que proponen la evaluación de la inteligencia. Sin embargo, fueron creadas hace varias décadas, en otros países (Carroll, 1993; Cattell, 1987; Colom, 1995; Gardner, 1994; Guilford, 1986; Hernanz, 2001; Sternberg, 1990; Toga & Mazziotta, 2000) y aunque algunas de ellas han completado su normalización, sus baremos se hicieron con población extranjera (Bennett, Seashore & Wesman, 2002; Thorndike, Hagen & Lorge, 1997), lo cual pone en duda su aplicabilidad.

Para finales del siglo XX, a la inteligencia se le empezó a vincular con diferentes tipos de habilidades (Calero, 1995; Feuerstein & Mayor, 1997; Gardner, 2001; Guilford, 1986; Sternberg,

1987), lo que ocasionó la diversificación en relación a su variedad y a su medición, teniendo como objetivo central conocer la forma en la que funcionaba.

Otro cuestionamiento relevante en relación a los instrumentos desarrollados hasta la fecha, es que carecen de la adecuación en cuanto a los avances del conocimiento sobre el funcionamiento cerebral, la cognición humana, la maduración biológica, el procesamiento emocional y el desarrollo de herramientas metodológicas para la construcción de bancos de ítems.

En el ámbito de la medición de las habilidades intelectuales queda por señalarse otro aspecto importante para este trabajo, y es el hecho de que una amplia gama de investigaciones al respecto, así como sobre el funcionamiento cerebral, se han realizado en neurociencias utilizando las pruebas que presentan algunas de las fallas señaladas.

Por consiguiente y en función de las circunstancias descritas hasta aquí, es relevante proponer la construcción de instrumentos basados en la postura que plantea la existencia de habilidades intelectuales, acordes con las necesidades contemporáneas, cuya medición proporcione una descripción completa del evaluado en términos de habilidades y que considere los cambios fisiológicos de maduración del individuo, de tal manera que la información que se obtenga sea lo más cercana posible a la condición de los evaluados.

Fundamento Teórico

La Inteligencia ha sido estudiada desde el siglo antepasado, y originalmente se concibió desde el punto de vista de la psicometría como un parámetro que evidenciaba una capacidad única, con una estructura jerárquica compleja aplicable en cualquier tarea o ámbito y que en los últimos 20 años ha sufrido una serie de críticas y observaciones, entre las cuales se puede mencionar la falta de respuestas consistentes que puedan evidenciar la estructura jerárquica; e incluso la palabra Inteligencia no ha sido claramente definida por la Ciencia, por lo que la raíz de la varianza de las puntuaciones en la evaluación del C.I. puede ser cualquier cosa. Esta circunstancia ha conducido a los teóricos a plantear diferentes hipótesis con las que se ha pretendido modificar el constructo, al parecer sin una aportación clara y contundente (Gardner, 1994; Guilford, 1986; Richardson, 2002; Sternberg, 1987, 1990; Thorndike, Hagen & Lorge, 1997).

Al respecto Sternberg (1988), postuló que la inteligencia reside en el aprendizaje y uso del conocimiento, no en el conocimiento por sí mismo. Y planteó la posibilidad de generar una taxonomía de las habilidades intelectuales sobre las bases de las respuestas a dos preguntas: ¿la habilidad general está presente a través de un rango de tareas, requeridas para adaptarse, seleccionar o formar un ambiente?; ¿la habilidad es necesaria para desempeñar las tareas que involucran adaptación, selección y formación del ambiente? Además menciona que la inteligencia debería ser entendida en términos de la relación entre el mundo interno, externo, el individual y la experiencia. Y que el objetivo del trabajo psicométrico es identificar las habilidades en algún grado del dominio general, así como las empleadas en dominios específicos, ya que de esta forma se podría conocer y reconocer a la persona experta, es decir con habilidades altas para la ejecución de un conocimiento o tarea particular, versus la persona funcionalmente adaptada en un ámbito general, sin ejecuciones sobresalientes en un campo especializado (Sternberg, 1988).

Carroll (1993), quien también está de acuerdo con la postura que propone la variedad de clases de habilidades intelectuales, considera que existen varios tipos de aprendizaje o desempeño, mostrados independientemente del factor general, en los factores específicos, como podría ser la habilidad para la interpretación musical. Su propuesta está basada en las contribuciones de Spearman, y la llamó teoría de los Tres Estratos, esta describe el dominio total de las habilidades intelectuales en términos de niveles o estratos.

En su modelo colocó en la parte superior únicamente un factor, el Estrato III, identificado como 3G de la Inteligencia General, que es equivalente al factor g de la teoría de Spearman. Este

domina al Estrato II, que implica menor grado de generalización de las habilidades; al Estrato I se le vincula con habilidades específicas. Postulando a través de su modelo la existencia de niveles de ejecución y de habilidades, una más generales y otras más específicas (Carroll, 1996).

En la línea de investigación antes mencionada, han surgido una variedad de clases de inteligencia, como la cognitiva, emocional, musical, práctica, analítica y artística, de entre éstas algunas han sido ampliamente estudiadas, como es el caso de la cognitiva, y esto se debe principalmente a que sus productos están más claramente relacionados con procesos de pensamiento y aprendizaje y con la adaptación a una estructura social. Y de las que han generado mayor interés entre la comunidad científica ha sido la emocional, pues se le vincula con la generación y preservación de las relaciones interpersonales, con la interacción social, los estilos de afrontamiento y la salud en general. Sin embargo, existe un grupo de habilidades, ampliamente descritas y que aparecen en casi cualquier prueba de inteligencia, y son las que evalúan a la percepción, la cual curiosamente no ha sido mencionada como una variedad intelectual, a pesar de que cubre los puntos necesarios para hacerlo, como la responsabilidad de reconocer, procesar, vincular e interpretar la información básica, que facilita la adaptación del organismo al ambiente. Por lo que valdría la pena que se le considerara como uno de sus tipos, en especial por su intervención en diferentes procesos superiores (Cázares, 1999; Dennis & Tapsfield, 1996; Lazarus, 1990; Matthews, Zeidner & Roberts, 2002; Papousek, 2004; Plutchik & Kellerman, 1989; Sternberg, 1997; Zoia, Pelamatti & Rumiati, 2004).

Por otro lado, existen reportes en la literatura que evidencian cambios fisiológicos cerebrales relevantes asociados a las distintas etapas de la vida, como el decremento irregular en las funciones de la corteza dorsolateral y ventromedial prefrontal, así como la corteza de asociación en tareas relacionadas con la memoria, la toma de decisiones, la regulación emocional, y las funciones ejecutivas generales en adultos mayores vs adultos menores (Baena, Allen, Kaut, & Hall, 2010; Salthouse, 2001). En un estudio en el que se utilizó la Tomografía por Emisión de Positrones para investigar los mecanismos de activación cerebral, se encontró que niños cuya edad oscila entre los 4 y los 6 años, mostraron la presencia de un circuito que incluye la corteza del cíngulo posterior, la corteza prefrontal medial, los lóbulos temporales mediales, y el giro angular, el cual se activa ante tareas sociales, y se decrementa ante tareas cognitivas (Supekar, Uddin, Prater, Amin, Greicius & Menon, 2010). En otra investigación en la que se analizaron los resultados de la aplicación de Potenciales Relacionados a Eventos (P1 y N1) y las bandas del EEG continuo, se encontró que los

niños (entre 8 y 9 años) presentaron una mayor amplitud y un incremento de las latencias, y la banda de gamma un bajo porcentaje del Poder Relativo, vinculado con la estabilidad y tamaño del estímulo, y en particular, en niños de 11 años, una sincronía de la oscilación de la banda de gamma, en comparación con adultos jóvenes (18 años) (Bergner, Shing, Müller, Li, & Lindenberger, 2009).

En lo referente al desarrollo emocional, en distintas investigaciones se ha reportado que los infantes (4 años) que muestran una mayor activación del lóbulo frontal derecho, presentan temor o inhibición en la expresión emocional, además de un alto nivel de negatividad afectiva, y está asociado a varios estresores, como el incremento de la angustia ante la separación de su madre; por otro lado, la presencia de asimetría frontal izquierda predice el incremento de la sociabilidad, acercamiento conductual, y regulación de habilidades cognitivas. También encontraron que la asimetría frontal derecha en la infancia es un predictor impulsividad en niños entre los 4 y los 8 años, mientras que la asimetría del lóbulo frontal izquierdo está asociado a la regulación emocional; este patrón también se presentó en la región temporal, pero asociado al reconocimiento en tareas de lenguaje (Hajcak & Dennis, 2009; Hannesdóttir, Doxie, Bell, Ollendick, & Wolfe, 2010). En estudios en los cuales se ha utilizado la resonancia magnética, se pudo observar que la ansiedad en niños puede ser una característica de anormalidad en la amígdala, la cual es responsable de procesar estímulos amenazantes. Además se concluyó que los niños responden a estímulos emocionales complejos de una forma semejante a la de los adultos (Hajcak & Dennis, 2009).

En lo que se refiere al desarrollo infantil, como los ajustes en las estructuras cerebrales o las diferencias en la actividad eléctrica cerebral, que marcan el principio y la consolidación de determinadas estrategias mentales, se ha reportado que la región central involucrada en las funciones sensoriales y motoras básicas maduran tempranamente (entre los 4 y los 8 años), en comparación con la región parietal, vinculadas con la orientación espacial, lenguaje y atención (entre los 11 y los 13 años), además de que se da una redistribución del Poder Relativo de la banda total, se presenta con mayor frecuencia en las posteriores, y un decremento de la Potencia Absoluta total de todas la bandas, particularmente las lentas; asimismo, la actividad teta es remplazada por actividad alfa, primero en los lóbulos occipitales, y progresivamente hacia las regiones frontales. Por otro lado, la materia blanca regional se presenta en mayor cantidad ante el incremento de las habilidades cognitivas, como la lectura o la memoria, como la lectura o la memoria, en niños entre los 8 y los 18 años, y la materia gris se reduce, principalmente en la adolescencia (Segalowitz, Santesso, & Jetha, 2010). Los resultados antes descritos son consideradas en pocas ocasiones para la elaboración de

pruebas que evalúen inteligencia o habilidades; sin embargo, las implicaciones al respecto podrían facilitar el conocimiento, no sólo sobre estrategias mentales, sino también acerca del proceso que permite estructurar el intelecto en cada etapa de vida, de hecho, existen estudios en los que se hace referencia a los tipos de actividad eléctrica esperada según la edad, y en éstos se menciona que los niños de ocho años tienen un electroencefalograma más caótico y diferente al de los niños de 11 años, estos últimos suelen mostrar una señal más semejante a la de un adulto (Stauder, van der Molen & Moleaar, 2000; Jausovec, N. & Jausovec, K., 2000, 2004).

El estudio del funcionamiento cerebral ha facilitado la comprensión sobre las habilidades cognitivas, por ejemplo, las teorías sobre velocidad de procesamiento, sugieren que la conducta inteligente es el resultado del factor de velocidad biológico, el cual se refleja en el tiempo requerido para la ejecución de las tareas psicológicas, de tal manera que los individuos con altas puntuaciones en las pruebas de CI tienden a presentar menores tiempos de reacción y de inspección, y ambas medidas estaría reflejando la velocidad de procesamiento neural (McRorie & Cooper, 2004). En esta línea de investigación se ha descrito que las diferencias individuales en las habilidades mentales y la base de la inteligencia en sí misma están correlacionadas con la discriminación sensorial, y con la velocidad de procesamiento de la información, de tal manera que ha menor tiempo de inspección y una mayor diferenciación de los estímulos el desempeño mental tendría que ser más eficiente (Acton & Schroeder, 2001; Cattell, 1987). De hecho, la evaluación de los procesos básicos en pruebas psicométricas de inteligencia, en particular sobre velocidad de procesamiento, se plantea la relación negativa entre tiempo de reacción y las medidas psicométricas, de tal forma que una inteligencia alta, en parámetros psicométricos, está asociada con una rápida ejecución de procesos elementales cognitivos. Sin embargo, se ha dicho que los individuos con alta o baja habilidad cognitiva no deben diferir en sus propiedades generales cerebrales, en específico en su velocidad de conducción del sistema nervioso, sino más bien las diferencias en inteligencia están relacionadas con cuánto y cuáles áreas corticales están activadas durante el desempeño cognitivo, pues se ha encontrado una relación negativa entre la tasa de metabolización de la glucosa, en el desempeño de este tipo de pruebas, y la inteligencia psicométrica, así que los individuos con una mayor capacidad cognitiva presentan menor cantidad de metabolización de la glucosa, debido a que al parecer utilizan solo un limitado grupo de circuitos cerebrales. Además, las personas con mayor capacidad presentaron menor activación de la banda total de alfa rápida en las áreas requeridas para el desempeño de tareas cognitivas (Facon, 2004, 2006; Neubauer, Fink, & Schrausser, 2002).

Asimismo, en modelos en donde se han utilizado los Potenciales Relacionados a Eventos (P3a y P3b), se ha descrito que el componente de P3a puede representar un cambio involuntario o reorientación de la atención originada en los lóbulos frontales, además de que podría ser una manifestación de un proceso de inhibición para desviar el objetivo del estímulo. En cambio, la P3b se cree que es un reflejo del establecimiento de la conexión de las áreas de asociación, del almacenamiento de la región temporoparietal, y que podría ser un recurso subsecuente que permita la actualización de la memoria, después de la evaluación del estímulo (Delplanque, Silvert, Hot & Sequeira, 2005; Unsworth & Engle, 2005).

En lo que respecta a la representación de los objetos en la mente, se han reportado diferencias hemisféricas, como que cada uno de ellos tiene una vía propia de almacenamiento, y un formato representacional específico, el hemisferio izquierdo es responsable de almacenar objetos visuales de una manera abstracta, en forma de prototipo, lo cual también tiene una utilidad importante en la categorización misma del objeto en un nivel básico; el hemisferio derecho almacena la imagen como ejemplares únicos y considerando los detalles específicos, por lo que es de utilidad para diferenciar entre distintas categorías subordinadas o subclasificaciones. Estos resultados indican que los sistemas representacionales funcionan como una vía para el almacenamiento de la información de cualquier clase de forma visual, pero que esta es independiente del contenido semántico (Studer, & Hübner, 2008).

Sin embargo, a pesar de la evidencia reportada con poca frecuencia se le considera para la elaboración de reactivos o instrumentos de medición, más bien es utilizada como fundamento para continuar con la exploración del funcionamiento cerebral, pues al parecer el cuestionamiento sobre los modelos de medición de la inteligencia es igualmente infrecuente, los investigadores de esta área se conforman con emplear los instrumentos ya existentes, aunque estos tengan errores.

Otro punto clave en la generación de pruebas, son los métodos empleados para la calibración de ítems. En este sentido, existen dos grandes posturas, la Teoría Clásica de los Test (TCT), en la cual se estima el nivel de un atributo (aptitud, rasgo de personalidad, interés) como la sumatoria de respuestas a los ítems individuales, obtenidos de una serie diversa de análisis factoriales (Jiménez & Macotela, 2008; Obsessive Compulsive Cognitions Working Group, 2004; Oros de Sapia & Ivana, 2006), y la Teoría de la Respuesta al Ítem (TRI), la cual brinda fundamentación probabilística al problema de medir constructos latentes y considera al ítem (o reactivo) como unidad básica de medición. La TRI utiliza el patrón de respuesta para determinar el nivel de atributo, mientras que

TCT no puede separar las características del examinado de las características del test, por lo que cada una de ellas puede ser interpretada solamente en el contexto de la otra (Cortada de Kohan, 2004; Sánchez & Domínguez, 2008).

La diferencia principal entre las teorías mencionadas es que en la Clásica la relación entre el valor esperado y el rasgo, es lineal. Mientras que en los modelos de la TRI, las relaciones pueden ser funciones de tipo exponencial y considera al reactivo como una unidad básica de las pruebas (Chan, Shum, Toulopoulou & Chen. 2008; Cortada de Kohan, 2004; Sánchez & Domínguez, 2008).

En el contexto de construcción de pruebas, una herramienta novedosa para analizar el dominio a ser evaluado es el Análisis Cognitivo de Tareas (ACT). Consiste en descomponer una actividad, desglosándola en pasos y componentes específicos, en los que se identifican secuencias progresivas de mayor nivel de detalle, en los que se precisan los conocimientos, las habilidades y los valores asociados a cada paso; describiendo en forma clara los conocimientos conceptual, procedimental y estratégico, mediante una descomposición recursiva de las tareas involucradas, considerando los niveles diferenciales de complejidad incluidos en cada tipo de conocimiento. Para lo cual se parte de un universo de información, que tiene que ser acotado para determinar, en este caso las habilidades. Una instancia de lo anterior se puede ilustrar en la siguiente ejemplificación: la actividad de leer (que equivaldría al universo acotado) se puede identificar, desde el movimiento conjugado de los ojos, que origina el rastreo visual, el reconocimiento de las unidades llamadas letras, la discriminación de las letras, la integración de un patrón con un significado específico, la asociación de las palabras con su significado y representación en el mundo (estas serían las habilidades secuenciadas que subyacen a la lectura), después se vuelven a revisar estas habilidades y se verifica qué otras podrían vincularse, como en este caso el cierre visual, el reconocimiento de un patrón, el manejo de vocabulario y de las analogías, así como la comprensión de la información (habilidades derivadas de la revisión recursiva). Toda vez identificados los componentes, se organizan las habilidades en un proceso secuenciado, que en este caso sería, reconocimiento de letras, discriminación entre ellas, cierre visual, reconocimiento de un patrón y comparación con el vocabulario conocido, comparación de la información contra el conocimiento previo para realizar una analogía, y comprensión del significado de la lectura. Después se procede a definir la habilidad, por ejemplo, reconocimiento de letras, es la habilidad que permite la detección, dentro de un universo de información, del símbolo denominado letra. Esto es considerado un indicador de la habilidad y con esto se transforma en una tarea o ítem, por ejemplo, para el indicador denominado

Reconocimiento de letras, se podría generar el siguiente ítem, colocar sobre un mismo renglón un símbolo, un número y una letra, repitiendo este patrón de forma aleatoria durante varios renglones, y el trabajo del niño sería circular todas las letras que identifique, como en el siguiente ejemplo:

1	5	¿	&	(A)	%)	9	8	(O)	23	(E)	(\$	/	4	(U)	;	<	*	(I)	7
---	---	---	---	-----	---	---	---	---	-----	----	-----	---	----	---	---	-----	---	---	---	-----	---

(Castañeda, 2004; Garnham & Oakhill, 1996) (ver figura A).

Del ACT se deriva el modelo empleado para la generación del banco de reactivos propuestos en esta investigación, el cual ubica en orden jerárquico el nivel de complejidad del indicador, y por lo tanto de la habilidad. Las pruebas se desarrollaron en cuatro niveles jerárquicos del modelo que van de una menor a una mayor complejidad para el procesamiento de la información. El nivel Básico se refiere a una estrategia mental, que implica la detección, reconocimiento y relación de datos, como una etapa inicial, que practicada y constatada permite el procesamiento elemental de la información. El nivel Global, se refiere a las estrategias mentales que recogen datos del procesamiento elemental realizado en el nivel Básico, detectando los vínculos de información variada en función de un objetivo interno o externo, construyendo repertorios conductuales apropiados, con la finalidad de dar una respuesta que permita al individuo permanecer en la adaptación de su medio ambiente. El nivel de habilidades Específicas se refiere a las estrategias mentales que implican la asociación de información particular y detallada, seleccionada del procesamiento previo (Global) cuyo objetivo es emitir una respuesta de calidad; ésta, en la mayoría de las veces es considerada una característica individual. Y por último, las habilidades Complejas, que son estrategias mentales con las cuales se analiza información recolectada de los niveles anteriores (Básico, Global y Específico), para seleccionar la más adecuada, a través de la deducción o inferencia, y cuyo objetivo es emitir respuestas inesperadas, novedosas y altamente eficientes, con las cuales un individuo resalta dentro del promedio de la población en la que se desenvuelve (Castañeda, 2004) (ver figura A). Por ejemplo, si se quisiera evaluar a un individuo, en la variedad perceptual, en los cuatro niveles de complejidad, en indicadores de menor complejidad, las habilidades a considerar serían: Atención (nivel Básico), Discriminación Visual (nivel Global), Selección de Información y de Patrones (nivel Específico), y Percepción Espacial (nivel Complejo).

Los objetivos del presente trabajo son: a) desarrollar un modelo teórico para la construcción de reactivos que midan habilidades intelectuales en cuatro niveles jerárquicos de complejidad creciente, y en tres de sus variedades; b) ubicar la percepción como una variedad de habilidad intelectual, c) mostrar resultados de la calibración de cinco de sus formatos, los que miden

habilidades Perceptuales, Emocionales y Cognitivas (en los niveles Básico y Global); d) presentar los resultados de la captura de señal electroencefalográfica durante la resolución de una selección de reactivos en cinco de sus formatos.

La investigación está dividida en dos estudios, en el primero se desarrolló el modelo y se construyeron los bancos de reactivos para los instrumentos de medición. En el segundo se aplicaron registros electroencefalográficos para cada uno de los instrumentos desarrollados.

Método del primer estudio

Participantes del primer estudio

Para el formato de Inteligencia Perceptual, nivel Básico, participaron 108 niños, 60 de ellos con una edad promedio de ocho años, los cuales cursaban el tercero de primaria, los 48 restantes, tenían una edad promedio de 11 años y cursaban el quinto de primaria; en la evaluación de Inteligencia Cognitiva, nivel Básico, participaron 104 niños, 60 de ellos con una edad promedio de ocho años y estaban cursando tercero de primaria, los 44 restantes tenían una edad promedio de 11 años y cursaban el quinto de primaria. En lo que respecta al formato de Inteligencia Emocional, nivel Básico, participaron 70 niños, 35 de los participantes tenían una edad promedio de ocho años y cursaban el tercero de primaria, y los 35 restantes tenían una edad promedio de 11 años y cursaban quinto de primaria; para el formato de Inteligencia Perceptual, nivel Global, participaron 106 niños, de los cuales 35 tenían una edad promedio de ocho años, y cursaban tercero de primaria, los otros 71 participantes tenían una edad promedio de 11 años y cursaban quinto de primaria; para el formato de Inteligencia Cognitiva, nivel Global participaron 110 niños, 45 con una edad promedio de ocho años y cursaban tercero de primaria, y los otros 65, tenían una edad promedio de 11 años y cursaban quinto de primaria. Todos los participantes pertenecían a tercero y quinto de primaria, cuya edad promedio en tercero fue de ocho años, y en quinto de 11 años; todos provenientes de escuelas privadas. Los niños participaron de manera voluntaria y se solicitó carta consentimiento de sus padres, además de que fueron tratados conforme al Código de Ética del Psicólogo (Sociedad Mexicana de Psicología, 2002).

En el formato de habilidades Emocionales se utilizaron imágenes y fotos, las cuales fue necesario validar, empleando dos muestras de niños de tercero y quinto de primaria, de una escuela privada en la zona suroeste de la ciudad de México, con un total de 43 niños de tercero y 44 de quinto. Esta población no tiene relación con las muestras del estudio de calibración.

Escenario del primer estudio

Participaron tres escuelas privadas de la zona centro, sur-oriente y sur-poniente de la ciudad de México. La aplicación de los formatos se realizó en el horario matutino antes del tiempo de descanso, durante el segundo semestre del ciclo escolar. Se utilizaron salones de clase adecuadamente iluminados y ventilados.

Diseño y Procedimiento del primer estudio

Para la elaboración de reactivos se observó a cinco niños de tercero y cinco de quinto de primaria (el tiempo de observación fue de cinco horas diarias a lo largo de 60 días hábiles), durante la ejecución de actividades académicas, tales como: ejercicios de aritmética, lectura, escritura, así como su interacción durante el receso, según el procedimiento del ACT, que consiste en desglosar las actividades de forma jerárquica, para después obtener los indicadores y niveles complejidad creciente de las habilidades y su respectiva conceptualización (ver figuras D, E, F, G y H). En base a la conceptualización se construyeron los reactivos utilizando un formato y redacción a manera de situaciones “problema” (ver figuras A, I, J, K, L, M).

Se elaboraron cinco formatos, uno para las habilidades Perceptuales (con 12 habilidades), otro para las Emocionales (con 11 habilidades) y otro para las Cognitivas (con 14 habilidades), en su nivel básico; otro más para las habilidades Perceptuales (12 habilidades) y Cognitivas (14 habilidades) a nivel Global, así como su respectivo manual de aplicación. Cada reactivo implicaba un tiempo diferente por grado académico, sin embargo, para homogeneizar su resolución se dio como tiempo máximo 15 minutos por reactivo. Las respuestas mostraban opciones cuatro variedades, la que era la correcta, la cercana a ésta, la relacionada con la correcta y alejadas a la correcta.

Las imágenes del formato de habilidades Emocionales, en particular las fotos donde aparecen rostros o personas interactuando, se utilizó la participación de modelos y fotógrafo profesionales. Las imágenes fueron validadas por jueces, que en este caso fueron niños de tercer y quinto de primaria, a los cuales se les presentaron las 54 fotos (seleccionadas por el investigador, de un total de 450) de pareja, de cuerpo completo en poses que denotaban 18 expresiones emocionales distintas (ver figura B), dos por cada expresión, y 54 fotos de rostros (seleccionadas por el investigador de un total de 900) que expresaban las diferentes expresiones emocionales descritas en la figura B, tres por emoción.

Las imágenes se les presentaron en grupo, de forma aleatoria, a través de una computadora portátil marca Sony, modelo TS, y un cañón Sony, modelo 4532. En la primer etapa de la validación tenían que colocar, en un formato en el que venía el número de la foto en la parte superior, y en la parte inferior de cada número, el nombre de la emoción que creían expresaba el rostro o la pareja (la pareja estaba conformada por un hombre y una mujer, cuyas edades promedio fueron 25 años). Después se elaboró una tabla de frecuencia, con la que se filtraron las fotos que realmente expresaban la emoción deseada, y después, en una segunda sesión, se les presentaron las fotos con tres opciones de respuesta que implicaba una emoción, con la finalidad de constatar que las imágenes realmente la estuvieran expresando la emoción desea y los niños la estuvieran interpretado en el sentido que el investigador deseaba. El tiempo de presentación para ambas condiciones fue de 60 segundos.

Los datos se procesaron con dos programas de cómputo; para obtener los valores de la TPC, el programa empleado fue Conventional Item Analysis (Assessment Systems Corporation, 1993), y para la aplicación del Modelo TRI (en su variante Rasch) fue Marginal Maximum-Likelihood Estimation Program (Assessment Systems Corporation, 1995).

Para calcular los valores reportados del análisis clásico se utilizó un análisis de la TCT de proporción para grupos, del que se obtuvieron las puntuaciones altas y bajas del grupo de examinados, basado en el número total de respuestas correctas para cada escala (Dificultad (PRC)), el cual arroja la proporción de examinados que respondieron un reactivo adecuadamente. Los valores extremos cercanos a 0.0 ó a 1.0, indican que el reactivo es difícil o fácil para los sujetos. Asimismo, se empleó el Índice de Discriminación (IDD), que provee información sobre la capacidad del ítem para diferenciar entre las puntuaciones altas y bajas de los examinados.

También se obtuvo la correlación total en su variante Punto Biserial (r_b), entre las respuestas correctas de los ítems y los valores totales de la escala, que es calculada para cada alternativa de respuesta en forma separada, basándose sobre la aprobación de cada alternativa, más que sobre su selección de claves de respuestas correctas. Por último, se calculó el Alfa Cronbach, que es el coeficiente de confiabilidad para cada escala, es un índice de homogeneidad y su rango va de 0 a 1.

Se empleó el modelo Rasch (logístico de un parámetro, empleado cuando la $n < a$ 300) de la TRI, con la finalidad de conocer el valor Theta, como indicador de la probabilidad de acertar el reactivo.

Para comprobar el ajuste del modelo a los datos se utilizó el estadístico Ji-cuadrado (X^2) que consiste en comparar los valores pronosticados por el modelo, con los obtenidos empíricamente. Y por último se obtuvo la correlación producto-momento de Pearson (r) entre los valores dicotómicos de los reactivos.

Resultados del primer estudio

Los resultados se organizaron por tipo de inteligencia y jerárquicamente por habilidad según el modelo ACT (ver Figura A). En las Tablas 1, 2, 3, 4 y 5, se presentan los resultados, tanto del análisis clásico, como del Rasch, para las habilidades intelectuales Perceptuales, Emocionales y Cognitivas, en los niveles Básico y Global.

Los resultados del análisis psicométrico clásico de las 12 habilidades propuestas para evaluar la Inteligencia Perceptual Básica (ver figura D), evidenció que en 6 habilidades los sujetos eligieron exactamente las mismas respuestas propuestas. Los ítems tuvieron la capacidad para diferenciar entre las puntuaciones altas y bajas, así como también en un porcentaje elevado presentaron relación entre las respuestas correctas y los valores totales. Además de que el valor de Alpha evidenció homogeneidad en un alto porcentaje de los reactivos propuestos (ver Tabla 1). En lo que se refiere al análisis de Rasch, de 171 reactivos que conforman las 12 habilidades, 158 presentan una complejidad ubicada dentro de la curva característica del ítem. La X^2 mostró que 21 reactivos, de los 171, de toda la escala, obtuvieron valores que distan del modelo pronosticado. Asimismo, en las habilidades de Estabilidad de la Forma, Forma Dominante y Secuencia Perceptual, se encontró un valor de r por debajo de .5 (ver Tabla 1), y por consiguiente los ítems que pertenecen a las nueve habilidades restantes cuentan con una elevada estabilidad. Estos resultados indican que la escala cuenta con las características de construcción adecuadas que evidencian su confiabilidad.

Los resultados del análisis clásico, de los ítems creados para medir la Inteligencia Emocional (ver figura E), en su nivel Básico, en dos de las 11 habilidades, se observó que las respuestas no se relacionan con las esperadas. Los ítems que diferenciaron entre las puntuaciones altas y bajas fueron 140, de 325, y el número de reactivos que presentaron relación entre las respuestas correctas y los valores totales fue moderado. El valor de Alpha por debajo de .5 se encontró en dos habilidades, Percepción y Concepto Social, lo cual evidencia la homogeneidad entre los reactivos de la escala (ver Tabla 2). Por otro lado, el análisis de Rasch, muestra que en 21 ítems, de 325, presentan un valor de Theta fuera del rango de entre ± 2.0 y ± 2.5 , mostrando que la complejidad general de los 325 reactivos se encuentra ubicada dentro de la curva característica del ítem. La X^2 mostró que 10

ítems obtuvieron valores que distan del modelo pronosticado. Y ninguna habilidad obtuvo valores de r por debajo de .5 (ver Tabla 2), lo cual confirma la elevada estabilidad de los reactivos de la escala.

En lo que se refiere a las 14 habilidades diseñadas para medir Habilidades Cognitivas a nivel Básico (ver figura F), los resultados del análisis clásico muestran que en tres de ellas las respuestas de los niños no se relacionaron con las esperadas. Un número elevado de ítems (205) tuvieron la capacidad para diferenciar entre las puntuaciones altas y bajas, así como también una relación significativa entre las respuestas correctas y los valores totales. El Alpha indica homogeneidad en un alto porcentaje de los reactivos de la escala (ver Tabla 3). En lo que se refiere al análisis de Rasch (Tabla 3), los resultados indican que en 274 (de 285) ítems presentan una complejidad ubicada dentro de la curva característica del ítem. La X^2 mostró que 34 ítems de toda la escala obtuvieron valores que distan del modelo pronosticado. Y solamente la habilidad de Ejecución presentó una r por debajo de .5, lo que indica una elevada estabilidad de los reactivos y por lo tanto de la escala.

La Tabla 4 muestra los resultados del análisis Psicométrico Clásico aplicado a los ítems de las 12 habilidades Perceptuales, nivel Global (ver figura G), indicando que 172 tuvieron la capacidad para diferenciar entre las puntuaciones altas y bajas, así como también una relación significativa entre las respuestas correctas y los valores totales. El Alpha indica homogeneidad en un alto porcentaje de los reactivos de la escala. En lo que se refiere al análisis de Rasch (Tabla 4), los resultados indican que en 221 (de 233) ítems presentan una complejidad ubicada dentro de la curva característica del ítem. La X^2 mostró que 6 ítems de toda la escala obtuvieron valores que distan del modelo pronosticado. Y solamente la habilidad de Integración Perceptual presentó una r por debajo de .5, lo que indica una elevada estabilidad de los reactivos y por lo tanto de la escala.

Los resultados de las habilidades Cognitivas, a nivel Global (ver figura H) se muestran en la Tabla 5, que un número moderado de ítems (173) tuvieron la capacidad para diferenciar entre las puntuaciones altas y bajas, así como también una relación significativa entre las respuestas correctas y los valores totales. El Alpha indica homogeneidad en un alto porcentaje de los reactivos de la escala, a excepción de las habilidades de Síntesis, Lectura y Razonamiento. En lo que se refiere al análisis de Rasch, los resultados se pueden apreciar en la Tabla 5, que indican que en 294 (de 299) ítems presentan una complejidad ubicada dentro de la curva característica del ítem. La X^2 mostró que 5 ítems de toda la escala obtuvieron valores que distan del modelo pronosticado. Y solamente la

habilidad de Transformación presentó una r por debajo de .5, lo que indica una elevada estabilidad de los reactivos y por lo tanto de la escala.

Las Tablas 6a, 6b, muestran los resultados de la validación por jueces, que fue realizada con niños de tercero y quinto de primaria ($n=87$), de las fotos que fueron tomadas a los modelos, en las que expresaban las emociones propuestas para la evaluación (ver Figura B), y con las cuales fueron contruidos algunos de los reactivos del formato que mide habilidades Emocionales, nivel Básico, indicando una alta consistencia en la valoración de 48 (de 54) fotos por parte de los jueces.

Método del segundo estudio

Participantes del segundo estudio

Participaron 2 niños de tercero, una mujer y un hombre, y 2 niños de quinto de primaria, a quienes se les hizo la invitación a participar en la aplicación del registro electroencefalográfico y resolución de tareas, solicitándoles, a través de una carta consentimiento, firmada tanto por padres de familia, como por cada niño su aprobación, conforme al Código de Ética del Psicólogo (Sociedad Mexicana de Psicología, 2002).

Se consideró el rango de edad de ocho años y 11 años para la aplicación de registro electroencefalográfico debido a que se ha reportado en la literatura la presencia de cambios fisiológicos relevantes vinculados con maduración, principalmente en niños de 11 años, mostrando una señal eléctrica semejante a la de los adultos jóvenes, en comparación con niños de ocho años (Stauder, J., van der Molen, M. & Moleaar, P., 2000).

Escenario del segundo estudio

Los registros se aplicaron dentro de una escuela primaria del sur de la ciudad, la cual proporcionó un cubículo en el que se instaló el equipo de registro electroencefalográfico y las computadoras, tanto de captura de la señal, como para la presentación de los reactivos.

Diseño y Procedimiento del segundo estudio

De los resultados de validación descritos en el primer estudio, fueron seleccionados reactivos para cada habilidad y formato, de dos tipos, de baja complejidad y de alta complejidad, con la finalidad de poder diferenciar el resultado de la habilidad en cada registro de EEG. De todos los reactivos seleccionados, se eliminaron aquellos que tenían relación con la habilidad de Coordinación ojo-mano (perteneciente al formato de Habilidades Perceptuales Globales), debido a la complejidad

que representa ubicar una tarea de motricidad utilizando un lápiz electrónico, la sincronía con el registro podría verse comprometida, sobre todo por los artefactos de movimiento. Los reactivos seleccionados fueron adaptados para ser presentados en un programa de cómputo (ver figura C), la duración promedio de cada prueba fue de una hora con 20 minutos. El tiempo de presentación de cada reactivo era invariable y en función de la necesidad de cada niño, sin embargo, se le dio seguimiento a través del programa, el cual registraba el tiempo en el que se presentaba la tarea, y el tiempo en el que el niño respondía, a excepción de los reactivos de atención y memoria, que en promedio se les presentaron por cinco minutos y tuvieron una latencia promedio de tres minutos, controlada también a través del programa, es decir, después de transcurrido el tiempo asignado para la presentación del estímulo, la este desaparecía de la pantalla, aparecía una pantalla en blanco, la cual controlaba el tiempo de espera (latencia), y en seguida se presentaban las opciones de respuesta. El programa fue desarrollado para que guardara las respuestas, comparara las incorrectas contra las correctas, tomara el tiempo de reacción, entre la presentación del estímulo y la elección de la respuesta, así como los datos personales de cada participante, la fecha y una clave de identificación, para cada individuo, formato y reactivo. Para su creación se utilizó una plataforma de programación llamada Visual Basic, versión 3.

Las instrucciones de cada reactivo fueron indicadas de manera oral por dos evaluadores, apegándose a un guión escrito (ver figura C) y se contrabalanceó la participación de los aplicadores.

La computadora que se utilizó es una laptop marca SONY, modelo PCG-7R2L, cuya pantalla mide: 12 pulgadas.

Para el registro de EEG se utilizó un amplificador marca Bioneuro y una tarjeta analógico-digital de 16 canales. Para la captura y análisis de la señal se empleó el programa de cómputo Captusen. Los electrodos se colocaron según la norma internacional 10-20, en las derivaciones F3, F4, F7, F8, C3, C4, P3, P4, T3, T4, T5, T6, O1, O2 y CZ, con referencias auriculares cortocircuitadas.

Se consideró la colocación de electrodos en las derivaciones F3 y F4 debido a que en la literatura se ha reportado que la región frontal anterior tiene una participación importante en procesos de organización, control de impulsos, toma de decisiones, manejo de ansiedad, clasificación y categorización de las imágenes. Las derivaciones F7 y F8, están más relacionadas con actividades de atención, involucradas en el proceso de memoria, lenguaje oral y escrito, lectura, cálculo aritmético, razonamiento lógico, comprensión, análisis visual, secuencia y categorización de

los estímulos verbales y visuales. Las derivaciones C3, C4 y CZ, están relacionadas con procesos de integración sensorial, asociación de información, procesos secuenciados y comunicación interhemisférica. Asimismo, se utilizaron las derivaciones P3 y P4, pues se ha encontrado que participan en procesos de orientación, conservación y manejo del espacio, lenguaje escrito, en tareas relacionadas con aritmética y lectura. Las derivaciones T3 y T4, al parecer tienen mayor participación en procesos de manejo espacial, integración sensorial, atención, construcción de las representaciones de imágenes en la mente, seguimiento de secuencias numéricas o de lectura, y en el almacenamiento de información. Las derivaciones T5 y T6, se les ha asociado con el proceso de memoria, en particular la que está vinculada con el lenguaje y el espacio, así como la memoria de trabajo. En lo que respecta a las derivaciones O1 y O2, en la literatura se les ha vinculado con el procesamiento de imágenes, estructura, clasificación, categorización y manejo de las imágenes, procesos de atención, lectura y lenguaje oral y escrito (Acton & Schroeder, 2001; Basirat, Sato, Schwartz, Kahance & Lachaux, 2008; Delplanque, Silvert, Hot & Sequeira, 2005; Herrmann, Fründ & Lenz, 2010; Facon, 2004; McRorie & Cooper, 2004; Neubauer, Fink & Schrausser, 2002; Unsworth & Engle, 2005).

La preparación técnica de cada individuo se hizo según la norma internacional, utilizando pasta Prep para limpiar la grasa del cuero cabelludo, y pasta Ten 20 para la colocación de cada electrodo. Las impedancias se mantuvieron por debajo de 5 Ohms.

Una vez colocados los electrodos se sentaba al niño frente a la computadora de presentación del estímulo. Se le preguntaba si estaba preparado para iniciar el registro y una vez asintiendo, se le comenzaba a dar las instrucciones. Después de terminar la instrucción el investigador oprimía la tecla de Enter, de hecho, no se permitió que ningún participante oprimiera esta tecla con la finalidad de tener el control de la presentación del estímulo para poderlo ubicar en el registro y posteriormente analizar la señal.

Los reactivos seleccionados por habilidad fueron contrabalanceados para su programación, pero no para su presentación. La secuencia de presentación por habilidad fue la siguiente:

Percepción nivel Básico	Cognición nivel Básico	Emocional nivel Básico
Atención Visual Agrupamiento Estabilidad de la Forma Continuidad de la Forma Simetría de la Forma Forma Dominante Cierre Visual Memoria Perceptual Reconocimiento de la Forma Discriminación Perceptual Descripción Perceptual	Atención Cognitiva Descripción Cognitiva Discriminación Cognitiva Memoria para Detalles Reconocimiento Cognitivo Clasificación Organización Jerarquización Asociación Secuenciación Cognitiva Vocabulario Conceptualización Seguimiento de Instrucciones Ejecución	Percepción Emocional Reconocimiento Emocional Diferenciación Emocional Memoria Sensorial Emocional Relación Emocional Empatía Flexibilidad en el Sentimiento Tolerancia Recuperación del Estado Emocional Concepto Social Percepción Afectiva Social

Percepción nivel Global	Cognición nivel Global
Discriminación Perceptual Memoria Perceptual Reconocimiento de Patrones Relaciones Espaciales Reconocimiento de la Tercera Dimensión Orientación Espacial Conservación Espacial Figura-Fondo Analogías de Imágenes Abstracción Visual Integración Perceptual	Memoria Cognitiva Analogías Planeación Comprensión Solución de Problemas Procesos Aritméticos Toma de Decisiones Abstracción Síntesis Sensibilidad Gramatical Lectura Razonamiento Criterio Transformación

El programa está diseñado de tal forma que después de oprimir la tecla Enter aparece el reactivo, el investigador da la instrucción, según el manual, y en seguida el niño lee el reactivo, y después el investigador vuelve a dar Enter apareciendo una pantalla con las distintas opciones de respuesta; en seguida el niño manipula el ratón de la computadora y elige la respuesta que cree es la correcta, en caso de error o de que el niño cambiara de elección, podía cambiar su respuesta las veces que quisiera; una vez que seleccionaba la respuesta que deseaba, el investigador oprimía la tecla Enter para pasar a un nuevo reactivo (ver figura C).

Cuando terminaba el programa aparecía una pantalla agradeciendo la participación del niño; se le retiraban los electrodos y se limpiaba el cuero cabelludo del niño.

Se realizaron 5 registros por participante, en un horario matutino y vespertino, el cual fue asignado en forma aleatoria. Asimismo, la presentación de cada formato fue aleatoria y contrabalanceada.

Una vez realizada la captura de la señal, se limpió de artefactos (movimientos oculares o corporales), y se pasó por un filtro pasa altas y pasa bajas (en un rango de 4 a 30 Hz), después se realizó un análisis de Potencia Absoluta (PA), Potencia Relativa (PR), Correlación Interhemisférica (rTER) y Correlación Intrahemisférica (rTRA). Se realizó un análisis de varianza de un factor, para la PA, PR, correlación INTER e INTRA, para las bandas Delta, Theta 1 y 2, Alfa 1 y 2, Beta 1 y 2, así como Gamma, para cada uno de los formatos (Perceptual, Emocional, Cognitivo, tanto a nivel básico, como global), con la finalidad de conocer las bandas con significancia estadística por arriba de .05. Después, para conocer los grupos que marcaban las diferencias, se aplicó una prueba *t de student* para grupos relacionados, además de generar un Topograma que permite visualizar el patrón de actividad eléctrica cerebral.

Resultados del segundo estudio

Se aplicó un Análisis de Varianza de un factor a los valores obtenidos de la Potencia Absoluta, Potencia Relativa y Correlación Interhemisférica e Intrahemisférica de cada una de las 12 habilidades propuestas en el modelo para evaluar la percepción a nivel Básico, obteniendo resultados estadísticamente significativos al $p(F) < 0.01$ únicamente en la Potencia Relativa.

Como resultado de la aplicación del Análisis de Varianza se encontraron seis, de las 12 habilidades, con puntuaciones significativas. En la Tabla 675 se presentan los resultados de la banda Delta (PR), de la habilidad de Atención Perceptual, perteneciente a la prueba Perceptual con significancia estadística por arriba de .01. En la habilidad de Agrupamiento (Tabla 675), en la PR, la banda con significancia estadística $p(F) < 0.01$ es: Beta 2. Asimismo, en la Tabla 675 se aprecia que los valores de la habilidad de Simetría de la Forma, en la PR mostraron significancia estadística $p(F) < 0.01$ en la banda Beta 1. En la Tabla 675 se presenta los resultados de la habilidad de Memoria Perceptual, se aprecia que las bandas Delta, Alfa 1 y Beta 2, obtuvieron valores por arriba de .01 (Tabla 675). En lo que se refiere a la habilidad de Reconocimiento de la Información (Tabla 675), se aprecia que la banda Theta 2, presenta valores estadísticamente significativos $p(F) < 0.01$. Por último, en este formato de evaluación, se aprecia que los resultados significativos se dieron en la banda Delta (Tabla 675) de la habilidad de Descripción Perceptual.

Para conocer los grupos que marcaban las diferencias significativas en el Análisis de Varianza, se aplicó una prueba *t de student* para grupos relacionados. Los resultados de la prueba de Percepción, nivel Básico, de la habilidad de Atención Perceptual, para la Potencia Relativa, se presentan en la Tabla 7, observándose diferencias significativas $p(F) < 0.01$ en la derivación F7, la cual presenta un porcentaje de potencia mayor que la T4 en la banda Delta (ver Tabla 341 y Topograma 1).

En la Tabla 8 se presentan los resultados de la PR de la habilidad de Agrupamiento, que pertenece, dentro del modelo desarrollado a las habilidades perceptuales, nivel Básico, y que fueron significativos al $p(F) < 0.01$, obtenidos de la aplicación de la prueba *t de student* para grupos relacionados, y en la que se aprecia que en la banda Beta 2, la derivación T3 tiene mayor porcentaje de participación de la potencia, en comparación con las derivaciones P3 y CZ (ver Tabla 342 y Topograma 2).

La habilidad de Simetría de la Forma, obtuvo valores significativos al $p(F) < 0.01$, en la prueba *t de student* para grupos relacionados, aplicada a la PR, en la banda Beta 1 (ver Tabla 9), apreciándose que las derivaciones F3, F8 y C3, presentan un mayor porcentaje de activación que T3, y viceversa T3 muestra un mayor porcentaje de potencia que las derivaciones P4, O2 y CZ (ver Tabla 343 y Topograma 3).

Asimismo, los resultados de la prueba *t de student* para grupos relacionados que fueron estadísticamente significativos al $p(F) < 0.01$, en la PR, se presentaron en la habilidad de Memoria Perceptual, en las bandas Delta, Alfa 1 y Beta 2 (Tablas 11, 12 y 13), en las siguientes derivaciones: para la banda Delta se observa que O1 presentó un porcentaje de potencia menor en comparación con las derivaciones F4, C4 y P4; la derivación F8 mostró un mayor porcentaje de potencia en comparación con las derivaciones P3 y T5; además la derivación C4 también evidenció un porcentaje de activación mayor que T3, al igual que T3 en comparación con P4. En Alfa 1, la derivación F4 tiende a mostrar mayor porcentaje de potencia en comparación con las derivaciones T5 y CZ, al igual que la derivación F3, en comparación con las derivaciones T5, O1 y CZ; la derivación F8 también evidenció un mayor porcentaje de activación en comparación con las derivaciones T5 y CZ; y un patrón semejante de activación se encontró en T4 en comparación con las derivaciones T5, O1 y Cz. En la banda de Beta 2 los resultados indican que la derivación T3 presentó menor porcentaje de potencia en comparación con las derivaciones F8, C4 y P4 (ver Tabla 344, 345, 346 y Topogramas 4, 5 y 6).

Los resultados de la prueba *t die student* para grupos relacionados que fueron estadísticamente significativos al $p(F) < 0.01$, en la PR perteneciente a la habilidad de Reconocimiento de la Información, indican que en la banda Theta 2 (ver Tabla 13), la derivación O2 muestra un menor porcentaje de potencia en comparación con las derivaciones F4, F3, C3 y T5 (ver Tabla 347 y Topograma 7).

En lo que respecta a la habilidad de Descripción perceptual, los resultados estadísticamente significativos al $p(F) < 0.01$ de la *t die student* (Tabla 14) Indican que en la banda Delta la derivación O1 mostró un porcentaje de potencia menor que el de las derivaciones F8 y F7 (ver Tabla 348 y Topograma 8).

Se aplicó un Análisis de Varianza de un factor a los valores obtenidos de la Potencia Absoluta, Potencia Relativa y Correlación Interhemisférica e Intrahemisférica a cada una de las 11 habilidades propuestas en el modelo para evaluar habilidades emocionales a nivel Básico, obteniendo resultados estadísticamente significativos al $p(F) < 0.01$ únicamente en la Potencia Absoluta en las 11 habilidades.

En la Tablas 676 se pueden observar los resultados de la habilidad de Percepción Emocional, de la PA derivados del análisis de varianza de un factor, indicando que las bandas Delta, Theta 2, Alfa 1 y 2, Beta 1 y 2, así como la banda Gamma y Total obtuvieron valores estadísticamente significativos al $p(F) < 0.01$. La habilidad de Reconocimiento Emocional, en la PA, las bandas con significancia estadística $p(F) < 0.01$ son: Delta, Theta 1 y 2, Alfa 1 y 2, Gamma y la banda Total (Tabla 676). La habilidad de Diferenciación Emocional, en la PA se encontró que las bandas con significancia estadística al $p(F) < 0.01$ fueron, Delta, Theta 1 y 2, Alfa 1 y 2, Beta 1 y 2, Gamma y la banda Total (Tabla 676). En lo que respecta a la habilidad e Memoria Emocional, se encontraron valores estadísticamente significativos de la PA por arriba de .01 (Tabla 676), en las bandas Delta, Theta 1, Alfa 1 y 2, Beta 1 y 2, así como las bandas Gamma y Total. La Tabla 676, muestra los valores de la PA estadísticamente significativos por arriba de .01, de la habilidad de Relación Emocional, encontrados en las bandas Delta, Theta 1 y 2, Alfa 1 y 2, Beta 1 y 2, Gamma y Total. La habilidad de Empatía obtuvo resultados significativos al $p(F) < 0.01$ (Tabla 677) en la PA, en las bandas siguientes: Delta, Theta 1 y 2, Alfa 1 y 2, Beta 1 y 2, además de las bandas Gamma y Total. En lo referente a los resultados de la habilidad Flexibilidad en el Sentimiento, en la PA, los valores estadísticamente significativos por arriba de .01 (Tabla 677), se encontraron en las bandas: Delta, Theta 1 y 2, Alfa 1 y 2, Beta 1 y 2, y las bandas Gamma y Total. Los resultados de la PA,

pertenecientes a la habilidad de Tolerancia (Tabla 677), indican que las bandas Delta, Theta 1 y 2, Alfa 1 y 2, Gamma y Total, obtuvieron valores estadísticamente significativos al $p(F) < 0.01$. Los valores de la PA, de la habilidad de Recuperación del Estado Emocional (Tabla 678), que fueron estadísticamente significativos al $p(F) < 0.01$, en la banda Delta, bandas Theta 1 y 2; Alfa 2 y Beta 2; y las bandas Gamma y Total. La habilidad de Concepto Social obtuvo valores estadísticamente significativos al $p(F) < 0.01$ (Tabla 678), en la PA, en la banda Delta, Theta 1 y 2; Alfa 1 y 2, Beta 1 y 2; Gamma y Total. Los resultados de la PA de la habilidad de Percepción Afectiva Social, que obtuvieron valores estadísticamente significativos al $p(F) < 0.01$, se pueden apreciar en la Tabla 678, los de la banda Delta, Theta 1 y 2, Alfa 1 y 2, Beta 1, Gamma y Total.

Para conocer los grupos que marcaban las diferencias significativas en el Análisis de Varianza, se aplicó una prueba *t de student* para grupos relacionados. Los resultados estadísticamente significativos al $p(F) < 0.01$ en la prueba que evalúa habilidades Emocionales a nivel Básico, se encontró que la habilidad de Percepción Emocional, en la banda Delta (Tabla 15), la derivación F4 tiene una mayor potencia absoluta que T5, la derivación F3, también obtuvo mayor PA en comparación con las derivaciones T5 y O1; C4 también muestra una tendencia a presentar mayor PA que las derivaciones T3, T5 y O1; lo mismo se encontró en la derivación C3 en comparación con T5; las derivación T4, tiene una mayor potencia absoluta que las derivaciones P4 y P3; de igual manera, la derivación T3, en comparación con P4 y P3; la derivación P4 evidencio una mayor potencia, que la derivación T5; también P3 tiene una mayor activación de la potencia absoluta, que T5 y O1; por último en la derivación T5, se encontró una mayor PA, que en CZ (ver Tabla 349 y Topograma 9). En lo que respecta a la banda Theta 2 (Tabla 16), se encontraron diferencias estadísticamente significativas al $p(F) < 0.01$, en las siguientes derivaciones: T4 con mayor potencia absoluta en comparación con T3 y T5; F3 mostró mayor PA en comparación con T5; F7 presenta una mayor activación de la PA en relación a C4, P4 y P3; C4 también muestra una tendencia hacia el incremento de la PA a diferencia de T3, T5, O1; en C3 se aprecia una mayor PA en comparación con T3, T5, O1; en la derivación T3 se aprecia que la PA obtuvo puntajes por arriba de P4 y P3. La derivación P4 evidenció valores de PA por arriba de los que obtuvo la derivación T5. Asimismo, la derivación P3 presenta puntajes estadísticamente significativos al $p(F) < 0.01$ por arriba de T5 y O1. En el caso de T5, se observó una mayor PA que CZ. Por último se aprecia que la derivación O1 obtuvo mayor PA que CZ (ver Tabla 350 y Topograma 10). En la banda Alfa 1 (Tabla 17) se encontró que la derivación F8 obtuvo puntajes de PA estadísticamente significativos

por de $p(F) < 0.01$, en comparación con CZ; de igual manera, en la derivación F7 se encontraron valores significativos en la PA por arriba de C4, C3, P4, P3 y CZ; se puede apreciar una tendencia similar en la derivación C4, con mayor PA que T5. En la derivación C3 se aprecia que la PA es mayor que en las derivaciones T3 y T5; por otro lado, la derivación T3 obtuvo valores estadísticamente significativos, al $p(F) < 0.01$, por arriba de P4, P3 y CZ. En cambio, T5 presentó puntuaciones menores de la PA que P4 y P3, pero mayores que CZ (ver Tabla 351 y Topogramas 11). En lo que respecta a la banda Alfa 2 (Tabla 18) se encontró que en la PA la derivación F4, obtuvo valores estadísticamente significativos, al $p(F) < 0.01$, mayores que las derivaciones F8 y F7. De igual manera, la derivación F3, mostró puntajes por arriba (al $p(F) < 0.01$) de F8 y F7. En cambio, la derivación F8, presentó valores de PA estadísticamente significativos, al $p(F) < 0.01$, en comparación con las derivaciones C3, C4, P4, P3 y CZ. Los resultados en la derivación F7, indican que los valores de PA, fueron mayores que los encontrados en las derivaciones C4, C3, P4, P3, O2 y CZ. Un resultado semejante se puede observar en la derivación C3, estadísticamente mayor que en la derivación T5. En la derivación T3, mostró que tenía puntajes estadísticamente significativos, al $p(F) < 0.01$, por arriba de P3 y CZ. En la derivación P4 se encontró que sus valores de PA fueron estadísticamente mayores (al $p(F) < 0.01$), que T5 y O2. Lo mismo sucede con la derivación P3, que presentó puntajes por arriba de O2. Sin embargo, en la derivación CZ se encontró que sus valores estaban por debajo de las derivaciones T5 y O2 (ver Tabla 352 y Topograma 12). La Tabla 19 muestra los resultados de la banda Beta 1 de la Potencia Absoluta, en el que la derivación F8 obtuvo valores estadísticamente significativos, (al $p(F) < 0.01$), menores en comparación de F4 y F3, sin embargo, F8 obtuvo puntuaciones por arriba de P4, P3 y CZ (ver Tabla 353 y Topograma 13). La derivación F4, de la banda Beta 2 (Tabla 20) obtuvo puntajes estadísticamente significativos (al $p(F) < 0.01$) en PA, por arriba de los observados en la derivación T5 (ver Tabla 354 y Topograma 14). Por otro lado, en la banda Gamma (Tabla 21) de la PA se encontró que la derivación F4 obtuvo valores estadísticamente significativos, al $p(F) < 0.01$, por arriba de las derivaciones F8 y F7 (ver Tabla 355 y Topograma 15). Además se aprecia que los resultados de la PA, en la banda Total (Tabla 22), se aprecia que la derivación T5 evidenció puntuaciones estadísticamente significativas por debajo de las derivaciones F4, F3, C4, C3 y P3; un patrón contrario se puede observar en la derivación F8, cuyos valores de PA se encuentran por arriba de P4 y P3. En la derivación P4 se observa un valor estadísticamente mayor de la PA, en comparación con las derivaciones T6, T5, O2

y O1. Por último, la derivación T5 obtuvo puntajes de la PA, por arriba de lo esperado en comparación con CZ (ver Tabla 356 y Topograma 16).

Los resultados del análisis de varianza aplicado a la habilidad de Reconocimiento Emocional (Tabla 23) indican que las diferencias con significancia estadística al $p(F) < 0.01$, en la Potencia Absoluta pueden apreciarse en las derivaciones F4, con mayor PA que T3, T6, T5 y O1; la misma tendencia se puede observar en la derivación F3, en la que se detecta mayor PA, en comparación con las derivaciones T4, T3, T6, O2 y O1; en el caso de la derivación C4, también obtuvo valores estadísticamente significativos, al $p(F) < 0.01$, por arriba de los observados en las derivaciones T4, T3, T6, T5 y O1. La derivación C3 también obtuvo puntajes por arriba de las derivaciones T5 y O1; el mismo perfil de resultados se aprecia en la derivación T4 en comparación con P4 y T5. Los resultados de la PA en la derivación T3, se aprecian valores de PA estadísticamente significativos al $p(F) < 0.01$, por arriba de P4 y CZ; de igual manera la derivación P4, también obtuvo puntajes en la Potencia Absoluta por arriba de la observada en T6 y O1. Un resultado semejante fue obtenido para la derivación P3, en comparación con T5 y O1. Por último, el análisis estadístico mostró como resultados de la PA significativos al $p(F) < 0.01$, en la derivación CZ, por debajo de las derivaciones T6, T5 y O1 (ver Tabla 357 y Topograma 17). En la banda Theta 1 (Tabla 24) se obtuvo como resultados significativos al $p(F) < 0.01$, la derivación T5, con valores por debajo de F3 y P4; la misma tendencia se observa en la derivación de O1, en donde se aprecia que sus valores están por debajo de las derivaciones F3, C4 y P4; de igual manera los puntajes de CZ se encuentran por debajo de los detectados en las derivaciones T5 y O1 (ver Tabla 358 y Topograma 18). Los resultados de la banda Theta 2 (Tabla 25) indican que la banda T6 obtuvo valores estadísticamente significativos, al $p(F) < 0.01$, por debajo de los observados en las derivaciones F3 y P4; un perfil semejante se obtuvo en la derivación T5, con puntuaciones por debajo de F3, C4 y P3. Por último, en la derivación CZ mostró valores significativos por debajo de los apreciados en las derivaciones T3, T6, T5 y O1 (ver Tabla 359 y Topograma 19). En lo que se refiere a los resultados de la banda Alfa 1 (Tabla 26) indican que los puntajes en la PA fueron menores en la derivación T5, en comparación con los detectados en las derivaciones F4, F3, C4, C3, P4 y P3, con significancia estadística al $p(F) < 0.01$. Valores semejantes se aprecian en la derivación CZ, los cuales son anteriores a los encontrados en T3, T6 y T5. Por último los valores con significancia estadística se pueden distinguir en la derivación F3, que está por arriba de las derivaciones T3 y T6 (ver Tabla 360 y Topograma 20). Las puntuaciones en de la PA en la banda Alfa 2 (Tabla 27), con significancia

estadística al $p(F) < 0.01$, se encuentran en la derivación F3, los cuales son mayores a los observados en T3 y O2; en C4, se aprecian valores semejantes por arriba de T5 y O2; C3 también obtuvo puntajes estadísticamente significativos, al $p(F) < 0.01$, por arriba de T3, T5 y O2. Los resultados en la derivación T3, están también por arriba de las derivaciones P3 y CZ; en la derivación P4, los resultados de la PA, se encuentran por arriba de T5, y en P3, sus valores de Potencia Absoluta con significancia estadística, por arriba de T6, T5 y O2. Al contrario de los resultados anteriores, la derivación CZ obtuvo valores significativos por debajo de las derivaciones T6, T5 y O2 (ver Tabla 361 y Topograma 21). La banda Gamma (Tabla 28), obtuvo valores de PA estadísticamente significativos al $p(F) < 0.01$, en la derivación C3, por arriba de T4 y T3, y viceversa en la derivación CZ, la cual obtuvo valores por debajo de T3 y T4 (ver Tabla 362 y Topograma 22). Los resultados de la banda Total (Tabla 29), obtenidos del análisis de la Potencia Absoluta, indican que la derivación F4 presentó mayor potencia que T5; en la derivación F3, se encontraron valores estadísticamente significativos, al $p(F) < 0.01$, por arriba de los observados en T6, T5 y O1; un resultado semejante se aprecia en la derivación C4, en comparación de los valores anteriores observados en las derivaciones T6, T5 y O1; C3, también presentó valores significativos por arriba de T5; lo mismo sucedió con la derivación P4, la cual obtuvo puntajes estadísticamente significativos, al $p(F) < 0.01$, por arriba de T6, T5 y O1; en P3 se distingue también puntajes por arriba de T5. En lo que respecta a CZ, sus valores se encuentran por debajo de los observados en las derivaciones T6, T5 y O1 (ver Tabla 363 y Topograma 23).

Los resultados estadísticamente significativos derivados del análisis de varianza (Tabla 30), aplicado a la habilidad de Diferenciación Emocional, indican que en la Potencia Absoluta se puede apreciar que la derivación F4, tiene mayor puntaje, en comparación con las derivaciones T3, T6 y O1. La derivación F3, también obtuvo valores estadísticamente significativos por arriba de T3, T6, T5 y O1. Asimismo, en C4 se aprecia que sus puntuaciones están por arriba de las encontradas en T3, T6, T5 y O1; en C3 se observa que los valores de la PA están por arriba de T4, T3, T6, T5 y O1; también se encontraron puntajes en T4 que están significativamente por arriba de las derivaciones P4, P3, T5 y CZ; en T3, también se distingue que los valores de PA están por arriba de los encontrados en P4, P3 y CZ; en P4, el análisis arroja como resultados que las derivaciones T6, T5 y O1 por debajo; y en P3 las puntuaciones de la PA están por arriba de T5, O1 y CZ; a diferencia de CZ, que sus valores son significativamente ubicados por debajo de P3, T6, T5 y O1 (ver Tabla 364 y Topograma 24). El resultado observado en Theta 1 (Tabla 31) que la derivación T5 tiene

puntajes estadísticamente significativos, al $p(F) < 0.01$, anteriores a los observados en las derivaciones F4, F3, C4, C3, P4 y P3. De igual manera, los valores de O1, están significativamente por debajo de los obtenidos en las derivaciones F3, C4, C3, P4 y P3. Un resultado semejante se aprecia en la derivación CZ, en la cual se encontró que sus valores están por debajo de T5 y O1 (Tabla 365 y Topograma 25). La banda Theta 2 (Tabla 32), de la Potencia Absoluta muestra que la derivación F4 presentó valores significativos, al $p(F) < 0.01$, por arriba de T5; en el caso de F3, sus resultados son semejantes, pues sus puntajes son mayores, con respecto a los encontrados en T3, T5 y O1; la derivación C4 presentó puntuaciones significativas por arriba de las detectadas en T3, T5 y O1; C3 también obtuvo valores por arriba de T5. En el caso de T3, los resultados muestran que la PA es más alta que la apreciada en las derivaciones P4, P3 y CZ. Las puntuaciones en P4, se encuentran por arriba de las detectadas en las derivaciones T6, T5 y O1; este patrón se conserva en la derivación P3, pues se encuentra por arriba de los descritos en T5 y O1. Los valores que se aprecian en la derivación CZ, muestran que están por debajo de T6, T5 y O1 (ver Tabla 366 y Topograma 26). Los resultados estadísticamente significativos, al $p(F) < 0.01$, de la Potencia Absoluta, banda Alfa 1 (Tabla 33), indican que en la derivación T5, obtuvo valores significativos por debajo de los observados en las derivaciones F4, F3, C4, C3, P4 y P3; en la derivación C3, los resultados muestra que los puntajes de PA está por arriba de T6; y los valores de O2, están por debajo de C3 y P3; así como los de O1 son anteriores a los reportados en T5 y O2 (ver Tabla 367 y Topograma 27). En lo que respecta a Alfa 2 (Tabla 34), los valores de la PA que resultaron estadísticamente significativos, al $p(F) < 0.01$, se pueden observar en la derivación T5, que presentó una potencia anterior al de las derivaciones F4, F3, C4, C3, P4 y P3; de igual manera los valores de PA en CZ, son estadísticamente anteriores a los de T3 y T5 (ver Tabla 368 y Topograma 28). También se observa resultados significativos, al $p(F) < 0.01$, en la banda Beta 1 (Tabla 35), en el que el análisis de la PA mostró que la derivación CZ tiene valores anteriores a los de F4, F3 y C3 (ver Tabla 369 y Topograma 29). En la banda Beta 2 (Tabla 36) se puede apreciar que los valores estadísticamente significativos los marca la derivación F4, la cual se encuentra por arriba de T5 (ver Tabla 370 y Topograma 30). La banda Gamma (Tabla 37) también presentó una PA mayor en la derivación F3, en comparación con CZ (ver Tabla 371 y Topograma 31). En lo que respecta a la banda Total (Tabla 38), los resultados indican que la derivación T5, obtuvo valores estadísticamente significativos, al $p(F) < 0.01$, por debajo del observado en las derivaciones F4, F3, C4, C3, P4 y P3; una tendencia semejante se aprecia en la derivación CZ, cuyas puntuaciones están por debajo de T6,

T5, O2 y O1. La derivación C3 evidenció puntajes de PA por arriba de T6 y O1; de igual manera T5 muestra una tendencia de PA por arriba de O2 (ver Tabla 372 y Topograma 32).

Los resultados del análisis de varianza aplicado a la habilidad de Memoria Emocional, arrojaron puntajes estadísticamente significativos, al $p(F) < 0.01$, en la banda Delta (Tabla 39) la derivación F4, con valores por arriba de T6, T5 y O1; una tendencia semejante se aprecia en F3, cuyos puntajes se encuentran por arriba de O1; de igual manera en C4 se observan valores estadísticamente significativos por arriba de las derivaciones T6, T5, O2 y O1; en la derivación C3, sus puntuaciones se encuentran por arriba de T6, T5 y O1; la derivación T4, tiende a presentar valores de PA por arriba de T5; asimismo, la derivación P4 tiende a presentar puntajes estadísticamente significativos por arriba de los observados en T6, O2 y O1; una tendencia semejante es apreciada en la derivación P3, cuyos valores de PA se encuentran por arriba de T6, T5 y O1. A diferencia de las tendencias antes descritas, en la derivación CZ se aprecia que sus valores indican que se encuentran por debajo de las derivaciones T6, T5 y O1 (ver Tabla 373 y Topograma 33). En la banda Theta 1 (Tabla 40), los puntajes indican que la derivación T5 obtuvo resultados estadísticamente significativos, al $p(F) < 0.01$, por debajo de F4, F3, C4, C3, P4 y P3; de igual manera la derivación CZ, evidenció un decremento en la PA en comparación con la encontrada en F7, T3, T6 y T5 (ver Tabla 374 y Topograma 34). Los resultados en la banda Alfa 1 (Tabla 41) muestran que la derivación C3, presentó valores de PA estadísticamente significativos, al $p(F) < 0.01$, por arriba de los observados en T3 y T5 (ver Tabla 375 y Topograma 35). La banda Alfa 2 (Tabla 42), obtuvo como resultados de PA estadísticamente significativos, al $p(F) < 0.01$, los puntajes en la derivación T5, los cuales son anteriores a los observados en F4, F3, C4, C3, P4 y P3; una tendencia semejante se aprecia en la derivación CZ, cuyos valores son anteriores a los de T3 y T5. En lo que respecta a la derivación C3, también mostró resultados por arriba de los observados en T3, y esta a su vez presentó un incremento en los puntajes de PA, en comparación con las derivaciones P4 y P3 (ver Tabla 376 y Topograma 36). En lo referente a la banda Beta 1 (Tabla 43), los resultados indican que al derivación T5 presentó valores estadísticamente significativos, al $p(F) < 0.01$, por debajo de los observados en las derivaciones F4, F3, C4, C3, P4 y P3; una tendencia semejante se aprecia en la derivación CZ, cuyos valores se encuentran por debajo de C4 y T5 (ver Tabla 377 y Topograma 37). En las derivaciones P3 y C3 (Tabla 44) se encontraron valores estadísticamente significativos, al $p(F) < 0.01$, en la banda Beta 2, por arriba de T5 (ver Tabla 378 y Topograma 38). Los resultados encontrados en la derivación F3, en la banda de Gamma (Tabla 45),

indican que sus valores están por arriba de los observados en las derivaciones C4 y CZ; una tendencia semejante se aprecia en la derivación C4, con puntajes por arriba de P3 y CZ (ver Tabla 379 y Topograma 39). La banda Total (Tabla 46) mostró valores con significancia estadística, al $p(F) < 0.01$, en la derivación T5, cuyos puntajes se encuentran por debajo de los detectados en F4, F3, C4, C3, P4 y P3; la misma tendencia en los resultados se aprecia en la derivación CZ, en comparación con T6, T5 y O1; de igual manera los valores de O1 se encuentran por debajo de los observados en C4 y P4 (ver Tabla 380 y Topograma 40).

Los resultados del análisis de varianza aplicado a la habilidad de Relación Emocional, mostró valores con significancia estadística al $p(F) < 0.01$, en la banda de Delta (Tabla 47) Potencia Absoluta la derivación T5, cuyos puntajes se encuentran por debajo de los hallados en F4, F3, C4, C3, T4 y P3; los valores de O1, también están estadísticamente por debajo de F4, F3, C4, C3, P4 y P3; de igual manera la derivación T4, presenta resultados de PA anteriores a F3 y C4; también en CZ se aprecia una tendencia a que decremente la PA, en comparación con T4, T6, T5 y O1. Resultados contrarios se aprecian en los valores de F3, los cuales se encuentran por arriba de T6; y en T4 por arriba de P4 y P3 (ver Tabla 381 y Topograma 41). En la banda Theta 1 (Tabla 48), en los resultados de la PA se encontró que la derivación T6 evidenció puntajes con significancia estadística al $p(F) < 0.01$, por debajo de los observados en F4, F3, C4, C3 y P4; al igual que los valores de T5, los cuales presentan un decremento en comparación de los encontrados en F4, F3, C4, C3 y P4; una tendencia semejante se aprecia en los valores de PA en O1, los cuales son anteriores a los de F4, F3, C4, C3 y P4; asimismo, las puntuaciones en CZ tienden a decrementarse en comparación con las encontradas en las derivaciones T6, T5 y O1 (ver Tabla 382 y Topograma 42). Los resultados en la banda Theta 2 (Tabla 49) indican que los valores de la PA con significancia estadística al $p(F) < 0.01$ se pueden observar en la derivación T5, los cuales tienden a decrementarse en comparación con los observados en F4, F3, C4, C3, P4 y P3; en T3 se aprecia una tendencia semejante con valores anteriores a F3 y C4; de igual manera las puntuaciones en PA en la derivación O1 están por debajo de las encontradas en C4, P4 y P3; también CZ obtuvo puntajes por debajo de las derivaciones T3 y T5. Una tendencia inversa se puede apreciar en la derivación T3, la cual presentó valores estadísticamente significativos por arriba de P4 y P3 (ver Tabla 383 y Topograma 43). En la banda Alfa 1 (Tabla 50), los resultados indican que en la PA, con significancia estadística al $p(F) < 0.01$, la derivación T5, presenta puntajes por debajo de los observados en las derivaciones C4 y C3; y a la inversa en los que respecta a CZ, cuyos valores están por debajo de T5 (ver Tabla 384 y Topograma

44). Los resultados de la PA en la banda de Alfa 2 (Tabla 51) estadísticamente significativos, al $p(F) < 0.01$, indican que la derivación T5 presenta valores por debajo de los observados en las derivaciones F3, C4, C3, T3 y P3; una tendencia inversa se aprecia en O2, cuyas puntuaciones están por debajo de T5 (ver Tabla 385 y Topograma 45). En la banda Beta 1 (Tabla 52) PA, los resultados muestran que la derivación T5 tiende a presentar puntajes con significancia estadística al $p(F) < 0.01$, anteriores a los que se presentan en las derivaciones F3, T3, P4 y P3; una tendencia contraria se distingue en CZ, pues sus puntajes se encuentran por debajo de T5 (ver Tabla 386 y Topograma 46). Los resultados en la banda Beta 2 (Tabla 53) muestran que la derivación T3 obtuvo valores estadísticamente significativos, al $p(F) < 0.01$, por debajo de las derivaciones C4 y C3. Y puntajes de T3 por arriba de P4, P3, T5 y CZ (ver Tabla 387 y Topograma 47). Las puntuaciones con significancia estadística al $p(F) < 0.01$ de la Potencia Absoluta, de la banda Gamma (Tabla 54) indican que la derivación F3 evidenció valores por arriba de los observados en C4 y T3; en C3 por arriba de T3, y en T3 por arriba de P3 (ver Tabla 388 y Topograma 48). Los resultados estadísticamente significativos de la PA, encontrados de la banda Total (Tabla 55) indican que la derivación T5 presenta puntajes por debajo de los detectados en F4, F3, C4, C3, T3, P4 y P3; en la derivación O1, los valores de PA se encuentran por debajo de F3, C4, P4 y P3; de igual manera, se aprecia que en la derivación CZ se observaron puntajes por debajo de los observados en T3, T6, T5, O2 y O1. En cambio la derivación P4 mostró puntajes por arriba de O2 (ver Tabla 389 y Topograma 49).

Los resultados de la prueba t con significancia estadística al $p(F) < 0.01$, de la habilidad de Empatía (Tabla 56), en la banda Delta, arrojaron que la derivación T3 presenta puntajes por debajo de los observados en F4, F3, C4, C3; asimismo, la T6 evidenció que sus valores se encuentran por debajo de los de las derivaciones F4, F3, C4, C3, P4 y P3; la derivación O1 también mostro puntuaciones por debajo de las detectadas en F4, F3, C4, C3, P4 y P3; una tendencia semejante se aprecia en CZ, con valores por debajo de las derivaciones T3, T6, T5, O2 y O1. La derivación T3 evidenció puntajes de la PA por arriba de P4 y P3 (ver Tabla 390 y Topograma 50). En la banda Theta 1 (Tabla 57) los resultados con significancia estadística, al $p(F) < 0.01$, se pueden apreciar en la derivación T5, la cual obtuvo puntajes por debajo de los reportados en F4, F3, C4, C3, P4 y P3; de igual manera se distingue que los puntajes en CZ están por debajo de F7, T3, T6 y T5 (ver Tabla 391 y Topograma 51). Los resultados de la PA de la banda Theta 2 (Tabla 58) con significancia estadística al $p(F) < 0.01$, se aprecian en la derivación F7, la cual obtuvo valores por arriba de los

observados en P3 y CZ; en T3, cuya tendencia indica que sus puntajes se encuentran por arriba de P3; y en P3, con puntuaciones por arriba de O1, al igual que en T5, cuyos puntajes están por arriba de CZ. En la derivación T5 se distingue que los resultados muestran que sus valores se encuentran por debajo de los detectados en C3, P4 y P3 (ver Tabla 392 y Topograma 52). La banda Alfa 1, de la PA (Tabla 59) muestra que la derivación F3 presenta mayores valores de potencia que F7; con una tendencia semejante se observa la derivación F7, cuyos puntajes se encuentran por arriba de C4, C3, P4, P3 y CZ; en T3, también se aprecia resultados con significancia estadística, al $p(F) < 0.01$, por arriba de P3; al igual que en T5 con respecto a CZ. En lo que se refiere a T5, sus valores muestra que se encuentra por debajo de C4, C3 y P3 (ver Tabla 393 y Topograma 53). Los resultados del análisis aplicado a la banda Alfa 2 (Tabla 60), muestran que la derivación F4 presenta valores por arriba de los observados en F7; y a su vez la derivación F7 obtuvo valores con significancia estadística al $p(F) < 0.01$, por arriba de C4, C3, P4 y P3; la derivación T5 evidencio puntajes por debajo de F4, C4, C3, T3, P4 y P3, de igual forma sucede con la derivación CZ, cuyos resultados indican puntajes por debajo de F7, T3, T5 y O2; C3 obtuvo puntuaciones por arriba de T3, T6 y O2, la misma tendencia se observa en la derivación T3 en relación a P3 (ver Tabla 394 y Topograma 54). En la Potencia Absoluta, la banda Beta 1 (Tabla 61), obtuvo resultados con significancia estadística, al $p(F) < 0.01$, en la derivación F3, la cual presenta puntajes por arriba de F7; una tendencia inversa se puede apreciar en la derivación F7, que presenta un incremento de la PA por arriba de las derivaciones C3, T4 y T3; la derivación T5 mostró valores por debajo de las derivaciones T4 y T3 (ver Tabla 395 y Topograma 55). Los resultados que se obtuvieron del análisis de la PA en la banda Beta 2 (Tabla 62), indican que la derivación F7 obtuvo valores con significancia estadística al $p(F) < 0.01$, por arriba del observado en las derivaciones T4 y T3; por otro lado T4 mostró puntajes por debajo de las derivaciones C4 y C3, pero a la inversa, T4 incrementa sus valores por arriba de los encontrados en P4, P3, T6, T5 y CZ. Y en la derivación T3 sus puntuaciones también se encuentran por arriba de T5 (ver Tabla 396 y Topograma 56). El análisis estadístico evidenció que la PA, en la banda Gamma (Tabla 63) las derivaciones con puntajes con significancia estadística al $p(F) < 0.01$, se presentó en la derivación F3, con valores por arriba de CZ, en cambio la derivación T4 evidenció puntuaciones por debajo de las derivaciones F7, C4 y C3; la derivación T3 mostró una tendencia semejantes, con puntajes por debajo de F7, C4 y C3; una tendencia inversa se aprecia en la derivación T3, la cual muestra valores por arriba de T6 y T5 (ver Tabla 397 y Topograma 57). En la banda Total (Tabla 64), de la PA, se aprecia que la

derivación T6 mostró puntajes con significancia estadística al $p(F) < 0.01$, por debajo de los encontrados en F4, C4, C3, P4 y P3; lo mismo se observó en la derivación T5, cuyas puntuaciones están por debajo de encontradas en las derivaciones F4, F3, C4, C3, T3, P4 y P3; la derivación F7 presentó valores estadísticamente significativos por arriba de C4, C3, P4 y P3; se aprecia una tendencia semejante en la derivación CZ, con valores por debajo de los detectados en F7, T6 y T5 (ver Tabla 398 y Topograma 58).

El análisis estadístico evidenció que la PA, de la habilidad de Flexibilidad en el Sentimiento, la banda Delta (Tabla 65), mostró puntajes de T3 por debajo de F4 y C3, lo mismo se observa en la derivación T6, sus valores son anteriores a los encontrados en F4, F3, C4, C3, T6 y P3; de igual manera los puntajes de la derivación T5 están por debajo de F4, F3, C4, C3 y P3; en la derivación O1 se distingue una tendencia a mostrar valores estadísticamente significativos por debajo de las derivaciones F4, F3, C4, C3, P4 y P3; de igual forma, en la derivación CZ se encontraron valores con significancia estadística al $p(F) < 0.01$, que indican que la PA estaba por debajo T3, T6, T5 y O1. En lo que respecta a la derivación T3, los resultados indican que sus valores están por arriba de P4 y P3 (ver Tabla 399 y Topograma 59). En la banda Theta 1 (Tabla 66) de a PA, evidenció que la derivación T5, obtuvo puntajes con significancia estadística al $p(F) < 0.01$, por debajo de F4, F3, C4, C3, P4 y P3; una puntuación semejante se encontró en la derivación T6, cuyos valores están por debajo de F3, C4, P4 y P3; un resultado semejante se aprecia en CZ, en la que sus valores están por debajo de T3, T6, T5 y O1 (ver Tabla 400 y Topograma 60). Los resultados de la PA en Theta 2 (Tabla 67) indican que la derivación T3 obtuvo valores con significancia estadística $p(F) < 0.01$, por debajo de los encontrados en F4, F3 y C4. Asimismo, la derivación T6 mostró una tendencia semejante, con puntajes anteriores a los de F4, F3, C4, P4 y P3; la derivación T5 obtuvo valores estadísticamente significativos, $p(F) < 0.01$, por debajo de los observados en F4, F3, C4, C3, P4 y P3; en la derivación O1 también se distingue que los puntajes son anteriores a los de P4 y P3; también CZ muestra una tendencia semejante, con puntuaciones por debajo de T3, T6 y T5. En T3 se distingue un patrón en la PA diferente a los anteriores, pues sus valores están por arriba de los detectados en las derivaciones P4 y P3 (ver Tabla 401 y Topograma 61). En la banda Alfa 1 (Tabla 68), obtenida del análisis estadístico de la PA, los resultados con significancia estadística $p(F) < 0.01$, se presentan en la derivación T5, con valores por debajo de los obtenidos por F4, F3, C4, C3, P4 y P3; el mismo patrón de activación se aprecia en T6, con puntuaciones anteriores a las de C3 y P3; en CZ se distingue una condición semejante, pues sus puntaje están por debajo de los encontrados en

T3, T6 y T5. A diferencia de las derivaciones anteriores, en C3, se aprecia que sus valores se encuentran por arriba de T3, y los de ésta son posteriores a los de las derivaciones P4 y P3 (ver Tabla 402 y Topograma 62). Los resultados en la banda de Alfa 2 (Tabla 69) de la PA, indican que la derivación T5 obtuvo puntajes con significancia estadística $p(F) < 0.01$, por debajo de los observados en las derivaciones F4, F3, C4, C3, T4, T3, P4 y P3; una tendencia de activación similar se distingue en la derivación T3, cuyas puntuaciones se encuentran por debajo de F3, C4 y C3. A diferencia de las tendencias anteriores, en T3 se aprecia que sus valores están por arriba de P4, P3 y CZ; un patrón semejante se distingue en T5 contra O2 (ver Tabla 403 y Topograma 63). Los resultados de la PA en la banda Beta 1 (Tabla 70) muestran que la derivación T5, obtuvo puntuaciones estadísticamente significativas, $p(F) < 0.01$, por debajo de las encontradas en las derivaciones F4, F3, C3, T4, P4 y P3; un resultados semejante se aprecia en la derivación CZ, con valores de PA anteriores a los de C4 y T5. En lo que respecta a la derivación C4, el patrón de potencia es a la inversa, obteniendo valores posteriores a los identificados en P3 (ver Tabla 404 y Topograma 64). La banda Beta 2 (Tabla 71), obtenida del análisis de la Potencia Absoluta, los resultados significativos, $p(F) < 0.01$, se aprecian en la derivación T5, con valores anteriores a los encontrados en las derivaciones F4, F3, T4, T3, P4 y P3; resultados contrarios se aprecian en la derivación T5, con respecto a CZ, pues en este caso la activación de T5 está por arriba de CZ (ver Tabla 405 y Topograma 65). En Gamma (Tabla 72), los resultados indican que la derivación C3, obtuvo puntuaciones de PA estadísticamente significativas, $p(F) < 0.01$, por debajo de las encontradas en F4 y F3; no así en la derivación C4, cuyos valores están por arriba de T4; y en el caso de ésta última, sus puntajes están por arriba de P4 y T5 (ver Tabla 406 y Topograma 66). Los resultados de la Potencia Absoluta, indican que en la banda Total (Tabla 73), la derivación con significancia estadística, $p(F) < 0.01$, fue T6, con valores anteriores a los encontrados en F4, F3, C4, C3, P4 y P3; los resultados en la derivación T5, muestran una tendencia de PA semejante, cuyos puntajes son menores que los observados en las derivaciones F4, F3, C4, C3, T4 y T3; CZ muestra un comportamiento semejante, con puntuaciones por debajo de T3, T6, O2 y O1; en la derivación O1 se observa un patrón de activación de PA similar, cuyo valores está por debajo de P4 y P3. La derivación T5 evidenció puntajes significativos por arriba de O2 (ver Tabla 407 y Topograma 67).

Los resultados del análisis de t muestran que la Potencia Absoluta, de la habilidad de Tolerancia, mostró como con significancia estadística, $p(F) < 0.01$, en la banda de Delta (Tabla 74), la derivación T5, con valores por debajo de los observados en F4, F3, C4, C3, P4 y P3; en O1 se

alcanza a distinguir un puntaje semejante, cuyos valores son anteriores a los que arrojaron las derivaciones F4, F3, C4, C3, P4 y P3; en la derivación T6, también se observa una tendencia de activación parecida a la antes descrita, en este caso se aprecia que sus valores están por debajo de F3, C4, C3, P4 y P3; un patrón parecido se aprecia en P4, cuyos valores se encuentran por debajo de T4 y T3; CZ también obtuvo puntajes anteriores a los observados en T4, T3, T6, T5, O1 y O2; también O1 presentó valores anteriores a los de las derivaciones P4 y P3. En la derivación P4 se distingue un patrón contrario al reportado, cuya actividad está por arriba de O2 (ver Tabla 408 y Topograma 68). La banda Theta 1 (Tabla 75), obtenida del análisis de PA, indica que la derivación T5 obtuvo valores estadísticamente significativos, $p(F) < 0.01$, por debajo de las derivaciones F3, C3 y P4; pero no así P4, pues sus puntajes se encuentran por arriba de T6, y los de T5 por arriba de los de CZ (ver Tabla 409 y Topograma 69). En la banda Theta 2 (Tabla 76), los resultados muestran que la derivación T5 presenta una tendencia a decrementar sus valores de PA por debajo de las derivaciones F3, C4, C3, P4 y P3; además de que T5 obtuvo puntajes por arriba de los observados en CZ (ver Tabla 410 y Topograma 70). Los resultados de la PA en la banda de Alfa 1 (Tabla 77) indican que la derivación T3 obtuvo puntajes por debajo de los observados en C4 y C3; un patrón similar se aprecia en la derivación T5, cuyas puntuaciones son anteriores a las de C4, C3 y P3. La derivación T5 obtuvo puntajes por arriba de los detectados en CZ (ver Tabla 411 y Topograma 71). Alfa 2 (Tabla 78), de la PA, muestra que la derivación con valores cuya significancia estadística está al $p(F) < 0.01$, es T5, cuyos resultados indican que sus puntajes son anteriores a los encontrados en F4, F3, C4, C3, T3, P4 y P3, pero por arriba de O2 y CZ (ver Tabla 412 y Topograma 72). Los resultados de la banda Gamma (Tabla 79) muestran que la derivación CZ obtuvo valores con significancia estadística al $p(F) < 0.01$ anteriores a los observados en F4 y F3; en la derivación F3, se distingue un patrón distinto, pues sus puntajes están por arriba de los detectados en C4; y los de C4 están por arriba de los encontrados en T3 (ver Tabla 413 y Topograma 73). Por último, los resultados de la banda Total (Tabla 80) de la Potencia Absoluta, indican que la derivación con significancia estadística al $p(F) < 0.01$, es T6, con valores por debajo de los observados en F3, P4 y P3; en T5 se presenta un patrón semejante al descrito, cuyos valores están por debajo de F3, C4, C3, P4 y P3; CZ se encontró que sus puntajes son anteriores a los de T6 y T5 (ver Tabla 414 y Topograma 74).

En lo que respecta a la habilidad de Recuperación del Estado Emocional, los resultados de la aplicación de la prueba t , muestran que en la Potencia Absoluta, la banda Delta (Tabla 81) obtuvo

significancia estadística al $p(F) < 0.01$, en la derivación O1, presentando un patrón de actividad por debajo del observado en las derivaciones F4, C4, C3 y P3; un patrón semejante se aprecia en T3, con menor PA que C4 y C3; asimismo, CZ presenta la misma tendencia de activación, con menor puntaje en comparación con el obtenido en las derivaciones T6 y O1 (ver Tabla 415 y Topograma 75).

La banda Theta 1 (Tabla 82), obtenida de la PA, presentó valores con significancia estadística al $p(F) < 0.01$, en la derivación T3, con menor actividad que F3 y C4; en T6, con una tendencia semejante a la descrita, cuya puntuación se encuentra por debajo de la observada en F3, C4 y P4; O1 también mostró valores por debajo del reportado para las derivaciones F3, C4, C3, P4 y P3; en CZ se distingue un patrón de activación similar, con valores por debajo de T3, T6, T5, O1 y O2. En cambio, en la derivación F3, sus puntajes se encuentran por arriba de los de O2, y lo mismo sucede con la derivación T3, sus valores están por encima de los que obtuvo P4 (ver Tabla 416 y Topograma 76). En la banda Theta 2 (Tabla 83), la derivación que obtuvo puntuaciones con significancia estadística al $p(F) < 0.01$ en el análisis aplicado a la Potencia Absoluta fue F3, presentando una tendencia de mayor potencia que la reportada para T4 (ver Tabla 417 y Topograma 77). Los resultados de la banda Alfa 2 (Tabla 84), en el análisis aplicado a la Potencia Absoluta, indican que la derivación con significancia estadística al $p(F) < 0.01$ fue F4, con mayor puntaje que el de P4 y CZ; de igual manera la derivación T5 mostró un patrón de PA por arriba de CZ. En la derivación T5 se aprecia que sus puntuaciones estadísticamente significativas, al $p(F) < 0.01$, están por debajo de las observadas en F4, F3, C4, C3, P4 y P3; un patrón de activación semejante se distingue en la derivación O2, presentando menor potencia que F3, C4, C3, P4 y P3 (ver Tabla 418 y Topograma 78). La banda Beta 2 (Tabla 85), de la PA, mostró que la derivación F4 tiene mayor activación de la potencia ($p(F) < 0.01$), en comparación con las derivaciones C4, C3 y O2; una tendencia semejante se aprecia en F3, la cual presentó mayor PA que las derivaciones C4, C3 y O2; lo mismo sucede con C4, cuyos resultados indican que su actividad es mayor que la de T3. En lo que respecta a T3, también presentó puntajes por arriba de los encontrados en P4, P3, T6, T5 y O2 (ver Tabla 419 y Topograma 79). Los resultados con significancia estadística al $p(F) < 0.01$, encontrados del análisis de la Potencia Absoluta, indican que en la banda Gamma (Tabla 86), la derivación F3 obtuvo mayor puntaje que las derivaciones O2 y CZ (ver Tabla 420 y Topograma 80). En lo que respecta a la banda Total (Tabla 87), los resultados indican que la derivación P4, presentó valores con significancia estadística al $p(F) < 0.01$ por arriba de los observados en las derivaciones T6, T5 y

O1; no así en la derivación CZ, en la que se aprecia menor PA, en comparación con la obtenida en T6, T5 y O1 (ver Tabla 421 y Topograma 81).

Los resultados obtenidos de la aplicación de la prueba t a la Potencia Absoluta de la habilidad de Concepto Social, arrojaron como significativos los valores de la banda Delta (Tabla 88) de la derivación F4, los cuales se encuentran por arriba de los obtenidos en las derivaciones T4, T3, T6, T5 y O1; una tendencia semejante se aprecia en la derivación F3, indicando mayor activación de la PA que el encontrado en las derivaciones T3, T6, T5 y O1; C4 presentó valores con tendencias similares a las anteriores, en el que la PA es mayor que la de T4, T3, T6, T5 y O1; en C3 también se aprecia mayor activación en comparación con T5 y O1; de igual manera se distingue que la derivación T4, presentó valores por arriba de los reportados en las derivaciones P4 y T5; en T3, las puntuaciones indican que la potencia se encuentra por arriba de P4, P3 y CZ; en lo que respecta a la derivación P4, sus puntajes son mayores a los observados en T6 y O1; un patrón parecido se observa en la derivación P3, la cual presentó mayor puntuación que T6, T5 y O1. Los resultados de la derivación CZ mostraron un patrón a la inversa en los valores de PA, indicando menor activación que T6, T5 y O1 (ver Tabla 422 y Topograma 82). Los resultados de la banda Theta 1 (Tabla 89) de la PA, indican que la derivación T6 obtuvo valores con significancia estadística al $p(F) < 0.01$ por debajo de los obtenidos en las derivaciones F3, C4 y CZ; en T5 sus puntajes también están por debajo del encontrado en las derivaciones F3 y C4; de igual manera se aprecia que CZ tiene menor activación que T6 y T5 (ver Tabla 423 y Topograma 83). La banda Theta 2 (Tabla 90), de la PA, mostró que la derivación T5 obtuvo menores puntajes (al $p(F) < 0.01$) que los encontrados en F4, F3, C4, C3, P4 y P3; también en O1 se distingue que sus puntajes están por debajo de P4 y P3; en CZ las puntuaciones son menores a las reportadas en T5 y O1; sin embargo, la derivación T3 presentó una tendencia a la inversa, pues sus valores se encuentran por arriba de los de P3 (ver Tabla 424 y Topograma 84). Los resultados de la banda Alfa 1 (Tabla 91) indican que la derivación con significancia estadística al $p(F) < 0.01$, fue T5, con un patrón de activación de PA anterior al observado en las derivaciones F3, C4, C3, P4 y P3. La derivación C3, mostró un patrón distinto al anterior, pues sus puntajes están por arriba de T3, al igual que los de T3 están por arriba de los de P3; una tendencia similar se aprecia en los resultados de T5, cuyos valores están por arriba de CZ (ver Tabla 425 y Topograma 85). La banda Alfa 2 (Tabla 92) los resultados indican que la PA de la derivación T5, está por debajo ($p(F) < 0.01$) de la obtenida por las derivaciones F4, F3, T4 y T3; en cambio en la derivación T3, los valores de PA se encuentran por arriba de los de P3; un patrón

similar se alcanza a distinguir en las puntuaciones de T5, los cuales está por arriba de los de O2 (ver Tabla 426 y Topograma 86). Los resultados de la banda Beta 1 (Tabla 93), muestran que las puntuaciones estadísticamente significativas, al $p(F) < 0.01$, se aprecian en la derivación C4, y están por arriba de los que obtuvo CZ (ver Tabla 427 y Topograma 87). En lo que respecta a la banda Beta 2 (Tabla 94), los resultados indican que en C3, los valores de la PA están por arriba de los observados en T4; y las puntuaciones de T5, están por debajo de las de T4 y P4 (ver Tabla 428 y Topograma 88). En la banda de Gamma (Tabla 95), se alcanza a distinguir que los resultados con puntajes estadísticamente significativos, al $p(F) < 0.01$, son los observados en la derivación C4, los cuales se encuentran por arriba de los que se detectaron en las derivaciones T4 y T3; en C3 se distingue un patrón similar, con mayor activación en comparación con T4 y T3; pero no sucede lo mismo en la derivación T5, en la cual se aprecia que los resultados indican una menor activación en comparación con T4 y T3 (ver Tabla 429 y Topograma 89). Los resultados de la banda Total (Tabla 96), de la PA, muestran que la derivación T5 obtuvo puntajes estadísticamente significativos (al $p(F) < 0.01$) anteriores a los detectados en F4, F3, C4, P4 y P3; un patrón de activación semejante se observa en la derivación O1, la cual obtuvo puntuaciones mayores que los reportados en F4, F3, C4, P4 y P3; en T6 su valores se encuentran por debajo de F3, C4 y P4. En O2 el patrón es a la inversa, mostrando que tiene valores por arriba de T5 (ver Tabla 430 y Topograma 90).

Los resultados de la aplicación de la prueba t a la PA de la habilidad de Percepción Afectiva Social, arrojaron que la banda Delta (Tabla 97) obtuvo puntuaciones estadísticamente significativas al $p(F) < 0.01$, en la derivación de T6, con una tendencia de PA anterior a la de F3, F4, C4 y P4; en la derivación T5, con puntajes por debajo de F3, F4 y C4; en O1, también obtuvo puntajes anteriores a los de F3, F4 y P4; demás CZ obtuvo puntajes por debajo de T6, T5 y O1. La derivación P4 presentó un patrón de activación diferente, pues sus valores están por arriba de T6 (ver Tabla 431 y Topograma 91). En la banda Theta 1 (Tabla 98), de la PA, obtuvo puntajes significativos al $p(F) < 0.01$ en la derivación T6, los cuales indican una potencia anterior a la de F4 y C4; en la derivación T5, los valores también tienden a decrementarse en las derivaciones F4, F3, C4, C3, P4 y P3; en la derivación CZ, los resultados muestran una activación semejante, siendo anteriores a los de T6, T5 y O1 (ver Tabla 432 y Topograma 92). En lo que respecta a la banda Theta 2 (Tabla 99), se aprecia que la derivación T5 obtuvo puntajes estadísticamente significativos de PA, anteriores a los observados en F3, C4, C3, P4 y P3; en T3 también se aprecia que los valores están por debajo de C4 y C3; los puntajes de CZ, también son anteriores a los de T3 y T5; el patrón de activación de PA en

T3 está por debajo P4 (ver Tabla 433 y Topograma 93). La banda Alfa 1 (Tabla 100), presentó valores significativos en la derivación C3, por arriba de T3; y en T5 por debajo de C3 y P3, pero por arriba de O2 y CZ (ver Tabla 434 y Topograma 94). Los resultados de la banda Alfa 2 (Tabla 101), muestran que la derivación T5 obtuvo puntajes de PA por debajo del observado en las derivaciones F4, F3, C4, C3, P4 y P3; en CZ, anteriores a los de F4 y T5; en P3 por arriba de T6 (ver Tabla 435 y Topograma 95). En la banda Beta 1 (Tabla 102), se observa que la derivación C4 obtuvo valores estadísticamente significativos ($p(F) < 0.01$) por arriba de los reportados para CZ (ver Tabla 436 y Topograma 96). Los resultados de la banda Gamma (Tabla 103), muestran que la PA se incrementó de T3 a C4 (ver Tabla 437 y Topograma 97). Por último, en la banda Total (Tabla 104) de la Potencia Absoluta se encontró que la derivación T5 obtuvo puntajes estadísticamente significativos al $p(F) < 0.01$, en T5, con una tendencia a decrementarse en comparación con los observados en F4, F3, C4, C3, P4 y P3; en T6 se aprecia un patrón semejante, cuyos valores están por debajo de C4, P4 y P3; en CZ también se observa una condición semejante, pues sus resultados indican un decremento de la PA en comparación con T6, T5, O2 y O1; en P4 se aprecia que los puntajes se encuentran por arriba de O1 y en T5 por arriba de O2 (ver Tabla 438 y Topograma 98).

Se aplicó un Análisis de Varianza de un factor a los valores obtenidos de la Potencia Absoluta, Potencia Relativa y Correlación Interhemisférica e Intrahemisférica a cada una de las 14 habilidades propuestas en el modelo para evaluar habilidades Cognitivas a nivel Básico, obteniendo resultados estadísticamente significativos al $p(F) < 0.01$ en la Potencia Absoluta y Correlación Interhemisférica, únicamente en 13 de las 14 habilidades.

En la Tabla 680 se puede observar los resultados de la habilidad de Atención Cognitiva, de la Correlación Interhemisférica (rINTER) derivados del análisis de varianza de un factor, indicando que las bandas Delta, Theta 1 y 2, Alfa 1 y 2, Beta 1 y 2, así como la banda Total obtuvieron valores estadísticamente significativos al $p(F) < 0.01$. La habilidad de Descripción Cognitiva (Tabla 680), en la rINTER, las bandas con significancia estadística $p(F) < 0.01$ son: Delta, Theta 1 y 2, Alfa 1 y 2, Beta 1 y 2, Gamma y la banda Total. La habilidad de Discriminación Cognitiva (Tabla 680), en la rINTER se encontró que las bandas con significancia estadística al $p(F) < 0.01$ fueron, Delta, Theta 1 y 2, Alfa 1 y 2, Beta 1 y 2, y la banda Total. En lo que respecta a la habilidad de Memoria para Detalles, se encontraron valores estadísticamente significativos de la rINTER por arriba de .01, en las bandas Delta, Theta 1 y 2, Alfa 1 y 2, Beta 1, así como las bandas Gamma y Total. La Tabla 679, muestra los valores de la Potencia Absoluta estadísticamente significativos por arriba de .01, de la

habilidad de Reconocimiento Cognitivo, encontrados en las bandas Delta, Theta 1 y 2, Alfa 1 y 2, Beta 1 y 2, Gamma y Total. La habilidad de Clasificación Cognitiva (Tabla 679) obtuvo resultados significativos al $p(F) < 0.01$ en la PA, en las bandas siguientes: Alfa 1 y Gamma. En lo referente a los resultados de la habilidad de Organización Cognitiva (Tabla 679), en la PA, los valores estadísticamente significativos por arriba de .01, se encontraron en las bandas: Delta, Theta 1 y 2, Alfa 1 y 2, Beta 1 y 2, y las bandas Gamma y Total. Los resultados de la rINTER, pertenecientes a la habilidad de Jerarquización Cognitiva (Tabla 681), indican que las bandas Delta, Theta 1 y 2, Alfa 1 y 2, Beta 1 y la Total obtuvieron valores estadísticamente significativos al $p(F) < 0.01$. Los valores de la rINTER, de la habilidad de Asociación Cognitiva (Tabla 681), que fueron estadísticamente significativos al $p(F) < 0.01$, en la banda Delta y los de las bandas Theta 1 y 2; Alfa 1 y 2; y los de las bandas Beta 1 y 2; Gamma y Total. La habilidad de Secuencia Cognitiva (Tabla 681) obtuvo valores estadísticamente significativos al $p(F) < 0.01$, en la rINTER, en la banda Delta, Theta 1 y 2; Alfa 1 y 2, Beta 1 y 2; Gamma y Total. Los resultados de la rINTER de la habilidad de Vocabulario (Tabla 681), que obtuvieron valores estadísticamente significativos al $p(F) < 0.01$, en la banda Delta; las bandas Theta 1 y 2; Alfa 1 y 2; Beta 1 y 2, así como las bandas Gamma y Total también obtuvieron puntuaciones significativas. En lo que se refiere a la habilidad de Conceptualización, (Tabla 682) los resultados arrojaron que las bandas Delta, Theta 1 y 2, además de las bandas Alfa 1 y 2, Beta 1 y 2, así como las bandas Gamma y Total, obtuvieron puntajes significativos al $p(F) < 0.01$. Por último, en la habilidad de Seguimientos de Instrucciones (Tabla 682) obtuvo valores estadísticamente significativos, $p(F) < 0.01$, en las bandas, Delta, Theta 1 y 2, Alfa 1 y 2, Beta 1 y 2, Gamma y Total.

Para conocer los grupos que marcaban las diferencias significativas en el Análisis de Varianza, se aplicó una prueba *t de student* para grupos relacionados. Los resultados estadísticamente significativos al $p(F) < 0.01$ en la prueba que evalúa habilidades Cognitivas a nivel Básico, se encontró que la habilidad de Atención Cognitiva, en la rINTER, evidenció que en las bandas Delta, Theta 1 y 2, las derivaciones F4-F3, C4-C3, T6-T5 y O2-O1 (Tablas 439, 440, 441 y Topogramas 99, 100 y 101) mostraron valores significativos. En la banda Alfa 1 se encontró que las derivaciones F8-F7, F4-F3, T6-T5 y O2-O1 (Tabla 442 y Topograma 102), obtuvieron puntajes de correlación con significancia estadística $p(F) < 0.01$. También la banda Alfa 2 obtuvo puntuaciones significativas en las derivaciones F8-F7, F4-F3, C4-C3 y O2-O1 (Tabla 443 y Topograma 103). La banda Beta 1, mostró que las derivaciones F8-F7 y C4-C3 (Tabla 444 y Topograma 104),

presentaron valores con significancia estadística al $p(F) < 0.01$; y en Beta 2, también F8-F7 y O2-O1 (Tabla 445 y Topograma 105) se observó que sus valores eran significativos. En lo que respecta a la banda Total, las derivaciones F8-F7, F4-F3, C4-C3, T6-T5 y O2-O1 (Tabla 446 y Topograma 106) fueron las que evidenciaron los puntajes significativos.

En lo que respecta a la habilidad de Descripción Cognitiva, los resultados de la prueba t , significativos al $p(F) < 0.01$, mostraron que en la banda Delta, las derivaciones F4-F3, C4-C3 y P4-P3 (Tabla 447 y Topograma 107) obtuvieron valores de correlación significativos. Asimismo, en la banda Theta 1 (Tabla 448 y Topograma 108) evidenció que las derivaciones F8-F7, F4-F3, C4-C3, T6-T5 y O2-O1 obtuvieron puntuaciones significativas, al igual que las observadas en la Tabla 449 (Topograma 109), de la banda Theta 2 las derivaciones C4-C3, T6-T5 y O2-O1. En lo que respecta a las bandas Alfa 1 y 2, mostraron que F4-F3, C4-C3 y O2-O1 (Tablas 450, 451 y Topograma 110 y 111) se obtuvieron valores de correlación significativos al $p(F) < 0.01$. En Tabla 452 (Topograma 112) se aprecian las derivaciones que obtuvieron puntajes significativos, y fueron F8-F7, F4-F3, C4-C3 y O2-O1. La Tabla 453 (Topograma 113) muestra las derivaciones que resultaron del análisis con valores significativos al $p(F) < 0.01$, que son F8-F7, C4-C3 y O2-O1. Los resultados de la banda Gamma (Tabla 454 y Topograma 114), indican que las derivaciones F8-F7, C4-C3, T6-T5 y O2-O1 presentaron puntajes significativos. Por último, la banda Total (Tabla 455 y Topograma 115) obtuvo como resultados significativos las puntuaciones observadas en F4-F3, C4-C3, T6-T5 y O2-O1.

El análisis de la prueba t mostró que en la habilidad de Discriminación Cognitiva, la banda Delta mostró valores estadísticamente significativos, al $p(F) < 0.01$, en las derivaciones F4-F3, C4-C3, P4-P3, T6-T5 y O2-O1 (ver Tabla 456 y Topograma 116). La banda Theta 1 y 2 (Tablas 457 y 458; Topogramas 117 y 118) obtuvo puntajes significativos en las derivaciones F4-F3, C4-C3, T6-T5 y O2-O1. Asimismo, las bandas Alfa 1 y 2 (Tablas 459 y 460; Topogramas 119 y 120) indican que las derivaciones F4-F3 y O2-O1 arrojaron puntuaciones significativas. Las derivaciones O2-O1, en las bandas Beta 1 y 2 (Tablas 461 y 462; Topogramas 121 y 122), fueron significativas al $p(F) < 0.01$. Y en la banda Total (Tabla 463 y Topograma 123) las derivaciones significativas fueron F4-F3, C4-C3, T6-T5 y O2-O1.

En lo que respecta a los resultados del análisis estadístico aplicado a la habilidad de Memoria para Detalles, mostró que las derivaciones F4-F3, C4-C3, P4-P3, T6-T5 y O2-O1, de la banda Delta fueron significativas al $p(F) < 0.01$ (ver Tabla 464 y Topograma 124). Las bandas Theta 1 y 2

(Tablas 465 y 466; Topogramas 125 y 126) obtuvieron valores de correlación significativos en las derivaciones F4-F3, T6-T5 y O2-O1. Los resultados de la banda Alfa1 (Tabla 467 y Topograma 127) indican que las derivaciones F4-F3, C4-C3, T6-T5 y O2-O1, fueron las que obtuvieron valores de correlación significativas. Asimismo, la banda Alfa 2 (Tabla 468 y Topograma 128) tiene valores significativos en las derivaciones O2-O1. La Tabla 469 (Topograma 129) muestra los puntajes de F4-F3, C4-C3 y O2-O1, de la banda Beta 1, fueron significativos al $p(F) < 0.01$. La banda Gamma (Tabla 470, Topograma 130) obtuvo valores de correlación significativos en las derivaciones F4-F3, T6-T5 y O2-O1. Por último, en la Tabla 471 (Topograma 131), se aprecian los resultados de las derivaciones F4-F3, C4-C3, T6-T5 y O2-O1, de la banda Total.

En lo que se refiere a la habilidad de Reconocimiento Cognitivo, el análisis estadístico mostró valores significativos al $p(F) < 0.01$, en la Potencia Absoluta, en la banda Delta (Tabla 138), la derivación C4 mostró mayor potencia que la observada en la derivación O2; y en la derivación T5, sus puntuaciones tienden a decrementar por debajo de las observadas en C4, P4 y P3; un patrón similar se aprecia en la derivación O1, cuyos valores están por debajo de los encontrados en C4, P4 y O2. Asimismo, T3 obtuvo puntajes por arriba de P4 y P3; CZ, también denotó un patrón de activación semejante anterior, con puntajes por debajo de T5 y O1 (ver Tabla 472 y Topograma 132). La banda Theta 1 (Tabla 139), obtuvo puntajes significativos en las derivaciones T5, los cuales son inferiores a los observados F4, F3, F8, F7, C4, P4 y P3; un patrón similar se aprecia en la derivación CZ, pues obtuvo valores estadísticamente significativos por debajo de F8, F7 y T5. En cambio, en la derivación F3, se encontró que sus puntajes estaban por arriba de los observados en T4; en F8 por arriba de F7, y F7 por encima de C4, así como en P4, también por arriba de P3 (ver Tabla 473 y Topograma 133). En la banda Theta 2 (Tabla 140), las derivaciones significativas fueron F4, con valores por arriba de P4 y P3; T5, con valores por debajo de los observados en F4, F3, C4, P4 y P3; una tendencia semejante se aprecia en la derivación CZ, la cual tiene valores por debajo de F4, F8, F7 y T5. En la derivación F3, se distingue que sus resultados son significativos por arriba de los que obtuvo F7; en F8, también con valores de potencia por arriba de los que se aprecian en C4, P4, P3 y O2; y en F7, se aprecia que sus puntajes están por arriba de C4, T4 y P4 (ver Tabla 474 y Topograma 134). La banda Alfa 1 (Tabla 141), los puntajes de potencia que fueron significativos, al $p(F) < 0.01$, los de la derivación F4, por arriba de P4, y en F7, por encima de C4. No se aprecia la misma tendencia en la derivación CZ, pues sus puntuaciones están por debajo de las observadas en F7, C4, T4 y T5; una tendencia semejante se distingue en la derivación CZ, cuyos

valores están por debajo de los encontrados en F7, C4, T4 y T5 (ver Tabla 475 y Topograma 135). La banda Alfa 2 (Tabla 142), mostró puntuaciones significativas, al $p(F) < 0.01$, en la derivación F7, por arriba de O2 y CZ; T5 obtuvo puntajes por debajo de las derivaciones C4, P4 y P3. Las puntuaciones de T5 están por arriba de las observadas en O2 y CZ (ver Tabla 476 y Topograma 136). En lo que respecta a la banda Beta 1 (Tabla 143), las derivaciones con valores de PA significativos fueron F3, por arriba de los de C4; C4, por encima de CZ. O2 presentó una tendencia distinta, pues sus valores están por debajo de F7 y C4 (ver Tabla 477 y Topograma 137). La banda Beta 2 (Tabla 144) obtuvo puntajes con significancia estadística al $p(F) < 0.01$, en la derivación F3, por arriba de F8; F7 por encima de P3, y T5 con una mayor PA que O2 (ver Tabla 478 y Topograma 138). La Tabla 145 contiene los valores de Potencia Absoluta, de la banda Gamma, los cuales indican que la derivación F7 obtuvo puntuaciones inferiores a las detectadas en F4 y F3, pero por arriba P3 (ver Tabla 479 y Topograma 139). Por último, los resultados de la banda Total se pueden observar en la Tabla 146, en ella se distingue que la derivación T5, tiene puntajes inferiores a los de las derivaciones C4, P4 y P3; los de O2, están por debajo de C4 y T5; y los de T5, están por arriba de CZ (ver Tabla 480 y Topograma 140).

Los resultados de la aplicación del análisis estadístico, a la habilidad de Clasificación dio como resultado puntajes con significancia estadística, $p(F) < 0.01$, en la Potencia Absoluta, en la banda Alfa 1 (Tabla 147) para la derivación T5, con valores por debajo de los observados en F4, F3, C4, P4 y P3; la derivación F8, se aprecia que sus puntuaciones están por arriba de C4 y P4. Por otro lado, la derivación CZ evidenció valores inferiores a los detectados en las derivaciones F8, F7, T4, T3, T6 y T5; y la derivación F7, tiene puntajes por arriba de los que obtuvieron las derivaciones C4, P4 y P3; los de C4 por encima de T4, T3 y T5; asimismo, la derivación T4 obtuvo valores por encima de los que se aprecian en P4 y O2; los de T3, por arriba de los de P4 y P3 (ver Tabla 481 y Topograma 141). La banda Gamma (Tabla 148) muestra que la derivación F7, obtuvo valores de PA por arriba de los observados en O2 (ver Tabla 482 y Topograma 142).

A la habilidad de Organización Cognitiva, fue analizada con la prueba t , y sus resultados arrojaron que Potencia Absoluta, en la banda con puntajes significativos, al $p(F) < 0.01$, fue Delta (Tabla 149), en la que la derivación F4, obtuvo mayor puntaje en comparación con T3; en cambio la derivación T5, mostró resultados que muestran que sus valores están por debajo de F4, F3, F8, P4 y P3; y en T3 por arriba de P4 (ver Tabla 483 y Topograma 143). La banda Theta 1 (Tabla 150) obtuvo puntuaciones con significancia estadística al $p(F) < 0.01$, en la derivación T5, con valores de

PA por debajo de F4, C4, T3 y P4; y en T3 por arriba de P4 (ver Tabla 484 y Topograma 144). La Tabla 151 muestra que los resultados de la banda Theta 1, ubicaron a la derivación T5, con puntajes por debajo de F4, C4 y P4; la derivación F3, obtuvo puntuaciones por arriba de F8, P4 y O2; en F8, los valores están por encima de C4 y P4; además de que en P4, también los puntajes están por arriba de O2; por otro lado, los valores de CZ están por debajo de los encontrados en las derivaciones F8, T3 y T5 (ver Tabla 485 y Topograma 145). En el caso de Alfa 1 (Tabla 152), la derivación con significancia estadística, al $p(F) < 0.01$, fue F3, con PA por arriba de F8; T5 por debajo de F3, C4, P4 y P3; en el caso de F8, sus valores se encuentran por arriba de C4 y P4; y los de CZ por debajo de F7, T3 y T5; y por último, la derivación T3, mostró como resultados valores de PA por arriba de los observados en P3 (ver Tabla 486 y Topograma 146). La Tabla 153 contiene los resultados de la banda Alfa 2, los cuales indican que la derivación T5, tiene valores por debajo de los de F4, C4, P4 y P3; en el caso de F3, sus puntajes están por arriba de los encontrados en F8 (ver Tabla 487 y Topograma 147). La banda Beta 1 (Tabla 154), también obtuvo puntajes significativos en la derivación F4, por arriba de los encontrados en P3 y CZ; en F3, por encima de F8; y en P4, también por arriba de T5 (ver Tabla 488 y Topograma 148). Los resultados de la banda Beta 2 (Tabla 155) muestran que la derivación F3, tiene puntajes por arriba de F8; en el caso de O2, sus valores están por debajo de F7 y T5 (ver Tabla 489 y Topograma 149). Asimismo, la banda Gamma (Tabla 156) obtuvo puntajes significativos, al $p(F) < 0.01$, en la derivación T6, por arriba de los encontrados en T5 (ver Tabla 490 y Topograma 150). En la banda Total (Tabla 157), los resultados significativos fueron F4, por arriba de T3; T5, por debajo de F4, F3, F8, P4 y P3; la derivación F3 mostró puntajes por arriba de los de T6; y T3, por encima de P3, y T5 por arriba de CZ (ver Tabla 491 y Topograma 151).

Los resultados del análisis de la habilidad de Jerarquización Cognitiva, indica que la Correlación Interhemisférica, la banda Delta (Tabla 158) obtuvo valores estadísticamente significativos al $p(F) < 0.01$, de rINTER en las derivaciones F4-F3, C4-C3, T6-T5 y O2-O1 (ver Tabla 492 y Topograma 152). Las bandas Theta 1 y 2 (Tablas 493 y 494), mostraron que las derivaciones F4-F3 y O2-O1, obtuvieron valores de correlación significativos, sin embargo, en Theta 2, también resultaron significativas las derivaciones T6-T5 (ver Topogramas 153 y 154). Una tendencia semejante se aprecia en las bandas Alfa 1 y 2 (Tablas 495 y 496), pues sus puntajes de rINTER son significativos en las derivaciones F4-F3 y O2-O1, solo que también en Alfa 1 las derivaciones T6-T5 fueron significativas (ver Topogramas 155 y 156). En el caso de las bandas Beta

1 y Total (Tablas 497 y 498) muestran que las derivaciones F4-F3, T6-T5 y O2-O1, tienen valores con significancia estadística al $p(F) < 0.01$ (ver Topogramas 157 y 158).

Asimismo, el análisis estadístico de los puntajes de la rINTER, de la habilidad de Asociación Cognitiva, indican que la banda Delta (Tabla 165) presentó significancia en las derivaciones F4-F3, C4-C3, P4-P3, T6-T5 y O2-O1 (ver Tabla 499 y Topograma 159). En la banda Theta 1 (Tabla 166), las derivaciones con significancia, al $p(F) < 0.01$, son F4-F3, C4-C3, T6-T5 y O2-O1 (ver Tabla 500 y Topograma 160); un patrón similar se aprecia en la banda Theta 2 (Tabla 167), solo que no participaron las derivaciones C4-C3 (ver Tabla 501, y Topograma 161). Las bandas Alfa 1 y 2 (Tablas 168 y 169), presentan resultados semejantes en las derivaciones F4-F3 y O2-O1 (ver Tablas 502 y 503; Topogramas 162 y 163); asimismo, las banda Beta 1 y 2 (Tablas 170 y 171) obtuvieron valores de correlación significativos en las derivaciones O2-O1 (ver Tablas 504 y 505; Topogramas 164 y 165). En la banda Gamma (Tabla 172) se encontró que las derivaciones con significancia estadística, al $p(F) < 0.01$, son T6-T5 y O2-O1 (ver Tabla 506 y Topograma 166). Y en lo que respecta a la banda Total (Tabla 173) se aprecia que las derivaciones con puntajes de correlación significativos son F4-F3, C4-C3, T6-T5 y O2-O1 (ver Tabla 507 y Topograma 167).

Los resultados obtenidos del análisis estadístico de la habilidad de Secuencia Cognitiva, muestra que en la banda Delta (Tabla 174), la rINTER, presentó como con valores estadísticamente significativos, al $p(F) < 0.01$, las derivaciones F4-F3, C4-C3, P4-P3, T6-T5 y O2-O1 (ver Tabla 508 y Topograma 168); además de las bandas Theta 1 y 2 (Tablas 175 y 176), cuyas derivaciones con valores significativos son F4-F3, C4-C3, T6-T5 y O2-O1, a excepción de C4-C3, no son significativas en la banda Theta 2 (ver Tablas 509 y 510 y Topogramas 169 y 170). Por otro lado, las bandas Alfa 1 y 2 (Tablas 177 y 178) obtuvieron valores significativos de rINTER, en las derivaciones F4-F3 y O2-O1; en la banda Alfa 2, participaron también C4-C3 (ver Tablas 511 y 512 y Topogramas 171 y 172). En relación a las bandas Beta 1 y 2 (Tablas 179 y 180), las derivaciones significativas fueron O2-O1, pero en Alfa 2, también participaron F4-F3 (ver Tablas 513 y 514; Topogramas 173 y 174). En la banda Gamma (Tabla 181), las derivaciones con puntajes de correlación estadísticamente significativos, al $p(F) < 0.01$, son C4-C3, T6-T5 y O2-O1 (ver Tabla 515 y Topograma 175). Y en la banda Total (Tabla 182), las derivaciones con significancia estadística son F4-F3, C4-C3, T6-T5 y O2-O1 (ver Tabla 516 y Topograma 176).

Los resultados de la aplicación de la prueba t a la habilidad de Vocabulario, mostró que la banda Delta (Tabla 183), Theta 1 y 2 (Tablas 184 y 185), tiene el mismo patrón de correlación

(rINTER) en las derivaciones F4-F3, C4-C3, T6-T5 y O2-O1 (ver Tablas 517, 518 y 519; Topogramas 177, 178 y 179). Las bandas Alfa 1 y 2 (Tablas 186 y 187), también obtuvieron puntajes estadísticamente significativos, al $p(F) < 0.01$, en las derivaciones F4-F3, C4-C3 y O2-O1 (ver Tablas 520 y 521 y Topogramas 180 y 181); las bandas Beta 1 y 2 (Tablas 188 y 189), presentan un patrón de activación semejante entre sí, en las derivaciones O2-O1, pero además en Beta 1, se observan, con valores significativos, las derivaciones C4-C3 (ver Tablas 522 y 523; Topogramas 182 y 183). La banda Gamma (Tabla 190) obtuvo valores de rINTER significativos en las derivaciones T6-T5 y O2-O1 (ver Tabla 524 y Topograma 184); y la banda Total (Tabla 191) F4-F3, C4-C3, T6-T5 y O2-O1 (ver Tabla 525 y Topograma 185).

Asimismo, los resultados del análisis estadístico aplicado a la habilidad de Conceptualización, indica que la rINTER, de las banda y derivaciones con puntuaciones estadísticamente significativas, $p(F) < 0.01$, son: Delta (Tabla 192), Theta 1 y 2 (Tablas 193 y 194), en las derivaciones F4-F3, C4-C3, T6-T5 y O2-O1 (ver Tablas 526, Tablas 527 y 528; Topogramas 186, 187 y 188). En lo que respecta a Alfa 1 (Tabla 195), en sus resultados se aprecia que las derivaciones con valores de correlación significativos son F4-F3, T6-T5 y O2-O1 (ver Tabla 529 y Topograma 189); a diferencia de la banda Alfa 2 (Tabla 196), que únicamente obtuvo valores significativos en O2-O1 (ver Tabla 530 y Topograma 190). En las Tablas 197 y 198, muestran los resultados de las bandas Beta 1 y 2, en los que se distingue que las derivaciones C4-C3 y O2-O1 (Tablas 531 y 532; Topogramas 191 y 192) obtuvieron valores significativos. La banda Total (Tabla 199) obtuvo puntas de rINTER, con significancia estadística, en las derivaciones F4-F3, C4-C3, T6-T5 y O2-O1 (ver Tabla 533 y Topograma 193).

La habilidad de Seguimiento de Instrucciones, también fue analizada con la prueba t , y sus resultados muestran que los valores de rINTER significativos al $p(F) < 0.01$, se presentaron en la banda Delta (Tabla 200), en las derivaciones F4-F3, C4-C3, P4-P3, T6-T5 y O2-O1 (ver Tabla 534; Topograma 194). En la banda Theta 1 (Tabla 201), se obtuvieron puntajes con significancia estadística en las derivaciones F4-F3, C4-C3, T6-T5 y O2-O1 (ver Tabla 535 y Topograma 195); asimismo, en la banda Theta 2 (Tabla 202) las derivaciones fueron F8-F7, F4-F3, C4-C3, T6-T5 y O2-O1 (ver Tabla 536 y Topograma 196). Y en la banda Alfa 2 (Tabla 203), la correlación se presentó en las derivaciones F4-F3, F8-F7 y O2-O1 (ver Tabla 537 y Topograma 197). En lo que respecta a las bandas Beta 1 y 2 (Tablas 204 y 205), los resultados evidencian que las derivaciones con valores de rINTER significativos al $p(F) < 0.01$, se presentan en F4-F3 y O2-O1, para la

primera, y C4-C3 y O2-O1, en la segunda (ver Tablas 538 y 539; Topogramas 198 y 199). Además los puntajes de correlación significativos en la banda Total (Tabla 206), se aprecian en F4-F3, C4-C3, T6-T5 y O2-O1 (ver Tabla 540 y Topograma 200).

Se aplicó también el Análisis de Varianza de un factor a los valores obtenidos de la Potencia Absoluta, Potencia Relativa y Correlación Interhemisférica e Intrahemisférica a cada una de las 12 habilidades propuestas en el modelo para evaluar habilidades Perceptuales a nivel Global, obteniendo resultados estadísticamente significativos al $p(F) < 0.01$ únicamente en la Potencia Absoluta (PA), y en siete habilidades.

En la Tabla 683 se puede observar los resultados de la habilidad de Discriminación Perceptual, de la Potencia Absoluta, derivada del análisis estadístico, indicando que las bandas Theta 1, Alfa 1, Beta 2, y Gamma obtuvieron valores significativos al $p(F) < 0.01$. La habilidad de Memoria Perceptual (Tabla 683), en la PA, la banda con significancia estadística $p(F) < 0.01$ fue: Gamma. La habilidad de Reconocimiento de la Tercera Dimensión (Tabla 683), en la PA se encontró que la banda con significancia estadística al $p(F) < 0.01$ fue, Delta. En lo que respecta a la habilidad de Conservación Espacial (Tabla 683), se encontraron valores estadísticamente significativos de la PA por arriba de .01, en la banda Delta, Theta 1 y en Gamma. La Tabla 683 muestra los valores de la Potencia Absoluta estadísticamente significativos de la habilidad de Figura-Fondo en la banda de Gamma. La habilidad de Analogías de Imágenes (Tabla 683) obtuvo resultados significativos al $p(F) < 0.01$ en la PA, en las bandas siguientes: Delta y Gamma. En lo referente a los resultados de la habilidad de Abstracción Visual (Tabla 683), en la PA, los valores con significancia estadística, $p(F) < 0.01$, se encontraron en las bandas: Delta, Theta 1 y Gamma.

Para conocer los grupos que marcaban las diferencias significativas en el Análisis de Varianza, se aplicó una prueba *t de student* para grupos relacionados. Los resultados estadísticamente significativos al $p(F) < 0.01$ en la prueba que evalúa habilidades Perceptuales a nivel Global, muestran que la PA, en la habilidad de Discriminación Perceptual, en la banda Theta 2 (Tabla 207), obtuvo valores significativos en la derivación O2, por arriba de CZ (ver Tabla 541 y Topograma 201). En Alfa 1 (Tabla 208), en la derivación CZ, sus puntajes están por debajo de F8, F7 y T3 (ver Tabla 542 y Topograma 202). Y en Beta 2 (Tabla 209), en la derivación O1, con puntajes de PA por debajo de F8 y F7; en F7, los valores se encuentran por arriba de T3 (ver Tabla 543 y Topograma 203). En la banda Gamma (Tabla 210), la derivación T3, obtuvo puntajes de PA por debajo de los observados en las derivaciones F8, F7 y C3; en O1, la tendencia es semejante,

mostrado puntajes por debajo de F8 y C2, al igual que en CZ, sus valores están por debajo T3 y O1 (ver Tabla 544 y Topograma 204).

En lo que respecta al análisis de la Memoria Perceptual, los resultados indican que obtuvo puntajes de PA, con significancia estadística al $p(F) < 0.01$, en la banda Gamma (Tabla 211), la derivación F8 tiene valores por arriba de T3; y T3 por arriba de CZ (ver Tabla 545 y Topograma 205).

En lo que se refiere a los resultados de la habilidad de Reconocimiento de la Tercera Dimensión, arrojaron con valores significativos al $p(F) < 0.01$, de la PA, la banda Delta (Tabla 212), la derivación F8 con puntajes por arriba de O2; en F7, también presentó puntajes significativos por encima de T4 (ver Tabla 546 y Topograma 206).

La habilidad de Conservación Espacial, obtuvo como resultados significativos al $p(F) < 0.01$, en la PA los observados en la Tabla 213, banda Delta, que indican que la derivación O2, obtuvo menores valores de potencia que F4, F7, C4, P4 y P3; en T4, con puntuaciones por arriba de P3; en P3 por encima de T5, y en O2 por arriba de CZ (ver Tabla 547 y Topograma 207). En la banda Theta 1 (Tabla 214), la derivación F3, mostró mayores puntuaciones de potencia que los de T4; y en O2, se distingue un patrón diferente con puntajes por debajo de los observados en C3 y P4; además T4, también mostró como resultado valores significativos por arriba de CZ (ver Tabla 548 y Topograma 208). La banda Gamma (Tabla 215) evidenció que la derivación con valores estadísticamente significativos, al $p(F) < 0.01$, se encuentran en la derivación F8, por arriba de O1; y en O1 por arriba de CZ (ver Tabla 549 y Topograma 209).

En lo que respecta a la habilidad de Figura-Fondo, los resultados del análisis de la PA muestran que la banda Gamma (Tabla 216) obtuvo puntuaciones estadísticamente significativas, $p(F) < 0.01$, en la derivación O1, con una tendencia a decrementar sus valores en comparación con las derivaciones F8, F7, C3, P3 y T6; en O1 sus puntajes se encuentran por arriba de CZ (ver Tabla 550 y Topograma 210).

La habilidad de Analogías de Imágenes obtuvo puntajes estadísticamente significativos al $p(F) < 0.01$, en la PA, en la banda Delta (Tabla 217), en la derivación F3, con puntajes por arriba de T4 (ver Tabla 551 y Topograma 211). También la banda Gamma (Tabla 218) obtuvo valores de potencia significativos en la derivación F8 por arriba de O2, y en O2 por encima de CZ (ver Tabla 552 y Topograma 212).

Por último, la habilidad de Abstracción Visual, obtuvo puntajes estadísticamente significativos al $p(F) < 0.01$, en la Potencia Absoluta, la banda Delta (Tabla 219), en la derivación O2, con una tendencia hacia decrementar sus valores en comparación con F4, F3, C4, C3, P4 y P3; un patrón semejante se aprecia en CZ, cuyas puntuaciones están por debajo de T4, T3, T5 y O2; en C3, sus puntajes están por arriba de T5, T4 y O2; en C4 se aprecia una tendencia semejante, evidenciando mayores valores de PA, que los observados en T4, T3, T5 y O2; en T4, sus puntajes están por arriba de P4; un patrón similar se aprecia en T3, cuyas puntuaciones están por encima de P4; y en P4, por arriba de T5 (ver Tabla 553 y Topograma 213). La banda de Theta 1 (Tabla 220) obtuvo puntuaciones en T4 por arriba de las observadas en CZ (ver Tabla 554 y Topograma 214). En la banda Gamma (Tabla 221), los resultados estadísticamente significativos, al $p(F) < 0.01$, se aprecian en la derivación O1, cuyos valores de potencia se encuentran por debajo de los observados en F8, F7, C3 y T5; un patrón contrario se distingue en la derivación O1, pues sus puntajes están por arriba de CZ (ver Tabla 555 y Topograma 215).

Se aplicó también el Análisis de Varianza de un factor a los valores obtenidos de la Potencia Absoluta, Potencia Relativa y Correlación Interhemisférica e Intrahemisférica a cada una de las 14 habilidades propuestas en el modelo para evaluar habilidades Cognitivo a nivel Global, obteniendo resultados estadísticamente significativos al $p(F) < 0.01$ únicamente en la Potencia Absoluta (PA), en las 14 habilidades propuestas.

En la Tabla 684 se puede observar los resultados de la habilidad de Memoria, de la Potencia Absoluta, derivada del análisis estadístico, indicando que las bandas Delta, Theta 1 y 2, Alfa 1 y 2, Beta 1 y 2, Gamma y Total, obtuvieron valores significativos al $p(F) < 0.01$. La habilidad de Analogías (Tabla 684), en la PA, obtuvo con resultados significativos al $p(F) < 0.01$, las bandas Delta, Theta 1 y 2, Alfa 1 y 2, Beta 1 y 2, Gamma y Total. La habilidad de Planeación (Tabla 684), en la PA se encontró que las bandas con significancia estadística al $p(F) < 0.01$ son: Delta, Theta 1 y 2, Alfa 1 y 2, Beta 1 y 2, Gamma y Total. En lo que respecta a la habilidad de Comprensión (Tabla 684), en la Potencia Absoluta, se aprecia que presentó puntajes estadísticamente significativos al $p(F) < 0.01$ en las bandas Delta, Theta 1 y 2, Alfa 1 y 2, Beta 1 y 2, Gamma y Total. La Tabla 685 muestra los valores de la Potencia Absoluta estadísticamente significativos, de la habilidad de Solución de Problemas. La habilidad de Aritmética (Tabla 685) obtuvo resultados significativos al $p(F) < 0.01$ en la PA, en las bandas siguientes: Delta, Theta 1 y 2, Alfa 1 y 2, Beta 1 y 2, y la Total. En lo referente a los resultados de la habilidad de Toma de Decisiones (Tabla 685), en la PA, los

valores con significancia estadística, $p(F) < 0.01$, se encontraron en las bandas: Delta, Theta 1 y 2, Alfa 1 y 2, Beta 1 y 2, Gamma, y la Total. La habilidad de Abstracción Cognitiva (Tabla 685), los resultados del análisis estadístico, arrojaron con puntajes significativos al $p(F) < 0.01$, las bandas Delta, Theta 1 y 2, Alfa 1 y 2, Beta 1, y la banda de Gamma. Asimismo, los resultados derivados del análisis estadístico aplicado a la habilidad de Síntesis (Tabla 686), indica que las bandas Delta, Theta 1 y 2, Alfa 1 y 2, Beta 1 y 2, así como las bandas Gamma y Total. En lo que se refiere a los resultados estadísticos obtenidos en la habilidad de Sensibilidad Gramatical (Tabla 686), en la PA, muestran que las bandas Delta, Theta 1 y 2, Alfa 1 y 2, Beta 1 y 2, además las bandas Gamma y Total. Los resultados de la PA, de la habilidad de Lectura (Tabla 686), evidenció como resultados estadísticamente significativos al $p(F) < 0.01$, se presentaron en las bandas Delta, Theta 1 y 2, Alfa 1 y 2, Beta 1 y 2, y la Total. También las bandas Delta, Theta 1 y 2, Alfa 1 y 2, Beta 1 y la Total, obtuvieron puntajes estadísticamente significativos para PA, en la habilidad de Razonamiento (Tabla 686). En relación a los resultados de la habilidad de Criterio, la Tabla 687 presenta las puntuaciones de las bandas Delta, Theta 1 y 2, Alfa 1 y 2, Beta 1 y 2, y la Total. La habilidad de Transformación (Tabla 687) obtuvo puntuaciones significativas en las bandas Delta, Theta 1 y 2, Alfa 1 y 2, Beta 1 y 2, y las bandas Gamma y Total.

Para conocer los grupos que marcaban las diferencias significativas en el Análisis de Varianza, se aplicó una prueba *t de student* para grupos relacionados. Los resultados estadísticamente significativos al $p(F) < 0.01$ muestran que la PA en la habilidad de Memoria, banda Delta (Tabla 222) obtuvo valores significativos en la derivación F4 por arriba de T4, T3, T6, T5, O2 y O1; en la derivación F3, con valores de potencia por encima de T4, T3, T6, T5 y O2; en lo que respecta a C4, sus puntuaciones están por arriba de T4, T3, T6 y T5; también se presenta un patrón de activación semejante en C3, observándose mayor potencia en esta, en comparación con T4, T3, T6, T5 y CZ; y en lo que respecta a la derivación T4, sus valores se encuentran por arriba de P4, P3 y CZ; una activación similar se aprecia en la derivación T3, pues sus puntajes de potencia son mayores a los observados en las derivaciones P4, P3 y CZ; y en lo que respecta a P4, también incrementa sus puntajes por encima de T6 y T5; en P3 se observa puntuaciones mayores a los de T5. Las derivaciones T6 y T5, presentan resultados que indican que tienen un patrón de activación de PA similar, en ambas se incrementan sus valores por arriba de O1 y CZ; en lo que respecta a O1, se los resultados indican que obtuvo puntajes significativos $p(F) < 0.01$ por arriba de O2 (ver Tabla 556 y Topograma 216). En Theta 1 (Tabla 223), en las derivaciones F4, F3, C4 y C3, se aprecia un

patrón de activación similar, sus puntajes de PA están por arriba de T4 y T3, a excepción de C4 que además se encontró que también se incrementan en comparación con T6 y T5; T4, evidenció resultados en los que se aprecia un incremento de la potencia por arriba de P4, P3 y CZ; la derivación T3, también presentó puntuaciones que tienden al incremento de sus valores por arriba de P3 y CZ; y en el caso de la derivación P4, se encontró que sus puntajes son mayores a los observados en T6 y T5, al igual que en P3, solo que en esta derivación el patrón se presenta únicamente con T6; asimismo, en T6 se observa que sus puntajes tienden a incrementarse por arriba de CZ; y en T5 por encima de O1 y CZ, y en O2, la potencia es mayor a la de O1 (ver Tabla 557 y Topograma 217). En Theta 2 (Tabla 224), al igual que en la banda anterior, se aprecia que las derivaciones F4, F3, C4 y C3, obtuvieron valores que indican que su potencia se encuentra por arriba de T4, T3 y T6, a excepción de F3, que solo se presenta en T3, y en C3 no aparece T6; las derivaciones T4 y T3, mostraron mayor activación en comparación P4 y CZ; P4 y P3 incrementan sus puntajes por arriba de T6 y T4, solo que en P3 el patrón únicamente se presenta hacia T6; la derivación T6, obtuvo puntajes de PA por debajo de CZ; y en T5 los valores se encuentran por arriba de O1 y CZ; en O2 están por encima de O1 (ver Tabla 558 y Topograma 218). En la banda Alfa 1 (Tabla 225), la derivaciones F4, F3, C4 y C3, obtuvieron puntajes de PA por arriba de los observados en las derivaciones T4, T3, T6, T5 y CZ, pero en F4 no se observó T6, ni CZ, y en C4, no se presenta CZ, y en C3 únicamente se distingue T6. Las derivaciones T4 y T3 también obtuvieron patrones similares, en ambas se distingue que las derivaciones P4, P3 y CZ presentaron menor puntajes en comparación con las primeras; una tendencia similar obtuvieron las derivaciones P4 y P3, pues sus valores están por arriba de T6 y T5; en T6 la tendencia es semejante, mostrando puntajes por arriba de CZ; en T5, sus resultados están por encima de los observados en O1 y CZ (ver Tabla 559 y Topograma 219). Los resultados de la banda Alfa 2 (Tabla 226), muestran que las derivaciones con significancia estadística evidencian un patrón de activación de la PA, en el que F4 está por arriba de T6; y T6 por encima de O2, O1 y CZ (ver Tabla 560 y Topograma 220). En la banda Beta 1 (Tabla 227) se encontró que los puntajes de F4 están por encima de los de C3 y T6; los de F7, por arriba de los de C4, O2 y CZ; los de la derivación P4 son mayores a los de T5, y los de T6, también se encuentran por encima de CZ (ver Tabla 561 y Topograma 221). La banda Beta 2 (Tabla 228), evidenció que la derivación F7, tiende a incrementar sus puntajes de PA por arriba de los observados en T6, y en T6 por encima de T5 (ver Tabla 562 y Topograma 222). La banda Gamma (Tabla 229), también obtuvo puntajes estadísticamente significativos, al $p(F) < 0.01$, en la

derivación F4, los cuales están por arriba de los observados en C4; y los de T6 están por encima de CZ (ver Tabla 563 y Topograma 223). Asimismo, la banda Total (Tabla 230) mostró una tendencia de activación de la potencia en las derivaciones F4, F3, C4 y C3, las cuales presentan valores por encima de los observados en T4, T3, T6 y T5, a excepción de las derivaciones F3 y C4, en las que no se presenta una relación significativa con T3, y en C3 solo se observa el patrón con T6; en la derivación T4, los valores se encuentran por arriba de P4, T6, O1 y CZ; en T3 son superiores a los que se aprecian en T5, O1 y CZ. Tanto en la derivación P4, como P3, se observó una tendencia de activación similar, pues sus puntajes están por arriba de T6 y T5; y en T6 y T5, también obtuvieron resultados que indican que su potencia está por encima de O1 y CZ (ver Tabla 564 y Topograma 224).

Los resultados de la habilidad de Analogías, de la Potencia Absoluta, indican que la banda Delta (Tabla 231), mostró un patrón de activación en el que las derivaciones F4, F3, C4 y C3 obtuvieron puntuaciones superiores a las observadas en T3, T6, T5 y O2, solo que en F4 no se presentó O2 y en F3, únicamente se encontró el patrón con O2; en P3 se aprecia que sus puntajes están por debajo de T4 y T3; los de CZ tienen un patrón semejante, pues se encuentran por debajo de T3, T6, T5 y O2; en T6 se aprecia algo similar, sus valores de potencia son inferiores a los de P4 y P3, y en O1 están por debajo de T5 y O2 (ver Tabla 565 y Topograma 225). La banda Theta 1 (Tabla 232) obtuvo resultados significativos, al $p(F) < 0.01$, en la derivación F4, sus valores están por arriba de T3, P4 y T5; en F3, se encuentran por encima de T3 y T5; en la derivación F7 se aprecia que sus puntajes están por arriba de CZ; y en C4, sus puntuaciones son superiores a las observadas en T4, T6 y T5; en C3, únicamente se presenta una relación significativa, tendiendo hacia el incremento de la potencia en con la derivación T3; en T4 se aprecia que sus puntuaciones están por arriba de P4 y CZ; en T3, están por encima de P4, P3 y CZ; en P4, los resultados muestran que sus valores de PA están por arriba de T5; y en T5, las puntuaciones se incrementan por arriba de O2, O1 y CZ (ver Tabla 566 y Topograma 226). En la banda Theta 2 (Tabla 233) las derivaciones con significancia estadística al $p(F) < 0.01$, son: F4 con valores por arriba de F7 y T4; F3 por encima de los observados en T3; en F7 sus puntajes están también arriba de C4 y CZ; en C4, los resultados indican puntuaciones superiores a las de T4; y en C3 por arriba de T3. En T4 se aprecia una activación de PA por arriba de CZ; y en T3, sus puntajes están por encima de P4, P3 y CZ; T5 tiene valores por arriba de O1 y CZ, y O2 por encima de O1 (ver Tabla 567 y Topograma 227). La banda Alfa 1 (Tabla 234) evidenció que en la derivación F4, los valores de la PA están por arriba de

los observados en F7, T3 y T5; los de F7, están por encima de P4 y CZ. Y en C4 y C3, sus puntajes indican una tendencia a incrementarse por arriba de T3 y T6; los de la derivación T3 están por encima de P4, y los de P4 por arriba de los de T5; en cambio la derivación CZ presentó un patrón e activación que muestra que los valores de PA están por debajo de T4, T3, T6 y T5 (ver Tabla 568 y Topograma 228). La banda Alfa 2 (Tabla 235) obtuvo puntajes significativos al $p(F) < 0.01$ en la derivación F4, que indican que la PA está por arriba de F7; en F3 por encima de T5, y en F7 son superiores a los de P4. Un patrón diferente se aprecia en las derivaciones C4 y C3, en las que su activación está por arriba de T3 y T6 en la primera, y en la segunda por encima de T3 y T5; en cambio en CZ los resultados indican que se decrementan los valores de PA por debajo de T4, T3, T6 y T5; y en T5 son inferiores a P4 y P3 (ver Tabla 569 y Topograma 229). La banda Beta 1 (Tabla 236) presentó valores significativos en la derivación F4 por arriba de T5; en F7 por encima de C4, P4 y CZ; en C4 por arriba de T6 y CZ, al igual que en T4, que están por encima de T6 y T5, y los de T6, por arriba de los de CZ (ver Tabla 570 y Topograma 230). En la banda Beta 2 (Tabla 237) se aprecia que la derivación F4 tiene valores por arriba de los encontrados en C3; en F7 los puntajes están por encima C4 y T4, en C3 por arriba de T4, y en P4 también están por arriba de CZ (ver Tabla 571 y Topograma 231). En lo que respecta a la banda Gamma (Tabla 238) se encontró que las derivaciones con significancia estadística al $p(F) < 0.01$ son: F4 con valores de PA por arriba de C3, y de esta por encima de T4 (ver Tabla 572 y Topograma 232). En la Tabla 239 se muestran los resultados encontrados en la banda Total, en la que se indica que las derivaciones F4, F3, C4 y C3, presentaron una tendencia semejante hacia el incremento de sus valores por arriba de F7, T4, T3, T6 y T5, con excepción de T4 que no fue significativa contra F3, y F7 tampoco tuvo relación con C4 y C3, además en esta última no tuvo valores significativos contra T4; en lo que respecta a la derivación F7, sus puntajes indican que tiende a incrementarse la potencia por arriba de los observados en C4, O1 y CZ. Las derivaciones T4 y T3, obtuvieron puntajes por encima de P4, P3 y CZ; P4 también presentó valore por arriba de T6 y T5, al igual que T6 y T5, cuyas puntuaciones indican que se incrementa su puntaje por arriba de O1 y CZ (ver Tabla 573 y Topograma 233).

Los resultados del análisis de la PA, de la habilidad de Planeación, muestran que la banda Delta (Tabla 240), la derivación T4 presentó valores estadísticamente significativos, al $p(F) < 0.01$, por debajo de los observados en F4 y F3, pero por arriba de P4 y P3; la derivación T5 evidenció que sus puntajes están por debajo de C4, P4 y P3, y por arriba de CZ; O2 también mostró resultados de la potencia por encima de O1 (ver Tabla 574 y Topograma 234). La banda Theta 1 (Tabla 241)

muestra que la derivación T4 tiene puntajes superiores a los de P3, y P4 por arriba de T5 y O2, además de que en T5 sus valores de PA están por arriba de O1 (ver Tabla 575 y Topograma 235). En la Tabla 242 se presentan los resultados significativos, $p(F) < 0.01$, de la banda Theta 2, en los que se distingue que la derivación F3 tiene puntajes por arriba de F7, T3 y P4; F7 obtuvo puntuaciones por encima de las observadas en P4 y O1. Y las derivaciones C4 y C3, evidenció resultados semejantes, pues tienen una tendencia de activación mayor en comparación de T4, T3 y T6; una patrón similar se aprecia en T4 y T3, en el que la potencia está por arriba de P4, P3 y CZ; en P4 se aprecia que sus valores están por arriba de T5, y en P3 por encima de T6, y en T6 por arriba de CZ (ver Tabla 576 y Topograma 236). La banda de Alfa 1 (Tabla 243) obtuvo valores de PA, en la derivación F4, que indican que se encuentran por arriba de los observados en T4 y T3; en F3 sus valores están por arriba de C4 y P3; en C4 se aprecia que sus puntajes están por encima de los de T4 y T6; C3 se distinguen valores por arriba de T6 y CZ; en cambio en P4 sus puntajes están por debajo de los observados en T4 y T3; los de P3 están por arriba de T6, y los de esta se encuentran por arriba de CZ; y los de T5 por encima de los de O1 (ver Tabla 577 y Topograma 237). En la banda Alfa 2 (Tabla 244) se encontró que las derivaciones con significancia estadística, al $p(F) < 0.01$, son: F4 con puntajes de PA por arriba de los de F7 y T5; los de F3 están por arriba de T5; los de F7, también se encuentran por encima de los observados en P4 y O1; los de C4, están por arriba de los de T3, T6 y T5; y los de T4 y T6 están por encima de los de O1; al igual que los de T3, que son superiores a los de P3 y CZ, y los de P3 están por arriba de los de T5, y los de T5 están por encima de los observados en las derivaciones O1 y CZ (ver Tabla 578 y Topograma 238). Los resultados de la banda Beta 1 (Tabla 245), muestran que la derivación F7 tiene mayores puntuaciones de PA, en comparación con los que obtuvieron las derivaciones P4 y O2; en cambio T6 decrementó sus puntuaciones por debajo de las que se aprecian en C4 y C3; los de P4 están por arriba de los de T5, y los de T6 por encima de los de CZ (ver Tabla 579 y Topograma 239). En lo que respecta a la banda Beta 2 (Tabla 246), sus valores indican que la derivación CZ presentó puntajes por debajo de los observados en F7 y T5, en cambio en T3, los puntajes se encuentran por arriba de los observados en T6 (ver Tabla 580 y Topograma 240). La banda Gamma (Tabla 247) muestra puntajes en la derivación T4, que indican que tienden a decrementarse en comparación con los obtenidos en las derivaciones F7 y C4; en cambio los de C3 están por arriba de los observados en T3; los puntajes de la derivación T4 también están por encima de los encontrados en P4, T6, T5 y CZ; y los de T3 están por arriba de P4, P3, O2 y O1 (ver Tabla 581 y Topograma 241). En relación a la banda Total (Tabla

248) las puntuaciones significativas al $p(F) < 0.01$, se encuentran en la derivación T5, cuyos valores están por debajo de F4, C4, P4 y P3; en cambio los de T4 están por arriba de P4 y P3, al igual que los de T5, que están por encima de CZ (ver Tabla 582 y Topograma 242).

Los resultados de la PA, de la habilidad de Comprensión evidenciaron que la banda Delta (Tabla 249) presentó puntajes estadísticamente significativos al $p(F) < 0.01$, en la derivación F4, cuyos valores están por arriba de los encontrados en las derivaciones T3, T6, T5, O2 y O1; en F3, también se observó que sus puntajes de PA están por encima de T3, T5 y O2; en C4 se aprecia que los valores de potencia son superiores a los que obtuvieron las derivaciones T4, T3, T6 y T5; C3 presentó una tendencia semejante, pues sus puntajes están por arriba de los observados en T4, T3, T5 y CZ. Las derivaciones T4 y T3 obtuvieron un patrón de activación semejante, en el cual sus puntajes de PA están por arriba de los observados en P4, P3 y CZ; en P4, los resultados indican que sus puntajes están por arriba de los observados en T6 y T5; T6, también mostró valores por encima de CZ; y en relación a T5, el análisis indica que sus puntajes están por arriba de los encontrados en O1 y CZ; y los de O2, por arriba de los de O1 (ver Tabla 583 y Topograma 243). La Tabla 250 muestra los valores de PA que fueron significativos en la banda de Theta 1, los cuales se presentan en F4 puntajes por arriba de los encontrados en T4, T3, P4 y CZ; en F3, las puntuaciones están por encima de las que obtuvo la derivación T3; en la derivación C4, sus valores de PA están por arriba de los de T4 y T3; los de C3, también son superiores a los que presentaron las derivaciones T4, T3, P4 y CZ; y en las derivaciones T4 y T3, los resultados indican que sus puntajes están por arriba de los de P4, P3 y CZ; así como los de T5 son mayores a los de O2 y O1 (ver Tabla 584 y Topograma 244). En lo que respecta a la banda de Alfa 1 (Tabla 251) los resultados con significancia estadística al $p(F) < 0.01$, se observan en la derivación F4, cuyos valores de PA son mayores a los de T4 y T3, al igual que los de F3, que son superiores a los de T3; las derivaciones C4 y C3, obtuvieron resultados que semejantes, con valores de PA por arriba de los encontrados en T4, T3 y T6; los de T4 son mayores a los de CZ, y los de T3, están por arriba de los de P4, P3 y CZ; los de T6 son superiores a los de CZ; y los de T5 están por encima de los de O1 y CZ; al igual que los de O2, que están por arriba de los de O1 (ver Tabla 585 Topograma 245). Los resultados de la banda Alfa 1 (Tabla 252) presentan una tendencia hacia el incremento de la PA de la derivación F4 a C4, T3, T5 y CZ; de F3 hacia C4, T3 y CZ; así como en C4, cuyos valores de potencia están por arriba de los observados en T4, T3, T6 y T5; una tendencia similar se aprecia en C3, pues sus puntuaciones están por encima de T3 y T6; en las derivaciones T4 y T3, se aprecia que la PA es superior a la observada

en P4, P3 y CZ; en T6 sus puntuaciones de potencia están por arriba de las que obtuvo CZ; en T5 se aprecia que los valores de PA están por arriba de los que se encontraron en O1 y CZ (ver Tabla 586 y Topograma 246). En la banda Alfa 2 (Tabla 253) se observa que los puntajes con significancia estadística se presentan en la derivación T5, los cuales están por debajo de F4, F3, P4 y P3; los de T6 son superiores a los de T4 y P4, y los de CZ están por debajo de T6 y T5 (ver Tabla 587 y Topograma 247). En la banda Beta 1 (Tabla 254), los resultados indican que la derivaciones F4 y C4 presentan un patrón de potencia similar, en el que sus valores están por arriba de los observados en T6 y T5, solo que en C4 también se incrementaron hacia C3; los puntajes de F7 son superiores a los que obtuvieron las derivaciones C4, P4 y CZ; además en T5 los puntajes están por arriba de CZ (ver Tabla 588 y Topograma 248). Asimismo, los puntajes en Beta 2 (Tabla 255) que fueron significativos son F7, por arriba de T3 y CZ (ver Tabla 589 y Topograma 249); en Gamma (Tabla 256), solo se aprecia con valores significativos al $p(F) < 0.01$, los observados en la derivación T4, que están por arriba de T5 (ver Tabla 590 y Topograma 250). En cambio, la banda Total (Tabla 257) indica que las derivaciones F4 y F3, obtuvieron valores por arriba de los observados en T3, T6 y T5; los de C4 también están con una tendencia hacia incrementar sus valores por arriba de C3, T3, T6 y T5; los puntajes de T4 son superiores a los observados en T5, y los de T3, también están por arriba de T6 y CZ; en cambio los valores de P4 se encuentran por arriba de T6 y T5; sin embargo, los valores de T6 y T5, se encuentran por arriba de O1 y CZ, y los de O2 por encima de los de O1 (ver Tabla 591 y Topograma 251).

La habilidad de Solución de Problemas obtuvo resultados significativos, al $p(F) < 0.01$, en la Potencia Absoluta, la banda Delta (Tabla 258), en las derivaciones F4, F3 y C4, que sus valores se encuentran por arriba del reportado para las derivaciones T3, T6, T5 y O2, solo que en C4 también se observaron valores por arriba de T4; un patrón semejante se detectó en C3, cuyos resultados muestran que el valor de PA está por arriba de T3; T4, evidenció que sus puntajes son superiores a P3 y CZ; asimismo, T3 obtuvo puntuaciones estadísticamente significativas por arriba de P4, P3 y CZ; en el caso de la derivación P4, sus valores también se aprecian por encima de T6 y T5; una tendencia se aprecia en P3, cuyos resultados están por arriba de T5; en lo que respecta a T6, sus puntuaciones de PA están por encima de CZ. Las derivaciones T5 y O2, presentaron un patrón semejante, pues sus puntajes son superiores a los observados en O1 y CZ (ver Tabla 592 y Topograma 252). En Theta 1 (Tabla 259) se obtuvo valores con significancia estadística, al $p(F) < 0.01$, en las derivaciones F4 y C4, en las cuales se aprecia que sus puntajes están por arriba de T4, T3

y T6, son que en C4 también se presentó una tendencia semejante a las descritas, pero con T5; en la derivación F3 los resultados indican que sus valores de PA son superiores a los de T3, y los de C3 también están por arriba de T4 y T3; la derivación T5 evidenció que sus valores de PA están por encima de los que obtuvieron las derivaciones O1 y CZ; en cambio, la derivación CZ presenta un patrón de decremento de su potencia, en comparación con O1 y CZ (Tabla 593 y Topograma 253). En la Tabla 260 se muestran los resultados obtenidos del análisis de la banda Theta 2, y se distingue que las derivaciones F4 y C4 arrojaron valores de PA con significancia estadística, al $p(F) < 0.01$, en comparación con T4, T3 y T6; F3 presentó una tendencia de activación similar con T3; la derivación C3 obtuvo puntajes por arriba de T3 y CZ, y en T4 superiores a los de T6; la derivación T3, también arrojó resultados significativos en la PA, en comparación con P4, P3 y CZ, en P4 por arriba de T6 y T5; y los valores de T6 están son mayores a los de CZ; así como los de T5 están por arriba de los de O2 y O1 (ver Tabla 594 y Topograma 254). La banda Alfa 1 (Tabla 261), arrojó resultados con significancia estadística al $p(F) < 0.01$, en F4 y F3, los cuales se encuentran por arriba de T3 y T5, a excepción de F3, que únicamente mostró la tendencia con T5. En el caso de las derivaciones C4 y C3, presentan un patrón de activación de PA similar, el cual está por arriba de T4, T3, T6, T5 y CZ, a excepción de esta última que únicamente mostró la tendencia con C3, y T5 con C4; las derivaciones T4 y T3 tienden a presentar resultados similares, cuyos valores de activación están por arriba de P4, P3, O1 y CZ, pero únicamente T4 presenta este patrón con P3 y T3 con O1; la derivación T6 también mostró resultados significativos que indican que sus puntajes están por arriba de O1 y CZ; y en el caso de T5, sus puntuaciones son superiores a las de O2, O1 y CZ (ver Tabla 595 y Topograma 255). Los resultados en la banda de Alfa 2 (Tabla 262) indican que la derivación F7 obtuvo mayor puntaje de PA, en comparación con P4; y T5, en comparación con CZ (ver Tabla 596 y Topograma 256). En Beta 1 (Tabla 263) los resultados muestran que la derivación T5 decrementó sus valores de PA por debajo de los observados en F4, C4 y C3, a diferencia de F7, cuyos puntajes son superiores a los de CZ (ver Tabla 597 y Topograma 257). Los resultados de la banda Beta 2 (Tabla 264), indican que la derivación C4 obtuvo valores por arriba de los de T5 (ver Tabla 598 y Topograma 258). Asimismo, la banda Gamma (Tabla 265), indican que la derivación T3 obtuvo puntajes significativos de PA, por arriba de O1 (Tabla 599 y Topograma 259). La banda Total (Tabla 266) evidenció que los resultados significativos de la PA se aprecian en las derivaciones F4 y C4, las cuales presentaron puntajes por arriba de los observados en T6 y T5; en F3, la tendencia fue a incrementar sus valores por encima de T4 y T6; la derivación C3, evidenció

que los valores de PA están por arriba de P4, T5 y CZ; y en P4 por arriba de T5. En el caso de las derivaciones T6 y T5, obtuvieron resultados significativos por arriba de los observados en O1 y CZ; y en el caso de O2, están por encima de O1 (ver Tabla 600 y Topograma 260).

Los resultados del análisis de la prueba t aplicado a la PA de la habilidad de Procesos Aritméticos, los resultados muestran que la banda Delta (Tabla 267) obtuvo valores estadísticamente significativos, al $p(F) < 0.01$, en las derivaciones F4 y F3, los cuales tendieron a incrementar su potencia en comparación con T4, T3, T5, O2 y O1, solo que T4 únicamente mostró la tendencia con F3; un patrón similar se aprecia en las derivaciones C4 y C3, en las que sus puntajes están por arriba de T4, T3, T6, T5 y O2, a excepción de T6, pues su tendencia se presentó únicamente con C4; también las derivaciones T4 y T3 evidenciaron un patrón similar entre sí, observando resultados que indican que la PA está por arriba de P4, O1 y CZ, pero O1 solo mostró relación significativa con T4; la derivación P4 evidenció una tendencia a incrementarse por encima de T5; y en las derivaciones T5 y O2, sus valores están por arriba de O1 y CZ (ver Tabla 601 y Topograma 261). Los resultados de la banda Theta 1 (Tabla 268) indican que la PA de F4 tiende a incrementarse en comparación con la de C4, T4, T3, T5 y CZ; y la de F3 por arriba de T4 y T3; los valores de C4 tienden a incrementarse por encima de los observados en T4, T3, T6 y T5; y en los puntajes de C3 están por arriba de los encontrados en T4, T3, T5 y CZ; en el caso de las derivaciones T4 y T3 se observa que obtuvieron un perfil semejante entre sí, incrementando sus valores de PA por arriba de P4, P3 y CZ; la derivación P4 muestra mayores puntajes en comparación con T6 y T5; una tendencia similar se observa en P3, con valores de PA por arriba de T5; en la derivación T6 sus puntajes están arriban de los observados en CZ; en el caso de T5, sus valores de PA están por encima de los encontrados en O1 y CZ; en O2, los resultados están por arriba de O1 (ver Tabla 602 y Topograma 262). La Tabla 269 muestra los resultados del análisis de PA de la banda Theta 2, los cuales indican que los valores de F4 están por arriba de T4, T6 y T5; la derivación F3 también obtuvo puntajes estadísticamente significativos, al $p(F) < 0.01$, por arriba de T4, T3, P4 y CZ; en la derivación F7, los resultados indican que sus valores están por arriba de C3; asimismo, la derivación C4 obtuvo valores significativos por encima de T4, T3, T6 y T5; y en el caso de C3, sus valores de PA están por arriba de T4, T3 y T5; la derivación T4 tiene puntajes por encima de P4 y CZ; además la T3 también mostró una tendencia de activación de la PA por arriba de los observados en P4, P3 y CZ; y la derivación P4 sus valores están por arriba de T6 y T5, al igual que O2 por encima de O1; a diferencia de CZ, cuyos puntajes están por debajo de T6 y T5 (ver Tabla 603 y Topograma 263). La

banda Alfa 1 (Tabla 270) obtuvo puntajes significativos, $p(F) < 0.01$, en la PA, en las bandas F4 y F3, en los cuales se observa que los valores de potencia están por arriba de los observados en T4, T3, T6 y T5; la derivación F7 también evidenció puntajes de la PA por arriba de los de C4, O2 y O1; una tendencia semejante se aprecia en las derivaciones C4 y C3, pues sus puntuaciones se incrementan por arriba de T4, T3, T6, T5 y CZ, solo que en C3 no hubieron resultados significativos con la derivación T5, y en C4, con CZ; en las derivaciones T4 y T3, se aprecia un incremento de la potencia hacia las derivaciones P4, P3, T6 y CZ, solo que T6 no obtuvo valores significativos en la comparación con T3, y P4 con T4; la derivación T6 mostró una tendencia hacia decrementar sus valores de PA por debajo de los observados en P4 y P3; la derivación T6 tiene puntajes significativos, al $p(F) < 0.01$ en comparación con CZ; y la derivación T5, obtuvo valores de PA por arriba de O1 y CZ (ver Tabla 604 y Topograma 264). El análisis de resultados de la PA, de la banda Alfa 2 (Tabla 271), indican que las derivaciones F4 y F3 tienden a incrementar sus valores hacia las derivaciones T3 y T6; en la derivación F7, sus puntajes está por arriba de los de O1; en cambio la derivación CZ, mostró una tendencia a decrementar sus valores de PA, por debajo de los observados en C3, T6 y T5; las puntuaciones de T5, también son inferiores a las detectadas en C3, P4 y P3; y en esta última derivación sus puntajes indican que se encuentra por arriba de O1 (ver Tabla 605 y Topograma 265). En la banda Beta 1 (Tabla 272), los puntajes indican que la derivación F4, tiene valores tendientes a incrementarse por arriba de T6; los de T5, por arriba de CZ; y a su vez los de T5 por debajo de C4 y P4 (ver Tabla 606 y Topograma 266). Y la banda Beta 2 (Tabla 273) mostró como valores significativos los de P4, los cuales están por arriba de P3 (ver Tabla 607 y Topograma 267). La banda Total (Tabla 274) obtuvo puntajes significativos, $p(F) < 0.01$, en las derivaciones F4, F3, C4 y C3, los cuales tienden a incrementarse con comparación con, T4, T3, T6 y T5, a excepción de T6 contra C3; los valores de T4 también se encuentran por encima de P4 y CZ; los de T3, están por arriba del encontrado en las derivaciones P4, O1 y CZ; la derivación P4, obtuvo puntajes que la ubican por arriba de T6 y T5; y los valores de T6, están por arriba de CZ; asimismo, la derivación T5 obtuvo resultados significativos que muestran una tendencia de activación mayor que la apreciada en O1 y CZ (ver Tabla 608 y Topograma 268).

Los resultados del análisis de la banda Delta (Tabla 275), de la habilidad de Toma de Decisiones, arrojó como resultados estadísticamente significativos, al $p(F) < 0.01$, que la derivación F4 obtuvo mayores valores de potencia en comparación con T4, T3, T6, T5 y O2; y en el caso de la derivación F3, sus puntajes están por arriba de T3 y T6; en lo que respecta a las derivaciones C4 y

C3, los resultados indican que los valores de PA están por encima de los que obtuvieron las derivaciones T4, T3, T6, T5 y CZ, sin embargo, no hubo ningún tipo de relación entre C4 y CZ, ni entre C3 y T5. En los resultados de las derivaciones T4 y T3 se aprecia que evidenciaron un patrón de activación semejante entre sí, pues sus valores de potencia están por arriba de P4, P3 y CZ; asimismo, la derivación T6, obtuvo diferencias sobre los puntajes de CZ; también la derivación T5 mostró diferencias significativas que la ubican con puntuaciones superiores a las observadas en O1 y CZ; una tendencia similar se puede apreciar en O2, cuyos valores de potencia están por arriba de O1 y CZ; un patrón de activación diferente se puede apreciar en la derivación T6, ya que sus puntajes tienden a decrementarse por debajo de P4 y P3 (ver Tabla 609 y Topograma 269). En la Tabla 276 se presentan los resultados del análisis de la PA, de la banda Theta 1, encontrando con puntuaciones estadísticamente significativas al $p(F) < 0.01$ las derivaciones F4, F3 y C4, cuyo patrón de activación es similar entre sí, obteniendo valores por arriba del observado en las derivaciones T4 y T3; en lo que respecta a la derivación C3, sus puntajes fueron significativos por arriba de los que se aprecian en las derivaciones T3 y CZ; también las derivaciones T4 y T3 obtuvieron patrones de activación semejantes entre sí, pues sus valores están por arriba de P4, P3 y CZ; la derivación T6, también presentó una activación semejante a las ya descritas, en donde la PA está por encima de la observada en CZ. La derivación T5, obtuvo resultados que indican que sus puntajes son mayores en comparación de los observados en O2 y O1; y la derivación O2 mostró que sus puntuaciones son superiores a las de O1 (ver Tabla 610 y Topograma 270). Los resultados de la banda Theta 2, se muestran en la Tabla 277, indican que las derivaciones F4, F3, C4 y C3 arrojaron puntajes con significancia estadística, al $p(F) < 0.01$, mayores en comparación con los que obtuvieron las derivaciones T4, T3 y T6; también la derivación T3 presentó resultados significativos que indican que tiende a incrementar la potencia por arriba de las derivaciones P4, P3 y CZ; la derivación T5 presentó puntajes de PA por arriba de los observados en O2 y O1, al igual que los de O2, están por arriba de los de O1, sin embargo, la derivación CZ evidenció una tendencia a decrementar sus valores de potencia, por debajo de los observados en T4 y T6; al igual que T6 decrementa sus puntajes por debajo de los de P4 y P3 (ver Tabla 611 y Topograma 271). La banda Alfa 1 (Tabla 278), mostró puntajes con significancia estadística, al $p(F) < 0.01$, en el análisis de PA, que indican que la derivación F4 mostró valores de potencia por arriba de los que obtuvieron las derivaciones T3 y P3; las derivaciones F3 y C3 muestra un patrón de activación similar entre sí, en el que sus puntajes están por arriba de los observados en T4, T3 y T6; la derivación C4 obtuvo puntuaciones

significativas que indican que está por encima de las derivaciones T4 y T6. Asimismo, las derivaciones T4 y T3 evidencian una tendencia de activación de PA semejante entre sí, indicando que sus puntajes están por arriba de los que obtuvieron las derivaciones P4, P3 y CZ; la derivación P3 también obtuvo puntuaciones por arriba de T5, y T6 por encima de CZ, T5 por encima de O1; la derivación T6, obtuvo puntajes de PA que muestran una tendencia a decrementarse por debajo de P4 y P3 (Tabla 612 y Topograma 272). En la banda Alfa 2 (Tabla 279) la derivación F4 mostró que sus valores de PA están son mayores en comparación con los observados en T5, y los puntajes de C3 también están por arriba de los que obtuvo T4; en cambio, la derivación T6 tiende a presentar valores de PA inferiores a los que obtuvieron las derivaciones F3, C3 y P3; de igual manera la derivación CZ mostró resultados que indican un decremento de sus puntuaciones por debajo de F7, T4, T6 y T5 (ver Tabla 613 y Topograma 273). En lo que respecta a la banda Beta 1 (Tabla 280), sus resultados indican que la derivación CZ obtuvo puntajes inferiores a los que presentaron las derivaciones F4 y C4; un patrón de activación semejante se aprecia en la derivación CZ, pues sus valores tienden a decrementarse en comparación con los observados en T6 y T5 (ver Tabla 614 y Topograma 274). La banda Beta 2 (Tabla 282), mostró como con significancia estadística, al $p(F) < 0.01$, la derivación F4, presentando puntajes por arriba de los observados en C4, C3 y T6 (ver Tabla 615 y Topograma 275). Asimismo, la banda Gamma (Tabla 283), obtuvo puntuaciones significativas de la PA, que muestran una tendencia a incrementarse por encima de C4 y C3, por otro lado, la derivación C4, también presenta valores de potencia por arriba de C3 (Tabla 616 y Topograma 276). Los resultados con significancia estadística de la banda Total (Tabla 284), muestran que la derivación F4 presenta valores que indican una tendencia a incrementarse por encima de los observados en T4, T3, T6 y T5; en cambio, la derivación T6 decrementa sus puntajes por debajo de los observados en F3, P4 y P3; las derivaciones C4 y C3 presentan un patrón de activación de PA similar entre sí, el cual tiende a incrementar sus valores en comparación con T3, T6 y CZ; la derivación T4, obtuvo puntajes de potencia por arriba de los encontrados en P4 y P3; por otro lado, las puntuaciones de CZ tienden a decrementarse por debajo de T3 y T6; los resultados de T5 se incrementan por arriba de O1 y CZ; además que los puntajes de potencia de O2 están por arriba de los observados en O1 (ver Tabla 617 y Topograma 277).

Los resultados que mostró el análisis estadístico (con significancia al $p(F) < 0.01$) de la PA perteneciente a la habilidad de Abstracción Cognitiva, indican que la banda Delta (Tabla 284) presento valores en la derivación T5, con tendencia a decrementarse por debajo del obtenido por las

derivaciones F4 y F3; la derivación C4 obtuvo resultados que indican que sus valores de potencia están por arriba de T4, T3 y T6; las derivaciones T4 y T3, muestran un patrón de activación semejante entre sí, con una tendencia a incrementar sus puntajes en comparación de los resultados observados en P4, P3 y CZ; la derivación O2, también presentó valores de PA por arriba de O1; y T6 por encima de CZ; en cambio, la derivación T6 tiende a decrementar sus puntajes por debajo de los observados en P4 y P3 (ver Tabla 618 y Topograma 278). La banda Theta 1 (Tabla 285), tiende a incrementar sus puntajes de potencia de O2 sobre O1 (ver Tabla 619 y Topograma 279). La banda Theta 2 (Tabla 286) obtuvo puntuaciones significativas, al $p(F) < 0.01$, que indican que la PA en la derivación C4 está por arriba de T4; P3 por encima de T6; sin embargo, la derivación CZ presenta un patrón que indica un decremento de la potencia por debajo del observado en T4 y T3 (ver Tabla 620 y Topograma 280). En lo que se refiere a la banda Alfa 1 (Tabla 287) sus resultados muestran que la T3 obtuvo puntajes inferiores a los de F4 y C4, al igual que T5, sus valores tienden a decrementarse por debajo de F3 y C3, pero los puntajes de C3 están por arriba de los observados en T4 (ver Tabla 621 y Topograma 281). La banda Alfa 2 (Tabla 288) presentó una tendencia a incrementar sus puntajes de PA, de T3 a CZ, y de T5 a O2 (ver Tabla 622 y Topograma 282). La banda Beta 1 (Tabla 289) obtuvo puntajes con significancia estadística, $p(F) < 0.01$, en la derivación F4, los cuales indican que se incrementa la PA por arriba de T6 y T5 (ver Tabla 623 y Topograma 283). La Tabla 290 muestra los resultados de la Potencia Absoluta, que indican que la banda Total obtuvo resultados significativos en la derivación T5, cuyos valores tienden a decrementarse por debajo de F3 y F7; en C4 por encima de T4, y esta por arriba de P4 y P3; al igual que O2, cuyos puntajes son mayores a los de O1; en cambio la derivación T6 tiende a decrementar sus valores de potencia por debajo de C4 y P4; y la derivación CZ también obtuvo puntuaciones inferiores a las de T4 y T6 (ver Tabla 624 y Topograma 284).

El análisis de resultados de la Potencia Absoluta, perteneciente a la habilidad de Síntesis, indica que la banda Delta (Tabla 291), obtuvo puntajes estadísticamente significativos al $p(F) < 0.01$, en la derivación F4, con una tendencia a incrementar la potencia en comparación con T4; la derivación F3, también presentó valores de PA por arriba de los que obtuvieron las derivaciones T3, T5 y CZ; los resultados de la derivación C4 son mayores a los que obtuvieron las derivaciones T4, T3, T5 y O2; de igual manera la derivación C3 presenta puntajes por arriba de los observados en T3; asimismo, las derivaciones T4 y T3 tienden a incrementar sus valores por arriba de P4, P3 y CZ, solo que en esta última solo coincidió el incremento con T3; la derivación P4 indica que sus

puntuaciones están por arriba de T6 y T5; en esta última sus valores están por encima de los que obtuvieron las derivaciones O1 y CZ; además de que O2 obtuvo puntuaciones por arriba de O1 (Tabla 625 y Topograma 285). En la banda Theta 1 (Tabla 292) se encontró que la derivación F4 tiene puntajes por arriba de T3 y CZ; F3 por encima de T3; y la derivación C4 incrementa sus valores de potencia, en comparación con T4 y T3; también la derivación C3 tiene puntajes por arriba de T3; las derivaciones P4 y P3 muestran que la potencia tiende a incrementarse por arriba de P4, P3 y CZ, sin embargo, la interacción entre T3 y P4 no se presentó como significativa; la derivación O1 obtuvo puntajes por debajo de T5 y O2 (ver Tabla 626 y Topograma 286). En la banda Theta 2 (Tabla 293) los resultados indican que la derivación T3 tiende a decrementar los valores de PA por debajo del encontrado en las derivaciones F4, F3, C4 y C3; en cambio T3 incrementa sus puntajes por arriba de P4, P3 y CZ; la derivación T5 obtuvo resultados significativos que indican que sus valores se incrementan por arriba de O2 y O1 (ver Tabla 627 y Topograma 287). La banda Alfa 1 (Tabla 294) mostró con niveles de significancia al $p(F) < 0.01$, que la derivación F4 tiene puntajes por arriba de T4; y la derivación T3, tiende a presentar puntajes inferiores a los de F4, F3, C4 y C3; la derivación F7 mostró un incremento en los valores de PA por arriba de C4; en la derivación T5 se aprecia que decrementa sus puntuaciones por debajo de F3 y P4; las derivaciones T4 y T3 tienden a mostrar un patrón de activación cuyos valores se incrementan en comparación los de P4, P3 y CZ, solo que no se presenta la interacción significativa entre T4 y P4; en la derivación P3 se encontraron valores significativos, al $p(F) < 0.01$, que indican que la potencia está por arriba de T6 y T5 (ver Tabla 628 y Topograma 288). La banda Alfa 2 (Tabla 295), mostró que la derivación F4 tiende a presentar mayores valores de potencia en comparación con T4; en cambio la derivación T5 tiende a decrementar los puntajes de potencia por debajo de F4, F3 y P4; los resultados de CZ se decrementan por debajo de los de T4 y T5 (ver Tabla 629 y Topograma 289). La banda Beta 1 (Tabla 296) obtuvo valores con significancia estadística en la derivación T6 que indican que tiende a decrementar la potencia por debajo de los resultados observados en las derivaciones F4, F3, T4 y T3; en cambio, en la derivación F7 los puntajes de PA están por arriba de C4, T5 y CZ, y los de T5 por encima de CZ (ver Tabla 630 y Topograma 290). La banda Beta 2 (Tabla 297) obtuvo resultados significativos que indican que la derivación F7 presentó puntuaciones de potencia por arriba de los de CZ (ver Tabla 631 y Topograma 291). Los resultados de la banda Gamma (Tabla 298), arrojaron que la derivación C3, obtuvo puntuaciones por arriba de las observadas en T3 (ver Tabla 632 y Topograma 292). En lo que se refiere a los resultados de la banda Total (Tabla 299), los puntajes

indican que la derivación T3 tiende a decrementar la potencia por debajo de F4, F3, C4 y C3, al igual que T4 mostró puntuaciones inferiores a las de F3 y C3; en T5 sus valores se decrementan por debajo de C4 y P4, los de CZ por debajo de T3 y T5; en cambio, T4 presentó resultados que indican un incremento de la potencia por arriba de P4 y P3 (ver Tabla 633 y Topograma 293).

El análisis estadístico aplicado a la PA de la habilidad de Sensibilidad Gramatical, mostró como resultado que la banda Delta (Tabla 300), en la derivación F7, presentó puntuaciones por arriba de C4 y CZ; C4 también mostró una tendencia a incrementar sus valores en comparación con T4, P3 y T6; T4 y T3, evidenciaron puntajes significativos por encima de P3 y CZ, pero la interacción no se dio entre T3 y P3; la derivación P4 obtuvo valores que muestran un incremento de la PA por arriba de T6 y O2; los valores de P3 también son mayores a los T6, al igual que los de O2, por arriba de los de O1 (ver Tabla 634 y Topograma 294). En lo que se refiere a la banda Theta 1 (Tabla 301) sus puntajes indican que en la derivación F4, la PA es mayor que en T6; y en F7 en comparación con C3 y P3; al igual que en C4, cuyos valores están por arriba de T4, T6 y T5; en T3 por encima de P3, y en T5 por arriba de O1; la derivación T6 presentó puntajes por arriba de O1 y CZ (Tabla 635 y Topograma 295). Los resultados de la banda Theta 2 (Tabla 302), se aprecia que la derivación F7 obtuvo puntajes de PA, con significancia estadística al $p(F) < 0.01$, por arriba de los observados en las derivaciones C3, P3 y CZ; y en C4 por encima de T4; así como en O2 son mayores que en CZ; en cambio la derivación P3, presentó una tendencia a decrementar los valores de PA por debajo de C3 y T3 (ver Tabla 636 y Topograma 296). La banda Alfa 1 (Tabla 303) obtuvo resultados estadísticamente significativos, al $p(F) < 0.01$, con una tendencia a incrementarse de F3 a T3, P4 y T5; de T3 hacia P4 y CZ, además de que P4 obtuvo puntajes por arriba de CZ, y O2, por encima de O1 (ver Tabla 637 y Topograma 297). Los resultados de la banda Alfa 2 (Tabla 304) muestran una tendencia en F3 a incrementar sus puntajes por arriba de F7 y T5; en T4 por encima de P4, y en esta por arriba de T5 (ver Tabla 638 y Topograma 298). En lo referente a los resultados de la banda Beta 1 (Tabla 305), muestran que la derivación F3 obtuvo valores por arriba de T6; al igual que la derivación F7, cuyos puntajes tienden a ser mayores en comparación con los de C4, P4, P3 y T5; también los resultados de T4 se presentaron por arriba de T6 (ver Tabla 639 y Topograma 299). Los resultados obtenidos en la banda Beta 2 (Tabla 306) se aprecia que la derivación F4 evidenció puntajes por arriba de T6 y T5, y en F3, por encima de T6 (ver Tabla 640 y Topograma 300). Asimismo, en la banda Gamma (Tabla 307) la derivación F4 presentó valores significativos en los que se aprecia que la PA tiende a incrementarse en comparación con T6 y O2

(ver Tabla 641 y Topograma 301). Los resultados de la banda Total (Tabla 308) mostraron que la derivación F7 presenta un patrón de activación con tendencia a incrementar sus puntajes por arriba de C4, P3 y CZ; lo mismo se aprecia en la derivación C4, cuyos valores son mayores que los de T4, T3 y T6; los de T4 están por encima de CZ, y los de T3 por arriba de P3; la derivación P4 tiende a incrementar sus puntajes por arriba de T6 y T5 (ver Tabla 642 y Topograma 302).

El resultado del análisis aplicado a la PA de la habilidad de Lectura, indica que la banda Delta (Tabla 309) derivación F4 presentó puntajes, con significancia estadística, $p(F) < 0.01$, que tienden a incrementarse en comparación con los de F7, T3, T6, T5, O2 y O1; al igual que en la derivación F3, en la que sus valores de PA son mayores que los de T5; y los de F3 están por encima de los de T5; las derivaciones C4 y C3 presentan un patrón de activación de la potencia semejante entre sí, tendiendo a incrementarse en comparación con el observado en T4, T3 y T6, solo que no se mostró interacción entre C4 y T3; la derivación T4 obtuvo puntajes por arriba de P4, P3 y CZ; en cambio CZ decrementó sus puntajes por debajo de T3 y T6; los puntajes de P4 están por arriba de los de T6 (ver Tabla 643 y Topograma 303). En la banda Theta 1 (Tabla 310) los resultados tienden a incrementarse de F4 hacia T3; de F3 hacia T5, y de P4 hacia T6; en cambio la derivación P3, mostró una tendencia a decrementar sus puntajes por debajo de T4 y T3 (ver Tabla 644 y Topograma 304). Los resultados de la banda Theta 2 (Tabla 311) arrojaron con significancia estadística, al $p(F) < 0.01$, que la derivación F4 presenta mayores puntajes de PA en comparación con los de T4, T6 y T5; los de F3 están por encima de F7 y T5; y los de C4 por arriba de los de T4 y T3; también T6 obtuvo puntuaciones que tienden a incrementar su valor por arriba de O1; sin embargo, la derivación CZ mostró una tendencia a decrementar sus puntajes por debajo de T4, T3, T6 y T5 (ver Tabla 645 y Topograma 305). Con respecto a la banda Alfa 1 (Tabla 312), las puntuaciones muestran que la derivación F3 tendió a incrementar los valores de PA por arriba de F7, T3 y T5; en las derivaciones C4 y C3, sus puntuaciones muestran que se incrementa la potencia por arriba de T4, T3, T6 y CZ, solo que C4 no presentó interacción con CZ, y C3 no interactuó con T3; las derivaciones T4 y T3 presentan un patrón de actividad similar entre sí, en el que las derivaciones P4 y CZ están por debajo de sus puntuaciones; los resultados de P4 están por arriba de los de T6, y los de T6, por encima de los de CZ (ver Tabla 646 y Topograma 306). En relación a los resultados de la banda Alfa 2 (Tabla 313) se aprecia que la derivación F3 obtuvo valores significativos por arriba de los de F7; sin embargo, los de T5 tienden a decrementarse por debajo de F3, P4 y P3; una tendencia parecida se aprecia en CZ, cuyos puntajes se decrementan por debajo de

F7 y T5; los valores de T6 están por debajo de C4 y P4; en cambio, los resultados de F7 tienden a incrementarse por arriba de P4 y P3 (ver Tabla 647 y Topograma 307). La banda Beta 1 (Tabla 314) evidenció que la derivación F4 obtuvo puntajes superiores a los observados en F7; sin embargo, F7 mostró un patrón de activación de PA, que indica que sus valores están por arriba de C4, C3, P4, P3 y CZ; la derivación C4 también obtuvo resultados por arriba de los observados en T6 (ver Tabla 648 y Topograma 308). En la banda Beta 2 (Tabla 315) se aprecia que la derivación T3 decrementa sus puntajes por debajo de los observados en F7 y C4; en cambio, los valores de T3 están por arriba de CZ (ver Tabla 649 y Topograma 309). La banda Total (Tabla 316) obtuvo puntajes estadísticamente significativos, al $p(F) < 0.01$, que indican que la derivación F4 tiende a presentar puntajes por arriba de F7 y T5; la derivación F3 incrementó sus puntajes en comparación con los de T4, T3, T6, T5 y O2; al igual se observó en C4, sus valores son mayores a los de T3, y los de T5 a los de O1; en cambio, la derivación T6, tiende a presentar puntajes por debajo de los observados en C4, C3, P4 y P3; y en CZ son inferiores a los de T3 y T6 (ver Tabla 650 y Topograma 310).

Los resultados de la habilidad de Razonamiento, de la PA, muestran que la banda Delta (Tabla 317), las derivaciones F4 y P3, obtuvieron un patrón de activación semejante, con tendencia a incrementar sus valores por arriba de T6, T5 y O2; la derivación F7 evidenció que sus puntajes están por arriba de T4, T6 y O2; los de C4, también tienden a incrementar sus valores en comparación con los observados en las derivaciones T4, T6 y O2; la derivación P4 obtuvo puntajes por arriba de T6, y esta por arriba de CZ; la derivación T5, muestra que sus valores tienden a incrementarse en comparación con los observados en O1 y CZ; los de O2, están por arriba de O1 y CZ, y los de O1, por encima de CZ (ver Tabla 651 y Topograma 311). En la banda Theta 1 (Tabla 318), la derivación F4, tiende a incrementar sus puntajes por arriba de T6; en C4 se observan puntuaciones mayores en comparación con T4 y T6; en T4 está por arriba de P4, y de esta se incrementa hacia T6; así mismo, la derivación O2, obtuvo puntajes por arriba de O1 (ver Tabla 652 y Topograma 312). Los resultados de la banda Theta 2 (Tabla 319), muestran que la derivación C4 tiene valores significativos por arriba de T4, y T3 por encima de P3, sin embargo, la derivación CZ obtuvo puntajes por debajo de los observados en C4, T4 y T3 (ver Tabla 653 y Topograma 313). La banda Alfa 1 (Tabla 320) indica que la derivación F4 obtuvo puntajes estadísticamente significativos por arriba de los observados en las derivaciones T4; los de C4 son mayores a los observados en T4, T6 y T5; la derivación T4 obtuvo valores por arriba de P3 y CZ, T3 por encima de P3; los resultados de la derivación T6 muestran que sus valores de PA son inferiores a los observados en P4 y P3; los

de CZ indican que presenta una tendencia a decrementar sus puntajes por debajo de T6 y T5; y los de O1 también se decrementan por debajo de T5 y O2 (ver Tabla 654 y Topograma 314). En lo que respecta a la banda Alfa 2 (Tabla 321) los resultados indican que la derivación T6 tiende a decrementar sus puntajes por debajo de los observados en F4 y P4; lo mismo se aprecia en la derivación P3, cuyos puntajes están por debajo de F7 y P3, de igual manera, los resultados en la derivación T5 son inferiores que los observados en P4 y P3; en cambio, la derivación T4, presentó un mayor puntaje que el que obtuvo P4; un patrón similar se observa en T6, con puntuaciones por arriba de O1; y en T5, por encima de CZ (ver Tabla 655 y Topograma 315). La banda Beta 1 (Tabla 322) presentó resultados de PA con significancia estadística, al $p(F) < 0.01$, que indican que los puntajes de F4 están por arriba de los observados en F7; en el caso de F7, sus valores son mayores en comparación con los observados en C4, T3 y CZ; la derivación C4 tiende a incrementar los valores de PA por arriba de T5, y T6 obtuvo mayor puntaje de potencia que O1 y T5 que CZ (ver Tabla 656 y Topograma 316). Los resultados de la banda Total (Tabla 323) indican que la potencia en las derivaciones F4 y C4 tiende a incrementar sus valores en comparación con T4, T6 y T5; la derivación T4 también obtuvo puntajes de potencia por arriba de P4, T6 y CZ, y los de T3 también se incrementan por arriba de P3; los resultados de la PA en P4, muestra una tendencia de activación indica que sus valores tienden a incrementarse en comparación con T6 y T5: los de P3 por encima de T6; en el caso de las derivaciones T6 y T5, también tienden a presentar mayores puntajes que los observados en O1 y CZ (ver Tabla 657 y Topograma 317).

Del resultado de la aplicación de la prueba t aplicada a la PA de la habilidad de Criterio, la banda Delta (Tabla 324) obtuvo valores con significancia estadística, al $p(F) < 0.01$, en la derivación F3, los cuales tienden a incrementarse por arriba de F7; y la derivación C4, obtuvo mayores puntuaciones en comparación con T4, T5, O2 y O1; la derivación T5 presentó valores estadísticamente significativos por arriba de los observados en las derivaciones O1 y CZ, y los de O2, por encima de los de O1 (ver Tabla 658 y Topograma 318). En la banda Theta 1 (Tabla 325) obtuvo puntajes significativos que indican una tendencia a incrementarse de F4 hacia T4 y T6; en C4 se aprecia un patrón e activación similar, en el que sus puntuaciones son mayores que las observadas en T4, T6 y T5; asimismo, la derivación P4, mostró una tendencia a incrementar sus valores por arriba de T6, los de O2, por encima de O1 y CZ; sin embargo, la derivación CZ obtuvo puntajes que indican que tiende a decrementarse en comparación con F7, T4 y T5 (ver Tabla 659 y Topograma 319). En la banda Theta 2 (Tabla 326) los resultados evidencian que la derivación F4 y

C3, obtuvieron puntajes estadísticamente significativos por arriba de T4; y los de O2, también están por encima de O1; en cambio, en la derivación T6 se aprecia que sus puntajes son mayores a los observados en F3, C4, C3 y P3 (ver Tabla 660 y Topograma 320). Los resultados en la banda Alfa 1 (Tabla 327), en las derivaciones F4 y C4, tienden a incrementarse por arriba de T5; los puntajes de F3 y P3, están por arriba de los observados en T6; en la derivación F7 se aprecia una tendencia de activación que indica que sus valores están por arriba de O2 y O1. En la derivación C3 se distingue que sus resultados tienden a presentar un incremento significativo mayor al de T5; y en la derivación T4 se aprecia que sus puntajes de PA están por arriba de P4, P3 y CZ; asimismo, los valores de T5 se incrementan por arriba de los observados en O1 y CZ (ver Tabla 661 y Topograma 321). El análisis estadístico, mostró que en la banda Alfa 2 (Tabla 328) la derivación F4 obtuvo puntuaciones que tienden a incrementarse por arriba de T6 y T5; en la derivación T6 se aprecia un patrón de potencia que indica que tiende a decrementarse en comparación con F3, T3, P4 y P3; la derivación C4 obtuvo valores que muestran que se incrementa su valor de potencia por arriba de T4 y T6; la derivación T4 obtuvo resultados que indican que los valores de PA son mayores que los observados en P4 y P3, así como los de T6 están por arriba de CZ, y los de T5, por encima de O1 (ver Tabla 662 y Topograma 322). La banda Beta 1 (Tabla 329) obtuvo resultados significativos, al $p(F) < 0.01$, que muestran que la derivación F3 mostró puntajes por arriba de T6; y los valores de F7, son mayores que los observados en las derivaciones C4, P3, T5 y CZ (ver Tabla 663 y Topograma 323). La banda Beta 2 (Tabla 330) obtuvo puntuaciones en la derivación F7, que tienden a incrementarse en comparación con las observadas en T5 (ver Tabla 664 y Topograma 324). Los resultados de la banda Total (Tabla 331) evidenció que la derivación T5 obtuvo valores inferiores a las observadas en F4 y F3; y en F3 por arriba de O2; la derivación C4, muestra una tendencia de activación de la PA hacia incrementar sus valores por arriba de T6 y T5, y en T4 por encima de P4 y P3, en P4 por arriba de T6; asimismo, la derivación T5 obtuvo valores de potencia mayores a los de O2 y O1; en cambio los de CZ están por debajo de los observados en las derivaciones T5 y O2 (ver Tabla 665 y Topograma 325).

Por último, los resultados obtenidos de la aplicación de la prueba t a la Potencia Absoluta, de la habilidad de Transformación, evidenció que la banda Delta (Tabla 332), en la derivación F4, obtuvo puntajes estadísticamente significativos, al $p(F) < 0.01$, que indican una tendencia a incrementar los valores por arriba de T4 y T6; en F7, por arriba de T5; así como en la derivación C4, por encima de T4 y O2, y en C3 por arriba de T6; sin embargo, la derivación O1, presentó una

tendencia a decrementar sus valores por debajo de T5 y O2 (ver Tabla 666 y Topograma 326). La banda Theta 1 (Tabla 333) mostró que la derivación F4 obtuvo mayores puntajes que los observados en T4; y los de P4, por encima de T6 (ver Tabla 667 y Topograma 327). Los resultados de la banda Theta 2 (Tabla 334) en la derivación F4, mostró una tendencia a incrementar sus puntajes por arriba de F7; en cambio la derivación T6 obtuvo puntajes inferiores a los observados en las derivaciones F4, C4, P4 y P3; la derivación F7 obtuvo resultados significativos con tendencia a incrementarse por arriba de P3 y CZ; en lo que respecta a la derivación T6, sus valores están por arriba de O1 y CZ, y los de T5 por encima de O2 y O1 (ver Tabla 668 y Topograma 328). En la banda Alfa 1 (Tabla 335) se obtuvieron resultados significativos en las derivaciones F4, C4 y P4, muestran que se incrementa los valores de PA por arriba de T6 y T5; en la derivación T5 también se aprecia que sus puntajes son mayores que los de CZ (ver Tabla 669 y Topograma 329). En la banda Alfa 2 (Tabla 336) se observa que la derivación F4 obtuvo puntajes con tendencia a incrementar la potencia por arriba de T4 y T5, y los resultados de T4 están por arriba de los de O1 (ver Tabla 670 y Topograma 330). En lo que se refiere a la banda de Beta 1 (Tabla 337) los puntajes estadísticamente significativos se pueden observar en la derivación F4, con tendencia a incrementarse hacia T4 (ver Tabla 671 y Topograma 331). Además en la banda Beta 2 (Tabla 338), los valores de PA, tienden a incrementarse de F7 a T4, y de T6 hacia T5 y CZ (ver Tabla 672 y Topograma 332). Los resultados de la banda Gamma (Tabla 339) indican que la derivación F7, obtuvo puntajes por arriba de CZ (ver Tabla 673 y Topograma 333). Asimismo, los resultados de la banda Total (Tabla 340) evidencia que la derivación T6 obtuvo puntajes por debajo de los observados en F4, C4 y C3; y en C4, los puntajes estadísticamente significativos muestran una tendencia a incrementar su potencia hacia T4 y T6; y en la derivación T5, se alcanza a apreciar que sus puntajes están por arriba de O1 (ver Tabla 674 y Topograma 334).

Las imágenes Topográficas derivadas de los análisis estadísticos, indican que en la evaluación Perceptual, nivel Básico, la habilidad de Atención Perceptual (Topograma 1) la banda Delta tiene un papel preponderante, involucrando la región frontal anterior izquierda (F7) y la temporal anterior derecha (T4), lo que podría ser un hallazgo que corrobore el modelo, ya que en la literatura se ha reportado que la región frontal izquierda tiene una participación relevante en tareas de atención, y la región temporal derecha en tareas de organización, manejo visoespacial y memoria espacial (Guevara, 2009; Potellano, 1992; Springer & Deutsch, 1990).

Asimismo, en el Topograma 2 se observan los resultados de la habilidad de Agrupamiento, los cuales muestran que en la banda Beta 2, la región temporal anterior izquierda (T3) tiene un mayor porcentaje de activación que la región parietal izquierda (P3) y central (CZ), lo cual podría indicar que la región temporal anterior izquierda tiende a organizar las imágenes reconocidas por la región parietal izquierda, y que la región central podría estar colaborando en la integración, búsqueda y recuperación de información.

En lo que respecta a la habilidad de Simetría de la Forma (Topograma 3), la banda Beta 1 participa de forma relevante, lo que se podría interpretar como que para la ejecución de tareas que impliquen el reconocimiento de una imagen a través de su estructura organizada en forma simple y simétrica, el cerebro requiere activarse en una frecuencia rápida, además de que se involucra la región temporal anterior izquierda (T3) con un mayor porcentaje de activación, en particular en comparación con la región central (CZ), parietal derecha (P4) y occipital derecha (O2), lo cual podría asociarse a los hallazgos en la literatura, en lo que se reporta que el hemisferio izquierdo participa en el procesamiento de la estructura de la imagen, en forma de prototipo, y el hemisferio derecho trabaja con los detalles de la imagen, además de que el lóbulo temporal izquierdo es responsable de estructurar la imagen, y la región parietal y occipital derechas de completarlas como formas globales (Neubauer, Fink & Schrausser, 2002; Studer, & Hübner, 2008; Zeki, 1993), y la región central, los resultados podrían indicar que esta zona está jugando un papel importante en la integración de la imagen (Acton & Schroeder, 2001); sin embargo, cuando la región temporal anterior izquierda (T3) denota un porcentaje bajo de activación en comparación con la región frontal posterior izquierda (F3), frontal anterior derecha (F8), y la región central izquierda (C3), podría interpretarse como la necesidad de mantener activo el proceso de atención a la imagen global y de integrar sus partes (Schwartz, Kahance & Lachaux, 2008; Delplanque, Silvert, Hot & Sequeira, 2005).

Por otro lado, en lo que respecta a la habilidad de Memoria Perceptual, los resultados muestran la participación de las bandas Delta, Alfa 1 y Beta 2 (Topogramas 4, 5 y 6), resaltando que las bandas lentas tienen mayor participación en la ejecución de las tareas propuesta, lo que podría coincidir con la información proporcionada por la literatura (Guevara, Chacón, Barradas, & Hernández, 2008), sin embargo, en los Topogramas también se aprecia que la activación se da en las regiones frontal anterior y posterior derechas (F8 y F4) e izquierda (F3), temporal anterior derecha (T4) e izquierda (T3), temporal posterior izquierda (T5), central derecha (C4) y central (CZ),

parietal derecha (P4) e izquierda (P3), y occipital izquierda (O1), indicando que la región frontal izquierda colabora en atender a la estructura del estímulo y el lóbulo frontal derecho, con mayor participación, es responsable de atender a los detalles de la imagen, y que la región central de predominio derecho, integra la imagen, además la región parietal bilateral se encarga de conservar la posición y orientación de las imágenes, para después ser almacenadas en el lóbulo temporal de predominio izquierdo (Bergner, et al, 2009; Potellano, 1992; Springer & Deutsch, 1990), probablemente porque las imágenes utilizadas son principalmente formas geométricas combinadas o transformadas en imágenes abstractas sin ningún correlato con contenidos cognitivo o ambientales.

En relación a los resultados de la habilidad de Reconocimiento de la Información, el Topograma 7 muestra que la banda Theta 2 tiene una participación significativa, lo que significa que la detección de los estímulos, sus elementos y características estructurados de forma eficiente, requiere de una frecuencia de activación lenta, además de que involucra la participación de la región frontal posterior izquierda (F3) y derecha (F4), central izquierda (C3), temporal posterior izquierda (T5), y occipital derecha (O2), esta última con un porcentaje de activación menor al observado en las otras regiones, lo cual implica que para reconocer un estímulo el cerebro requiere de activar la región frontal bilateral, ya que para esta labor es indispensable atender al estímulo a reconocer, después la región central integra la imagen, y la participación de la región temporal posterior izquierda se deba tal vez a que las formas utilizadas en las tareas eran figuras geometrizadas sin ningún contenido cognitivo, ni ambiental, para que al final sea la región occipital, de predominio derecho la responsable de procesar las imágenes para ser reconocidas como familiares para los participantes.

La habilidad de Descripción Perceptual, que implica la capacidad para nombrar en detalle los elementos de un estímulo visual o auditivo, obtuvo valores significativos en la banda Delta, evidenciando mayor porcentaje de activación en la región frontal anterior bilateral (F7 y F8), y menor en la región occipital izquierda (O1) (ver Topograma 8), lo que podría indicar que a pesar de que esta habilidad ocupe el nivel posterior en el gradiente (ver Figura D), al parecer únicamente demanda la participación de regiones específicas vinculadas con el lenguaje y detección de estímulos visuales, en una frecuencia de activación lenta.

Asimismo, los Topogramas producto del análisis de resultados de evaluación de habilidades Emocionales nivel Básico, muestran que la habilidad de Percepción Emocional, tiene mayor predominio de activación en las bandas lentas (ver Topogramas 9, 10, 11 y 12), con una tendencia

hacia el hemisferio izquierdo, y menor participación de las bandas rápidas (ver Topogramas 13, 14 y 15), y menor tendencia de activación del hemisferio derecho, lo que podría ser explicado con los hallazgos reportado en la literatura, en los que se mencionan que los niños con asimetría cerebral izquierda, muestran una tendencia a regular sus emociones, presentar menor ansiedad, y expresar mejor su estado emocional (Hajcak & Dennis, 2009; Hannesdóttir, Doxie, Bell, Ollendick, & Wolfe, 2010), lo que podría indicar que la capacidad para identificar y vincular una imagen con un patrón emocional previo, es clave en el desarrollo de la autorregulación. Asimismo, se distingue una tendencia de activación del lóbulo frontal anterior y posterior derecho en frecuencias lentas (F8 y F4), la cual es consistente aún en frecuencias rápidas, solo que además se va extendiendo de manera bilateral (F7); al parecer para cualquier tarea que requiera de detección, las áreas vinculadas con el proceso de atención juegan un papel fundamental. Además se aprecia que en todas las bandas, en este tipo de tareas, se requiere de la integración de la imagen realizada a través de la región central bilateral (C3, C4 y CZ), así como procesar las dimensiones de la imagen por medio del lóbulo parietal bilateral; coordinando el rastreo y localización de la imagen por medio de la región occipital de predominio izquierdo (O1); asimismo, las información procesada al parecer es cotejada con el banco de datos almacenado en la región temporal anterior y posterior de predominio izquierdo (T3 y T5) (Guevara y et al. 2008; Hajcak & Dennis, 2009; Hannesdóttir, y et al., 2010; Springer & Deutsch, 1990).

Los resultados de la habilidad de Reconocimiento Emocional, muestran que en la Potencia Absoluta, las bandas Theta 1 y 2, Alfa 1 y 2 tienen un patrón de actividad parecido, con una tendencia hacia el hemisferio izquierdo (ver Topogramas 18, 19, 20 y 21), en particular en la región frontal anterior izquierda (F3), lo que implica la necesidad de atender al estímulo; también se aprecia la participación de los lóbulos centrales (C3, C4 y CZ) con predominio derecho, lo que podría indicar que el reconocimiento requiere de la integración de los detalles del estímulo; la región parietal (P3 y P4) evidencia que para la identificación de la información implica el procesamiento de la dimensión y ubicación del estímulo; observándose el predominio de la región occipital bilateral (O1 y O2), de predominio izquierdo, de hecho, esta zona es la que muestra una mayor tendencia de la PA. Al ser una habilidad de reconocimiento, debe emplear la memoria, tanto la visual, como la verbal, con la finalidad de relacionar las imágenes detectadas con la información previa, pues se aprecia la activación de región temporal anterior y posterior bilateral de predominio izquierdo (T3, T5 y T6) (Basirat, et all., 2008; Herrmann, Fründ & Lenz, 2010; Bergner, et all, 2009; Guevara y et

al. 2008, 2009 y 2010). Por otro lado, se aprecia una participación relevante de la banda Gamma (Topograma 22), en la que se distingue una tendencia de activación de la región temporal anterior bilateral (T3 y T4), central izquierda (C3), y central (CZ), lo cual podría ser explicado con la información reportada en la literatura, que indica que la presencia de Gamma está relacionada con el reconocimiento de la imagen por el alto contraste con su medio, así como con el tamaño del estímulo y el proceso de atención hacia estímulos visuales (Supekar, et all., 2010; Basirat, et all., 2008; Herrmann, Fründ & Lenz, 2010).

La habilidad de Diferenciación Emocional, que implica la capacidad para distinguir la variedad de sensaciones y emociones relacionadas con situaciones sociales, personas o pensamientos, presenta un patrón de activación de la PA en las bandas Theta 1 y 2 (Topogramas 25 y 26), Alfa 1 y 2 (Topogramas 27 y 28), Beta 1 y 2 (Topogramas 29 y 30), además de la banda Gamma (Topograma 31). En relación a las bandas Theta 1 y 2, Alfa 1 y 2, se alcanza a diferenciar una tendencia de mayor actividad en Theta 2 y Alfa 1, en comparación con Theta 1 y Alfa 2; el patrón de activación involucra la región frontal anterior bilateral de predominio izquierdo (F3 y F4), la región central bilateral (C3, C4 y CZ), la región parietal bilateral (P3 y P4), así como la región temporal anterior y posterior bilateral (T3, T5 y T6) de predominio izquierdo, y occipital izquierdo (O1). Lo que indica la participación de la región frontal bilateral, ya que la información presentada requiere de ser atendida y analizada, para lo cual necesita ser integrada y ubicada dentro de un formato perceptual, por ello se observa la participación de los lóbulos centrales y parietales, sin embargo, al parecer tanto la región occipital, como la temporal izquierdas, juegan un papel preponderante en el desempeño de este tipo de tareas, tal vez debido a que para diferenciar la información es necesario tener un banco de datos clasificados, contra los cuales pueda ser cotejado el estímulo, labor realizada por el lóbulo temporal izquierdo, pero al parecer es la región occipital la que realiza la diferenciación de la imagen, y es de resaltar que sea el lóbulo izquierdo, pues ha mencionado en la literatura que este es responsable de procesar la estructura de la imagen (Delplanque, Silvert, Hot & Sequeira, 2005; Studer, & Hübner, 2008; Unsworth & Engle, 2005; Zeki, 1993). Las bandas Beta 1 y 2 evidenciaron una tendencia de activación más específica en comparación con las otras bandas, pues únicamente se aprecia la participación de la región temporal posterior izquierda (T5), frontal posterior bilateral (F3 y F4), y central izquierda (C3), siendo la región temporal la que presente menor activación de la potencia en comparación con las otras regiones, lo cual podría asociarse con el análisis de información con contenido emotivo por parte de

la región frontal, y con la búsqueda de datos para cotejar el estímulo observado, actividad gobernada principalmente por la región temporal izquierda. En lo que respecta a la banda Gamma, se observa en el Topograma 31, la participación de la región frontal posterior izquierda (F3), y central (CZ), esto implica la participación de la atención, asociada a una detección rápida de la información (Acton & Schroeder, 2001; Bergner, et al., 2009; Cattell, 1987; Jausovec & Jausovec, K. 2004).

Por otro lado, se aprecia un patrón de activación de la Potencia Absoluta, en la habilidad de Memoria Emocional, en la que se presenta una tendencia mayor en las bandas rápidas Alfa 2 y Beta 1 (Topogramas 36 y 37), evidenciando la participación de la región frontal posterior bilateral (F3 y F4), central bilateral de predominio izquierdo (C3, C4 y CZ), parietal de predominio izquierdo (P3 y P4) y temporal anterior y posterior bilateral de predominio izquierdo (T3, T5 y T6), este patrón al parecer está relacionado con el almacenamiento de información cognitiva y no emocional, sin embargo, en las bandas lentas, Delta y Theta 1 (Topogramas 33 y 34), la tendencia en el patrón se presenta ligeramente hacia el hemisferio derecho, lo que probablemente indique que el tipo de información sea almacenada a través de pautas emocionales y significado cognitivo (Facon, 2004, 2006; Guevara y et al. 2008; Neubauer, Fink, & Schrausser, 2002).

Los Topogramas 41, 42 y 43 muestran el patrón de activación, de las bandas Delta, Theta 1 y 2 durante la ejecución de tareas diseñadas para medir la habilidad de Relación Emocional, lo cual podría indicar que estas frecuencias se presentan por la demanda atencional para la ejecución de las tareas propuestas; también se aprecia una mayor participación de distintas áreas, frontal posterior bilateral (F3 y F4), central bilateral (C3, C4 y CZ), temporal posterior bilateral con predominio izquierdo (T5 y T6), parietal (P3 y P4), y occipital izquierdo (O1), probablemente como un mecanismo activador o preparatorio de procesos complejos. En los Topogramas 44, 45 y 46 se presentan los resultados de las bandas Alfa 1 y 2, Beta 1 y 2, en las que se distingue una marcada tendencia de activación en el lóbulo temporal posterior izquierdo (T5), junto con la región frontal izquierda (F3), central bilateral (C3 y C4), central medial (CZ), parietal bilateral de predominio izquierdo (P3 y P4), y en particular en la banda Beta 2, la tendencia la presenta la región temporal anterior izquierda (T3). Lo cual podría denotar que el lóbulo temporal izquierdo participa en el proceso de asociación de información con contenido emocional. En lo que respecta a la banda Gamma (Topograma 48), se aprecia un patrón de actividad en el que la región temporal anterior izquierda (T3), y la frontal izquierda (F3), tienen un papel relevante, aspecto que coincide en

procesos integrativos y en el sostenimiento de la atención (Facon, 2004, 2006; Guevara y et al. 2008 y 2009; Neubauer, Fink, & Schrausser, 2002).

En los Topogramas que representan los resultados de la habilidad de Empatía (Topogramas 50, 51, 52, 53, 54, 55, 56 y 57) se aprecian cinco tipos de patrón diferentes, uno para cada banda, mostrando que entre más bajas son las frecuencias, existen mayor involucramiento de distintas zonas de especialización cerebral, por ejemplo en la banda Delta (Topograma 50) el área frontal anterior y posterior bilateral de predominio izquierdo (F7, F3 y F4), central bilateral (C3 y C4) central (CZ), temporal anterior y posterior bilateral de predominio izquierdo (T3, T4, T5 y T6), parietal bilateral (P3 y P4), y occipital bilateral (O1 y O2); en las bandas Theta 1 y 2, participan la región frontal bilateral de predominio izquierdo (F3, F4 y F7), central bilateral de predominio izquierdo (C3 y C4), temporal anterior izquierdo (T3), una participación preponderante de la región temporal posterior izquierda (T5), parietal bilateral (P3 y P4), y occipital de predominio izquierdo (O1); en las bandas Alfa 1 y 2 se aprecia una menor participación de las áreas antes descritas, encontrando que únicamente se involucran la región frontal anterior bilateral y posterior de predominio izquierdo (F3, F4 y F7), en particular la zona frontal anterior izquierda parece ocupar un papel fundamental en la ejecución de este tipo de tareas; la región central bilateral (C3 y C4), temporal anterior izquierda (T3), temporal posterior bilateral de predominio izquierdo (T5 y T6), con una particular activación de la zona posterior izquierda; parietal bilateral (P3 y P4), y occipital derecho (O2). Las bandas Beta 1 y 2, involucran todavía menos áreas, por ejemplo se encontraron resultados significativos en la región frontal posterior izquierda (F3 y F7), central bilateral de predominio izquierdo (C3 y C4), temporal anterior bilateral de predominio derecho (T3 y T4), temporal posterior bilateral de predominio izquierdo (T5 y T6), y parietal bilateral (P3 y P4). La banda Gamma (Topograma 57), muestra un patrón de activación en el que la región frontal izquierda tiene un desempeño clave (F3 y F7), al igual que región central bilateral (C3 y C4), temporal anterior bilateral de predominio izquierdo (T3 y T4), así como la región temporal posterior (T5 y T6). La actividad descrita podría evidencia que para poder ejecutar tareas relacionadas con la empatía, se requiere de una labor compleja, en la que el cerebro va especializando su labor entre más rápida sea la frecuencia que participe, sin embargo, cabe destacar que la tendencia de activación se da hacia el hemisferio izquierdo, lo cual podría coincidir con los hallazgos reportados en la literatura (Hajcak & Dennis, 2009; Hannesdóttir, et al., 2010), en lo que se ha encontrado una asimetría izquierda en niños con una adecuada capacidad de autorregulación y expresión emocional.

En lo que respecta a la habilidad de Flexibilidad en el Sentimiento, los Topogramas evidencian un patrón similar de activación de la PA en frecuencias bajas, Delta (Topograma 59), Theta 1 y 2 (Topogramas 60 y 61), así como Alfa 1 (Topograma 62), en el que se aprecia la participación de distintas áreas, como la frontal posterior bilateral (F3 y F4), central bilateral (C3 y C4), central medial (CZ), temporal anterior izquierdo (T3), temporal posterior bilateral con predominio izquierdo (T5 y T6), parietal bilateral (P3 y P4), y occipital izquierdo (O1); en las bandas rápidas Alfa 2 (Topograma 63), Beta 1 y 2 (Topogramas 64 y 65) se distingue un patrón de activación diferente al de las frecuencias bajas, en el que participan un menor número de áreas, con una tendencia hacia el hemisferio izquierdo, y en particular hacia el área temporal posterior izquierda (T5); este tipo de tendencia se ha presentado en distintas habilidades, aparece durante el desempeño de tareas relacionadas con el reconocimiento, asociación y expresión de las emociones. Sin embargo, la banda Gamma (Topograma 66) tiene un patrón de activación distinto a los anteriores, pues la tendencia se orienta hacia la región frontal posterior bilateral (F3 y F4), central bilateral (C3 y C4), y temporal anterior derecho (T4), tal vez porque en este tipo de tareas se requiera de un nivel particular de consciencia sobre sí mismo, aspecto que se ha asociado en los reportes de la literatura, con el surgimiento de la banda Gamma (Bergner, et al., 2009).

En lo que respecta a los resultados de la habilidad de Tolerancia, las imágenes Topográficas muestran tres tipos distintos de tendencia en la activación de la Potencia Absoluta, la primera involucra la banda Delta (Topograma 68), y en esta frecuencia participan todas las zonas estudiadas, con excepción de la región frontal anterior (F7 y F8), patrón que ha sido constante a lo largo de casi todas las habilidades emocionales estudiadas, por lo que tal vez pueda ser un indicador con el que se puedan diferenciar los procesos de activación emocional en infantes; el segundo patrón evidencia el predominio de la región temporal posterior izquierda (T5), en las bandas Theta 1 y 2 (Topogramas 69 y 70), y en particular en la banda Alfa 2 (Topograma 72), lo cual también se ha observado como una constante a lo largo de la aplicación de las tareas emocionales hasta ahorita reportadas, y esto tal vez se pueda relacionar con procesos de asociación, estructura y reconocimiento perceptual, manejo espacial, de tal manera que probablemente los niños bases el manejo emocional es procesos básicos que se tendría que ir desarrollado o estimulando a lo largo de su desarrollo. Cabe destacar que la banda Gamma (Topograma 73) vuelve a presentar un patrón de activación diferente al resto de las bandas, esto también parece ser una característica del manejo emocional, lo que al parecer es un patrón o tendencia distintiva de activación, con el que se diferenciaría cada habilidad.

En relación a los hallazgos reportados de la PA de la habilidad de Recuperación del Estado Emocional, se puede apreciar en las imágenes Topográficas, que no mantienen un patrón constante a lo largo de las bandas (ver Topogramas 75, 76, 77, 78, 79, 80 y 81), lo único que se aprecia como una tendencia se da en las bandas Alfa 2 y Beta 2 (Topogramas 78 y 79 respectivamente), con una participación de la región frontal bilateral (F3 y F4), central medial (CZ), central bilateral (C3 y C4), temporal anterior derecho (T4), temporal posterior bilateral (T5 y T6), parietal bilateral (P3 y P4), y occipital derecho (O2), sin embargo, el patrón que marca la diferencia se puede apreciar nuevamente en el Topograma 80, que contiene los resultados de la banda Gamma, en él se observa que la región frontal posterior izquierda (F3), central medial (CZ), y occipital derecha (O2), juegan un rol relevante, lo que podría indicar que para lograr una adecuada contención de emociones negativas, es imprescindible que el lóbulo frontal izquierdo, que participa en el manejo de los impulsos, al igual que la región medial, se activa cuando el individuo detecta una imagen, a través del lóbulo occipital, que involucre a la habilidad de tolerancia.

Los resultados del análisis de la habilidad de Concepto Social, muestran una tendencia de activación en la banda Delta (Topograma 82), en la que participan todas la derivaciones, con excepción de las que involucran a las regiones frontal anterior bilateral (F7 y F8), y occipital derecho (O2); en las bandas Theta 1 y 2 (Topogramas 83 y 84), se aprecia la participación de la región temporal posterior de predominio izquierdo (T5), al igual que la región occipital de predominio izquierdo (O1); las bandas Alfa 1 y 2 (Topogramas 85 y 86), evidenciaron una tendencia semejante entre sí, en la que están involucradas el lóbulo temporal anterior y posterior de predominio izquierdo (T3 y T5); por otro lado, la participación de la banda Beta 1 (Topograma 87), no parece mostrar una tendencia en particular, o por lo menos semejante a las antes descritas, pues únicamente obtuvo significancia en las derivación C4 y CZ, sin embargo, la banda Beta 2 (Topograma 88) obtuvo un patrón de activación semejante al observado en la banda Gamma (Topograma 89), en el que participan la áreas temporal anterior bilateral (T3 y T4), central bilateral (C3 y C4), y temporal posterior izquierdo (T5), lo que podría implicar la presencia de un patrón que correlacionara con el autoconcepto.

La habilidad de Percepción Afectiva Social mostró como resultado una tendencia en la banda Delta (Topograma 91) a activar todas las áreas involucradas en el estudio, a excepción de la región frontal anterior (F7 y F8), temporal anterior derecha (T4), y occipital derecha (O2); las bandas Theta 1 y 2 (Topogramas 92 y 93) presentan una tendencia similar entre sí, sin embargo, la banda Theta 2,

involucra menos áreas que la 1, mostrando un patrón relevante en el lóbulo temporal anterior izquierdo (T3), y temporal posterior bilateral de predominio izquierdo (T5 y T6); también las bandas Alfa 1 y 2 (Topogramas 94 y 95), evidenciaron patrones de activación similares, sin embargo, en Alfa 1, participan menos áreas con respecto a Alfa 2, con una tendencia de activación de la región temporal posterior izquierda (T5); la banda Beta 1 (Topograma 96) obtuvo valores significativos semejantes a los encontrados en la habilidad de Concepto Social, por lo que esta activación de la PA, en las regiones central medial (CZ) y central derecha (C4), que podría considerarse una característica relevante en tareas que involucren emociones y pensamientos sobre sí mismo, estructurados por la retroalimentación del entorno social, y sensaciones respecto a la capacidad de producir afecto en el entorno social. Al igual que en esta banda, la banda Gamma (Topograma 97) un patrón de activación de la PA, semejante al observado en la habilidad de Concepto Social, en el que la región temporal anterior izquierda (T3), y la central derecha (C4), juegan un papel preponderante, de tal manera que estas bandas y derivaciones representan un patrón de activación específico.

En el caso de los resultados que se presentan en las imágenes Topográficas, obtenidas del análisis de la rINTER y de la PA, perteneciente a la evaluación de habilidades Cognitiva, nivel Básico, propuesta en el modelo, muestran que la habilidad de Atención Cognitiva obtuvo un patrón de correlación semejante entre las derivaciones F3-F4, C3-C4, T5-T6 y O1-O2, en las bandas Delta, Theta 1 y 2, y Alfa 1 (ver Topogramas 99, 100, 101 y 102), lo que podría indicar que durante la ejecución de las tareas de atención con un contenido cognitivo, el cerebro trabaja de manera correlacionada, no únicamente en la región frontal, sino también en la central, temporal posterior y occipital, a excepción la región central, la cual no obtuvo puntajes significativos de correlación en la banda Alfa 1. En lo referente a la banda Alfa 2, Beta 1 y 2, en los Topogramas 103, 104 y 105 se aprecia que la región occipital (O1-O2) es la única que mantiene sus valores de correlación, lo cual podría evidenciar el valor de esta región en el proceso de sostenimiento de la atención.

Las imágenes que muestran los resultados del análisis aplicado a la habilidad de Descripción Cognitiva, evidencian cuatro patrones de correlación distintos, el primero se puede observar en los lóbulos frontales posteriores (F3-F4) y parietales (P3-P4), durante la banda Delta (Topograma 107); el segundo patrón se presenta en la banda Theta 1, en la que se correlacionaron las regiones frontales posteriores (F3-F4), central, izquierda y derecha (C3-C4), temporal posterior, también izquierda y derecha (T5-T6), además de la región occipital, izquierda y derecha (O1-O2) (ver Topograma 108);

el tercer patrón se distingue entre las bandas Theta 1 y Gamma (Topogramas 109 y 114), en él se observan entre las regiones centrales (C3-C4), temporales posterior (T5-T6) y occipitales (O1-O2). El cuarto patrón se presentó en la región occipital izquierda y derecha (O1-O2), durante las bandas Alfa 1 y 2, Beta 1 y 2 (Topogramas 110, 111, 112 y 113), tendencias que se pueden interpretar como características de una condición en la que se requiera la descripción de objetos con un contenido cognitivo y no perceptual o sensorial (Facon, 2004, 2006; Neubauer, Fink, & Schrausser, 2002).

En las imágenes que representan los resultados de la Discriminación Cognitiva, muestran cuatro tipos distintos de tendencias, en la primera se alcanza a observar que durante la banda de Delta el cerebro requiere de trabajar de manera correlacionada y simultánea, entre todas las áreas estudiadas, a excepción de las derivaciones F7-F8, y T3-T4 (ver Topograma 116), lo que podría ser interpretado en dos sentidos, como la demanda de activación durante la resolución de este tipo de tareas, o la presencia de un estado bioeléctrico preparativo para la ejecución de una labor descriptiva. Por otro lado, las bandas Theta 1 y 2 presentan valores de correlación interhemisférica entre los lóbulos frontales posteriores, temporal posterior, y occipitales (F3-F4, T5-T6, O1-O2) (ver Topogramas 117 y 118); en el tercer patrón se aprecia en el Topograma 119, en la banda Alfa 1, en las derivaciones F3-F4 y O1-O2; el cuarto patrón muestra que la región occipital mantiene un nivel de correlación entre las derivaciones O1-O2 (ver Topogramas 120, 121 y 122), en las bandas Alfa 2, Beta 1 y 2, resultados que son semejantes a los observados en frecuencias rápidas de otras habilidades, en tareas que implican el reconocimiento y diferenciación entre elementos específicos, como en la habilidad de Descripción Cognitiva (ver Topogramas 110, 111, 112 y 113).

En diferentes estudios (Guevara y et al. 2008, 2009 y 2010; Potellano, 1992; Springer & Deutsch, 1990), se ha descrito la participación del lóbulo temporal bilateral y de la región del cíngulo como responsables del almacenamiento de información, en particular la memoria cognitiva, de lenguaje y emocional, en los resultados de las tareas pertenecientes a la habilidad de Memoria para Detalles se observó la presencia de tres tipos de patrón, el primero indica que la rINTER entre las regiones frontales posteriores (F3-F4), centrales (C3-C4), parietales (P3-P4), temporales posteriores (T5-T6) y occipitales (O1-O2), durante la banda Delta (ver Topograma 124) es alta, y en el segundo patrón se aprecia que en las bandas Theta 1 y 2, Alfa 1 y Gamma (Topogramas 125, 126, 127 y 130) se correlacionan las regiones frontales posteriores (F3-F4), temporales posteriores (T5-T6), y occipitales (O1-O2); el tercer patrón se observa en los resultados de la rINTER, región occipital (O1-O2), en las bandas Alfa 2 y Beta 1. La tendencia en los tres patrones podría confirmar

la necesidad de activación de ambos hemisferios, así como la participación de áreas anteriores y posteriores (frontal y occipital) durante el proceso de retención de información detallada con contenido cognitivo.

En lo que respecta a los Topogramas que representan los resultados encontrados en la habilidad de Reconocimiento Cognitivo, se observa una tendencia de activación de la Potencia Absoluta en la banda Delta (Topograma 132) en la región temporal anterior izquierda (T3) y posterior (T5), la central derecha (C4), central medial (CZ), parietal bilateral (P3 y P4), y occipital bilateral (O1 y O2), para después mostrar un patrón de activación en las bandas Theta 1 y 2, en el que se destaca la participación de la región frontal anterior y posterior (F3, F4, F7 y F8), central y temporal anterior derecha (C4 y T4), central media (CZ), parietal bilateral (P3 y P4), temporal posterior izquierda (T5), y la región occipital presenta, una participación alternada en Theta 1 y 2 (ver Topogramas 133 y 134). En las bandas Alfa 1 y 2 (ver Topogramas 135 y 136) revelan una tendencia semejante de activación de la PA en las regiones frontal anterior izquierda (F7), central derecha (C4), parietal bilateral (P3 y P4), temporal posterior izquierda (T5), así como la región central media (CZ), con excepción de la región central y temporal anterior derechas (C4 y T4), que únicamente se presentan en Alfa 1, y la región occipital derecha (O2) en Alfa 2. En las bandas Beta 1 y 2, se observa que la Potencia Absoluta se activa en las regiones frontal anterior y posterior izquierdas (F3 y F7), parietal izquierda (P3), temporal posterior izquierda (T5), occipital derecha (O2), con excepción de la región central medial (CZ), y central derecha (C4), que únicamente se presenta en Beta 1, y frontal anterior derecha (F8) en Alfa 2 (ver Topogramas 137 y 138); en relación a la banda Gamma (Topograma 139) se presenta un patrón de activación frontal anterior izquierda (F7), frontal posterior bilateral (F3 y F4), así como la región parietal izquierda (P3). Estos resultados podrían ser evidencia de las características bioeléctricas que subyacen a la ejecución de la habilidad de Reconocimiento.

En el caso de la habilidad de Clasificación Cognitiva se observa que en la Potencia Absoluta la participación de las regiones frontal anterior y posterior bilateral (F3, F4, F7 y F8), central medial (CZ), central derecha (C4), temporal anterior y posterior bilateral (T3, T4, T5 y T6), parietal bilateral (P3 y P4), y occipital derecha (O2), en la banda Delta (ver Topograma 141). Asimismo, en la banda Gamma (Topograma 142), se aprecia la actividad de la región frontal anterior izquierda (F7), y occipital derecha (O2). Estos patrones de actividad podrían indicar, que para clasificar la

información el cerebro requiere de la participación de distintas zonas en una frecuencia lenta, y la participación de la región frontal anterior izquierda y occipital derecha durante frecuencias rápidas.

La habilidad de Organización Cognitiva obtuvo puntajes significativos en la Potencia Absoluta, y la Topografía indica que la presencia de tres tipos de patrones, en el primero se aprecia la activación de las derivaciones frontal anterior derecha (F8), frontal posterior bilateral con predominio derecho (F3 y F4), central derecha (C4), temporal anterior y posterior izquierda (T3 y T5), y parietal bilateral con predominio derecho (P3 y P4), durante las bandas Delta y Theta 1 (ver Topogramas 143 y 144). El siguiente patrón muestra una semejanza entre los resultados de la banda Theta 2 y Alfa 1, en las derivaciones frontal anterior de predominio derecho (F7 y F8), frontal posterior bilateral de predominio izquierdo (F3 y F4), central medial (CZ) y central derecha (C4), temporal anterior y posterior izquierdos (T3 y T5), parietal bilateral de predominio derecho (P3 y P4), y occipital derecho (O2) (ver Topogramas 145 y 146). Y en lo que respecta a las bandas Alfa 2, Beta 1 y 2, muestran un patrón de activación de la PA similar entre bandas, en la cuales se activa la PA de la región frontal anterior derecha (F8), frontal posterior izquierda (F3), temporal posterior izquierdo (T5), con excepción de la participación de la región frontal posterior derecha (F4), central derecha (C4), parietal bilateral (P3 y P4), en las bandas Alfa 2 y Beta 1, y occipital derecho (O2) en Beta 2 (ver Topogramas 147, 148 y 149). Además, en la banda Gamma (Topograma 150), únicamente se activa la región temporal posterior bilateral (T5 y T6). Los patrones descritos indican la participación de distintas áreas durante el desempeño de tareas que impliquen organizar la información, lo que podría indicar que es una labor con alta demanda de activación y con alto valor cognitivo.

Las imágenes Topográficas de los resultados de la Correlación Interhemisférica obtenidos de la habilidad de Jerarquización Cognitiva, nivel Básico, muestran un patrón semejante en la banda Delta al que se observa en las habilidades de Atención, Discriminación cognitivas y Memoria para Detalles (ver Topogramas 152, 99, 116 y 124), en el que la región frontal posterior (F3-F4), central (C3-C4), temporal posterior (T5-T6), y occipital (O1-O2) trabajan de manera correlacionada y simultánea; en lo que respecta a las bandas Theta 1 y 2, se aprecia un patrón diferente, pues únicamente se correlacionan las áreas frontales posteriores (F3-F4) y occipitales (O1-O2), a excepción de la región temporal posterior (T5-T6) que solamente se aprecia en la banda Theta 2 (Topogramas 153 y 154), lo que podría indicar que la labor de la habilidad de jerarquizar información en función de un objetivo, involucra la actividad simultánea de la región frontal y

occipital en frecuencias lentas. Asimismo, las bandas Alfa 1 y Beta 1 muestran que las regiones temporal posterior y occipital (Topogramas 155 y 157) sostiene un patrón de correlación, y la banda Alfa 2 (Topograma 156) solamente evidenció la participación de la región occipital. Estos resultados podrían indicar que el cerebro tiende a presentar una labor simultánea en las regiones frontal posterior y occipital como una estructura de actividad eléctrica que permite ejecutar tareas de jerarquización.

La habilidad de Asociación Cognitiva obtuvo valores de r_{INTER} significativos en las bandas Delta y Theta 1 (Topogramas 159 y 160), en las regiones frontal posterior (F3-F4), central (C3-C4), parietal (P3-P4), temporal posterior (T5-T6) y occipital (O1-O2), a excepción de la región parietal que solamente aparecen con valores significativos en la banda Delta. En lo que respecta a las bandas Theta 2 y Alfa 1 (Topogramas 161 y 162) la r_{INTER} se presenta en las regiones frontales posteriores (F3-F4) y occipitales (O1-O2); la región temporal posterior (T5-T6) únicamente muestra actividad en la banda Theta 2. Asimismo, en las bandas Alfa 2, Beta 1 y 2 (Topogramas 163, 164 y 165) se mantiene el patrón de correlación en la región occipital (O1-O2); y en la banda Gamma (Topograma 166), además de continuar con la actividad en la región occipital semejante a las bandas antes descritas, se vuelve a presentar actividad correlacionada en los lóbulos posteriores. Estos resultados podrían indicar que para relacionar una variedad de información cognitiva, el cerebro demanda una labor interhemisférica simultánea en frecuencias bajas, y en frecuencia rápidas disminuyendo la participación de varias regiones, y se va focalizando la actividad en zonas específicas, tal vez como una manera de mantener en la mente la imagen vinculada con la información con la cual se va a asociar.

Las imágenes Topográficas de la habilidad de Secuencia Cognitiva, muestran un patrón de correlación interhemisférica en las bandas Delta, Theta 1 y 2 (Topogramas 168, 169 y 170) en las regiones frontal posterior (F3-F4), central (C3-C4), temporal anterior (T3-T4), parietal (P3-P4), temporal posterior (T5-T6) y occipital (O1-O2); solo que la región temporal anterior no presenta actividad en la banda Delta, la parietal en la Theta 1, además de que en Theta 2, no se encuentra correlacionada la región central, ni parietal. Los resultados de las bandas Alfa 1 y 2 (ver Topogramas 171 y 172) evidencian la participación de las regiones frontal anterior, central y occipital, pero la región central solo se presentó en Alfa 2. Otro patrón de r_{INTER} , se observa en las bandas Beta 1 y 2 (Topogramas 173 y 174) en el que los valores de correlación se presentaron solo en la región occipital. Por último, la banda Gamma (Topograma 175) obtuvo valores de r_{INTER}

significativos en la región central, temporal posterior y occipital. Por lo que estos resultados podrían ser evidencia que confirme que las regiones frontal, centra, temporal y occipital son responsables de procesar información que indique la secuencia lógica de cualquier tipo de información cognitiva (Guevara y et al. 2008, 2009 y 2010; Potellano, 1992; Springer & Deutsch, 1990).

En el modelo propuesto se incluyó la habilidad de Vocabulario, dentro de la evaluación de Cognitiva, nivel Básico, y las imágenes Topográficas evidencian que la rINTER, formó un patrón en las bandas Delta, Theta 1 y 2, Alfa 1 y 2 (ver Topogramas 177, 178, 179, 180 y 181), en el que participan las regiones frontal anterior (F7-F8), frontal posterior (F3-F4), central (C3-C4), temporal posterior (T5-T6) y occipital, en el que se van decrementando las zonas participantes entre mayor es la frecuencia, con una tendencia a que permanezcan únicamente las derivaciones F7-F8, T5-T6 y O1-O2. Y en las bandas Beta 1 y 2 (Topogramas 182 y 183), solamente se correlaciona la región occipital; sin embargo, en la banda Gamma (Topograma 184), se vuelven a correlacionar las regiones central, temporal posterior y occipital. En la literatura se ha descrito la participación de la región frontal como responsable del lenguaje oral y escrito (Guevara y et al. 2008, 2009 y 2010; Potellano, 1992; Springer & Deutsch, 1990), principalmente la izquierda, y la occipital, encargada de generar una representación interna de la palabra o el lenguaje (Guevara y et al. 2008, 2009 y 2010; Potellano, 1992; Springer & Deutsch, 1990), lo cual coincide con los resultados aquí señalados, sin embargo, al parecer la habilidad de Vocabulario, que implica el conocimiento del significado y el uso de las palabras, demanda además la participación de la región central y temporal posterior, durante las frecuencias lentas en población infantil.

Por otro lado, los resultados de la habilidad de Conceptualización Cognitiva muestran que las puntuaciones de rINTER significativas en las bandas Delta y Theta 1 (ver Topogramas 186 y 187) son iguales, evidenciando el patrón de actividad en la región frontal posterior (F3-F4), central (C3-C4), temporal posterior (T5-T6), y occipital (O1-O2). En las bandas Theta 2 y Alfa 1 (ver Topograma 188 y 189), se correlacionan las regiones frontal posterior y temporal posterior (Topogramas Theta 2, Alfa 1); en las regiones Alfa 2, Beta 1 y 2 (Topogramas 190, 191 y 192), se correlacionan la región central anterior y posterior, central, temporal anterior, parietal posterior y occipital. La tendencia en la actividad bioeléctrica, que se distingue a lo largo de estos resultados, evidencia que al parecer, para poder generar conceptos, otorgándoles significado a las acciones, situaciones, personas o cosas, es necesario que el cerebro trabaje correlacionado entre distintas regiones cerebrales, tanto en frecuencias lentas, como en rápidas. Estos resultados podrían sustentar

la idea de que para generar un concepto otorgándole significado, por la labor cerebral que evidencia patrones de correlación tanto en bandas lentas, como en rápidas.

Los resultados de la habilidad de Seguimiento de Instrucciones, representados en los Topogramas presentan un patrón de rINTER en las bandas Delta, Theta 1 y 2, en el que intervienen las regiones frontal posterior (F3-F4), central (C3-C4), parietal (P3-P4), temporal posterior (T5-T6) y occipital (O1-O2) (ver Topogramas 194, 195 y 196), aunque ni en Theta 1, ni en la 2, se presenta la correlación interhemisférica entre las derivaciones ubicadas en la región parietal (P3-P4). Alfa 2 (Topograma 197), muestra valores de correlación en la región frontal posterior, central y occipital. y en lo que respecta a las bandas Beta 1 y 2, los Topogramas (198 y 199) muestran que las regiones frontal anterior, temporal anterior y posterior, parietal y occipital obtuvieron valores significativos en la rINTER. Estos resultados podrían indicar que para ejecutar una instrucción, el cerebro debe generar una labor correlativa entre ambos hemisferios, en las regiones frontal, temporal posterior y occipital.

Los Topogramas en los que se representan los resultados de la evaluación de habilidades Perceptuales a nivel Global, muestran que la habilidad de Discriminación Perceptual obtuvo un patrón de activación en las bandas Theta 1, Alfa 1, Beta 2 y Gamma (Topogramas 201, 202, 203 y 204), en las que participan en las tres primeras la región frontal anterior bilateral (F7 y F8), central medial (CZ), temporal anterior izquierda (T3), y occipital bilateral (O1 y O2); en lo que respecta a la banda Gamma, se muestra un patrón en el que además de las regiones antes descritas, también participa el lóbulo central izquierdo (C3). A pesar de que no se activan las regiones de la misma forma en cada banda, sí se mantiene a lo largo de la ejecución la participación de las derivaciones descritas, además de que se va incrementando la participación de las regiones conforme aumenta la frecuencia. Cabe destacar que a pesar de que esta habilidad se encuentra en otros niveles del modelo, en este presentó un patrón diferente al de las antes descritas, lo cual podría ser evidencia del sustento fisiológico, tanto de la habilidad, como del nivel en sí.

En la habilidad de Memoria Perceptual, de la evaluación Perceptual nivel Global, se aprecia un patrón de activación en la banda Gamma (Topograma 205), en las regiones frontal anterior derecha (F8), temporal anterior izquierda (T3), y central medial (CZ). En la literatura se ha descrito la participación de la región temporal izquierda en el proceso de memoria (González & Ramos, 2006; Guevara y et al. 2008, 2009 y 2010; Potellano, 1992; Springer & Deutsch, 1990), lo cual estaría confirmando los resultados reportados para esta habilidad, la diferencia podría radicar en que

la región frontal derecha también muestra valores de potencia significativos, sin embargo, se ha descrito (Neubauer, Fink & Schrausser, 2002; Studer, & Hübner, 2008; Zeki, 1993) que el lóbulo frontal derecho se encarga de procesar los detalles de la imagen, y que la banda Gamma favorece los procesos de integración y representación de una imagen en la mente (Acton & Schroeder, 2001; Bergner, et all, 2009; Neubauer, Fink & Schrausser, 2002; Studer, & Hübner, 2008; Zeki, 1993).

Los resultados de la PA, de la habilidad de Reconocimiento de la Tercera Dimensión, muestran un patrón de activación que va de la región frontal anterior izquierda (F7), hacia la región temporal anterior derecha (T4), y de la frontal anterior derecha (F8), a la occipital derecha (O2) (ver Topograma 206); estos resultados coinciden con los reportados para el procesamiento visual, en los que se ha descrito que el hemisferio izquierdo procesa la estructura de la imagen y el derecho los detalles (Acton & Schroeder, 2001; Bergner, et all, 2009; Neubauer, Fink & Schrausser, 2002; Studer, & Hübner, 2008; Zeki, 1993), y en este caso la diferencia podría ser la evidencia de la participación de la región temporal derecha, que junto con la región occipital derecha, probablemente se encarguen de la representación de la imagen tridimensional en la mente.

Asimismo, se encontró que en la habilidad de Conservación Espacial tres tipos de tendencias, la primera involucra la banda Delta, y en esta se aprecia la participación de las regiones frontal anterior izquierda (F7) y posterior derecha (F4), central medial (CZ), central y temporal anterior derechas (C4), temporal posterior izquierda (T5), parietal bilateral (P3 y P4), y occipital derecha (O2) (Topograma 207); en Theta 1, la región frontal posterior izquierda (F3), central medial (CZ), temporal anterior derecha (T4), parietal derecha (P4) y occipital derecha (O2); y en la banda Gamma (Topograma 209), se activa la región frontal anterior derecha (F8), central medial (CZ) y occipital izquierda (O1), destacando la consistencia de las regiones frontal y occipital, alternándose entre el hemisferio derecho e izquierdo, así como la central medial, y temporal anterior derecha, lo que probablemente denote la responsabilidad de esta región en la percepción de las dimensiones, proporciones y posición del estímulo en el espacio, y la alternancia de las derivaciones probablemente sea la responsable del procesamiento de la adaptación del estímulo en diferentes dimensiones espaciales (Acton & Schroeder, 2001; Bergner, et all, 2009; Neubauer, Fink & Schrausser, 2002; Studer, & Hübner, 2008; Zeki, 1993). También se destaca la diferencia entre las frecuencias, pues sus resultados oscilaron entre las bandas más lentas y la más rápida.

El Topograma 210 muestra la representación de los resultados de la habilidad de Figura-Fondo, obtenidos durante la banda Gamma, en este se aprecia la participación de las regiones

occipital izquierda (O1), parietal izquierda (P3), temporal posterior derecha (T6), central izquierda (C3), central medial (CZ), y frontal anterior bilateral (F7 y F8); esta tendencia es similar a la encontrada en los resultados de la habilidad del Reconocimiento de la Tercera Dimensión (Topograma 206) y Conservación Espacial (Topograma 209), la diferencia al parecer se da en la participación de la región parietal izquierda y temporal posterior derecha, por lo que probablemente estos resultados evidencien dos cosas, la primera, la existencia de un patrón de activación responsable del procesamiento de la percepción visual, y la segunda, que en cada habilidad se distingue alguna derivación con la que se podría establecer las diferencias entre cada una de las distintas ejecución perceptuales propuestas en el modelo.

En los Topogramas 211 y 212, se presenta los patrones de activación de la PA, en las bandas Delta y Gamma, respectivamente, de la habilidad de Analogía de Imágenes. En la primera banda se observa la participación de la región frontal posterior izquierda (F3) y temporal anterior derecha (T4); y en la banda de Gamma, se activa la región frontal anterior derecha (F8), central medial (CZ), y occipital derecha (O2). Estos resultados implican la participación frontal bilateral, temporal anterior y occipital derechas, lo cual corresponde a los hallazgos reportados en la literatura sobre el procesamiento de las imágenes (Acton & Schroeder, 2001; Bergner, et all, 2009; Neubauer, Fink & Schrausser, 2002; Potellano, 1992; Springer & Deutsch, 1990; Studer, & Hübner, 2008; Zeki, 1993).

Los resultados de la habilidad de Abstracción Visual, muestran dos tipos de tendencia, la que se aprecia en el Topograma 213, que pertenece a la banda Delta, y en el que distingue la participación de las regiones frontal posterior izquierda (F3), central medial (CZ), central bilateral (C3 y C4), temporal anterior bilateral (T3 y T4), parietal bilateral (P3 y P4), temporal posterior izquierda (T5), y occipital derecha (O2), resaltando la participación de esta última y la de la región central derecha, áreas que probablemente sean responsables de la activación del proceso de abstracción. Asimismo, la banda Gamma muestra la participación de la región frontal anterior bilateral (F7 y F8), central medial (CZ), central izquierda (C3), temporal posterior y occipital izquierdas (T5 y O1) (ver Topograma 215), por consiguiente el proceso de abstracción visual probablemente descansa en las regiones frontales bilaterales, centrales, tanto medial, como bilateral, solo que estas últimas de forma alterna, la región temporal posterior izquierda y las occipitales bilaterales también de forma alterna.

En las imágenes Topográficas derivadas del análisis de la PA de la habilidad de Memoria Cognitiva, nivel Global, los resultados muestran la participación de todas las áreas registradas, frontal posterior bilateral (F3 y F4), central medial (CZ), central bilateral (C3 y C4), temporal anterior bilateral (T3 y T4), parietal bilateral (P3 y P4), temporal posterior bilateral (T5 y T6) y occipital bilateral (O1 y O2) en las bandas bajas, Delta, Theta 1 y 2, y Alfa 1 (ver Topogramas 216, 217, 218 y 219), y hacia las bandas rápidas se va focalizando la actividad en ciertas regiones, como se puede apreciar en Alfa 2 (Topograma 220) que presenta un patrón de activación de mayor potencia en la región frontal posterior derecha (F4) y temporal posterior derecha (T6), además de involucrar a la región central medial (CZ) y occipital bilateral (O1 y O2). En lo que respecta a la banda Beta 1 (Topograma 221) se distingue la actividad de la región frontal anterior izquierda (F7), frontal posterior derecha (F4), central medial (CZ), central bilateral (C3 y C4) en forma cruzada con la región frontal, además de la región temporal posterior bilateral (T5 y T6), y occipital derecha (O2). En el caso de la banda Beta 2 (Topograma 222), la imagen muestra la participación de la región frontal anterior izquierda (F7) y temporal posterior bilateral (T5 y T6); en la banda Gamma (Topograma 223), se distingue la participación de la región frontal posterior derecha (F4), central derecha (C4), central medial (CZ), y temporal posterior derecha (T6). Estos resultados podrían servir como evidencia de cuatro aspectos sobre el proceso de almacenamiento de información, el primero implicaría que las frecuencias bajas podrían servir como ritmos preparatorios para la ejecución de esta labor, el segundo que en un estado previo a la ejecución de la memoria se involucran varias regiones de forma simultánea; el tercero indicaría la participación constante, como si fuera una estructura, de la región frontal, tanto anterior como posterior bilateral, en forma alterna, la región temporal posterior bilateral con predominio derecho, y la región central medial, central derecha y occipital derecha; el cuarto aspecto se refiere al hecho de que entre más rápidas sean las frecuencias, menor es el número de regiones que se pueden detectar como involucradas, y a diferencia de los hallazgos reportados en la literatura (Guevara y et al. 2008, 2009 y 2010; Potellano, 1992; Springer & Deutsch, 1990), en los cuales se dice que una labor cognitiva requiere de una tendencia asimétrica hacia el lado izquierdo, y hacia el lado derecho cualquier información vinculada con aspectos emocionales, en el presente estudio se encuentran patrones inversos (ver Topograma 34, 35 y 40).

La habilidad de Analogías Cognitivas, nivel Global, muestra una tendencia de activación semejante a la reportada con anterioridad, en la que se indica que en las bandas lentas Delta y Theta 1 (Topogramas 225 y 226) hay mayor participación de diferentes regiones cerebrales; sin embargo,

en la banda Theta 2 (Topograma 227), se distingue una tendencia de activación de la PA hacia el lado izquierdo, involucrando áreas como la frontal anterior y posterior izquierdas (F7 y F3), frontal posterior derecha (F4), temporal anterior bilateral (T3 y T4), temporal posterior izquierdo (T5) y occipital derecho (O2); este patrón podría ser un correlato que coincide con la información encontrada en la literatura (Guevara y et al. 2008, 2009 y 2010; Papousek, 2004; Segalowitz, Santesso & Jetha, 2010). La que se reporta la participación de la región frontal izquierda, temporal anterior izquierda y central bilateral, como involucradas en la producción del lenguaje, en particular en función del significado y gramática del lenguaje. Una tendencia similar se aprecia en las bandas Alfa 1, 2 y Beta 1 (Topogramas 228, 229 y 230), solo que no participa la región occipital, ni la central izquierda en Beta 1. Y en el caso de las bandas Beta 2 y Gamma, presentan un comportamiento similar en las regiones frontal posterior derecha, central izquierda, y temporal anterior derecha, pues al parecer estarían participando en la organización, ritmo y estructura de las palabras (ver Topogramas 231 y 232).

Las imágenes Topográficas construidas a partir de los resultados derivados del análisis de la Potencia Absoluta, de la habilidad de Planeación, ubicada en la evaluación Cognitiva, nivel Global, presenta una tendencia a la inversa de lo que se ha reportado anteriormente, pues en las bandas lentas, Delta y Theta 1 (Topogramas 234 y 235), se aprecia una tendencia de menor número de áreas involucradas en comparación con las bandas rápidas. Como se puede apreciar en Theta 2 y Alfa 1, 2 y Beta 1 (Topogramas 236, 237 y 238) en las cuales se destaca la actividad de la región frontal anterior izquierda (F7), frontal posterior bilateral (F3 y F4), central medial (CZ), central bilateral (C3 y C4), temporal anterior bilateral (T3 y T4), parietal bilateral (P3 y P4), temporal posterior bilateral (T5 y T6), y occipital izquierdo (O1), en el que la tendencia indica una participación relevante de la región frontal, con predominio izquierdo, la región central bilateral y temporal de predominio izquierdo, áreas que han sido reportadas en la literatura como relevantes en el proceso de planeación de cualquier actividad (Guevara y et al. 2008, 2009 y 2010; Potellano, 1992; Springer & Deutsch, 1990). La banda Beta 1 (Topograma 239) muestra una tendencia distinta, y aunque se mantiene la activación de la región frontal anterior izquierda, no participan las regiones frontales posteriores, y la temporal posterior tiene un papel relevante. La banda Beta 2 (Topograma 240), presentó una tendencia distinta a la de Beta 1, pues únicamente evidencian actividad significativa la región frontal anterior izquierda, temporal anterior y posterior izquierdas; y la banda Gamma (Topograma 241) muestra la consistencia de la participación de la región frontal anterior izquierda

(F7), pero la temporal anterior bilateral presenta una tendencia relevante. Estos hallazgos son también congruentes con los reportados en la literatura (Bergner, et al., 2009), en los que se implica, tanto a la región frontal izquierda en proceso de planeación y anticipación, como la región temporal bilateral, en la secuencia, planeación y ejecución de los movimientos (Guevara et al., 2008; Bergner, et al., 2009).

La habilidad de Comprensión, que implica la capacidad para reconocer y vincular información nueva con la experiencia, obtuvo un patrón de activación similar entre las bandas Delta, Theta 1, 2 y Alfa 1 (ver Topogramas 243, 244, 245 y 246), en el que se parecía la participación de todas las regiones registradas a excepción de la frontal anterior bilateral (F7 y F8), y occipital derecha (O2). En lo que respecta a las bandas Alfa 2 y Beta 1 (Topogramas 247 y 248) se distingue la participación de la región frontal anterior izquierda, frontal posterior bilateral, central medial, central bilateral, al igual que la temporal posterior y parietal bilateral, solo que en Beta 1 no participa la región frontal posterior izquierda, y en Alfa 2 la frontal anterior izquierda, ni la central bilateral, pero sí la temporal anterior derecha. Los resultados de la banda Beta 2 muestran una tendencia hacia la activación de la región frontal anterior izquierda (F7), junto con la participación de la región central medial y temporal anterior izquierda (T3) (ver Topograma 249). En la banda gamma únicamente se encontró una relación significativa entre las regiones temporal anterior derecha (T4) y temporal posterior izquierda (T5). Estos resultados podrían ser una evidencia que indicara la relación entre las áreas evaluadas para poder realizar una labor de asociación compleja, como es la comprensión, en la que destaca la participación de la región frontal anterior izquierda y frontal posterior bilateral, así como las regiones central medial, central bilateral y temporal posterior bilateral, áreas que han sido vinculadas con capacidad de análisis y de integración de la información, así como con procesos de atención y memoria (González & Ramos, 2006).

Los resultados de la habilidad de Solución de Problemas, indican que la tendencia de la PA es parecida en las bandas Delta, Theta 1 y 2 (ver Topogramas 252, 253 y 254), aunque con menor número de relaciones significativas en las últimas dos bandas, y en las tres involucrando a todas las regiones evaluadas, a excepción de la frontal anterior bilateral, y parietal bilateral y occipital derecha, en Theta 1. La banda Alfa 2 (Topograma 255) evidenció un patrón de activación semejante al de las bandas Theta 1 y 2, solo que la actividad occipital se dio de manera cruzada. La banda Alfa 2 (Topograma 256) únicamente presentó valores significativos en la derivación frontal anterior izquierda y temporal posterior izquierda, con la participación de la región central medial y parietal

derecha; en la banda Beta 1 (Topograma 257) se aprecia un patrón de actividad que involucra a las regiones frontal anterior y temporal posterior izquierdas, como en Alfa 2, pero incrementa la participación de la región frontal posterior derecha y central bilateral; estos hallazgos son relevantes pues a estas áreas se les ha vinculado con la capacidad para analizar, planear y ejecutar información, por lo tanto esta tendencia podría ser el correlato bioeléctrico de la habilidad para solucionar problemas. En lo que respecta a la banda Beta 2 (Topograma 258), sólo se presentó actividad en la región central derecha, en relación con la temporal posterior izquierda; y en la banda Gamma (Topograma 259), el área con puntuaciones significativas es la temporal anterior izquierda, en función de la occipital izquierda.

La habilidad para realizar Procesos Aritméticos, muestra que en las bandas lentas, Delta, Theta 1, 2 y Alfa 1 (Topogramas 261, 262, 263 y 264) están involucradas distintas áreas, sin embargo, destaca la participación de la región frontal posterior bilateral (F3 y F4), frontal anterior izquierda (F7), temporal anterior y posterior bilateral (T3, T4, T5 y T6), así como las regiones parietal y occipital bilateral (P3, P4, O1 y O2); en Alfa 2 (Topograma 265) se aprecia un patrón de potencia que podría estar más cercano a la información encontrada en la literatura (Guevara y et al. 2008, 2009 y 2010; Potellano, 1992; Springer & Deutsch, 1990) con respecto a procesos aritméticos, en el que participa la región frontal anterior izquierda, frontal posterior bilateral, central medial, central izquierda, temporal anterior izquierda, temporal posterior bilateral, parietal bilateral y occipital izquierda, siendo relevante la participación de la región temporal posterior y parietal bilateral, ya que a estas áreas se le ha vinculado principalmente con el manejo espacial y numérico, en particular cálculo y secuencia. Las bandas Beta 1 y 2 (Topogramas 266 y 267) evidenciaron patrones distintos, en la primera se aprecia el papel relevante de la región frontal posterior derecha, central y parietal derechas, así como la temporal posterior izquierda; en cambio en Beta 2, únicamente aparecen con una tendencia significativa la región parietal derecha, en relación a su área homóloga izquierda.

Los Topogramas 269, 270, 271 y 272 muestran los resultados de las bandas Delta, Theta 1, 2 y Alfa 1, respectivamente, pertenecientes a la habilidad de Toma de Decisiones, en los cuales se aprecia una tendencia de participación todas las áreas evaluadas, a excepción de la región frontal anterior bilateral (F7 y F8), y occipital derecho (O2) en la banda Alfa 1; en las imágenes se destaca la participación de la región frontal anterior bilateral, (F3 y F4) temporal anterior bilateral (T3 y T4) y temporal posterior de predominio derecho (T6). La banda Alfa 2 (Topograma 273) evidenció un

perfil de activación en el que llama la atención la región frontal anterior izquierda (F7), frontal posterior bilateral (F3 y F4), central medial (CZ), central izquierda (C3), temporal anterior derecho (T4), y temporal posterior bilateral (T5 y T6), así como parietal izquierda (P3). En el Topograma 274 se observan los resultados de la banda Beta 1, los cuales indican la participación de la región frontal posterior derecha (F4), central medial (CZ), central derecha (C4), y temporal posterior bilateral (T5 y T6). En la banda Beta 2 (Topograma 275) se distingue la activación de la región frontal posterior derecho (F4), en relación con la región central bilateral (C3 y C4), y temporal posterior derecha (T6). Los resultados de la banda Gamma (Topograma 276) indican que la región frontal posterior derecha obtuvo valores significativos, al igual que la región central bilateral. En la literatura se ha reportado que la región orbitofrontal, frontal y central son relevantes para la toma de decisiones (González & Ramos, 2006; Guevara y et al. 2008, 2009 y 2010; Potellano, 1992; Springer & Deutsch, 1990), sin embargo, a pesar de que en el presente estudio no se pudo realizar ningún registro cercano a la región orbitofrontal, las áreas descritas en las bandas Alfa 2, Beta 1 y 2, así como en la banda Gamma, corresponden tales descripciones.

La habilidad de Abstracción Cognitiva, nivel Global, obtuvo una tendencia de la PA en cada una de las bandas analizadas, por ejemplo en la banda Delta (Topograma 278) se distingue la participación de la región frontal posterior bilateral (F3 y F4), temporal anterior bilateral (T3 y T4), central derecha (C4), temporal posterior bilateral (T5 y T6), parietal bilateral (P3 y P4), y occipital con predominio derecho (O2); la banda Theta 1 (Topograma 279) obtuvo puntajes que indican la activación únicamente de la región occipital bilateral de predominio derecho; la banda Theta 2 (Topograma 280), obtuvo un patrón de activación de las áreas temporal posterior bilateral, central derecha y parietal izquierda; la banda Alfa 1 (Topograma 281), la activación se presenta en la región frontal posterior bilateral y central bilateral. La banda Alfa 2 (Topograma 282) evidenció la actividad de la región temporal anterior y posterior izquierdo, con la participación de las regiones central medial y occipital derecho. Y en la banda Beta 1 (Topograma 283) se aprecia que la región frontal posterior derecha y la temporal posterior bilateral. Estos hallazgos podrían indicar que ante una tarea que le demande al cerebro el proceso de abstracción, este no presenta un patrón específico, como si se requiriera de distintas áreas y diferentes niveles de activación.

En lo que respecta a la habilidad de Síntesis, las imágenes Topográficas muestran que durante la banda Delta y Theta 1 (Topogramas 285 y 286) la tendencia de activación de la PA se da en la frontal posterior bilateral (F3 y F4), temporal anterior bilateral (T3 y T4), central bilateral (C3

y C4), parietal derecho (P4), y temporal posterior izquierdo (T5), así como occipital derecho (O2), en cambio la banda Theta 2 (Topograma 287) mostró que la tendencia se da en la región frontal posterior, central bilateral, y temporal anterior y posterior izquierdo. En la banda Alfa 1 (Topograma 288) se distingue un patrón ligeramente diferente al de las bandas anteriores, en el que la región frontal anterior izquierda, posterior bilateral, central bilateral, temporal anterior bilateral y parietal bilateral. La banda Alfa 2 (Topograma 289) muestra la participación de la región frontal posterior bilateral, temporal anterior derecho, y posterior izquierdo, así como parietal derecho, y la banda Beta 1 (Topograma 290) presenta una tendencia de activación, semejante a la observada en Alfa 1, en la que la región frontal anterior, frontal posterior bilateral, temporal anterior bilateral y temporal posterior izquierda. Los resultados en la banda Beta 2 (Topograma 291) únicamente se activa la región frontal anterior izquierda, junto con la región central medial, y en la banda Gamma (Topograma 292) solo la derivación central izquierda, y temporal anterior izquierda. La información de las imágenes Topográficas muestran una constante en la actividad de la PA de la región frontal posterior bilateral, central bilateral, y temporal anterior bilateral, lo cual podría ser la evidencia que indicara una estructura de activación para realizar síntesis de información.

Los resultados de la Potencia Absoluta, de la habilidad de Sensibilidad Gramatical, evaluación Cognitiva nivel Global, presentan una constante en la activación de las regiones frontal anterior izquierda (F7), central derecha (C4), temporal anterior izquierda (T3), y occipital derecha (O2), en las bandas Delta, Theta 1 y 2 (Topogramas 294, 295 y 296). La banda Alfa 1 (Topograma 297) presenta un patrón de activación diferente al de las bandas anteriores, en este se distingue la participación de la región frontal posterior izquierda, temporal anterior izquierda, parietal y occipital derechas. Las bandas Alfa 2, Beta 1 y 2 (Topogramas 298, 299 y 300) presentaron una constante en la participación de las regiones frontal anterior izquierda (F7), frontal posterior izquierda (F3), temporal anterior derecha (T4) y parietal derecha (P4). En lo que respecta a la banda Gamma (Topograma 301) se aprecia una tendencia en la región frontal posterior derecha, junto con las regiones temporal posterior y occipital derechas. Las tendencias de activación de esta habilidad son similares a los patrones observados en la habilidad de Analogías, lo cual podría evidenciar que ambos patrones están relacionados con el lenguaje, principalmente el expresivo.

Los resultados de la habilidad de Lectura, evaluación Cognitiva nivel Global, muestran que las en bandas Delta (Topograma 303), Theta 1 y 2 (Topogramas 304 y 305), y Alfa 1 (Topograma 306), participan de manera relevante las áreas frontal anterior izquierda, frontal posterior bilateral,

central derecha, temporal anterior bilateral, parietal derecha, y temporal posterior derecha. En lo que respecta a las bandas Alfa 2 y Beta 1 (Topogramas 307 y 308), las imágenes Topográficas indican que la región frontal anterior izquierda, frontal posterior bilateral, central derecha, y parietal bilateral tienen una participación relevante. Lo que respecta a la banda Beta 2 (Topograma 309), los resultados muestran que la región temporal anterior izquierda tiene una labor relevante, junto con la frontal anterior izquierda. Estos resultados podrían denotar el patrón de actividad eléctrica cerebral subyacente a la labor de lectura, aunque cabe destacar que la participación de la región occipital no fue relevante, aspecto que no coincide con la información reportada en la literatura (Matute, 2003; McRorie & Cooper, 2004; Neubauer, Fink, & Schrausser, 2002).

Las imágenes Topográficas obtenidas de los resultados de la PA, de la habilidad de Razonamiento, evaluación Cognitiva nivel Global, muestran que en la banda Delta (Topograma 311), participan las regiones frontal anterior izquierda (F7), frontal posterior derecha (F4), central derecha (C4), parietal (P3 y P4) y temporal posterior (T5 y T6) bilateral, al igual que la región occipital bilateral (O1 y O2), y a diferencia de los resultados antes descritos, en esta ocasión el patrón de activación no es consistente en las frecuencias lentas, como se puede evidenciar en la banda Theta 1 (Topograma 312), en el que se aprecia la participación de la región frontal posterior derecha, central, temporal anterior, parietal y occipital derechas. Y en las bandas Theta 2 y Alfa 1 (Topogramas 313 y 314), se aprecia un patrón consistente que involucra a las áreas temporal anterior bilateral, parietal bilateral con predominio izquierdo, y la central derecha. Las bandas Alfa 2 (Topograma 315), y Beta 1 (Topograma 316) también mostraron consistencia en la actividad de la región frontal anterior izquierda, frontal posterior derecha, central medial, temporal anterior bilateral con predominio izquierdo, temporal posterior bilateral, y occipital izquierdo. Estos hallazgos implican que para poder establecer conclusiones o inferir leyes, labor que indica el razonamiento, es necesaria la participación de la región frontal anterior izquierda, posterior derecha, central derecha, temporal anterior bilateral, así como occipital derecha, como un patrón de actividad que sostiene su ejecución.

La habilidad de Criterio, que implica la comparación de dos clases de información diferente, para determinar su relación, para después asignarle al resultado un valor, mostró que en la PA, la banda Delta (Topograma 318), y la banda Theta 1 (Topograma 319), las regiones frontal anterior izquierda, frontal posterior izquierda, central derecha, parietal anterior derecha, temporal posterior bilateral y occipital derecha, presentan una actividad semejante consistente. En cambio en la banda

Theta 2 (Topograma 320), la tendencia de activación se da hacia la región temporal anterior y posterior derechas, frontal posterior bilateral, central bilateral, parietal izquierda y occipital derecha. En lo que respecta a la banda Alfa 1 y 2 (Topogramas 321 y 322) evidencian la participación de las regiones frontal posterior bilateral, central bilateral, temporal anterior bilateral con predominio derecho, temporal bilateral de predominio derecho y parietal bilateral. Las bandas Beta 1 y 2 (Topogramas 323 y 324), muestran un patrón de actividad consistente en la región frontal anterior izquierda, junto con la región temporal posterior izquierda. Los hallazgos reportados en la literatura indican que el criterio está íntimamente relacionado con la toma de decisiones, sin embargo, en el presente modelo se les ha considerado como habilidades diferentes, y los resultados presentados en los Topogramas de ambas habilidades corroboran el modelo, pues su patrón de activación es claramente diferente.

Finalmente, la habilidad de Transformación, que implica la posibilidad de manipular la información para utilizarla de forma diferente o con mayor eficacia, obtuvo en los resultados del análisis de la PA una tendencia en las bandas Delta, Theta 1 y 2 (ver Topogramas 326, 327 y 328), que indica que la región frontal anterior izquierda, frontal posterior derecha, central bilateral con predominio derecho, temporal posterior izquierda, parietal derecha y occipital derecha, se comportan de forma consistente durante la ejecución de las tareas. La banda Alfa 1 (Topograma 329) presentan una actividad consistente en la región frontal posterior derecha y temporal posterior izquierda, sin embargo, también se aprecia en Alfa 1 la activación de la región central y parietal derechas, y en Alfa 2, la región temporal anterior derecha. Beta 1 (Topograma 331), únicamente mostró un patrón de activación en la región frontal posterior derecha y temporal anterior derecha. La banda Beta 2 (Topograma 332) presentó un patrón de actividad diferente al de Beta 1, pues participa la región frontal anterior izquierda y temporal posterior derecha. En la banda Gamma (Topograma 333), solo se presentó la activación de la región frontal anterior izquierda, en participación con la región central medial. Un patrón evidente a lo largo de todas las bandas es el que se aprecia entre la región frontal posterior derecha y la temporal anterior derecha, lo que tal vez implique que estas áreas son las que gobiernan la tendencia del perfil de activación durante la ejecución de las tareas.

Discusión

Uno de los propósitos del presente estudio fue desarrollar un modelo teórico para la construcción de reactivos que midieran habilidades, en tres variedades y cuatro niveles (véase Figura

A), con el procedimiento del Análisis Cognitivo de Tareas, al respecto los resultados indican que el modelo obtuvo evidencia sólida para los niveles Básico y Global, de acuerdo con los datos derivados del análisis de Clásico y de Rasch. Con este último se detectó el nivel de dificultad de los reactivos, al diferenciar los reactivos fáciles de los difíciles y distinguir tanto la complejidad de la respuesta como las puntuaciones de correlación de los reactivos entre sí (véase las Tablas 1, 2, 3, 4 y 5). Asimismo, el análisis Clásico también evidenció la homogeneidad de los reactivos, pues reflejó su capacidad para describir y diferenciar las habilidades propuestas, en población infantil de tercero y quinto de primaria.

Por lo tanto, ACT mostró ser una herramienta poderosa para la construcción de reactivos, pues los resultados muestran que los participantes presentan un desempeño cercano al indicador propuesto, lo que se corrobora tanto mediante el análisis de Clásico, como con el de Rasch. Esto probablemente se debe a la forma detallada en que el ACT describe una actividad, y de ahí que las cualidades de la habilidad permitan ubicarla fácilmente dentro de la escala de complejidad. Así, el ACT parece ser una herramienta útil que ofrece la posibilidad de construir bancos de reactivos e instrumentos que alcanzan una calibración eficiente, con confiabilidad alta.

Si bien en la literatura se han descrito distintos tipos de habilidades intelectuales (Carroll, 1993; Gardner, 1994, 2001; Guilford, 1986, Sternberg, 1987; Feuerstein & Mayor 1997) un aspecto novedoso de la presente investigación fue el hecho de haber propuesto a la Percepción como una de sus variedades, y no como un conjunto de habilidades que sólo dan sustento a otras, ya que en numerosos estudios sobre inteligencia se ha evidenciado la presencia de distintas habilidades perceptuales, pero al parecer se les ha considerado como parte de la estructura general, sin embargo, la percepción es un acto fisiológico y cognitivo complejo, que afecta el desempeño emocional, cognitivo y conductual de cualquier individuo, por lo que medir su eficacia adaptativa es de gran utilidad para conocer la estructura general de las estrategias mentales. La propuesta al parecer ha sido un acierto, pues en términos de adaptación es fundamental detectar, reconocer e interpretar los estímulos internos y externos, para procesarlos con eficacia en el cerebro, y que a pesar de que algunos de los reactivos utilizados para evaluar ciertas habilidades, como Estabilidad de la Forma, Continuación de la Forma, Forma Dominante y Secuencia Perceptual, no lograron mostrar su consistencia, el resto de las habilidades sí, además de que los resultados de los análisis proporcionan evidencia que sugiere, mediante el poder de discriminación de los reactivos y sus puntuaciones altas en la correlación, que de las 24 habilidades propuestas, sólo cuatro no cubrieron el criterio

estadístico, por lo que la Percepción cubre con los requisitos para considerarla una variedad intelectual, en función de su concepción teórica.

Asimismo, la medición de las habilidades emocionales ha sido otro punto de interés en la presente investigación, pues en otros trabajos (Carroll, 1993; Gardner, 1994, 2001; Matthews, Zeidner, & Roberts, 2002; Plutchik & Kellerman 1989) se ha propuesto utilizar la autodescripción como estrategia de medición, y en el caso de la población infantil esta estrategia es una limitación, ya que el propio proceso de desarrollo conlleva cierta dificultad para ubicar la dimensión de una misma emoción (por ejemplo entre melancólico y depresivo), y además cuando se resuelven cuestionarios de tipo autodescriptivos se requiere de cierto nivel de consciencia o conocimiento de sí mismo para responderlos con certeza, que no es esperado en la población infantil. De hecho, al parecer no se ha podido crear un instrumento que no sea autodescriptible para su medición, de aquí que una aportación del presente trabajo es la generación de tareas-problema para evaluar las habilidades emocionales (véase Figura K), además de que los resultados del análisis (véase Tabla 2) corroborar el modelo propuesto, por el alto nivel de discriminación y en las correlaciones.

En el caso de las habilidades Cognitivas, existe, a diferencia de las anteriores, abundante información al respecto (Carroll, 1993; Gardner, 1994, 2001; Guilford, 1986, Sternberg, 1987; Feuerstein & Mayor 1997), sin embargo, la aportación de esta investigación radica en el tipo de reactivos, que se diseñaron a manera de problemas a resolver, y cuya complejidad es creciente, por lo que los reactivos permiten conocer la forma en la que se estructuran las estrategias mentales y el nivel que pueden alcanzar.

Por otro lado, también es importante comentar que los resultados de los cinco formatos, tres a nivel Básico y dos a nivel Global, muestran que existe una relación estrecha entre los indicadores de las habilidades propuestos y las respuestas de los participantes, lo que significa que los reactivos son sensibles para detectar el grado de eficacia de ejecución de un niño, así como que el poder de descripción y de predicción de cada escala es elevado, lo cual sirve de sustento al modelo diseñado (véase Figura A) para evaluar las habilidades.

Cabe mencionar que los resultados de los reactivos que no lograron los valores de significancia estadística esperados, se deba probablemente a los siguientes factores, que la complejidad de la respuesta esperada fue planteada en niveles fuera de los parámetros adecuados para la población participante, además de que para ciertos indicadores se diseñaron pocos reactivos (por debajo de cinco), lo cual indica que un número limitado de ítems desestabiliza el indicador,

además de que tanto la instrucción, como la redacción del ítem y algunas imágenes no fueron del todo claras para los niños, por lo que el siguiente paso es revisarlas para modificarlas.

Con la finalidad de encontrar los correlatos electrofisiológicos que sustentaran el modelo, se realizó el análisis de la señal electroencefalográfica obtenida de cada habilidad, y en éste se aprecia en las imágenes Topográficas de la evaluación Perceptual nivel Básico, evidencia de cierta tendencia de activación en regiones cerebrales que han sido reportadas por diversos autores como especializadas en procesos semejantes a los propuestos en la evaluación, como la atención, reconocimiento de la información, memoria, conservación espacial, analogías y conservación espacial, por lo que estos resultados podrían servir para sustentar el modelo propuesto.

El hecho de que únicamente seis de las 12 habilidades perceptuales estudiadas hayan evidenciado algún tipo de tendencia en la actividad eléctrica cerebral, podría deberse a dos aspectos, el primero está relacionado con el número de participantes, ya que en este trabajo sólo se analizaron los segmentos de señal en los que los niños acertaron a la respuesta correcta, y esto ocasionó que se redujera la N (que como se recordará ya de por sí fue pequeña) del número de épocas con posibilidades de análisis. El segundo aspecto se refiere al tipo de tareas estudiadas, todas vinculadas con aspectos perceptuales, los cuales están relacionados con estructuras cerebrales subcorticales cuya actividad eléctrica no es factible de registrar a través de un equipo de electroencefalografía, sin embargo, esto no significa que el modelo sea inadecuado para estudiar dichas habilidades, sino que se deben proponer un mayor número de tareas en una variedad contrastante.

Asimismo, los Topogramas que pertenecen a la evaluación de habilidades Emocionales nivel Básico, mostraron una tendencia particular en la actividad eléctrica cerebral, durante el registro de las 11 habilidades propuestas, la cual no siempre correlacionó con las investigaciones reportadas en la literatura, pero sí sostuvo cierta estructura que podría sugerir la presencia de un patrón de activación para la ejecución de cada habilidad, además se podrían considerar como aportaciones generales del desempeño de todas las habilidades emocionales lo siguiente: la activación en las frecuencias lentas de casi todas las áreas estudiadas, y un número menor de áreas en frecuencias rápidas; la presencia de un patrón de activación particular y distinto del resto de las frecuencias, en la banda Gamma; la participación preponderante de la región temporal anterior y posterior izquierdas (T3 y T5), así como una tenencia de activación en la región central bilateral (C3 y C4), y central medial (CZ); y evidencia de asimetría hacia el hemisferio izquierdo.

Por otro lado, los análisis de las 13 habilidades propuestas en la evaluación Cognitiva nivel Básico que obtuvieron puntajes significativos, mostraron en cinco habilidades cierta tendencia de activación que correlaciona con los hallazgos reportados en la literatura, sin embargo, también se presentó una constante a lo largo de todas tareas, y fue la activación de la región frontal posterior, temporal posterior y occipital bilateral, las cuales podrían formar parte de algún tipo de estructura vinculada a los procesos cognitivos en población infantil. Además, llama la atención que los hallazgos más relevantes se hayan presentado en los análisis de Correlación Interhemisférica, lo que podría también sugerir que para la resolución de este tipo de tareas cognitivas, el cerebro funciona activando zonas homólogas de manera simultánea, probablemente por el nivel de demanda de la tarea. También llama la atención que la habilidad de Ejecución no obtuvo puntajes estadísticamente significativos en ninguna banda, ni tampoco en los valores de correlación del análisis psicométrico clásico aplicado a los reactivos que la conforman, por lo que podría ser un indicador de que estos requieren de una revisión o corrección, pues evidencian inestabilidad a lo largo de varios de los análisis utilizados.

En lo que respecta a los resultados de la evaluación Perceptual nivel Global, los Topogramas permiten visualizar tendencias de activación en zonas específicas, en siete de las 12 habilidades estudiadas, en las cuales se observa una participación preponderante en la región frontal anterior, central medial, parietal anterior y occipital bilateral. Algunos de estos hallazgos corresponden con los reportados en la literatura, y los que no se pueden considerar como aportaciones del presente estudio, como el hecho de la presencia de la banda Delta y la constante participación de la banda Gamma, esta última responsable de procesar el surgimiento de una imagen y la integración de la información, así como de la consciencia de sí mismo. Las habilidades que no evidenciaron ningún tipo de correlato fisiológico, podría deberse, como se mencionó con anterioridad, a que la labor perceptual involucra áreas subcorticales que no pueden ser registradas con facilidad con la tecnología utilizada, pero definitivamente no demeritan los hallazgos que corresponde a la construcción de los reactivos y del modelo en sí.

Las imágenes Topográficas de la evaluación Cognitiva nivel Global, muestran tendencias en la actividad eléctrica cerebral distintas en las 14 habilidades estudiadas, de las cuales a seis se les pudo encontrar cierta relación con estudios reportados en la literatura, sin embargo, a pesar de esta vinculación, los Topogramas evidencian tendencias particulares que podrían ser parte del fundamento fisiológico de cada habilidad. Además se distingue una constante en la participación de

las bandas Beta 2 y Gamma, con actividad en regiones cerebrales específicas, que podrían ser la estructura general del funcionamiento cognitivo de la población infantil.

Por lo tanto, este trabajo aporta información valiosa en tres vertientes, la primera con la propuesta del modelo sólido de evaluación de habilidades y su constatación práctica; y la segunda con el uso del Análisis Cognitivo de Tareas y la Teoría del Reactivo, para la construcción de los reactivos y el modelo. Y la tercera consiste en las tendencias de los patrones de actividad eléctrica cerebral vinculados a cada habilidad del modelo, en población infantil, que además de permitir conocer cómo funciona el cerebro de los niños, valida de una forma distinta el modelo.

Por consiguiente, se puede considerar viable la ampliación de los bancos de reactivos a los niveles Específico y Complejo en modelo propuesto, además de que sería recomendable la revisión de las habilidades y reactivos que no obtuvieron la solidez esperada, esto incluye tanto las imágenes, como las instrucciones que se emplearon. Y por último, sería de gran valor científico, para el estudio de las habilidades intelectuales y de la confirmación del modelo, ampliar la muestra de participantes a realizarles registros electroencefalográficos durante la resolución de los reactivos propuestos.

Bibliografía

- Assessment Systems Corporation (1995). XCALIBRE, Marginal Maximum-Likelihood Estimation Program, (Version 1.0) [Software de cómputo]. Minnesota , EE. UU.
- Assessment Systems Corporation (1993). ITEMAN, Conventional Item Analysis Program, (Version 3.50) [Software de cómputo]. Minnesota , EE. UU.
- Acton, G. S. & Schroeder, D. H. (2001). Sensory discrimination as related to general intelligence. *Intelligence*, 29, 262-271.
- Baena, E., Allen, P. A., Kaut, K. P. & Hall, R. J. (2010). On age differences in prefrontal function: the importance of emotional/cognitive integration. *Neuropsychologia*, 48, 319-333.
- Basirat, A., Sato, M., Schwartz, J. L., Kahance, P. & Lachaux, J. P. (2008). Parieto frontal gamma band activity during the perceptual emergence of speech forms. *NeuroImage*, 42, 404-413.
- Bennett, G. K., Seashore, H. G., & Wesman, A. G. (2002). *Tests de Aptitudes Diferenciales DAT*. Madrid, España: Ed. TEA Ediciones.
- Bergner, M. W., Shing, Y. L., Müller, V., Li, S. & Lindenberger, U. (2009). EEG gamma band synchronization in visual coding from childhood to old age: evidence from evoked power and inter-trial phase locking. *Clinical Neurophysiology*, 120, 1291-1302.
- Calero, M. D. (1995). *Modificación de la Inteligencia*. Madrid, España: Ed. Pirámide.
- Chan, R., Shum, D., Touloupoulou, T., & Chen, E. (2008). Assessment of executive functions: Review of instruments and identification of critical issues. *Archives of Clinical Neuropsychology*, 23, 201-216.
- Carretero-Dios, H., Pérez, C. (2005). Normas para el desarrollo revisión de estudios instrumentales. *Internacional Journal of Clinical and Health Psychology*, 5, 521-551.
- Carroll, J. B. (1993). *Human cognitive abilities: a survey of factor-analytic studies*. Massachusetts, EE. UU.: Ed. Cambridge University Press.
- Castañeda, S. (2004). *Educación, aprendizaje y cognición. Teoría en la práctica*. México, D., F.: Ed. El Manual Moderno.
- Cattell, R. B. (1987). *Intelligence: its structure, growth, and action*. Amsterdam, Netherlands: Ed. Elsevier Science Publishers.
- Cázares, F. (1999). *Integración de los Procesos Cognitivos para el Desarrollo de la Inteligencia*. México, D., F.: Ed. Trillas.
- Colom, R. B. (1995). *Tests. Inteligencia & Personalidad*. Madrid, España: Ed. Pirámide.

- Cortada de Kohan, N. (2004). Teoría de Respuesta al Ítem: Supuestos Básicos. *Evaluar*, 4, 95-110.
- Delplanque, S., Silvert, L., Hot, P. & Sequeira, H. (2005). Event related P3a y P3b in response to unpredictable emotional stimuli. *Biological Psychology*, 68, 107-120.
- Dennis, I. & Tapsfield, P. (1996). *Human abilities: their nature and measurement*. New Jersey, EE. UU.: Ed. Lawrence Erlbaum Associates, Inc.
- Facon, B. (2004). Are correlations between cognitive abilities highest in low-IQ groups during childhood? *Intelligence*, 32, 391-401.
- Facon, B. (2006). Does age moderate the effect of IQ on the differentiation of cognitive abilities during childhood? *Intelligence*, 34, 375-386.
- Feuerstein, R. & Mayor, S. (1997). *¿Es Modificable la Inteligencia?* Madrid, España: Ed. Bruño.
- Gardner, H. (1994). *Estructuras de la Mente. La teoría de las inteligencias múltiples*. México, D., F.: Ed. Fondo de Cultura Económica.
- Gardner, H. (2001). *La Inteligencia Reformulada*. México, D., F.: Paidós.
- Garnham, A., & Oakhill, J. (1996). *Manual de psicología del pensamiento*. México, D., F.: Paidós.
- González, A. A. & Ramos, J. (2006). *La atención y sus alteraciones: del cerebro a la conducta*. México, D., F. Ed. Manual Moderno S. A.
- Guevara, M. A., Chacón, L., Barradas, J. A., Hernández, M. (2008). *Aproximaciones al estudio de la psicobiología del comportamiento*. Guanajuato, México. Ed. Universidad de Guanajuato.
- Guevara, M. A., Contreras, A., Arteaga, M., Bonilla, H., Hernández, M. (2009). *Aproximaciones al estudio de la neurobiología conductual*. Guerrero, México. Ed. Universidad Autónoma de Guerrero.
- Guevara, M. A., Arteaga, M., Contreras, A., Hernández, M., Bonilla, H. (2010). *Aproximaciones al estudio de la neurociencia del comportamiento*. México D., F. Ed. Universidad Autónoma Metropolitana
- Guilford, J. P. (1986). *La Naturaleza de la Inteligencia Humana*. Barcelona, España: Paidós.
- Hajcak, G. & Dennis, T A. (2009). Brain potentials during affective picture processing in children. *Biological Psychology*, 80, 333-338.
- Hannesdóttir, D. Kr., Doxie, J., Bell, A. M., Ollendick, T. H. & Wolfe, C. D. (2010). A longitudinal study of emotion regulation and anxiety in middle childhood: associations with frontal EEG asymmetry in early childhood. *Developmental Psychobiology*, 52, 197-204.

- Herrmann, Ch. S., Fründ, I. & Lenz, D. (2010). Human gamma band activity: review on cognitive and behavioral correlates and network models. *Neuroscience and Biobehavioral Reviews*, 34, 981-992.
- Hernanz, Y. C. (2001). *Test de Inteligencia General y Factorial*. Madrid, España: Ed. TEA Ediciones.
- Irving, S. H., & Dann, P. L. (1990). Towards a theory of algorithm-determined cognitive test construction. *British Journal of Psychology*, 81, 173-195.
- Jiménez, H. M., & Macotela, S. (2008). Una escala para evaluar la motivación de los niños hacia el aprendizaje de primaria. *Revista Mexicana de Investigación Educativa*, vol. 13, núm. 37, 599-623.
- Jausovec, N. & Jausovec, K. (2000). Correlations between ERP parameters and intelligence: a reconsideration. *Biological Psychology*, 50, 137-154.
- Jausovec, N. & Jausovec, K. (2004). Differences in induced brain activity during the performance of learning and working-memory tasks related to intelligence. *Brain and Cognition*, 54, 65-74.
- Kellogg, C. E., Morton, N. W. (2003). *Beta III*. México D., F.: Ed. El Manual Moderno.
- Lazarus, R. (1990). Theory-Based stress measurement. *Psychological Inquiry*, 1(1), 3-13.
- Liporace, M. F., Ongarato, P., Saavedra, E., Casullo, M. M., (2004). El test de matrices progresivas, escala general: un análisis psicométrico. *Evaluar*, 4, 50-68.
- Matute, E. (2003). *Cerebro y lectura*. Guadalajara México. Ed. Universidad de Guadalajara.
- Matthews, G., Zeidner, M., & Roberts, R. (2002). *Emotional intelligence: science and myth*. Massachusetts, EE. UU.: Ed. Massachusetts Institute of Technology.
- McRorie, M. & Cooper, C. (2004). Synaptic transmission correlates of general mental ability. *Intelligence*, 32, 263-275.
- Muñiz, J. (1997). *Introducción a la teoría de respuesta a los ítems*. Madrid, España: Ed Pirámide.
- Neubauer, A. C., Fink, A. & Schrausser, D. G. (2002). Intelligence and neural efficiency: the influence of task content and sex on the brain IQ relationship. *Intelligence*, 30, 515-536.
- Obsessive Compulsive Cognitions Working Group, (2004). Psychometric validation of the obsessive belief questionnaire and interpretation of intrusions inventory – Part 2: Factor analyses and testing of a brief version. *Behaviour Research and Therapy*, 43, 1527-1542.
- Oros de Sapia, L. & Ivanna, N. (2006). Construcción y Validación de una Escala para evaluar Indicadores Físicos y Psicoemocionales de Estrés. *Evaluar*, 6, 1 – 14.

- Östberg, G. (2002). The influence of technical testing methods on perceptions of constructions. *Materials & Design*, 23, 633-640.
- Otis, A. S. (1998). *O. S. Otis Sencillo, Test de Inteligencia General*. Madrid, España: TEA Ediciones, S. A.
- Papousek, I. (2004). Manipulation of frontal Brain asymmetry by cognitive tasks. *Brain and Cognition*, 54, 43-51.
- Plutchik, R., & Kellerman, H. (1989). *The Measurement of emotions*. San Diego, CA, EE. UU.: Ed. Academic Press, Inc.
- Potellano, P. J. A. (1992). *Introducción al estudio de las asimetrías cerebrales*. Madrid, España. Ed. CEPE.
- Raven, J. C. (1976). *Test de Matrices Progresivas, Series I y II*. México, D., F.: Ed. Paidós.
- Richardson, K. (2002). What IQ Tests Test. *Theory & Psychology*, vol. 12 (3), 283-314.
- Salthouse, T. A. (2001). Structural models of the relations between age and measures of cognitive functioning *Intelligence*, 29, 93-115
- Sánchez, A. & Domínguez, A. (2008). Elaboración de un instrumento de viñetas para evaluar el desempeño docente. *Revista Mexicana de Investigación Educativa*, vol. 13 (37), 625-648.
- Schweizer, K., Goldhammer, F., Rauch, W., Moosbrugger, H. (2007). On the validity of Raven's matrices test: Does spatial ability contribute to performance? *Personality and Individual Differences*, 43, 1998-2010.
- Segalowitz, S. J., Santesso, D. L. & Jetha M. K. (2010). Electrophysiological changes during adolescence: a review. *Brain and Cognition*, 72, 86-100.
- Sociedad Mexicana de Psicología, (2002). *Código Ético del Psicólogo*. D. F., México: Ed. Trillas.
- Springer, S. P., Deutsch, G. (1990). *Cerebro izquierdo, cerebro derecho*. Barcelona, España. Ed. Gedisa.
- Stauder, J. E. A., van der Molen, M. W., Moleaar, P. C.M. (2000). Age, Intelligence, and event-related brain potentials during late childhood: A longitudinal study. *Intelligence*, 31, 257-274.
- Sternberg, R. (1987). *Inteligencia humana, I. La naturaleza de la inteligencia y su medición*. México, D., F.: Paidós.
- Sternberg, R. (1990). *Más Allá del Cociente Intelectual*. Bilbao, España: Ed. Desclee de Brouwer.
- Sternberg, R. (1997). *Successful Intelligence*. EE. UU.: Ed. Plume.

- Studer, T. & Hübner, R. (2008). The direction of hemispheric asymmetries for object categorization at different levels of abstraction depends on the task. *Brain and Cognition*, 67, 197-211.
- Supekar, K., Uddin, L. Q., Prater, K., Amin, H., Greicius, M. D. & Menon, V. (2010). Development of functional and structural connectivity within the default mode network in young children. *NeuroImage*, XXX XXX-XXX, 1-12.
- Thorndike, R. L., Hagen, E., Lorge, I., (1997). *Tests de Aptitudes Cognoscitivas*. Madrid, España: TEA Ediciones S. A.
- Thurstone, L. L., Thurstone, T. G. (2003). *Test de Habilidades Mentales Primarias*. México, D., F.: Ed. El Manual Moderno S. A.
- Toga, A., Mazziotta, W. (2000). *Brain Mapping The Systems*. New York, EE. UU.: Ed. Academic Press.
- Unsworth, N. & Engle, R. W. (2005). Working memory capacity and fluid abilities: examining the correlation between operation span and Raven. *Intelligence*, 33, 67-81.
- Wechsler, D. (1955). *WAIS Español. Escala de Inteligencia para Adultos*. México, D., F.: El Manual Moderno S. A.
- Wechsler, D. (2003). *WAIS III Español. Escala de Inteligencia para Adultos*. México, D., F.: El Manual Moderno, S. A.
- Zeki, S. (1993). *A visión of the brain*. Oxford, London. Ed. Blackwell scientific publications.
- Zoia, S., Pelamatti, G. Rumiati, R. (2004). Praxic skills in down and mentally retarded adults: Evidence for multiple action routes. *Brain and Cognition*, 54, 7-17.

**APÉNDICES MODELO Y
CONSTRUCCIÓN DE
REACTIVOS**

Modelo de Habilidades Intelectuales

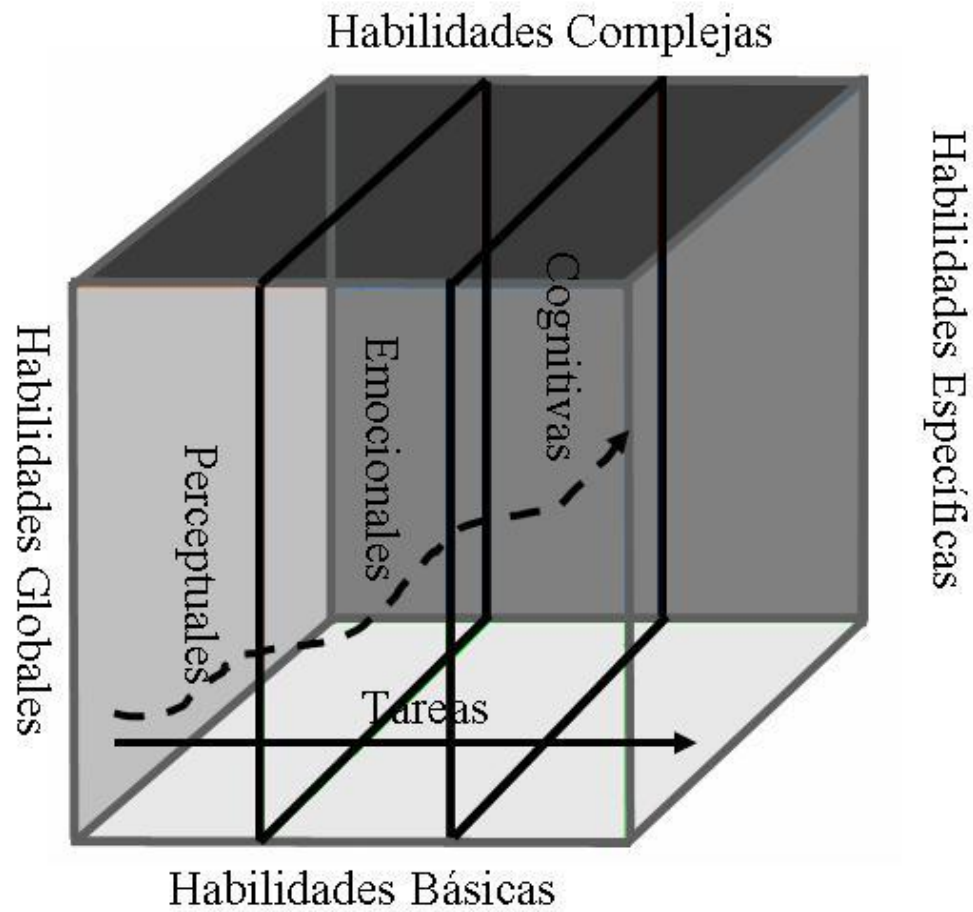



Figura A. Modelo de Habilidades Intelectuales, basado en el Modelo de Análisis Cognitivo de Tareas propuesto por Castañeda (2004).

EMOCIONES VS		
1.	AMOR	←→ ODIO
2.	ALEGRÍA	←→ TRISTEZA
3.	AFECTO	←→ ENOJO
4.	COMPASIÓN	←→ INDIFERENCIA
5.	RELAJACIÓN	←→ ANGUSTIA
6.	ÉXITO	←→ FRUSTRACIÓN
7.	SEGURIDAD	←→ MIEDO
8.	PENA	←→ SIN PENA
9.	ACEPTACIÓN	←→ RECHAZO

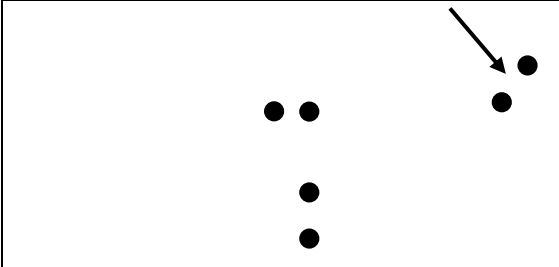
Figura B. Emociones propuestas para la evaluación de habilidades Emocionales nivel Básico.

Instrucciones ¿Qué emoción te hace sentir la siguiente imagen? Selecciona con el mouse la opción que consideres correcta.


<ul style="list-style-type: none"> a) Tristeza b) Pena c) Calma d) Rechazo

Ejemplo de reactivo utilizado en el programa de cómputo, perteneciente al formato de habilidades Emocionales, nivel Básico.

Instrucciones. En la imagen que se te presentará aparecen unos puntos que pertenecen a un grupo, es decir, están formando una figura, pero hay algunos otros que no se sabe si pertenecen o no a ese grupo. Tu trabajo consiste en decir si los puntos señalados por una flecha pertenecen a la figura. Responde marcando con el mouse la opción que consideres correcta.


<ul style="list-style-type: none"> a) sí pertenecen b) no pertenecen c) no se

Ejemplo de reactivo utilizado en el programa de cómputo, perteneciente al formato de habilidades Cognitivas, nivel Global.

Ejemplo de reactivo utilizado en el programa de cómputo, perteneciente al formato de habilidades Perceptuales, nivel Básico.

Instrucciones. El texto siguiente contiene una serie de palabras cuyo significado está mal utilizado, tu trabajo consiste en encontrar las palabras y cambiarlas por las correctas. Para eso selecciona las palabras incorrectas con el Mouse y después marca con una X la opción que consideres correcta, de entre las que se encuentran debajo de los textos.

<p>Existe una leyenda del Árbol Blanco que habitaba en el bosque viejo del sur. Y en ella se hace que hace miles de años la Luna estaba triste porque se giraba sola, era tal su tristeza que en un giro derramó una lágrima, la cual cayó como suave pluma, meciéndose en el firmamento, hasta llegar a las tierras del bosque viejo. Después de que tocó la madera, la Lluvia, que era una buena amiga de la Luna, dejó sentir su presencia y entonces bañó la lágrima hasta que comenzó a crecer un árbol, que parecía cualquier otro, sin embargo tenía algo diferente era blanco.</p>			
a) mece mentía polvo	b) tiene dormía tierra	c) dice sentía tierra	d) cuenta caminaba espuma

Figura C. Ejemplos de reactivos adaptados para ser presentados en el programa de cómputo.

	BÁSICAS	INDICADORES
HAB. PERCEPTUALES.	Descripción perceptual.	Nombrar en detalle los elementos de un estímulo visual o auditivo.
	Discriminación perceptual.	Identificar las diferencias de los detalles y los aspectos globales de un estímulo visual o auditivo.
	Reconocimiento de la información perceptual.	Detectar estímulos, elementos y características esenciales, de la información, que estén estructurados en una forma eficiente.
	Memoria perceptual.	Almacenar y recuperar en forma precisa y en el orden en que se presentan, los estímulos perceptuales.
	Secuenciación perceptual.	Estructurar una sucesión de estímulos visuales o auditivos, relacionados por características específicas, en un sentido lógico.
	Cierre visual	Capacidad para integrar una imagen en la mente a partir de algunos estímulos específicos que la constituyen.
	Forma dominante	Capacidad para reconocer un estímulo visual a partir de los elementos esenciales que lo constituyen.
	Simetría de la forma	Reconocer una imagen a través de su estructura organizada en forma simple y simétrica.
	Continuación de la forma	Capacidad para agrupar, en una figura a aquellos datos que forman una buena continuación, ya sea como una línea o una curva.
	Estabilidad de la forma	Capacidad para agrupar en una figura, a sus elementos por su semejanza.
	Agrupamiento	Capacidad para agrupar los elementos de un estímulo por su cercanía hasta poder percibir la imagen en forma global.
	Atención perceptual.	Selección de un estímulo y sostenimiento de la visión, audición o ambas, orientadas hacia éste, durante un tiempo suficiente para que se almacene en la memoria, o se ejecute como un programa de acciones.

Figura D. Gradiente de las 12 habilidades propuestas para evaluar la Inteligencia Perceptual a nivel Básico. La flecha indica la ascendencia en la complejidad de las habilidades.

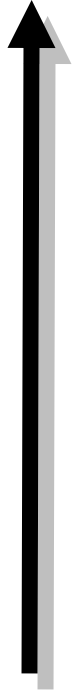
	BÁSICAS	INDICADORES
HAB. EMOCIONALES. 	Percepción afectiva personal (lo represento).	Sensaciones emotivas que son generadas por las personas pertenecientes a su núcleo cercano, a través de la expresión, que el individuo reconoce sobre sí mismo.
	Percepción afectiva social (del afecto de los otros).	Sensaciones emotivas respecto a la capacidad de producir afecto en el entorno social donde se desenvuelve el individuo.
	Concepto social (lo que me dicen que soy).	Emociones y pensamientos sobre sí mismo, concebidos por la retroalimentación del entorno social donde se desenvuelve el individuo.
	Recuperación del estado emocional.	Capacidad para recobrar el equilibrio emocional, después de un evento emocional negativo, en un tiempo corto.
	Tolerancia.	Resistencia emocional de personas o situaciones que producen sensaciones negativas.
	Flexibilidad en el sentimiento..	Capacidad para modificar las sensaciones emotivas en forma positiva, en un corto tiempo.
	Empatía.	Generación de sensaciones emotivas, semejantes a las producidas por otras personas, en situaciones determinadas, durante un proceso de comunicación o interacción.
	Relacionar.	Vincular sensaciones y emociones con situaciones sociales, personas o pensamientos.
	Memoria sensorial emocional.	Almacenar y recuperar la información de las sensaciones relacionadas con situaciones sociales, personas o pensamientos, en forma eficiente.
	Diferenciación.	Distinguir la gama variada de sensaciones y emociones relacionadas con situaciones sociales, personas o pensamientos.
	Reconocimiento.	Detectar las sensaciones y emociones relacionadas con situaciones sociales, personas o pensamientos.
Percibir.	Identificar y vincular con un patrón emocional previo, la sensaciones y emociones registradas en el presente.	

Figura E. Gradiente de las 11 habilidades propuestas para evaluar la Inteligencia Emocional a nivel Básico. La flecha indica la ascendencia en la complejidad de las habilidades.

	BÁSICAS	INDICADORES
HAB. COGNITIVAS.	Ejecución.	Llevar a la práctica, a través de conductas organizadas, una idea o instrucción, en forma eficiente.
	Seguimiento de Instrucción.	Dar continuidad a una serie de pasos secuenciados, ordenados y jerarquizados, que tienen como meta, llegar al objetivo instruccional.
	Conceptualización.	Otorgar significado a las acciones, situaciones, personas o cosas.
	Vocabulario.	Conocimiento del significado y uso de las palabras.
	Secuenciación cognitiva.	Estructurar una sucesión de datos complejos, relacionados por características específicas, en un sentido lógico.
	Asociación.	Relacionar información por sus semejanzas, o características particulares.
	Jerarquización.	Ubicar la información, previamente organizada, dependiendo del nivel de prioridad o importancia.
	Organización.	Ubicar la información clasificada en una orientación o sentido específico para ser utilizada en forma eficiente.
	Clasificación.	Agrupar por las características comunes y específicas de los objetos o información.
	Reconocimiento cognitivo.	Detectar patrones estructurados de información, en una forma eficiente.
	Memoria para detalles.	Capacidad para almacenar y recuperar los detalles de la información en forma precisa.
	Discriminación cognitiva.	Identificar las diferencias en los detalles y los aspectos globales de la información compleja.
	Descripción cognitiva.	Nombrar en detalle y claramente, los elementos y características de la información compleja.
	Atención cognitiva.	Selección de la información relevante; sostenimiento de la visión, la audición o ambas, orientados hacia la información, durante un tiempo suficiente para que se almacene en la memoria, o se ejecute como un programa de acciones.

Figura F. Gradiente de las 14 habilidades propuestas para evaluar la Inteligencia Cognitiva a nivel Básico. La flecha indica la ascendencia en la complejidad de las habilidades.

	GLOBALES	INDICADORES
HAB. PERCEPTUALES.	Integración perceptual.	Capacidad para vincular diferentes características de las imágenes para generar una única.
	Abstracción visual.	Separar el estímulo visual en las partes que lo conforman, para usar o conocer sus elementos generales y específicos.
	Analogías de imágenes.	Usar las imágenes por sus características y significado como sinónimas.
	Figura-fondo.	Reconocer la imagen dominante dentro de un fondo.
	Coordinación ojo-mano.	Ejecutar los movimientos de las manos, en relación con la dirección proporcionada por la vista, para cubrir un objetivo específico, en forma eficiente.
	Conservación espacial.	Relacionar y adaptar el estímulo a diferentes dimensiones espaciales, preservando su contenido.
	Orientación espacial.	Localización de la posición y ubicación de un objeto o lugar dentro de una determinada dimensión espacial, a partir de una referencia.
	Reconocimiento de la perspectiva o tercera dimensión.	Capacidad para identificar con eficiencia la profundidad y volumen de una imagen, dentro de una dimensión espacial determinada.
	Relaciones espaciales.	Vincular la posición y ubicación de los objetos con un espacio determinado.
	Reconocimiento de patrones.	Capacidad para detectar y diferenciar estructuras de letras o palabras que tienen un significado.
	Memoria perceptual.	Capacidad para retener la estructura específica de información perceptual, y recuperarla de manera precisa.
	Discriminación.	Identificar las diferencias de los detalles y los aspectos globales de la información visual y auditiva.

Figura G. Gradiente de las 12 habilidades propuestas para evaluar la Inteligencia Perceptual a nivel Básico. La flecha indica la ascendencia en la complejidad de las habilidades.


	GLOBALES	INDICADORES
HAB. COGNITIVAS. 	Transformación.	Utilizar los elementos de la información, cambiando su estructura, alterando lo menos posible la intención original con la que se diseñó, para asignarle un uso diferente o más eficaz.
	Criterio	Comparar la información producto, contra otra conocida para encontrar las diferencias y determinar sus relaciones, para después asignarle al resultado un valor.
	Razonamiento.	Establecer conclusiones de acuerdo con las experiencias, a partir de una serie de datos propuestos, e inferir leyes que regulan series de fenómenos observables.
	Lectura.	Proceso de integrar, las letras y/o las palabras para otorgarles significado y comprenderlo.
	Sensibilidad gramatical.	Capacidad para reconocer y utilizar las estructuras gramaticales del idioma dominante.
	Síntesis.	Reconocer los elementos esenciales del estímulo o de la información, con la finalidad de elaborar un orden diferente, que lo acorte, pero conservando su mensaje.
	Abstracción.	Separar el estímulo en las partes que lo conforman, para usar o conocer sus elementos generales y específicos.
	Toma de Decisiones.	Organizar y jerarquizar la información, para seleccionar la más cerca al objetivo o interés.
	Procesos aritméticos.	Uso de las etapas y secuencias de las operaciones numéricas en forma eficiente.
	Solución de Problemas.	Identificar la situación o aspecto a resolver; encontrar y organizar los elementos que se requieren para su solución; seleccionar las herramientas adecuadas; estructurar la estrategia apropiada para solucionar el problema.
	Comprensión.	Reconocer y vincular la información nueva, con la experiencia o conocimientos previos, en un proceso de asociación a categorías cognitivas, para después adquirirlos como propios.
	Planeación.	Organizar una serie de elementos y eventos en una sucesión de pasos jerarquizados, con un fin específico, para ser ejecutados a corto, mediano, o largo plazo.
	Analogías.	Conocer y usar el significado de las palabras y su relación o vínculo entre ellas, como por ejemplo: sinónimos.
	Memoria.	Capacidad para retener la información en una estructura específica, y recuperarla de manera precisa.

Figura H. Gradiente de las 14 habilidades propuestas para evaluar la Inteligencia Cognitiva a nivel Global. La flecha indica la ascendencia en la complejidad de las habilidades.

En la siguiente serie de imágenes, encuentra el dibujo faltante. Selecciónalo de entre las opciones de respuesta.

								a)	b)	c)	d)
								a)	b)	c)	d)
								a)	b)	c)	d)
							?	a)	b)	c)	d)
				?				a)	b)	c)	d)
							?	a)	b)	c)	d)
					?	?		a)	b)	c)	d)
		?	?					a)	b)	c)	d)
				?		?		a)	b) 5 y 7	c)	d) 7 y 8
								a) 4 - 5 - 7	b) 3 - 6 - 9	c) 1 - 3 - 5	d)

Figura I. Ejemplo de reactivo, derivado del gradiente, que pertenece al formato que evalúa habilidades Perceptuales a nivel Básico. Habilidad: Atención Perceptual.

Con las letras que están al principio de cada palabra se puede formar otra. Imágnate cuál es. Selecciona de entre las opciones la que consideres correcta.

Janrao		Polaico		Nésuvi	
a) Japonés	b) Janpolanésu	c) Japolaco	d) Japón		
Pamero		Leyuca		Ríakuñi	
a) Pameleyu	b) Paleyurí	c) Paleta	d) Papelería		
Celaro		Luperia		Larseto	
a) Teléfono	b) Celular	c) Celalupe	d) Celupelar		
Peryute		Fulote		Mekeru	
a) Perfute	b) Pefume	c) Perfume	d) Perfumeke		

Figura J. Ejemplo de reactivo, derivado del gradiente, que pertenece al formato que evalúa habilidades Perceptuales a nivel Global. Habilidad: Reconocimiento de Patrones.

¿Qué están sintiendo las personas que aparecen en las imágenes? Selecciona la opción que consideres es la más adecuada.

		
a) odio b) rechazo c) aceptación d) nada	a) afecto b) amor c) pena d) nada	a) pena b) frustración c) miedo d) nada

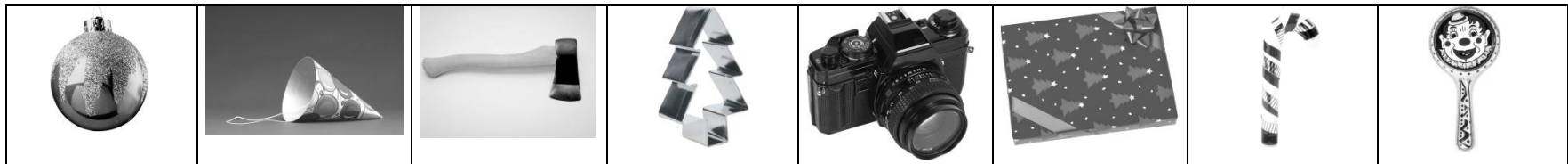
Figura K. Ejemplo de reactivo, derivado del gradiente, que pertenece al formato que evalúa habilidades Emocionales a nivel Básico. Habilidad: Reconocimiento Emocional.

Lee cuidadosamente los párrafos que te presento a continuación, cuando termines, selecciona el título que mejor los represente.

Párrafos	Títulos
<p>1. A. No he podido dormir en toda la noche porque en mi cabeza hay una idea que ha estado dando vueltas, y es que mañana voy a recibir un premio por el esfuerzo que hice para conseguir donativos para el asilo de perros, sin embargo el reconocimiento se lo deberían de dar a las personas que los cuidan, o a aquellos que los recogen de la calle, lastimados y con hambre, muchos de ellos enfermos y asustados, pues fueron abandonados por sus dueños; por eso quienes los atrapan corren riesgos, por lo que no creo merecer el premio, pues los verdaderos héroes son ellos, así que no se que hacer, si tomarlo o no.</p>	<p>a) Los perros y yo. b) Los donativos son buenos. c) El premio al mejor amigo de los perros. d) El desvelo.</p>
<p>2. B. Mi abuela tiene un perico muy viejito, ella dice que tiene más de 100 años, equivalente a la edad de los humanos, se llama Anselmo y tiene un trabajo muy importante, y es que mi abuela es un poco sorda y cuando está haciendo la comida a veces no oye cuando tocan a su puerta, así que Anselmo le avisa aleteando y gritando, con ese grito singular de pericos. También platica con ella, le dice palabras bonitas y mi abuela lo cuida más que a sus nietos, claro todos nosotros ya somos grandes, y además Anselmo realmente es una buena compañía, que bueno que existen las mascotas como él.</p>	<p>a) Los viejitos y los sonidos. b) Los ancianos viven juntos. c) Lo bueno que son las mascotas. d) El mejor amigo de la abuela.</p>
<p>3. C. Tacho es un niño de reciente ingreso a la escuela Justino Morales, ha estado muy nervioso porque todavía no conoce bien a sus compañeros y a sus maestros, tampoco sabe qué tan estrictos son para calificar, y a él le cuesta trabajo varias cosas de la escuela. Ya tuvo sus primeros exámenes y obtuvo malas notas en matemáticas y español, su maestra le dio la boleta para que la firmaran sus padres, pero él no se las quiere entregar porque tiene miedo de que lo castiguen, así que prefirió no enseñarles su boleta y falsificar la firma, la maestra se dio cuenta y lo regañó, además de que llamó a sus padres, así que le salió peor el remedio que el trapito.</p>	<p>a) Tacho el mentiroso. b) El fraude de Tacho. c) Los nervios traicionan. d) No es bueno cambiar de escuela.</p>

Figura L. Ejemplo de reactivo, derivado del gradiente, que pertenece al formato que evalúa habilidades Cognitivas a nivel Básico. Habilidad: Conceptualización.

De las siguientes imágenes hay cuatro que tienen algo en común, encuéntralas y márcalas con una X y después selecciona el grupo al que pertenecen, de entre las opciones que aparecen debajo de los dibujos.



¿A qué grupo pertenecen?			
a) Navidad	b) Juego	c) Nieve	d) Diversión



¿A qué grupo pertenecen?			
a) Herramientas eléctricas	b) Cosas útiles	c) Herramientas para cortar	d) Herramientas para sujetar cosas



¿A qué grupo pertenecen?			
a) Objetos oficina para perforar	b) Objetos para ordenar	c) Objetos para guardar	d) Objetos para calcular

Figura M. Ejemplo de reactivo, derivado del gradiente, que pertenece al formato que evalúa habilidades Cognitivas a nivel Global. Habilidad: Comprensión.

Tabla 1. Resultados los Análisis Psicométrico Clásico y de la Teoría de la Respuesta al Ítem para las 12 Habilidades Propuestas de la Inteligencia Perceptual, en el Nivel de operación Básico.

HABILIDAD	Análisis Psicométrico Clásico de la TPC					Análisis Rasch de la TRÍ						
	N ÍTEMS	PRC > 0.16	IDD >0 .35	rb > 0.35	Ac	ÍTEMS PARA REVISAR n	f ÍTEMS EN RANGO - 2.5 A 2.5 - 2.5 A 2.5	f ÍTEMS CON VALOR χ^2 MENOR A 25 < 25	gl	r	ÍTEMS PARA REVISAR n	
<i>Atención Perceptual</i>	37	33	18	28	0.888	1	4	24	19	0.834	10	
<i>Agrupamiento</i>	12	11	9	9	0.568	0	0	12	7	0.686	0	
<i>Estabilidad de la Forma</i>	6	4	3	4	0.210	1	0	5	3	0.457	1	
<i>Continuación de la Forma</i>	8	8	5	7	0.390	0	0	8	5	0.587	0	
<i>Simetría de la Forma</i>	11	9	7	9	0.714	0	0	10	7	0.628	3	
<i>Forma Dominante</i>	4	4	4	4	0.864	0	0	4	1	0.404	0	
<i>Cierre Visual</i>	22	19	9	16	0.847	2	4	22	9	0.720	6	
<i>Secuencia Perceptual</i>	5	5	2	5	0.305	0	0	5	3	0.474	0	
<i>Memoria Perceptual</i>	20	20	14	18	0.778	1	2	17	12	0.768	3	
<i>Reconocimiento de la Información</i>	6	6	6	6	0.917	0	0	6	3	0.526	0	
<i>Discriminación Perceptual</i>	30	26	21	25	0.906	4	3	27	15	0.827	5	
<i>Descripción Perceptual</i>	10	10	10	10	0.811	0	0	10	7	0.642	0	

Tabla 2. Resultados los Análisis Psicométrico Clásico y de la Teoría de la Respuesta al Ítem para las 11 Habilidades Propuestas de la Inteligencia Emocional, en el Nivel de operación Básico.

HABILIDAD	Análisis Psicométrico Clásico de la TPC					Análisis Rasch de la TRÍ						
	N ÍTEMS	PRC > 0.16	IDD > 0.35	rb > 0.35	Ac	ÍTEMS PARA REVISAR n	f ÍTEMS EN RANGO - 2.5 A 2.5 - 2.5 A 2.5	f ÍTEMS CON VALOR χ^2 MENOR A 25 < 25	gl	r	ÍTEMS PARA REVISAR n	
<i>Percepción</i>	14	13	1	8	0.279	0	2	14	6	0.609	6	
<i>Reconocimiento</i>	45	43	10	12	0.587	9	2	44	13	0.884	4	
<i>Diferenciación</i>	66	55	9	11	0.534	21	2	63	14	0.765	8	
<i>Memoria Sensorial- emocional</i>	24	24	8	11	0.599	0	0	22	12	0.814	2	
<i>Relacionar</i>	23	18	12	19	0.794	0	1	22	12	0.916	6	
<i>Empatía</i>	39	39	27	27	0.879	0	1	39	10	0.868	1	
<i>Flexibilidad en el Sentimiento</i>	28	28	20	22	0.842	0	2	28	12	0.833	2	
<i>Tolerancia</i>	26	26	23	25	0.927	0	8	28	8	0.802	8	
<i>Recuperación del Estado Emocional</i>	18	18	13	14	0.788	0	2	18	8	0.735	6	
<i>Concepto Social</i>	29	26	7	4	0.149	8	0	25	10	0.824	4	
<i>Percepción Afectiva Social</i>	13	13	10	11	0.723	0	1	12	7	0.691	2	

Tabla 3. Resultados los Análisis Psicométrico Clásico y de la Teoría de la Respuesta al Ítem para las 14 Habilidades Propuestas de la Inteligencia Cognitiva, en el Nivel de operación Básico.

HABILIDAD	Análisis Psicométrico Clásico de la TPC					Análisis Rasch de la TRÍ					
	N ÍTEMS	PRC	IDD	rb	Ac	ÍTEMS PARA REVISAR	f ÍTEMS EN RANGO - 2.5 A 2.5	f ÍTEMS CON VALOR χ^2 MENOR A 25	gl	r	ÍTEMS PARA REVISAR
		> 0.16	> 0.35	> 0.35		N	- 2.5 A 2.5	< 25			n
<i>Atención Cognitiva</i>	24	22	20	20	0.883	0	3	17	13	0.793	6
<i>Descripción</i>	24	18	9	13	0.629	2	0	21	14	0.803	3
<i>Discriminación</i>	12	12	12	12	0.813	0	1	11	8	0.679	1
<i>Memoria para Detalles</i>	8	8	7	8	0.702	0	0	8	6	0.588	0
<i>Reconocimiento</i>	12	6	8	9	0.694	2	1	12	6	0.673	0
<i>Clasificación</i>	80	77	67	67	0.972	10	2	69	19	0.932	24
<i>Organización</i>	8	6	4	5	0.388	0	0	8	6	0.576	0
<i>Jerarquización</i>	9	4	2	5	0.191	0	0	9	5	0.587	1
<i>Asociación</i>	25	25	21	25	0.928	0	1	25	10	0.811	1
<i>Secuencia</i>	18	18	11	18	0.865	0	2	17	9	0.744	3
<i>Vocabulario</i>	37	31	25	25	0.908	6	0	25	19	0.860	21
<i>Conceptualización</i>	13	8	9	11	0.717	4	0	13	6	0.701	0
<i>Seguimiento de Instrucciones</i>	10	9	8	8	0.368	2	0	12	6	0.625	2
<i>Ejecución</i>	5	2	2	5	0.761	0	1	4	3	0.440	1

Tabla 4. Resultados los Análisis Psicométrico Clásico y de la Teoría de la Respuesta al Ítem para las 12 Habilidades Propuestas de la Inteligencia Perceptual, en el Nivel de operación Global.

HABILIDAD	Análisis Psicométrico Clásico de la TPC					Análisis Rasch de la TRÍ					
	N ÍTEMS	PRC	IDD	<i>rb</i>	Ac	ÍTEMS PARA REVISAR	<i>f</i> ÍTEMS EN RANGO - 2.5 A 2.5	<i>f</i> ÍTEMS CON VALOR χ^2 MENOR A 25	gl	<i>r</i>	ÍTEMS PARA REVISAR
		> 0.16	>0.35	> 0.35		n	- 2.5 A 2.5	< 25			n
<i>Discriminación Perceptual</i>	67	65	37	42	.904	3	3	64	11	.909	10
<i>Memoria Perceptual</i>	12	12	10	10	.625	0	0	12	7	.691	0
<i>Reconocimiento de Patrones Visuales</i>	24	23	22	22	.920	0	1	23	8	.808	0
<i>Relaciones Espaciales</i>	10	10	10	10	.834	0	0	10	5	.645	0
<i>Reconocimiento de la Tercera Dimensión</i>	26	22	18	17	.823	2	0	26	10	.826	2
<i>Orientación Espacial</i>	28	25	22	21	.888	1	1	28	8	.833	0
<i>Conservación Espacial</i>	12	11	11	12	.829	0	1	12	7	.676	0
<i>Coordinación ojo-mano</i>	9	7	6	8	.655	2	0	9	5	.617	0
<i>Figura – Fondo</i>	12	10	8	8	.750	1	0	12	5	.675	0
<i>Analogías de Imágenes</i>	12	12	12	11	.838	1	0	12	5	.687	0
<i>Abstracción Visual</i>	15	10	11	13	.803	0	0	15	7	.730	0
<i>Integración Perceptual</i>	6	4	5	6	.734	0	0	6	4	.499	0

Tabla 5. Resultados los Análisis Psicométrico Clásico y de la Teoría de la Respuesta al Ítem para las 14 Habilidades Propuestas de la Inteligencia Cognitiva, en el Nivel de operación Global.

HABILIDAD	Análisis Psicométrico Clásico de la TPC					Análisis Rasch de la TRÍ					
	N ÍTEMS	PRC	IDD	r_b	Ac	ÍTEMS PARA REVISAR	f ÍTEMS EN RANGO - 2.5 A 2.5	f ÍTEMS CON VALOR X^2 MENOR A 25	gl	R	ÍTEMS PARA REVISAR
		> 0.16	> 0.35	> 0.35		n	- 2.5 A 2.5	< 25			n
<i>Memoria Cognitiva</i>	40	40	25	38	.956	0	3	39	7	.871	1
<i>Analogías</i>	24	22	17	19	.866	1	1	23	7	.784	5
<i>Planeación</i>	11	11	10	10	.714	1	0	11	6	.672	0
<i>Comprensión</i>	37	23	12	15	.694	12	1	37	8	.838	12
<i>Solución de Problemas</i>	33	33	20	19	.655	8	2	33	8	.840	6
<i>Procesos Aritméticos</i>	39	38	21	19	.754	4	2	39	8	.870	1
<i>Toma de Decisiones</i>	16	16	9	10	.556	2	0	16	8	.745	2
<i>Abstracción</i>	20	18	9	10	.542	1	1	20	8	.781	0
<i>Síntesis</i>	18	18	9	6	.263	1	0	18	7	.762	0
<i>Sensibilidad Gramatical</i>	13	8	8	8	.892	6	2	13	4	.561	5
<i>Lectura</i>	10	6	1	9	.495	1	0	10	5	.517	5
<i>Razonamiento</i>	16	13	6	5	.220	1	1	16	6	.729	0
<i>Criterio</i>	18	18	14	17	.795	1	1	18	7	.768	1
<i>Transformación</i>	4	4	3	4	.575	0	0	4	2	.431	0

Tabla 6-a. Resultados de la validación por jueces de las fotos utilizadas en el formato de habilidades Emocionales, nivel Básico.

Diapositiva No.	Emoción Esperada.	Porcentaje de validación. %	Porcentaje de respuesta alternativa %.	Emoción Propuesta.
1	Amor	69	0	Ninguna
2	Odio	97	0	Ninguna
3	Alegría	78	0	Ninguna
4	Amor	84	0	Ninguna
5	Odio	94	0	Ninguna
6	Alegría	85	0	Ninguna
7	Amor	69	0	Ninguna
8	Odio	90	0	Ninguna
9	Alegría	76	0	Ninguna
10	Tristeza	95	0	Ninguna
11	Afecto	93	0	Ninguna
12	Enojo	86	0	Ninguna
13	Enojo	68	0	Ninguna
14	Tristeza	86	0	Ninguna
15	Afecto	83	0	Ninguna
16	Afecto	91	0	Ninguna
17	Enojo	91	0	Ninguna
18	Tristeza	78	0	Ninguna
19	Lástima	35	34	Calma
20	Indiferencia	75	0	Ninguna
21	Calma	53	42	Lástima
22	Indiferencia	61	0	Ninguna
23	Lástima	44	38	Calma
24	Calma	49	0	Ninguna
25	Lástima	42	42	Calma
26	Calma	38	37	Lástima
27	Indiferencia	59	0	Ninguna
28	Angustia	67	0	Ninguna
29	Frustración	60	0	Ninguna
30	Éxito	87	0	Ninguna
31	Angustia	53	0	Ninguna
32	Éxito	87	0	Ninguna

Tabla 6-b. Resultados de la validación por jueces de las fotos utilizadas en el formato de habilidades Emocionales, nivel Básico.

Diapositiva No.	Emoción Esperada.	Porcentaje de validación.	Porcentaje de respuesta alternativa.	Emoción Propuesta.
33	Frustración	51	0	Ninguna
34	Angustia	56	0	Ninguna
35	Éxito	74	0	Ninguna
36	Frustración	44	42	Angustia
37	Seguridad	89	0	Ninguna
38	Miedo	69	0	Ninguna
39	Pena	71	0	Ninguna
40	Miedo	78	0	Ninguna
41	Seguridad	83	0	Ninguna
42	Pena	76	0	Ninguna
43	Miedo	58	0	Ninguna
44	Pena	64	0	Ninguna
45	Seguridad	87	0	Ninguna
46	Rechazo	79	0	Ninguna
47	Sin pena	59	0	Ninguna
48	Aceptación	59	0	Ninguna
49	Aceptación	66	0	Ninguna
50	Rechazo	72	0	Ninguna
51	Sin pena	58	0	Ninguna
52	Sin pena	77	0	Ninguna
53	Rechazo	76	0	Ninguna
54	Aceptación	84	0	Ninguna

APÉNDICES TABLAS
ESTADÍSTICA Y
TOPOGRAMAS

GRUPOS	F	t	gl	p(t)
F7-T4	2.32	3.45	6	0.0101

Tabla 7. Resultados significativos de la prueba *t* de student aplicada a las 15 derivaciones en la Potencia Relativa, banda Delta, durante la solución de las tareas de Atención Perceptual, perteneciente a la prueba propuesta para medir Habilidades Perceptuales Básicas.

GRUPOS	F	t	gl	p(t)
T3-P3	8.09	3.22	6	0.0120

GRUPOS	F	t	gl	p(t)
T3-CZ	6.22	3.17	6	0.0116

Tabla 8. Resultados significativos de la prueba *t* de student aplicada a las 15 derivaciones en la Potencia Relativa, banda Beta 2, durante la solución de las tareas de Agrupamiento, perteneciente a la prueba propuesta para medir Habilidades Perceptuales Básicas.

GRUPOS	F	t	gl	p(t)
F3-T3	1.51	-3.7	6	0.0100
F8-T3	1.52	-3.39	6	0.0132
C3-T3	1.14	-3.62	6	0.0111

GRUPOS	F	t	gl	p(t)
T3-P4	1.15	3.8	6	0.0089
T3-O2	1.9	3.47	6	0.0133
T3-CZ	1.34	3.36	6	0.0121

Tabla 9. Resultados significativos de la prueba *t* de student aplicada a las 15 derivaciones en la Potencia Relativa, banda Beta 1, durante la solución de las tareas de Simetría de la Forma, perteneciente a la prueba propuesta para medir Habilidades Perceptuales Básicas.

GRUPOS	F	t	gl	p(t)
F4-O1	4.75	3.52	6	0.0120
F8-P3	1.32	3.53	6	0.0114
F8-T5	2.41	3.48	6	0.0112
C4-T3	3.45	3.33	6	0.0102

GRUPOS	F	t	gl	p(t)
C4-O1	1.04	3.76	6	0.0094
T3-P4	1.25	-4.17	6	0.0058
P4-O1	2.86	4.19	6	0.0058

Tabla 10. Resultados significativos de la prueba *t* de student aplicada a las 15 derivaciones en la Potencia Relativa, banda Delta, durante la solución de las tareas de Memoria Perceptual, perteneciente a la prueba propuesta para medir Habilidades Perceptuales Básicas.

GRUPOS	F	t	gl	p(t)
F4-T5	2.8	-3.37	6	0.0123
F4-CZ	2.17	-4.08	6	0.0065
F3-T5	5.37	-3.43	6	0.01
F3-O1	1.98	-3.15	6	0.0110
F3-CZ	4.17	-4.24	6	0.0054

GRUPOS	F	t	gl	p(t)
F8-T5	1.52	-3.52	6	0.0101
F8-CZ	1.18	-4.14	6	0.0061
T4-T5	1.71	-3.79	6	0.0091
T4-O1	1.59	-3.46	6	0.01
T4-CZ	1.33	-4.45	6	0.0043

Tabla 11. Resultados significativos de la prueba *t* de student aplicada a las 15 derivaciones en la Potencia Relativa, banda Alfa 1, durante la solución de las tareas de Memoria Perceptual, perteneciente a la prueba propuesta para medir Habilidades Perceptuales Básicas.

GRUPOS	F	t	gl	p(t)
F8-T3	1.43	-3.19	6	0.0105
C4-T3	1.24	-3.34	6	0.01

GRUPOS	F	t	gl	p(t)
T3-P4	1.23	3.34	6	0.0104

Tabla 12. Resultados significativos de la prueba *t* de student aplicada a las 15 derivaciones en la Potencia Relativa, banda Beta 2, durante la solución de las tareas de Memoria Perceptual, perteneciente a la prueba propuesta para medir Habilidades Perceptuales Básicas.

GRUPOS	F	t	gl	p(t)
F4-O2	2.69	3.99	6	0.0072
F3-O2	1.22	4.65	6	0.0035

GRUPOS	F	t	gl	p(t)
C3-O2	2.96	3.98	6	0.0073
T5-O2	1.79	4.14	6	0.0061

Tabla 13. Resultados significativos de la prueba t de student aplicada a las 15 derivaciones en la Potencia Relativa, banda Theta 2, durante la solución de las tareas de Reconocimiento de la Información, perteneciente a la prueba propuesta para medir Habilidades Perceptuales Básicas.

GRUPOS	F	t	gl	p(t)
F8-O1	2.03	3.18	6	0.01

GRUPOS	F	t	gl	p(t)
F7-O1	3.14	3.59	6	0.0115

Tabla 14. Resultados significativos de la prueba t de student aplicada a las 15 derivaciones en la Potencia Relativa, banda Delta, durante la solución de las tareas de Descripción Perceptual, perteneciente a la prueba propuesta para medir Habilidades Perceptuales Básicas.

GRUPOS	F	t	gl	p(t)
F4 - T5	1.19	4.48	6	0.0042
F3 - T5	1.06	4.87	6	0.0028
F3 - O1	2.15	3.73	6	0.0097
F8 - P4	1.5	-4.25	6	0.0054
C4 - T3	1.52	3.93	6	0.0077
C4 - T5	2.47	5.35	6	0.0017
C4 - O1	5.01	3.84	6	0.0085
C3 - T5	1.02	4.24	6	0.0054

GRUPOS	F	t	gl	p(t)
T4 - P4	1.78	-4.7	6	0.0033
T4 - P3	1.01	-4.01	6	0.007
T3 - P4	3.04	-4.77	6	0.0031
T3 - P3	1.72	-4.24	6	0.0054
P4 - T5	4.96	6.1	6	0.0009
P3 - T5	2.81	5.63	6	0.0013
P3 - O1	5.68	4.02	6	0.0069
T5 - CZ	1.45	-4.42	6	0.0045

Tabla 15. Resultados significativos de la prueba t de student aplicada a las 15 derivaciones en la Potencia Absoluta, banda Delta, durante la solución de las tareas de Percepción Emocional, perteneciente a la prueba propuesta para medir Habilidades Emocionales Básicas.

GRUPOS	F	t	gl	p(t)
F4 - T3	5.9	3.8	6	0.009
F4 - T5	1.72	5.33	6	0.0018
F3 - T5	1.04	5.13	6	0.0022
F7 - C4	1.12	-3.76	6	0.0095
F7 - P4	4.01	-4.98	6	0.0025
F7 - P3	1.71	-4.17	6	0.0059
C4 - T3	6.43	4.65	6	0.0035
C4 - T5	1.58	5.91	6	0.001
C4 - O1	2.19	4.04	6	0.0068
C3 - T3	7.86	4.25	6	0.0054

GRUPOS	F	t	gl	p(t)
C3 - T5	1.29	5.66	6	0.0013
C3 - O1	1.79	3.9	6	0.008
T3 - P4	1.43	-8.28	6	0.0002
T3 - P3	3.35	-5.82	6	0.0011
P4 - T5	7.09	7.14	6	0.0004
P3 - T5	3.03	6.4	6	0.0007
P3 - O1	4.2	4.26	6	0.0053
T5 - CZ	1.58	-5.15	6	0.0021
O1 - CZ	1.14	-3.76	6	0.0094

Tabla 16. Resultados significativos de la prueba t de student aplicada a las 15 derivaciones en la Potencia Absoluta, banda Theta 2, durante la solución de las tareas de Percepción Emocional, perteneciente a la prueba propuesta para medir Habilidades Emocionales Básicas.

GRUPOS	F	t	gl	p(t)
F8 - CZ	1.33	-3.75	6	0.0095
F7 - C4	1.44	-4.12	6	0.0062
F7 - C3	1.5	-4.85	6	0.0028
F7 - P4	1.23	-4.22	6	0.0055
F7 - P3	2.9	-5.2	6	0.002
F7 - CZ	1.52	-5.14	6	0.0021
C4 - T5	1.62	4.14	6	0.006
C3 - T3	2.48	4.46	6	0.0043

GRUPOS	F	t	gl	p(t)
C3 - T5	1.56	4.75	6	0.0032
T3 - P4	2.05	-3.77	6	0.0093
T3 - P3	1.75	-4.95	6	0.0026
T3 - CZ	2.52	-4.77	6	0.0031
P4 - T5	1.89	4.2	6	0.0057
P3 - T5	6.77	4.67	6	0.0034
T5 - CZ	1.53	-4.98	6	0.0025

Tabla 17. Resultados significativos de la prueba t de student aplicada a las 15 derivaciones en la Potencia Absoluta, banda Alfa 1, durante la solución de las tareas de Percepción Emocional, perteneciente a la prueba propuesta para medir Habilidades Emocionales Básicas.

GRUPOS	F	t	gl	p(t)
F4 - F8	3.27	3.89	6	0.0081
F4 - F7	2.29	5.26	6	0.0019
F3 - F8	3.95	3.98	6	0.0073
F3 - F7	2.76	5.42	6	0.0016
F8 - C4	1.2	-3.88	6	0.0081
F8 - C3	2.08	-3.84	6	0.0086
F8 - P4	3.27	-4.72	6	0.0033
F8 - P3	7.97	-5.98	6	0.001
F8 - CZ	3.54	-5.4	6	0.0017
F7 - C4	1.71	-4.78	6	0.0031
F7 - C3	2.97	-4.54	6	0.0039
F7 - P4	2.29	-6.2	6	0.0008

GRUPOS	F	t	gl	p(t)
F7 - P3	5.57	-7.9	6	0.0002
F7 - O2	7.24	-3.72	6	0.0098
F7 - CZ	2.47	-7	6	0.0004
C3 - T5	1.02	3.77	6	0.0093
T3 - P3	3.9	-4.68	6	0.0034
T3 - CZ	1.73	-3.91	6	0.0079
P4 - T5	6.68	4.12	6	0.0062
P4 - O2	3.17	4.57	6	0.0038
P3 - O2	1.3	8.19	6	0.0002
T5 - CZ	7.22	-4.61	6	0.0036
O2 - CZ	2.93	-5.88	6	0.0011

Tabla 18. Resultados significativos de la prueba t de student aplicada a las 15 derivaciones en la Potencia Absoluta, banda Alfa 2, durante la solución de las tareas de Percepción Emocional, perteneciente a la prueba propuesta para medir Habilidades Emocionales Básicas.

GRUPOS	F	t	gl	p(t)
F4 - F8	1.14	4.08	6	0.0065
F3 - F8	2.25	4.59	6	0.0037
F8 - P4	10.29	-5.83	6	0.0061

GRUPOS	F	t	gl	p(t)
F8 - P3	2.89	-4.66	6	0.0035
F8 - CZ	2.19	-4.54	6	0.0039

Tabla 19. Resultados significativos de la prueba t de student aplicada a las 15 derivaciones en la Potencia Absoluta, banda Beta 1, durante la solución de las tareas de Percepción Emocional, perteneciente a la prueba propuesta para medir Habilidades Emocionales Básicas.

GRUPOS	F	t	gl	p(t)
F4 - T5	3.2	4.17	6	0.0059

Tabla 20. Resultados significativos de la prueba t de student aplicada a las 15 derivaciones en la Potencia Absoluta, banda Beta 2, durante la solución de las tareas de Percepción Emocional, perteneciente a la prueba propuesta para medir Habilidades Emocionales Básicas.

GRUPOS	F	t	gl	p(t)
F4 - F8	1.18	3.74	6	0.0096

GRUPOS	F	t	gl	p(t)
F4 - F7	1.88	3.74	6	0.0097

Tabla 21. Resultados significativos de la prueba t de student aplicada a las 15 derivaciones en la Potencia Absoluta, banda Gamma, durante la solución de las tareas de Percepción Emocional, perteneciente a la prueba propuesta para medir Habilidades Emocionales Básicas.

GRUPOS	F	t	gl	p(t)
F4 - T5	1.84	4.49	6	0.0041
F3 - T5	1.86	4.77	6	0.0031
F8 - P4	2.69	-4.56	6	0.0039
F8 - P3	1.39	-3.76	6	0.0094
C4 - T5	1.83	4.59	6	0.0037
C3 - T5	1.7	4.56	6	0.0039

GRUPOS	F	t	gl	p(t)
P4 - T6	6.51	3.84	6	0.0086
P4 - T5	6.08	5.65	6	0.0013
P4 - O2	4.18	3.74	6	0.0096
P4 - O1	6.85	3.88	6	0.0082
P3 - T5	3.14	5.08	6	0.0023
T5 - CZ	1.19	-4.75	6	0.0032

Tabla 22. Resultados significativos de la prueba t de student aplicada a las 15 derivaciones en la Potencia Absoluta, banda Total, durante la solución de las tareas de Percepción Emocional, perteneciente a la prueba propuesta para medir Habilidades Emocionales Básicas.

GRUPOS	F	t	gl	p(t)
F4 - T3	1.56	3.9	6	0.008
F4 - T6	1.23	4.69	6	0.0034
F4 - T5	1.25	8.07	6	0.0002
F4 - O1	2.24	5.73	6	0.0012
F3 - T4	1.29	4.93	6	0.0026
F3 - T3	2.19	5.66	6	0.0013
F3 - T6	1.14	6.97	6	0.0004
F3 - O2	5.24	3.9	6	0.008
F3 - O1	3.13	7.34	6	0.0003
C4 - T4	1.86	3.83	6	0.0086
C4 - T3	3.16	4.74	6	0.0032
C4 - T6	1.64	6.01	6	0.001
C4 - T5	1.62	10.01	6	0.0001
C4 - O1	4.53	6.57	6	0.0006

GRUPOS	F	t	gl	p(t)
C3 - T5	2.55	6.39	6	0.0007
C3 - O1	1.1	4.96	6	0.0026
T4 - P4	2.71	-4.09	6	0.0064
T4 - T5	1.15	5.21	6	0.002
T3 - P4	4.59	-4.95	6	0.0026
T3 - CZ	1.22	-4.19	6	0.0057
P4 - T6	2.38	6.43	6	0.0007
P4 - O1	6.58	6.79	6	0.0005
P3 - T5	3	6.18	6	0.0008
P3 - O1	1.07	4.89	6	0.0027
T6 - CZ	2.35	-4.78	6	0.0031
T5 - CZ	2.39	-7.54	6	0.0003
O1 - CZ	1.17	-5.84	6	0.0011

Tabla 23. Resultados significativos de la prueba t de student aplicada a las 15 derivaciones en la Potencia Absoluta, banda Delta, durante la solución de las tareas de Reconocimiento Emocional, perteneciente a la prueba propuesta para medir Habilidades Emocionales Básicas.

GRUPOS	F	t	gl	p(t)
F3 - T5	1.83	3.93	6	0.0077
F3 - O1	1.74	3.98	6	0.0073
C4 - O1	1.89	3.71	6	0.0099
P4 - T5	1.25	4.61	6	0.0036

GRUPOS	F	t	gl	p(t)
P4 - O1	1.19	4.65	6	0.0035
T5 - CZ	2.1	-3.97	6	0.0073
O1 - CZ	2	-4.02	6	0.007

Tabla 24. Resultados significativos de la prueba t de student aplicada a las 15 derivaciones en la Potencia Absoluta, banda Theta 1, durante la solución de las tareas de Reconocimiento Emocional, perteneciente a la prueba propuesta para medir Habilidades Emocionales Básicas.

GRUPOS	F	t	gl	p(t)
F3 - T6	1.32	4.22	6	0.0055
F3 - T5	5.21	4.52	6	0.004
C4 - T5	2.27	4.24	6	0.0054
T3 - CZ	1.56	-4.2	6	0.0057
P4 - T6	1.74	3.73	6	0.0097

GRUPOS	F	t	gl	p(t)
P3 - T5	1.69	4.22	6	0.0055
T6 - CZ	1.19	-4.94	6	0.0026
T5 - CZ	3.34	-5.09	6	0.0023
O1 - CZ	3.35	-3.98	6	0.0073

Tabla 25. Resultados significativos de la prueba t de student aplicada a las 15 derivaciones en la Potencia Absoluta, banda Theta 2, durante la solución de las tareas de Reconocimiento Emocional, perteneciente a la prueba propuesta para medir Habilidades Emocionales Básicas.

GRUPOS	F	t	gl	p(t)
F4 - T5	1.49	4.88	6	0.0028
F3 - T3	1.86	3.74	6	0.0096
F3 - T6	1.1	3.8	6	0.0089
F3 - T5	1.11	5.59	6	0.0014
C4 - T5	1.45	4.84	6	0.0029
C3 - T5	1.96	4.96	6	0.0025

GRUPOS	F	t	gl	p(t)
T3 - CZ	3.38	-3.72	6	0.0099
P4 - T5	1.13	4.96	6	0.0025
P3 - T5	1.05	5.18	6	0.0021
T6 - CZ	1.65	-3.85	6	0.0084
T5 - CZ	1.64	-5.37	6	0.0017

Tabla 26. Resultados significativos de la prueba t de student aplicada a las 15 derivaciones en la Potencia Absoluta, banda Alfa 1, durante la solución de las tareas de Reconocimiento Emocional, perteneciente a la prueba propuesta para medir Habilidades Emocionales Básicas.

GRUPOS	F	t	gl	p(t)
F3 - T3	3.48	3.9	6	0.0079
F3 - O2	1.69	4.61	6	0.0037
C4 - T5	2.62	4.84	6	0.0029
C4 - O2	2.83	3.72	6	0.0098
C3 - T3	1.15	3.78	6	0.0092
C3 - T5	3.15	4.99	6	0.0025
C3 - O2	2.36	4.04	6	0.0068
T3 - P3	2.67	-4.53	6	0.004

GRUPOS	F	t	gl	p(t)
T3 - CZ	1.31	-4.4	6	0.0045
P4 - T5	4.08	4.65	6	0.0035
P3 - T6	8.44	3.86	6	0.0084
P3 - T5	9.64	5.34	6	0.0079
P3 - O2	1.3	5.32	6	0.0018
T6 - CZ	4.14	-3.93	6	0.0077
T5 - CZ	4.73	-5.35	6	0.0017
O2 - CZ	1.57	-4.9	6	0.0027

Tabla 27. Resultados significativos de la prueba t de student aplicada a las 15 derivaciones en la Potencia Absoluta, banda Alfa 2, durante la solución de las tareas de Reconocimiento Emocional, perteneciente a la prueba propuesta para medir Habilidades Emocionales Básicas.

GRUPOS	F	t	gl	p(t)
C3 - T4	6.66	-4.51	6	0.0041
C3 - T3	7.08	-4.56	6	0.0039

GRUPOS	F	t	gl	p(t)
T3 - CZ	8.71	4.85	6	0.0029
T4 - CZ	8.19	4.81	6	0.003

Tabla 28. Resultados significativos de la prueba t de student aplicada a las 15 derivaciones en la Potencia Absoluta, banda Gamma, durante la solución de las tareas de Reconocimiento Emocional, perteneciente a la prueba propuesta para medir Habilidades Emocionales Básicas.

GRUPOS	F	t	gl	p(t)
F4 - T5	1.18	6.12	6	0.0009
F3 - T6	1.26	4.75	6	0.0032
F3 - T5	1.04	7.33	6	0.0003
F3 - O1	1.91	4.54	6	0.004
C4 - T6	1.32	4.15	6	0.006
C4 - T5	1.1	6.74	6	0.0005
C4 - O1	2.01	4	6	0.0071
C3 - T5	1.78	5.45	6	0.0016

GRUPOS	F	t	gl	p(t)
P4 - T6	1.7	4.49	6	0.0042
P4 - T5	1.41	7.26	6	0.0003
P4 - O1	2.58	4.27	6	0.0053
P3 - T5	1.89	5.57	6	0.0014
T6 - CZ	1.12	-4.39	6	0.0046
T5 - CZ	1.35	-6.72	6	0.0005
O1 - CZ	1.36	-4.27	6	0.0053

Tabla 29. Resultados significativos de la prueba t de student aplicada a las 15 derivaciones en la Potencia Absoluta, banda Total, durante la solución de las tareas de Reconocimiento Emocional, perteneciente a la prueba propuesta para medir Habilidades Emocionales Básicas.

GRUPOS	F	t	gl	p(t)
F4 - T3	2.41	4.03	6	0.0069
F4 - T6	1.25	3.73	6	0.0098
F4 - O1	1.07	4.4	6	0.0046
F3 - T3	3.38	3.93	6	0.0077
F3 - T6	1.76	3.72	6	0.0099
F3 - T5	2.72	5.88	6	0.0011
F3 - O1	1.5	4.34	6	0.0049
C4 - T3	2.21	4.41	6	0.0045
C4 - T6	1.15	4.04	6	0.0068
C4 - T5	1.77	6.62	6	0.0006
C4 - O1	1.02	4.71	6	0.0033
C3 - T4	1.69	4.37	6	0.0047
C3 - T3	2.23	5.91	6	0.0010
C3 - T6	4.29	4.83	6	0.0029
C3 - T5	2.78	8.86	6	0.0001
C3 - O1	5.04	5.58	6	0.0014

GRUPOS	F	t	gl	p(t)
T4 - P4	1.91	-4.14	6	0.0060
T4 - P3	4.25	-3.85	6	0.0084
T4 - T5	1.64	4.75	6	0.0031
T4 - CZ	1.52	-6.08	6	0.0009
T3 - P4	2.52	-5.72	6	0.0012
T3 - P3	5.62	-5.56	6	0.0014
T3 - CZ	2.01	-7.45	6	0.0003
P4 - T6	4.84	4.65	6	0.0035
P4 - T5	3.13	8.72	6	0.0001
P4 - O1	5.68	5.42	6	0.0016
P3 - T5	7.9	8.76	6	0.0001
P3 - O1	12.68	5.2	6	0.0096
P3 - CZ	2.8	-3.76	6	0.0094
T6 - CZ	3.86	-6.08	6	0.0009
T5 - CZ	2.5	-10.26	6	0.0001
O1 - CZ	4.53	-6.75	6	0.0005

Tabla 30. Resultados significativos de la prueba t de student aplicada a las 15 derivaciones en la Potencia Absoluta, banda Delta, durante la solución de las tareas de Diferenciación Emocional, perteneciente a la prueba propuesta para medir Habilidades Emocionales Básicas.

GRUPOS	F	t	gl	p(t)
F4 - T5	1.88	3.82	6	0.0088
F3 - T5	1.31	4.47	6	0.0042
F3 - O1	2.44	4.26	6	0.0053
C4 - T5	1.94	4.09	6	0.0064
C4 - O1	3.6	3.82	6	0.0087
C3 - T5	1.13	4.66	6	0.0035
C3 - O1	2.1	4.5	6	0.0041

GRUPOS	F	t	gl	p(t)
P4 - T5	1.19	5.22	6	0.0020
P4 - O1	1.56	5.18	6	0.0021
P3 - T5	2.3	5.92	6	0.0010
P3 - O1	1.24	6.18	6	0.0008
T5 - CZ	1.38	-5.3	6	0.0018
O1 - CZ	2.55	-5.18	6	0.0021

Tabla 31. Resultados significativos de la prueba t de student aplicada a las 15 derivaciones en la Potencia Absoluta, banda Theta 1, durante la solución de las tareas de Diferenciación Emocional, perteneciente a la prueba propuesta para medir Habilidades Emocionales Básicas.

GRUPOS	F	t	gl	p(t)
F4 - T5	1.32	4.04	6	0.0068
F3 - T3	1.22	4.42	6	0.0045
F3 - T5	3	5.17	6	0.0021
F3 - O1	1.02	4.85	6	0.0029
C4 - T3	1.62	4.39	6	0.0046
C4 - T5	2.25	5.19	6	0.002
C4 - O1	1.35	4.8	6	0.003
C3 - T5	1.08	4.38	6	0.0047
T3 - P4	1.47	-5.17	6	0.0021
T3 - P3	2.79	-3.9	6	0.008

GRUPOS	F	t	gl	p(t)
T3 - CZ	3.36	-4.67	6	0.0034
P4 - T6	1.66	3.74	6	0.0097
P4 - T5	2.49	5.72	6	0.0012
P4 - O1	1.22	5.56	6	0.0014
P3 - T5	1.31	4.89	6	0.0027
P3 - O1	2.33	4.28	6	0.0052
T6 - CZ	1.38	-3.74	6	0.0096
T5 - CZ	1.09	-5.5	6	0.0015
O1 - CZ	2.8	-5.01	6	0.0024

Tabla 32. Resultados significativos de la prueba t de student aplicada a las 15 derivaciones en la Potencia Absoluta, banda Theta 2, durante la solución de las tareas de Diferenciación Emocional, perteneciente a la prueba propuesta para medir Habilidades Emocionales Básicas.

GRUPOS	F	t	gl	p(t)
F4 - T5	2.04	5.82	6	0.0011
F3 - T5	2.52	7.31	6	0.0003
C4 - T5	1.66	7.11	6	0.0004
C3 - T6	6.19	3.77	6	0.0093
C3 - T5	1.49	7.75	6	0.0002
C3 - O2	1.09	4.42	6	0.0045

GRUPOS	F	t	gl	p(t)
P4 - T5	1.24	5.34	6	0.0018
P3 - T5	10.59	9.15	6	0.0013
P3 - O2	7.74	5.27	6	0.0019
T5 - O1	3.42	-9.13	6	0.0001
O2 - O1	2.5	-5.53	6	0.0015

Tabla 33. Resultados significativos de la prueba t de student aplicada a las 15 derivaciones en la Potencia Absoluta, banda Alfa 1, durante la solución de las tareas de Diferenciación Emocional, perteneciente a la prueba propuesta para medir Habilidades Emocionales Básicas.

GRUPOS	F	t	gl	p(t)
F4 - T5	2.21	4.37	6	0.0047
F3 - T5	1.64	4.78	6	0.0031
C4 - T5	1.27	4.91	6	0.0027
C3 - T5	1.32	4.63	6	0.0036

GRUPOS	F	t	gl	p(t)
T3 - CZ	1.93	-3.88	6	0.0081
P4 - T5	1.07	4.85	6	0.0029
P3 - T5	1.28	5.02	6	0.0024
T5 - CZ	1.03	-5.32	6	0.0018

Tabla 34. Resultados significativos de la prueba t de student aplicada a las 15 derivaciones en la Potencia Absoluta, banda Alfa 2, durante la solución de las tareas de Diferenciación Emocional, perteneciente a la prueba propuesta para medir Habilidades Emocionales Básicas.

GRUPOS	F	t	gl	p(t)
F4 - T5	2.52	4.47	6	0.0042
F3 - T5	2.62	4.38	6	0.0047

GRUPOS	F	t	gl	p(t)
C3 - T5	2.56	3.92	6	0.0078

Tabla 35. Resultados significativos de la prueba t de student aplicada a las 15 derivaciones en la Potencia Absoluta, banda Beta 1, durante la solución de las tareas de Diferenciación Emocional, perteneciente a la prueba propuesta para medir Habilidades Emocionales Básicas.

GRUPOS	F	t	gl	p(t)
F4 - T5	1.85	3.83	6	0.0086

Tabla 36. Resultados significativos de la prueba t de student aplicada a las 15 derivaciones en la Potencia Absoluta, banda Beta 2, durante la solución de las tareas de Diferenciación Emocional, perteneciente a la prueba propuesta para medir Habilidades Emocionales Básicas.

GRUPOS	F	t	gl	p(t)
F3 - CZ	3.59	3.73	6	0.0097

Tabla 37. Resultados significativos de la prueba t de student aplicada a las 15 derivaciones en la Potencia Absoluta, banda Gamma, durante la solución de las tareas de Diferenciación Emocional, perteneciente a la prueba propuesta para medir Habilidades Emocionales Básicas.

GRUPOS	F	t	gl	p(t)
F4-T5	1	5.99	6	0.001
F3-T5	1.47	5.74	6	0.0012
C4-T5	1.03	6.27	6	0.0008
C3-T6	4.24	3.76	6	0.0094
C3-T5	2.32	7.24	6	0.0004
C3-O1	3	3.72	6	0.0098
P4-T5	2.21	7.08	6	0.0004

GRUPOS	F	t	gl	p(t)
P3-T5	3.01	7.15	6	0.0004
T6-CZ	4.53	-4.73	6	0.0032
T5-O2	1.91	-4.09	6	0.0064
T5-CZ	2.48	-8.51	6	0.0001
O2-CZ	1.3	-5.22	6	0.002
O1-CZ	3.21	-4.84	6	0.0029

Tabla 38. Resultados significativos de la prueba t de student aplicada a las 15 derivaciones en la Potencia Absoluta, banda Total, durante la solución de las tareas de Diferenciación Emocional, perteneciente a la prueba propuesta para medir Habilidades Emocionales Básicas.

GRUPOS	F	t	gl	p(t)
F4 - T6	4.27	3.94	6	0.0077
F4 - T5	6.95	5.76	6	0.0012
F4 - O1	1.41	4.82	6	0.0029
F3 - O1	2.72	4.52	6	0.004
C4 - T6	1.59	5.36	6	0.0017
C4 - T5	2.58	8.3	6	0.0002
C4 - O2	1.41	3.77	6	0.0093
C4 - O1	1.9	5.88	6	0.0011
C3 - T6	2.64	4.45	6	0.0043
C3 - T5	4.28	6.75	6	0.0005
C3 - O1	1.15	5.24	6	0.0019

GRUPOS	F	t	gl	p(t)
T4 - T5	2.92	4.45	6	0.0043
P4 - T6	3.14	6.97	6	0.0004
P4 - O2	7.04	4.23	6	0.0055
P4 - O1	9.49	6.56	6	0.0039
P3 - T6	2.51	4.46	6	0.0043
P3 - T5	4.09	6.81	6	0.0005
P3 - O1	1.2	5.25	6	0.0019
T6 - CZ	3.47	-4.69	6	0.0034
T5 - CZ	5.64	-6.73	6	0.0005
O1 - CZ	1.15	-5.46	6	0.0016

Tabla 39. Resultados significativos de la prueba t de student aplicada a las 15 derivaciones en la Potencia Absoluta, banda Delta, durante la solución de las tareas de Memoria Emocional, perteneciente a la prueba propuesta para medir Habilidades Emocionales Básicas.

GRUPOS	F	t	gl	p(t)
F4 - T5	1.89	4.13	6	0.0062
F3 - T5	2.69	4.02	6	0.007
F7 - CZ	1.09	-3.89	6	0.0081
C4 - T5	2.12	4.31	6	0.005
C3 - T5	3.34	4.15	6	0.006

GRUPOS	F	t	gl	p(t)
T3 - CZ	1.57	-3.72	6	0.0099
P4 - T5	2.79	4.38	6	0.0047
P3 - T5	2.78	4.57	6	0.0038
T6 - CZ	7.9	-5.45	6	0.0016
T5 - CZ	1.7	-5.68	6	0.0013

Tabla 40. Resultados significativos de la prueba t de student aplicada a las 15 derivaciones en la Potencia Absoluta, banda Theta 1, durante la solución de las tareas de Memoria Emocional, perteneciente a la prueba propuesta para medir Habilidades Emocionales Básicas.

GRUPOS	F	t	gl	p(t)
C3 - T3	1.41	4.02	6	0.007

GRUPOS	F	t	gl	p(t)
C3 - T5	2.19	3.8	6	0.009

Tabla 41. Resultados significativos de la prueba t de student aplicada a las 15 derivaciones en la Potencia Absoluta, banda Alfa 1, durante la solución de las tareas de Memoria Emocional, perteneciente a la prueba propuesta para medir Habilidades Emocionales Básicas.

GRUPOS	F	t	gl	p(t)
F4 - T5	1.42	5.39	6	0.0017
F3 - T5	1.25	5.15	6	0.0021
C4 - T5	2.05	6.44	6	0.0007
C3 - T3	1.65	3.89	6	0.0081
C3 - T5	1.59	7.5	6	0.0003
T3 - P4	1.43	-3.75	6	0.0095

GRUPOS	F	t	gl	p(t)
T3 - P3	2.9	-4.49	6	0.0042
T3 - CZ	4.22	-4.59	6	0.0037
P4 - T5	1.38	7.26	6	0.0003
P3 - T5	2.8	8.46	6	0.0001
T5 - CZ	4.07	-8.74	6	0.0001

Tabla 42. Resultados significativos de la prueba t de student aplicada a las 15 derivaciones en la Potencia Absoluta, banda Alfa 2, durante la solución de las tareas de Memoria Emocional, perteneciente a la prueba propuesta para medir Habilidades Emocionales Básicas.

GRUPOS	F	t	gl	p(t)
F4 - T5	1.42	4.28	6	0.0052
F3 - T5	1.97	5.42	6	0.0016
C4 - T5	4.97	4.51	6	0.0041
C4 - CZ	5.75	-3.81	6	0.0089

GRUPOS	F	t	gl	p(t)
C3 - T5	1.53	4.19	6	0.0058
P4 - T5	1.21	5.2	6	0.002
P3 - T5	1.86	5.61	6	0.0014
T5 - CZ	28.58	-6.68	6	0.0055

Tabla 43. Resultados significativos de la prueba t de student aplicada a las 15 derivaciones en la Potencia Absoluta, banda Beta 1, durante la solución de las tareas de Memoria Emocional, perteneciente a la prueba propuesta para medir Habilidades Emocionales Básicas.

GRUPOS	F	t	gl	p(t)
P3 - T5	1.08	5.73	6	0.0012

GRUPOS	F	t	gl	p(t)
C3 - T5	3.33	2.48	6	0.01

Tabla 44. Resultados significativos de la prueba t de student aplicada a las 15 derivaciones en la Potencia Absoluta, banda Beta 2, durante la solución de las tareas de Memoria Emocional, perteneciente a la prueba propuesta para medir Habilidades Emocionales Básicas.

GRUPOS	F	t	gl	p(t)
F3 - C4	3.9	6.97	6	0.0004
F3 - CZ	8.99	4.71	6	0.0033

GRUPOS	F	t	gl	p(t)
C4 - P3	4.77	-4.65	6	0.0035
C4 - CZ	2.3	-4.7	6	0.0033

Tabla 45. Resultados significativos de la prueba t de student aplicada a las 15 derivaciones en la Potencia Absoluta, banda Gamma, durante la solución de las tareas de Memoria Emocional, perteneciente a la prueba propuesta para medir Habilidades Emocionales Básicas.

GRUPOS	F	t	gl	p(t)
F4 - T5	1.21	4.67	6	0.0034
F3 - T5	2.14	4.42	6	0.0045
C4 - T5	1.21	5.25	6	0.0019
C4 - O1	1.49	3.92	6	0.0078
C3 - T5	1.24	4.82	6	0.0029
P4 - T5	1.06	5.19	6	0.002

GRUPOS	F	t	gl	p(t)
P4 - O1	1.92	3.91	6	0.0079
P3 - T5	1.33	4.97	6	0.0025
T6 - CZ	1.01	-3.86	6	0.0084
T5 - CZ	1.43	-5.59	6	0.0014
O1 - CZ	2.59	-4.42	6	0.0045

Tabla 46. Resultados significativos de la prueba t de student aplicada a las 15 derivaciones en la Potencia Absoluta, banda Total, durante la solución de las tareas de Memoria Emocional, perteneciente a la prueba propuesta para medir Habilidades Emocionales Básicas.

GRUPOS	F	t	gl	p(t)
F4 - T5	8.79	5.17	6	0.0021
F4 - O1	1.06	4.28	6	0.0052
F3 - T4	2.34	3.97	6	0.0074
F3 - T6	1.55	3.77	6	0.0092
F3 - T5	4.92	7.13	6	0.0004
F3 - O1	1.69	5.18	6	0.0021
C4 - T4	1.41	3.88	6	0.0081
C4 - T5	2.96	7.82	6	0.0002
C4 - O1	2.82	5.08	6	0.0023
C3 - T5	5.43	5.98	6	0.001
C3 - O1	1.53	4.5	6	0.0041

GRUPOS	F	t	gl	p(t)
T4 - P4	7.96	-5.83	6	0.0011
T4 - P3	1.5	-3.76	6	0.0094
T4 - T5	2.1	3.88	6	0.0082
T4 - CZ	2.35	-4	6	0.0071
P4 - O1	31.6	5.9	6	0.0081
P3 - T5	3.15	7.57	6	0.0003
P3 - O1	2.64	5	6	0.0024
T6 - CZ	1.54	-3.8	6	0.009
T5 - CZ	4.93	-7.16	6	0.0004
O1 - CZ	1.69	-5.2	6	0.002

Tabla 47. Resultados significativos de la prueba t de student aplicada a las 15 derivaciones en la Potencia Absoluta, banda Delta, durante la solución de las tareas de Relación Emocional, perteneciente a la prueba propuesta para medir Habilidades Emocionales Básicas.

GRUPOS	F	t	gl	p(t)
F4 - T6	1.99	3.89	6	0.0081
F4 - T5	1.71	4.7	6	0.0033
F4 - O1	1.07	4.17	6	0.0059
F3 - T6	1.29	4.7	6	0.0033
F3 - T5	1.11	5.57	6	0.0014
F3 - O1	1.44	4.83	6	0.0029
C4 - T6	2.18	4.03	6	0.0069
C4 - T5	1.87	4.82	6	0.0029
C4 - O1	1.17	4.3	6	0.0051

GRUPOS	F	t	gl	p(t)
C3 - T6	2.48	3.79	6	0.0091
C3 - T5	2.13	4.55	6	0.0039
C3 - O1	1.33	4.09	6	0.0064
P4 - T6	2.16	3.94	6	0.0076
P4 - T5	1.85	4.74	6	0.0032
P4 - O1	1.16	4.23	6	0.0055
T6 - CZ	2.27	-5.02	6	0.0024
T5 - CZ	1.95	-5.77	6	0.0012
O1 - CZ	1.22	-5.18	6	0.002

Tabla 48. Resultados significativos de la prueba t de student aplicada a las 15 derivaciones en la Potencia Absoluta, banda Theta 1, durante la solución de las tareas de Relación Emocional, perteneciente a la prueba propuesta para medir Habilidades Emocionales Básicas.

GRUPOS	F	t	gl	p(t)
F4 - T5	2.02	4.66	6	0.0035
F3 - T3	1.1	5.5	6	0.0015
F3 - T5	1.29	7.53	6	0.0003
F3 - O1	2.3	5.2	6	0.002
C4 - T3	1.68	5.4	6	0.0017
C4 - T5	1.17	7.28	6	0.0003
C4 - O1	1.51	5.25	6	0.0019
C3 - T5	3.36	4.95	6	0.0026

GRUPOS	F	t	gl	p(t)
T3 - P4	1.68	-5.62	6	0.0014
T3 - P3	2.34	-4.6	6	0.0037
T3 - CZ	5.34	-4.43	6	0.0044
P4 - T5	1.18	7.48	6	0.0003
P4 - O1	1.51	5.42	6	0.0016
P3 - T5	1.64	6.38	6	0.0007
P3 - O1	1.08	4.68	6	0.0034
T5 - CZ	3.74	-5.83	6	0.0011

Tabla 49. Resultados significativos de la prueba t de student aplicada a las 15 derivaciones en la Potencia Absoluta, banda Theta 2 durante la solución de las tareas de Relación Emocional, perteneciente a la prueba propuesta para medir Habilidades Emocionales Básicas.

GRUPOS	F	t	gl	p(t)
C4 - T5	1.17	3.74	6	0.0097
C3 - T5	1.12	3.84	6	0.0085

GRUPOS	F	t	gl	p(t)
T5 - CZ	1.42	-4.36	6	0.0047

Tabla 50. Resultados significativos de la prueba t de student aplicada a las 15 derivaciones en la Potencia Absoluta, banda Alfa 1, durante la solución de las tareas de Relación Emocional, perteneciente a la prueba propuesta para medir Habilidades Emocionales Básicas.

GRUPOS	F	t	gl	p(t)
F3 - T5	1.18	5.96	6	0.001
C4 - T5	4.99	4	6	0.0071
C3 - T5	2.71	5.63	6	0.0013

GRUPOS	F	t	gl	p(t)
T3 - T5	1.51	3.86	6	0.0084
P3 - T5	2.65	9.29	6	0.0001
T5 - O2	1.48	-4.31	6	0.005

Tabla 51. Resultados significativos de la prueba t de student aplicada a las 15 derivaciones en la Potencia Absoluta, banda Alfa 2, durante la solución de las tareas de Relación Emocional, perteneciente a la prueba propuesta para medir Habilidades Emocionales Básicas.

GRUPOS	F	t	gl	p(t)
F3 - T5	1.69	3.83	6	0.0087
T3 - T5	2.21	3.84	6	0.0086
P4 - T5	5.41	4.18	6	0.0058

GRUPOS	F	t	gl	p(t)
P3 - T5	2.56	4.25	6	0.0054
T5 - CZ	7.58	-4.31	6	0.005

Tabla 52. Resultados significativos de la prueba t de student aplicada a las 15 derivaciones en la de potencia Absoluta, banda Beta 1, durante la solución de las tareas de Relación Emocional, perteneciente a la prueba propuesta para medir Habilidades Emocionales Básicas.

GRUPOS	F	t	gl	p(t)
C4 - T3	1.78	-6.61	6	0.0006
C3 - T3	1.31	-5.03	6	0.0024
T3 - P4	4.74	6.14	6	0.0009

GRUPOS	F	t	gl	p(t)
T3 - P3	3.83	5.91	6	0.001
T3 - T5	2.15	5.32	6	0.0018
T3 - CZ	1.8	5.91	6	0.001

Tabla 53. Resultados significativos de la prueba t de student aplicada a las 15 derivaciones en la Potencia Absoluta, banda Beta 2, durante la solución de las tareas de Relación Emocional, perteneciente a la prueba propuesta para medir Habilidades Emocionales Básicas.

GRUPOS	F	t	gl	p(t)
F3 - C4	1.22	4.44	6	0.0044
F3 - T3	2.28	-9.66	6	0.0001

GRUPOS	F	t	gl	p(t)
C3 - T3	4.76	-9.58	6	0.0001
T3 - P3	10.08	6.15	6	0.005

Tabla 54. Resultados significativos de la prueba t de student aplicada a las 15 derivaciones en la Potencia Absoluta, banda Gamma, durante la solución de las tareas de Relación Emocional, perteneciente a la prueba propuesta para medir Habilidades Emocionales Básicas.

GRUPOS	F	t	gl	p(t)
F4 - T5	3.06	6.17	6	0.0008
F3 - T5	1.85	7.86	6	0.0002
F3 - O1	1.78	4.19	6	0.0058
C4 - T5	1.31	8.35	6	0.0002
C4 - O1	2.52	4.16	6	0.006
C3 - T5	3.05	6.27	6	0.0008
T3 - T5	1.18	6	6	0.001
T3 - CZ	2.83	-4.02	6	0.007
P4 - T5	1.1	9.02	6	0.0001

GRUPOS	F	t	gl	p(t)
P4 - O2	2.03	3.78	6	0.0092
P4 - O1	3	4.44	6	0.0044
P3 - T5	1.82	7.5	6	0.0003
P3 - O1	1.81	3.9	6	0.008
T6 - CZ	2.49	-3.98	6	0.0073
T5 - CZ	2.39	-8.35	6	0.0002
O2 - CZ	1.07	-4.28	6	0.0052
O1 - CZ	1.38	-4.87	6	0.0028

Tabla 55. Resultados significativos de la prueba t de student aplicada a las 15 derivaciones en la Potencia Absoluta, banda Total, durante la solución de las tareas de Relación Emocional, perteneciente a la prueba propuesta para medir Habilidades Emocionales Básicas.

GRUPOS	F	t	gl	p(t)
F4 - T3	2.11	4.55	6	0.0039
F4 - T6	1.08	5.95	6	0.001
F4 - T5	2.08	9.42	6	0.0001
F4 - O1	3.24	5.55	6	0.0014
F3 - T3	5.56	3.78	6	0.0092
F3 - T6	2.84	4.98	6	0.0025
F3 - T5	5.49	7.14	6	0.0004
F3 - O1	1.23	5.19	6	0.002
F7 - T5	4.18	4.35	6	0.0048
C4 - T3	3.13	4.3	6	0.0051
C4 - T6	1.6	5.63	6	0.0013
C4 - T5	3.09	8.53	6	0.0001
C4 - O1	2.18	5.49	6	0.0015
C3 - T3	4.37	4.06	6	0.0067
C3 - T6	2.23	5.31	6	0.0018
C3 - T5	4.31	7.77	6	0.0002

GRUPOS	F	t	gl	p(t)
C3 - O1	1.56	5.37	6	0.0017
T4 - T5	4.31	3.87	6	0.0083
T3 - P4	2.75	-5.08	6	0.0023
T3 - P3	4.82	-3.73	6	0.0098
T3 - T5	1.01	6.08	6	0.0009
T3 - CZ	4.89	-4.66	6	0.0035
P4 - T6	1.41	6.36	6	0.0007
P4 - T5	2.71	9.51	6	0.0001
P4 - O1	2.49	5.95	6	0.001
P3 - T6	2.46	4.98	6	0.0025
P3 - T5	4.76	7.29	6	0.0003
P3 - O1	1.42	5.15	6	0.0021
T6 - CZ	2.5	-5.83	6	0.0011
T5 - CZ	4.83	-8.2	6	0.0002
O2 - CZ	1.62	-3.76	6	0.0094
O1 - CZ	1.4	-5.81	6	0.0011

Tabla 56. Resultados significativos de la prueba t de student aplicada a las 15 derivaciones en la Potencia Absoluta, banda Delta, durante la solución de las tareas de Empatía, perteneciente a la prueba propuesta para medir Habilidades Emocionales Básicas.

GRUPOS	F	t	gl	p(t)
F4 - T5	1.89	4.13	6	0.0062
F3 - T5	2.69	4.02	6	0.007
F7 - CZ	1.09	-3.89	6	0.0081
C4 - T5	2.12	4.31	6	0.005
C3 - T5	3.34	4.15	6	0.006

GRUPOS	F	t	gl	p(t)
T3 - CZ	1.57	-3.72	6	0.0099
P4 - T5	2.79	4.38	6	0.0047
P3 - T5	2.78	4.57	6	0.0038
T6 - CZ	7.9	-5.45	6	0.0016
T5 - CZ	1.7	-5.68	6	0.0013

Tabla 57. Resultados significativos de la prueba t de student aplicada a las 15 derivaciones en la Potencia Absoluta, banda Theta 1, durante la solución de las tareas de Empatía, perteneciente a la prueba propuesta para medir Habilidades Emocionales Básicas.

F7 - P3	1.83	-4.45	6	0.0043
F7 - CZ	1.34	-3.86	6	0.0083
C3 - T5	1.02	3.85	6	0.0085
T3 - P3	1.25	-4.38	6	0.0047

P4 - T5	1.15	4.2	6	0.0057
P3 - T5	1.83	5.12	6	0.0022
P3 - O1	1.48	3.91	6	0.0079
T5 - CZ	1.34	-4.41	6	0.0045

Tabla 58. Resultados significativos de la prueba t de student aplicada a las 15 derivaciones en la Potencia Absoluta, banda Theta 2, durante la solución de las tareas de Empatía, perteneciente a la prueba propuesta para medir Habilidades Emocionales Básicas.

GRUPOS	F	t	gl	p(t)
F3 - F7	1.21	3.9	6	0.008
F7 - C4	1.23	-5.08	6	0.0023
F7 - C3	1.69	-4.68	6	0.0034
F7 - P4	1.67	-4.31	6	0.0051
F7 - P3	1.76	-5.87	6	0.0011
F7 - CZ	1.75	-4.95	6	0.0026

GRUPOS	F	t	gl	p(t)
C4 - T5	1.54	4.06	6	0.0066
C3 - T5	1.34	3.89	6	0.0081
T3 - P3	1.1	-3.9	6	0.008
P3 - T5	2.21	4.7	6	0.0033
T5 - CZ	1.39	-4.16	6	0.006

Tabla 59. Resultados significativos de la prueba t de student aplicada a las 15 derivaciones en la Potencia Absoluta, banda Alfa 1, durante la solución de las tareas de Empatía, perteneciente a la prueba propuesta para medir Habilidades Emocionales Básicas.

GRUPOS	F	t	gl	p(t)
F4 - F7	4.04	3.75	6	0.0095
F4 - T5	1.36	4.49	6	0.0042
F7 - C4	3.48	-4.57	6	0.0038
F7 - C3	6.39	-5.67	6	0.0013
F7 - P4	2.54	-4.74	6	0.0032
F7 - P3	50.21	-5.92	6	0.0086
F7 - CZ	10.27	-5.72	6	0.0064
C4 - T5	1.17	5.59	6	0.0014
C3 - T3	1.2	4.61	6	0.0036
C3 - T6	6.3	4	6	0.0071

GRUPOS	F	t	gl	p(t)
C3 - T5	2.16	7.59	6	0.0003
C3 - O2	2.62	3.74	6	0.0097
T3 - P3	6.54	-6.06	6	0.0009
T3 - T5	2.59	4.19	6	0.0057
T3 - CZ	1.34	-4.95	6	0.0026
P4 - T5	1.17	5.65	6	0.0013
P3 - T5	16.95	8.73	6	0.002
T5 - CZ	3.47	-7.93	6	0.0002
O2 - CZ	4.21	-3.79	6	0.009

Tabla 60. Resultados significativos de la prueba t de student aplicada a las 15 derivaciones en la Potencia Absoluta, banda Alfa 2, durante la solución de las tareas de Empatía, perteneciente a la prueba propuesta para medir Habilidades Emocionales Básicas.

GRUPOS	F	t	gl	p(t)
F3 - F7	3.55	4.14	6	0.0061
F7 - C3	6.81	-4.11	6	0.0063
F7 - T4	1.67	-4.51	6	0.0041

GRUPOS	F	t	gl	p(t)
F7 - T3	1.18	-4.5	6	0.0041
T4 - T5	1.03	3.72	6	0.0098
T3 - T5	1.91	3.76	6	0.0094

Tabla 61. Resultados significativos de la prueba t de student aplicada a las 15 derivaciones en la Potencia Absoluta, banda Beta 1, durante la solución de las tareas de Empatía, perteneciente a la prueba propuesta para medir Habilidades Emocionales Básicas.

GRUPOS	F	t	gl	p(t)
F7 - T4	1.55	-5.49	6	0.0015
F7 - T3	1.99	-4.62	6	0.0036
C4 - T4	1.27	-4.44	6	0.0044
C3 - T4	4.33	-4.9	6	0.0027
T4 - P4	3.63	4.42	6	0.0045

GRUPOS	F	t	gl	p(t)
T4 - P3	6.54	4.27	6	0.0052
T4 - T6	1.02	4.35	6	0.0048
T4 - T5	1.74	4.3	6	0.0051
T4 - CZ	6.14	5.01	6	0.0024
T3 - T5	1.78	3.78	6	0.0092

Tabla 62. Resultados significativos de la prueba t de student aplicada a las 15 derivaciones en la Potencia Absoluta, banda Beta 2, durante la solución de las tareas de Empatía, perteneciente a la prueba propuesta para medir Habilidades Emocionales Básicas.

GRUPOS	F	t	gl	p(t)
F3 - CZ	4.77	6.46	6	0.0007
F7 - T4	1.42	-4.73	6	0.0032
F7 - T3	1.84	-4.99	6	0.0025
C4 - T4	1.44	-3.71	6	0.0099
C3 - T4	1.53	-3.72	6	0.0098

GRUPOS	F	t	gl	p(t)
C4 - T3	1.81	-4.2	6	0.0057
C3 - T3	4	-4.12	6	0.0062
T3 - T6	2.46	4.04	6	0.0068
T3 - T5	1.49	3.85	6	0.0084

Tabla 63. Resultados significativos de la prueba t de student aplicada a las 15 derivaciones en la Potencia Absoluta, banda Gamma, durante la solución de las tareas de Empatía, perteneciente a la prueba propuesta para medir Habilidades Emocionales Básicas.

GRUPOS	F	t	gl	p(t)
F4 - T6	1.1	3.74	6	0.0096
F4 - T5	1.74	6.26	6	0.0008
F3 - T5	3.4	5.45	6	0.0016
F7 - C4	1.04	-3.76	6	0.0094
F7 - C3	1.46	-3.94	6	0.0076
F7 - P4	1.28	-4.18	6	0.0058
F7 - P3	1.06	-4.58	6	0.0038
F7 - CZ	1.32	-4.71	6	0.0033
C4 - T6	1.08	3.99	6	0.0072
C4 - T5	2.09	6.37	6	0.0007

GRUPOS	F	t	gl	p(t)
C3 - T6	1.52	4.15	6	0.006
C3 - T5	2.93	6.22	6	0.0008
T3 - T5	1.22	5.42	6	0.0016
P4 - T6	1.33	4.4	6	0.0046
P4 - T5	2.55	6.63	6	0.0006
P3 - T6	1.02	4.83	6	0.0029
P3 - T5	1.88	7.43	6	0.0003
T6 - CZ	1.37	-4.93	6	0.0026
T5 - CZ	2.63	-7.2	6	0.0004

Tabla 64. Resultados significativos de la prueba t de student aplicada a las 15 derivaciones en la Potencia Absoluta, banda Total, durante la solución de las tareas de Empatía, perteneciente a la prueba propuesta para medir Habilidades Emocionales Básicas.

GRUPOS	F	t	gl	p(t)
F4 - T3	1.36	3.62	6	0.0068
F4 - T6	1.09	4.87	6	0.0012
F4 - T5	1.33	6.36	6	0.0002
F4 - O1	2.24	4.56	6	0.0018
F3 - T6	2.44	4.18	6	0.0031
F3 - T5	2	5.39	6	0.0007
F3 - O1	1.19	4.19	6	0.003
C4 - T6	1.51	4.26	6	0.0028
C4 - T5	1.23	5.63	6	0.0005
C4 - O1	1.37	4.17	6	0.0031
C3 - T3	1.12	3.81	6	0.0051
C3 - T6	1.12	5	6	0.0011
C3 - T5	1.1	6.43	6	0.0002

GRUPOS	F	t	gl	p(t)
C3 - O1	1.84	4.72	6	0.0015
T3 - P4	2.79	-4.96	6	0.0011
T3 - P3	1.12	-3.77	6	0.0055
T3 - CZ	1.85	-4.83	6	0.0013
P4 - T6	2.24	6.54	6	0.0002
P4 - O1	4.61	5.68	6	0.0005
P3 - T6	1.4	4.87	6	0.0012
P3 - T5	1.14	6.24	6	0.0002
P3 - O1	1.47	4.66	6	0.0016
T6 - CZ	1.48	-6.26	6	0.0002
T5 - CZ	1.81	-7.74	6	0.0001
O1 - CZ	3.05	-5.59	6	0.0005

Tabla 65. Resultados significativos de la prueba t de student aplicada a las 15 derivaciones en la Potencia Absoluta, banda Delta, durante la solución de las tareas de Flexibilidad en el Sentimiento, perteneciente a la prueba propuesta para medir Habilidades Emocionales Básicas.

GRUPOS	F	t	gl	p(t)
F4 - T5	2.19	3.5	6	0.0081
F3 - T6	1.11	3.85	6	0.0049
F3 - T5	1.94	5.41	6	0.0006
C4 - T6	1.5	3.86	6	0.0048
C4 - T5	1.16	5.33	6	0.0007
C3 - T5	1.86	4.48	6	0.0021
T3 - CZ	1.47	-3.37	6	0.0098

GRUPOS	F	t	gl	p(t)
P4 - T6	2.47	3.64	6	0.0066
P4 - T5	1.42	5	6	0.001
P3 - T6	2.59	3.49	6	0.0082
P3 - T5	1.49	4.86	6	0.0013
T6 - CZ	3.12	-4.12	6	0.0033
T5 - CZ	1.79	-5.38	6	0.0007
O1 - CZ	1.33	-3.45	6	0.0087

Tabla 66. Resultados significativos de la prueba t de student aplicada a las 15 derivaciones en la Potencia Absoluta, banda Theta 1, durante la solución de las tareas de Flexibilidad en el Sentimiento, perteneciente a la prueba propuesta para medir Habilidades Emocionales Básicas.

GRUPOS	F	t	gl	p(t)
F4 - T3	1.01	3.94	6	0.0043
F4 - T6	3.3	3.54	6	0.0076
F4 - T5	3.05	4.55	6	0.0019
F3 - T3	1.76	3.87	6	0.0047
F3 - T6	1.85	3.65	6	0.0065
F3 - T5	1.71	4.57	6	0.0018
C4 - T3	2.97	4.36	6	0.0024
C4 - T6	1.1	4.18	6	0.0031
C4 - T5	1.02	5	6	0.001
C3 - T5	1.25	3.99	6	0.004
T3 - P4	1.89	-5.42	6	0.0006

GRUPOS	F	t	gl	p(t)
T3 - P3	1.51	-5.17	6	0.0008
T3 - CZ	5.02	-4.05	6	0.0037
P4 - T6	1.73	4.83	6	0.0013
P4 - T5	1.6	5.77	6	0.0004
P4 - O1	2.04	3.86	6	0.0048
P3 - T6	2.16	4.55	6	0.0019
P3 - T5	1.99	5.53	6	0.0006
P3 - O1	2.55	3.55	6	0.0075
T6 - CZ	1.54	-4.06	6	0.0036
T5 - CZ	1.66	-4.76	6	0.0014

Tabla 67. Resultados significativos de la prueba t de student aplicada a las 15 derivaciones en la Potencia Absoluta, banda Theta 2, durante la solución de las tareas de Flexibilidad en el Sentimiento, perteneciente a la prueba propuesta para medir Habilidades Emocionales Básicas.

GRUPOS	F	t	gl	p(t)
F4 - T5	1.9	3.63	6	0.0067
F3 - T5	1.29	3.95	6	0.0042
C4 - T5	1.13	4.34	6	0.0025
C3 - T3	1.52	4.88	6	0.0012
C3 - T6	2.52	3.86	6	0.0048
C3 - T5	1.77	5.69	6	0.0005
T3 - P4	2.39	-3.38	6	0.0096

GRUPOS	F	t	gl	p(t)
T3 - P3	1.33	-4.51	6	0.002
T3 - CZ	3.11	-4.5	6	0.002
P4 - T5	1.13	4.51	6	0.002
P3 - T6	2.89	3.55	6	0.0076
P3 - T5	2.03	5.39	6	0.0007
T6 - CZ	1.23	-3.91	6	0.0045
T5 - CZ	1.15	-5.42	6	0.0006

Tabla 68. Resultados significativos de la prueba t de student aplicada a las 15 derivaciones en la Potencia Absoluta, banda Alfa 1, durante la solución de las tareas de Flexibilidad en el Sentimiento, perteneciente a la prueba propuesta para medir Habilidades Emocionales Básicas.

GRUPOS	F	t	gl	p(t)
F4 - T5	1.39	4.69	6	0.0016
F3 - T3	2.42	3.84	6	0.005
F3 - T5	6.11	7.27	6	0.0001
C4 - T3	1.42	3.98	6	0.0041
C4 - T5	1.77	7.09	6	0.0001
C3 - T3	4.03	3.76	6	0.0056
C3 - T5	1.6	6.38	6	0.0002
T4 - T5	1.83	4.33	6	0.0025

GRUPOS	F	t	gl	p(t)
T3 - P4	2.07	-3.89	6	0.0046
T3 - P3	1.4	-4.87	6	0.0012
T3 - T5	2.52	4.21	6	0.003
T3 - CZ	1.84	-5.95	6	0.0003
P4 - T5	1.21	6.87	6	0.0001
P3 - T5	1.8	7.8	6	0.0001
T5 - O2	1.96	-3.72	6	0.0059

Tabla 69. Resultados significativos de la prueba t de student aplicada a las 15 derivaciones en la Potencia Absoluta, banda Alfa 2, durante la solución de las tareas de Flexibilidad en el Sentimiento, perteneciente a la prueba propuesta para medir Habilidades Emocionales Básicas.

GRUPOS	F	t	gl	p(t)
F4 - T5	2.32	4.01	6	0.0039
F3 - T5	4.24	4.32	6	0.0026
C4 - P3	1.33	-4.11	6	0.0034
C4 - CZ	2.43	-4.29	6	0.0027
C3 - T5	2.48	3.79	6	0.0053

GRUPOS	F	t	gl	p(t)
T4 - T5	3.06	3.57	6	0.0072
P4 - T5	10.03	4.66	6	0.0061
P3 - T5	7.04	5.2	6	0.0032
T5 - CZ	22.64	-5.06	6	0.0057

Tabla 70. Resultados significativos de la prueba t de student aplicada a las 15 derivaciones en la Potencia Absoluta, banda Beta 1, durante la solución de las tareas de Flexibilidad en el Sentimiento, perteneciente a la prueba propuesta para medir Habilidades Emocionales Básicas.

GRUPOS	F	t	gl	p(t)
F4 - T5	2.84	3.48	6	0.0083
F3 - T5	1.14	4.89	6	0.0012
T4 - T5	6.25	3.97	6	0.0041
T3 - T5	5.83	3.71	6	0.006

GRUPOS	F	t	gl	p(t)
P4 - T5	1.44	3.92	6	0.0044
P3 - T5	4.27	3.77	6	0.0055
T5 - CZ	1.87	-3.48	6	0.0083

Tabla 71. Resultados significativos de la prueba t de student aplicada a las 15 derivaciones en la Potencia Absoluta, banda Beta 2, durante la solución de las tareas de Flexibilidad en el Sentimiento, perteneciente a la prueba propuesta para medir Habilidades Emocionales Básicas.

GRUPOS	F	t	gl	p(t)
F4 - C3	1.84	3.96	6	0.0042
F3 - C3	1.03	3.97	6	0.0041
C4 - T4	4.96	-3.48	6	0.0083

GRUPOS	F	t	gl	p(t)
T4 - P3	5.89	3.4	6	0.0094
T4 - T5	1.47	3.95	6	0.0042

Tabla 72. Resultados significativos de la prueba t de student aplicada a las 15 derivaciones en la Potencia Absoluta, banda Gamma, durante la solución de las tareas de Flexibilidad en el Sentimiento, perteneciente a la prueba propuesta para medir Habilidades Emocionales Básicas.

GRUPOS	F	t	gl	p(t)
F4 - T6	1.76	3.51	6	0.008
F4 - T5	1.16	6.39	6	0.0002
F3 - T6	1.3	3.73	6	0.0058
F3 - T5	1.57	6.36	6	0.0002
C4 - T6	1.5	3.77	6	0.0055
C4 - T5	1.37	6.55	6	0.0002
C3 - T6	2	4.34	6	0.0025
C3 - T5	1.02	7.53	6	0.0001
T4 - T5	3.59	3.6	6	0.007
T3 - T5	1.45	3.84	6	0.005

GRUPOS	F	t	gl	p(t)
T3 - CZ	1.21	-3.77	6	0.0055
P4 - T6	2.37	4.67	6	0.0016
P4 - O1	2.73	3.47	6	0.0085
P3 - T6	2.2	4.55	6	0.0019
P3 - O1	2.54	3.36	6	0.0099
T6 - CZ	1.71	-5.01	6	0.001
T5 - O2	1.23	-4.63	6	0.0017
O2 - CZ	1.03	-3.37	6	0.0099
O1 - CZ	1.97	-3.87	6	0.0048

Tabla 73. Resultados significativos de la prueba t de student aplicada a las 15 derivaciones en la Potencia Absoluta, banda Total, durante la solución de las tareas de Flexibilidad en el Sentimiento, perteneciente a la prueba propuesta para medir Habilidades Emocionales Básicas.

GRUPOS	F	t	gl	p(t)
F4 - T5	1.11	4.5	6	0.0041
F4 - O1	1.36	4.96	6	0.0026
F3 - T6	3.39	3.97	6	0.0074
F3 - T5	1.04	4.95	6	0.0026
F3 - O1	1.18	5.46	6	0.0016
C4 - T6	2.06	4.69	6	0.0034
C4 - T5	1.71	5.47	6	0.0016
C4 - O1	1.4	6.1	6	0.0009
C3 - T6	4.51	3.84	6	0.0086
C3 - T5	1.28	4.84	6	0.0029
C3 - O1	1.57	5.29	6	0.0018
T4 - P4	1.77	-4.51	6	0.004
T4 - CZ	2.09	-3.8	6	0.009

GRUPOS	F	t	gl	p(t)
T3 - P4	2.42	-4.7	6	0.0033
T3 - CZ	1.53	-4.06	6	0.0066
P4 - T6	1.15	6.5	6	0.0006
P4 - T5	4.06	6.49	6	0.0006
P4 - O2	3.61	4.44	6	0.0044
P4 - O1	3.32	7.36	6	0.0003
P3 - T6	2.27	4.7	6	0.0033
P3 - T5	1.55	5.49	6	0.0015
P3 - O1	1.27	6.11	6	0.0009
T6 - CZ	3.19	-4.95	6	0.0026
T5 - CZ	1.1	-5.73	6	0.0012
O2 - CZ	1.02	-4.03	6	0.0069
O1 - CZ	1.11	-6.29	6	0.0008

Tabla 74. Resultados significativos de la prueba t de student aplicada a las 15 derivaciones en la Potencia Absoluta, banda Delta, durante la solución de las tareas de Tolerancia, perteneciente a la prueba propuesta para medir Habilidades Emocionales Básicas.

GRUPOS	F	t	gl	p(t)
F3 - T5	1.14	3.83	6	0.0087
C3 - T5	1.7	3.88	6	0.0082
P4 - T6	7.13	4.05	6	0.0067

GRUPOS	F	t	gl	p(t)
P4 - T5	1.11	4.1	6	0.0064
T5 - CZ	2.05	-4.22	6	0.0056

Tabla 75. Resultados significativos de la prueba t de student aplicada a las 15 derivaciones en la Potencia Absoluta, banda Theta 1, durante la solución de las tareas de Tolerancia, perteneciente a la prueba propuesta para medir Habilidades Emocionales Básicas.

GRUPOS	F	t	gl	p(t)
F3 - T5	1.8	4.11	6	0.0063
C4 - T5	2.29	3.95	6	0.0075
C3 - T5	2.75	3.74	6	0.0096

GRUPOS	F	t	gl	p(t)
P4 - T5	1.75	4.51	6	0.0041
P3 - T5	2.14	4.39	6	0.0046
T5 - CZ	3.75	-4.2	6	0.0057

Tabla 76. Resultados significativos de la prueba t de student aplicada a las 15 derivaciones en la Potencia Absoluta, banda Theta 2, durante la solución de las tareas de Tolerancia, perteneciente a la prueba propuesta para medir Habilidades Emocionales Básicas.

GRUPOS	F	t	gl	p(t)
C4 - T3	5.3	3.84	6	0.0086
C4 - T5	1.33	3.91	6	0.0079
C3 - T3	7.82	3.79	6	0.0091
C3 - T5	1.11	3.98	6	0.0073

GRUPOS	F	t	gl	p(t)
T3 - P3	6.57	-4.29	6	0.0051
P3 - T5	1.08	4.31	6	0.005
T5 - CZ	2.19	-4.15	6	0.006

Tabla 77. Resultados significativos de la prueba t de student aplicada a las 15 derivaciones en la Potencia Absoluta, banda Alfa 1, durante la solución de las tareas de Tolerancia, perteneciente a la prueba propuesta para medir Habilidades Emocionales Básicas.

GRUPOS	F	t	gl	p(t)
F4 - T5	1.23	6.53	6	0.0006
F3 - T5	1.82	5.87	6	0.0011
C4 - T5	1.16	7.85	6	0.0002
C3 - T5	1.07	8.31	6	0.0002
T3 - T5	2.71	4.01	6	0.007

GRUPOS	F	t	gl	p(t)
P4 - T5	19.24	11.52	6	0.0009
P3 - T5	1.13	8.22	6	0.0002
T5 - O2	1.53	-4.4	6	0.0046
T5 - CZ	2.1	-9.6	6	0.0001

Tabla 78. Resultados significativos de la prueba t de student aplicada a las 15 derivaciones en la Potencia Absoluta, banda Alfa 2, durante la solución de las tareas de Tolerancia, perteneciente a la prueba propuesta para medir Habilidades Emocionales Básicas.

GRUPOS	F	t	gl	p(t)
F4 - CZ	4.43	4.97	6	0.0025
F3 - C4	6.35	3.88	6	0.0082

GRUPOS	F	t	gl	p(t)
F3 - CZ	1.66	7.47	6	0.0003
C4 - T3	7.19	-3.8	6	0.0089

Tabla 79. Resultados significativos de la prueba t de student aplicada a las 15 derivaciones en la Potencia Absoluta, banda Gamma, durante la solución de las tareas de Tolerancia, perteneciente a la prueba propuesta para medir Habilidades Emocionales Básicas.

GRUPOS	F	t	gl	p(t)
F3 - T6	1.24	3.78	6	0.0092
F3 - T5	1.22	5.13	6	0.0022
C4 - T5	1.02	4.91	6	0.0027
C3 - T5	1.46	4.67	6	0.0034
P4 - T6	1.09	4.49	6	0.0041

GRUPOS	F	t	gl	p(t)
P4 - T5	1.65	5.82	6	0.0011
P3 - T6	1.65	3.86	6	0.0084
P3 - T5	1.09	5.13	6	0.0021
T6 - CZ	2.44	-4.19	6	0.0058
T5 - CZ	1.61	-5.34	6	0.0018

Tabla 80. Resultados significativos de la prueba t de student aplicada a las 15 derivaciones en la Potencia Absoluta, banda Total, durante la solución de las tareas de Tolerancia, perteneciente a la prueba propuesta para medir Habilidades Emocionales Básicas.

GRUPOS	F	t	gl	p(t)
F4 - O1	2.34	3.75	6	0.0095
C4 - T3	1.05	4.07	6	0.0066
C4 - O1	3.07	3.95	6	0.0075
C3 - T3	1.17	4.09	6	0.0064

GRUPOS	F	t	gl	p(t)
C3 - O1	2.76	3.99	6	0.0072
P3 - O1	4.37	4.07	6	0.0066
T6 - CZ	6.91	-4.58	6	0.0038
O1 - CZ	7.87	-5.03	6	0.0024

Tabla 81. Resultados significativos de la prueba t de student aplicada a las 15 derivaciones en la Potencia Absoluta, banda Delta, durante la solución de las tareas de Recuperación del Estado Emocional, perteneciente a la prueba propuesta para medir Habilidades Emocionales Básicas.

GRUPOS	F	t	gl	p(t)
F3 - T3	1.71	4.28	6	0.0052
F3 - T6	2.06	4.75	6	0.0031
F3 - T5	1.01	5.95	6	0.001
F3 - O2	1.35	3.79	6	0.0091
F3 - O1	1.3	5.94	6	0.001
C4 - T3	1.15	4.1	6	0.0063
C4 - T6	1.38	4.66	6	0.0035
C4 - T5	1.5	5.9	6	0.0011
C4 - O1	1.15	5.93	6	0.001
C3 - T5	2.11	4.22	6	0.0056
C3 - O1	2.76	4.08	6	0.0065

GRUPOS	F	t	gl	p(t)
T3 - P4	1.82	-4.33	6	0.0049
T3 - CZ	1.57	-4.75	6	0.0031
P4 - T6	1.52	5.04	6	0.0023
P4 - T5	3.15	6.22	6	0.0008
P4 - O1	2.4	6.35	6	0.0007
P3 - T5	1.22	4.02	6	0.0069
P3 - O1	1.59	3.88	6	0.0082
T6 - CZ	1.88	-5.27	6	0.0019
T5 - CZ	1.1	-6.4	6	0.0007
O2 - CZ	1.48	-4.15	6	0.006
O1 - CZ	1.19	-6.42	6	0.0007

Tabla 82. Resultados significativos de la prueba t de student aplicada a las 15 derivaciones en la Potencia Absoluta, banda Theta 1, durante la solución de las tareas de Recuperación del Estado Emocional, perteneciente a la prueba propuesta para medir Habilidades Emocionales Básicas.

GRUPOS	F	t	gl	p(t)
F3 - T4	4.07	3.77	6	0.0093

Tabla 83. Resultados significativos de la prueba t de student aplicada a las 15 derivaciones en la Potencia Absoluta, banda Theta 2, durante la solución de las tareas de Recuperación del Estado Emocional, perteneciente a la prueba propuesta para medir Habilidades Emocionales Básicas.

GRUPOS	F	t	gl	p(t)
F4 - P4	1.94	-3.75	6	0.0095
F4 - T5	2.76	4.06	6	0.0067
F4 - CZ	6.63	-3.82	6	0.0087
F3 - T5	5.76	5.62	6	0.0014
F3 - O2	2.65	5.93	6	0.001
C4 - T5	2.14	4.87	6	0.0028
C4 - O2	7.13	3.72	6	0.0099

GRUPOS	F	t	gl	p(t)
C3 - T5	5.22	5.68	6	0.0013
C3 - O2	2.92	5.94	6	0.001
P4 - T5	5.34	6.9	6	0.0005
P4 - O2	2.85	8.62	6	0.0001
P3 - T5	18.3	6.46	6	0.0055
P3 - O2	1.2	9.93	6	0.0001
T5 - CZ	18.28	-7.02	6	0.0042

Tabla 84. Resultados significativos de la prueba t de student aplicada a las 15 derivaciones en la Potencia Absoluta, banda Alfa 2, durante la solución de las tareas de Recuperación del Estado Emocional, perteneciente a la prueba propuesta para medir Habilidades Emocionales Básicas.

GRUPOS	F	t	gl	p(t)
F4 - C4	2.45	3.89	6	0.0081
F4 - C3	4.15	3.76	6	0.0094
F4 - O2	1.17	3.97	6	0.0074
F3 - C4	2.94	3.87	6	0.0082
F3 - C3	4.96	3.73	6	0.0097
F3 - O2	1.41	3.98	6	0.0073

GRUPOS	F	t	gl	p(t)
C4 - T3	8.07	-4.43	6	0.0044
T3 - P4	2.93	3.86	6	0.0084
T3 - P3	4.81	4.06	6	0.0066
T3 - T6	1.51	3.9	6	0.008
T3 - T5	1.01	4.07	6	0.0066
T3 - O2	3.86	4.57	6	0.0038

Tabla 85. Resultados significativos de la prueba t de student aplicada a las 15 derivaciones en la Potencia Absoluta, banda Beta 2, durante la solución de las tareas de Recuperación del Estado Emocional, perteneciente a la prueba propuesta para medir Habilidades Emocionales Básicas.

GRUPOS	F	t	gl	p(t)
F3 - O2	1.07	5.1	6	0.0022

GRUPOS	F	t	gl	p(t)
F3 - CZ	4.23	7.26	6	0.0003

Tabla 86. Resultados significativos de la prueba t de student aplicada a las 15 derivaciones en la Potencia Absoluta, banda Gamma, durante la solución de las tareas de Recuperación del Estado Emocional, perteneciente a la prueba propuesta para medir Habilidades Emocionales Básicas.

GRUPOS	F	t	gl	p(t)
P4 - T6	2.26	3.9	6	0.008
P4 - T5	4.89	3.95	6	0.0075
P4 - O1	2.12	4.2	6	0.0057

GRUPOS	F	t	gl	p(t)
T6 - CZ	1.17	-4.22	6	0.0056
T5 - CZ	2.52	-4.29	6	0.0052
O1 - CZ	1.1	-4.49	6	0.0042

Tabla 87. Resultados significativos de la prueba t de student aplicada a las 15 derivaciones en la Potencia Absoluta, banda Total, durante la solución de las tareas de Recuperación del Estado Emocional, perteneciente a la prueba propuesta para medir Habilidades Emocionales Básicas.

GRUPOS	F	t	gl	p(t)
F4 - T4	3.48	6.29	6	0.0008
F4 - T3	4.33	4.43	6	0.0044
F4 - T6	6.26	4.04	6	0.0068
F4 - T5	2.2	9.7	6	0.0001
F4 - O1	8.34	5.39	6	0.0017
F3 - T3	1.28	4.04	6	0.0068
F3 - T6	1.13	3.89	6	0.0081
F3 - T5	2.53	7.12	6	0.0004
F3 - O1	1.5	5.08	6	0.0023
C4 - T4	10.33	5.34	6	0.0081
C4 - T3	1.46	4.71	6	0.0033
C4 - T6	2.11	4.41	6	0.0045
C4 - T5	1.35	8.73	6	0.0001
C4 - O1	2.81	5.64	6	0.0013
C3 - T5	3.34	5.98	6	0.001

GRUPOS	F	t	gl	p(t)
C3 - O1	1.14	4.44	6	0.0044
T4 - P4	3.76	-8.6	6	0.0001
T4 - T5	7.63	6.47	6	0.0006
T3 - P4	4.01	-5.66	6	0.0013
T3 - P3	1.24	-4.19	6	0.0057
T3 - CZ	1.5	-4.52	6	0.004
P4 - T6	5.8	5.1	6	0.0022
P4 - O1	7.72	6.32	6	0.0007
P3 - T6	1.17	4.02	6	0.0069
P3 - T5	2.44	7.33	6	0.0003
P3 - O1	1.56	5.21	6	0.002
T6 - CZ	1.04	-4.35	6	0.0048
T5 - CZ	2.96	-7.45	6	0.0003
O1 - CZ	1.28	-5.48	6	0.0015

Tabla 88. Resultados significativos de la prueba t de student aplicada a las 15 derivaciones en la Potencia Absoluta, banda Delta, durante la solución de las tareas de Concepto Social, perteneciente a la prueba propuesta para medir Habilidades Emocionales Básicas.

GRUPOS	F	t	gl	p(t)
F3 - T6	1.7	4.51	6	0.0041
F3 - T5	5.46	4.14	6	0.0061
C4 - T6	1.66	3.76	6	0.0094

GRUPOS	F	t	gl	p(t)
C4 - T5	1.92	3.87	6	0.0083
T6 - CZ	1.89	-4.28	6	0.0052
T5 - CZ	1.7	-4.28	6	0.0052

Tabla 89. Resultados significativos de la prueba t de student aplicada a las 15 derivaciones en la Potencia Absoluta, banda Theta 1, durante la solución de las tareas de Concepto Social, perteneciente a la prueba propuesta para medir Habilidades Emocionales Básicas.

GRUPOS	F	t	gl	p(t)
F4 - T5	1.55	4.07	6	0.0066
F3 - T5	1.8	5.41	6	0.0016
C4 - T5	1.39	4.89	6	0.0027
C3 - T5	1.5	4.67	6	0.0034
T3 - P3	1.24	-3.75	6	0.0095
P4 - T5	1.73	5.05	6	0.0023

GRUPOS	F	t	gl	p(t)
P4 - O1	1.23	3.79	6	0.0091
P3 - T5	1.13	5.88	6	0.0011
P3 - O1	1.59	4.25	6	0.0054
T5 - CZ	2.16	-5.21	6	0.002
O1 - CZ	1.54	-4.04	6	0.0068

Tabla 90. Resultados significativos de la prueba t de student aplicada a las 15 derivaciones en la Potencia Absoluta, banda Theta 2, durante la solución de las tareas de Concepto Social, perteneciente a la prueba propuesta para medir Habilidades Emocionales Básicas.

GRUPOS	F	t	gl	p(t)
F3 - T5	1.92	3.96	6	0.0075
C4 - T5	1.1	4.2	6	0.0057
C3 - T3	2.53	3.96	6	0.0075
C3 - T5	1.39	4.56	6	0.0038

GRUPOS	F	t	gl	p(t)
T3 - P3	1.68	-4.14	6	0.0061
P4 - T5	1.19	4.16	6	0.0059
P3 - T5	2.09	4.63	6	0.0036
T5 - CZ	1.76	-4.27	6	0.0053

Tabla 91. Resultados significativos de la prueba t de student aplicada a las 15 derivaciones en la Potencia Absoluta, banda Alfa 1, durante la solución de las tareas de Concepto Social, perteneciente a la prueba propuesta para medir Habilidades Emocionales Básicas.

GRUPOS	F	t	gl	p(t)
F4 - T5	1.53	9.2	6	0.0001
F3 - T5	1.6	8.54	6	0.0001
T4 - T5	6.05	4.01	6	0.007

GRUPOS	F	t	gl	p(t)
T3 - P3	6.11	-3.74	6	0.0096
T3 - T5	3.82	5.01	6	0.0024
T5 - O2	6.23	-4.69	6	0.0034

Tabla 92. Resultados significativos de la prueba t de student aplicada a las 15 derivaciones en la Potencia Absoluta, banda Alfa 2, durante la solución de las tareas de Concepto Social, perteneciente a la prueba propuesta para medir Habilidades Emocionales Básicas.

GRUPOS	F	t	gl	p(t)
C4 - CZ	4.95	-7.16	6	0.0004

Tabla 93. Resultados significativos de la prueba t de student aplicada a las 15 derivaciones en la Potencia Absoluta, banda Beta 1, durante la solución de las tareas de Concepto Social, perteneciente a la prueba propuesta para medir Habilidades Emocionales Básicas.

GRUPOS	F	t	gl	p(t)
C3 - T4	3.28	-2.89	6	0.0279
T4 - T5	8.04	4.12	6	0.0062

GRUPOS	F	t	gl	p(t)
P4 - T5	1.23	3.99	6	0.0072

Tabla 94. Resultados significativos de la prueba t de student aplicada a las 15 derivaciones en la Potencia Absoluta, banda Beta 2, durante la solución de las tareas de Concepto Social, perteneciente a la prueba propuesta para medir Habilidades Emocionales Básicas.

GRUPOS	F	t	gl	p(t)
C4 - T4	3.03	-4.05	6	0.0067
C4 - T3	4.64	-4.16	6	0.0059
C3 - T4	3.7	-3.9	6	0.008

GRUPOS	F	t	gl	p(t)
C3 - T3	5.67	-4.02	6	0.0069
T4 - T5	1.87	4.15	6	0.006
T3 - T5	2.86	4.27	6	0.0053

Tabla 95. Resultados significativos de la prueba t de student aplicada a las 15 derivaciones en la Potencia Absoluta, banda Gamma, durante la solución de las tareas de Concepto Social, perteneciente a la prueba propuesta para medir Habilidades Emocionales Básicas.

GRUPOS	F	t	gl	p(t)
F4 - T5	1.34	6.89	6	0.0005
F4 - O1	1.44	4.11	6	0.0063
F3 - T6	1.67	4.32	6	0.005
F3 - T5	1.2	7.57	6	0.0003
F3 - O1	1.29	4.85	6	0.0029
C4 - T6	1.03	4.06	6	0.0066
C4 - T5	1.36	6.87	6	0.0005
C4 - O1	1.26	4.48	6	0.0042
C3 - T5	2.17	5.69	6	0.0013
T4 - T5	1.96	4.04	6	0.0068

GRUPOS	F	t	gl	p(t)
P4 - T6	1.23	4.63	6	0.0036
P4 - T5	1.14	7.65	6	0.0003
P4 - O1	1.06	5.13	6	0.0022
P3 - T5	2.34	5.96	6	0.001
P3 - O1	2.18	3.98	6	0.0073
T6 - CZ	1.41	-4.67	6	0.0034
T5 - O2	1.25	-4.1	6	0.0064
T5 - CZ	1.97	-7.18	6	0.0004
O1 - CZ	1.83	-5.05	6	0.0023

Tabla 96. Resultados significativos de la prueba t de student aplicada a las 15 derivaciones en la Potencia Absoluta, banda Total, durante la solución de las tareas de Concepto Social, perteneciente a la prueba propuesta para medir Habilidades Emocionales Básicas.

GRUPOS	F	t	gl	p(t)
F3 - T6	1.66	4.53	6	0.004
F3 - T5	30.28	7.26	6	0.0043
F3 - O1	1.73	4.62	6	0.0036
F4 - T6	3.6	4.4	6	0.0046
F4 - T5	65.78	6.04	6	0.0083
F4 - O1	1.26	4.67	6	0.0034
C4 - T6	1.61	4.79	6	0.003
C4 - T5	29.44	7.63	6	0.0037

GRUPOS	F	t	gl	p(t)
C4 - O1	1.78	4.81	6	0.003
T3 - P4	1.29	-4.14	6	0.0061
P4 - T6	1.03	5.37	6	0.0017
P4 - T5	18.84	9.37	6	0.0017
P4 - O1	2.78	5.11	6	0.0022
T6 - CZ	2.72	-3.88	6	0.0082
T5 - CZ	49.74	-5.76	6	0.0093
O1 - CZ	1.05	-4.2	6	0.0057

Tabla 97. Resultados significativos de la prueba t de student aplicada a las 15 derivaciones en la Potencia Absoluta, banda Delta, durante la solución de las tareas de Percepción Afectiva Social, perteneciente a la prueba propuesta para medir Habilidades Emocionales Básicas.

GRUPOS	F	t	gl	p(t)
F4 - T6	2.13	4.47	6	0.0042
F4 - T5	1.45	5.29	6	0.0018
F3 - T5	3.2	3.86	6	0.0084
C4 - T6	8.72	4.09	6	0.0064
C4 - T5	2.81	4.92	6	0.0026
C3 - T5	4.9	3.85	6	0.0085

GRUPOS	F	t	gl	p(t)
P4 - T5	3.37	4.67	6	0.0034
P3 - T5	4.89	4.4	6	0.0046
T6 - CZ	6.28	-5.86	6	0.0011
T5 - CZ	2.03	-6.52	6	0.0006
O1 - CZ	1.3	-4.34	6	0.0049

Tabla 98. Resultados significativos de la prueba t de student aplicada a las 15 derivaciones en la Potencia Absoluta, banda Theta 1, durante la solución de las tareas de Percepción Afectiva Social, perteneciente a la prueba propuesta para medir Habilidades Emocionales Básicas.

GRUPOS	F	t	gl	p(t)
F3 - T5	2.68	4.13	6	0.0061
C4 - T3	1.46	3.95	6	0.0076
C4 - T5	1.28	4.51	6	0.0041
C3 - T3	1	4.17	6	0.0059
C3 - T5	1.87	4.69	6	0.0034

GRUPOS	F	t	gl	p(t)
T3 - P4	2.01	-3.76	6	0.0094
T3 - CZ	1.81	-4.64	6	0.0036
P4 - T5	1.08	4.35	6	0.0048
P3 - T5	1.1	3.73	6	0.0097
T5 - CZ	1.03	-5.11	6	0.0022

Tabla 99. Resultados significativos de la prueba t de student aplicada a las 15 derivaciones en la Potencia Absoluta, banda Theta 2, durante la solución de las tareas de Percepción Afectiva Social, perteneciente a la prueba propuesta para medir Habilidades Emocionales Básicas.

GRUPOS	F	t	gl	p(t)
C3 - T3	1.08	4	6	0.0071
C3 - T5	1.27	5.21	6	0.002
P3 - T5	1.04	4.06	6	0.0066

GRUPOS	F	t	gl	p(t)
T5 - O2	1.32	-4	6	0.0071
T5 - CZ	3.07	-4.06	6	0.0067

Tabla 100. Resultados significativos de la prueba t de student aplicada a las 15 derivaciones en la Potencia Absoluta, banda Alfa 1, durante la solución de las tareas de Percepción Afectiva Social, perteneciente a la prueba propuesta para medir Habilidades Emocionales Básicas.

GRUPOS	F	t	gl	p(t)
F4 - T5	2.77	4.75	6	0.0031
F4 - CZ	26	-6.86	6	0.005
F3 - T5	1.27	4.77	6	0.0031
C4 - T5	1.39	4.97	6	0.0025
C3 - T5	1.43	5.07	6	0.0023

GRUPOS	F	t	gl	p(t)
P4 - T5	2.19	4.39	6	0.0046
P3 - T6	2.6	3.73	6	0.0097
P3 - T5	1.94	5.66	6	0.0013
T5 - CZ	71.94	-9.68	6	0.0021

Tabla 101. Resultados significativos de la prueba t de student aplicada a las 15 derivaciones en la Potencia Absoluta, banda Alfa 2, durante la solución de las tareas de Percepción Afectiva Social, perteneciente a la prueba propuesta para medir Habilidades Emocionales Básicas.

GRUPOS	F	t	gl	p(t)
C4 - CZ	1.33	-4.03	6	0.0069

Tabla 102. Resultados significativos de la prueba t de student aplicada a las 15 derivaciones en la Potencia Absoluta, banda Beta 1, durante la solución de las tareas de Percepción Afectiva Social, perteneciente a la prueba propuesta para medir Habilidades Emocionales Básicas.

GRUPOS	F	t	gl	p(t)
C4 - T3	2.97	-3.78	6	0.0092

Tabla 103. Resultados significativos de la prueba t de student aplicada a las 15 derivaciones en la Potencia Absoluta, banda Gamma, durante la solución de las tareas de Percepción Afectiva Social, perteneciente a la prueba propuesta para medir Habilidades Emocionales Básicas.

GRUPOS	F	t	gl	p(t)
F4 - T5	20.47	7.29	6	0.0039
F3 - T5	43.31	6.16	6	0.0075
C4 - T6	1.66	4.71	6	0.0033
C4 - T5	13.93	10.35	6	0.001
C3 - T5	42.79	5.71	6	0.0094
P4 - T6	1.24	4.73	6	0.0032
P4 - T5	18.69	9.44	6	0.0016
P4 - O1	1.6	3.77	6	0.0093

GRUPOS	F	t	gl	p(t)
P3 - T6	1.41	3.73	6	0.0097
P3 - T5	32.61	6.76	6	0.0055
T6 - CZ	1.05	-5.24	6	0.0019
T5 - O2	9.94	-7.21	6	0.0029
T5 - CZ	22.04	-9.69	6	0.0016
O2 - CZ	2.22	-4.01	6	0.007
O1 - CZ	1.36	-4.29	6	0.0051

Tabla 104. Resultados significativos de la prueba t de student aplicada a las 15 derivaciones en la Potencia Absoluta, banda Total, durante la solución de las tareas de Percepción Afectiva Social, perteneciente a la prueba propuesta para medir Habilidades Emocionales Básicas.

GRUPOS	F	t	gl	p(t)
F4-F3	-0.11	9.92	3	0.0022
C4-C3	-0.42	-5.88	3	0.0098

GRUPOS	F	t	gl	p(t)
T6-T5	0.25	-12.31	3	0.0012
O2-O1	0.01	-14.68	3	0.0007

Tabla 105. Resultados significativos de la prueba t de student aplicada a las 14 derivaciones en la Correlación Interhemisférica, banda Delta, durante la solución de las tareas de Atención Cognitiva, perteneciente a la prueba propuesta para medir Habilidades Cognitivas Básicas.

GRUPOS	F	t	gl	p(t)
F4-F3	0.40	10.11	3	0.0021
C4-C3	-0.42	-5.88	3	0.0098

GRUPOS	F	t	gl	p(t)
T6-T5	0.59	-8.04	3	0.0040
O2-O1	0.70	-37.15	3	0.0001

Tabla 106. Resultados significativos de la prueba t de student aplicada a las 14 derivaciones en la Correlación Interhemisférica, banda Theta 1, durante la solución de las tareas de Atención Cognitiva, perteneciente a la prueba propuesta para medir Habilidades Cognitivas Básicas.

GRUPOS	F	t	gl	p(t)
F4-F3	0.08	6.58	3	0.0071
C4-C3	-0.42	-5.88	3	0.008

GRUPOS	F	t	gl	p(t)
T6-T5	0.66	6.19	3	0.0085
O2-O1	0.60	-15.58	3	0.0006

Tabla 107. Resultados significativos de la prueba t de student aplicada a las 14 derivaciones en la Correlación Interhemisférica, banda Theta 2, durante la solución de las tareas de Atención Cognitiva, perteneciente a la prueba propuesta para medir Habilidades Cognitivas Básicas.

GRUPOS	F	t	gl	p(t)
F8-F7	0.45	8.14	3	0.0039
F4-F3	0.64	12.77	3	0.0010

GRUPOS	F	t	gl	p(t)
T6-T5	0.71	-26.83	3	0.0001
O2-O1	0.67	-19.58	3	0.0003

Tabla 108. Resultados significativos de la prueba t de student aplicada a las 14 derivaciones en la Correlación Interhemisférica, banda Alfa 1, durante la solución de las tareas de Atención Cognitiva, perteneciente a la prueba propuesta para medir Habilidades Cognitivas Básicas.

GRUPOS	F	t	gl	p(t)
F8-F7	0.41	8.89	3.	0.0030
F4-F3	0.50	9.18	3	0.0027

GRUPOS	F	t	gl	p(t)
C4-C3	0.71	7.61	3	0.0047
O2-O1	0.13	-8.00	3	0.0041

Tabla 109. Resultados significativos de la prueba t de student aplicada a las 14 derivaciones en la Correlación Interhemisférica, banda Alfa 2, durante la solución de las tareas de Atención Cognitiva, perteneciente a la prueba propuesta para medir Habilidades Cognitivas Básicas.

GRUPOS	F	t	gl	p(t)
F8-F7	0,60	16,73	3,00	0,0005

GRUPOS	F	t	gl	p(t)
C4-C3	0.44	5.32	3	0.01

Tabla 110. Resultados significativos de la prueba t de student aplicada a las 14 derivaciones en la Correlación Interhemisférica, banda Beta 1, durante la solución de las tareas de Atención Cognitiva, perteneciente a la prueba propuesta para medir Habilidades Cognitivas Básicas.

GRUPOS	F	t	gl	p(t)
F8-F7	0.6	16.73	3,00	0,0005

GRUPOS	F	t	gl	p(t)
O2-O1	0.31	-8.6	3	0.0061

Tabla 111. Resultados significativos de la prueba t de student aplicada a las 14 derivaciones en la Correlación Interhemisférica, banda Beta 2, durante la solución de las tareas de Atención Cognitiva, perteneciente a la prueba propuesta para medir Habilidades Cognitivas Básicas.

GRUPOS	F	t	gl	p(t)
F8-F7	0.16	4.99	3	0.01
F4-F3	0.03	9.01	3	0.0029
C4-C3	0.62	-6.95	3	0.0061

GRUPOS	F	t	gl	p(t)
T6-T5	0.68	-16.17	3	0.0005
O2-O1	0.33	-8.94	3	0.0030

Tabla 112. Resultados significativos de la prueba t de student aplicada a las 14 derivaciones en la Correlación Interhemisférica, banda Total, durante la solución de las tareas de Atención Cognitiva, perteneciente a la prueba propuesta para medir Habilidades Cognitivas Básicas.

GRUPOS	F	t	gl	p(t)
F4-F3	0.51	22.71	3	0.0002
C4-C3	0.61	5.82	3	0.01

GRUPOS	F	t	gl	p(t)
P4-P3	0.48	-15.12	3	0.0006

Tabla 113. Resultados significativos de la prueba t de student aplicada a las 14 derivaciones en la Correlación Interhemisférica, banda Delta, durante la solución de las tareas de Descripción Cognitiva, perteneciente a la prueba propuesta para medir Habilidades Cognitivas Básicas.

GRUPOS	F	t	gl	p(t)
F8-F7	0.55	8.7	3	0.0032
F4-F3	0.07	7.98	3	0.0041
C4-C3	0.55	8.70	3	0.0032

GRUPOS	F	t	gl	p(t)
T6-T5	0.73	-15.32	3	0.0006
O2-O1	-0.13	-7.14	3	0.0057

Tabla 114. Resultados significativos de la prueba t de student aplicada a las 14 derivaciones en la Correlación Interhemisférica, banda Theta 1, durante la solución de las tareas de Descripción Cognitiva, perteneciente a la prueba propuesta para medir Habilidades Cognitivas Básicas.

GRUPOS	F	t	gl	p(t)
C4-C3	0.26	-6.83	3	0.0064
T6-T5	0.45	-13.30	3	0.0009

GRUPOS	F	t	gl	p(t)
O2-O1	0.59	-10.38	3	0.0019

Tabla 115. Resultados significativos de la prueba t de student aplicada a las 14 derivaciones en la Correlación Interhemisférica, banda Theta 2, durante la solución de las tareas de Descripción Cognitiva, perteneciente a la prueba propuesta para medir Habilidades Cognitivas Básicas.

GRUPOS	F	t	gl	p(t)
F4-F3	0.71	13.59	3	0.0009
C4-C3	0.73	6.16	3	0.0086

GRUPOS	F	t	gl	p(t)
O2-O1	0.19	-8.05	3	0.0040

Tabla 116. Resultados significativos de la prueba t de student aplicada a las 14 derivaciones en la Correlación Interhemisférica, banda Alfa 1, durante la solución de las tareas de Descripción Cognitiva, perteneciente a la prueba propuesta para medir Habilidades Cognitivas Básicas.

GRUPOS	F	t	gl	p(t)
F4-F3	0.75	23.5	3	0.0002
C4-C3	0.7	10.73	3	0.0017

GRUPOS	F	t	gl	p(t)
O2-O1	0.38	-7.92	3	0.0042

Tabla 117. Resultados significativos de la prueba t de student aplicada a las 14 derivaciones en la Correlación Interhemisférica, banda Alfa 2, durante la solución de las tareas de Descripción Cognitiva, perteneciente a la prueba propuesta para medir Habilidades Cognitivas Básicas.

GRUPOS	F	t	gl	p(t)
F8-F7	0.26	6.07	3	0.009
F4-F3	-0.01	10.09	3	0.0021

GRUPOS	F	t	gl	p(t)
C4-C3	0.66	5.28	3	0.0132
O2-O1	0.13	-6.28	3	0.0081

Tabla 118. Resultados significativos de la prueba t de student aplicada a las 14 derivaciones en la Correlación Interhemisférica, banda Beta 1, durante la solución de las tareas de Descripción Cognitiva, perteneciente a la prueba propuesta para medir Habilidades Cognitivas Básicas.

GRUPOS	F	t	gl	p(t)
F8-F7	0.43	7.89	3	0.0042
C4-C3	0.61	6.04	3	0.0091

GRUPOS	F	t	gl	p(t)
O2-O1	0.08	-6.21	3	0.0084

Tabla 119. Resultados significativos de la prueba t de student aplicada a las 14 derivaciones en la Correlación Interhemisférica, banda Beta 2, durante la solución de las tareas de Descripción Cognitiva, perteneciente a la prueba propuesta para medir Habilidades Cognitivas Básicas.

GRUPOS	F	t	gl	p(t)
F8-F7	0.43	7.61	3	0.0047
C4-C3	0.43	7.61	3	0.0047

GRUPOS	F	t	gl	p(t)
T6-T5	0.53	-7.35	3	0.0052
O2-O1	0.66	-7.10	3	0.0057

Tabla 120. Resultados significativos de la prueba t de student aplicada a las 14 derivaciones en la Correlación Interhemisférica, banda Gamma, durante la solución de las tareas de Descripción Cognitiva, perteneciente a la prueba propuesta para medir Habilidades Cognitivas Básicas.

GRUPOS	F	t	gl	p(t)
F4-F3	0.41	19.59	3	0.0003
C4-C3	0.62	7.82	3	0.0044

GRUPOS	F	t	gl	p(t)
T6-T5	0.64	-13.95	3	0.0008
O2-O1	0.62	-11.90	3	0.0013

Tabla 121. Resultados significativos de la prueba t de student aplicada a las 14 derivaciones en la Correlación Interhemisférica, banda Total, durante la solución de las tareas de Descripción Cognitiva, perteneciente a la prueba propuesta para medir Habilidades Cognitivas Básicas.

GRUPOS	F	t	gl	p(t)
F4-F3	0.59	14.65	3	0.0007
C4-C3	-0.16	-6.68	3	0.0078
P4-P3	0.68	-10.74	3	0.0017

GRUPOS	F	t	gl	p(t)
T6-T5	0.54	-8.76	3	0.0031
O2-O1	0.67	-16.95	3	0.0004

Tabla 122. Resultados significativos de la prueba t de student aplicada a las 14 derivaciones en la Correlación Interhemisférica, banda Delta, durante la solución de las tareas de Discriminación Cognitiva, perteneciente a la prueba propuesta para medir Habilidades Cognitivas Básicas.

GRUPOS	F	t	gl	p(t)
F4-F3	0.41 -	7.38	3	0.0052
C4-C3	0.03	6.55	3	0.0072

GRUPOS	F	t	gl	p(t)
T6-T5	-0.22	-7.27	3	0.0054
O2-O1	0.49	-12.08	3	0.0012

Tabla 123. Resultados significativos de la prueba t de student aplicada a las 14 derivaciones en la Correlación Interhemisférica, banda Theta 1, durante la solución de las tareas de Discriminación Cognitiva, perteneciente a la prueba propuesta para medir Habilidades Cognitivas Básicas.

GRUPOS	F	t	gl	p(t)
F4-F3	0.32	10.66	3	0.0018
C4-C3	0.58	5.29	3	0.0132

GRUPOS	F	t	gl	p(t)
T6-T5	0.61	-12.24	3	0.0012
O2-O1	0.70	-24.28	3	0.0002

Tabla 124. Resultados significativos de la prueba t de student aplicada a las 14 derivaciones en la Correlación Interhemisférica, banda Theta 2, durante la solución de las tareas de Discriminación Cognitiva, perteneciente a la prueba propuesta para medir Habilidades Cognitivas Básicas.

GRUPOS	F	t	gl	p(t)
F4-F3	0.62	14.70	3	0.0007

GRUPOS	F	t	gl	p(t)
O2-O1	0.73	-37.76	3	0.0001

Tabla 125. Resultados significativos de la prueba t de student aplicada a las 14 derivaciones en la Correlación Interhemisférica, banda Alfa 1, durante la solución de las tareas de Discriminación Cognitiva, perteneciente a la prueba propuesta para medir Habilidades Cognitivas Básicas.

GRUPOS	F	t	gl	p(t)
F4-F3	0.59	13.66	3	0.0008

GRUPOS	F	t	gl	p(t)
O2-O1	0.43	-8.80	3	0.0031

Tabla 126. Resultados significativos de la prueba t de student aplicada a las 14 derivaciones en la Correlación Interhemisférica, banda Alfa 2, durante la solución de las tareas de Discriminación Cognitiva, perteneciente a la prueba propuesta para medir Habilidades Cognitivas Básicas.

GRUPOS	F	t	gl	p(t)
O2-O1	0.21	-7.19	3	0.0056

Tabla 127. Resultados significativos de la prueba t de student aplicada a las 14 derivaciones en la Correlación Interhemisférica, banda Beta 1, durante la solución de las tareas de Discriminación Cognitiva, perteneciente a la prueba propuesta para medir Habilidades Cognitivas Básicas.

GRUPOS	F	t	gl	p(t)
O2-O1	0.53	5.94	3	0.0095

Tabla 128. Resultados significativos de la prueba t de student aplicada a las 14 derivaciones en la Correlación Interhemisférica, banda Beta 2, durante la solución de las tareas de Discriminación Cognitiva, perteneciente a la prueba propuesta para medir Habilidades Cognitivas Básicas.

GRUPOS	F	t	gl	p(t)
F4-F3	0.67	11.71	3	0.0013
C4-C3	0.62	14.82	3	0.0007

GRUPOS	F	t	gl	p(t)
T6-T5	0.18	-8.63	3	0.0033
O2-O1	0.73	-22.71	3	0.0002

Tabla 129. Resultados significativos de la prueba t de student aplicada a las 14 derivaciones en la Correlación Interhemisférica, banda Total, durante la solución de las tareas de Discriminación Cognitiva, perteneciente a la prueba propuesta para medir Habilidades Cognitivas Básicas.

GRUPOS	F	t	gl	p(t)
F4-F3	0.67	8.31	3	0.0036
C4-C3	0.15	-7.87	3	0.0043
P4-P3	0.70	-14.50	3	0.0007

GRUPOS	F	t	gl	p(t)
T6-T5	0.69	-9.21	3	0.0077
O2-O1	0.60	-9.21	3	0.0027

Tabla 130. Resultados significativos de la prueba t de student aplicada a las 14 derivaciones en la Correlación Interhemisférica, banda Delta, durante la solución de las tareas de Memoria para Detalles Cognitiva, perteneciente a la prueba propuesta para medir Habilidades Cognitivas Básicas.

GRUPOS	F	t	gl	p(t)
F4-F3	0.14	7.21	3	0.0055
T6-T5	0.37	-7.72	3	0.0045

GRUPOS	F	t	gl	p(t)
O2-O1	0.72	-30.24	3	0.0001

Tabla 131. Resultados significativos de la prueba t de student aplicada a las 14 derivaciones en la Correlación Interhemisférica, banda Theta 1, durante la solución de las tareas de Memoria para Detalles Cognitiva, perteneciente a la prueba propuesta para medir Habilidades Cognitivas Básicas.

GRUPOS	F	t	gl	p(t)
F4-F3	0.72	8.47	3	0.0035
T6-T5	0.30	-7.12	3	0.0057

GRUPOS	F	t	gl	p(t)
O2-O1	0.58	-9.83	3	0.0022

Tabla 132. Resultados significativos de la prueba t de student aplicada a las 14 derivaciones en la Correlación Interhemisférica, banda Theta 2, durante la solución de las tareas de Memoria para Detalles Cognitiva, perteneciente a la prueba propuesta para medir Habilidades Cognitivas Básicas.

GRUPOS	F	t	gl	p(t)
F4-F3	0.46	-7.41	3	0.0051
C4-C3	0.62	10.35	3	0.0019

GRUPOS	F	t	gl	p(t)
T6-T5	0.56	-6.09	3	0.0089
O2-O1	0.61	-15.76	3	0.0006

Tabla 133. Resultados significativos de la prueba t de student aplicada a las 14 derivaciones en la Correlación Interhemisférica, banda Alfa 1, durante la solución de las tareas de Memoria para Detalles Cognitiva, perteneciente a la prueba propuesta para medir Habilidades Cognitivas Básicas.

GRUPOS	F	t	gl	p(t)
O2-O1	-0.12	-7.79	3	0.0044

Tabla 134. Resultados significativos de la prueba t de student aplicada a las 14 derivaciones en la Correlación Interhemisférica, banda Alfa 2, durante la solución de las tareas de Memoria para Detalles Cognitiva, perteneciente a la prueba propuesta para medir Habilidades Cognitivas Básicas.

GRUPOS	F	t	gl	p(t)
F4-F3	0.07	6.34	3	0.0079
C4-C3	0.62	9.93	3	0.0022

GRUPOS	F	t	gl	p(t)
O2-O1	0.68	-7.74	3	0.0045

Tabla 135. Resultados significativos de la prueba t de student aplicada a las 14 derivaciones en la Correlación Interhemisférica, banda Beta 1, durante la solución de las tareas de Memoria para Detalles Cognitiva, perteneciente a la prueba propuesta para medir Habilidades Cognitivas Básicas.

GRUPOS	F	t	gl	p(t)
F4-F3	0.59	7.48	3	0.0049
T6-T5	0.74	7.96	3	0.0041

GRUPOS	F	t	gl	p(t)
O2-O1	0.73	-9.54	3	0.0024

Tabla 136. Resultados significativos de la prueba t de student aplicada a las 14 derivaciones en la Correlación Interhemisférica, banda Gamma, durante la solución de las tareas de Memoria para Detalles Cognitiva, perteneciente a la prueba propuesta para medir Habilidades Cognitivas Básicas.

GRUPOS	F	t	gl	p(t)
F4-F3	0.68	7.77	3	0.0044
C4-C3	0.25	7.42	3	0.0051

GRUPOS	F	t	gl	p(t)
T6-T5	0.51	-8.12	3	0.0039
O2-O1	0.49	-12.60	3	0.0011

Tabla 137. Resultados significativos de la prueba t de student aplicada a las 14 derivaciones en la Correlación Interhemisférica, banda Total, durante la solución de las tareas de Memoria para Detalles Cognitiva, perteneciente a la prueba propuesta para medir Habilidades Cognitivas Básicas.

GRUPOS	F	t	gl	p(t)
C4-T5	0.67	6.12	3	0.0088
C4-O2	0.73	5.84	3	0.01
C4-O1	0.68	7.64	3	0.0047
T3-P4	0.5	-6	3	0.0093
T3-P3	0.64	-8.2	3	0.0038
P4-T5	0.66	11.42	3	0.0014

GRUPOS	F	t	gl	p(t)
P4-O1	0.69	7.71	3	0.0045
P3-T5	0.74	21.61	3	0.0002
T5-CZ	0.68	-7.54	3	0.0048
O2-O1	0.73	6.92	3	0.0062
O1-CZ	0.63	-6.35	3	0.0079

Tabla 138. Resultados significativos de la prueba t de student aplicada a las 15 derivaciones en la Potencia Absoluta, banda Delta, durante la solución de las tareas de Reconocimiento Cognitivo, perteneciente a la prueba propuesta para medir Habilidades Cognitivas Básicas.

GRUPOS	F	t	gl	p(t)
F4-T5	0.73	16.81	3	0.0005
F3-T4	0.73	5.87	3	0.0099
F3-T5	0.73	11.47	3	0.0014
F8-F7	0.75	6.13	3	0.0087
F8-T5	0.74	8.87	3	0.003
F8-CZ	0.74	-6.49	3	0.0074
F7-C4	0.71	-6.74	3	0.0067
F7-T5	0.73	6.11	3	0.0088

GRUPOS	F	t	gl	p(t)
F7-CZ	0.74	-12.41	3	0.0011
C4-T5	0.74	25.45	3	0.0001
P4-P3	0.74	9.18	3	0.0027
P4-T5	0.66	9.66	3	0.0024
P4-O1	0.72	7.53	3	0.0049
P3-T5	0.7	9.25	3	0.0027
T5-CZ	0.75	-56.78	3	0.0001

Tabla 139. Resultados significativos de la prueba t de student aplicada a las 15 derivaciones en la Potencia Absoluta, banda Theta 1, durante la solución de las tareas de Reconocimiento Cognitivo, perteneciente a la prueba propuesta para medir Habilidades Cognitivas Básicas.

GRUPOS	F	t	gl	p(t)
F4-P4	0.75	-12.32	3	0.0012
F4-P3	0.74	-5.95	3	0.0095
F4-T5	0.59	7.25	3	0.0054
F4-CZ	0.74	-8.22	3	0.0038
F3-F7	0.68	6.04	3	0.0091
F3-T5	0.58	12.58	3	0.0011
F8-C4	0.7	-6.72	3	0.0067
F8-P4	0.68	-7.29	3	0.0053
F8-P3	0.68	-6.44	3	0.0076
F8-O2	0.73	-6.58	3	0.0072

GRUPOS	F	t	gl	p(t)
F8-CZ	0.61	-6.34	3	0.0079
F7-C4	0.63	-6.44	3	0.0076
F7-T4	0.75	-7.05	3	0.0059
F7-P4	0.62	-6.92	3	0.0062
F7-CZ	0.59	-6.75	3	0.0066
C4-T5	0.53	9.09	3	0.0028
P4-T5	0.58	8.08	3	0.004
P3-T5	0.54	8.83	3	0.0031
T5-CZ	0.65	-8.76	3	0.0031

Tabla 140. Resultados significativos de la prueba t de student aplicada a las 15 derivaciones en la Potencia Absoluta, banda Theta 2, durante la solución de las tareas de Reconocimiento Cognitivo, perteneciente a la prueba propuesta para medir Habilidades Cognitivas Básicas.

GRUPOS	F	t	gl	p(t)
F4-P4	0.74	-6.36	3	0.0079
F7-C4	0.65	-6.52	3	0.0073
F7-CZ	0.62	-8.43	3	0.0035
C4-T5	0.5	7.09	3	0.0058
C4-CZ	0.74	-10.94	3	0.0016

GRUPOS	F	t	gl	p(t)
T4-CZ	0.63	-7.23	3	0.0055
P4-T5	0.56	8.69	3	0.0032
P3-T5	0.66	12.23	3	0.0012
T5-CZ	0.57	-10.79	3	0.0017

Tabla 141. Resultados significativos de la prueba t de student aplicada a las 15 derivaciones en la Potencia Absoluta, banda Alfa 1, durante la solución de las tareas de Reconocimiento Cognitivo, perteneciente a la prueba propuesta para medir Habilidades Cognitivas Básicas.

GRUPOS	F	t	gl	p(t)
F7-O2	0.7	-6.33	3	0.008
F7-CZ	0.65	-7.18	3	0.0056
C4-T5	-0.54	8.43	3	0.0035
P4-T5	-0.09	12.34	3	0.0011

GRUPOS	F	t	gl	p(t)
P3-T5	0.65	25.24	3	0.0001
T5-O2	0.45	-16.44	3	0.0005
T5-CZ	0.3	-11.15	3	0.0015

Tabla 142. Resultados significativos de la prueba t de student aplicada a las 15 derivaciones en la Potencia Absoluta, banda Alfa 2, durante la solución de las tareas de Reconocimiento Cognitivo, perteneciente a la prueba propuesta para medir Habilidades Cognitivas Básicas.

GRUPOS	F	t	gl	p(t)
F3-C4	0.71	9.13	3	0.0028
F7-O2	0.67	-15.73	3	0.0006

GRUPOS	F	t	gl	p(t)
C4-CZ	0.74	-6.98	3	0.006
T5-O2	0.24	-8.21	3	0.0038

Tabla 143. Resultados significativos de la prueba t de student aplicada a las 15 derivaciones en la Potencia Absoluta, banda Beta 1, durante la solución de las tareas de Reconocimiento Cognitivo, perteneciente a la prueba propuesta para medir Habilidades Cognitivas Básicas.

GRUPOS	F	t	gl	p(t)
F3-F8	0.74	12.44	3	0.0011
F7-P3	0.58	-6.51	3	0.0074

GRUPOS	F	t	gl	p(t)
T5-O2	0.55	-6.19	3	0.0085

Tabla 144. Resultados significativos de la prueba t de student aplicada a las 15 derivaciones en la Potencia Absoluta, banda Beta 2, durante la solución de las tareas de Reconocimiento Cognitivo, perteneciente a la prueba propuesta para medir Habilidades Cognitivas Básicas.

GRUPOS	F	t	gl	p(t)
F4-F7	0.74	6.47	3	0.0075
F3-F7	0.75	6.84	3	0.0064

GRUPOS	F	t	gl	p(t)
F7-P3	0.69	-7.3	3	0.0053

Tabla 145. Resultados significativos de la prueba t de student aplicada a las 15 derivaciones en la Potencia Absoluta, banda Gamma, durante la solución de las tareas de Reconocimiento Cognitivo, perteneciente a la prueba propuesta para medir Habilidades Cognitivas Básicas.

GRUPOS	F	t	gl	p(t)
C4-T5	0.66	7.77	3	0.0044
C4-O2	0.75	9.04	3	0.0029
P4-T5	0.65	12.12	3	0.0012

GRUPOS	F	t	gl	p(t)
P3-T5	0.73	16.87	3	0.0005
T5-O2	0.62	-6.01	3	0.0092
T5-CZ	0.72	-10.72	3	0.0017

Tabla 146. Resultados significativos de la prueba t de student aplicada a las 15 derivaciones en la Potencia Absoluta, banda Total, durante la solución de las tareas de Reconocimiento Cognitivo, perteneciente a la prueba propuesta para medir Habilidades Cognitivas Básicas.

GRUPOS	F	t	gl	p(t)
F4-T5	0.3	7.64	4	0.0016
F3-T5	-0.04	6.48	4	0.0029
F8-C4	0.58	-4.66	4	0.0096
F8-P4	0.62	-5.2	4	0.0065
F8-CZ	0.24	-4.94	4	0.0078
F7-C4	0.51	-7.01	4	0.0022
F7-P4	0.62	-9.22	4	0.0008
F7-P3	0.12	-5.59	4	0.005
F7-CZ	0.27	-6.86	4	0.0024
C4-T4	0.67	5.71	4	0.0047
C4-T3	0.25	4.84	4	0.0084

GRUPOS	F	t	gl	p(t)
C4-T5	0.4	9.04	4	0.0008
T4-P4	0.68	-6.17	4	0.0035
T4-O2	0.72	-5.26	4	0.0063
T4-CZ	0.31	-5.3	4	0.0061
T3-P4	0.29	-5.29	4	0.0061
T3-P3	0.41	-6.43	4	0.003
T3-CZ	-0.18	-4.79	4	0.0087
P4-T5	0.33	8.88	4	0.0009
P3-T5	0.71	25.17	4	0.0000
T6-CZ	0.49	-5.57	4	0.0051
T5-CZ	0.56	-11.54	4	0.0003

Tabla 147. Resultados significativos de la prueba t de student aplicada a las 15 derivaciones en la Potencia Absoluta, banda Alfa 1, durante la solución de las tareas de Clasificación Cognitiva, perteneciente a la prueba propuesta para medir Habilidades Cognitivas Básicas.

GRUPOS	F	t	gl	p(t)
F7-O2	0.7	-5.04	4	0.0073

Tabla 148. Resultados significativos de la prueba t de student aplicada a las 15 derivaciones en la Potencia Absoluta, banda Gamma, durante la solución de las tareas de Clasificación Cognitiva, perteneciente a la prueba propuesta para medir Habilidades Cognitivas Básicas.

GRUPOS	F	t	gl	p(t)
F4-T3	0.6	5.48	4	0.0054
F4-T5	0.65	8.82	4	0.0009
F3-T5	0.65	4.98	4	0.0076
F8-T5	0.62	6.24	4	0.0034

GRUPOS	F	t	gl	p(t)
T3-P4	0.67	-5.05	4	0.0072
P4-T5	0.69	9.01	4	0.0008
P3-T5	0.64	6.53	4	0.0028

Tabla 149. Resultados significativos de la prueba t de student aplicada a las 15 derivaciones en la Potencia Absoluta, banda Delta, durante la solución de las tareas de Organización Cognitiva, perteneciente a la prueba propuesta para medir Habilidades Cognitivas Básicas.

GRUPOS	F	t	gl	p(t)
F4-T5	0.45	5.22	4	0.0064
C4-T5	0.36	4.76	4	0.0089
T3-P4	0.74	-6.89	4	0.0023

GRUPOS	F	t	gl	p(t)
T3-T5	0.77	7.61	4	0.0016
P4-T5	0.63	7.36	4	0.0018

Tabla 150. Resultados significativos de la prueba t de student aplicada a las 15 derivaciones en la Potencia Absoluta, banda Theta 1, durante la solución de las tareas de Organización Cognitiva, perteneciente a la prueba propuesta para medir Habilidades Cognitivas Básicas.

GRUPOS	F	t	gl	p(t)
F4-T5	0.76	10.3	4	0.0005
F3-F8	0.76	7.6	4	0.0016
F3-P4	0.77	-4.72	4	0.0092
F3-O2	0.76	4.65	4	0.0096
F8-C4	0.77	-6.39	4	0.0031
F8-P4	0.68	-6.54	4	0.0028

GRUPOS	F	t	gl	p(t)
F8-CZ	0.67	-4.84	4	0.0084
C4-T5	0.39	4.83	4	0.0085
T3-CZ	0.57	-5.24	4	0.0064
P4-T5	0.45	6.27	4	0.0033
P4-O2	0.74	7.17	4	0.002
T5-CZ	0.33	-5.59	4	0.005

Tabla 151. Resultados significativos de la prueba t de student aplicada a las 15 derivaciones en la Potencia Absoluta, banda Theta 2, durante la solución de las tareas de Organización Cognitiva, perteneciente a la prueba propuesta para medir Habilidades Cognitivas Básicas.

GRUPOS	F	t	gl	p(t)
F3-F8	0.54	4.69	4	0.0094
F3-T5	-0.04	6.26	4	0.0033
F8-C4	0.62	-4.65	4	0.0097
F8-P4	0.77	-10.39	4	0.0005
F7-CZ	0.63	-6.52	4	0.0029
C4-T5	0.03	12.05	4	0.0003

GRUPOS	F	t	gl	p(t)
T3-P3	0.78	-20.91	4	0.0001
T3-CZ	0.52	-5.57	4	0.0051
P4-T5	0.35	7.63	4	0.0016
P3-T5	0.74	16.16	4	0.0001
T5-CZ	0.47	-6.14	4	0.0036

Tabla 152. Resultados significativos de la prueba t de student aplicada a las 15 derivaciones en la Potencia Absoluta, banda Alfa 1, durante la solución de las tareas de Organización Cognitiva, perteneciente a la prueba propuesta para medir Habilidades Cognitivas Básicas.

GRUPOS	F	t	gl	p(t)
F4-T5	0.02	5.38	4	0.0058
F3-F8	0.72	4.74	4	0.009
C4-T5	0.63	4.61	4	0.0099

GRUPOS	F	t	gl	p(t)
P4-T5	-0.01	7.82	4	0.0014
P3-T5	0.18	8.84	4	0.0009

Tabla 153. Resultados significativos de la prueba t de student aplicada a las 15 derivaciones en la Potencia Absoluta, banda Alfa 2, durante la solución de las tareas de Organización Cognitiva, perteneciente a la prueba propuesta para medir Habilidades Cognitivas Básicas.

GRUPOS	F	t	gl	p(t)
F4 - P3	0.67	4.72	4	0.0092
F4 - CZ	0.7	4.88	4	0.0082

GRUPOS	F	t	gl	p(t)
F3 - F8	0.67	6.67	4	0.0026
P4 - T5	0.64	4.78	4	0.0088

Tabla 154. Resultados significativos de la prueba t de student aplicada a las 15 derivaciones en la Potencia Absoluta, banda Beta 1, durante la solución de las tareas de Organización Cognitiva, perteneciente a la prueba propuesta para medir Habilidades Cognitivas Básicas.

GRUPOS	F	t	gl	p(t)
F3-F8	0.72	6.17	4	0.0035
F7-O2	0.76	-6.44	4	0.003

GRUPOS	F	t	gl	p(t)
T5-O2	0.77	-6.47	4	0.0029

Tabla 155. Resultados significativos de la prueba t de student aplicada a las 15 derivaciones en la Potencia Absoluta, banda Beta 2, durante la solución de las tareas de Organización Cognitiva, perteneciente a la prueba propuesta para medir Habilidades Cognitivas Básicas.

GRUPOS	F	t	gl	p(t)
T6-T5	0.8	19.89	4	0.0001

Tabla 156. Resultados significativos de la prueba t de student aplicada a las 15 derivaciones en la Potencia Absoluta, banda Gamma, durante la solución de las tareas de Organización Cognitiva, perteneciente a la prueba propuesta para medir Habilidades Cognitivas Básicas.

GRUPOS	F	t	gl	p(t)
F4-T3	0.66	5.71	4	0.0046
F4-T5	0.6	9.68	4	0.0006
F3-T6	0.71	5.48	4	0.0054
F3-T5	0.59	5.51	4	0.0053
F8-T5	0.69	5.53	4	0.0052

GRUPOS	F	t	gl	p(t)
T3-P3	0.61	-4.88	4	0.0082
P4-T5	0.66	9.39	4	0.0007
P3-T5	0.37	6.47	4	0.0029
T5-CZ	0.21	-5.28	4	0.0062

Tabla 157. Resultados significativos de la prueba t de student aplicada a las 15 derivaciones en la Potencia Absoluta, banda Total, durante la solución de las tareas de Organización Cognitiva, perteneciente a la prueba propuesta para medir Habilidades Cognitivas Básicas.

GRUPOS	F	t	gl	p(t)
F4-F3	0.41	6.21	3	0.0084
C4-C3	0.25	-6.58	3	0.0071

GRUPOS	F	t	gl	p(t)
T6-T5	0.13	-8.02	3	0.0040
O2-O1	0.72	-42.85	3	0.0001

Tabla 158. Resultados significativos de la prueba t de student aplicada a las 14 derivaciones en la Correlación Interhemisférica, banda Delta, durante la solución de las tareas de Jerarquización Cognitiva, perteneciente a la prueba propuesta para medir Habilidades Cognitivas Básicas.

GRUPOS	F	t	gl	p(t)
F4-F3	0.70	7.10	3	0.0057

GRUPOS	F	t	gl	p(t)
O2-O1	0.70	-6.20	3	0.0084

Tabla 159. Resultados significativos de la prueba t de student aplicada a las 14 derivaciones en la Correlación Interhemisférica, banda Theta 1, durante la solución de las tareas de Jerarquización Cognitiva, perteneciente a la prueba propuesta para medir Habilidades Cognitivas Básicas.

GRUPOS	F	t	gl	p(t)
F4-F3	0.64	14.73	3	0.0007
T6-T5	-0.06	-7.59	3	0.0047

GRUPOS	F	t	gl	p(t)
O2-O1	-0.06	-8.07	3	0.0040

Tabla 160. Resultados significativos de la prueba t de student aplicada a las 14 derivaciones en la Correlación Interhemisférica, banda Theta 2, durante la solución de las tareas de Jerarquización Cognitiva, perteneciente a la prueba propuesta para medir Habilidades Cognitivas Básicas.

GRUPOS	F	t	gl	p(t)
F4-F3	0.66	8.76	3	0.0031
T6-T5	0.40	-6.11	3	0.0088

GRUPOS	F	t	gl	p(t)
O2-O1	0.51	-12.01	3	0.0012

Tabla 161. Resultados significativos de la prueba t de student aplicada a las 14 derivaciones en la Correlación Interhemisférica, banda Alfa 1, durante la solución de las tareas de Jerarquización Cognitiva, perteneciente a la prueba propuesta para medir Habilidades Cognitivas Básicas.

GRUPOS	F	t	gl	p(t)
F4-F3	0.58	9.44	3	0.0025

GRUPOS	F	t	gl	p(t)
O2-O1	0.36	-10.18	3	0.0020

Tabla 162. Resultados significativos de la prueba t de student aplicada a las 14 derivaciones en la Correlación Interhemisférica, banda Alfa 2, durante la solución de las tareas de Jerarquización Cognitiva, perteneciente a la prueba propuesta para medir Habilidades Cognitivas Básicas.

GRUPOS	F	t	gl	p(t)
F4-F3	0.63	6.71	3	0.0067
T6-T5	0.63	6.71	3	0.0067

GRUPOS	F	t	gl	p(t)
O2-O1	0.71	-10.27	3	0.0020

Tabla 163. Resultados significativos de la prueba t de student aplicada a las 14 derivaciones en la Correlación Interhemisférica, banda Beta 1, durante la solución de las tareas de Jerarquización Cognitiva, perteneciente a la prueba propuesta para medir Habilidades Cognitivas Básicas.

GRUPOS	F	t	gl	p(t)
F4-F3	0.62	11.23	3	0.0015
T6-T5	0.12	-5.96	3	0.0094

GRUPOS	F	t	gl	p(t)
O2-O1	0.68	-20.74	3	0.0002

Tabla 164. Resultados significativos de la prueba t de student aplicada a las 14 derivaciones en la Correlación Interhemisférica, banda Total, durante la solución de las tareas de Jerarquización Cognitiva, perteneciente a la prueba propuesta para medir Habilidades Cognitivas Básicas.

GRUPOS	F	t	gl	p(t)
F4-F3	0.28	7.13	3	0.0057
C4-C3	0.04	6.99	3	0.0060
P4-P3	0.54	-7.99	3	0.0041

GRUPOS	F	t	gl	p(t)
T6-T5	0.27	-8.22	3	0.0038
O2-O1	0.70	-36.30	3	0.0001

Tabla 165. Resultados significativos de la prueba t de student aplicada a las 14 derivaciones en la Correlación Interhemisférica, banda Delta, durante la solución de las tareas de Asociación Cognitiva, perteneciente a la prueba propuesta para medir Habilidades Cognitivas Básicas.

GRUPOS	F	t	gl	p(t)
F4-F3	0.71	6.33	3	0.0080
C4-C3	0.50	6.05	3	0.0090

GRUPOS	F	t	gl	p(t)
T6-T5	0.31	-9.27	3	0.0027
O2-O1	0.72	-12.41	3	0.0011

Tabla 166. Resultados significativos de la prueba t de student aplicada a las 14 derivaciones en la Correlación Interhemisférica, banda Theta 1, durante la solución de las tareas de Asociación Cognitiva, perteneciente a la prueba propuesta para medir Habilidades Cognitivas Básicas.

GRUPOS	F	t	gl	p(t)
F4-F3	0.22	8.88	3	0.0030
T6-T5	0.36	-9.10	3	0.0028

GRUPOS	F	t	gl	p(t)
O2-O1	0.73	-27.45	3	0.0001

Tabla 167. Resultados significativos de la prueba t de student aplicada a las 14 derivaciones en la Correlación Interhemisférica, banda Theta 2, durante la solución de las tareas de Asociación Cognitiva, perteneciente a la prueba propuesta para medir Habilidades Cognitivas Básicas.

GRUPOS	F	t	gl	p(t)
F4-F3	0.57	8.36	3	0.0036

GRUPOS	F	t	gl	p(t)
O2-O1	0.57	-18.85	3	0.0003

Tabla 168. Resultados significativos de la prueba t de student aplicada a las 14 derivaciones en la Correlación Interhemisférica, banda Alfa 1, durante la solución de las tareas de Asociación Cognitiva, perteneciente a la prueba propuesta para medir Habilidades Cognitivas Básicas.

GRUPOS	F	t	gl	p(t)
F4-F3	-0.04	6.19	3	0.0085

GRUPOS	F	t	gl	p(t)
O2-O1	0.72	-22.97	3	0.0002

Tabla 169. Resultados significativos de la prueba t de student aplicada a las 14 derivaciones en la Correlación Interhemisférica, banda Alfa 2, durante la solución de las tareas de Asociación Cognitiva, perteneciente a la prueba propuesta para medir Habilidades Cognitivas Básicas.

GRUPOS	F	t	gl	p(t)
O2-O1	-0.06	-8.27	3	0.0037

Tabla 170. Resultados significativos de la prueba t de student aplicada a las 14 derivaciones en la Correlación Interhemisférica, banda Beta 1, durante la solución de las tareas de Asociación Cognitiva, perteneciente a la prueba propuesta para medir Habilidades Cognitivas Básicas.

GRUPOS	F	t	gl	p(t)
O2-O1	-0.13	-7.19	3	0.0055

Tabla 171. Resultados significativos de la prueba t de student aplicada a las 14 derivaciones en la Correlación Interhemisférica, banda Beta 2, durante la solución de las tareas de Asociación Cognitiva, perteneciente a la prueba propuesta para medir Habilidades Cognitivas Básicas.

GRUPOS	F	t	gl	p(t)
T6-T5	0.53	-5.92	3	0.0096

GRUPOS	F	t	gl	p(t)
O2-O1	0.73	-23.86	3	0.0002

Tabla 172. Resultados significativos de la prueba t de student aplicada a las 14 derivaciones en la Correlación Interhemisférica, banda Gamma, durante la solución de las tareas de Asociación Cognitiva, perteneciente a la prueba propuesta para medir Habilidades Cognitivas Básicas.

GRUPOS	F	t	gl	p(t)
F4-F3	0.40	6.55	3	0.0072
C4-C3	0.52	13.93	3	0.0008

GRUPOS	F	t	gl	p(t)
T6-T5	0.46	-6.49	3	0.0074
O2-O1	0.75	-15.93	3	0.0005

Tabla 173. Resultados significativos de la prueba t de student aplicada a las 14 derivaciones en la Correlación Interhemisférica, banda Total, durante la solución de las tareas de Asociación Cognitiva, perteneciente a la prueba propuesta para medir Habilidades Cognitivas Básicas.

GRUPOS	F	t	gl	p(t)
F4-F3	0.75	16.41	3	0.0005
C4-C3	0.18	8.78	3	0.0031
P4-P3	0.09	-9.59	3	0.0024

GRUPOS	F	t	gl	p(t)
T6-T5	0.33	-6.57	3	0.0072
O2-O1	0.25	-13.33	3	0.0009

Tabla 174. Resultados significativos de la prueba t de student aplicada a las 14 derivaciones en la Correlación Interhemisférica, banda Delta, durante la solución de las tareas de Secuencia Cognitiva, perteneciente a la prueba propuesta para medir Habilidades Cognitivas Básicas.

GRUPOS	F	t	gl	p(t)
F4-F3	0.69	8.42	3	0.0035
C4-C3	0.71	-10.07	3	0.0021

GRUPOS	F	t	gl	p(t)
T6-T5	0.44	-6.26	3	0.0082
O2-O1	0.53	-10.57	3	0.0018

Tabla 175. Resultados significativos de la prueba t de student aplicada a las 14 derivaciones en la Correlación Interhemisférica, banda Theta 1, durante la solución de las tareas de Secuencia Cognitiva, perteneciente a la prueba propuesta para medir Habilidades Cognitivas Básicas.

GRUPOS	F	t	gl	p(t)
F4-F3	-0.02	7.65	3	0.0046
T6-T5	-0.34	-6.87	3	0.0063

GRUPOS	F	t	gl	p(t)
O2-O1	0.70	-15.70	3	0.0006

Tabla 176. Resultados significativos de la prueba t de student aplicada a las 14 derivaciones en la Correlación Interhemisférica, banda Theta 2, durante la solución de las tareas de Secuencia Cognitiva, perteneciente a la prueba propuesta para medir Habilidades Cognitivas Básicas.

GRUPOS	F	t	gl	p(t)
F4-F3	0.22	7.20	3	0.0055

GRUPOS	F	t	gl	p(t)
O2-O1	0.05	-8.80	3	0.0031

Tabla 177. Resultados significativos de la prueba t de student aplicada a las 14 derivaciones en la Correlación Interhemisférica, banda Alfa 1, durante la solución de las tareas de Secuencia Cognitiva, perteneciente a la prueba propuesta para medir Habilidades Cognitivas Básicas.

GRUPOS	F	t	gl	p(t)
F4-F3	-0.44	8.32	3	0.0036
C4-C3	0.2	5.05	3	0.01

GRUPOS	F	t	gl	p(t)
O2-O1	0.10	-10.56	3	0.0018

Tabla 178. Resultados significativos de la prueba t de student aplicada a las 14 derivaciones en la Correlación Interhemisférica, banda Alfa 2, durante la solución de las tareas de Secuencia Cognitiva, perteneciente a la prueba propuesta para medir Habilidades Cognitivas Básicas.

GRUPOS	F	t	gl	p(t)
O2-O1	0.27	-8.18	3	0.0038

Tabla 179. Resultados significativos de la prueba t de student aplicada a las 14 derivaciones en la Correlación Interhemisférica, banda Beta 1, durante la solución de las tareas de Secuencia Cognitiva, perteneciente a la prueba propuesta para medir Habilidades Cognitivas Básicas.

GRUPOS	F	t	gl	p(t)
F4-F3	0.7	8.81	3	0.0031

GRUPOS	F	t	gl	p(t)
O2-O1	0.70	8.81	3	0.0031

Tabla 180. Resultados significativos de la prueba t de student aplicada a las 14 derivaciones en la Correlación Interhemisférica, banda Beta 2, durante la solución de las tareas de Secuencia Cognitiva, perteneciente a la prueba propuesta para medir Habilidades Cognitivas Básicas.

GRUPOS	F	t	gl	p(t)
C4-C3	0.70	9.45	3	0.0025
T6-T5	0.37	-7.32	3	0.0053

GRUPOS	F	t	gl	p(t)
O2-O1	0.23	-8.45	3	0.0035

Tabla 181. Resultados significativos de la prueba t de student aplicada a las 14 derivaciones en la Correlación Interhemisférica, banda Gamma, durante la solución de las tareas de Secuencia Cognitiva, perteneciente a la prueba propuesta para medir Habilidades Cognitivas Básicas.

GRUPOS	F	t	gl	p(t)
F4-F3	0.70	12.97	3	0.0010
C4-C3	0.12	9.03	3	0.0029

GRUPOS	F	t	gl	p(t)
T6-T5	0.64	-8.78	3	0.0031
O2-O1	0.54	-8.34	3	0.0036

Tabla 182. Resultados significativos de la prueba t de student aplicada a las 14 derivaciones en la Correlación Interhemisférica, banda Total, durante la solución de las tareas de Secuencia Cognitiva, perteneciente a la prueba propuesta para medir Habilidades Cognitivas Básicas.

GRUPOS	F	t	gl	p(t)
F4-F3	-0.22	9.31	3	0.0026
C4-C3	-0.45	-9.41	3	0.0025

GRUPOS	F	t	gl	p(t)
T6-T5	0.66	-27.15	3	0.0001
O2-O1	0.60	-14.63	3	0.0007

Tabla 183. Resultados significativos de la prueba t de student aplicada a las 14 derivaciones en la Correlación Interhemisférica, banda Delta, durante la solución de las tareas de Vocabulario, perteneciente a la prueba propuesta para medir Habilidades Cognitivas Básicas.

GRUPOS	F	t	gl	p(t)
F4-F3	0.48	15.27	3	0.0006
C4-C3	0.64	17.91	3	0.0004

GRUPOS	F	t	gl	p(t)
T6-T5	0.50	-9.91	3	0.0022
O2-O1	0.58	-12.97	3	0.0010

Tabla 184. Resultados significativos de la prueba t de student aplicada a las 14 derivaciones en la Correlación Interhemisférica, banda Theta 1, durante la solución de las tareas de Vocabulario, perteneciente a la prueba propuesta para medir Habilidades Cognitivas Básicas.

GRUPOS	F	t	gl	p(t)
F4-F3	0.18	11.46	3	0.0014
C4-C3	0.34	10.22	3	0.0020

GRUPOS	F	t	gl	p(t)
T6-T5	0.61	-18.01	3	0.0004
O2-O1	0.49	-19.16	3	0.0003

Tabla 185. Resultados significativos de la prueba t de student aplicada a las 14 derivaciones en la Correlación Interhemisférica, banda Theta 2, durante la solución de las tareas de Vocabulario, perteneciente a la prueba propuesta para medir Habilidades Cognitivas Básicas.

GRUPOS	F	t	gl	p(t)
F4-F3	0.28	7.46	3	0.005
T6-T5	-0.12	-6.20	3	0.0085

GRUPOS	F	t	gl	p(t)
O2-O1	0.60	-9.10	3	0.0028

Tabla 186. Resultados significativos de la prueba t de student aplicada a las 14 derivaciones en la Correlación Interhemisférica, banda Alfa 1, durante la solución de las tareas de Vocabulario, perteneciente a la prueba propuesta para medir Habilidades Cognitivas Básicas.

GRUPOS	F	t	gl	p(t)
F4-F3	-0.44	8	3	0.0041
C4-C3	0.45	5.83	3	0.01

GRUPOS	F	t	gl	p(t)
O2-O1	0.27	-10.61	3	0.0018

Tabla 187. Resultados significativos de la prueba t de student aplicada a las 14 derivaciones en la Correlación Interhemisférica, banda Alfa 2, durante la solución de las tareas de Vocabulario, perteneciente a la prueba propuesta para medir Habilidades Cognitivas Básicas.

GRUPOS	F	t	gl	p(t)
C4-C3	0.68	8.06	3	0.004

GRUPOS	F	t	gl	p(t)
O2-O1	0.24	-7.36	3	0.0052

Tabla 188. Resultados significativos de la prueba t de student aplicada a las 14 derivaciones en la Correlación Interhemisférica, banda Beta 1, durante la solución de las tareas de Vocabulario, perteneciente a la prueba propuesta para medir Habilidades Cognitivas Básicas.

GRUPOS	F	t	gl	p(t)
O2-O1	0.71	-6.50	3	0.0074

Tabla 189. Resultados significativos de la prueba t de student aplicada a las 14 derivaciones en la Correlación Interhemisférica, banda Beta 2, durante la solución de las tareas de Vocabulario, perteneciente a la prueba propuesta para medir Habilidades Cognitivas Básicas.

GRUPOS	F	t	gl	p(t)
T6-T5	0.07	-6.02	3	0.0092

GRUPOS	F	t	gl	p(t)
O2-O1	0.51	-9.90	3	0.0022

Tabla 190. Resultados significativos de la prueba t de student aplicada a las 14 derivaciones en la Correlación Interhemisférica, banda Gamma, durante la solución de las tareas de Vocabulario, perteneciente a la prueba propuesta para medir Habilidades Cognitivas Básicas.

GRUPOS	F	t	gl	p(t)
F4-F3	0.04	13.27	3	0.0009
C4-C3	0.59	-6.53	3	0.0073

GRUPOS	F	t	gl	p(t)
T6-T5	0.62	-20.25	3	0.0003
O2-O1	0.43	-8.49	3	0.0034

Tabla 191. Resultados significativos de la prueba t de student aplicada a las 14 derivaciones en la Correlación Interhemisférica, banda Total, durante la solución de las tareas de Vocabulario, perteneciente a la prueba propuesta para medir Habilidades Cognitivas Básicas.

GRUPOS	F	t	gl	p(t)
F4-F3	-0.02	10.26	3	0.0020
C4-C3	-0.75	-7.10	3	0.0058

GRUPOS	F	t	gl	p(t)
T6-T5	-0.09	-7.85	3	0.0043
O2-O1	0.17	-10.66	3	0.0018

Tabla 192. Resultados significativos de la prueba t de student aplicada a las 14 derivaciones en la Correlación Interhemisférica, banda Delta, durante la solución de las tareas de Conceptualización, perteneciente a la prueba propuesta para medir Habilidades Cognitivas Básicas.

GRUPOS	F	t	gl	p(t)
F4-F3	0.60	9.93	3	0.0022
C4-C3	0.49	-11.56	3	0.0014

GRUPOS	F	t	gl	p(t)
T6-T5	-0.58	-7.49	3	0.0049
O2-O1	0.67	-13.20	3	0.0009

Tabla 193. Resultados significativos de la prueba t de student aplicada a las 14 derivaciones en la Correlación Interhemisférica, banda Theta 1, durante la solución de las tareas de Conceptualización, perteneciente a la prueba propuesta para medir Habilidades Cognitivas Básicas.

GRUPOS	F	t	gl	p(t)
F4-F3	0.36	9.42	3	0.0025
C4-C3	0.71	10.55	3	0.0018

GRUPOS	F	t	gl	p(t)
T6-T5	0.71	10.55	3	0.0018
O2-O1	0.35	-9.43	3	0.0025

Tabla 194. Resultados significativos de la prueba t de student aplicada a las 14 derivaciones en la Correlación Interhemisférica, banda Theta 2, durante la solución de las tareas de Conceptualización, perteneciente a la prueba propuesta para medir Habilidades Cognitivas Básicas.

GRUPOS	F	t	gl	p(t)
F4-F3	0.56	10.85	3	0.0017
T6-T5	0.41	-6.41	3	0.0077

GRUPOS	F	t	gl	p(t)
O2-O1	0.60	-20.20	3	0.0003

Tabla 195. Resultados significativos de la prueba t de student aplicada a las 14 derivaciones en la Correlación Interhemisférica, banda Alfa 1, durante la solución de las tareas de Conceptualización, perteneciente a la prueba propuesta para medir Habilidades Cognitivas Básicas.

GRUPOS	F	t	gl	p(t)
O2-O1	0.40	-8.09	3	0.0039

Tabla 196. Resultados significativos de la prueba t de student aplicada a las 14 derivaciones en la Correlación Interhemisférica, banda Alfa 2, durante la solución de las tareas de Conceptualización, perteneciente a la prueba propuesta para medir Habilidades Cognitivas Básicas.

GRUPOS	F	t	gl	p(t)
C4-C3	0.65	10.07	3	0.0021

GRUPOS	F	t	gl	p(t)
O2-O1	0.59	-15.91	3	0.0005

Tabla 197. Resultados significativos de la prueba t de student aplicada a las 14 derivaciones en la Correlación Interhemisférica, banda Beta 1, durante la solución de las tareas de Conceptualización, perteneciente a la prueba propuesta para medir Habilidades Cognitivas Básicas.

GRUPOS	F	t	gl	p(t)
C4-C3	0.71	5.18	3	0.01

GRUPOS	F	t	gl	p(t)
O2-O1	0.54	-9.15	3	0.0028

Tabla 198. Resultados significativos de la prueba t de student aplicada a las 14 derivaciones en la Correlación Interhemisférica, banda Beta 2, durante la solución de las tareas de Conceptualización, perteneciente a la prueba propuesta para medir Habilidades Cognitivas Básicas.

GRUPOS	F	t	gl	p(t)
F4-F3	0.35	-14.79	3	0.0007
C4-C3	0.57	-12.83	3	0.0010

GRUPOS	F	t	gl	p(t)
T6-T5	0.48	-16.51	3	0.0005
O2-O1	0.49	-11.55	3	0.0014

Tabla 199. Resultados significativos de la prueba t de student aplicada a las 14 derivaciones en la Correlación Interhemisférica, banda Total, durante la solución de las tareas de Conceptualización, perteneciente a la prueba propuesta para medir Habilidades Cognitivas Básicas.

GRUPOS	F	t	gl	p(t)
F4-F3	4.46	9.34	6	0.0001
C4-C3	2.7	-5.68	6	0.0013
P4-P3	4.15	-10.43	6	0.0001

GRUPOS	F	t	gl	p(t)
T6-T5	1.52	-4.05	6	0.0067
O2-O1	1.16	-9.88	6	0.0001

Tabla 200. Resultados significativos de la prueba t de student aplicada a las 14 derivaciones en la Correlación Interhemisférica, banda Delta, durante la solución de las tareas de Seguimiento de Instrucciones, perteneciente a la prueba propuesta para medir Habilidades Cognitivas Básicas.

GRUPOS	F	t	gl	p(t)
F4-F3	2.16	5.49	6	0.0015
C4-C3	7.87	-4.32	6	0.0050

GRUPOS	F	t	gl	p(t)
T6-T5	4.36	-3.75	6	0.0095
O2-O1	1.45	-12.37	6	0.0001

Tabla 201. Resultados significativos de la prueba t de student aplicada a las 14 derivaciones en la Correlación Interhemisférica, banda Theta 1, durante la solución de las tareas de Seguimiento de Instrucciones, perteneciente a la prueba propuesta para medir Habilidades Cognitivas Básicas.

GRUPOS	F	t	gl	p(t)
F8-F7	8.99	3.82	6	0.0088
F4-F3	3.42	5	6	0.0025
C4-C3	1.78	-4.26	6	0.0053

GRUPOS	F	t	gl	p(t)
T6-T5	3.71	-5.97	6	0.0010
O2-O1	5.06	-11.39	6	0.0001

Tabla 202. Resultados significativos de la prueba t de student aplicada a las 14 derivaciones en la Correlación Interhemisférica, banda Theta 2, durante la solución de las tareas de Seguimiento de Instrucciones, perteneciente a la prueba propuesta para medir Habilidades Cognitivas Básicas.

GRUPOS	F	t	gl	p(t)
F4-F3	2.78	5.91	6	0.0010
F8-F7	1.31	3.81	6	0.0089

GRUPOS	F	t	gl	p(t)
O2-O1	1.12	-7.76	6	0.0002

Tabla 203. Resultados significativos de la prueba t de student aplicada a las 14 derivaciones en la Correlación Interhemisférica, banda Alfa 2, durante la solución de las tareas de Seguimiento de Instrucciones, perteneciente a la prueba propuesta para medir Habilidades Cognitivas Básicas.

GRUPOS	F	t	gl	p(t)
F4-F3	4.69	3.81	6	0.0089

GRUPOS	F	t	gl	p(t)
O2-O1	4.45	-13.12	6	0.0001

Tabla 204. Resultados significativos de la prueba t de student aplicada a las 14 derivaciones en la Correlación Interhemisférica, banda Beta 1, durante la solución de las tareas de Seguimiento de Instrucciones, perteneciente a la prueba propuesta para medir Habilidades Cognitivas Básicas.

GRUPOS	F	t	gl	p(t)
C4-C3	3.06	3.51	6	0.0126

GRUPOS	F	t	gl	p(t)
O2-O1	1.10	-7.76	6	0.0012

Tabla 205. Resultados significativos de la prueba t de student aplicada a las 14 derivaciones en la Correlación Interhemisférica, banda Beta 2, durante la solución de las tareas de Seguimiento de Instrucciones, perteneciente a la prueba propuesta para medir Habilidades Cognitivas Básicas.

GRUPOS	F	t	gl	p(t)
F4-F3	4.37	7.16	4	0.0004
C4-C3	1.68	-4.04	4	0.0068

GRUPOS	F	t	gl	p(t)
T6-T5	3.06	4.22	4	0.0056
O2-O1	9.17	-9.40	4	0.0001

Tabla 206. Resultados significativos de la prueba t de student aplicada a las 14 derivaciones en la Correlación Interhemisférica, banda Total, durante la solución de las tareas de Seguimiento de Instrucciones, perteneciente a la prueba propuesta para medir Habilidades Cognitivas Básicas.

GRUPOS	F	t	gl	p(t)
O2-CZ	3.06	-2.98	8	0.01

Tabla 207. Resultados significativos de la prueba t de student aplicada a las 15 derivaciones en la Potencia Absoluta, banda Theta 2, durante la solución de las tareas de Discriminación, perteneciente a la prueba propuesta para medir Habilidades de Percepción Global.

GRUPOS	F	t	gl	p(t)
F8-CZ	2.43	-3.33	8	0.0104
F7-CZ	1.13	-3.8	8	0.0052

GRUPOS	F	t	gl	p(t)
T3-CZ	1.35	-3.37	8	0.0098

Tabla 208. Resultados significativos de la prueba t de student aplicada a las 15 derivaciones en la Potencia Absoluta, banda Alfa 1, durante la solución de las tareas de Discriminación, perteneciente a la prueba propuesta para medir Habilidades de Percepción Global.

GRUPOS	F	t	gl	p(t)
F8-O1	3.26	-3.25	8	0.0101
F7-T3	1.88	-3.21	8	0.0102

GRUPOS	F	t	gl	p(t)
F7-O1	3.36	-3.11	8	0.01

Tabla 209. Resultados significativos de la prueba t de student aplicada a las 15 derivaciones en la Potencia Absoluta, banda Beta 2, durante la solución de las tareas de Discriminación, perteneciente a la prueba propuesta para medir Habilidades de Percepción Global.

GRUPOS	F	t	gl	p(t)
F8-T3	1.26	-4.16	8	0.0032
F8-O1	1.83	-4	8	0.0039
F7-T3	1.22	-3.34	8	0.0102
C3-T3	2.72	-3.89	8	0.0046

GRUPOS	F	t	gl	p(t)
C3-O1	3.96	-3.69	8	0.0061
T3-CZ	1.64	3.78	8	0.0054
O1-CZ	2.39	3.64	8	0.0066

Tabla 210. Resultados significativos de la prueba t de student aplicada a las 15 derivaciones en la Potencia Absoluta, banda Gamma, durante la solución de las tareas de Discriminación, perteneciente a la prueba propuesta para medir Habilidades de Percepción Global.

GRUPOS	F	t	gl	p(t)
F8-T3	3.79	-2.38	8	0.004

GRUPOS	F	t	gl	p(t)
T3-CZ	2.53	2.27	8	0.005

Tabla 211. Resultados significativos de la prueba t de student aplicada a las 15 derivaciones en la Potencia Absoluta, banda Gamma, durante la solución de las tareas de Memoria Perceptual, perteneciente a la prueba propuesta para medir Habilidades de Percepción Global.

GRUPOS	F	t	gl	p(t)
F8-O2	5.78	3.41	8	0.0092

GRUPOS	F	t	gl	p(t)
F7-T4	3.82	3.2	8	0.011

Tabla 212. Resultados significativos de la prueba t de student aplicada a las 15 derivaciones en la Potencia Absoluta, banda Delta, durante la solución de las tareas de Reconocimiento de la Tercera Dimensión, perteneciente a la prueba propuesta para medir Habilidades de Percepción Global.

GRUPOS	F	t	gl	p(t)
F4-O2	4.49	3.37	8	0.0098
F7-O2	1.38	3.61	8	0.0068
C4-O2	4.65	3.2	8	0.0106
T4-P3	2.2	-3.56	8	0.0074

GRUPOS	F	t	gl	p(t)
P4-O2	5.26	3.41	8	0.0092
P3-T5	2.25	3.51	8	0.008
P3-O2	5.06	4.01	8	0.0039
O2-CZ	3.68	-3.43	8	0.009

Tabla 213. Resultados significativos de la prueba t de student aplicada a las 15 derivaciones en la Potencia Absoluta, banda Delta, durante la solución de las tareas de Conservación Espacial, perteneciente a la prueba propuesta para medir Habilidades de Percepción Global.

GRUPOS	F	t	gl	p(t)
F3-T4	3.41	3.16	8	0.0103
C3-O2	4.94	3.34	8	0.0102

GRUPOS	F	t	gl	p(t)
T4-CZ	4.08	-3.13	8	0.01
P4-O2	6.05	3.28	8	0.011

Tabla 214. Resultados significativos de la prueba t de student aplicada a las 15 derivaciones en la Potencia Absoluta, banda Theta 1, durante la solución de las tareas de Conservación Espacial, perteneciente a la prueba propuesta para medir Habilidades de Percepción Global.

GRUPOS	F	t	gl	p(t)
F8-O1	3.87	-3.34	8	0.0102

GRUPOS	F	t	gl	p(t)
O1-CZ	2.51	3.39	8	0.0095

Tabla 215. Resultados significativos de la prueba t de student aplicada a las 15 derivaciones en la Potencia Absoluta, banda Gamma, durante la solución de las tareas de Conservación Espacial, perteneciente a la prueba propuesta para medir Habilidades de Percepción Global.

GRUPOS	F	t	gl	p(t)
F8-O1	1.74	-3.25	8	0.0101
F7-O1	1.59	-3.33	8	0.0104
C3-O1	1.42	-3.58	8	0.0072

GRUPOS	F	t	gl	p(t)
P3-O1	1.24	-3.02	8	0.0103
T6-O1	2.8	-3.18	8	0.0102
O1-CZ	1.22	3.61	8	0.0069

Tabla 216. Resultados significativos de la prueba t de student aplicada a las 15 derivaciones en la Potencia Absoluta, banda Gamma, durante la solución de las tareas de Figura-Fondo, perteneciente a la prueba propuesta para medir Habilidades de Percepción Global.

GRUPOS	F	t	gl	p(t)
F3-T4	6.16	3.33	8	0.0104

Tabla 217. Resultados significativos de la prueba t de student aplicada a las 15 derivaciones en la Potencia Absoluta, banda Delta, durante la solución de las tareas de Analogías de Imágenes, perteneciente a la prueba propuesta para medir Habilidades de Percepción Global.

GRUPOS	F	t	gl	p(t)
F8-O2	2.46	-2.93	8	0.0109

GRUPOS	F	t	gl	p(t)
O2-CZ	2.08	2.94	8	0.0104

Tabla 218. Resultados significativos de la prueba t de student aplicada a las 15 derivaciones en la Potencia Absoluta, banda Gamma, durante la solución de las tareas de Analogías de Imágenes, perteneciente a la prueba propuesta para medir Habilidades de Percepción Global.

GRUPOS	F	t	gl	p(t)
F4-O2	30.05	4.05	8	0.0103
F3-O2	2.3	3.39	8	0.0095
C3-T5	4	3.48	8	0.0083
C3-T4	2.71	3.7	8	0.006
C3-O2	5.57	4.3	8	0.0026
C4-T4	4.36	3.89	8	0.0046
C4-T3	4.23	2.96	8	0.0101
C4-T5	6.43	3.61	8	0.0104
C4-O2	8.95	4.41	8	0.0073

GRUPOS	F	t	gl	p(t)
T4-P4	1.75	-3.89	8	0.0046
T4-CZ	2.28	-3.96	8	0.0042
T3-P4	1.7	-3.07	8	0.0104
T3-CZ	2.21	-3.1	8	0.0104
P4-T5	2.58	3.69	8	0.0062
P4-O2	3.59	4.47	8	0.0021
P3-O2	2.73	3.44	8	0.0088
T5-CZ	3.37	-3.72	8	0.0059
O2-CZ	4.68	-4.5	8	0.002

Tabla 219. Resultados significativos de la prueba t de student aplicada a las 15 derivaciones en la Potencia Absoluta, banda Delta, durante la solución de las tareas de Abstracción Visual, perteneciente a la prueba propuesta para medir Habilidades de Percepción Global.

GRUPOS	F	t	gl	p(t)
T4-CZ	4.87	-2.94	8	0.01

Tabla 220. Resultados significativos de la prueba t de student aplicada a las 15 derivaciones en la Potencia Absoluta, banda Theta 1, durante la solución de las tareas de Abstracción Visual, perteneciente a la prueba propuesta para medir Habilidades de Percepción Global.

GRUPOS	F	t	gl	p(t)
F8-O1	3.16	-3.46	8	0.0086
F7-O1	4.23	-2.95	8	0.0101
C3-O1	2.23	-3.37	8	0.0098

GRUPOS	F	t	gl	p(t)
T5-O1	2.75	-2.94	8	0.0108
O1-CZ	1.85	3.48	8	0.0083

Tabla 221. Resultados significativos de la prueba t de student aplicada a las 15 derivaciones en la Potencia Absoluta, banda Gamma, durante la solución de las tareas de Abstracción Visual, perteneciente a la prueba propuesta para medir Habilidades de Percepción Global.

GRUPOS	F	t	gl	p(t)
F4-T4	0.71	7.37	3	0.0052
F4-T3	0.73	7.53	3	0.0049
F4-T6	0.7	9.85	3	0.0022
F4-T5	0.67	9.83	3	0.0022
F4-O2	0.75	14.22	3	0.0008
F4-O1	0.74	11.85	3	0.0013
F3-T4	0.69	6.51	3	0.0074
F3-T3	0.69	7.03	3	0.0059
F3-T6	0.66	7.22	3	0.0055
F3-T5	0.62	7.22	3	0.0055
F3-O2	0.75	10	3	0.0021
C4-T4	0.71	9.16	3	0.0027
C4-T3	0.72	8.78	3	0.0031
C4-T6	0.74	11.56	3	0.0014
C4-T5	0.66	9.11	3	0.0028
C3-T4	0.68	9.55	3	0.0024
C3-T3	0.71	15.74	3	0.0006

GRUPOS	F	t	gl	p(t)
C3-T6	0.72	6.12	3	0.0088
C3-T5	0.69	7.06	3	0.0058
C3-CZ	0.75	-14.43	3	0.0007
T4-P4	0.72	-8.84	3	0.003
T4-P3	0.59	-7.7	3	0.0045
T4-CZ	0.67	-12.07	3	0.0012
T3-P4	0.71	-8.11	3	0.0039
T3-P3	0.61	-11.91	3	0.0013
T3-CZ	0.72	-22.68	3	0.0002
P4-T6	0.74	11.15	3	0.0015
P4-T5	0.63	7.66	3	0.0046
P3-T5	0.6	6.34	3	0.008
T6-O1	0.68	-6.1	3	0.0088
T6-CZ	0.71	-7.05	3	0.0059
T5-O1	0.7	-7.84	3	0.0043
T5-CZ	0.72	-8.94	3	0.003
O2-O1	0.74	-8.67	3	0.0032

Tabla 222. Resultados significativos de la prueba t de student aplicada a las 15 derivaciones en la Potencia Absoluta, banda Delta, durante la solución de las tareas de Memoria, perteneciente a la prueba propuesta para medir Habilidades Cognitivas Globales.

GRUPOS	F	t	gl	p(t)
F4-T4	0.73	11.36	3	0.0015
F4-T3	0.73	10.93	3	0.0016
F3-T4	0.7	6.32	3	0.008
F3-T3	0.74	13.6	3	0.0009
C4-T4	0.75	17.02	3	0.0004
C4-T3	0.72	7.34	3	0.0052
C4-T6	0.75	6.89	3	0.0063
C4-T5	0.71	6.26	3	0.0082
C3-T4	0.73	10.74	3	0.0017
C3-T3	0.7	9.75	3	0.0023
T4-P4	0.73	-8.94	3	0.003

GRUPOS	F	t	gl	p(t)
T4-P3	0.69	-7.59	3	0.0047
T4-CZ	0.71	-9.48	3	0.0025
T3-P3	0.66	-6.44	3	0.0076
T3-CZ	0.71	-8.44	3	0.0035
P4-T6	0.75	7.46	3	0.005
P4-T5	0.69	6.06	3	0.009
P3-T6	0.73	5.93	3	0.0096
T6-CZ	0.74	-6.48	3	0.0075
T5-O1	0.73	-7.09	3	0.0058
T5-CZ	0.72	-6.66	3	0.0069
O2-O1	0.75	-6.66	3	0.0069

Tabla 223. Resultados significativos de la prueba t de student aplicada a las 15 derivaciones en la Potencia Absoluta, banda Theta 1, durante la solución de las tareas de Memoria, perteneciente a la prueba propuesta para medir Habilidades Cognitivas Globales.

GRUPOS	F	t	gl	p(t)
F4-T4	0.74	12.3	3	0.0012
F4-T3	0.74	17.22	3	0.0004
F4-T6	0.73	7.44	3	0.005
F3-T3	0.68	7.01	3	0.006
C4-T4	0.75	17.19	3	0.0004
C4-T3	0.71	11.01	3	0.0016
C4-T6	0.75	8.2	3	0.0038
C3-T4	0.74	6.34	3	0.0079
C3-T3	0.66	7.33	3	0.0052
T4-P4	0.7	-6.89	3	0.0063

GRUPOS	F	t	gl	p(t)
T4-CZ	0.72	-10.02	3	0.0021
T3-P4	0.65	-6.2	3	0.0085
T3-CZ	0.69	-11.16	3	0.0015
P4-T6	0.72	8.37	3	0.0036
P4-T5	0.7	6.88	3	0.0063
P3-T6	0.71	6.5	3	0.0074
T6-CZ	0.74	-8.47	3	0.0035
T5-O1	0.73	-8.84	3	0.0031
T5-CZ	0.72	-7.42	3	0.0051
O2-O1	0.75	-6.26	3	0.0082

Tabla 224. Resultados significativos de la prueba t de student aplicada a las 15 derivaciones en la Potencia Absoluta, banda Theta 2, durante la solución de las tareas de Memoria, perteneciente a la prueba propuesta para medir Habilidades Cognitivas Globales.

GRUPOS	F	t	gl	p(t)
F4-T4	0.73	6.87	3	0.0063
F4-T3	0.73	9.64	3	0.0024
F4-T5	0.69	8.57	3	0.0033
F3-T4	0.75	22.28	3	0.0002
F3-T3	0.73	11.93	3	0.0013
F3-T6	0.73	9.41	3	0.0025
F3-T5	0.71	11.01	3	0.0016
F3-CZ	0.75	-6.52	3	0.0073
C4-T4	0.74	18.75	3	0.0003
C4-T3	0.71	9.16	3	0.0027
C4-T6	0.68	9.17	3	0.0027
C4-T5	0.66	8.21	3	0.0038
C3-T6	0.68	6.46	3	0.0075

GRUPOS	F	t	gl	p(t)
T4-P4	0.69	-6.7	3	0.0068
T4-P3	0.7	-7.99	3	0.0041
T4-CZ	0.75	-37.36	3	0.0001
T3-P4	0.67	-6.98	3	0.006
T3-P3	0.64	-6.42	3	0.0077
T3-CZ	0.72	-10.89	3	0.0017
P4-T6	0.73	9.82	3	0.0022
P4-T5	0.69	10.63	3	0.0018
P3-T6	0.7	9.84	3	0.0022
P3-T5	0.64	8.06	3	0.004
T6-CZ	0.71	-11.36	3	0.0015
T5-O1	0.69	-7.81	3	0.0044
T5-CZ	0.68	-9.77	3	0.0023

Tabla 225. Resultados significativos de la prueba t de student aplicada a las 15 derivaciones en la Potencia Absoluta, banda Alfa 1, durante la solución de las tareas de Memoria, perteneciente a la prueba propuesta para medir Habilidades Cognitivas Globales.

GRUPOS	F	t	gl	p(t)
F4-T6	0.74	7.73	3	0.0045
T6-O2	0.74	-24.7	3	0.0001

GRUPOS	F	t	gl	p(t)
T6-O1	0.65	-8.69	3	0.0032
T6-CZ	0.71	-11.28	3	0.0015

Tabla 226. Resultados significativos de la prueba t de student aplicada a las 15 derivaciones en la Potencia Absoluta, banda Alfa 2, durante la solución de las tareas de Memoria, perteneciente a la prueba propuesta para medir Habilidades Cognitivas Globales.

GRUPOS	F	t	gl	p(t)
F4-C3	0.7	10.68	3	0.0018
F4-T6	0.09	6.6	3	0.0071
F7-C4	0.35	-5.9	3	0.0097
F7-O2	0.33	-6.41	3	0.0077

GRUPOS	F	t	gl	p(t)
F7-CZ	0.71	-9.26	3	0.0027
P4-T5	0.01	6.69	3	0.0068
T6-CZ	0.55	-6.15	3	0.0086

Tabla 227. Resultados significativos de la prueba t de student aplicada a las 15 derivaciones en la Potencia Absoluta, banda Beta 1, durante la solución de las tareas de Memoria, perteneciente a la prueba propuesta para medir Habilidades Cognitivas Globales.

GRUPOS	F	t	gl	p(t)
F7-T6	0.59	-7.44	3	0.005

GRUPOS	F	t	gl	p(t)
T6-T5	0.73	9.62	3	0.0024

Tabla 228. Resultados significativos de la prueba t de student aplicada a las 15 derivaciones en la Potencia Absoluta, banda Beta 2, durante la solución de las tareas de Memoria, perteneciente a la prueba propuesta para medir Habilidades Cognitivas Globales.

GRUPOS	F	t	gl	p(t)
F4-C4	0.71	10.85	3	0.0017

GRUPOS	F	t	gl	p(t)
T6-CZ	0.6	8.27	3	0.0037

Tabla 229. Resultados significativos de la prueba t de student aplicada a las 15 derivaciones en la Potencia Absoluta, banda Gamma, durante la solución de las tareas de Memoria, perteneciente a la prueba propuesta para medir Habilidades Cognitivas Globales.

GRUPOS	F	t	gl	p(t)
F4-T4	0.73	9.85	3	0.0022
F4-T3	0.7	7.07	3	0.0058
F4-T6	0.72	11	3	0.0016
F4-T5	0.65	7.99	3	0.0041
F3-T4	0.72	7.11	3	0.0057
F3-T6	0.71	9.06	3	0.0028
F3-T5	0.63	6.88	3	0.0063
C4-T4	0.71	7.84	3	0.0043
C4-T6	0.73	15.32	3	0.0006
C4-T5	0.59	6.71	3	0.0068
C3-T6	0.7	8.76	3	0.0031
T4-P4	0.71	-7.21	3	0.0055
T4-T6	0.74	9.12	3	0.0028

GRUPOS	F	t	gl	p(t)
T4-O1	0.73	-6.6	3	0.0071
T4-CZ	0.74	-10.01	3	0.0021
T3-T5	0.74	8.39	3	0.0035
T3-O1	0.74	-9.67	3	0.0023
T3-CZ	0.68	-6.42	3	0.0077
P4-T6	0.73	11.12	3	0.0016
P4-T5	0.63	7.37	3	0.0052
P3-T6	0.65	6.7	3	0.0068
P3-T5	0.55	5.9	3	0.0097
T6-O1	0.71	-9.39	3	0.0026
T6-CZ	0.75	-11.35	3	0.0015
T5-O1	0.71	-9.41	3	0.0025
T5-CZ	0.67	-8.81	3	0.0031

Tabla 230. Resultados significativos de la prueba t de student aplicada a las 15 derivaciones en la Potencia Absoluta, banda Total, durante la solución de las tareas de Memoria, perteneciente a la prueba propuesta para medir Habilidades Cognitivas Globales.

GRUPOS	F	t	gl	p(t)
F4-T3	0.73	9.67	3	0.0023
F4-T6	0.75	13.61	3	0.0009
F4-T5	0.71	9.35	3	0.0026
F3-O2	0.74	7.73	3	0.0045
C4-T3	0.74	12.36	3	0.0011
C4-T6	0.72	10.66	3	0.0018
C4-T5	0.72	9.72	3	0.0023
C4-O2	0.68	6.58	3	0.0071
C3-T3	0.74	11.32	3	0.0015
C3-T6	0.69	8.33	3	0.0036
C3-T5	0.7	7.46	3	0.005

GRUPOS	F	t	gl	p(t)
C3-O2	0.69	6.12	3	0.0088
T4-P3	0.59	-6.52	3	0.0073
T3-P3	0.65	-9.51	3	0.0025
T3-CZ	0.62	-13.76	3	0.0008
P4-T6	0.74	16.32	3	0.0005
P3-T6	0.71	9.54	3	0.0024
T6-CZ	0.52	-6.55	3	0.0073
T5-O1	0.71	-7.79	3	0.0044
T5-CZ	0.65	-6.99	3	0.006
O2-O1	0.74	-14.99	3	0.0006
O2-CZ	0.74	-7.32	3	0.0053

Tabla 231. Resultados significativos de la prueba t de student aplicada a las 15 derivaciones en la Potencia Absoluta, banda Delta, durante la solución de las tareas de Analogías, perteneciente a la prueba propuesta para medir Habilidades Cognitivas Globales.

GRUPOS	F	t	gl	p(t)
F4-T3	0.74	8.41	3	0.0035
F4-P4	0.75	-7.27	3	0.0054
F4-T5	0.72	8.34	3	0.0036
F3-T3	0.72	9.49	3	0.0025
F3-T5	0.74	6.65	3	0.0069
F7-CZ	0.7	-7.55	3	0.0048
C4-T4	0.74	10.72	3	0.0017
C4-T6	0.75	6.02	3	0.0092
C4-T5	0.7	7.57	3	0.0048
C3-T3	0.74	9.87	3	0.0022

GRUPOS	F	t	gl	p(t)
T4-P4	0.7	-7.6	3	0.0047
T4-CZ	0.74	-13.25	3	0.0009
T3-P4	0.73	-8.96	3	0.0029
T3-P3	0.73	-14.81	3	0.0007
T3-CZ	0.7	-10.32	3	0.0019
P4-T5	0.73	11.7	3	0.0013
T5-O2	0.75	-8.34	3	0.0036
T5-O1	0.74	-12.83	3	0.001
T5-CZ	0.7	-6.79	3	0.0065

Tabla 232. Resultados significativos de la prueba t de student aplicada a las 15 derivaciones en la Potencia Absoluta, banda Theta 1, durante la solución de las tareas de Analogías, perteneciente a la prueba propuesta para medir Habilidades Cognitivas Globales.

GRUPOS	F	t	gl	p(t)
F4-F7	0.7	7.76	3	0.0045
F4-T4	0.73	11.24	3	0.0015
F3-T3	0.75	8.16	3	0.0039
F7-C4	0.63	-5.94	3	0.0095
F7-CZ	0.61	-6.04	3	0.0091
C4-T4	0.72	10.6	3	0.0018
C3-T3	0.74	10.09	3	0.0021

GRUPOS	F	t	gl	p(t)
T4-CZ	0.64	-6.11	3	0.0088
T3-P4	0.74	-13.5	3	0.0009
T3-P3	0.73	-8.2	3	0.0038
T3-CZ	0.74	-9.37	3	0.0026
T5-O1	0.73	-7.19	3	0.0055
T5-CZ	0.66	-5.87	3	0.0099
O2-O1	0.75	-19.36	3	0.0003

Tabla 233. Resultados significativos de la prueba t de student aplicada a las 15 derivaciones en la Potencia Absoluta, banda Theta 2, durante la solución de las tareas de Analogías, perteneciente a la prueba propuesta para medir Habilidades Cognitivas Globales.

GRUPOS	F	t	gl	p(t)
F4-F7	0.69	10.21	3	0.002
F4-T3	0.69	8.4	3	0.0035
F4-T5	0.74	10.98	3	0.0016
F7-P4	0.59	-9.97	3	0.0021
F7-CZ	0.48	-6.17	3	0.0086
C4-T3	0.73	14.86	3	0.0007
C4-T6	0.69	6.19	3	0.0085
C3-T3	0.7	6.42	3	0.0076

GRUPOS	F	t	gl	p(t)
C3-T6	0.65	5.97	3	0.0094
T4-CZ	0.71	-6.14	3	0.0087
T3-P4	0.73	-16.2	3	0.0005
T3-CZ	0.75	-17.08	3	0.0004
P4-T5	0.68	7.03	3	0.0059
T6-CZ	0.69	-7.63	3	0.0047
T5-CZ	0.62	-7.29	3	0.0053

Tabla 234. Resultados significativos de la prueba t de student aplicada a las 15 derivaciones en la Potencia Absoluta, banda Alfa 1, durante la solución de las tareas de Analogías, perteneciente a la prueba propuesta para medir Habilidades Cognitivas Globales.

GRUPOS	F	t	gl	p(t)
F4-F7	0.68	9.21	3	0.0027
F3-T5	0.69	6.45	3	0.0075
F7-P4	0.39	-5.94	3	0.0095
C4-T3	0.73	7.05	3	0.0059

GRUPOS	F	t	gl	p(t)
T4-CZ	0.75	-17.96	3	0.0004
T3-CZ	0.73	-9.02	3	0.0029
P4-T5	0.69	6.54	3	0.0073
P3-T5	0.68	6.27	3	0.0082

Tabla 235. Resultados significativos de la prueba t de student aplicada a las 15 derivaciones en la Potencia Absoluta, banda Alfa 2, durante la solución de las tareas de Analogías, perteneciente a la prueba propuesta para medir Habilidades Cognitivas Globales.

GRUPOS	F	t	gl	p(t)
F4-T5	0.74	7.62	3	0.0047
F7-C4	0.72	-13.2	3	0.0009
F7-P4	0.27	-5.96	3	0.0095
F7-CZ	0.73	-11.5	3	0.0014
C4-T6	0.67	9.62	3	0.0024

GRUPOS	F	t	gl	p(t)
C4-CZ	0.75	22.05	3	0.0002
T4-T6	0.64	6.23	3	0.0083
T4-T5	0.72	9.28	3	0.0026
T6-CZ	0.66	-6.89	3	0.0063

Tabla 236. Resultados significativos de la prueba t de student aplicada a las 15 derivaciones en la Potencia Absoluta, Beta 1, durante la solución de las tareas de Analogías, perteneciente a la prueba propuesta para medir Habilidades Cognitivas Globales.

GRUPOS	F	t	gl	p(t)
F4-C3	0.73	9.6	3	0.0024
F7-C4	0.68	-7.53	3	0.0049
F7-T4	0.62	-6.42	3	0.0077

GRUPOS	F	t	gl	p(t)
C3-T4	0.72	-6.33	3	0.008
P4-CZ	0.74	8.03	3	0.004

Tabla 237. Resultados significativos de la prueba t de student aplicada a las 15 derivaciones en la Potencia Absoluta, Beta 2, durante la solución de las tareas de Analogías, perteneciente a la prueba propuesta para medir Habilidades Cognitivas Globales.

GRUPOS	F	t	gl	p(t)
F4-C3	0.65	6.92	3	0.0062

GRUPOS	F	t	gl	p(t)
C3-T4	0.69	-6.15	3	0.0086

Tabla 238. Resultados significativos de la prueba t de student aplicada a las 15 derivaciones en la Potencia Absoluta, Gamma, durante la solución de las tareas de Analogías, perteneciente a la prueba propuesta para medir Habilidades Cognitivas Globales.

GRUPOS	F	t	gl	p(t)
F4-F7	0.67	6.1	3	0.0088
F4-T4	0.7	6.73	3	0.0067
F4-T3	0.72	11.72	3	0.0013
F4-T6	0.75	9.78	3	0.0023
F4-T5	0.73	11.31	3	0.0015
F3-F7	0.75	31.37	3	0.0001
F3-T3	0.67	6.06	3	0.009
F3-T6	0.66	6.43	3	0.0076
F3-T5	0.69	8.28	3	0.0037
F7-C4	0.7	-8	3	0.0041
F7-O1	0.74	-9.76	3	0.0023
F7-CZ	0.74	-8.6	3	0.0033
C4-T4	0.67	6.02	3	0.0092
C4-T3	0.74	16.46	3	0.0005
C4-T6	0.74	9.83	3	0.0022
C4-T5	0.72	10.93	3	0.0016

GRUPOS	F	t	gl	p(t)
C3-T3	0.75	24.39	3	0.0002
C3-T6	0.72	7.01	3	0.006
C3-T5	0.66	6.44	3	0.0076
T4-P4	0.71	-7.61	3	0.0047
T4-P3	0.75	-50.23	3	0.0001
T4-CZ	0.58	-6.28	3	0.0081
T3-P4	0.73	-14.03	3	0.0008
T3-P3	0.67	-9.01	3	0.0029
T3-CZ	0.72	-15.28	3	0.0006
P4-T6	0.75	9.01	3	0.0029
P4-T5	0.71	9.59	3	0.0024
T6-O1	0.69	-6.78	3	0.0066
T6-CZ	0.71	-6.55	3	0.0072
T5-O1	0.73	-12.99	3	0.001
T5-CZ	0.71	-8.29	3	0.0037

Tabla 239. Resultados significativos de la prueba t de student aplicada a las 15 derivaciones en la Potencia Absoluta, Total, durante la solución de las tareas de Analogías, perteneciente a la prueba propuesta para medir Habilidades Cognitivas Globales.

GRUPOS	F	t	gl	p(t)
F4-T4	0.75	11.67	3	0.0014
F3-T4	0.65	6.71	3	0.0068
C4-T5	0.73	10	3	0.0021
T4-P4	0.67	-6.93	3	0.0062
T4-P3	0.64	-7.22	3	0.0055

GRUPOS	F	t	gl	p(t)
P4-T5	0.72	7.25	3	0.0054
P3-T5	0.72	7.43	3	0.005
T5-CZ	0.74	-17.07	3	0.0004
O2-O1	0.69	-6.88	3	0.0063

Tabla 240. Resultados significativos de la prueba t de student aplicada a las 15 derivaciones en la Potencia Absoluta, banda Delta, durante la solución de las tareas de Planeación, perteneciente a la prueba propuesta para medir Habilidades Cognitivas Globales.

GRUPOS	F	t	gl	p(t)
T4-P3	0.68	-5.95	3	0.0095
P4-T5	0.72	11.58	3	0.0014

GRUPOS	F	t	gl	p(t)
P4-O2	0.74	8.13	3	0.0039
T5-O1	0.74	-8.62	3	0.0033

Tabla 241. Resultados significativos de la prueba t de student aplicada a las 15 derivaciones en la Potencia Absoluta, banda Theta 1, durante la solución de las tareas de Planeación, perteneciente a la prueba propuesta para medir Habilidades Cognitivas Globales.

GRUPOS	F	t	gl	p(t)
F3-F7	0.22	6.57	3	0.0072
F3-T3	0.62	5.89	3	0.0098
F3-P4	0.7	-10.46	3	0.0019
F7-P4	0.18	-9.18	3	0.0027
F7-O1	0.72	-6.13	3	0.0087
C4-T4	0.74	9.39	3	0.0026
C4-T3	0.7	9.27	3	0.0027
C4-T6	0.66	6.64	3	0.007
C3-T4	0.71	6.31	3	0.008
C3-T3	0.67	7.44	3	0.005

GRUPOS	F	t	gl	p(t)
C3-T6	0.72	8.43	3	0.0035
T4-P4	0.7	-7.37	3	0.0052
T4-P3	0.71	-12.71	3	0.0011
T4-CZ	0.74	-16.93	3	0.0004
T3-P4	0.68	-9.58	3	0.0024
T3-P3	0.68	-13.41	3	0.0009
T3-CZ	0.7	-14.13	3	0.0008
P4-T5	0.28	5.91	3	0.0097
P3-T6	0.58	6	3	0.0093
T6-CZ	0.64	-6.32	3	0.008

Tabla 242. Resultados significativos de la prueba t de student aplicada a las 15 derivaciones en la Potencia Absoluta, banda Theta 2, durante la solución de las tareas de Planeación, perteneciente a la prueba propuesta para medir Habilidades Cognitivas Globales.

GRUPOS	F	t	gl	p(t)
F4-T4	0.7	6.43	3	0.0076
F4-T3	0.6	6.1	3	0.0089
F3-C4	0.74	-13.6	3	0.0009
F3-P3	0.74	-9.09	3	0.0028
C4-T4	0.71	6.38	3	0.0078
C4-T6	0.74	9.91	3	0.0022
C3-T6	0.74	18.9	3	0.0003

GRUPOS	F	t	gl	p(t)
C3-CZ	0.74	-7.62	3	0.0047
T4-P4	0.66	-6.94	3	0.0061
T3-P4	0.45	-6	3	0.0093
P3-T6	0.74	13.19	3	0.0009
T6-CZ	0.74	-21.22	3	0.0002
T5-O1	0.22	-6.78	3	0.0066

Tabla 243. Resultados significativos de la prueba t de student aplicada a las 15 derivaciones en la Potencia Absoluta, banda Alfa 1, durante la solución de las tareas de Planeación, perteneciente a la prueba propuesta para medir Habilidades Cognitivas Globales.

GRUPOS	F	t	gl	p(t)
F4-F7	0.37	7.7	3	0.0046
F4-T5	0.58	12.2	3	0.0012
F3-T5	0.2	9.59	3	0.0024
F7-P4	0.58	-6.27	3	0.0082
F7-O1	0.45	-5.88	3	0.0098
C4-T3	0.68	7.31	3	0.0053
C4-T6	0.67	6.08	3	0.0089
C4-T5	0.51	7.48	3	0.005

GRUPOS	F	t	gl	p(t)
T4-O1	0.73	-10.69	3	0.0017
T3-P3	0.73	-10.95	3	0.0016
T3-CZ	0.74	-12.39	3	0.0011
P3-T5	0.44	6.32	3	0.008
T6-O1	0.7	-7.84	3	0.0043
T5-O1	0.69	-6.82	3	0.0065
T5-CZ	0.35	-7.78	3	0.0044

Tabla 244. Resultados significativos de la prueba t de student aplicada a las 15 derivaciones en la Potencia Absoluta, banda Alfa 2, durante la solución de las tareas de Planeación, perteneciente a la prueba propuesta para medir Habilidades Cognitivas Globales.

GRUPOS	F	t	gl	p(t)
F7-P4	0.59	-5.99	3	0.0093
F7-O2	0.53	-6.84	3	0.0064
C4-T6	0.74	21.8	3	0.0002

GRUPOS	F	t	gl	p(t)
C3-T6	0.68	6.48	3	0.0074
P4-T5	0.31	7.67	3	0.0046
T6-CZ	0.62	-6.1	3	0.0088

Tabla 245. Resultados significativos de la prueba t de student aplicada a las 15 derivaciones en la Potencia Absoluta, banda Beta 1, durante la solución de las tareas de Planeación, perteneciente a la prueba propuesta para medir Habilidades Cognitivas Globales.

GRUPOS	F	t	gl	p(t)
F7-CZ	0.73	-19.3	3	0.0003
T3-T6	0.31	6.52	3	0.0073

GRUPOS	F	t	gl	p(t)
T5-CZ	0.69	-8.87	3	0.003

Tabla 246. Resultados significativos de la prueba t de student aplicada a las 15 derivaciones en la Potencia Absoluta, banda Beta 2, durante la solución de las tareas de Planeación, perteneciente a la prueba propuesta para medir Habilidades Cognitivas Globales.

GRUPOS	F	t	gl	p(t)
F7-T4	0.14	-7.48	3	0.0049
C4-T4	-0.24	-7.46	3	0.005
C3-T3	0.72	-11.45	3	0.0014
T4-P4	-0.52	6.8	3	0.0065
T4-T6	0.72	29.24	3	0.0001
T4-T5	-0.13	7.26	3	0.0054

GRUPOS	F	t	gl	p(t)
T4-CZ	-0.37	8.82	3	0.0031
T3-P4	0.64	5.85	3	0.01
T3-P3	0.58	6.39	3	0.0077
T3-O2	0.53	5.86	3	0.0099
T3-O1	0.71	7.14	3	0.0056

Tabla 247. Resultados significativos de la prueba t de student aplicada a las 15 derivaciones en la Potencia Absoluta, banda Gamma, durante la solución de las tareas de Planeación, perteneciente a la prueba propuesta para medir Habilidades Cognitivas Globales.

GRUPOS	F	t	gl	p(t)
F4-T5	0.66	7.16	3	0.0056
C4-T5	0.6	7.29	3	0.0053
T4-P4	0.6	-6.09	3	0.0089
T4-P3	0.61	-5.84	3	0.01

GRUPOS	F	t	gl	p(t)
P4-T5	0.71	9.5	3	0.0025
P3-T5	0.6	7.57	3	0.0048
T5-CZ	0.57	-6.81	3	0.0065

Tabla 248. Resultados significativos de la prueba t de student aplicada a las 15 derivaciones en la Potencia Absoluta, banda Total, durante la solución de las tareas de Planeación, perteneciente a la prueba propuesta para medir Habilidades Cognitivas Globales.

GRUPOS	F	t	gl	p(t)
F4-T3	0.65	7.34	3	0.0052
F4-T6	0.66	6.69	3	0.0068
F4-T5	0.71	11.45	3	0.0014
F4-O2	0.75	9.59	3	0.0024
F4-O1	0.75	6.05	3	0.009
F3-T3	0.6	7.51	3	0.0049
F3-T5	0.69	9.16	3	0.0028
F3-O2	0.71	6.11	3	0.0088
C4-T4	0.7	12.58	3	0.0011
C4-T3	0.67	10.81	3	0.0017
C4-T6	0.73	7.16	3	0.0056
C4-T5	0.6	7.06	3	0.0058
C3-T4	0.64	7.32	3	0.0053
C3-T3	0.73	14.84	3	0.0007

GRUPOS	F	t	gl	p(t)
C3-T5	0.7	7.49	3	0.0049
C3-CZ	0.73	-6.3	3	0.0081
T4-P4	0.69	-8.61	3	0.0033
T4-P3	0.57	-6.42	3	0.0076
T4-CZ	0.6	-9	3	0.0029
T3-P4	0.64	-7.31	3	0.0053
T3-P3	0.55	-7.54	3	0.0048
T3-CZ	0.72	-25.47	3	0.0001
P4-T6	0.71	7.49	3	0.0049
P4-T5	0.56	6.22	3	0.0084
T6-CZ	0.68	-6.03	3	0.0092
T5-O1	0.72	-10.18	3	0.002
T5-CZ	0.66	-7.69	3	0.0046
O2-O1	0.75	-15.02	3	0.0006

Tabla 249. Resultados significativos de la prueba t de student aplicada a las 15 derivaciones en la Potencia Absoluta, banda Delta, durante la solución de las tareas de Comprensión, perteneciente a la prueba propuesta para medir Habilidades Cognitivas Globales.

GRUPOS	F	t	gl	p(t)
F4-T4	0.75	16.4	3	0.0005
F4-T3	0.74	10.1	3	0.0021
F4-P4	0.74	-6.2	3	0.0084
F4-CZ	0.75	-10.69	3	0.0017
F3-T3	0.69	8.43	3	0.0035
C4-T4	0.74	11.81	3	0.0013
C4-T3	0.74	9.83	3	0.0022
C3-T4	0.74	18.29	3	0.0004
C3-T3	0.74	13.6	3	0.0009
C3-P4	0.75	-8.72	3	0.0032

GRUPOS	F	t	gl	p(t)
C3-CZ	0.75	-7.8	3	0.0044
T4-P4	0.74	-19.32	3	0.0003
T4-P3	0.74	-15.9	3	0.0005
T4-CZ	0.74	-17.5	3	0.0004
T3-P4	0.72	-12.67	3	0.0011
T3-P3	0.71	-12.68	3	0.0011
T3-CZ	0.74	-13.41	3	0.0009
T5-O2	0.74	-6.39	3	0.0078
T5-O1	0.73	-7.66	3	0.0046

Tabla 250. Resultados significativos de la prueba t de student aplicada a las 15 derivaciones en la Potencia Absoluta, banda Theta 1, durante la solución de las tareas de Comprensión, perteneciente a la prueba propuesta para medir Habilidades Cognitivas Globales.

GRUPOS	F	t	gl	p(t)
F4-T4	0.73	8.32	3	0.0036
F4-T3	0.73	12.26	3	0.0012
F3-T3	0.72	10.59	3	0.0018
C4-T4	0.71	8.11	3	0.0039
C4-T3	0.72	12.62	3	0.0011
C4-T6	0.75	6.85	3	0.0064
C3-T4	0.73	10.11	3	0.0021
C3-T3	0.74	27.79	3	0.0001
C3-T6	0.75	6.07	3	0.009

GRUPOS	F	t	gl	p(t)
T4-CZ	0.66	-6.82	3	0.0065
T3-P4	0.66	-8.82	3	0.0031
T3-P3	0.66	-8.98	3	0.0029
T3-CZ	0.67	-10.23	3	0.002
P3-T6	0.71	5.9	3	0.0097
T6-CZ	0.72	-6.99	3	0.006
T5-O1	0.71	-6.76	3	0.0066
T5-CZ	0.7	-6.11	3	0.0088
O2-O1	0.75	-6.64	3	0.0069

Tabla 251. Resultados significativos de la prueba t de student aplicada a las 15 derivaciones en la Potencia Absoluta, banda Theta 2, durante la solución de las tareas de Comprensión, perteneciente a la prueba propuesta para medir Habilidades Cognitivas Globales.

GRUPOS	F	t	gl	p(t)
F4-C4	0.75	-7.22	3	0.0055
F4-T3	0.75	8.77	3	0.0031
F4-T5	0.67	6.75	3	0.0066
F4-CZ	0.74	-8.51	3	0.0034
F3-C4	0.75	-8.47	3	0.0035
F3-T3	0.74	8.37	3	0.0036
F3-CZ	0.74	-10.88	3	0.0017
C4-T4	0.73	16.55	3	0.0005
C4-T3	0.74	24.12	3	0.0002
C4-T6	0.72	8.94	3	0.003
C4-T5	0.63	8.73	3	0.0032
C3-T3	0.72	9.19	3	0.0027
C3-T6	0.68	7.13	3	0.0057

GRUPOS	F	t	gl	p(t)
T4-P4	0.74	-13.9	3	0.0008
T4-P3	0.7	-7.52	3	0.0049
T4-CZ	0.71	-10.99	3	0.0016
T3-P4	0.69	-8.44	3	0.0035
T3-P3	0.67	-7.82	3	0.0044
T3-CZ	0.74	-30.31	3	0.0001
P4-T6	0.75	7.86	3	0.0043
P4-T5	0.65	8.05	3	0.004
P3-T6	0.69	6.24	3	0.0083
P3-T5	0.51	6.06	3	0.009
T6-CZ	0.68	-7.81	3	0.0044
T5-O1	0.72	-8.39	3	0.0036
T5-CZ	0.63	-9.5	3	0.0025

Tabla 252. Resultados significativos de la prueba t de student aplicada a las 15 derivaciones en la Potencia Absoluta, banda Alfa 1, durante la solución de las tareas de Comprensión, perteneciente a la prueba propuesta para medir Habilidades Cognitivas Globales.

GRUPOS	F	t	gl	p(t)
F4-T5	0.63	8.22	3	0.0038
F3-T5	0.55	6.62	3	0.007
T4-T6	0.71	7.67	3	0.0046
P4-T6	0.72	7.99	3	0.0041

GRUPOS	F	t	gl	p(t)
P4-T5	0.65	11.08	3	0.0016
P3-T5	0.72	10.4	3	0.0019
T6-CZ	0.71	-7.51	3	0.0049
T5-CZ	0.68	-13.32	3	0.0009

Tabla 253. Resultados significativos de la prueba t de student aplicada a las 15 derivaciones en la Potencia Absoluta, banda Alfa 2, durante la solución de las tareas de Comprensión, perteneciente a la prueba propuesta para medir Habilidades Cognitivas Globales.

GRUPOS	F	t	gl	p(t)
F4-T6	0.58	7.44	3	0.005
F4-T5	0.37	5.86	3	0.0099
F7-C4	0.39	-7.42	3	0.0051
F7-P4	-0.1	-6.69	3	0.0068
F7-CZ	0.74	-17.85	3	0.0004

GRUPOS	F	t	gl	p(t)
C4-C3	0.68	5.97	3	0.0094
C4-T6	0.73	5.97	3	0.0094
C4-T5	0.68	10.1	3	0.0021
T5-CZ	0.65	-8.58	3	0.0033

Tabla 254. Resultados significativos de la prueba t de student aplicada a las 15 derivaciones en la Potencia Absoluta, banda Beta 1, durante la solución de las tareas de Comprensión, perteneciente a la prueba propuesta para medir Habilidades Cognitivas Globales.

GRUPOS	F	t	gl	p(t)
F7-T3	0.75	-6.02	3	0.0092

GRUPOS	F	t	gl	p(t)
F7-CZ	0.74	-13.66	3	0.0008

Tabla 255. Resultados significativos de la prueba t de student aplicada a las 15 derivaciones en la Potencia Absoluta, banda Beta 2, durante la solución de las tareas de Comprensión, perteneciente a la prueba propuesta para medir Habilidades Cognitivas Globales.

GRUPOS	F	t	gl	p(t)
T4-T5	0.61	7.03	3	0.0059

Tabla 256. Resultados significativos de la prueba t de student aplicada a las 15 derivaciones en la Potencia Absoluta, banda Gamma, durante la solución de las tareas de Comprensión, perteneciente a la prueba propuesta para medir Habilidades Cognitivas Globales.

GRUPOS	F	t	gl	p(t)
F4-T3	0.75	7.52	3	0.0049
F4-T6	0.74	6.67	3	0.0069
F4-T5	0.68	7.03	3	0.0059
F3-T3	0.75	6.57	3	0.0072
F3-T6	0.73	6.26	3	0.0082
F3-T5	0.68	6.69	3	0.0068
C4-C3	0.75	8.43	3	0.0035
C4-T3	0.73	7.11	3	0.0057
C4-T6	0.74	7.53	3	0.0049
C4-T5	0.62	6.26	3	0.0082
C3-T6	0.75	6.5	3	0.0074

GRUPOS	F	t	gl	p(t)
T4-T5	0.72	7.39	3	0.0051
T3-T6	0.75	5.96	3	0.0094
T3-CZ	0.73	-6.64	3	0.007
P4-T6	0.74	6.92	3	0.0062
P4-T5	0.65	6.54	3	0.0073
T6-O1	0.69	-7.02	3	0.0059
T6-CZ	0.74	-6.85	3	0.0064
T5-O1	0.67	-6.3	3	0.0081
T5-CZ	0.69	-7.56	3	0.0048
O2-O1	0.75	-7.16	3	0.0056

Tabla 257. Resultados significativos de la prueba t de student aplicada a las 15 derivaciones en la Potencia Absoluta, banda Total, durante la solución de las tareas de Comprensión, perteneciente a la prueba propuesta para medir Habilidades Cognitivas Globales.

GRUPOS	F	t	gl	p(t)
F4-T3	0.74	6.88	3	0.0063
F4-T6	0.72	9.09	3	0.0028
F4-T5	0.71	11.08	3	0.0016
F4-O2	0.71	7.02	3	0.0059
F3-T3	0.72	6.1	3	0.0088
F3-T6	0.73	9.24	3	0.0027
F3-T5	0.7	8.79	3	0.0031
F3-O2	0.72	8.11	3	0.0039
C4-T4	0.71	7.89	3	0.0042
C4-T3	0.71	9.2	3	0.0027
C4-T6	0.71	7.43	3	0.005
C4-T5	0.72	10.62	3	0.0018
C4-O2	0.74	8.45	3	0.0035
C3-T3	0.74	9.25	3	0.0027

GRUPOS	F	t	gl	p(t)
T4-P3	0.64	-6.35	3	0.0079
T4-CZ	0.63	-6.52	3	0.0073
T3-P4	0.75	-14.68	3	0.0007
T3-P3	0.75	-60.15	3	0.0001
T3-CZ	0.7	-11.9	3	0.0013
P4-T6	0.71	6.19	3	0.0085
P4-T5	0.71	8.1	3	0.0039
P3-T5	0.68	6.09	3	0.0089
T6-CZ	0.65	-5.94	3	0.0095
T5-O1	0.71	-7.83	3	0.0043
T5-CZ	0.75	-11.61	3	0.0014
O2-O1	0.75	-12.83	3	0.001
O2-CZ	0.7	-6.09	3	0.0089

Tabla 258. Resultados significativos de la prueba t de student aplicada a las 15 derivaciones en la Potencia Absoluta, banda Delta, durante la solución de las tareas de Solución de Problemas, perteneciente a la prueba propuesta para medir Habilidades Cognitivas Globales.

GRUPOS	F	t	gl	p(t)
F4-T4	0.72	7.53	3	0.0049
F4-T3	0.69	6.07	3	0.009
F4-T6	0.74	6.04	3	0.0091
F3-T3	0.68	8.84	3	0.0031
C4-T4	0.74	11.57	3	0.0014
C4-T3	0.68	6.05	3	0.009
C4-T6	0.75	7.9	3	0.0042

GRUPOS	F	t	gl	p(t)
C4-T5	0.66	6.6	3	0.0071
C3-T4	0.73	8.7	3	0.0032
C3-T3	0.7	6.03	3	0.0091
T4-CZ	0.73	-12.85	3	0.001
T3-CZ	0.65	-7.34	3	0.0052
T5-O1	0.74	-14.78	3	0.0007
T5-CZ	0.64	-6.11	3	0.0088

Tabla 259. Resultados significativos de la prueba t de student aplicada a las 15 derivaciones en la Potencia Absoluta, banda Theta 1, durante la solución de las tareas de Solución de Problemas, perteneciente a la prueba propuesta para medir Habilidades Cognitivas Globales.

GRUPOS	F	t	gl	p(t)
F4-T4	0.72	6.3	3	0.0081
F4-T3	0.69	8.67	3	0.0032
F4-T6	0.73	7.42	3	0.0051
F3-T3	0.65	5.89	3	0.0098
C4-T4	0.73	7.17	3	0.0056
C4-T3	0.7	9.62	3	0.0024
C4-T6	0.73	8.08	3	0.004
C3-T3	0.71	8.12	3	0.0039
C3-CZ	0.74	-7.59	3	0.0048

GRUPOS	F	t	gl	p(t)
T4-T6	0.75	7.72	3	0.0045
T3-P4	0.62	-6.85	3	0.0064
T3-P3	0.52	-6.32	3	0.008
T3-CZ	0.71	-13.08	3	0.001
P4-T6	0.67	7.09	3	0.0058
P4-T5	0.7	6.51	3	0.0074
T6-CZ	0.73	-6.17	3	0.0086
T5-O2	0.74	-6.33	3	0.008
T5-O1	0.74	-12.32	3	0.0012

Tabla 260. Resultados significativos de la prueba t de student aplicada a las 15 derivaciones en la Potencia Absoluta, banda Theta 2, durante la solución de las tareas de Solución de Problemas, perteneciente a la prueba propuesta para medir Habilidades Cognitivas Globales.

GRUPOS	F	t	gl	p(t)
F4-T3	0.71	7.08	3	0.0058
F4-T5	0.71	7.12	3	0.0057
F3-T5	0.72	7.04	3	0.0059
C4-T4	0.71	11.7	3	0.0013
C4-T3	0.7	12.58	3	0.0011
C4-T6	0.72	9.74	3	0.0023
C4-T5	0.5	5.96	3	0.0095
C3-T4	0.74	14.74	3	0.0007
C3-T3	0.7	10.16	3	0.002
C3-T6	0.72	7.47	3	0.005
C3-CZ	0.75	-9.5	3	0.0025

GRUPOS	F	t	gl	p(t)
T4-P4	0.74	-9.89	3	0.0022
T4-P3	0.68	-6.2	3	0.0084
T4-CZ	0.74	-18.11	3	0.0004
T3-P4	0.6	-6.42	3	0.0076
T3-O1	0.72	-8.73	3	0.0032
T3-CZ	0.66	-10.09	3	0.0021
T6-O1	0.71	-7.97	3	0.0041
T6-CZ	0.69	-7.94	3	0.0042
T5-O2	0.72	-6.37	3	0.0078
T5-O1	0.72	-11	3	0.0016
T5-CZ	0.5	-6.29	3	0.0081

Tabla 261. Resultados significativos de la prueba t de student aplicada a las 15 derivaciones en la Potencia Absoluta, banda Alfa 1, durante la solución de las tareas de Solución de Problemas, perteneciente a la prueba propuesta para medir Habilidades Cognitivas Globales.

GRUPOS	F	t	gl	p(t)
F7-P4	0.57	-6.82	3	0.0064

GRUPOS	F	t	gl	p(t)
T5-CZ	0.6	-6.12	3	0.0088

Tabla 262. Resultados significativos de la prueba t de student aplicada a las 15 derivaciones en la Potencia Absoluta, banda Alfa 2, durante la solución de las tareas de Solución de Problemas, perteneciente a la prueba propuesta para medir Habilidades Cognitivas Globales.

GRUPOS	F	t	gl	p(t)
F4-T5	0.68	9.53	3	0.0025
F7-CZ	0.62	-6.94	3	0.0061

GRUPOS	F	t	gl	p(t)
C4-T5	0.72	7.55	3	0.0048
C3-T5	0.72	10.82	3	0.0017

Tabla 263. Resultados significativos de la prueba t de student aplicada a las 15 derivaciones en la Potencia Absoluta, banda Beta 1, durante la solución de las tareas de Solución de Problemas, perteneciente a la prueba propuesta para medir Habilidades Cognitivas Globales.

GRUPOS	F	t	gl	p(t)
C4-T5	0.74	7.54	3	0.0048

Tabla 264. Resultados significativos de la prueba t de student aplicada a las 15 derivaciones en la Potencia Absoluta, banda Beta 2, durante la solución de las tareas de Solución de Problemas, perteneciente a la prueba propuesta para medir Habilidades Cognitivas Globales.

GRUPOS	F	t	gl	p(t)
T3-O1	0.75	8.28	3	0.0037

Tabla 265. Resultados significativos de la prueba t de student aplicada a las 15 derivaciones en la Potencia Absoluta, banda Gamma, durante la solución de las tareas de Solución de Problemas, perteneciente a la prueba propuesta para medir Habilidades Cognitivas Globales.

GRUPOS	F	t	gl	p(t)
F4-T6	0.72	8.18	3	0.0038
F4-T5	0.68	7.97	3	0.0041
F3-T4	0.73	8.78	3	0.0031
F3-T6	0.73	7.8	3	0.0044
C4-T6	0.73	8.1	3	0.0039
C4-T5	0.7	9.06	3	0.0028
C3-P4	0.74	-6.45	3	0.0075
C3-T5	0.68	6.03	3	0.0091

GRUPOS	F	t	gl	p(t)
C3-CZ	0.73	-6.22	3	0.0084
P4-T5	0.69	7.8	3	0.0044
T6-O1	0.74	-14.46	3	0.0007
T6-CZ	0.7	-6.27	3	0.0082
T5-O1	0.68	-6.44	3	0.0076
T5-CZ	0.73	-9	3	0.0029
O2-O1	0.75	-6.63	3	0.007

Tabla 266. Resultados significativos de la prueba t de student aplicada a las 15 derivaciones en la Potencia Absoluta, banda Total, durante la solución de las tareas de Solución de Problemas, perteneciente a la prueba propuesta para medir Habilidades Cognitivas Globales.

GRUPOS	F	t	gl	p(t)
F4-T3	0.73	7.42	3	0.0051
F4-T5	0.69	9.81	3	0.0022
F4-O2	0.74	16.68	3	0.0005
F4-O1	0.74	6.67	3	0.0069
F3-T4	0.75	18.48	3	0.0003
F3-T3	0.74	12.58	3	0.0011
F3-T5	0.67	8.65	3	0.0033
F3-O2	0.74	10.72	3	0.0017
F3-O1	0.73	7.54	3	0.0048
C4-T4	0.71	9.94	3	0.0022
C4-T3	0.65	6.11	3	0.0088
C4-T6	0.75	7.68	3	0.0046
C4-T5	0.66	8.79	3	0.0031
C4-O2	0.68	7.46	3	0.005

GRUPOS	F	t	gl	p(t)
C3-T4	0.75	8.9	3	0.003
C3-T3	0.72	14.27	3	0.0007
C3-T5	0.67	6.85	3	0.0064
C3-O2	0.73	6.09	3	0.0089
T4-P4	0.68	-7.62	3	0.0047
T4-O1	0.73	-7.37	3	0.0052
T4-CZ	0.64	-6.43	3	0.0076
T3-P4	0.62	-6.99	3	0.006
T3-CZ	0.56	-6.44	3	0.0076
P4-T5	0.6	6.65	3	0.0069
T5-O1	0.72	-9.1	3	0.0028
T5-CZ	0.71	-10.91	3	0.0016
O2-O1	0.75	-10.16	3	0.002
O2-CZ	0.66	-6.46	3	0.0075

Tabla 267. Resultados significativos de la prueba t de student aplicada a las 15 derivaciones en la Potencia Absoluta, banda Delta, durante la solución de las tareas de Procesos Aritméticos, perteneciente a la prueba propuesta para medir Habilidades Cognitivas Globales.

GRUPOS	F	t	gl	p(t)
F4-C4	0.75	-11.24	3	0.0015
F4-T4	0.74	10.35	3	0.0019
F4-T3	0.75	13.94	3	0.0008
F4-T5	0.73	6.36	3	0.0079
F4-CZ	0.75	-21.34	3	0.0002
F3-T4	0.75	13.95	3	0.0008
F3-T3	0.74	20.96	3	0.0002
C4-T4	0.74	11.82	3	0.0013
C4-T3	0.75	13.36	3	0.0009
C4-T6	0.73	6.52	3	0.0073
C4-T5	0.73	7.96	3	0.0041
C3-T4	0.74	11.09	3	0.0016
C3-T3	0.75	26.52	3	0.0001
C3-T5	0.73	6.03	3	0.0091

GRUPOS	F	t	gl	p(t)
C3-CZ	0.75	-9.4	3	0.0025
T4-P4	0.74	-11.58	3	0.0014
T4-P3	0.75	-25.43	3	0.0001
T4-CZ	0.74	-19.12	3	0.0003
T3-P4	0.74	-11.44	3	0.0014
T3-P3	0.73	-12	3	0.0012
T3-CZ	0.75	-23.27	3	0.0002
P4-T6	0.74	7.13	3	0.0057
P4-T5	0.71	7.3	3	0.0053
P3-T5	0.7	6.22	3	0.0084
T6-CZ	0.72	-6.31	3	0.008
T5-O1	0.74	-12.75	3	0.001
T5-CZ	0.73	-8.28	3	0.0037
O2-O1	0.75	-8.11	3	0.0039

Tabla 268. Resultados significativos de la prueba t de student aplicada a las 15 derivaciones en la Potencia Absoluta, banda Theta 1, durante la solución de las tareas de Procesos Aritméticos, perteneciente a la prueba propuesta para medir Habilidades Cognitivas Globales.

GRUPOS	F	t	gl	p(t)
F4-T4	0.74	9.52	3	0.0025
F4-T6	0.73	7.97	3	0.0041
F4-T5	0.71	7.61	3	0.0047
F3-T4	0.73	6.21	3	0.0084
F3-T3	0.66	7.06	3	0.0058
F3-P4	0.75	-11.41	3	0.0014
F3-CZ	0.74	-8.56	3	0.0034
F7-C3	0.7	-6.21	3	0.0084
C4-T4	0.74	12.99	3	0.001
C4-T3	0.72	9.49	3	0.0025
C4-T6	0.7	5.98	3	0.0094
C4-T5	0.7	7.1	3	0.0057
C3-T4	0.75	16.43	3	0.0005

GRUPOS	F	t	gl	p(t)
C3-T3	0.73	11.51	3	0.0014
C3-T5	0.73	8.13	3	0.0039
T4-P4	0.73	-7.77	3	0.0044
T4-CZ	0.73	-10.22	3	0.002
T3-P4	0.64	-8.16	3	0.0038
T3-P3	0.58	-6.52	3	0.0073
T3-CZ	0.69	-11.2	3	0.0015
P4-T6	0.74	6.1	3	0.0088
P4-T5	0.71	6.56	3	0.0072
T6-CZ	0.71	-6.19	3	0.0085
T5-CZ	0.69	-6.88	3	0.0063
O2-O1	0.75	-13.4	3	0.0009

Tabla 269. Resultados significativos de la prueba t de student aplicada a las 15 derivaciones en la Potencia Absoluta, banda Theta 2, durante la solución de las tareas de Procesos Aritméticos, perteneciente a la prueba propuesta para medir Habilidades Cognitivas Globales.

GRUPOS	F	t	gl	p(t)
F4-T4	0.72	6.48	3	0.0075
F4-T3	0.73	12.49	3	0.0011
F4-T6	0.71	8.32	3	0.0036
F4-T5	0.74	14.59	3	0.0007
F3-T4	0.74	9.16	3	0.0028
F3-T3	0.71	9.21	3	0.0027
F3-T6	0.75	11.96	3	0.0013
F3-T5	0.68	6.46	3	0.0075
F7-C4	0.63	-6.87	3	0.0063
F7-O2	0.75	-8.35	3	0.0036
F7-O1	0.74	-12.44	3	0.0011
C4-T4	0.72	9.61	3	0.0024
C4-T3	0.74	23.12	3	0.0002
C4-T6	0.68	8.71	3	0.0032
C4-T5	0.65	8.13	3	0.0039

GRUPOS	F	t	gl	p(t)
C3-T4	0.72	7.12	3	0.0057
C3-T3	0.7	8.25	3	0.0037
C3-T6	0.7	8.63	3	0.0033
C3-CZ	0.75	-6.2	3	0.0084
T4-P3	0.72	-6.94	3	0.0061
T4-T6	0.74	7.2	3	0.0055
T4-CZ	0.72	-10.19	3	0.002
T3-P4	0.7	-9.94	3	0.0022
T3-P3	0.68	-9.97	3	0.0021
T3-CZ	0.7	-12.94	3	0.001
P4-T6	0.74	6.82	3	0.0064
P3-T6	0.72	8.23	3	0.0038
T6-CZ	0.7	-9.88	3	0.0022
T5-O1	0.71	-8.55	3	0.0034
T5-CZ	0.57	-6.26	3	0.0082

Tabla 270. Resultados significativos de la prueba t de student aplicada a las 15 derivaciones en la Potencia Absoluta, banda Alfa 1, durante la solución de las tareas de Procesos Aritméticos, perteneciente a la prueba propuesta para medir Habilidades Cognitivas Globales.

GRUPOS	F	t	gl	p(t)
F4-T3	0.73	6.79	3	0.0065
F4-T6	0.74	7.8	3	0.0044
F3-T3	0.73	8.25	3	0.0037
F3-T6	0.74	9.91	3	0.0022
F7-O1	0.63	-5.83	3	0.01
C3-T5	0.55	7.46	3	0.005
C3-CZ	0.74	-6.85	3	0.0064

GRUPOS	F	t	gl	p(t)
P4-T5	0.5	8.18	3	0.0038
P3-T6	0.68	5.97	3	0.0094
P3-T5	0.66	12.79	3	0.001
T6-O1	0.67	-6.73	3	0.0067
T6-CZ	0.75	-5.96	3	0.0094
T5-CZ	0.61	-10.61	3	0.0018

Tabla 271. Resultados significativos de la prueba t de student aplicada a las 15 derivaciones en la Potencia Absoluta, banda Alfa 2, durante la solución de las tareas de Procesos Aritméticos, perteneciente a la prueba propuesta para medir Habilidades Cognitivas Globales.

GRUPOS	F	t	gl	p(t)
F4-T6	0.71	9.05	3	0.0029
C4-T5	0.61	7.93	3	0.0042

GRUPOS	F	t	gl	p(t)
P4-T5	0.43	7.67	3	0.0046
T5-CZ	0.7	-13.16	3	0.0009

Tabla 272. Resultados significativos de la prueba t de student aplicada a las 15 derivaciones en la Potencia Absoluta, banda Beta 1, durante la solución de las tareas de Procesos Aritméticos, perteneciente a la prueba propuesta para medir Habilidades Cognitivas Globales.

GRUPOS	F	t	gl	p(t)
P4-P3	0.75	13	3	0.001

Tabla 273. Resultados significativos de la prueba t de student aplicada a las 15 derivaciones en la Potencia Absoluta, banda Beta 2, durante la solución de las tareas de Procesos Aritméticos, perteneciente a la prueba propuesta para medir Habilidades Cognitivas Globales.

GRUPOS	F	t	gl	p(t)
F4-T4	0.74	11.42	3	0.0014
F4-T3	0.75	31.38	3	0.0001
F4-T6	0.74	7.96	3	0.0041
F4-T5	0.69	8.71	3	0.0032
F3-T4	0.71	7.21	3	0.0055
F3-T3	0.73	13.85	3	0.0008
F3-T6	0.74	7.73	3	0.0045
F3-T5	0.63	6.76	3	0.0066
C4-T4	0.75	18.36	3	0.0004
C4-T3	0.74	16.56	3	0.0005
C4-T6	0.75	8.57	3	0.0033
C4-T5	0.69	9.58	3	0.0024
C3-T4	0.74	6.37	3	0.0078

GRUPOS	F	t	gl	p(t)
C3-T3	0.75	11.46	3	0.0014
C3-T5	0.69	7.3	3	0.0053
T4-P4	0.74	-8.22	3	0.0038
T4-CZ	0.75	-12.29	3	0.0012
T3-P4	0.72	-9.25	3	0.0027
T3-O1	0.72	-6.42	3	0.0077
T3-CZ	0.72	-10.87	3	0.0017
P4-T6	0.75	6.45	3	0.0075
P4-T5	0.67	7.55	3	0.0048
T6-CZ	0.74	-6.96	3	0.0061
T5-O1	0.69	-7.79	3	0.0044
T5-CZ	0.71	-10.54	3	0.0018

Tabla 274. Resultados significativos de la prueba t de student aplicada a las 15 derivaciones en la Potencia Absoluta, banda Total, durante la solución de las tareas de Procesos Aritméticos, perteneciente a la prueba propuesta para medir Habilidades Cognitivas Globales.

GRUPOS	F	t	gl	p(t)
F4-T4	0.61	7.53	3	0.0049
F4-T3	0.65	8.62	3	0.0033
F4-T6	0.65	7.66	3	0.0046
F4-T5	0.6	7.9	3	0.0042
F4-O2	0.7	6.55	3	0.0072
F3-T3	0.68	6.22	3	0.0084
F3-T6	0.65	8.28	3	0.0037
C4-T4	0.71	11.83	3	0.0013
C4-T3	0.74	13.01	3	0.001
C4-T6	0.74	7.22	3	0.0055
C4-T5	0.57	5.96	3	0.0094
C3-T4	0.71	7.7	3	0.0045
C3-T3	0.74	19.23	3	0.0003
C3-T6	0.74	8.06	3	0.004

GRUPOS	F	t	gl	p(t)
C3-CZ	0.73	-7.2	3	0.0055
T4-P4	0.69	-8.58	3	0.0033
T4-P3	0.73	-16.71	3	0.0005
T4-CZ	0.66	-9.81	3	0.0022
T3-P4	0.72	-12.4	3	0.0011
T3-P3	0.74	-18.07	3	0.0004
T3-CZ	0.7	-12.17	3	0.0012
P4-T6	0.73	8.17	3	0.0038
P3-T6	0.72	8.1	3	0.0039
T6-CZ	0.71	-8.71	3	0.0032
T5-O1	0.67	-6.57	3	0.0072
T5-CZ	0.62	-8.6	3	0.0033
O2-O1	0.74	-10.22	3	0.002
O2-CZ	0.7	-6.23	3	0.0083

Tabla 275. Resultados significativos de la prueba t de student aplicada a las 15 derivaciones en la Potencia Absoluta, banda Delta, durante la solución de las tareas de Toma de Decisiones, perteneciente a la prueba propuesta para medir Habilidades Cognitivas Globales.

GRUPOS	F	t	gl	p(t)
F4-T4	0.68	6.45	3	0.0076
F4-T3	0.71	7.33	3	0.0052
F3-T4	0.68	7	3	0.006
F3-T3	0.71	8.45	3	0.0035
C4-T4	0.7	6.77	3	0.0066
C4-T3	0.75	11.27	3	0.0015
C3-T3	0.73	7.21	3	0.0055
C3-CZ	0.75	-7.02	3	0.0059
T4-P4	0.64	-6.52	3	0.0073

GRUPOS	F	t	gl	p(t)
T4-P3	0.56	-5.95	3	0.0095
T4-CZ	0.71	-8.47	3	0.0035
T3-P4	0.7	-8.83	3	0.0031
T3-P3	0.68	-8.87	3	0.003
T3-CZ	0.73	-10.16	3	0.002
T6-CZ	0.75	-6.66	3	0.0069
T5-O2	0.75	-7.18	3	0.0056
T5-O1	0.75	-9.48	3	0.0025
O2-O1	0.75	-11.42	3	0.0014

Tabla 276. Resultados significativos de la prueba t de student aplicada a las 15 derivaciones en la Potencia Absoluta, banda Theta 1, durante la solución de las tareas de Toma de Decisiones, perteneciente a la prueba propuesta para medir Habilidades Cognitivas Globales.

GRUPOS	F	t	gl	p(t)
F4-T4	0.73	7.37	3	0.0052
F4-T3	0.65	5.92	3	0.0096
F4-T6	0.66	6.38	3	0.0078
F3-T4	0.73	6.33	3	0.008
F3-T3	0.72	8.96	3	0.0029
F3-T6	0.74	14.28	3	0.0007
C4-T4	0.75	20.18	3	0.0003
C4-T3	0.73	14.29	3	0.0007
C4-T6	0.71	8.21	3	0.0038
C3-T4	0.69	6.13	3	0.0087
C3-T3	0.7	7.6	3	0.0047

GRUPOS	F	t	gl	p(t)
C3-T6	0.74	8.82	3	0.0031
T4-CZ	0.74	-11.85	3	0.0013
T3-P4	0.58	-6.49	3	0.0074
T3-P3	0.59	-5.86	3	0.0099
T3-CZ	0.7	-11.39	3	0.0015
P4-T6	0.67	6.94	3	0.0061
P3-T6	0.69	6.93	3	0.0062
T6-CZ	0.72	-11.42	3	0.0014
T5-O2	0.74	-6.28	3	0.0081
T5-O1	0.74	-10.02	3	0.0021
O2-O1	0.75	-12.34	3	0.0011

Tabla 277. Resultados significativos de la prueba t de student aplicada a las 15 derivaciones en la Potencia Absoluta, banda Theta 2, durante la solución de las tareas de Toma de Decisiones, perteneciente a la prueba propuesta para medir Habilidades Cognitivas Globales.

GRUPOS	F	t	gl	p(t)
F4-T3	0.75	8.61	3	0.0033
F4-P3	0.73	-5.98	3	0.0093
F3-T4	0.74	11.25	3	0.0015
F3-T3	0.75	21.17	3	0.0002
F3-T6	0.72	6.84	3	0.0064
C4-T4	0.74	8.59	3	0.0033
C4-T6	0.72	12.59	3	0.0011
C3-T4	0.74	10.99	3	0.0016
C3-T3	0.69	5.87	3	0.0099
C3-T6	0.73	11.36	3	0.0015
T4-P4	0.71	-7.51	3	0.0049

GRUPOS	F	t	gl	p(t)
T4-P3	0.75	-9.81	3	0.0022
T4-CZ	0.75	-27.09	3	0.0001
T3-P4	0.65	-7.04	3	0.0059
T3-P3	0.73	-17.17	3	0.0004
T3-CZ	0.71	-9.85	3	0.0022
P4-T6	0.7	6.49	3	0.0074
P3-T6	0.71	6.76	3	0.0066
P3-T5	0.62	6.28	3	0.0082
T6-CZ	0.74	-12.75	3	0.001
T5-O1	0.71	-8.21	3	0.0038

Tabla 278. Resultados significativos de la prueba t de student aplicada a las 15 derivaciones en la Potencia Absoluta, banda Alfa 1, durante la solución de las tareas de Toma de Decisiones, perteneciente a la prueba propuesta para medir Habilidades Cognitivas Globales.

GRUPOS	F	t	gl	p(t)
F4-T5	0.64	7.26	3	0.0054
F3-T6	0.7	10.79	3	0.0017
F7-CZ	0.63	-6.85	3	0.0064
C3-T4	0.7	8.17	3	0.0038
C3-T6	0.71	8.69	3	0.0032

GRUPOS	F	t	gl	p(t)
T4-CZ	0.59	-7.41	3	0.0051
P3-T6	0.44	6.29	3	0.0081
T6-CZ	0.61	-7	3	0.006
T5-CZ	0.71	-9.65	3	0.0024

Tabla 279. Resultados significativos de la prueba t de student aplicada a las 15 derivaciones en la Potencia Absoluta, banda Alfa 2, durante la solución de las tareas de Toma de Decisiones, perteneciente a la prueba propuesta para medir Habilidades Cognitivas Globales.

GRUPOS	F	t	gl	p(t)
F4-T6	0.56	7.9	3	0.0042
C4-T6	0.72	10.72	3	0.0017

GRUPOS	F	t	gl	p(t)
T6-CZ	0.67	-6.27	3	0.0082
T5-CZ	0.58	-6.12	3	0.0088

Tabla 280. Resultados significativos de la prueba t de student aplicada a las 15 derivaciones en la Potencia Absoluta, banda Beta 1, durante la solución de las tareas de Toma de Decisiones, perteneciente a la prueba propuesta para medir Habilidades Cognitivas Globales.

GRUPOS	F	t	gl	p(t)
F4-C4	0.65	7.34	3	0.0052
F4-C3	0.49	6.57	3	0.0072

GRUPOS	F	t	gl	p(t)
F4-T6	0.42	6.12	3	0.0088

Tabla 281. Resultados significativos de la prueba t de student aplicada a las 15 derivaciones en la Potencia Absoluta, banda Beta 2, durante la solución de las tareas de Toma de Decisiones, perteneciente a la prueba propuesta para medir Habilidades Cognitivas Globales.

GRUPOS	F	t	gl	p(t)
F4-C4	0.67	7.4	3	0.0051
F4-C3	0.69	10.33	3	0.0019

GRUPOS	F	t	gl	p(t)
C4-C3	0.75	9.43	3	0.0025

Tabla 282. Resultados significativos de la prueba t de student aplicada a las 15 derivaciones en la Potencia Absoluta, banda Gamma, durante la solución de las tareas de Toma de Decisiones, perteneciente a la prueba propuesta para medir Habilidades Cognitivas Globales.

GRUPOS	F	t	gl	p(t)
F4-T4	0.65	5.92	3	0.0096
F4-T3	0.73	7.88	3	0.0043
F4-T6	0.72	7.27	3	0.0054
F4-T5	0.6	6.01	3	0.0092
F3-T6	0.7	9.35	3	0.0026
C4-T3	0.74	8.43	3	0.0035
C4-T6	0.75	8.39	3	0.0035
C4-CZ	0.75	-7.08	3	0.0058
C3-T3	0.72	6.09	3	0.0089
C3-T6	0.75	8.38	3	0.0036

GRUPOS	F	t	gl	p(t)
C3-CZ	0.74	-7.79	3	0.0044
T4-P4	0.69	-7.26	3	0.0054
T4-P3	0.67	-6.86	3	0.0063
T3-CZ	0.74	-12.32	3	0.0012
P4-T6	0.73	7.06	3	0.0059
P3-T6	0.73	6.78	3	0.0066
T6-CZ	0.73	-9.58	3	0.0024
T5-O1	0.66	-6.63	3	0.007
T5-CZ	0.6	-6.52	3	0.0073
O2-O1	0.75	-12.69	3	0.0011

Tabla 283. Resultados significativos de la prueba t de student aplicada a las 15 derivaciones en la Potencia Absoluta, banda Total, durante la solución de las tareas de Toma de Decisiones, perteneciente a la prueba propuesta para medir Habilidades Cognitivas Globales.

GRUPOS	F	t	gl	p(t)
F4-T5	0.7	6.96	3	0.0061
F3-T5	0.68	8.06	3	0.004
C4-T4	0.67	13.46	3	0.0009
C4-T3	0.73	15.28	3	0.0006
C4-T6	0.68	8.65	3	0.0033
T4-P4	0.71	-7.6	3	0.0047
T4-P3	0.6	-10.6	3	0.0018
T4-CZ	0.34	-8.48	3	0.0034

GRUPOS	F	t	gl	p(t)
T3-P4	0.75	-5.89	3	0.0098
T3-P3	0.72	-9.37	3	0.0026
T3-CZ	0.49	-7.48	3	0.0049
P4-T6	0.74	18.66	3	0.0003
P3-T6	0.66	6.29	3	0.0081
T6-CZ	0.35	-5.9	3	0.0097
O2-O1	0.73	-9.37	3	0.0026

Tabla 284. Resultados significativos de la prueba t de student aplicada a las 15 derivaciones en la Potencia Absoluta, banda Delta, durante la solución de las tareas de Abstracción, perteneciente a la prueba propuesta para medir Habilidades Cognitivas Globales.

GRUPOS	F	t	gl	p(t)
O2-O1	0.74	-9.44	3	0.0025

Tabla 285. Resultados significativos de la prueba t de student aplicada a las 15 derivaciones en la Potencia Absoluta, banda Theta 1, durante la solución de las tareas de Abstracción, perteneciente a la prueba propuesta para medir Habilidades Cognitivas Globales.

GRUPOS	F	t	gl	p(t)
C4-T4	0.57	7.59	3	0.0047
T4-CZ	0.63	-7.04	3	0.0059

GRUPOS	F	t	gl	p(t)
T3-CZ	0.54	-6.26	3	0.0082
P3-T6	0.68	7.06	3	0.0058

Tabla 286. Resultados significativos de la prueba t de student aplicada a las 15 derivaciones en la Potencia Absoluta, banda Theta 2, durante la solución de las tareas de Abstracción, perteneciente a la prueba propuesta para medir Habilidades Cognitivas Globales.

GRUPOS	F	t	gl	P(t)
F4-T3	0.74	12.27	3	0.0012
F3-T5	0.23	6.96	3	0.0061
C4-T3	0.68	6.33	3	0.008

GRUPOS	F	t	gl	P(t)
C3-T4	0.6	6	3	0.0093
C3-T5	0.35	6.01	3	0.0092

Tabla 287. Resultados significativos de la prueba t de student aplicada a las 15 derivaciones en la Potencia Absoluta, banda Alfa 1, durante la solución de las tareas de Abstracción, perteneciente a la prueba propuesta para medir Habilidades Cognitivas Globales.

GRUPOS	F	t	gl	P(t)
T3-CZ	0.72	-6.99	3	0.006

GRUPOS	F	t	gl	P(t)
T5-O2	0.6	-7.31	3	0.0053

Tabla 288. Resultados significativos de la prueba t de student aplicada a las 15 derivaciones en la Potencia Absoluta, banda Alfa 2, durante la solución de las tareas de Abstracción, perteneciente a la prueba propuesta para medir Habilidades Cognitivas Globales.

GRUPOS	F	t	gl	P(t)
F4-T6	-0.65	6.28	3	0.0081

GRUPOS	F	t	gl	P(t)
F4-T5	-0.66	6.58	3	0.0071

Tabla 289. Resultados significativos de la prueba t de student aplicada a las 15 derivaciones en la Potencia Absoluta, banda Beta 1, durante la solución de las tareas de Abstracción, perteneciente a la prueba propuesta para medir Habilidades Cognitivas Globales.

GRUPOS	F	t	gl	P(t)
F3-T5	0.5	6.55	3	0.0072
F7-T5	0.7	5.89	3	0.0098
C4-T4	0.74	7.74	3	0.0045
C4-T6	0.53	6.05	3	0.0091
T4-P4	0.73	-10.29	3	0.002

GRUPOS	F	t	gl	P(t)
T4-P3	0.74	-13.81	3	0.0008
T4-CZ	0.74	-12.62	3	0.0011
P4-T6	0.57	6.92	3	0.0062
T6-CZ	0.4	-6.15	3	0.0087
O2-O1	0.74	-10.25	3	0.002

Tabla 290. Resultados significativos de la prueba t de student aplicada a las 15 derivaciones en la Potencia Absoluta, banda Total, durante la solución de las tareas de Abstracción, perteneciente a la prueba propuesta para medir Habilidades Cognitivas Globales.

GRUPOS	F	t	gl	p(t)
F4-T4	0.68	7.46	3	0.005
F3-T3	0.73	6.22	3	0.0084
F3-T5	0.74	5.95	3	0.0095
F3-CZ	0.75	-12.43	3	0.0011
C4-T4	0.65	6.53	3	0.0073
C4-T3	0.72	6.2	3	0.0084
C4-T5	0.74	9.56	3	0.0024
C4-O2	0.71	5.94	3	0.0095
C3-T3	0.7	6.98	3	0.006
T4-P4	0.67	-7.15	3	0.0056

GRUPOS	F	t	gl	p(t)
T4-P3	0.57	-6.52	3	0.0073
T3-P4	0.7	-5.83	3	0.01
T3-P3	0.69	-8.13	3	0.0039
T3-CZ	0.71	-8.46	3	0.0035
P4-T6	0.72	6.47	3	0.0075
P4-T5	0.67	6.86	3	0.0063
T5-O1	0.72	-7.14	3	0.0057
T5-CZ	0.72	-7.93	3	0.0042
O2-O1	0.75	-11.8	3	0.0013

Tabla 291. Resultados significativos de la prueba t de student aplicada a las 15 derivaciones en la Potencia Absoluta, banda Delta, durante la solución de las tareas de Síntesis, perteneciente a la prueba propuesta para medir Habilidades Cognitivas Globales.

GRUPOS	F	t	gl	p(t)
F4-T3	0.71	8.22	3	0.0038
F4-CZ	0.74	-9.64	3	0.0024
F3-T3	0.73	17.47	3	0.0004
C4-T4	0.69	7.05	3	0.0059
C4-T3	0.7	7.64	3	0.0046
C3-T3	0.68	9.21	3	0.0027
T4-P4	0.73	-11.59	3	0.0014

GRUPOS	F	t	gl	p(t)
T4-P3	0.74	-13.91	3	0.0008
T4-CZ	0.72	-11.97	3	0.0013
T3-P3	0.74	-15.18	3	0.0006
T3-CZ	0.7	-10.09	3	0.0021
T5-O1	0.74	-8.76	3	0.0031
O2-O1	0.75	-21.06	3	0.0002

Tabla 292. Resultados significativos de la prueba t de student aplicada a las 15 derivaciones en la Potencia Absoluta, banda Theta 1, durante la solución de las tareas de Síntesis, perteneciente a la prueba propuesta para medir Habilidades Cognitivas Globales.

GRUPOS	F	t	gl	p(t)
F4-T3	0.72	10.88	3	0.0017
F3-T3	0.68	7.68	3	0.0046
C4-T3	0.73	12.36	3	0.0011
C3-T3	0.7	8.04	3	0.004
T3-P4	0.7	-10.83	3	0.0017

GRUPOS	F	t	gl	p(t)
T3-P3	0.57	-6.37	3	0.0078
T3-CZ	0.55	-5.91	3	0.0097
T5-O2	0.74	-7.21	3	0.0055
T5-O1	0.7	-5.95	3	0.0095

Tabla 293. Resultados significativos de la prueba t de student aplicada a las 15 derivaciones en la Potencia Absoluta, banda Theta 2, durante la solución de las tareas de Síntesis, perteneciente a la prueba propuesta para medir Habilidades Cognitivas Globales.

GRUPOS	F	t	gl	p(t)
F4-T4	0.74	8.44	3	0.0035
F4-T3	0.72	10.22	3	0.002
F3-T3	0.72	13.58	3	0.0009
F3-T5	0.7	6.25	3	0.0083
F7-C4	0.65	-6.77	3	0.0066
C4-T3	0.6	8.17	3	0.0038
C3-T3	0.63	8.48	3	0.0034
T4-P3	0.71	-9.88	3	0.0022

GRUPOS	F	t	gl	p(t)
T4-CZ	0.65	-7.24	3	0.0054
T3-P4	0.74	-32.98	3	0.0001
T3-P3	0.7	-10.81	3	0.0017
T3-CZ	0.69	-13.28	3	0.0009
P4-T5	0.68	6.35	3	0.0079
P3-T6	0.75	9.88	3	0.0022
P3-T5	0.65	7.66	3	0.0046

Tabla 294. Resultados significativos de la prueba t de student aplicada a las 15 derivaciones en la Potencia Absoluta, banda Alfa 1, durante la solución de las tareas de Síntesis, perteneciente a la prueba propuesta para medir Habilidades Cognitivas Globales.

GRUPOS	F	t	gl	p(t)
F4-T4	0.7	7.05	3	0.0059
F4-T5	0.55	6.47	3	0.0075
F3-T5	0.61	7.23	3	0.0054

GRUPOS	F	t	gl	p(t)
T4-CZ	0.74	-6.31	3	0.0081
P4-T5	0.64	7.44	3	0.005
T5-CZ	0.38	-6.36	3	0.0079

Tabla 295. Resultados significativos de la prueba t de student aplicada a las 15 derivaciones en la Potencia Absoluta, banda Alfa 2, durante la solución de las tareas de Síntesis, perteneciente a la prueba propuesta para medir Habilidades Cognitivas Globales.

GRUPOS	F	t	gl	p(t)
F4-T6	0.67	9.91	3	0.0022
F3-T6	0.72	8.45	3	0.0035
F7-C4	0.44	-6.07	3	0.009
F7-T5	0.74	-9.95	3	0.0022

GRUPOS	F	t	gl	p(t)
F7-CZ	0.69	-11.57	3	0.0014
T4-T6	0.73	9.64	3	0.0024
T3-T6	0.73	6.09	3	0.0089
T5-CZ	0.66	-6.02	3	0.0092

Tabla 296. Resultados significativos de la prueba t de student aplicada a las 15 derivaciones en la Potencia Absoluta, banda Beta 1, durante la solución de las tareas de Síntesis, perteneciente a la prueba propuesta para medir Habilidades Cognitivas Globales.

GRUPOS	F	t	gl	p(t)
F7-CZ	0.75	-32.43	3	0.0001

Tabla 297. Resultados significativos de la prueba t de student aplicada a las 15 derivaciones en la Potencia Absoluta, banda Beta 2, durante la solución de las tareas de Síntesis, perteneciente a la prueba propuesta para medir Habilidades Cognitivas Globales.

GRUPOS	F	t	gl	p(t)
C3-T3	0.75	-5.95	3	0.0095

Tabla 298. Resultados significativos de la prueba t de student aplicada a las 15 derivaciones en la Potencia Absoluta, banda Gamma, durante la solución de las tareas de Síntesis, perteneciente a la prueba propuesta para medir Habilidades Cognitivas Globales.

GRUPOS	F	t	gl	p(t)
F4-T3	0.67	5.92	3	0.0096
F3-T4	0.72	8.93	3	0.003
F3-T3	0.73	11.7	3	0.0013
C4-T3	0.67	6.92	3	0.0062
C4-T5	0.73	7.2	3	0.0055
C3-T4	0.74	6.65	3	0.0069

GRUPOS	F	t	gl	p(t)
C3-T3	0.75	11.89	3	0.0013
T4-P4	0.71	-8.86	3	0.003
T4-P3	0.72	-8.99	3	0.0029
T3-CZ	0.6	-5.89	3	0.0098
P4-T5	0.69	6.42	3	0.0077
T5-CZ	0.74	-8.07	3	0.004

Tabla 299. Resultados significativos de la prueba t de student aplicada a las 15 derivaciones en la Potencia Absoluta, banda Total, durante la solución de las tareas de Síntesis, perteneciente a la prueba propuesta para medir Habilidades Cognitivas Globales.

GRUPOS	F	t	gl	p(t)
F7-C4	0.61	-5.96	3	0.0094
F7-CZ	0.69	-7.01	3	0.006
C4-T4	0.56	8.62	3	0.0033
C4-P3	0.75	8.8	3	0.0031
C4-T6	0.69	7.49	3	0.0049
T4-P3	0.51	-6.15	3	0.0086

GRUPOS	F	t	gl	p(t)
T4-CZ	0.73	-26.07	3	0.0001
T3-CZ	0.23	-7.65	3	0.0046
P4-T6	0.74	12.35	3	0.0011
P4-O2	0.73	7.02	3	0.0059
P3-T6	0.66	5.87	3	0.0099
O2-O1	0.73	-7.3	3	0.0053

Tabla 300. Resultados significativos de la prueba t de student aplicada a las 15 derivaciones en la Potencia Absoluta, banda Delta, durante la solución de las tareas de Sensibilidad Gramatical, perteneciente a la prueba propuesta para medir Habilidades Cognitivas Globales.

GRUPOS	F	t	gl	p(t)
F4-T6	0.71	7.87	3	0.0043
F7-C3	0.73	-17.16	3	0.0004
F7-P3	0.7	-13.65	3	0.0009
C4-T4	0.74	8.31	3	0.0037
C4-T6	0.74	14.53	3	0.0007

GRUPOS	F	t	gl	p(t)
C4-T5	0.74	7	3	0.006
T3-P3	0.71	-12.77	3	0.001
T6-O1	0.74	-14.96	3	0.0006
T6-CZ	0.73	-8.13	3	0.0039
T5-O1	0.75	-8.59	3	0.0033

Tabla 301. Resultados significativos de la prueba t de student aplicada a las 15 derivaciones en la Potencia Absoluta, banda Theta 1, durante la solución de las tareas de Sensibilidad Gramatical, perteneciente a la prueba propuesta para medir Habilidades Cognitivas Globales.

GRUPOS	F	t	gl	p(t)
F7-C3	0.75	-21.03	3	0.0002
F7-P3	0.75	-23.54	3	0.0002
F7-CZ	0.65	-8.48	3	0.0034
C4-T4	0.73	6.68	3	0.0069

GRUPOS	F	t	gl	p(t)
C3-P3	0.75	-7.81	3	0.0044
T3-P3	0.58	-6.04	3	0.0091
O2-CZ	0.73	-5.86	3	0.0099

Tabla 302. Resultados significativos de la prueba t de student aplicada a las 15 derivaciones en la Potencia Absoluta, banda Theta 2, durante la solución de las tareas de Sensibilidad Gramatical, perteneciente a la prueba propuesta para medir Habilidades Cognitivas Globales.

GRUPOS	F	t	gl	p(t)
F3-T3	0.74	16.23	3	0.0005
F3-P4	0.75	12.82	3	0.001
F3-T5	0.75	8.84	3	0.003
T3-P4	0.74	-6.73	3	0.0067

GRUPOS	F	t	gl	p(t)
T3-CZ	0.71	-7.72	3	0.0045
P4-CZ	0.72	-6.85	3	0.0064
O2-O1	0.74	-5.92	3	0.0096

Tabla 303. Resultados significativos de la prueba t de student aplicada a las 15 derivaciones en la Potencia Absoluta, banda Alfa 1, durante la solución de las tareas de Sensibilidad Gramatical, perteneciente a la prueba propuesta para medir Habilidades Cognitivas Globales.

GRUPOS	F	t	gl	p(t)
F3-F7	0.45	6.16	3	0.0086
F3-T5	0.59	6.83	3	0.0064

GRUPOS	F	t	gl	p(t)
T4-P4	0.71	-7.27	3	0.0054
P4-T5	0.71	6.28	3	0.0082

Tabla 304. Resultados significativos de la prueba t de student aplicada a las 15 derivaciones en la Potencia Absoluta, banda Alfa 2, durante la solución de las tareas de Sensibilidad Gramatical, perteneciente a la prueba propuesta para medir Habilidades Cognitivas Globales.

GRUPOS	F	t	gl	p(t)
F3-T6	0.7	7.13	3	0.0057
F7-C4	0.5	-7.76	3	0.0044
F7-P4	0.72	-9.01	3	0.0029

GRUPOS	F	t	gl	p(t)
F7-P3	0.68	-9.13	3	0.0028
F7-T5	0.71	-6.11	3	0.0088
T4-T6	0.7	6.28	3	0.0081

Tabla 305. Resultados significativos de la prueba t de student aplicada a las 15 derivaciones en la Potencia Absoluta, banda Beta 1, durante la solución de las tareas de Sensibilidad Gramatical, perteneciente a la prueba propuesta para medir Habilidades Cognitivas Globales.

GRUPOS	F	t	gl	p(t)
F4-T6	0.72	8.08	3	0.004
F4-T5	0.72	6.28	3	0.0081

GRUPOS	F	t	gl	p(t)
F3-T6	0.73	6.73	3	0.0067

Tabla 306. Resultados significativos de la prueba t de student aplicada a las 15 derivaciones en la Potencia Absoluta, banda Beta 2, durante la solución de las tareas de Sensibilidad Gramatical, perteneciente a la prueba propuesta para medir Habilidades Cognitivas Globales.

GRUPOS	F	t	gl	p(t)
F4-T6	0.74	11.29	3	0.0015

GRUPOS	F	t	gl	p(t)
F4-O2	0.74	8.72	3	0.0032

Tabla 307. Resultados significativos de la prueba t de student aplicada a las 15 derivaciones en la Potencia Absoluta, banda Gamma, durante la solución de las tareas de Sensibilidad Gramatical, perteneciente a la prueba propuesta para medir Habilidades Cognitivas Globales.

GRUPOS	F	t	gl	p(t)
F7-C4	0.64	-7.53	3	0.0049
F7-P3	0.64	-7.06	3	0.0059
F7-CZ	0.72	-14.04	3	0.0008
C4-T4	0.69	7.53	3	0.0049
C4-T3	0.69	6.94	3	0.0061

GRUPOS	F	t	gl	p(t)
C4-T6	0.72	7.17	3	0.0056
T4-CZ	0.71	-7.01	3	0.006
T3-P3	0.74	-6.17	3	0.0086
P4-T6	0.75	18.05	3	0.0004
P4-T5	0.72	7.11	3	0.0057

Tabla 308. Resultados significativos de la prueba t de student aplicada a las 15 derivaciones en la Potencia Absoluta, banda Total, durante la solución de las tareas de Sensibilidad Gramatical, perteneciente a la prueba propuesta para medir Habilidades Cognitivas Globales.

GRUPOS	F	t	gl	p(t)
F4-F7	0.75	6.89	3	0.0063
F4-T3	0.7	6.73	3	0.0067
F4-T6	0.59	5.96	3	0.0094
F4-T5	0.7	6.96	3	0.0061
F4-O2	0.72	7.43	3	0.005
F4-O1	0.75	15.61	3	0.0006
F3-T5	0.74	19.06	3	0.0003
F7-C3	0.74	-10.36	3	0.0019
C4-T4	0.73	5.99	3	0.0093
C4-T6	0.72	10.8	3	0.0017

GRUPOS	F	t	gl	p(t)
C3-T4	0.75	15.4	3	0.0006
C3-T3	0.68	7.1	3	0.0058
C3-T6	0.64	5.91	3	0.0097
T4-P4	0.64	-6.7	3	0.0068
T4-P3	0.75	-11.69	3	0.0013
T4-CZ	0.67	-7.15	3	0.0056
T3-CZ	0.7	-8.49	3	0.0034
P4-T6	0.74	8.51	3	0.0034
T6-CZ	0.72	-7.18	3	0.0056

Tabla 309. Resultados significativos de la prueba t de student aplicada a las 15 derivaciones en la Potencia Absoluta, banda Delta, durante la solución de las tareas de Lectura, perteneciente a la prueba propuesta para medir Habilidades Cognitivas Globales.

GRUPOS	F	t	gl	p(t)
F4-T3	0.75	36.17	3	0.0001
F3-T5	0.73	11.33	3	0.0015
T4-P3	0.7	-5.99	3	0.0093

GRUPOS	F	t	gl	p(t)
T3-P3	0.62	-6.59	3	0.0071
P4-T6	0.75	9.55	3	0.0024

Tabla 310. Resultados significativos de la prueba t de student aplicada a las 15 derivaciones en la Potencia Absoluta, banda Theta 1, durante la solución de las tareas de Lectura, perteneciente a la prueba propuesta para medir Habilidades Cognitivas Globales.

GRUPOS	F	t	gl	p(t)
F4-T4	0.71	6.52	3	0.0073
F4-T6	0.7	7.34	3	0.0052
F4-T5	0.73	12.81	3	0.001
F3-F7	0.68	6.46	3	0.0075
F3-T5	0.69	8.26	3	0.0037
C4-T4	0.68	6.26	3	0.0082

GRUPOS	F	t	gl	p(t)
C4-T3	0.67	6.7	3	0.0068
T4-CZ	0.72	-9.75	3	0.0023
T3-CZ	0.69	-9.63	3	0.0024
T6-O1	0.69	-6.01	3	0.0092
T6-CZ	0.71	-6.25	3	0.0083
T5-CZ	0.62	-6.37	3	0.0078

Tabla 311. Resultados significativos de la prueba t de student aplicada a las 15 derivaciones en la Potencia Absoluta, banda Theta 2, durante la solución de las tareas de Lectura, perteneciente a la prueba propuesta para medir Habilidades Cognitivas Globales.

GRUPOS	F	t	gl	p(t)
F3-F7	0.57	6.81	3	0.0065
F3-T3	0.64	7.05	3	0.0059
F3-T5	0.73	16.93	3	0.0004
C4-T4	0.71	8.23	3	0.0038
C4-T3	0.65	6.81	3	0.0065
C4-T6	0.71	6.83	3	0.0064
C3-T4	0.7	6.77	3	0.0066
C3-T6	0.71	7.67	3	0.0046

GRUPOS	F	t	gl	p(t)
C3-CZ	0.75	-7.15	3	0.0056
T4-P4	0.74	-10.97	3	0.0016
T4-CZ	0.72	-13.79	3	0.0008
T3-P4	0.71	-9.14	3	0.0028
T3-CZ	0.68	-9.72	3	0.0023
P4-T6	0.74	6.86	3	0.0063
T6-CZ	0.73	-9.39	3	0.0026

Tabla 312. Resultados significativos de la prueba t de student aplicada a las 15 derivaciones en la Potencia Absoluta, banda Alfa 1, durante la solución de las tareas de Lectura, perteneciente a la prueba propuesta para medir Habilidades Cognitivas Globales.

GRUPOS	F	t	gl	p(t)
F3-F7	0.59	7.3	3	0.0053
F3-T5	0.72	8.34	3	0.0036
F7-P4	-0.01	-5.85	3	0.0099
F7-P3	-0.25	-6.81	3	0.0065
F7-CZ	0.56	-12.75	3	0.001

GRUPOS	F	t	gl	p(t)
C4-T6	0.55	6.45	3	0.0076
P4-T6	0.51	6.32	3	0.008
P4-T5	0.19	6.02	3	0.0092
P3-T5	-0.06	6.54	3	0.0073
T5-CZ	0.62	-12.88	3	0.001

Tabla 313. Resultados significativos de la prueba t de student aplicada a las 15 derivaciones en la Potencia Absoluta, banda Alfa 2, durante la solución de las tareas de Lectura, perteneciente a la prueba propuesta para medir Habilidades Cognitivas Globales.

GRUPOS	F	t	gl	p(t)
F4-F7	0.26	6.19	3	0.0085
F7-C4	0.45	-8.34	3	0.0036
F7-C3	0.47	-6.61	3	0.0071
F7-P4	0.17	-7.88	3	0.0043

GRUPOS	F	t	gl	p(t)
F7-P3	0.35	-7.23	3	0.0054
F7-CZ	0.62	-10.66	3	0.0018
C4-T6	0.71	6.9	3	0.0062

Tabla 314. Resultados significativos de la prueba t de student aplicada a las 15 derivaciones en la Potencia Absoluta, banda Beta 1, durante la solución de las tareas de Lectura, perteneciente a la prueba propuesta para medir Habilidades Cognitivas Globales.

GRUPOS	F	t	gl	p(t)
F7-T3	0.56	-7.25	3	0.0054
C4-T3	0.72	-7.2	3	0.0055

GRUPOS	F	t	gl	p(t)
T3-CZ	0.66	6.73	3	0.0067

Tabla 315. Resultados significativos de la prueba t de student aplicada a las 15 derivaciones en la Potencia Absoluta, banda Beta 2, durante la solución de las tareas de Lectura, perteneciente a la prueba propuesta para medir Habilidades Cognitivas Globales.

GRUPOS	F	t	gl	p(t)
F4-F7	0.71	10.01	3	0.0021
F4-T5	0.66	6.24	3	0.0083
F3-T4	0.73	7.67	3	0.0046
F3-T3	0.72	6.07	3	0.009
F3-T6	0.61	6.66	3	0.0069
F3-T5	0.74	23.21	3	0.0002
F3-O2	0.71	6.62	3	0.007
C4-T3	0.72	7.28	3	0.0054

GRUPOS	F	t	gl	p(t)
C4-T6	0.73	11.06	3	0.0016
C3-T6	0.7	6.07	3	0.009
T3-CZ	0.74	-8.73	3	0.0032
P4-T6	0.74	10.2	3	0.002
P3-T6	0.74	6.53	3	0.0073
T6-CZ	0.74	-8.7	3	0.0032
T5-O1	0.7	-5.87	3	0.0098

Tabla 316. Resultados significativos de la prueba t de student aplicada a las 15 derivaciones en la Potencia Absoluta, banda Total, durante la solución de las tareas de Lectura, perteneciente a la prueba propuesta para medir Habilidades Cognitivas Globales.

GRUPOS	F	t	gl	p(t)
F4-T6	0.66	6.2	3	0.0085
F4-T5	0.69	8.91	3	0.003
F4-O2	0.75	50.95	3	0.0001
F7-T4	0.73	9.02	3	0.0029
F7-T6	0.61	6.31	3	0.008
F7-O2	0.66	7.07	3	0.0058
C4-T4	0.72	7.22	3	0.0055
C4-T6	0.7	8.13	3	0.0039
C4-O2	0.62	6.17	3	0.0086
P4-T6	0.72	7.83	3	0.0043

GRUPOS	F	t	gl	p(t)
P3-T6	0.71	5.87	3	0.0098
P3-T5	0.64	6.49	3	0.0074
P3-O2	0.65	6.15	3	0.0086
T6-CZ	0.7	-7.39	3	0.0051
T5-O1	0.74	-7.31	3	0.0053
T5-CZ	0.71	-9.99	3	0.0021
O2-O1	0.73	-7.37	3	0.0052
O2-CZ	0.71	-11.85	3	0.0013
O1-CZ	0.71	-7.65	3	0.0046

Tabla 317. Resultados significativos de la prueba t de student aplicada a las 15 derivaciones en la Potencia Absoluta, banda Delta, durante la solución de las tareas de Razonamiento, perteneciente a la prueba propuesta para medir Habilidades Cognitivas Globales.

GRUPOS	F	t	gl	p(t)
F4-T6	0.71	6.82	3	0.0065
C4-T4	0.72	6.57	3	0.0072
C4-T6	0.7	5.83	3	0.01

GRUPOS	F	t	gl	p(t)
T4-P4	0.72	-10.7	3	0.0017
P4-T6	0.72	5.92	3	0.0096
O2-O1	0.75	-14.5	3	0.0007

Tabla 318. Resultados significativos de la prueba t de student aplicada a las 15 derivaciones en la Potencia Absoluta, banda Theta 1, durante la solución de las tareas de Razonamiento, perteneciente a la prueba propuesta para medir Habilidades Cognitivas Globales.

GRUPOS	F	t	gl	p(t)
C4-T4	0.7	6.32	3	0.008
C4-CZ	0.72	-6.77	3	0.0066
T4-CZ	0.71	-10.11	3	0.0021

GRUPOS	F	t	gl	p(t)
T3-P3	0.67	-9.47	3	0.0025
T3-CZ	0.59	-7.53	3	0.0048

Tabla 319. Resultados significativos de la prueba t de student aplicada a las 15 derivaciones en la Potencia Absoluta, banda Theta 2, durante la solución de las tareas de Razonamiento, perteneciente a la prueba propuesta para medir Habilidades Cognitivas Globales.

GRUPOS	F	t	gl	p(t)
F4-T4	0.69	6.46	3	0.0075
C4-T4	0.65	7.27	3	0.0054
C4-T6	0.68	11.22	3	0.0015
C4-T5	0.66	7.65	3	0.0046
T4-P3	0.54	-6.97	3	0.0061
T4-CZ	0.7	-7.76	3	0.0045
T3-P3	0.48	-6.44	3	0.0076

GRUPOS	F	t	gl	p(t)
P4-T6	0.61	7.65	3	0.0046
P3-T6	0.74	12.38	3	0.0011
T6-CZ	0.61	-7.58	3	0.0048
T5-O1	0.74	-12.29	3	0.0012
T5-CZ	0.61	-6.54	3	0.0073
O2-O1	0.74	-7.14	3	0.0057

Tabla 320. Resultados significativos de la prueba t de student aplicada a las 15 derivaciones en la Potencia Absoluta, banda Alfa 1, durante la solución de las tareas de Razonamiento, perteneciente a la prueba propuesta para medir Habilidades Cognitivas Globales.

GRUPOS	F	t	gl	p(t)
F4-T6	0.73	14.65	3	0.0007
F7-P3	0.48	-7.9	3	0.0042
T4-P4	0.74	-24.65	3	0.0001
T3-P3	0.75	-10.41	3	0.0019
P4-T6	0.67	8.58	3	0.0033

GRUPOS	F	t	gl	p(t)
P4-T5	0.57	9.28	3	0.0026
P3-T5	0.55	8.24	3	0.0037
T6-O1	0.65	-6.75	3	0.0066
T5-CZ	0.73	-21.59	3	0.0002

Tabla 321. Resultados significativos de la prueba t de student aplicada a las 15 derivaciones en la Potencia Absoluta, banda Alfa 2, durante la solución de las tareas de Razonamiento, perteneciente a la prueba propuesta para medir Habilidades Cognitivas Globales.

GRUPOS	F	t	gl	p(t)
F4-F7	0.2	5.9	3	0.0097
F7-C4	0.72	-12.89	3	0.001
F7-T3	0.69	-5.98	3	0.0094
F7-CZ	0.73	-16.01	3	0.0005

GRUPOS	F	t	gl	p(t)
C4-T5	0.62	6.68	3	0.0068
T6-O1	0.45	-6.75	3	0.0066
T5-CZ	0.73	-10.5	3	0.0018

Tabla 322. Resultados significativos de la prueba t de student aplicada a las 15 derivaciones en la Potencia Absoluta, banda Beta 1, durante la solución de las tareas de Razonamiento, perteneciente a la prueba propuesta para medir Habilidades Cognitivas Globales.

GRUPOS	F	t	gl	p(t)
F4-T4	0.74	8.05	3	0.004
F4-T6	0.73	11.7	3	0.0013
F4-T5	0.69	8.42	3	0.0035
C4-T4	0.75	11.79	3	0.0013
C4-T6	0.75	15.68	3	0.0006
C4-T5	0.61	6.1	3	0.0089
T4-P4	0.73	-8.96	3	0.0029
T4-T6	0.74	6.85	3	0.0064
T4-CZ	0.72	-8.98	3	0.0029

GRUPOS	F	t	gl	p(t)
T3-P3	0.67	-7.26	3	0.0054
P4-T6	0.7	8.08	3	0.004
P4-T5	0.61	6.14	3	0.0087
P3-T6	0.67	5.87	3	0.0099
T6-O1	0.66	-6.34	3	0.0079
T6-CZ	0.7	-8.77	3	0.0031
T5-O1	0.73	-12.89	3	0.001
T5-CZ	0.69	-8.32	3	0.0036

Tabla 323. Resultados significativos de la prueba t de student aplicada a las 15 derivaciones en la Potencia Absoluta, banda Total, durante la solución de las tareas de Razonamiento, perteneciente a la prueba propuesta para medir Habilidades Cognitivas Globales.

GRUPOS	F	t	gl	p(t)
F3-F7	0.75	8.28	3	0.0037
C4-T4	0.64	6.38	3	0.0078
C4-T5	0.75	22.37	3	0.0002
C4-O2	0.73	10.88	3	0.0017

GRUPOS	F	t	gl	p(t)
C4-O1	0.73	9.4	3	0.0026
T5-O1	0.74	-10.72	3	0.0017
T5-CZ	0.73	-8.75	3	0.0031
O2-O1	0.74	-6.1	3	0.0088

Tabla 324. Resultados significativos de la prueba t de student aplicada a las 15 derivaciones en la Potencia Absoluta, banda Delta, durante la solución de las tareas de Criterio, perteneciente a la prueba propuesta para medir Habilidades Cognitivas Globales.

GRUPOS	F	t	gl	p(t)
F4-T4	0.74	6.54	3	0.0073
F4-T6	0.75	5.92	3	0.0096
F7-CZ	0.67	-5.99	3	0.0093
C4-T4	0.73	8.29	3	0.0037
C4-T6	0.71	6.02	3	0.0092
C4-T5	0.71	6.17	3	0.0086

GRUPOS	F	t	gl	p(t)
T4-CZ	0.73	-6.53	3	0.0073
P4-T6	0.74	6.25	3	0.0083
T5-CZ	0.74	-6.35	3	0.0079
O2-O1	0.74	-6.18	3	0.0085
O2-CZ	0.75	-5.96	3	0.0095

Tabla 325. Resultados significativos de la prueba t de student aplicada a las 15 derivaciones en la Potencia Absoluta, banda Theta 1, durante la solución de las tareas de Criterio, perteneciente a la prueba propuesta para medir Habilidades Cognitivas Globales.

GRUPOS	F	t	gl	p(t)
F4-T4	0.71	6.03	3	0.0091
F3-T6	0.71	7.7	3	0.0046
C4-T6	0.71	9.94	3	0.0022
C3-T4	0.62	6.5	3	0.0074
C3-T6	0.65	6.03	3	0.0091
T4-P4	0.61	-5.86	3	0.0099

GRUPOS	F	t	gl	p(t)
T4-P3	0.74	-16.49	3	0.0005
T4-CZ	0.66	-7.35	3	0.0052
P3-T6	0.72	12.49	3	0.0011
T6-CZ	0.71	-9.71	3	0.0023
O2-O1	0.75	-9.48	3	0.0025

Tabla 326. Resultados significativos de la prueba t de student aplicada a las 15 derivaciones en la Potencia Absoluta, banda Theta 2, durante la solución de las tareas de Criterio, perteneciente a la prueba propuesta para medir Habilidades Cognitivas Globales.

GRUPOS	F	t	gl	p(t)
F4-T5	0.73	6.7	3	0.0068
F3-T6	0.72	7.34	3	0.0052
F7-O2	0.75	-8.62	3	0.0033
F7-O1	0.69	-6.25	3	0.0083
C4-T5	0.64	7.18	3	0.0056
C3-T4	0.58	7.86	3	0.0043

GRUPOS	F	t	gl	p(t)
T4-P4	0.44	-6.09	3	0.0089
T4-P3	0.68	-10.64	3	0.0018
T4-CZ	0.47	-5.92	3	0.0096
P3-T6	0.69	7.78	3	0.0044
T5-O1	0.69	-7.2	3	0.0055
T5-CZ	0.73	-10.08	3	0.0021

Tabla 327. Resultados significativos de la prueba t de student aplicada a las 15 derivaciones en la Potencia Absoluta, banda Alfa 1, durante la solución de las tareas de Criterio, perteneciente a la prueba propuesta para medir Habilidades Cognitivas Globales.

GRUPOS	F	t	gl	p(t)
F4-T6	0.46	6.18	3	0.0085
F4-T5	0.67	6.05	3	0.0091
F3-T6	0.62	7.81	3	0.0044
C4-T4	0.53	6.43	3	0.0076
C4-T6	0.31	6.6	3	0.0071
T4-P4	0.74	-20.97	3	0.0002

GRUPOS	F	t	gl	p(t)
T4-P3	0.73	-7.41	3	0.0051
T3-T6	0.65	6.27	3	0.0082
P4-T6	0.52	7.83	3	0.0043
P3-T6	0.58	7.64	3	0.0047
T6-CZ	0.72	-17.46	3	0.0004
T5-O1	0.72	-7.29	3	0.0053

Tabla 328. Resultados significativos de la prueba t de student aplicada a las 15 derivaciones en la Potencia Absoluta, banda Alfa 2, durante la solución de las tareas de Criterio, perteneciente a la prueba propuesta para medir Habilidades Cognitivas Globales.

GRUPOS	F	t	gl	p(t)
F3-T6	0.73	5.97	3	0.0094
F7-C4	0.45	-6.4	3	0.0077
F7-P3	0.29	-6.29	3	0.0081

GRUPOS	F	t	gl	p(t)
F7-T5	0.75	-10.08	3	0.0021
F7-CZ	0.64	-8.43	3	0.0035

Tabla 329. Resultados significativos de la prueba t de student aplicada a las 15 derivaciones en la Potencia Absoluta, banda Beta 1, durante la solución de las tareas de Criterio, perteneciente a la prueba propuesta para medir Habilidades Cognitivas Globales.

GRUPOS	F	t	gl	p(t)
F7-T5	0.74	-12.43	3	0.0011

Tabla 330. Resultados significativos de la prueba t de student aplicada a las 15 derivaciones en la Potencia Absoluta, banda Beta 2, durante la solución de las tareas de Criterio, perteneciente a la prueba propuesta para medir Habilidades Cognitivas Globales.

GRUPOS	F	t	gl	p(t)
F4-T5	0.75	7.37	3	0.0052
F3-T5	0.75	13	3	0.001
F3-O2	0.75	11.11	3	0.0016
C4-T6	0.69	6.33	3	0.008
C4-T5	0.73	10.02	3	0.0021
T4-P4	0.75	-28.7	3	0.0001

GRUPOS	F	t	gl	p(t)
T4-P3	0.74	-8.93	3	0.003
P4-T6	0.74	6.52	3	0.0073
T5-O2	0.74	-9.85	3	0.0022
T5-O1	0.73	-10.01	3	0.0021
T5-CZ	0.75	-9.18	3	0.0027
O2-CZ	0.74	-6.21	3	0.0084

Tabla 331. Resultados significativos de la prueba t de student aplicada a las 15 derivaciones en la Potencia Absoluta, banda Total, durante la solución de las tareas de Criterio, perteneciente a la prueba propuesta para medir Habilidades Cognitivas Globales.

GRUPOS	F	t	gl	p(t)
F4-T4	0.59	6.91	3	0.0062
F4-T6	0.74	9.53	3	0.0024
F7-T5	0.69	7.12	3	0.0057
C4-T4	0.66	8.89	3	0.003

GRUPOS	F	t	gl	p(t)
C4-O2	0.62	6.35	3	0.0079
C3-T6	0.72	8.42	3	0.0035
T5-O1	0.74	-6.9	3	0.0062
O2-O1	0.73	-9.11	3	0.0028

Tabla 332. Resultados significativos de la prueba t de student aplicada a las 15 derivaciones en la Potencia Absoluta, banda Delta, durante la solución de las tareas de Transformación, perteneciente a la prueba propuesta para medir Habilidades Cognitivas Globales.

GRUPOS	F	t	gl	p(t)
F4-T4	0.74	8.4	3	0.0035

GRUPOS	F	t	gl	p(t)
P4-T6	0.73	8.22	3	0.0038

Tabla 333. Resultados significativos de la prueba t de student aplicada a las 15 derivaciones en la Potencia Absoluta, banda Theta 1, durante la solución de las tareas de Transformación, perteneciente a la prueba propuesta para medir Habilidades Cognitivas Globales.

GRUPOS	F	t	gl	p(t)
F4-F7	0.7	6.57	3	0.0072
F4-T6	0.74	12.71	3	0.0011
F7-P3	0.73	-15.2	3	0.0006
F7-CZ	0.68	-9.84	3	0.0022
C4-T6	0.73	14.07	3	0.0008
P4-T6	0.5	6.47	3	0.0075

GRUPOS	F	t	gl	p(t)
P3-T6	0.72	9.86	3	0.0022
T6-O1	0.73	-7.83	3	0.0043
T6-CZ	0.72	-11.46	3	0.0014
T5-O2	0.74	-6.13	3	0.0087
T5-O1	0.72	-6.96	3	0.0061

Tabla 334. Resultados significativos de la prueba t de student aplicada a las 15 derivaciones en la Potencia Absoluta, banda Theta 2, durante la solución de las tareas de Transformación, perteneciente a la prueba propuesta para medir Habilidades Cognitivas Globales.

GRUPOS	F	t	gl	p(t)
F4-T6	0.75	19.74	3	0.0003
F4-T5	0.73	6.5	3	0.0074
C4-T6	0.69	8.27	3	0.0037
C4-T5	0.62	6.29	3	0.0081

GRUPOS	F	t	gl	p(t)
P4-T6	0.72	9.72	3	0.0023
P4-T5	0.69	9.55	3	0.0024
T5-CZ	0.67	-6.81	3	0.0065

Tabla 335. Resultados significativos de la prueba t de student aplicada a las 15 derivaciones en la Potencia Absoluta, banda Alfa 1, durante la solución de las tareas de Transformación, perteneciente a la prueba propuesta para medir Habilidades Cognitivas Globales.

GRUPOS	F	t	gl	p(t)
F4-T4	0.72	9.77	3	0.0023
F4-T5	0.71	9.05	3	0.0029

GRUPOS	F	t	gl	p(t)
T4-O1	0.68	-6.96	3	0.0061

Tabla 336. Resultados significativos de la prueba t de student aplicada a las 15 derivaciones en la Potencia Absoluta, banda Alfa 2, durante la solución de las tareas de Transformación, perteneciente a la prueba propuesta para medir Habilidades Cognitivas Globales.

GRUPOS	F	t	gl	p(t)
F4-T4	0.69	6.6	3	0.0071

Tabla 337. Resultados significativos de la prueba t de student aplicada a las 15 derivaciones en la Potencia Absoluta, banda Beta 1, durante la solución de las tareas de Transformación, perteneciente a la prueba propuesta para medir Habilidades Cognitivas Globales.

GRUPOS	F	t	gl	p(t)
F7-T4	-0.27	-2.57	3	0.0828
T6-T5	0.74	-16.83	3	0.0005

GRUPOS	F	t	gl	p(t)
T6-CZ	0.73	-9.11	3	0.0028

Tabla 338. Resultados significativos de la prueba t de student aplicada a las 15 derivaciones en la Potencia Absoluta, banda Beta 2, durante la solución de las tareas de Transformación, perteneciente a la prueba propuesta para medir Habilidades Cognitivas Globales.

GRUPOS	F	t	gl	p(t)
F7-CZ	0.75	-6.81	3	0.0065

Tabla 339. Resultados significativos de la prueba t de student aplicada a las 15 derivaciones en la Potencia Absoluta, banda Gamma, durante la solución de las tareas de Transformación, perteneciente a la prueba propuesta para medir Habilidades Cognitivas Globales.

GRUPOS	F	t	gl	p(t)
F4-T6	0.73	9.88	3	0.0022
C4-T4	0.69	7.71	3	0.0045
C4-T6	0.62	5.89	3	0.0098

GRUPOS	F	t	gl	p(t)
T5-O1	0.75	-23.23	3	0.0002
C3-T6	0.74	13.43	3	0.0009

Tabla 340. Resultados significativos de la prueba t de student aplicada a las 15 derivaciones en la Potencia Absoluta, banda Total, durante la solución de las tareas de Transformación, perteneciente a la prueba propuesta para medir Habilidades Cognitivas Globales.

<i>DERIVACIONES</i>	<i>Media</i>	<i>DesvSt</i>	<i>n</i>
F7	41.168	7.941	4
T4	24.79	5.21	4

Tabla 341. Valores de la Media y Desviación Estándar de la habilidad de Atención Perceptual, banda Delta. Prueba Perceptual, nivel Básico.

<i>DERIVACIONES</i>	<i>Media</i>	<i>DesvSt</i>	<i>n</i>
F3	8.347	3.197	4
F8	7.132	4.856	4
C4	6.883	4.236	4
T3	17.732	3.933	4
P4	11.425	6.803	4
O2	9.302	2.855	4
CZ	7.61	4.554	4

Tabla 343. Valores de la Media y Desviación Estándar de la habilidad Simetría de la Forma, banda Beta 1. Prueba Perceptual, nivel Básico.

<i>DERIVACIONES</i>	<i>Media</i>	<i>DesvSt</i>	<i>n</i>
F4	5.768	1.357	4
F3	5.975	0.980	4
F8	5.075	1.839	4
T4	4.800	1.737	4
T5	10.44	5.017	4
O1	8.64	1.379	4
CZ	10.7	2	4

Tabla 345. Valores de la Media y Desviación Estándar de la habilidad Memoria Perceptual, banda Alfa 1. Prueba Perceptual, nivel Básico.

<i>DERIVACIONES</i>	<i>Media</i>	<i>DesvSt</i>	<i>n</i>
F4	10.663	1.886	4
F3	9.86	1.041	4
C3	9.405	2.434	4
T5	9.835	3.29	4
O2	6.255	1.149	4

Tabla 347. Valores de la Media y Desviación Estándar de la habilidad Reconocimiento de la Información, banda Theta 2. Prueba Perceptual, nivel Básico.

<i>DERIVACIONES</i>	<i>Media</i>	<i>DesvSt</i>	<i>n</i>
T3	13.875	5.937	4
P3	9.42	7.232	4
CZ	3.742	2.382	4

Tabla 342. Valores de la Media y Desviación Estándar de la habilidad Agrupamiento, banda Beta 2. Prueba Perceptual, nivel Básico.

<i>DERIVACIONES</i>	<i>Media</i>	<i>DesvSt</i>	<i>n</i>
F4	50.738	8.171	4
F8	60.233	13.453	4
C4	44.795	3.675	4
T3	37.852	1.978	4
P4	39.797	13.472	4
T5	28.733	11.726	4
P3	32.395	8.673	4
O1	34.938	3.748	4

Tabla 344. Valores de la Media y Desviación Estándar de la habilidad Memoria Perceptual, banda Delta. Prueba Perceptual, nivel Básico.

<i>DERIVACIONES</i>	<i>Media</i>	<i>DesvSt</i>	<i>n</i>
F8	5.247	4.236	4
C4	5.215	3.935	4
T3	14.045	3.538	4
P4	8.972	4.838	4

Tabla 346. Valores de la Media y Desviación Estándar de la habilidad Memoria Perceptual, banda Beta 2. Prueba Perceptual, nivel Básico.

<i>DERIVACIONES</i>	<i>Media</i>	<i>DesvSt</i>	<i>n</i>
F8	41.090	5.468	4
F7	44.497	6.804	4
O1	37.113	9.206	4

Tabla 348. Valores de la Media y Desviación Estándar de la habilidad Descripción Perceptual, banda Delta. Prueba Perceptual, nivel Básico.

<i>DERIVACIONES</i>	<i>Media</i>	<i>DesvSt</i>	<i>n</i>
F8	10.668	0.242	4
F4	11.320	0.479	4
F3	11.352	0.426	4
C4	11.255	0.279	4
C3	11.185	0.443	4
T4	10.558	0.263	4
T3	10.385	0.344	4
P4	10.303	0.518	4
P3	10.985	0.374	4
T5	11.303	0.262	4
O1	9.940	0.625	4
CZ	11.383	0.529	4

Tabla 349. Valores de la Media y Desviación Estándar de la habilidad Percepción Emocional, banda Delta. Prueba Emocional, nivel Básico.

<i>DERIVACIONES</i>	<i>Media</i>	<i>DesvSt</i>	<i>n</i>
F8	8.772	0.572	4
F7	8.555	0.402	4
C4	9.848	0.483	4
C3	10.095	0.491	4
T3	8.798	0.312	4
P4	8.848	0.607	4
P3	8.230	0.614	4
T5	9.765	0.236	4
CZ	10.192	0.495	4

Tabla 351. Valores de la Media y Desviación Estándar de la habilidad Percepción Emocional, banda Alfa 1. Prueba Emocional, nivel Básico.

<i>DERIVACIONES</i>	<i>Media</i>	<i>DesvSt</i>	<i>n</i>
F8	8.410	0.393	4
F4	9.508	0.311	4
F3	9.495	0.262	4
P4	8.805	0.664	4
P3	8.670	0.784	4
CZ	9.488	0.266	4

Tabla 353. Valores de la Media y Desviación Estándar de la habilidad Percepción Emocional, banda Beta 1. Prueba Emocional, nivel Básico.

<i>DERIVACIONES</i>	<i>Media</i>	<i>DesvSt</i>	<i>n</i>
F7	9.008	0.361	4
F4	9.793	0.366	4
F3	9.905	0.470	4
C4	9.995	0.382	4
C3	9.993	0.423	4
T3	9.040	0.151	4
P4	8.813	0.571	4
P3	8.183	0.480	4
T5	9.955	0.276	4
O1	8.615	0.565	4
CZ	10.168	0.603	4

Tabla 350. Valores de la Media y Desviación Estándar de la habilidad Percepción Emocional, banda Theta 2. Prueba Emocional, nivel Básico.

<i>DERIVACIONES</i>	<i>Media</i>	<i>DesvSt</i>	<i>n</i>
F8	8.258	0.381	4
F7	8.100	0.319	4
F4	9.105	0.211	4
F3	9.108	0.192	4
C4	9.355	0.417	4
C3	9.540	0.549	4
T3	8.767	0.267	4
P4	8.473	0.621	4
P3	8.083	0.545	4
T5	9.468	0.135	4
O2	8.733	0.118	4
CZ	9.423	0.203	4

Tabla 352. Valores de la Media y Desviación Estándar de la habilidad Percepción Emocional, banda Alfa 2. Prueba Emocional, nivel Básico.

<i>DERIVACIONES</i>	<i>Media</i>	<i>DesvSt</i>	<i>n</i>
F4	9.368	0.533	4
T5	8.657	0.173	4

Tabla 354. Valores de la Media y Desviación Estándar de la habilidad Percepción Emocional, banda Beta 2. Prueba Emocional, nivel Básico.

<i>DERIVACIONES</i>	<i>Media</i>	<i>DesvSt</i>	<i>n</i>
F8	7.245	0.341	4
F7	7.363	0.373	4
F4	8.545	0.511	4

Tabla 355. Valores de la Media y Desviación Estándar de la habilidad Percepción Emocional, banda Gamma. Prueba Emocional, nivel Básico.

<i>DERIVACIONES</i>	<i>Media</i>	<i>DesvSt</i>	<i>n</i>
F8	11.383	0.311	4
F4	12.093	0.345	4
F3	12.170	0.343	4
C4	12.123	0.346	4
C3	12.130	0.358	4
P4	11.215	0.484	4
P3	10.788	0.467	4
T6	12.213	0.190	4
T5	12.150	0.264	4
O2	11.405	0.388	4
O1	11.183	0.496	4
CZ	12.295	0.429	4

Tabla 356. Valores de la Media y Desviación Estándar de la habilidad Percepción Emocional, banda Total. Prueba Emocional, nivel Básico.

<i>DERIVACIONES</i>	<i>Media</i>	<i>DesvSt</i>	<i>n</i>
F4	11.445	0.275	4
F3	11.763	0.233	4
C4	11.523	0.193	4
C3	11.438	0.393	4
T4	10.895	0.264	4
T3	10.587	0.344	4
P4	10.578	0.248	4
P3	9.955	0.246	4
T6	11.528	0.160	4
T5	11.443	0.298	4
O2	10.590	0.462	4
O1	10.028	0.412	4
CZ	11.610	0.373	4

Tabla 357. Valores de la Media y Desviación Estándar de la habilidad Reconocimiento Emocional, banda Delta. Prueba Emocional, nivel Básico.

<i>DERIVACIONES</i>	<i>Media</i>	<i>DesvSt</i>	<i>n</i>
F3	10.653	0.554	4
C4	10.595	0.578	4
T5	70.750	0.706	4
P4	9.743	0.292	4
O1	9.270	0.420	4
CZ	10.805	0.472	4

Tabla 358. Valores de la Media y Desviación Estándar de la habilidad Reconocimiento Emocional, banda Theta 1. Prueba Emocional, nivel Básico.

DERIVACIONES	Media	DesvSt	n
F3	10.188	0.311	4
C4	10.240	0.471	4
T3	9.188	0.485	4
T6	10.290	0.471	4
T5	10.325	0.546	4
P4	9.188	0.357	4
P3	8.432	0.711	4
O1	8.880	0.712	4
CZ	10.458	0.582	4

Tabla 359. Valores de la Media y Desviación Estándar de la habilidad Reconocimiento Emocional, banda Theta 2. Prueba Emocional, nivel Básico.

DERIVACIONES	Media	DesvSt	n
F3	9.345	0.143	4
C4	9.483	0.314	4
C3	9.335	0.421	4
T3	8.753	0.268	4
P4	8.493	0.476	4
P3	8.038	0.508	4
T6	9.355	0.252	4
T5	9.462	0.164	4
O2	8.802	0.187	4
CZ	9.470	0.076	4

Tabla 361. Valores de la Media y Desviación Estándar de la habilidad Reconocimiento Emocional, banda Alfa 2. Prueba Emocional, nivel Básico.

DERIVACIONES	Media	DesvSt	n
F4	12.193	0.267	4
F3	12.475	0.284	4
C4	12.338	0.277	4
C3	10.305	0.387	4
T6	12.363	0.244	4
T5	12.363	0.399	4
P4	11.463	0.318	4
P3	10.987	0.290	4
O1	11.378	0.392	4
CZ	12.513	0.309	4

Tabla 363. Valores de la Media y Desviación Estándar de la habilidad Reconocimiento Emocional, banda Total. Prueba Emocional, nivel Básico.

DERIVACIONES	Media	DesvSt	n
F4	9.633	0.347	4
F3	9.927	0.403	4
C4	9.903	0.512	4
C3	10.105	0.595	4
T3	8.993	0.295	4
P4	8.818	0.422	4
P3	8.293	0.425	4
T6	9.830	0.452	4
T5	9.868	0.435	4
CZ	10.403	0.740	4

Tabla 360. Valores de la Media y Desviación Estándar de la habilidad Reconocimiento Emocional, banda Alfa 1. Prueba Emocional, nivel Básico.

DERIVACIONES	Media	DesvSt	n
C3	8.758	0.251	4
T4	10.397	0.855	4
T3	10.415	1.121	4
CZ	7.820	0.181	4

Tabla 362. Valores de la Media y Desviación Estándar de la habilidad Reconocimiento Emocional, banda Gamma. Prueba Emocional, nivel Básico.

DERIVACIONES	Media	DesvSt	n
F4	11.553	0.427	4
F3	11.663	0.506	4
C4	11.615	0.409	4
C3	11.507	0.184	4
T4	10.848	0.239	4
T3	10.530	0.275	4
P4	10.485	0.381	4
P3	9.922	0.307	4
T6	11.460	0.173	4
T5	11.360	0.116	4
O1	10.245	0.413	4
CZ	17.785	0.194	4

Tabla 364. Valores de la Media y Desviación Estándar de la habilidad Diferenciación Emocional, banda Delta. Prueba Emocional, nivel Básico.

DERIVACIONES	Media	DesvSt	n
F4	9.777	0.462	4
F3	9.940	0.307	4
C4	10.012	0.354	4
C3	9.970	0.511	4
T3	9.025	0.278	4
P4	9.127	0.435	4
P3	8.355	0.531	4
T6	10.155	0.337	4
T5	10.080	0.464	4
O1	8.893	0.305	4
CZ	10.380	0.510	4

Tabla 366. Valores de la Media y Desviación Estándar de la habilidad Diferenciación Emocional, banda Theta 2. Prueba Emocional, nivel Básico.

DERIVACIONES	Media	DesvSt	n
F4	9.047	0.187	4
F3	9.252	0.169	4
C4	9.300	0.207	4
C3	9.438	0.219	4
T3	8.985	0.743	4
P4	8.327	0.546	4
P3	8.097	0.268	4
T5	9.377	0.082	4
CZ	9.485	0.145	4

Tabla 368. Valores de la Media y Desviación Estándar de la habilidad Diferenciación Emocional, banda Alfa 2. Prueba Emocional, nivel Básico.

DERIVACIONES	Media	DesvSt	n
F4	10.357	0.562	4
F3	10.425	0.470	4
C4	10.470	0.572	4
C3	10.427	0.437	4
T5	10.485	0.270	4
P4	9.458	0.552	4
P3	9.030	0.410	4
O1	9.235	0.301	4
CZ	10.705	0.481	4

Tabla 365. Valores de la Media y Desviación Estándar de la habilidad Diferenciación Emocional, banda Theta 1. Prueba Emocional, nivel Básico.

DERIVACIONES	Media	DesvSt	n
F4	9.548	0.336	4
F3	9.748	0.391	4
C4	9.872	0.445	4
C3	9.993	0.574	4
T6	9.917	0.484	4
T5	9.905	0.442	4
P4	8.870	0.548	4
P3	8.230	0.500	4
O2	9.095	0.413	4
O1	10.130	0.509	4

Tabla 367. Valores de la Media y Desviación Estándar de la habilidad Diferenciación Emocional, banda Alfa 1. Prueba Emocional, nivel Básico.

DERIVACIONES	Media	DesvSt	n
F4	9.640	0.259	4
F3	9.613	0.253	4
C3	9.505	0.257	4
T5	9.575	0.066	4

Tabla 369. Valores de la Media y Desviación Estándar de la habilidad Diferenciación Emocional, banda Beta 1. Prueba Emocional, nivel Básico.

DERIVACIONES	Media	DesvSt	n
F4	9.445	0.321	4
T5	8.980	0.090	4

Tabla 370. Valores de la Media y Desviación Estándar de la habilidad Diferenciación Emocional, banda Beta 2. Prueba Emocional, nivel Básico.

DERIVACIONES	Media	DesvSt	n
F4	12.248	0.336	4
F3	12.340	0.407	4
C4	12.305	0.331	4
C3	12.282	0.221	4
P4	11.333	0.455	4
P3	10.825	0.336	4
T6	12.260	0.226	4
T5	12.212	0.194	4
O2	11.675	0.243	4
O1	11.460	0.383	4
CZ	12.520	0.214	4

Tabla 372. Valores de la Media y Desviación Estándar de la habilidad Diferenciación Emocional, banda Total. Prueba Emocional, nivel Básico.

DERIVACIONES	Media	DesvSt	N
F4	11.517	0.481	4
F3	11.768	0.668	4
C4	11.470	0.293	4
C3	11.452	0.378	4
T4	10.840	0.312	4
P4	10.465	0.233	4
P3	10.035	0.183	4
T6	11.398	0.131	4
T5	11.438	0.369	4
O2	10.610	0.349	4
O1	10.000	0.405	4
CZ	11.620	0.0434	4

Tabla 373. Valores de la Media y Desviación Estándar de la habilidad Memoria Emocional, banda Delta. Prueba Emocional, nivel Básico.

DERIVACIONES	Media	DesvSt	n
F3	8.605	0.199	4
CZ	7.807	0.378	4

Tabla 371. Valores de la Media y Desviación Estándar de la habilidad Diferenciación Emocional, banda Gamma. Prueba Emocional, nivel Básico.

DERIVACIONES	Media	DesvSt	n
F7	9.518	0.464	4
F4	10.375	0.470	4
F3	10.495	0.561	4
C4	10.477	0.498	4
C3	10.653	0.625	4
T3	9.710	0.356	4
P3	9.175	0.342	4
T6	10.633	0.571	4
T5	10.695	0.570	4
CZ	10.770	0.446	4

Tabla 374. Valores de la Media y Desviación Estándar de la habilidad Memoria Emocional, banda Theta 1. Prueba Emocional, nivel Básico.

<i>DERIVACIONES</i>	<i>Media</i>	<i>DesvSt</i>	<i>n</i>
C3	10.165	0.474	4
T3	9.340	0.663	4
T5	10.408	0.852	4

Tabla 375. Valores de la Media y Desviación Estándar de la habilidad Memoria Emocional, banda Alfa 1. Prueba Emocional, nivel Básico.

<i>DERIVACIONES</i>	<i>Media</i>	<i>DesvSt</i>	<i>n</i>
F4	9.085	0.222	4
F3	9.178	0.296	4
C4	9.195	0.185	4
C3	9.423	0.210	4
T3	8.758	0.270	4
P4	8.550	0.562	4
P3	8.152	0.265	4
T5	9.460	0.159	4
CZ	9.447	0.131	4

Tabla 376. Valores de la Media y Desviación Estándar de la habilidad Memoria Emocional, banda Alfa 2. Prueba Emocional, nivel Básico.

<i>DERIVACIONES</i>	<i>Media</i>	<i>DesvSt</i>	<i>n</i>
F4	9.365	0.236	4
F3	9.515	0.200	4
C4	9.275	0.126	4
C3	9.337	0.228	4
T5	9.557	0.206	4
P4	9.060	0.511	4
P3	8.580	2.81	4
CZ	9.535	0.053	4

Tabla 377. Valores de la Media y Desviación Estándar de la habilidad Memoria Emocional, banda Beta 1. Prueba Emocional, nivel Básico.

<i>DERIVACIONES</i>	<i>Media</i>	<i>DesvSt</i>	<i>n</i>
C3	8.667	0.214	4
P3	8.365	0.117	4
T5	8.850	0.122	4

Tabla 378. Valores de la Media y Desviación Estándar de la habilidad Memoria Emocional, banda Beta 2. Prueba Emocional, nivel Básico.

<i>DERIVACIONES</i>	<i>Media</i>	<i>DesvSt</i>	<i>n</i>
F4	8.472	0.390	4
F3	8.383	0.205	4
C4	7.580	0.104	4
P3	7.880	0.212	4
CZ	7.872	0.068	4

Tabla 379. Valores de la Media y Desviación Estándar de la habilidad Memoria Emocional, banda Gamma. Prueba Emocional, nivel Básico.

<i>DERIVACIONES</i>	<i>Media</i>	<i>DesvSt</i>	<i>n</i>
F4	12.265	0.386	4
F3	12.423	0.515	4
C4	12.293	0.320	4
C3	12.315	0.392	4
P4	11.430	0.420	4
P3	11.045	0.352	4
T6	12.355	0.362	4
T5	12.378	0.405	4
O1	11.482	0.262	4
CZ	12.577	0.421	4

Tabla 380. Valores de la Media y Desviación Estándar de la habilidad Memoria Emocional, banda Total. Prueba Emocional, nivel Básico.

<i>DERIVACIONES</i>	<i>Media</i>	<i>DesvSt</i>	<i>n</i>
F4	11.505	0.498	4
F3	11.603	0.372	4
C4	11.452	0.288	4
C3	11.420	0.391	4
T4	10.720	0.243	4
P4	10.482	0.462	4
P3	10.147	0.168	4
T6	11.473	0.086	4
T5	11.443	0.298	4
O1	10.020	0.484	4
CZ	11.610	0.373	4

Tabla 381. Valores de la Media y Desviación Estándar de la habilidad Relación Emocional, banda Delta. Prueba Emocional. Nivel Básico.

<i>DERIVACIONES</i>	<i>Media</i>	<i>DesvSt</i>	<i>n</i>
F4	9.768	0.427	4
F3	10.057	0.264	4
C4	10.165	0.326	4
C3	10.105	0.552	4
T3	9.083	0.252	4
P4	9.068	0.584	4
P3	8.550	0.301	4
T5	10.110	0.385	4
O1	8.810	0.401	4
CZ	10.458	0.582	4

Tabla 383. Valores de la Media y Desviación Estándar de la habilidad Relación Emocional, banda Theta 2. Prueba Emocional. Nivel Básico.

<i>DERIVACIONES</i>	<i>Media</i>	<i>DesvSt</i>	<i>n</i>
F3	9.075	0.278	4
C4	9.203	0.571	4
C3	9.335	0.421	4
T3	8.730	0.314	4
P3	7.950	0.256	4
T5	9.343	0.157	4
O2	8.818	0.311	4

Tabla 385. Valores de la Media y Desviación Estándar de la habilidad Relación Emocional, banda Alfa 2. Prueba Emocional. Nivel Básico.

<i>DERIVACIONES</i>	<i>Media</i>	<i>DesvSt</i>	<i>n</i>
F4	10.438	0.442	4
F3	10.498	0.356	4
C4	10.510	0.462	4
C3	10.490	0.493	4
P4	9.385	0.313	4
T6	10.483	0.460	4
T5	10.380	0.587	4
O1	9.155	0.428	4
CZ	10.805	0.472	4

Tabla 382. Valores de la Media y Desviación Estándar de la habilidad Relación Emocional, banda Theta 1. Prueba Emocional. Nivel Básico.

<i>DERIVACIONES</i>	<i>Media</i>	<i>DesvSt</i>	<i>n</i>
C4	9.875	0.574	4
C3	9.938	0.587	4
T5	9.755	0.530	4
CZ	10.403	0.740	4

Tabla 384. Valores de la Media y Desviación Estándar de la habilidad Relación Emocional, banda Alfa 1. Prueba Emocional. Nivel Básico.

<i>DERIVACIONES</i>	<i>Media</i>	<i>DesvSt</i>	<i>n</i>
F3	9.523	0.271	4
T3	9.883	0.523	4
P4	9.120	0.566	4
P3	8.673	0.352	4
T5	9.555	0.220	4
CZ	9.480	0.128	4

Tabla 386. Valores de la Media y Desviación Estándar de la habilidad Relación Emocional, banda Beta 1. Prueba Emocional. Nivel Básico.

DERIVACIONES	Media	DesvSt	n
C4	8.565	0.252	4
C3	8.668	0.384	4
T3	9.953	0.336	4
T5	8.838	0.172	4
P4	8.837	0.582	4
P3	8.368	0.493	4
CZ	8.175	0.250	4

Tabla 387. Valores de la Media y Desviación Estándar de la habilidad Relación Emocional, banda Beta 2. Prueba Emocional. Nivel Básico.

DERIVACIONES	Media	DesvSt	n
F4	12.220	0.350	4
F3	12.303	0.272	4
C4	12.245	0.229	4
C3	12.238	0.350	4
T3	11.790	0.184	4
P4	11.365	0.487	4
P3	10.975	0.200	4
T6	12.283	0.210	4
T5	12.235	0.270	4
O2	11.593	0.299	4
O1	11.353	0.363	4
CZ	12.513	0.309	4

Tabla 389. Valores de la Media y Desviación Estándar de la habilidad Relación Emocional, banda Total. Prueba Emocional. Nivel Básico.

DERIVACIONES	Media	DesvSt	n
F7	10.802	0.329	4
F4	11.338	0.233	4
F3	11.470	0.378	4
C4	11.395	0.283	4
C3	11.447	0.335	4
T4	10.722	0.334	4
T3	10.695	0.160	4
P4	10.378	0.224	4
P3	10.005	0.161	4
T6	11.482	0.266	4
T5	11.415	0.352	4
O2	10.523	0.450	4
O1	10.008	0.419	4
CZ	11.600	0.354	4

Tabla 390. Valores de la Media y Desviación Estándar de la habilidad Empatía, banda Delta. Prueba Emocional, nivel Básico.

DERIVACIONES	Media	DesvSt	n
F3	8.278	0.227	4
C4	7.525	0.251	4
C3	7.863	0.329	4
T3	9.595	0.151	4
P3	7.788	0.788	4

Tabla 388. Valores de la Media y Desviación Estándar de la habilidad Relación Emocional, banda Gamma. Prueba Emocional. Nivel Básico.

DERIVACIONES	Media	DesvSt	n
F7	9.518	0.464	4
F4	10.375	0.470	4
C4	10.477	0.498	4
C3	10.653	0.625	4
T3	9.710	0.356	4
P4	9.480	0.159	4
P3	9.175	0.342	4
T6	10.633	0.571	4
T5	10.695	0.570	4
CZ	10.770	0.446	4

Tabla 391. Valores de la Media y Desviación Estándar de la habilidad Empatía, banda Theta 1. Prueba Emocional, nivel Básico

DERIVACIONES	Media	DesvSt	n
F7	8.810	0.558	4
C3	10.103	0.564	4
T3	9.142	0.368	4
T5	10.353	0.412	4
P4	9.185	0.547	4
P3	8.575	0.558	4
O1	9.085	0.501	4
CZ	10.460	0.647	4

Tabla 392. Valores de la Media y Desviación Estándar de la habilidad Empatía, banda Theta 2. Prueba Emocional, nivel Básico

DERIVACIONES	Media	DesvSt	n
F7	8.063	0.453	4
F4	9.012	0.225	4
C4	9.238	0.243	4
C3	9.445	0.179	4
T3	8.885	0.164	4
P4	8.475	0.450	4
P3	8.235	0.263	4
T6	9.330	0.285	4
T5	9.418	0.064	4
O2	8.807	0.290	4
CZ	9.420	0.141	4

Tabla 394. Valores de la Media y Desviación Estándar de la habilidad Empatía, banda Alfa 2. Prueba Emocional, nivel Básico

DERIVACIONES	Media	DesvSt	n
F7	7.980	0.544	4
C4	8.598	0.388	4
C3	8.708	0.210	4
T4	9.895	0.437	4
T3	10.155	0.767	4
P4	8.542	0.442	4
P3	9.342	0.576	4
T6	8.893	0.171	4
T5	8.805	0.229	4
CZ	8.715	0.176	4

Tabla 396. Valores de la Media y Desviación Estándar de la habilidad Empatía, banda Beta 2. Prueba Emocional, nivel Básico

DERIVACIONES	Media	DesvSt	n
F7	8.270	0.459	4
F3	9.603	0.506	4
C4	9.842	0.415	4
C3	10.032	0.597	4
T3	8.980	0.362	4
T5	9.958	0.346	4
P4	8.892	0.588	4
P3	8.500	0.515	4
CZ	10.155	0.607	4

Tabla 393. Valores de la Media y Desviación Estándar de la habilidad Empatía, banda Alfa 1. Prueba Emocional, nivel Básico

DERIVACIONES	Media	DesvSt	n
F7	8.315	0.503	4
F3	9.495	0.267	4
C3	9.423	0.193	4
T4	9.750	0.389	4
T3	9.985	0.546	4
T5	9.583	0.116	4

Tabla 395. Valores de la Media y Desviación Estándar de la habilidad Empatía, banda Beta 1. Prueba Emocional, nivel Básico

DERIVACIONES	Media	DesvSt	n
F7	7.168	0.568	4
F3	8.277	0.168	4
C4	7.537	0.573	4
C3	7.780	0.385	4
T4	8.922	0.477	4
T3	9.555	0.771	4
T6	7.840	0.349	4
T5	7.945	0.446	4
CZ	7.680	0.077	4

Tabla 397. Valores de la Media y Desviación Estándar de la habilidad Empatía, banda Gamma. Prueba Emocional, nivel Básico

DERIVACIONES	Media	DesvSt	n
F7	11.355	0.308	4
F4	12.093	0.287	4
F3	12.210	0.401	4
C4	12.182	0.314	4
C3	12.308	0.372	4
T3	11.845	0.241	4
P4	11.313	0.302	4
P3	10.965	0.218	4
T6	12.325	0.348	4
T5	12.337	0.299	4
CZ	12.458	0.353	4

Tabla 398. Valores de la Media y Desviación Estándar de la habilidad Empatía, banda Total. Prueba Emocional, nivel Básico

DERIVACIONES	Media	DesvSt	n
F4	11.328	0.306	4
F3	11.472	0.499	4
C4	11.328	0.392	4
C3	11.404	0.338	4
T3	10.566	0.357	4
P4	10.364	0.320	4
P3	9.998	0.353	4
T6	11.488	0.214	4
T5	11.442	0.378	4
O1	10.202	0.459	4
CZ	11.522	0.262	4

Tabla 399. Valores de la Media y Desviación Estándar de la habilidad Flexibilidad en el Sentimiento, banda Delta. Prueba Emocional, nivel Básico.

DERIVACIONES	Media	DesvSt	n
F4	9.806	0.292	4
F3	9.922	0.389	4
C4	10.216	0.505	4
C3	9.972	0.569	4
T3	9.078	0.293	4
P4	8.848	0.530	4
P3	8.610	0.510	4
T6	10.286	0.403	4
T5	10.154	0.361	4
O1	9.074	0.576	4
CZ	10.380	0.657	4

Tabla 401. Valores de la Media y Desviación Estándar de la habilidad Flexibilidad en el Sentimiento, banda Theta 2. Prueba Emocional, nivel Básico.

DERIVACIONES	Media	DesvSt	n
F4	10.390	0.651	4
F3	10.472	0.316	4
C4	10.590	0.408	4
C3	10.650	0.599	4
T3	9.778	0.486	4
P4	9.682	0.333	4
P3	9.162	0.439	4
T6	10.692	0.524	4
T5	10.668	0.536	4
O1	9.542	0.680	4
CZ	10.928	0.589	4

Tabla 400. Valores de la Media y Desviación Estándar de la habilidad Flexibilidad en el Sentimiento, banda Theta 1. Prueba Emocional, nivel Básico.

DERIVACIONES	Media	DesvSt	n
F4	9.410	0.402	4
F3	9.604	0.488	4
C4	9.776	0.523	4
C3	10.064	0.417	4
T3	8.892	0.338	4
P4	8.714	0.662	4
P3	8.298	0.555	4
T6	9.834	0.523	4
T5	9.932	0.390	4

Tabla 402. Valores de la Media y Desviación Estándar de la habilidad Flexibilidad en el Sentimiento, banda Alfa 1. Prueba Emocional, nivel Básico.

DERIVACIONES	Media	DesvSt	n
F4	9.028	0.396	4
F3	9.118	0.136	4
C4	9.272	0.252	4
C3	9.484	0.425	4
T4	9.034	0.455	4
T3	8.686	0.212	4
P4	8.468	0.779	4
P3	7.938	0.336	4
T5	9.400	0.250	4
O2	8.900	0.470	4
CZ	9.386	0.156	4

Tabla 403. Valores de la Media y Desviación Estándar de la habilidad Flexibilidad en el Sentimiento, banda Alfa 2. Prueba Emocional, nivel Básico.

DERIVACIONES	Media	DesvSt	n
F4	9.152	0.604	4
F3	9.204	0.383	4
T4	9.772	0.897	4
T3	9.612	0.866	4
P4	8.606	0.582	4
P3	8.058	0.359	4
T5	8.730	0.173	4
CZ	8.750	0.262	4

Tabla 405. Valores de la Media y Desviación Estándar de la habilidad Flexibilidad en el Sentimiento, banda Beta 2. Prueba Emocional, nivel Básico.

DERIVACIONES	Media	DesvSt	n
F4	12.112	0.313	4
F3	12.216	0.364	4
C4	12.200	0.339	4
C3	12.282	0.293	4
T4	11.894	0.550	4
T3	11.672	0.350	4
P4	11.296	0.415	4
P3	10.892	0.290	4
T6	12.330	0.270	4
T5	12.314	0.280	4
O2	11.788	0.322	4
O1	11.522	0.446	4
CZ	12.468	0.317	4

Tabla 407. Valores de la Media y Desviación Estándar de la habilidad Flexibilidad en el Sentimiento, banda Total. Prueba Emocional, nivel Básico.

DERIVACIONES	Media	DesvSt	n
F4	9.426	0.291	4
F3	9.426	0.215	4
C4	9.170	0.145	4
C3	9.364	0.281	4
P4	8.960	0.696	4
P3	8.476	0.443	4
T5	9.576	0.167	4
CZ	9.500	0.093	4

Tabla 404. Valores de la Media y Desviación Estándar de la habilidad Flexibilidad en el Sentimiento, banda Beta 1. Prueba Emocional, nivel Básico.

DERIVACIONES	Media	DesvSt	n
F4	8.262	0.267	4
F3	8.174	0.200	4
C3	7.676	0.196	4
C4	7.784	0.365	4
T4	9.174	0.184	4
P3	7.310	0.670	4
T5	7.836	0.335	4

Tabla 406. Valores de la Media y Desviación Estándar de la habilidad Flexibilidad en el Sentimiento, banda Gamma. Prueba Emocional, nivel Básico.

DERIVACIONES	Media	DesvSt	n
F4	11.300	0.424	4
F3	11.382	0.395	4
C4	11.370	0.308	4
C3	11.458	0.456	4
T4	10.693	0.266	4
T3	10.575	0.310	4
P4	10.490	0.215	4
P3	9.985	0.402	4
T6	11.442	0.200	4
T5	11.403	0.323	4
O2	10.490	0.380	4
O1	9.915	0.364	4
CZ	11.578	0.383	4

Tabla 408. Valores de la Media y Desviación Estándar de la habilidad Tolerancia, banda Delta. Prueba Emocional, nivel Básico.

DERIVACIONES	Media	DesvSt	n
F3	10.125	0.589	4
C4	10.190	0.665	4
C3	10.205	0.728	4
P4	9.073	0.525	4
P3	8.615	0.439	4
T5	10.323	0.641	4
CZ	10.662	0.850	4

Tabla 410. Valores de la Media y Desviación Estándar de la habilidad Tolerancia, banda Theta 2. Prueba Emocional, nivel Básico.

DERIVACIONES	Media	DesvSt	n
F4	9.048	0.208	4
F3	9.170	0.311	4
C4	9.268	0.214	4
C3	9.365	0.223	4
T3	8.925	0.380	4
P4	8.623	0.386	4
P3	8.032	0.231	4
T5	9.415	0.245	4
O2	8.840	0.285	4
CZ	9.378	0.159	4

Tabla 412. Valores de la Media y Desviación Estándar de la habilidad Tolerancia, banda Alfa 2. Prueba Emocional, nivel Básico.

DERIVACIONES	Media	DesvSt	n
F3	10.512	0.495	4
C3	10.695	0.606	4
P4	9.538	0.183	4
T6	10.598	0.490	4
T5	10.638	0.702	4
CZ	10.925	0.664	4

Tabla 409. Valores de la Media y Desviación Estándar de la habilidad Tolerancia, banda Theta 1. Prueba Emocional, nivel Básico.

DERIVACIONES	Media	DesvSt	n
C4	9.845	0.468	4
C3	10.010	0.569	4
T3	8.865	0.203	4
P3	4.448	0.541	4
T5	10.065	0.521	4
CZ	10.453	0.800	4

Tabla 411. Valores de la Media y Desviación Estándar de la habilidad Tolerancia, banda Alfa 1. Prueba Emocional, nivel Básico.

DERIVACIONES	Media	DesvSt	n
F4	8.450	0.245	4
F3	8.485	0.150	4
C4	7.698	0.377	4
T3	9.753	1.012	4
CZ	7.778	0.116	4

Tabla 413. Valores de la Media y Desviación Estándar de la habilidad Tolerancia, banda Gamma. Prueba Emocional, nivel Básico.

DERIVACIONES	Media	DesvSt	n
F3	12.235	0.340	4
C4	12.230	0.370	4
C3	12.310	0.453	4
P4	11.373	0.305	4
P3	10.938	0.375	4
T6	12.320	0.292	4
T5	12.328	0.391	4
CZ	12.555	0.476	4

Tabla 414. Valores de la Media y Desviación Estándar de la habilidad Tolerancia, banda Total. Prueba Emocional, nivel Básico.

DERIVACIONES	Media	DesvSt	n
F4	11.368	0.60	4
C4	11.387	0.314	4
C3	11.418	0.331	4
T3	10.495	0.306	4
P3	10.095	0.652	4
T6	11.458	0.236	4
O1	10.135	0.550	4
CZ	11.605	0.196	4

Tabla 415. Valores de la Media y Desviación Estándar de la habilidad Recuperación del Estado Emocional, banda Delta. Prueba Emocional, nivel Básico.

DERIVACIONES	Media	DesvSt	n
F3	10.258	0.226	4
T4	9.298	0.456	4

Tabla 417. Valores de la Media y Desviación Estándar de la habilidad Recuperación del Estado Emocional, banda Theta 2. Prueba Emocional, nivel Básico.

DERIVACIONES	Media	DesvSt	n
F3	10.775	0.459	4
C4	10.595	0.376	4
C3	10.555	0.670	4
T3	9.540	0.351	4
P4	9.445	0.320	4
P3	8.840	0.461	4
T6	10.485	0.260	4
T5	10.220	0.508	4
O2	9.442	0.533	4
O1	8.963	0.403	4
CZ	10.875	0.439	4

Tabla 416. Valores de la Media y Desviación Estándar de la habilidad Recuperación del Estado Emocional, banda Theta 1. Prueba Emocional, nivel Básico.

DERIVACIONES	Media	DesvSt	n
F4	9.098	0.223	4
F3	9.348	0.154	4
C4	9.313	0.253	4
C3	9.368	0.162	4
T5	9.448	0.087	4
P4	8.700	0.475	4
P3	8.220	0.370	4
O2	8.810	0.095	4
CZ	9.555	0.087	4

Tabla 418. Valores de la Media y Desviación Estándar de la habilidad Recuperación del Estado Emocional, banda Alfa 2. Prueba Emocional, nivel Básico.

DERIVACIONES	Media	DesvSt	n
F4	9.555	0.363	4
F3	9.608	0.397	4
C4	8.718	0.232	4
C3	8.795	0.178	4
T3	10.263	0.658	4
P4	8.608	0.535	4
P3	8.373	0.655	4
T6	8.793	0.385	4
T5	8.793	0.300	4
O2	8.575	0.335	4

Tabla 419. Valores de la Media y Desviación Estándar de la habilidad Recuperación del Estado Emocional, banda Beta 2. Prueba Emocional, nivel Básico.

DERIVACIONES	Media	DesvSt	n
T6	12.365	0.289	4
T5	12.293	0.377	4
P4	11.350	0.434	4
O1	11.293	0.421	4
CZ	12.598	0.402	4

Tabla 421. Valores de la Media y Desviación Estándar de la habilidad Recuperación del Estado Emocional, banda Total. Prueba Emocional, nivel Básico.

DERIVACIONES	Media	DesvSt	n
F4	11.333	0.144	4
F3	11.510	0.338	4
C4	11.513	0.248	4
C3	11.413	0.389	4
T4	10.820	0.077	4
T3	10.598	0.299	4
P4	10.550	0.359	4
P3	10.087	0.213	4
T6	11.543	0.149	4
T5	11.535	0.333	4
O1	10.150	0.415	4
CZ	11.665	0.366	4

Tabla 422. Valores de la Media y Desviación Estándar de la habilidad Concepto Social, banda Delta. Prueba Emocional, nivel Básico.

DERIVACIONES	Media	DesvSt	n
F3	8.803	0.211	4
O2	8.030	0.218	4
CZ	7.953	0.102	4

Tabla 420. Valores de la Media y Desviación Estándar de la habilidad Recuperación del Estado Emocional, banda Gamma. Prueba Emocional, nivel Básico.

DERIVACIONES	Media	DesvSt	n
F3	10.655	0.273	4
C4	10.738	0.459	4
T6	10.740	0.535	4
T5	10.727	0.757	4
CZ	10.938	0.489	4

Tabla 423. Valores de la Media y Desviación Estándar de la habilidad Concepto Social, banda Theta 1. Prueba Emocional, nivel Básico.

<i>DERIVACIONES</i>	<i>Media</i>	<i>DesvSt</i>	<i>n</i>
F4	10.000	0.513	4
F3	10.053	0.308	4
C4	10.218	0.486	4
C3	10.183	0.505	4
T3	9.348	0.349	4
P4	9.308	0.473	4
P3	8.660	0.412	4
T5	10.325	0.388	4
O1	8.998	0.489	4
CZ	10.570	0.606	4

Tabla 424. Valores de la Media y Desviación Estándar de la habilidad Concepto Social, banda Theta 2. Prueba Emocional, nivel Básico.

<i>DERIVACIONES</i>	<i>Media</i>	<i>DesvSt</i>	<i>n</i>
F4	9.120	0.175	4
F3	9.060	0.179	4
T4	8.840	0.348	4
T3	8.865	0.276	4
P3	8.088	0.141	4
T5	9.423	0.112	4
O2	8.977	0.353	4

Tabla 426. Valores de la Media y Desviación Estándar de la habilidad Concepto Social, banda Alfa 2. Prueba Emocional, nivel Básico.

<i>DERIVACIONES</i>	<i>Media</i>	<i>DesvSt</i>	<i>n</i>
C4	8.590	0.325	4
C3	8.568	0.405	4
P4	8.675	0.347	4
T5	8.753	0.107	4

Tabla 428. Valores de la Media y Desviación Estándar de la habilidad Concepto Social, banda Beta 2. Prueba Emocional, nivel Básico.

<i>DERIVACIONES</i>	<i>Media</i>	<i>DesvSt</i>	<i>n</i>
F3	9.703	0.381	4
C4	9.945	0.503	4
C3	9.993	0.447	4
T3	8.948	0.281	4
P4	8.990	0.589	4
P3	8.415	0.528	4
T5	9.900	0.365	4
CZ	10.282	0.699	4

Tabla 425. Valores de la Media y Desviación Estándar de la habilidad Concepto Social, banda Alfa1. Prueba Emocional, nivel Básico.

<i>DERIVACIONES</i>	<i>Media</i>	<i>DesvSt</i>	<i>n</i>
C4	9.253	0.082	4
CZ	9.575	0.037	4

Tabla 427. Valores de la Media y Desviación Estándar de la habilidad Concepto Social, banda Beta 1. Prueba Emocional, nivel Básico.

<i>DERIVACIONES</i>	<i>Media</i>	<i>DesvSt</i>	<i>n</i>
C4	7.685	0.351	4
C3	7.770	0.318	4
T4	9.115	0.612	4
T3	9.420	0.757	4
T5	7.903	0.314	4

Tabla 429. Valores de la Media y Desviación Estándar de la habilidad Concepto Social, banda Gamma. Prueba Emocional, nivel Básico.

DERIVACIONES	Media	DesvSt	n
F4	12.145	0.219	4
F3	12.290	0.232	4
C4	12.328	0.296	4
C3	12.275	0.373	4
T4	11.870	0.355	4
P4	11.473	0.299	4
P3	10.990	0.254	4
T6	12.408	0.270	4
T5	12.373	0.388	4
O2	11.770	0.284	4
O1	11.440	0.263	4
CZ	12.558	0.356	4

Tabla 430. Valores de la Media y Desviación Estándar de la habilidad Concepto Social, banda Total. Prueba Emocional, nivel Básico.

DERIVACIONES	Media	DesvSt	n
F4	11.398	0.380	4
F3	11.700	0.559	4
C4	11.450	0.374	4
T3	10.613	0.263	4
P4	10.310	0.295	4
T6	11.437	0.299	4
T5	11.098	0.759	4
O1	9.950	0.499	4
CZ	11.413	0.487	4

Tabla 431. Valores de la Media y Desviación Estándar de la habilidad Percepción Afectiva Emocional, banda Delta. Prueba Emocional, nivel Básico.

DERIVACIONES	Media	DesvSt	n
F3	9.997	0.342	4
C4	10.327	0.496	4
C3	10.268	0.410	4
T3	9.058	0.410	4
P4	9.238	0.669	4
P3	8.640	0.561	4
T5	10.155	0.588	4
CZ	10.653	0.552	4

Tabla 433. Valores de la Media y Desviación Estándar de la habilidad Percepción Afectiva Emocional, banda Theta 2 Prueba Emocional, nivel Básico.

DERIVACIONES	Media	DesvSt	n
F4	10.303	0.246	4
F3	10.458	0.531	4
C4	10.710	0.498	4
C3	10.670	0.657	4
P4	9.635	0.169	4
P3	9.282	0.297	4
T6	10.733	0.545	4
T5	10.868	0.656	4
O1	9.578	0.482	4
CZ	10.968	0.423	4

Tabla 432. Valores de la Media y Desviación Estándar de la habilidad Percepción Afectiva Emocional, banda Theta 1. Prueba Emocional, nivel Básico.

DERIVACIONES	Media	DesvSt	n
C3	9.998	0.404	4
T3	8.877	0.387	4
P3	8.412	0.455	4
T5	9.708	0.447	4
O2	9.620	0.397	4
CZ	10.278	0.798	4

Tabla 434. Valores de la Media y Desviación Estándar de la habilidad Percepción Afectiva Emocional, banda Alfa 1. Prueba Emocional, nivel Básico.

<i>DERIVACIONES</i>	<i>Media</i>	<i>DesvSt</i>	<i>n</i>
F4	8.960	0.132	4
F3	9.050	0.194	4
C4	9.193	0.258	4
C3	9.218	0.262	4
P4	8.335	0.492	4
P3	8.352	0.219	4
T6	9.210	0.324	4
T5	9.415	0.305	4
CZ	9.420	0.026	4

Tabla 435. Valores de la Media y Desviación Estándar de la habilidad Percepción Afectiva Emocional, banda Alfa 2. Prueba Emocional, nivel Básico.

<i>DERIVACIONES</i>	<i>Media</i>	<i>DesvSt</i>	<i>n</i>
C4	8.480	0.262	4
T3	9.343	0.691	4

Tabla 437. Valores de la Media y Desviación Estándar de la habilidad Percepción Afectiva Emocional, banda Gamma. Prueba Emocional, nivel Básico.

<i>DERIVACIONES</i>	<i>Media</i>	<i>DesvSt</i>	<i>n</i>
C4	9.215	0.135	4
CZ	9.575	0.117	4

Tabla 436. Valores de la Media y Desviación Estándar de la habilidad Percepción Afectiva Emocional, banda Beta 1. Prueba Emocional, nivel Básico.

<i>DERIVACIONES</i>	<i>Media</i>	<i>DesvSt</i>	<i>n</i>
F4	12.108	0.287	4
F3	12.338	0.418	4
C4	12.305	0.237	4
C3	12.235	0.415	4
P4	11.395	0.305	4
P3	10.035	0.064	4
T6	12.365	0.275	4
T5	12.280	0.363	4
O2	11.793	0.200	4
O1	11.530	0.348	4
CZ	12.513	0.298	4

Tabla 438. Valores de la Media y Desviación Estándar de la habilidad Percepción Afectiva Emocional, banda Total. Prueba Emocional, nivel Básico.

DERIVACIONES	Media	Desv St	n
F3-F4	0.63	0.07	4
C3-C4	0.722	0.259	4
T5-T6	0.88	0.167	4
O1-O2	1.768	0.139	4

Tabla 439. Media y Desviación Estándar de la Correlación Interhemisférica. Banda Delta. Tarea de Atención Cognitiva nivel Básico.

DERIVACIONES	Media	Desv St	n
F3-F4	0.537	0.125	4
C3-C4	0.518	0.254	4
P3-P4	0.202	0.198	4
T5-T6	0.597	0.262	4
O1-O2	1.240	0.241	4

Tabla 441. Media y Desviación Estándar de la Correlación Interhemisférica. Banda Theta 2. Tarea de Atención Cognitiva nivel Básico.

DERIVACIONES	Media	Desv St	n
F7-F8	-0.253	0.194	4
F3-F4	0.422	0.102	4
C3-C4	0.393	0.114	4
O1-O2	0.852	0.233	4

Tabla 443. Media y Desviación Estándar de la Correlación Interhemisférica. Banda Alfa 2. Tarea de Atención Cognitiva nivel Básico.

DERIVACIONES	Media	Desv St	n
F7-F8	-0.062	0.279	4
O1-O2	0.748	0.285	4

Tabla 445. Media y Desviación Estándar de la Correlación Interhemisférica. Banda Beta 2. Tarea de Atención Cognitiva nivel Básico.

DERIVACIONES	Media	Desv St	n
F3-F4	0.655	0.097	4
C3-C4	0.7	0.347	4
P3-P4	0.53	0.183	4

Tabla 447. Media y Desviación Estándar de la Correlación Interhemisférica. Banda Delta. Tarea de Descripción Cognitiva nivel Básico.

DERIVACIONES	Media	Desv St	n
F3-F4	0.638	0.144	4
C3-C4	0.58	0.262	4
T5-T6	0.637	0.236	4
O1-O2	1.383	0.188	4

Tabla 440. Media y Desviación Estándar de la Correlación Interhemisférica. Banda Theta 1. Tarea de Atención Cognitiva nivel Básico.

DERIVACIONES	Media	Desv St	n
F7-F8	-0.268	0.154	4
F3-F4	0.503	0.041	4
T5-T6	0.518	0.13	4
O1-O2	1.102	0.222	4

Tabla 442. Media y Desviación Estándar de la Correlación Interhemisférica. Banda Alfa 1. Tarea de Atención Cognitiva nivel Básico.

DERIVACIONES	Media	Desv St	n
F7-F8	-0.082	0.225	4
C3-C4	0.43	0.07	4

Tabla 444. Media y Desviación Estándar de la Correlación Interhemisférica. Banda Beta 1. Tarea de Atención Cognitiva nivel Básico.

DERIVACIONES	Media	Desv St	n
F3-F4	0.587	0.036	4
C3-C4	0.615	0.216	4
T5-T6	0.682	0.173	4
O1-O2	1.148	0.275	4

Tabla 446. Media y Desviación Estándar de la Correlación Interhemisférica. Banda Total. Tarea de Atención Cognitiva nivel Básico.

DERIVACIONES	Media	Desv St	n
F7-F8	-0.243	0.179	4
F3-F4	0.6	0.13	4
C3-C4	0.645	0.19	4
T5-T6	0.658	0.064	4
O1-O2	1.600	0.227	4

Tabla 448. Media y Desviación Estándar de la Correlación Interhemisférica. Banda Theta 1. Tarea de Descripción Cognitiva nivel Básico.

<i>DERIVACIONES</i>	<i>Media</i>	<i>Desv St</i>	<i>n</i>
C3-C4	0.54	0.257	4
T5-T6	0.645	0.167	4
O1-O2	1.430	0.261	4

Tabla 449. Media y Desviación Estándar de la Correlación Interhemisférica. Banda Theta 2. Tarea de Descripción Cognitiva nivel Básico.

<i>DERIVACIONES</i>	<i>Media</i>	<i>Desv St</i>	<i>n</i>
F3-F4	0.45	0.125	4
C3-C4	0.355	0.165	4
O1-O2	0.938	0.123	4

Tabla 451. Media y Desviación Estándar de la Correlación Interhemisférica. Banda Alfa 2. Tarea de Descripción Cognitiva nivel Básico.

<i>DERIVACIONES</i>	<i>Media</i>	<i>Desv St</i>	<i>n</i>
F7-F8	-0.092	0.203	4
C3-C4	0.385	0.078	4
O1-O2	0.783	0.218	4

Tabla 453. Media y Desviación Estándar de la Correlación Interhemisférica. Banda Beta 2. Tarea de Descripción Cognitiva nivel Básico.

<i>DERIVACIONES</i>	<i>Media</i>	<i>Desv St</i>	<i>n</i>
F3-F4	0.582	0.057	4
C3-C4	0.615	0.222	4
T5-T6	0.707	0.147	4
O1-O2	1.322	0.268	4

Tabla 455 Media y Desviación Estándar de la Correlación Interhemisférica. Banda Total. Tarea de Descripción Cognitiva nivel Básico.

<i>DERIVACIONES</i>	<i>Media</i>	<i>Desv St</i>	<i>n</i>
F3-F4	0.737	0.083	4
C3-C4	0.647	0.342	4
P3-P4	0.538	0.289	4
T5-T6	0.813	0.17	4
O1-O2	1.830	0.29	4

Tabla 456. Media y Desviación Estándar de la Correlación Interhemisférica. Banda Delta. Tarea de Discriminación Cognitiva nivel Básico.

<i>DERIVACIONES</i>	<i>Media</i>	<i>Desv St</i>	<i>n</i>
F3-F4	0.47	0.091	4
C3-C4	0.408	0.187	4
O1-O2	1.205	0.184	4

Tabla 450. Media y Desviación Estándar de la Correlación Interhemisférica. Banda Alfa 1. Tarea de Descripción Cognitiva nivel Básico.

<i>DERIVACIONES</i>	<i>Media</i>	<i>Desv St</i>	<i>n</i>
F7-F8	-0.12	0.095	4
F3-F4	0.375	0.024	4
C3-C4	0.468	0.15	4
O1-O2	0.93	0.179	4

Tabla 452. Media y Desviación Estándar de la Correlación Interhemisférica. Banda Beta 1. Tarea de Descripción Cognitiva nivel Básico.

<i>DERIVACIONES</i>	<i>Media</i>	<i>Desv St</i>	<i>n</i>
F7-F8	0.062	0.243	4
C3-C4	0.622	0.173	4
T5-T6	0.568	0.175	4
O1-O2	0.705	0.234	4

Tabla 454. Media y Desviación Estándar de la Correlación Interhemisférica. Banda Gamma. Tarea de Descripción Cognitiva nivel Básico.

<i>DERIVACIONES</i>	<i>Media</i>	<i>Desv St</i>	<i>n</i>
F3-F4	0.647	0.097	4
C3-C4	0.472	0.307	4
T5-T6	0.643	0.095	4
O1-O2	1.595	0.202	4

Tabla 457. Media y Desviación Estándar de la Correlación Interhemisférica. Banda Theta 1. Tarea de Discriminación Cognitiva nivel Básico.

<i>DERIVACIONES</i>	<i>Media</i>	<i>Desv St</i>	<i>n</i>
F7-F8	-0.32	0.189	4
C3-C4	0.49	0.385	4
T5-T6	0.625	0.263	4
O1-O2	1.330	0.292	4

Tabla 458. Media y Desviación Estándar de la Correlación Interhemisférica. Banda Theta 2. Tarea de Discriminación Cognitiva nivel Básico.

<i>DERIVACIONES</i>	<i>Media</i>	<i>Desv St</i>	<i>n</i>
F3-F4	0.393	0.064	4
O1-O2	0.985	0.294	4

Tabla 460. Media y Desviación Estándar de la Correlación Interhemisférica. Banda Alfa 2. Tarea de Discriminación Cognitiva nivel Básico.

<i>DERIVACIONES</i>	<i>Media</i>	<i>Desv St</i>	<i>n</i>
O1-O2	0.845	0.413	4

Tabla 462. Media y Desviación Estándar de la Correlación Interhemisférica. Banda Beta 2. Tarea de Discriminación Cognitiva nivel Básico.

<i>DERIVACIONES</i>	<i>Media</i>	<i>Desv St</i>	<i>n</i>
F3-F4	1.028	0.296	4
C3-C4	0.885	0.558	4
T5-T6	0.858	0.333	4
P3-P4	0.537	0.34	4
O1-O2	1.850	0.182	4

Tabla 464. Media y Desviación Estándar de la Correlación Interhemisférica. Banda Delta. Tarea de Memoria para Detalles Cognitiva nivel Básico.

<i>DERIVACIONES</i>	<i>Media</i>	<i>Desv St</i>	<i>n</i>
F3-F4	0.567	0.221	4
T5-T6	0.722	0.095	4
O1-O2	1.537	0.307	4

Tabla 466. Media y Desviación Estándar de la Correlación Interhemisférica. Banda Theta 2. Tarea de Memoria para Detalles Cognitiva nivel Básico.

<i>DERIVACIONES</i>	<i>Media</i>	<i>Desv St</i>	<i>n</i>
F3-F4	0.55	0.115	4
O1-O2	1.160	0.253	4

Tabla 459. Media y Desviación Estándar de la Correlación Interhemisférica. Banda Alfa 1. Tarea de Discriminación Cognitiva nivel Básico.

<i>DERIVACIONES</i>	<i>Media</i>	<i>Desv St</i>	<i>n</i>
O1-O2	0.962	0.31	4

Tabla 461. Media y Desviación Estándar de la Correlación Interhemisférica. Banda Beta 1. Tarea de Discriminación Cognitiva nivel Básico.

<i>DERIVACIONES</i>	<i>Media</i>	<i>Desv St</i>	<i>n</i>
F3-F4	0.633	0.056	4
C3-C4	0.53	0.323	4
T5-T6	0.67	0.137	4
O1-O2	1.330	0.328	4

Tabla 463. Media y Desviación Estándar de la Correlación Interhemisférica. Banda Total. Tarea de Discriminación Cognitiva nivel Básico.

<i>DERIVACIONES</i>	<i>Media</i>	<i>Desv St</i>	<i>n</i>
F3-F4	0.583	0.105	4
T5-T6	0.555	0.034	4
O1-O2	1.542	0.301	4

Tabla 465. Media y Desviación Estándar de la Correlación Interhemisférica. Banda Theta 1. Tarea de Memoria para Detalles Cognitiva nivel Básico.

<i>DERIVACIONES</i>	<i>Media</i>	<i>Desv St</i>	<i>n</i>
F3-F4	0.52	0.194	4
C3-C4	0.355	0.295	4
T5-T6	0.598	0.169	4
O1-O2	1.352	0.266	4

Tabla 467. Media y Desviación Estándar de la Correlación Interhemisférica. Banda Alfa 1. Tarea de Memoria para Detalles Cognitiva nivel Básico.

DERIVACIONES	Media	Desv St	n
O1-O2	0.992	0.226	4

Tabla 468. Media y Desviación Estándar de la Correlación Interhemisférica. Banda Alfa 2. Tarea de Memoria para Detalles Cognitiva nivel Básico.

DERIVACIONES	Media	Desv St	n
F3-F4	0.5	0.123	4
T5-T6	0.585	0.145	4

Tabla 470. Media y Desviación Estándar de la Correlación Interhemisférica. Banda Gamma. Tarea de Memoria para Detalles Cognitiva nivel Básico.

DERIVACIONES	Media	Desv St	n
C4	11.525	0.593	4
T3	10.722	0.332	4
P4	11.615	0.985	4
P3	10.248	0.211	4
T5	11.453	0.317	4
O2	10.992	0.688	4
O1	10.482	0.635	4
CZ	11.593	0.535	4

Tabla 472. Valores de la Media y Desviación Estándar de la habilidad Reconocimiento Cognitivo. banda Delta. Prueba Cognitiva. nivel Básico.

DERIVACIONES	Media	Desv St	n
F8	9.263	0.680	4
F7	9.103	0.656	4
F4	10.052	0.519	4
F3	10.203	0.364	4
C4	10.268	0.462	4
T4	9.512	0.551	4
P4	9.183	0.924	4
P3	8.743	0.242	4
T5	10.273	0.475	4
O2	9.805	0.754	4
CZ	10.513	0.595	4

Tabla 474. Valores de la Media y Desviación Estándar de la habilidad Reconocimiento Cognitivo. banda Theta 2. Prueba Cognitiva. nivel Básico.

DERIVACIONES	Media	Desv St	n
F3-F4	0.363	0.026	4
C3-C4	0.318	0.212	4
O1-O2	0.928	0.324	4

Tabla 469. Media y Desviación Estándar de la Correlación Interhemisférica. Banda Beta 1. Tarea de Memoria para Detalles Cognitiva nivel Básico.

DERIVACIONES	Media	Desv St	n
F3-F4	0.777	0.166	4
C3-C4	0.615	0.403	4
T5-T6	0.697	0.193	4

Tabla 471. Media y Desviación Estándar de la Correlación Interhemisférica. Banda Total. Tarea de Memoria para Detalles Cognitiva nivel Básico.

DERIVACIONES	Media	Desv St	n
F8	10.145	0.707	4
F7	9.865	0.645	4
F4	10.59	0.643	4
F3	10.625	0.726	4
C4	10.573	0.619	4
T4	10.1	0.795	4
P4	9.85	1.103	4
P3	9.392	0.589	4
T5	10.435	0.598	4
O1	9.743	0.833	4
CZ	10.67	0.597	4

Tabla 473. Valores de la Media y Desviación Estándar de la habilidad Reconocimiento Cognitivo. banda Theta 1. Prueba Cognitiva. nivel Básico.

DERIVACIONES	Media	Desv St	n
F7	8.82	0.562	4
F4	9.705	0.505	4
C4	9.82	0.371	4
T4	9.205	0.508	4
P4	9.022	0.650	4
P3	8.59	0.460	4
T5	9.935	0.420	4
CZ	10.203	0.384	4

Tabla 475. Valores de la Media y Desviación Estándar de la habilidad Reconocimiento Cognitivo. banda Alfa 1. Prueba Cognitiva. nivel Básico.

DERIVACIONES	Media	Desv St	n
F7	8.435	0.414	4
C4	9.38	0.130	4
P4	8.63	0.625	4
P3	8.182	0.175	4
T5	9.282	0.155	4
O2	9.352	0.136	4
CZ	9.353	0.206	4

Tabla 476. Valores de la Media y Desviación Estándar de la habilidad Reconocimiento Cognitivo. banda Alfa 2. Prueba Cognitiva. nivel Básico.

DERIVACIONES	Media	Desv St	n
F8	8.205	0.725	4
F7	8.115	0.294	4
F3	9.035	0.625	4
P3	8.185	0.105	4
T5	8.75	0.276	4
O2	8.185	0.105	4
CZ	9.37	0.454	4

Tabla 478. Valores de la Media y Desviación Estándar de la habilidad Reconocimiento Cognitivo. banda Beta 2. Prueba Cognitiva. nivel Básico.

DERIVACIONES	Media	Desv St	n
C4	12.295	0.484	4
P4	11.52	0.858	4
P3	11.098	0.223	4
T5	12.255	0.341	4
O2	12.072	0.485	4
CZ	12.425	0.451	4

Tabla 480. Valores de la Media y Desviación Estándar de la habilidad Reconocimiento Cognitivo. banda Total. Prueba Cognitiva. nivel Básico.

DERIVACIONES	Media	Desv St	n
F7	8.645	0.183	4
F3	9.585	0.298	4
C4	9.165	0.285	4
T5	9.377	0.184	4
O2	9.787	0.283	4
CZ	9.33	0.279	4

Tabla 477. Valores de la Media y Desviación Estándar de la habilidad Reconocimiento Cognitivo. banda Beta 1. Prueba Cognitiva. nivel Básico.

DERIVACIONES	Media	Desv St	n
F7	7.373	0.393	4
F4	8.103	0.171	4
F3	7.845	0.530	4
P3	7.42	0.409	4

Tabla 479. Valores de la Media y Desviación Estándar de la habilidad Reconocimiento Cognitivo. banda Gamma. Prueba Cognitiva. nivel Básico.

<i>DERIVACIONES</i>	<i>Media</i>	<i>Desv St</i>	<i>n</i>
F8	8.952	0.627	4
F7	8.852	0.424	4
F4	9.710	0.290	4
F3	9.824	0.297	4
C4	9.890	0.332	4
T4	9.094	0.531	4
T3	8.876	0.453	4
P4	9.166	0.622	4
P3	8.676	0.248	4
T6	9.946	0.329	4
T5	10.00	0.250	4
O2	9.642	0.523	4
CZ	10.410	0.461	4

Tabla 481. Valores de la Media y Desviación Estándar de la habilidad Clasificación Cognitiva. banda Alfa 1. Prueba Cognitiva. nivel Básico.

<i>DERIVACIONES</i>	<i>Media</i>	<i>Desv St</i>	<i>n</i>
F8	11.374	0.668	4
F4	11.358	0.471	4
F3	11.720	1.029	4
T3	10.582	0.301	4
P4	10.174	1.177	4
P3	10.182	0.491	4
T5	11.392	0.684	4

Tabla 483. Valores de la Media y Desviación Estándar de la habilidad Organización Cognitiva. banda Delta. Prueba Cognitiva. nivel Básico.

<i>DERIVACIONES</i>	<i>Media</i>	<i>Desv St</i>	<i>n</i>
F8	9.428	0.737	4
F4	10.178	0.487	4
F3	10.162	0.708	4
C4	10.124	0.588	4
T3	9.310	0.563	4
P4	9.324	0.387	4
T5	10.076	0.920	4
O2	9.704	0.688	4
CZ	10.302	0.565	4

Tabla 485. Valores de la Media y Desviación Estándar de la habilidad Organización Cognitiva. banda Theta 2. Prueba Cognitiva. nivel Básico.

<i>DERIVACIONES</i>	<i>Media</i>	<i>Desv St</i>	<i>n</i>
F7	7.636	0.403	4
O2	8.704	0.783	4

Tabla 482. Valores de la Media y Desviación Estándar de la habilidad Clasificación Cognitiva. banda Gamma. Prueba Cognitiva. nivel Básico.

<i>DERIVACIONES</i>	<i>Media</i>	<i>Desv St</i>	<i>n</i>
F4	10.624	0.391	4
C4	10.652	0.433	4
T3	10.034	0.554	4
P4	9.756	1.373	4
T5	10.508	0.247	4

Tabla 484. Valores de la Media y Desviación Estándar de la habilidad Organización Cognitiva. banda Theta 1. Prueba Cognitiva. nivel Básico.

<i>DERIVACIONES</i>	<i>Media</i>	<i>Desv St</i>	<i>n</i>
F8	8.908	0.614	4
F7	8.832	0.760	4
F3	9.858	0.418	4
C4	9.882	0.214	4
T3	9.034	0.355	4
P4	9.088	0.862	4
P3	8.650	0.087	4
T5	10.038	0.269	4
CZ	10.214	0.617	4

Tabla 486. Valores de la Media y Desviación Estándar de la habilidad Organización Cognitiva. banda Alfa 1. Prueba Cognitiva. nivel Básico.

DERIVACIONES	Media	Desv St	n
F8	8.666	0.732	4
F4	9.046	0.256	4
F3	9.356	0.762	4
C4	9.168	0.525	4
P4	8.734	0.374	4
P3	8.324	0.165	4
T5	9.384	0.251	4

Tabla 487. Valores de la Media y Desviación Estándar de la habilidad Organización Cognitiva. banda Alfa 2. Prueba Cognitiva. nivel Básico.

DERIVACIONES	Media	Desv St	n
F8	8.502	0.636	4
F7	8.634	0.758	4
F3	9.268	0.626	4
T5	8.992	0.626	4
O2	9.360	0.802	4

Tabla 489. Valores de la Media y Desviación Estándar de la habilidad Organización Cognitiva. banda Beta 2. Prueba Cognitiva. nivel Básico.

DERIVACIONES	Media	Desv St	n
F8	11.952	0.548	4
F4	12.234	0.321	4
F3	12.490	0.719	4
T3	11.760	0.294	4
P4	11.558	0.805	4
P3	11.204	0.345	4
T6	12.492	0.520	4
T5	12.298	0.383	4
CZ	12.422	0.486	4

Tabla 491. Valores de la Media y Desviación Estándar de la habilidad Organización Cognitiva. banda Total. Prueba Cognitiva. nivel Básico.

DERIVACIONES	Media	Desv St	n
F3-F4	0.777	0.172	4
C3-C4	0.775	0.572	4
T5-T6	0.802	0.21	4
O1-O2	1.558	0.23	4

Tabla 492. Media y Desviación Estándar de la Correlación Interhemisférica. Banda Delta. Tarea de Jerarquización Cognitiva nivel Básico.

DERIVACIONES	Media	Desv St	n
F8	8.926	0.487	4
F4	9.564	0.134	4
F3	9.722	0.393	4
P4	9.326	0.530	4
P3	8.754	0.506	4
T5	9.372	0.166	4
CZ	9.316	0.212	4

Tabla 488. Valores de la Media y Desviación Estándar de la habilidad Organización Cognitiva. banda Beta 1. Prueba Cognitiva. nivel Básico.

DERIVACIONES	Media	Desv St	n
T6	8.532	1.280	4
T5	8.292	0.875	4

Tabla 490. Valores de la Media y Desviación Estándar de la habilidad Organización Cognitiva. banda Gamma. Prueba Cognitiva. nivel Básico.

DERIVACIONES	Media	Desv St	n
F3-F4	0.518	0.18	4
O1-O2	1.502	0.48	4

Tabla 493. Media y Desviación Estándar de la Correlación Interhemisférica. Banda Theta 1. Tarea de Jerarquización Cognitiva nivel Básico.

DERIVACIONES	Media	Desv St	n
F3-F4	0.687	0.176	4
T5-T6	0.62	0.144	4
O1-O2	1.448	0.302	4

Tabla 494. Media y Desviación Estándar de la Correlación Interhemisférica. Banda Theta 2. Tarea de Jerarquización Cognitiva nivel Básico.

DERIVACIONES	Media	Desv St	n
F3-F4	0.425	0.124	4
O1-O2	1.158	0.153	4

Tabla 496. Media y Desviación Estándar de la Correlación Interhemisférica. Banda Alfa 2. Tarea de Jerarquización Cognitiva nivel Básico.

DERIVACIONES	Media	Desv St	n
F3-F4	0.588	0.11	4
T5-T6	0.643	0.155	4
O1-O2	1.320	0.262	4

Tabla 498. Media y Desviación Estándar de la Correlación Interhemisférica. Banda Total. Tarea de Jerarquización Cognitiva nivel Básico.

DERIVACIONES	Media	Desv St	n
F3-F4	0.69	0.073	4
C3-C4	0.668	0.425	4
T5-T6	0.855	0.156	4
P3-P4	0.557	0.153	4
O1-O2	1.848	0.196	4

Tabla 499 Media y Desviación Estándar de la Correlación Interhemisférica. Banda Delta. Tarea de Asociación Cognitiva nivel Básico.

DERIVACIONES	Media	Desv St	n
F3-F4	0.577	0.04	4
T5-T6	0.557	0.095	4
O1-O2	1.410	0.236	4

Tabla 501. Media y Desviación Estándar de la Correlación Interhemisférica. Banda Theta 2. Tarea de Asociación Cognitiva nivel Básico.

DERIVACIONES	Media	Desv St	n
F3-F4	0.307	0.327	4
T5-T6	0.5	0.181	4
O1-O2	1.245	0.259	4

Tabla 495. Media y Desviación Estándar de la Correlación Interhemisférica. Banda Alfa 1. Tarea de Jerarquización Cognitiva nivel Básico.

DERIVACIONES	Media	Desv St	n
F3-F4	0.37	0.28	4
T5-T6	0.53	0.295	4
O1-O2	1.128	0.286	4

Tabla 497. Media y Desviación Estándar de la Correlación Interhemisférica. Banda Beta 1. Tarea de Jerarquización Cognitiva nivel Básico.

DERIVACIONES	Media	Desv St	n
F3-F4	0.65	0.2	4
C3-C4	0.595	0.417	4
T5-T6	0.707	0.139	4
O1-O2	1.683	0.292	4

Tabla 500. Media y Desviación Estándar de la Correlación Interhemisférica. Banda Theta 1. Tarea de Asociación Cognitiva nivel Básico.

DERIVACIONES	Media	Desv St	n
F3-F4	0.505	0.013	4
O1-O2	1.185	0.248	4

Tabla 502. Media y Desviación Estándar de la Correlación Interhemisférica. Banda Alfa 1. Tarea de Asociación Cognitiva nivel Básico.

DERIVACIONES	Media	Desv St	n
F3-F4	0.43	0.029	4
O1-O2	1.075	0.321	4

Tabla 503 Media y Desviación Estándar de la Correlación Interhemisférica. Banda Alfa 2. Tarea de Asociación Cognitiva nivel Básico.

DERIVACIONES	Media	Desv St	n
O1-O2	0.805	0.134	4

Tabla 505 Media y Desviación Estándar de la Correlación Interhemisférica. Banda Beta 2. Tarea de Asociación Cognitiva nivel Básico.

DERIVACIONES	Media	Desv St	n
F3-F4	0.628	0.102	4
C3-C4	0.52	0.369	4
T5-T6	0.693	0.136	4
O1-O2	1.383	0.266	4

Tabla 507 Media y Desviación Estándar de la Correlación Interhemisférica. Banda Total. Tarea de Asociación Cognitiva nivel Básico.

DERIVACIONES	Media	Desv St	n
F3-F4	0.79	0.093	4
C3-C4	0.725	0.539	4
T5-T6	0.952	0.188	4
P3-P4	0.615	0.124	4
O1-O2	1.742	0.215	4

Tabla 508 Media y Desviación Estándar de la Correlación Interhemisférica. Banda Delta. Tarea de Secuenciación Cognitiva.

DERIVACIONES	Media	Desv St	n
F3-F4	0.612	0.128	4
T5-T6	0.597	0.11	4
O1-O2	1.390	0.296	4

Tabla 510 Media y Desviación Estándar de la Correlación Interhemisférica. Banda Theta 2. Tarea de Secuenciación Cognitiva nivel Básico.

DERIVACIONES	Media	Desv St	n
O1-O2	0.995	0.132	4

Tabla 504. Media y Desviación Estándar de la Correlación Interhemisférica. Banda Beta 1. Tarea de Asociación Cognitiva nivel Básico.

DERIVACIONES	Media	Desv St	n
T5-T6	0.585	0.219	4
O1-O2	0.745	0.159	4

Tabla 506. Media y Desviación Estándar de la Correlación Interhemisférica. Banda Gamma. Tarea de Asociación Cognitiva nivel Básico.

DERIVACIONES	Media	Desv St	n
F3-F4	0.663	0.16	4
C3-C4	0.525	0.361	4
T5-T6	0.692	0.246	4
O1-O2	1.505	0.312	4

Tabla 509. Media y Desviación Estándar de la Correlación Interhemisférica. Banda Theta 1. Tarea de Secuenciación Cognitiva nivel Básico.

DERIVACIONES	Media	Desv St	n
F3-F4	0.545	0.093	4
O1-O2	1.307	0.29	4

Tabla 511. Media y Desviación Estándar de la Correlación Interhemisférica. Banda Alfa 1. Tarea de Secuenciación Cognitiva nivel Básico.

<i>DERIVACIONES</i>	<i>Media</i>	<i>Desv St</i>	<i>n</i>
F3-F4	0.45	0.061	4
C3-C4	0.332	0.217	4
O1-O2	1.117	0.235	4

Tabla 512 Media y Desviación Estándar de la Correlación Interhemisférica. Banda Alfa 2. Tarea de Secuenciación Cognitiva nivel Básico.

<i>DERIVACIONES</i>	<i>Media</i>	<i>Desv St</i>	<i>n</i>
F3-F4	0.2	0.132	4

Tabla 514 Media y Desviación Estándar de la Correlación Interhemisférica. Banda Beta 2. Tarea de Secuenciación Cognitiva nivel Básico.

<i>DERIVACIONES</i>	<i>Media</i>	<i>Desv St</i>	<i>n</i>
F3-F4	0.67	0.112	4
C3-C4	0.543	0.371	4
T5-T6	0.722	0.17	4
O1-O2	1.342	0.294	4

Tabla 516 Media y Desviación Estándar de la Correlación Interhemisférica. Banda Total. Tarea de Secuenciación Cognitiva nivel Básico.

<i>DERIVACIONES</i>	<i>Media</i>	<i>Desv St</i>	<i>n</i>
F3-F4	0.655	0.058	4
C3-C4	0.7	0.438	4
T5-T6	0.828	0.101	4
O1-O2	1.723	0.188	4

Tabla 517 Media y Desviación Estándar de la Correlación Interhemisférica. Banda Delta. Tarea de Vocabulario Cognitivo nivel Básico.

<i>DERIVACIONES</i>	<i>Media</i>	<i>Desv St</i>	<i>n</i>
F3-F4	0.48	0.085	4
C3-C4	0.51	0.388	4
T5-T6	0.708	0.149	4
O1-O2	1.425	0.203	4

Tabla 519 Media y Desviación Estándar de la Correlación Interhemisférica. Banda Theta 2. Tarea de Vocabulario Cognitivo nivel Básico.

<i>DERIVACIONES</i>	<i>Media</i>	<i>Desv St</i>	<i>n</i>
O1-O2	1.113	0.287	4

Tabla 513. Media y Desviación Estándar de la Correlación Interhemisférica. Banda Beta 1. Tarea de Secuenciación Cognitiva nivel Básico.

<i>DERIVACIONES</i>	<i>Media</i>	<i>Desv St</i>	<i>n</i>
C3-C4	0.51	0.385	4
T5-T6	0.698	0.114	4
O1-O2	1.023	0.513	4

Tabla 515. Media y Desviación Estándar de la Correlación Interhemisférica. Banda Gamma. Tarea de Secuenciación Cognitiva nivel Básico.

<i>DERIVACIONES</i>	<i>Media</i>	<i>Desv St</i>	<i>n</i>
F3-F4	0.658	0.087	4
C3-C4	0.592	0.406	4
T5-T6	0.647	0.16	4
O1-O2	1.520	0.257	4

Tabla 518. Media y Desviación Estándar de la Correlación Interhemisférica. Banda Theta 1. Tarea de Vocabulario Cognitivo nivel Básico.

<i>DERIVACIONES</i>	<i>Media</i>	<i>Desv St</i>	<i>n</i>
F3-F4	0.473	0.059	4
T5-T6	0.538	0.136	4
O1-O2	1.203	0.278	4

Tabla 520. Media y Desviación Estándar de la Correlación Interhemisférica. Banda Alfa 1. Tarea de Vocabulario Cognitivo nivel Básico.

DERIVACIONES	Media	Desv St	n
F3-F4	0.452	0.049	4
C3-C4	0.398	0.252	4
O1-O2	0.975	0.246	4

Tabla 521 Media y Desviación Estándar de la Correlación Interhemisférica. Banda Alfa 2. Tarea de Vocabulario Cognitivo nivel Básico.

DERIVACIONES	Media	Desv St	n
O1-O2	0.927	0.391	4

Tabla 523 Media y Desviación Estándar de la Correlación Interhemisférica. Banda Beta 2. Tarea de Vocabulario Cognitivo nivel Básico.

DERIVACIONES	Media	Desv St	n
F3-F4	0.6	0.049	4
C3-C4	0.575	0.384	4
T5-T6	0.693	0.107	4
O1-O2	1.313	0.298	4

Tabla 525 Media y Desviación Estándar de la Correlación Interhemisférica. Banda Total. Tarea de Vocabulario Cognitivo nivel Básico.

DERIVACIONES	Media	Desv St	n
F3-F4	0.88	0.119	4
C3-C4	0.717	0.447	4
T5-T6	0.83	0.189	4
O1-O2	1.830	0.149	4

Tabla 526. Media y Desviación Estándar de la Correlación Interhemisférica. Banda Delta. Tarea de Conceptualización Cognitiva nivel Básico.

DERIVACIONES	Media	Desv St	n
F3-F4	0.728	0.176	4
C3-C4	0.468	0.376	4
T5-T6	0.505	0.191	4
O1-O2	1.353	0.152	4

Tabla 528. Media y Desviación Estándar de la Correlación Interhemisférica. Banda Theta 2. Tarea de Conceptualización Cognitiva nivel Básico.

DERIVACIONES	Media	Desv St	n
C3-C4	0.34	0.22	4
O1-O2	1.015	0.323	4

Tabla 522. Media y Desviación Estándar de la Correlación Interhemisférica. Banda Beta 1. Tarea de Vocabulario Cognitivo nivel Básico.

DERIVACIONES	Media	Desv St	n
T5-T6	0.563	0.163	4
O1-O2	0.827	0.472	4

Tabla 524. Media y Desviación Estándar de la Correlación Interhemisférica. Banda Gamma. Tarea de Vocabulario Cognitivo nivel Básico.

DERIVACIONES	Media	Desv St	n
F3-F4	0.75	0.178	4
C3-C4	0.75	0.569	4
T5-T6	0.673	0.222	4
O1-O2	1.508	0.333	4

Tabla 527. Media y Desviación Estándar de la Correlación Interhemisférica. Banda Theta 1. Tarea de Conceptualización Cognitiva nivel Básico.

DERIVACIONES	Media	Desv St	n
F3-F4	0.39	0.172	4
T5-T6	0.63	0.239	4
O1-O2	1.360	0.2	4

Tabla 529. Media y Desviación Estándar de la Correlación Interhemisférica. Banda Alfa 1. Tarea de Conceptualización Cognitiva nivel Básico.

DERIVACIONES	Media	Desv St	n
O1-O2	1.018	0.168	4

Tabla 530. Media y Desviación Estándar de la Correlación Interhemisférica. Banda Alfa 2. Tarea de Conceptualización Cognitiva nivel Básico.

DERIVACIONES	Media	Desv St	n
C3-C4	0.253	0.264	4
O1-O2	0.982	0.335	4

Tabla 532. Media y Desviación Estándar de la Correlación Interhemisférica. Banda Beta 2. Tarea de Conceptualización Cognitiva nivel Básico.

DERIVACIONES	Media	Desv St	n
F3-F4	0.950	0.098	4
C3-C4	0.595	0.381	4
T5-T6	0.860	0.175	4
P3-P4	0.515	0.114	4
O1-O2	1.862	0.232	4

Tabla 534. Media y Desviación Estándar de la Correlación Interhemisférica. Banda Delta. Tarea de Seguimiento de Instrucciones Cognitivo nivel Básico.

DERIVACIONES	Media	Desv St	n
F7-F8	-0.265	0.285	4
F3-F4	0.545	0.154	4
C3-C4	0.603	0.340	4
T5-T6	0.652	0.219	4
O1-O2	1.510	0.255	4

Tabla 536. Media y Desviación Estándar de la Correlación Interhemisférica. Banda Theta 2. Tarea de Seguimiento de Instrucciones Cognitivo nivel Básico.

DERIVACIONES	Media	Desv St	n
C3-C4	0.388	0.382	4
O1-O2	1.017	0.16	4

Tabla 531. Media y Desviación Estándar de la Correlación Interhemisférica. Banda Beta 1. Tarea de Conceptualización Cognitiva nivel Básico.

DERIVACIONES	Media	Desv St	n
F3-F4	0.73	0.147	4
C3-C4	0.575	0.397	4
T5-T6	0.73	0.131	4
O1-O2	1.317	0.192	4

Tabla 533. Media y Desviación Estándar de la Correlación Interhemisférica. Banda Total. Tarea de Conceptualización Cognitiva nivel Básico.

DERIVACIONES	Media	Desv St	n
F3-F4	0.742	0.184	4
C3-C4	0.503	0.375	4
T5-T6	0.768	0.336	4
O1-O2	1.362	0.134	4

Tabla 535. Media y Desviación Estándar de la Correlación Interhemisférica. Banda Theta 1. Tarea de Seguimiento de Instrucciones Cognitivo nivel Básico.

DERIVACIONES	Media	Desv St	n
F7-F8	-0.300	0.229	4
F3-F4	0.490	0.137	4
O1-O2	0.940	0.201	4

Tabla 537. Media y Desviación Estándar de la Correlación Interhemisférica. Banda Alfa 2. Tarea de Seguimiento de Instrucciones Cognitivo nivel Básico.

DERIVACIONES	Media	Desv St	n
F3-F4	0.335	0.102	4
O1-O2	1.050	0.155	4

Tabla 538. Media y Desviación Estándar de la Correlación Interhemisférica. Banda Beta 1. Tarea de Seguimiento de Instrucciones Cognitivo nivel Básico.

DERIVACIONES	Media	Desv St	n
F3-F4	0.660	0.096	4
C3-C4	0.493	0.323	4
T5-T6	0.690	0.165	4
O1-O2	1.317	0.249	4

Tabla 540. Media y Desviación Estándar de la Correlación Interhemisférica. Banda Total. Tarea de Seguimiento de Instrucciones Cognitivo nivel Básico.

DERIVACIONES	Media	DesvSt	n
O2	9.406	0.828	4
CZ	10.438	0.491	4

Tabla 541. Valores de la Media y Desviación Estándar de la habilidad Discriminación, banda Theta 2. Prueba Perceptual, nivel Global.

DERIVACIONES	Media	DesvSt	n
F8	8.582	0.787	4
F7	8.622	0.799	4
T3	10.042	0.583	4
O1	9.888	0.436	4

Tabla 564. Valores de la Media y Desviación Estándar de la habilidad Discriminación, banda Beta 2. Prueba Perceptual, nivel Global.

DERIVACIONES	Media	DesvSt	n
F8	7.756	1.333	4
T3	9.350	0.685	4
CZ	8.046	1.090	4

Tabla 545. Valores de la Media y Desviación Estándar de la habilidad Memoria Perceptual, banda Gamma. Prueba Perceptual, nivel Global.

DERIVACIONES	Media	Desv St	n
C3-C4	0.327	0.155	4
O1-O2	0.740	0.262	4

Tabla 539. Media y Desviación Estándar de la Correlación Interhemisférica. Banda Beta 2. Tarea de Seguimiento de Instrucciones Cognitivo nivel Básico.

DERIVACIONES	Media	DesvSt	n
F8	8.936	0.764	4
F7	9.146	0.460	4
T3	9.314	0.422	4
CZ	10.288	0.490	4

Tabla 542. Valores de la Media y Desviación Estándar de la habilidad Discriminación, banda Alfa 1. Prueba Perceptual, nivel Global.

DERIVACIONES	Media	DesvSt	n
F8	7.688	0.524	4
F7	7.966	0.533	4
C3	7.956	0.356	4
T3	9.152	0.588	4
O1	9.266	0.709	4
CZ	7.892	0.459	4

Tabla 544. Valores de la Media y Desviación Estándar de la habilidad Discriminación, banda Gamma. Prueba Perceptual, nivel Global.

DERIVACIONES	Media	DesvSt	n
F8	11.896	0.337	4
F7	11.942	0.306	4
T4	10.956	0.598	4
O2	10.560	0.809	4

Tabla 546. Valores de la Media y Desviación Estándar de la habilidad Reconocimiento de la Tercera Dimensión, banda Delta. Prueba Perceptual, nivel Global.

DERIVACIONES	Media	DesvSt	n
F7	11.710	0.650	4
F4	11.362	0.360	4
C4	11.294	0.354	4
T4	10.620	0.504	4
P4	10.518	0.643	4
P3	10.626	0.509	4
T5	11.586	0.339	4
O2	10.090	0.763	4
CZ	11.410	0.398	4

Tabla 547. Valores de Media y Desviación Estándar de la habilidad Conservación Espacial, banda Delta. Prueba Perceptual, nivel Global.

DERIVACIONES	Media	DesvSt	n
F8	9.864	0.948	4
O1	9.454	0.482	4
CZ	8.086	0.763	4

Tabla 549. Valores de Media y Desviación Estándar de la habilidad Conservación Espacial, banda Gamma. Prueba Perceptual, nivel Global.

DERIVACIONES	Media	DesvSt	n
F8	7.948	0.821	4
F7	7.956	0.786	4
C3	7.898	0.741	4
P3	8.302	0.648	4
T6	8.252	0.692	4
O1	9.448	0.623	4
CZ	7.950	0.688	4

Tabla 550. Valores de la Media y Desviación Estándar de la habilidad Figura Fondo, banda Gamma. Prueba Perceptual, nivel Global.

DERIVACIONES	Media	DesvSt	n
F3	10.476	0.289	4
C3	10.348	0.324	4
T4	9.620	0.533	4
P4	9.508	0.893	4
O2	9.168	0.721	4
CZ	10.454	0.264	4

Tabla 548. Valores de Media y Desviación Estándar de la habilidad Conservación Espacial, banda Theta 1. Prueba Perceptual, nivel Global.

DERIVACIONES	Media	DesvSt	n
F3	12.048	0.253	4
T4	11.042	0.627	4

Tabla 551. Valores de la Media y Desviación Estándar de la habilidad Analogía de Imágenes, banda Delta. Prueba Perceptual, nivel Global.

DERIVACIONES	Media	DesvSt	n
F4	11.2854	0.097	4
F3	11.272	0.349	4
C4	11.412	0.177	4
C3	11.416	0.224	4
T4	10.876	0.364	4
T3	10.876	0.364	4
P4	10.304	0.806	4
P3	10.634	0.449	4
T5	11.262	0.320	4
O2	10.310	0.530	4
CZ	11.484	0.245	4

Tabla 553. Valores de la Media y Desviación Estándar de la habilidad Abstracción Visual, banda Delta. Prueba Perceptual, nivel Global.

DERIVACIONES	Media	DesvSt	n
F8	7.922	0.918	4
F7	7.994	1.061	4
C3	8.156	0.770	4
T5	8.372	0.753	4
O1	9.552	0.516	4
CZ	8.196	0.702	4

Tabla 555. Valores de la Media y Desviación Estándar de la habilidad Abstracción Visual, banda Gamma. Prueba Perceptual, nivel Global.

DERIVACIONES	Media	DesvSt	n
F8	7.986	0.816	4
O2	9.254	0.520	4
CZ	8.056	0.749	4

Tabla 552. Valores de la Media y Desviación Estándar de la habilidad Analogía de Imágenes, banda Gamma. Prueba Perceptual, nivel Global.

DERIVACIONES	Media	DesvSt	n
T4	9.812	0.521	4
CZ	10.564	0.236	4

Tabla 554. Valores de la Media y Desviación Estándar de la habilidad Abstracción Visual, banda Theta 1. Prueba Perceptual, nivel Global.

DERIVACIONES	Media	DesvSt	n
F4	11.755	0.545	4
F3	11.655	0.513	4
C4	11.740	0.491	4
C3	11.580	0.335	4
T4	10.882	0.355	4
T3	10.660	0.269	4
P4	10.373	0.703	4
P3	10.452	0.600	4
T6	11.690	0.491	4
T5	11.720	0.307	4
O2	10.790	0.674	4
CZ	11.833	0.322	4

Tabla 556. Valores de la Media y Desviación Estándar de la habilidad Memoria, banda Delta. Prueba Cognitiva, nivel Global.

DERIVACIONES	Media	DesvSt	n
F4	10.115	0.601	4
F3	9.978	0.423	4
C4	10.208	0.587	4
C3	10.057	0.457	4
T4	9.272	0.688	4
T3	9.107	0.552	4
P4	8.725	0.942	4
P3	8.875	0.907	4
T6	10.152	0.674	4
T5	10.107	0.598	4
O2	9.493	0.949	4
CZ	10.345	0.577	4

Tabla 558. Valores de la Media y Desviación Estándar de la habilidad Memoria, banda Theta 2. Prueba Cognitiva, nivel Global.

DERIVACIONES	Media	DesvSt	n
F4	9.315	0.303	4
T6	9.795	0.364	4
O1	9.640	0.462	4
O2	9.600	0.433	4
CZ	9.525	0.424	4

Tabla 560. Valores de la Media y Desviación Estándar de la habilidad Memoria, banda Alfa 2. Prueba Cognitiva, nivel Global.

DERIVACIONES	Media	DesvSt	n
F4	10.650	0.518	4
F3	10.710	0.368	4
C4	10.743	0.639	4
C3	10.740	0.478	4
T4	9.925	0.560	4
T3	9.903	0.460	4
P4	9.303	1.049	4
P3	9.465	0.955	4
T6	10.758	0.666	4
T5	10.798	0.575	4
O2	9.988	0.923	4
CZ	10.830	0.595	4

Tabla 557. Valores de la Media y Desviación Estándar de la habilidad Memoria, banda Theta 1. Prueba Cognitiva, nivel Global.

DERIVACIONES	Media	DesvSt	n
F4	9.755	0.547	4
F3	9.807	0.619	4
C4	10.175	0.739	4
C3	10.065	0.978	4
T4	9.095	0.674	4
T3	8.995	0.625	4
P4	8.687	0.787	4
P3	8.730	0.591	4
T6	9.998	0.577	4
T5	10.115	0.669	4
O1	9.810	0.710	4
CZ	10.177	0.710	4

Tabla 559. Valores de la Media y Desviación Estándar de la habilidad Memoria, banda Alfa 1. Prueba Cognitiva, nivel Global.

DERIVACIONES	Media	DesvSt	n
F7	8.525	0.337	4
F4	9.683	0.187	4
C4	9.412	0.207	4
C3	9.292	0.200	4
P4	8.965	0.135	4
T6	9.605	0.152	4
O2	9.745	0.379	4
CZ	9.345	0.181	4

Tabla 561. Valores de la Media y Desviación Estándar de la habilidad Memoria, banda Beta 1. Prueba Cognitiva, nivel Global.

DERIVACIONES	Media	DesvSt	n
F7	8.195	0.308	4
T6	9.045	0.224	4
T5	8.900	0.166	4

Tabla 562. Valores de la Media y Desviación Estándar de la habilidad Memoria, banda Beta 2. Prueba Cognitiva, nivel Global.

DERIVACIONES	Media	DesvSt	n
F4	12.450	0.474	4
F3	12.393	0.436	4
C4	12.515	0.517	4
C3	12.388	0.453	4
T4	11.848	0.517	4
T3	11.702	0.565	4
P4	11.283	0.622	4
P3	11.295	0.585	4
T6	12.480	0.450	4
T5	12.498	0.358	4
O1	12.230	0.542	4
CZ	12.552	0.406	4

Tabla 564. Valores de la Media y Desviación Estándar de la habilidad Memoria, banda Total. Prueba Cognitiva, nivel Global.

DERIVACIONES	Media	DesvSt	n
F4	11.770	0.462	4
F3	11.708	0.793	4
C4	11.788	0.429	4
C3	11.663	0.421	4
T4	10.955	0.242	4
T3	10.753	0.270	4
P4	10.290	0.672	4
P3	10.570	0.637	4
T6	11.578	0.536	4
T5	11.800	0.405	4
O2	10.827	0.612	4
CZ	11.960	0.310	4

Tabla 565. Valores de la Media y Desviación Estándar de la habilidad Analogías, banda Delta. Prueba Cognitiva, nivel Global.

DERIVACIONES	Media	DesvSt	n
F4	8.692	0.246	4
C4	8.022	0.137	4
T6	8.350	0.538	4
CZ	7.700	0.189	4

Tabla 563. Valores de la Media y Desviación Estándar de la habilidad Memoria, banda Gamma. Prueba Cognitiva, nivel Global.

DERIVACIONES	Media	DesvSt	n
F7	9.808	0.695	4
F4	10.600	0.751	4
F3	10.475	0.634	4
C4	10.638	0.856	4
C3	10.330	0.659	4
T4	9.755	0.755	4
T3	9.640	0.552	4
P4	9.342	1.280	4
P3	9.415	0.922	4
T6	10.815	0.760	4
T5	10.657	0.484	4
O2	10.043	1.052	4
O1	10.363	0.959	4
CZ	10.788	0.634	4

Tabla 566. Valores de la Media y Desviación Estándar de la habilidad Analogías, banda Theta 1. Prueba Cognitiva, nivel Global.

<i>DERIVACIONES</i>	<i>Media</i>	<i>DesvSt</i>	<i>n</i>
F7	8.910	0.415	4
F4	10.038	0.641	4
F3	9.848	0.675	4
C4	10.128	0.695	4
C3	10.095	0.688	4
T4	9.090	0.669	4
T3	8.913	0.903	4
P4	8.752	1.124	4
P3	8.857	0.925	4
T5	10.250	0.614	4
O2	9.420	1.053	4
O1	9.795	1.038	4
CZ	10.188	0.680	4

Tabla 567. Valores de la Media y Desviación Estándar de la habilidad Analogías, banda Theta 2. Prueba Cognitiva, nivel Global.

<i>DERIVACIONES</i>	<i>Media</i>	<i>DesvSt</i>	<i>n</i>
F7	8.228	0.462	4
F4	9.188	0.471	4
F3	9.137	0.472	4
C4	9.348	0.807	4
C3	9.247	0.690	4
T4	8.833	0.517	4
T3	8.490	0.627	4
P4	8.368	0.730	4
P3	8.520	0.480	4
T6	9.400	0.251	4
T5	9.295	0.300	4
CZ	9.272	0.530	4

Tabla 569. Valores de la Media y Desviación Estándar de la habilidad Analogías, banda Alfa 2. Prueba Cognitiva, nivel Global.

<i>DERIVACIONES</i>	<i>Media</i>	<i>DesvSt</i>	<i>n</i>
F7	8.080	0.601	4
F4	9.660	0.630	4
C4	9.030	0.488	4
C3	8.750	0.749	4
T4	9.385	0.727	4
P4	8.762	0.413	4
CZ	8.740	0.347	4

Tabla 571. Valores de la Media y Desviación Estándar de la habilidad Analogías, banda Beta 2. Prueba Cognitiva, nivel Global.

<i>DERIVACIONES</i>	<i>Media</i>	<i>DesvSt</i>	<i>n</i>
F7	8.600	0.442	4
F4	9.675	0.519	4
C4	9.900	0.608	4
C3	10.055	0.815	4
T4	9.022	0.915	4
T3	8.802	0.503	4
P4	8.775	0.868	4
T6	9.972	0.403	4
T5	9.915	0.609	4
CZ	10.150	0.653	4

Tabla 568. Valores de la Media y Desviación Estándar de la habilidad Analogías, banda Alfa 1. Prueba Cognitiva, nivel Global.

<i>DERIVACIONES</i>	<i>Media</i>	<i>DesvSt</i>	<i>n</i>
F7	8.522	0.447	4
F4	9.648	0.457	4
C4	9.645	0.320	4
T4	9.442	0.328	4
P4	8.820	0.387	4
T6	9.767	0.188	4
T5	9.725	0.166	4
CZ	9.465	0.314	4

Tabla 570. Valores de la Media y Desviación Estándar de la habilidad Analogías, banda Beta 1. Prueba Cognitiva, nivel Global.

<i>DERIVACIONES</i>	<i>Media</i>	<i>DesvSt</i>	<i>n</i>
F4	8.892	0.587	4
C3	7.653	0.712	4
T4	8.997	0.996	4

Tabla 572. Valores de la Media y Desviación Estándar de la habilidad Analogías, banda Gamma. Prueba Cognitiva, nivel Global.

DERIVACIONES	Media	DesvSt	n
F7	11.593	0.607	4
F4	12.438	0.515	4
F3	12.418	0.591	4
C4	12.480	0.526	4
C3	12.340	0.498	4
T4	11.755	0.409	4
T3	11.585	0.440	4
P4	11.212	0.765	4
T6	12.425	0.499	4
T5	12.480	0.398	4
O1	12.255	0.669	4
CZ	12.595	0.387	4

Tabla 573. Valores de la Media y Desviación Estándar de la habilidad Analogías, banda Total. Prueba Cognitiva, nivel Global.

DERIVACIONES	Media	DesvSt	n
F4	11.840	0.563	4
F3	11.882	0.581	4
C4	11.748	0.612	4
T4	10.845	0.394	4
P4	10.680	0.577	4
P3	10.440	0.821	4
T5	11.807	0.508	4
O2	10.967	0.375	4
O1	11.487	0.380	4
CZ	11.712	0.731	4

Tabla 574. Valores de la Media y Desviación Estándar de la habilidad Planeación, banda Delta. Prueba Cognitiva, nivel Global.

DERIVACIONES	Media	DesvSt	n
T4	10.320	0.316	4
P4	10.385	1.047	4
P3	9.675	0.758	4
T5	10.938	0.447	4
O2	10.572	0.711	4
O1	10.773	0.524	4

Tabla 575. Valores de la Media y Desviación Estándar de la habilidad Planeación, banda Theta 1. Prueba Cognitiva, nivel Global.

DERIVACIONES	Media	DesvSt	n
F7	9.448	0.286	4
F3	10.495	0.246	4
C4	10.620	0.671	4
C3	10.480	0.621	4
T4	9.825	0.538	4
T3	9.445	0.531	4
P4	9.337	0.797	4
P3	9.387	0.581	4
T6	10.983	0.253	4
T5	10.912	0.485	4
O1	10.415	0.577	4
CZ	10.732	0.517	4

Tabla 576. Valores de la Media y Desviación Estándar de la habilidad Planeación, banda Theta 2. Prueba Cognitiva, nivel Global.

DERIVACIONES	Media	DesvSt	n
F4	10.100	0.435	4
F3	9.855	0.640	4
C4	10.560	0.616	4
C3	10.138	0.863	4
T4	9.543	0.334	4
T3	9.198	0.211	4
P4	9.065	0.902	4
P3	9.053	0.283	4
T6	10.387	0.484	4
T5	10.470	0.729	4
O1	10.222	0.297	4
CZ	10.655	0.928	4

Tabla 577. Valores de la Media y Desviación Estándar de la habilidad Planeación, banda Alfa 1. Prueba Cognitiva, nivel Global.

DERIVACIONES	Media	DesvSt	n
F7	8.538	0.318	4
F4	9.790	0.325	4
F3	9.648	0.255	4
C4	9.840	0.470	4
T4	8.993	0.660	4
T3	8.985	0.560	4
P4	8.500	0.803	4
P3	8.405	0.152	4
T6	9.818	0.602	4
T5	9.773	0.503	4
O1	9.852	0.559	4
CZ	9.927	0.439	4

Tabla 578. Valores de la Media y Desviación Estándar de la habilidad Planeación banda Alfa 2. Prueba Cognitiva, nivel Global.

DERIVACIONES	Media	DesvSt	n
F7	8.757	0.438	4
C4	9.645	0.403	4
C3	9.435	0.319	4
P4	8.825	0.414	4
T6	9.693	0.189	4
T5	9.555	0.304	4
O2	9.848	0.377	4
CZ	9.532	0.348	4

Tabla 579. Valores de la Media y Desviación Estándar de la habilidad Planeación banda Beta 1. Prueba Cognitiva, nivel Global.

DERIVACIONES	Media	DesvSt	n
F7	8.397	0.246	4
T3	10.412	0.693	4
T5	8.928	0.349	4
CZ	8.935	0.217	4

Tabla 580. Valores de la Media y Desviación Estándar de la habilidad Planeación, banda Beta 2. Prueba Cognitiva, nivel Global.

DERIVACIONES	Media	DesvSt	n
F7	7.570	0.582	4
C4	7.822	0.298	4
C3	7.977	0.709	4
T4	10.012	0.419	4
T3	9.860	0.925	4
P4	7.545	0.281	4
P3	8.010	0.294	4
T6	7.807	0.283	4
T5	7.870	0.502	4
O2	7.755	0.935	4
O1	8.243	1.223	4
CZ	7.683	0.175	4

Tabla 581. Valores de la Media y Desviación Estándar de la habilidad Planeación banda Gamma. Prueba Cognitiva, nivel Global.

DERIVACIONES	Media	DesvSt	n
F4	12.668	0.247	4
C4	12.648	0.485	4
T4	12.120	0.342	4
P4	11.670	0.693	4
P3	11.430	0.543	4
T5	12.730	0.337	4
CZ	12.682	0.505	4

Tabla 582. Valores de la Media y Desviación Estándar de la habilidad Planeación, banda Total. Prueba Cognitiva, nivel Global.

DERIVACIONES	Media	DesvSt	n
F4	11.700	0.433	4
F3	11.663	0.384	4
C4	11.732	0.357	4
C3	11.567	0.329	4
T4	10.925	0.325	4
T3	10.765	0.245	4
P4	10.445	0.695	4
P3	10.533	0.554	4
T6	11.668	0.423	4
T5	11.683	0.354	4
O2	10.815	0.616	4
CZ	11.805	0.287	4

Tabla 583. Valores de la Media y Desviación Estándar de la habilidad Comprensión, banda Delta. Prueba Cognitiva, nivel Global.

DERIVACIONES	Media	DesvSt	n
F4	10.598	0.603	4
F3	10.608	0.449	4
C4	10.753	0.652	4
C3	10.635	0.552	4
T4	10.017	0.559	4
T3	9.813	0.482	4
P4	9.565	1.080	4
T5	10.870	0.485	4
O2	10.180	0.981	4
O1	10.590	0.852	4
CZ	10.830	0.600	4

Tabla 584. Valores de la Media y Desviación Estándar de la habilidad Comprensión, banda Theta 1. Prueba Cognitiva, nivel Global.

<i>DERIVACIONES</i>	<i>Media</i>	<i>DesvSt</i>	<i>n</i>
F4	10.033	0.557	4
F3	10.043	0.408	4
C4	10.145	0.579	4
C3	10.210	0.504	4
T4	9.358	0.629	4
T3	9.155	0.522	4
P4	8.885	0.938	4
P3	8.982	0.934	4
T6	10.277	0.481	4
T5	10.295	0.517	4
O2	9.640	1.042	4
O1	9.975	0.944	4
CZ	10.395	0.551	4

Tabla 585. Valores de la Media y Desviación Estándar de la habilidad Comprensión, banda Theta 2. Prueba Cognitiva, nivel Global.

<i>DERIVACIONES</i>	<i>Media</i>	<i>DesvSt</i>	<i>n</i>
F4	9.227	0.203	4
F3	9.210	0.302	4
T4	8.950	0.553	4
P4	8.245	0.590	4
P3	8.417	0.348	4
T6	9.390	0.327	4
T5	9.438	0.163	4
CZ	9.393	0.322	4

Tabla 587. Valores de la Media y Desviación Estándar de la habilidad Comprensión, banda Alfa 2. Prueba Cognitiva, nivel Global.

<i>DERIVACIONES</i>	<i>Media</i>	<i>DesvSt</i>	<i>n</i>
F7	8.265	0.316	4
T3	10.205	0.959	4
CZ	8.688	0.282	4

Tabla 589. Valores de la Media y Desviación Estándar de la habilidad Comprensión, banda Beta 2. Prueba Cognitiva, nivel Global.

<i>DERIVACIONES</i>	<i>Media</i>	<i>DesvSt</i>	<i>n</i>
F4	9.618	0.471	4
F3	9.592	0.483	4
C4	10.143	0.608	4
C3	9.883	0.770	4
T4	9.077	0.638	4
T3	8.832	0.639	4
P4	8.465	0.912	4
P3	8.668	0.596	4
T6	9.875	0.555	4
T5	10.023	0.490	4
O1	9.773	0.770	4
CZ	10.240	0.584	4

Tabla 586. Valores de la Media y Desviación Estándar de la habilidad Comprensión, banda Alfa 1. Prueba Cognitiva, nivel Global.

<i>DERIVACIONES</i>	<i>Media</i>	<i>DesvSt</i>	<i>n</i>
F7	8.640	0.266	4
F4	9.773	0.382	4
C4	9.495	0.184	4
T6	9.583	0.064	4
T5	9.512	0.107	4
P4	8.755	0.422	4
CZ	9.413	0.191	4

Tabla 588. Valores de la Media y Desviación Estándar de la habilidad Comprensión, banda Beta 1. Prueba Cognitiva, nivel Global.

<i>DERIVACIONES</i>	<i>Media</i>	<i>DesvSt</i>	<i>n</i>
T4	9.548	0.882	4
T5	7.990	0.289	4

Tabla 590. Valores de la Media y Desviación Estándar de la habilidad Comprensión, banda Gamma. Prueba Cognitiva, nivel Global.

DERIVACIONES	Media	DesvSt	n
F7	11.948	0.555	4
F4	12.420	0.415	4
F3	12.413	0.400	4
C4	12.480	0.438	4
C3	12.330	0.423	4
T4	11.973	0.578	4
T3	11.870	0.557	4
P4	11.265	0.756	4
T6	12.445	0.422	4
T5	12.470	0.354	4
O2	11.923	0.791	4
O1	12.313	0.699	4
CZ	12.543	0.379	4

Tabla 591. Valores de la Media y Desviación Estándar de la habilidad Comprensión, banda Total. Prueba Cognitiva, nivel Global.

DERIVACIONES	Media	DesvSt	n
F4	11.685	0.576	4
F3	11.615	0.574	4
C4	11.745	0.488	4
C3	11.485	0.464	4
T4	11.033	0.384	4
T3	10.725	0.307	4
P4	10.410	0.784	4
P3	10.580	0.630	4
T6	11.668	0.430	4
T5	11.660	0.336	4
O2	10.882	0.660	4
O1	11.420	0.594	4
CZ	11.790	0.426	4

Tabla 592. Valores de la Media y Desviación Estándar de la habilidad Solución de Problemas, banda Delta. Prueba Cognitiva, nivel Global.

DERIVACIONES	Media	DesvSt	n
F4	10.670	0.648	4
F3	10.600	0.391	4
C4	10.822	0.690	4
C3	10.565	0.616	4
T4	10.023	0.593	4
T3	9.782	0.443	4
T6	10.862	0.677	4
T5	10.808	0.550	4
O1	10.460	0.895	4
CZ	10.890	0.585	4

Tabla 593. Valores de la Media y Desviación Estándar de la habilidad Solución de Problemas, banda Theta 1. Prueba Cognitiva, nivel Global.

<i>DERIVACIONES</i>	<i>Media</i>	<i>DesvSt</i>	<i>n</i>
F4	10.065	0.569	4
F3	9.908	0.313	4
C4	10.112	0.571	4
C3	10.095	0.291	4
T4	9.310	0.722	4
T3	9.103	0.499	4
P4	8.992	0.800	4
P3	8.990	0.920	4
T6	10.305	0.621	4
T5	10.313	0.470	4
O2	9.595	1.036	4
O1	10.000	0.935	4
CZ	10.398	0.359	4

Tabla 594. Valores de la Media y Desviación Estándar de la habilidad Solución de Problemas, banda Theta 2. Prueba Cognitiva, nivel Global.

<i>DERIVACIONES</i>	<i>Media</i>	<i>DesvSt</i>	<i>n</i>
F7	8.498	0.351	4
P4	8.643	0.660	4
T5	9.413	0.201	4
CZ	9.282	0.067	4

Tabla 596. Valores de la Media y Desviación Estándar de la habilidad Solución de Problemas, banda Alfa 2. Prueba Cognitiva, nivel Global.

<i>DERIVACIONES</i>	<i>Media</i>	<i>DesvSt</i>	<i>n</i>
C4	8.875	0.364	4
T5	8.917	0.066	4

Tabla 598. Valores de la Media y Desviación Estándar de la habilidad Solución de Problemas, banda Beta 2. Prueba Cognitiva, nivel Global.

<i>DERIVACIONES</i>	<i>Media</i>	<i>DesvSt</i>	<i>n</i>
F4	9.663	0.411	4
F3	9.625	0.406	4
C4	10.138	0.581	4
C3	9.917	0.549	4
T4	9.000	0.631	4
T3	8.817	0.587	4
P4	8.808	0.773	4
P3	8.625	0.646	4
T6	9.948	0.471	4
T5	10.083	0.350	4
O2	9.510	0.826	4
O1	9.792	0.720	4
CZ	10.190	0.540	4

Tabla 595. Valores de la Media y Desviación Estándar de la habilidad Solución de Problemas, banda Alfa 1. Prueba Cognitiva, nivel Global.

<i>DERIVACIONES</i>	<i>Media</i>	<i>DesvSt</i>	<i>n</i>
F7	8.748	0.362	4
F4	9.802	0.455	4
C4	9.482	0.255	4
C3	9.500	0.321	4
T5	9.515	0.166	4
CZ	9.485	0.246	4

Tabla 597. Valores de la Media y Desviación Estándar de la habilidad Solución de Problemas, banda Beta 1. Prueba Cognitiva, nivel Global.

<i>DERIVACIONES</i>	<i>Media</i>	<i>DesvSt</i>	<i>n</i>
T3	9.357	1.220	4
O1	8.663	1.070	4

Tabla 599. Valores de la Media y Desviación Estándar de la habilidad Solución de Problemas, banda Gamma. Prueba Cognitiva, nivel Global.

DERIVACIONES	Media	DesvSt	n
F4	12.440	0.530	4
F3	12.405	0.488	4
C4	12.482	0.480	4
C3	12.275	0.425	4
T4	11.910	0.449	4
P4	11.378	0.715	4
T6	12.465	0.429	4
T5	12.460	0.320	4
O2	11.932	0.797	4
O1	12.285	0.704	4
CZ	12.545	0.400	4

Tabla 600. Valores de la Media y Desviación Estándar de la habilidad Solución de Problemas, banda Total. Prueba Cognitiva, nivel Global.

DERIVACIONES	Media	DesvSt	n
F4	11.688	0.513	4
F3	11.745	0.427	4
C4	11.750	0.532	4
C3	11.600	0.353	4
T4	10.875	0.510	4
T3	10.770	0.281	4
P4	10.455	0.867	4
T6	11.692	0.442	4
T5	11.672	0.316	4
O2	10.867	0.565	4
O1	11.362	0.468	4
CZ	11.743	0.444	4

Tabla 601. Valores de la Media y Desviación Estándar de la habilidad Procesos Aritméticos, banda Delta. Prueba Cognitiva, nivel Global.

DERIVACIONES	Media	DesvSt	n
F4	10.620	0.649	4
F3	10.660	0.532	4
C4	10.820	0.683	4
C3	10.700	0.587	4
T4	10.033	0.609	4
T3	9.717	0.526	4
T6	10.830	0.697	4
T5	10.805	0.657	4
P4	9.375	1.073	4
P3	9.490	0.955	4
O2	9.910	1.030	4
O1	10.420	0.906	4
CZ	10.973	0.633	4

Tabla 602. Valores de la Media y Desviación Estándar de la habilidad Procesos Aritméticos, banda Theta 1. Prueba Cognitiva, nivel Global.

DERIVACIONES	Media	DesvSt	n
F7	9.230	0.766	4
F4	10.053	0.753	4
F3	10.040	0.532	4
C4	10.195	0.649	4
C3	10.152	0.624	4
T4	9.403	0.693	4
T3	9.152	0.505	4
P4	8.895	0.968	4
P3	8.9523	0.858	4
T6	10.293	0.520	4
T5	10.262	0.497	4
O2	9.447	0.879	4
O1	9.782	0.830	4
CZ	10.365	0.577	4

Tabla 603. Valores de la Media y Desviación Estándar de la habilidad Procesos Aritméticos, banda Theta 2. Prueba Cognitiva, nivel Global.

DERIVACIONES	Media	DesvSt	n
F7	8.817	0.671	4
F4	9.765	0.602	4
F3	9.670	0.600	4
C4	10.097	0.614	4
C3	9.853	0.689	4
T4	9.140	0.666	4
T3	8.795	0.550	4
P4	8.597	0.778	4
P3	8.675	0.715	4
T6	9.920	0.401	4
T5	9.965	0.492	4
O2	9.478	0.829	4
O1	9.723	0.781	4
CZ	10.135	0.598	4

Tabla 604. Valores de la Media y Desviación Estándar de la habilidad Procesos Aritméticos, banda Alfa 1. Prueba Cognitiva, nivel Global.

DERIVACIONES	Media	DesvSt	n
F7	8.370	0.568	4
F4	9.192	0.332	4
F3	9.248	0.369	4
C3	9.213	0.150	4
T3	8.495	0.517	4
P4	8.343	0.535	4
P3	8.397	0.303	4
T6	9.350	0.145	4
T5	9.427	0.199	4
O1	9.553	0.749	4
CZ	9.383	0.188	4

Tabla 605. Valores de la Media y Desviación Estándar de la habilidad Procesos Aritméticos, banda Alfa 2. Prueba Cognitiva, nivel Global.

DERIVACIONES	Media	DesvSt	n
F4	0.467	0.467	4
C4	9.433	0.265	4
P4	8.895	0.426	4
T6	9.613	0.085	4
T5	9.515	0.094	4
CZ	9.423	0.217	4

Tabla 606. Valores de la Media y Desviación Estándar de la habilidad Procesos Aritméticos, banda Beta 1. Prueba Cognitiva, nivel Global.

DERIVACIONES	Media	DesvSt	n
P4	8.702	0.487	4
P3	8.518	0.322	4

Tabla 607. Valores de la Media y Desviación Estándar de la habilidad Procesos Aritméticos, banda Beta 2. Prueba Cognitiva, nivel Global.

DERIVACIONES	Media	DesvSt	n
F4	12.405	0.532	4
F3	12.455	0.520	4
C4	12.480	0.526	4
C3	12.337	0.436	4
T4	11.787	0.580	4
T3	11.688	0.545	4
P4	11.270	0.803	4
T6	12.467	0.433	4
T5	12.450	0.353	4
O1	12.252	0.620	4
CZ	12.533	0.460	4

Tabla 608. Valores de la Media y Desviación Estándar de la habilidad Procesos Aritméticos, banda Total. Prueba Cognitiva, nivel Global.

DERIVACIONES	Media	DesvSt	n
F4	11.740	0.453	4
F3	11.715	0.687	4
C4	11.505	0.379	4
C3	11.375	0.449	4
T4	10.763	0.358	4
T3	10.702	0.482	4
P4	10.192	0.734	4
P3	10.460	0.541	4
T6	11.532	0.432	4
T5	11.610	0.423	4
O2	10.775	0.671	4
O1	11.387	0.624	4
CZ	11.770	0.423	4

Tabla 609. Valores de la Media y Desviación Estándar de la habilidad Toma de Decisiones, banda Delta. Prueba Cognitiva, nivel Global.

DERIVACIONES	Media	DesvSt	n
F4	10.598	0.481	4
F3	10.708	0.526	4
C4	10.725	0.655	4
C3	10.700	0.665	4
T4	9.895	0.522	4
T3	10.000	0.531	4
P4	9.560	1.052	4
P3	9.645	0.990	4
T6	10.922	0.601	4
T5	10.990	0.504	4
O2	10.228	0.860	4
O1	10.715	0.780	4
CZ	10.908	0.650	4

Tabla 610. Valores de la Media y Desviación Estándar de la habilidad Toma de Decisiones, banda Theta 1. Prueba Cognitiva, nivel Global.

DERIVACIONES	Media	DesvSt	n
F4	10.178	0.679	4
F3	10.185	0.732	4
C4	10.273	0.590	4
C3	10.065	0.596	4
T4	9.322	0.500	4
T3	9.170	0.636	4
P4	8.857	0.855	4
P3	8.875	0.944	4
T6	10.465	0.500	4
T5	10.313	0.545	4
O2	9.552	0.816	4
O1	9.952	0.768	4
CZ	10.470	0.657	4

Tabla 611. Valores de la Media y Desviación Estándar de la habilidad Toma de Decisiones, banda Theta 2. Prueba Cognitiva, nivel Global.

DERIVACIONES	Media	DesvSt	n
F7	8.583	0.440	4
F4	9.322	0.316	4
F3	9.272	0.469	4
C3	9.282	0.337	4
T4	8.770	0.328	4
P3	8.528	0.413	4
T6	9.445	0.106	4
T5	9.588	0.291	4
CZ	9.517	0.238	4

Tabla 613. Valores de la Media y Desviación Estándar de la habilidad Toma de Decisiones, banda Alfa 2. Prueba Cognitiva, nivel Global.

DERIVACIONES	Media	DesvSt	n
F4	9.835	0.473	4
C4	8.960	0.422	4
C3	8.660	0.269	4
T6	9.025	0.159	4

Tabla 615. Valores de la Media y Desviación Estándar de la habilidad Toma de Decisiones, banda Beta 2. Prueba Cognitiva, nivel Global.

DERIVACIONES	Media	DesvSt	n
F4	9.642	0.392	4
F3	9.702	0.632	4
C4	9.968	0.857	4
C3	9.857	0.769	4
T4	9.030	0.694	4
T3	8.883	0.567	4
P4	8.485	0.913	4
P3	8.755	0.727	4
T6	9.917	0.556	4
T5	10.075	0.491	4
O1	9.833	0.788	4
CZ	10.105	0.701	4

Tabla 612. Valores de la Media y Desviación Estándar de la habilidad Toma de Decisiones, banda Alfa 1. Prueba Cognitiva, nivel Global.

DERIVACIONES	Media	DesvSt	n
F4	9.958	0.436	4
C4	9.457	0.265	4
T6	9.662	0.074	4
T5	0.510	0.146	4
CZ	9.482	0.168	4

Tabla 614. Valores de la Media y Desviación Estándar de la habilidad Toma de Decisiones, banda Beta 1. Prueba Cognitiva, nivel Global.

DERIVACIONES	Media	DesvSt	n
F4	8.998	0.548	4
C4	7.803	0.284	4
C3	7.557	0.331	4

Tabla 616. Valores de la Media y Desviación Estándar de la habilidad Toma de Decisiones, banda Gamma. Prueba Cognitiva, nivel Global.

DERIVACIONES	Media	DesvSt	n
F4	12.480	0.429	4
F3	12.460	0.649	4
C4	12.355	0.478	4
C3	12.223	0.512	4
T4	11.817	0.435	4
T3	11.732	0.584	4
T6	12.445	0.410	4
T5	12.485	0.382	4
P4	11.143	0.760	4
P3	11.328	0.632	4
O2	11.965	0.711	4
O1	12.367	0.648	4
CZ	12.547	0.494	4

Tabla 617. Valores de la Media y Desviación Estándar de la habilidad Toma de Decisiones, banda Total. Prueba Cognitiva, nivel Global.

DERIVACIONES	Media	DesvSt	n
F4	11.71	0.443	4
F3	11.763	0.583	4
C4	11.673	0.319	4
T4	10.72	0.282	4
T3	11.02	0.279	4
P4	10.275	0.582	4
P3	10.635	0.675	4
T6	11.033	0.788	4
T5	11.075	0.406	4
O2	11.148	0.342	4
O1	10.848	0.544	4
CZ	8.79	0.203	4

Tabla 618. Valores de la Media y Desviación Estándar de la habilidad Abstracción, banda Delta. Prueba Cognitiva, nivel Global.

DERIVACIONES	Media	DesvSt	n
C4	10.743	0.373	4
T4	9.812	0.317	4
T3	9.818	0.478	4
P3	9.343	0.798	4
T6	10.785	0.598	4
O2	10.615	0.374	4

Tabla 620. Valores de la Media y Desviación Estándar de la habilidad Abstracción, banda Theta 2. Prueba Cognitiva, nivel Global.

DERIVACIONES	Media	DesvSt	n
O2	10.370	0.541	4
O1	10.848	0.544	4
CZ	7.456	0.319	4

Tabla 619. Valores de la Media y Desviación Estándar de la habilidad Abstracción, banda Theta 1. Prueba Cognitiva, nivel Global.

DERIVACIONES	Media	DesvSt	n
F4	10.365	0.533	4
F3	10.410	0.200	4
C4	10.673	0.805	4
C3	10.702	0.553	4
T4	9.675	0.545	4
T3	9.533	0.643	4
T5	10.773	1.072	4

Tabla 621. Valores de la Media y Desviación Estándar de la habilidad Abstracción, banda Alfa 1. Prueba Cognitiva, nivel Global.

DERIVACIONES	Media	DesvSt	n
T3	9.055	0.629	4
T5	9.850	0.709	4
O2	10.060	0.338	4
CZ	10.149	0.321	4

Tabla 622. Valores de la Media y Desviación Estándar de la habilidad Abstracción, banda Alfa 2. Prueba Cognitiva, nivel Global.

DERIVACIONES	Media	DesvSt	n
F4	10.085	0.299	4
T6	9.873	0.525	4
T5	9.585	0.528	4

Tabla 623. Valores de la Media y Desviación Estándar de la habilidad Abstracción, banda Beta 1. Prueba Cognitiva, nivel Global.

DERIVACIONES	Media	DesvSt	n
F7	12.040	0.519	4
F3	12.755	0.274	4
C4	12.040	0.519	4
T4	12.107	0.479	4
P4	11.375	0.605	4
P3	11.513	0.503	4
T6	12.730	0.482	4
T5	12.780	0.400	4
O2	12.357	0.315	4
O1	12.680	0.283	4
CZ	12.922	0.234	4

Tabla 624. Valores de la Media y Desviación Estándar de la habilidad Abstracción, banda Total. Prueba Cognitiva, nivel Global.

DERIVACIONES	Media	DesvSt	n
F4	11.488	0.429	4
F3	11.425	0.429	4
C4	11.615	0.486	4
C3	11.580	0.436	4
T4	10.795	0.359	4
T3	10.842	0.260	4
P4	10.512	0.831	4
P3	10.672	0.660	4
T6	11.692	0.520	4
T5	11.690	0.423	4
O2	10.795	0.688	4
O1	11.325	0.611	4
CZ	11.723	0.437	4

Tabla 625. Valores de la Media y Desviación Estándar de la habilidad Síntesis, banda Delta. Prueba Cognitiva, nivel Global.

DERIVACIONES	Media	DesvSt	n
F4	10.695	0.463	4
F3	10.892	0.424	4
C4	10.935	0.555	4
C3	10.882	0.433	4
T4	10.093	0.589	4
T3	10.055	0.395	4
P4	9.568	1.182	4
P3	9.690	1.005	4
T5	11.005	0.505	4
O2	10.135	0.898	4
O1	10.640	0.864	4
CZ	11.077	0.516	4

Tabla 626. Valores de la Media y Desviación Estándar de la habilidad Síntesis, banda Theta 1. Prueba Cognitiva, nivel Global.

<i>DERIVACIONES</i>	<i>Media</i>	<i>DesvSt</i>	<i>n</i>
F4	10.148	0.536	4
F3	10.145	0.493	4
C4	10.240	0.573	4
C3	10.242	0.351	4
T3	9.317	0.524	4
P4	8.905	1.026	4
P3	8.957	1.003	4
T5	10.398	0.362	4
O2	9.658	0.953	4
O1	10.012	0.891	4
CZ	10.385	0.433	4

Tabla 627. Valores de la Media y Desviación Estándar de la habilidad Síntesis, banda Theta 2. Prueba Cognitiva, nivel Global.

<i>DERIVACIONES</i>	<i>Media</i>	<i>DesvSt</i>	<i>n</i>
F4	9.228	0.274	4
F3	9.253	0.197	4
T4	8.655	0.389	4
P4	8.340	0.729	4
T5	9.387	0.116	4
CZ	9.420	0.149	4

Tabla 629. Valores de la Media y Desviación Estándar de la habilidad Síntesis, banda Alfa 2. Prueba Cognitiva, nivel Global.

<i>DERIVACIONES</i>	<i>Media</i>	<i>DesvSt</i>	<i>n</i>
F7	8.328	0.353	4
CZ	8.895	0.319	4

Tabla 631. Valores de la Media y Desviación Estándar de la habilidad Síntesis, banda Beta 2. Prueba Cognitiva, nivel Global.

<i>DERIVACIONES</i>	<i>Media</i>	<i>DesvSt</i>	<i>n</i>
F7	8.907	0.657	4
F4	9.670	0.507	4
F3	9.745	0.433	4
C4	10.070	0.472	4
C3	10.012	0.483	4
T4	9.095	0.625	4
T3	8.893	0.422	4
P4	8.518	0.852	4
P3	8.752	0.683	4
T6	9.930	0.383	4
T5	10.083	0.545	4
CZ	10.212	0.509	4

Tabla 628. Valores de la Media y Desviación Estándar de la habilidad Síntesis, banda Alfa 1. Prueba Cognitiva, nivel Global.

<i>DERIVACIONES</i>	<i>Media</i>	<i>DesvSt</i>	<i>n</i>
F7	8.665	0.357	4
F4	9.853	0.386	4
F3	9.920	0.635	4
C4	9.560	0.272	4
T4	9.553	0.521	4
T3	9.735	0.694	4
T6	9.677	0.159	4
T5	9.560	0.142	4
CZ	9.498	0.372	4

Tabla 630. Valores de la Media y Desviación Estándar de la habilidad Síntesis, banda Beta 1. Prueba Cognitiva, nivel Global.

<i>DERIVACIONES</i>	<i>Media</i>	<i>DesvSt</i>	<i>n</i>
C3	7.923	0.353	4
T3	9.285	0.809	4

Tabla 632. Valores de la Media y Desviación Estándar de la habilidad Síntesis, banda Gamma. Prueba Cognitiva, nivel Global.

DERIVACIONES	Media	DesvSt	n
F4	12.353	0.414	4
F3	12.407	0.431	4
C4	12.465	0.421	4
C3	12.418	0.311	4
T4	11.805	0.480	4
T3	11.802	0.407	4
P4	11.325	0.828	4
P3	11.457	0.668	4
T5	12.523	0.370	4
CZ	12.563	0.404	4

Tabla 633. Valores de la Media y Desviación Estándar de la habilidad Síntesis, banda Total. Prueba Cognitiva, nivel Global.

DERIVACIONES	Media	DesvSt	n
F7	11.153	0.544	4
C4	12.090	0.463	4
T4	10.717	0.265	4
T3	10.845	0.108	4
P4	10.550	0.798	4
P3	10.565	1.026	4
T6	11.560	0.925	4
O2	10.775	0.859	4
O1	11.455	0.787	4
CZ	12.083	0.341	4

Tabla 634. Valores de la Media y Desviación Estándar de la habilidad Sensibilidad Gramatical, banda Delta. Prueba Cognitiva, nivel Global.

DERIVACIONES	Media	DesvSt	n
F7	8.778	0.557	4
C4	10.228	1.134	4
C3	10.152	0.427	4
T4	9.333	1.085	4
T3	9.458	0.379	4
P3	8.893	1.016	4
O2	9.488	0.912	4
CZ	10.277	0.703	4

Tabla 636. Valores de la Media y Desviación Estándar de la habilidad Sensibilidad Gramatical, banda Theta 2. Prueba Cognitiva, nivel Global.

DERIVACIONES	Media	DesvSt	n
F7	9.350	0.471	4
F4	10.720	0.840	4
C4	10.833	0.882	4
C3	10.460	0.505	4
T4	9.965	0.746	4
T3	9.623	0.493	4
P3	9.647	1.156	4
T6	10.833	0.997	4
T5	10.825	0.572	4
O1	10.675	0.946	4
CZ	10.485	0.854	4

Tabla 635. Valores de la Media y Desviación Estándar de la habilidad Sensibilidad Gramatical, banda Theta 1. Prueba Cognitiva, nivel Global.

DERIVACIONES	Media	DesvSt	n
F3	9.945	0.684	4
T3	8.925	0.741	4
P4	8.555	1.339	4
T5	10.005	0.568	4
O2	9.133	1.151	4
O1	9.652	1.177	4
CZ	10.098	0.510	4

Tabla 637. Valores de la Media y Desviación Estándar de la habilidad Sensibilidad Gramatical, banda Alfa 1. Prueba Cognitiva, nivel Global.

DERIVACIONES	Media	DesvSt	n
F7	8.570	0.324	4
F3	9.698	0.450	4
T4	8.958	0.373	4
P4	8.563	0.831	4
T5	9.305	0.172	4

Tabla 638. Valores de la Media y Desviación Estándar de la habilidad Sensibilidad Gramatical, banda Alfa 2. Prueba Cognitiva, nivel Global.

DERIVACIONES	Media	DesvSt	n
F7	8.450	0.361	4
F3	10.045	0.840	4
C4	9.535	0.308	4
T4	9.905	0.801	4
P4	8.978	0.722	4
P3	8.835	0.370	4
T6	9.473	0.143	4
T5	9.438	0.172	4

Tabla 639. Valores de la Media y Desviación Estándar de la habilidad Sensibilidad Gramatical, banda Beta 1. Prueba Cognitiva, nivel Global.

DERIVACIONES	Media	DesvSt	n
F4	9.762	0.838	4
F3	9.725	1.130	4
T6	8.885	0.373	4
T5	8.743	0.182	4

Tabla 640. Valores de la Media y Desviación Estándar de la habilidad Sensibilidad Gramatical, banda Beta 2. Prueba Cognitiva, nivel Global.

DERIVACIONES	Media	DesvSt	n
F4	8.933	0.931	4
T6	7.895	0.387	4
O2	8.150	1.023	4

Tabla 641. Valores de la Media y Desviación Estándar de la habilidad Sensibilidad Gramatical, banda Gamma. Prueba Cognitiva, nivel Global.

DERIVACIONES	Media	DesvSt	n
F7	11.597	0.505	4
C4	12.710	0.556	4
T4	11.800	0.598	4
T3	11.933	0.555	4
P4	11.310	0.886	4
P3	11.380	0.895	4
T6	12.370	0.773	4
T5	12.543	0.375	4
CZ	12.628	0.422	4

Tabla 642. Valores de la Media y Desviación Estándar de la habilidad Sensibilidad Gramatical, banda Total. Prueba Cognitiva, nivel Global.

DERIVACIONES	Media	DesvSt	n
F7	11.008	0.508	4
F4	11.730	0.715	4
F3	11.800	0.962	4
C4	11.543	0.589	4
C3	11.512	0.479	4
T4	10.935	0.419	4
T3	10.732	0.519	4
P4	10.335	0.712	4
P3	10.465	0.936	4
T6	11.690	0.406	4
T5	11.685	0.297	4
O2	10.837	0.839	4
O1	11.305	0.717	4
CZ	11.605	0.396	4

Tabla 643. Valores de la Media y Desviación Estándar de la habilidad Lectura, banda Delta. Prueba Cognitiva, nivel Global.

DERIVACIONES	Media	DesvSt	n
F7	9.220	0.706	4
F4	10.092	0.779	4
F3	10.255	0.754	4
C4	10.123	0.624	4
T4	9.262	0.672	4
T3	9.143	0.631	4
T6	10.085	0.523	4
T5	10.323	0.488	4
O1	9.840	0.874	4
CZ	10.405	0.497	4

Tabla 645. Valores de la Media y Desviación Estándar de la habilidad Lectura, banda Theta 2. Prueba Cognitiva, nivel Global.

DERIVACIONES	Media	DesvSt	n
F7	8.290	0.302	4
F3	9.590	0.541	4
C4	9.473	0.360	4
P4	8.260	0.546	4
P3	8.448	0.295	4
T6	9.552	0.303	4
T5	9.530	0.127	4
CZ	9.612	0.169	4

Tabla 647. Valores de la Media y Desviación Estándar de la habilidad Lectura, banda Alfa 2. Prueba Cognitiva, nivel Global.

DERIVACIONES	Media	DesvSt	n
F4	10.770	0.501	4
F3	10.935	0.834	4
T4	10.110	0.583	4
T3	9.732	0.446	4
P4	9.230	1.160	4
P3	9.665	0.910	4
T6	10.670	0.871	4
T5	10.750	0.556	4

Tabla 644. Valores de la Media y Desviación Estándar de la habilidad Lectura, banda Theta 1. Prueba Cognitiva, nivel Global.

DERIVACIONES	Media	DesvSt	n
F7	8.660	0.592	4
F3	10.145	0.653	4
C4	9.967	0.551	4
C3	9.890	0.640	4
T4	9.125	0.613	4
T3	8.898	0.643	4
P4	8.620	0.878	4
T6	10.080	0.467	4
T5	10.200	0.489	4
CZ	10.255	0.562	4

Tabla 646. Valores de la Media y Desviación Estándar de la habilidad Lectura, banda Alfa 1. Prueba Cognitiva, nivel Global.

DERIVACIONES	Media	DesvSt	n
F7	8.683	0.256	4
F4	9.695	0.311	4
C4	9.545	0.171	4
C3	9.370	0.100	4
P4	8.955	0.323	4
P3	8.875	0.433	4
T6	9.665	0.057	4

Tabla 648. Valores de la Media y Desviación Estándar de la habilidad Lectura, banda Beta 1. Prueba Cognitiva, nivel Global.

<i>DERIVACIONES</i>	<i>Media</i>	<i>DesvSt</i>	<i>n</i>
F7	8.530	0.293	4
C4	8.857	0.287	4
T3	10.155	0.626	4
CZ	8.835	0.291	4

Tabla 649. Valores de la Media y Desviación Estándar de la habilidad Lectura, banda Beta 2. Prueba Cognitiva, nivel Global.

<i>DERIVACIONES</i>	<i>Media</i>	<i>DesvSt</i>	<i>n</i>
F7	11.628	0.529	4
F4	12.475	0.541	4
F3	12.713	0.763	4
C4	12.365	0.488	4
C3	12.325	0.336	4
T4	11.918	0.609	4
T3	11.803	0.528	4
P4	11.217	0.661	4
P3	11.378	0.717	4
T6	12.450	0.437	4
T5	12.488	0.279	4
O2	11.800	0.858	4
O1	12.148	0.763	4
CZ	12.462	0.393	4

Tabla 650. Valores de la Media y Desviación Estándar de la habilidad Lectura, banda Total. Prueba Cognitiva, nivel Global.

<i>DERIVACIONES</i>	<i>Media</i>	<i>DesvSt</i>	<i>n</i>
F7	11.675	0.544	4
F4	11.485	0.499	4
C4	11.670	0.511	4
T4	10.920	0.642	4
P4	10.235	0.770	4
P3	10.270	0.654	4
T6	11.628	0.460	4
T5	11.570	0.347	4
O2	10.735	0.509	4
O1	11.258	0.404	4
CZ	11.745	0.416	4

Tabla 651. Valores de la Media y Desviación Estándar de la habilidad Razonamiento, banda Delta. Prueba Cognitiva, nivel Global.

<i>DERIVACIONES</i>	<i>Media</i>	<i>DesvSt</i>	<i>n</i>
F4	10.793	0.780	4
C4	10.850	0.627	4
T4	10.250	0.561	4
P4	9.720	0.908	4
T6	11.067	0.495	4
O2	10.003	1.241	4
O1	10.398	1.216	4

Tabla 652. Valores de la Media y Desviación Estándar de la habilidad Razonamiento, banda Theta 1. Prueba Cognitiva, nivel Global.

DERIVACIONES	Media	DesvSt	n
C4	9.958	0.515	4
T4	9.235	0.623	4
T3	9.283	0.287	4
P3	9.073	0.882	4
CZ	10.420	0.468	4

Tabla 653. Valores de la Media y Desviación Estándar de la habilidad Razonamiento, banda Theta 2. Prueba Cognitiva, nivel Global.

DERIVACIONES	Media	DesvSt	n
F4	9.640	0.309	4
C4	9.973	0.580	4
T4	8.908	0.479	4
T3	9.092	0.174	4
P4	8.555	0.611	4
P3	8.820	0.635	4
T6	9.938	0.464	4
T5	10.062	0.382	4
O2	9.372	0.810	4
O1	9.797	0.746	4
CZ	10.223	0.744	4

Tabla 654. Valores de la Media y Desviación Estándar de la habilidad Razonamiento, banda Alfa 1. Prueba Cognitiva, nivel Global.

DERIVACIONES	Media	DesvSt	n
F7	8.690	0.148	4
F4	9.397	0.649	4
T4	8.732	0.369	4
T3	8.665	0.308	4
P4	8.213	0.582	4
P3	8.248	0.355	4
T6	9.448	0.392	4
T5	9.285	0.192	4
O1	9.262	0.615	4
CZ	9.190	0.392	4

Tabla 655. Valores de la Media y Desviación Estándar de la habilidad Razonamiento, banda Alfa 2. Prueba Cognitiva, nivel Global.

DERIVACIONES	Media	DesvSt	n
F7	8.785	0.251	4
F4	9.785	0.307	4
C4	9.393	0.302	4
T3	9.410	0.415	4
P4	8.755	0.302	4
T6	9.598	0.101	4
T5	9.550	0.112	4
O1	9.752	0.354	4
CZ	9.310	0.264	4

Tabla 656. Valores de la Media y Desviación Estándar de la habilidad Razonamiento, banda Beta 1. Prueba Cognitiva, nivel Global.

DERIVACIONES	Media	DesvSt	n
F4	12.368	0.514	4
C4	12.400	0.511	4
T4	11.955	0.454	4
T3	11.842	0.251	4
P4	11.215	0.660	4
P3	11.250	0.656	4
T6	12.463	0.416	4
T5	12.387	0.323	4
O1	12.198	0.592	4
CZ	12.513	0.444	4

Tabla 657. Valores de la Media y Desviación Estándar de la habilidad Razonamiento, banda Total. Prueba Cognitiva, nivel Global.

<i>DERIVACIONES</i>	<i>Media</i>	<i>DesvSt</i>	<i>n</i>
F7	11.018	0.866	4
F3	11.805	0.688	4
C4	11.807	0.530	4
T4	10.885	0.514	4
T5	11.503	0.287	4
O2	10.737	0.676	4
O1	11.295	0.522	4
CZ	11.740	0.381	4

Tabla 658. Valores de la Media y Desviación Estándar de la habilidad Criterio, banda Delta. Prueba Cognitiva, nivel Global.

<i>DERIVACIONES</i>	<i>Media</i>	<i>DesvSt</i>	<i>n</i>
F7	9.985	0.818	4
F4	10.680	0.855	4
C4	10.910	0.902	4
T4	10.015	0.973	4
P4	9.240	1.331	4
T6	10.918	0.816	4
T5	10.855	0.727	4
O2	10.030	1.065	4
O1	10.535	0.990	4
CZ	11.070	0.726	4

Tabla 659. Valores de la Media y Desviación Estándar de la habilidad Criterio, banda Theta 1. Prueba Cognitiva, nivel Global.

<i>DERIVACIONES</i>	<i>Media</i>	<i>DesvSt</i>	<i>n</i>
F4	9.930	0.528	4
F3	10.075	0.716	4
C4	10.160	0.823	4
C3	10.467	0.466	4
T4	9.245	0.657	4
T6	10.398	0.460	4
P4	8.720	0.930	4
P3	9.040	1.023	4
O2	9.643	0.857	4
O1	10.047	0.850	4
CZ	10.450	0.694	4

Tabla 660. Valores de la Media y Desviación Estándar de la habilidad Criterio, banda Theta 2. Prueba Cognitiva, nivel Global.

<i>DERIVACIONES</i>	<i>Media</i>	<i>DesvSt</i>	<i>n</i>
F7	8.638	0.820	4
F4	9.728	0.420	4
F3	9.703	0.510	4
C4	10.055	0.550	4
C3	10.083	0.429	4
T4	8.938	0.425	4
P4	8.630	0.749	4
P3	8.765	0.685	4
T6	9.992	0.296	4
T5	9.998	0.485	4
O2	9.568	0.615	4
O1	9.745	0.626	4
CZ	10.063	0.460	4

Tabla 661. Valores de la Media y Desviación Estándar de la habilidad Criterio, banda Alfa 1. Prueba Cognitiva, nivel Global.

DERIVACIONES	Media	DesvSt	n
F4	9.235	0.450	4
F3	9.070	0.492	4
C4	9.480	0.276	4
T4	8.535	0.413	4
T3	9.272	0.824	4
P4	7.878	0.530	4
P3	8.362	0.600	4
T6	9.410	0.469	4
T5	9.417	0.184	4
O1	9.098	0.478	4
CZ	9.390	0.412	4

Tabla 662. Valores de la Media y Desviación Estándar de la habilidad Criterio, banda Alfa 2. Prueba Cognitiva, nivel Global.

DERIVACIONES	Media	DesvSt	n
F7	8.262	0.312	4
T5	9.002	0.341	4

Tabla 664. Valores de la Media y Desviación Estándar de la habilidad Criterio, banda Beta 2. Prueba Cognitiva, nivel Global.

DERIVACIONES	Media	DesvSt	n
F7	8.435	0.358	4
F3	9.715	0.589	4
C4	9.440	0.087	4
P3	8.993	0.465	4
T6	9.545	0.111	4
T5	9.480	0.161	4
CZ	9.377	0.180	4

Tabla 663. Valores de la Media y Desviación Estándar de la habilidad Criterio, banda Beta 1. Prueba Cognitiva, nivel Global.

DERIVACIONES	Media	DesvSt	n
F4	12.450	0.427	4
F3	12.597	0.539	4
C4	12.547	0.543	4
T4	11.850	0.509	4
P4	11.160	0.886	4
P3	11.383	0.715	4
T6	12.470	0.498	4
T5	12.452	0.400	4
O2	11.915	0.648	4
O1	12.218	0.617	4
CZ	12.563	0.461	4

Tabla 665. Valores de la Media y Desviación Estándar de la habilidad Criterio, banda Total. Prueba Cognitiva, nivel Global.

DERIVACIONES	Media	DesvSt	n
F7	11.523	0.611	4
F4	11.730	0.416	4
C4	11.728	0.432	4
C3	11.415	0.652	4
T4	10.790	0.406	4
T6	11.618	0.534	4
T5	11.715	0.372	4
O2	10.850	0.479	4
O1	11.430	0.410	4

Tabla 666. Valores de la Media y Desviación Estándar de la habilidad Transformación, banda Delta. Prueba Cognitiva, nivel Global.

DERIVACIONES	Media	DesvSt	n
F4	10.675	0.580	4
T4	9.998	0.683	4
P4	9.538	0.991	4
T6	10.770	0.775	4

Tabla 667. Valores de la Media y Desviación Estándar de la habilidad Transformación, banda Theta 1. Prueba Cognitiva, nivel Global.

DERIVACIONES	Media	DesvSt	n
F7	9.288	0.449	4
F4	9.882	0.506	4
C4	9.920	0.740	4
P4	8.625	0.670	4
P3	8.945	0.979	4
T6	10.257	0.528	4
T5	10.365	0.345	4
O2	9.555	1.057	4
O1	9.890	0.949	4
CZ	10.250	0.430	4

Tabla 668. Valores de la Media y Desviación Estándar de la habilidad Transformación, banda Theta 2. Prueba Cognitiva, nivel Global.

DERIVACIONES	Media	DesvSt	n
F4	9.245	0.438	4
T4	8.512	0.515	4
T5	9.562	0.182	4
O1	9.440	0.632	4

Tabla 670. Valores de la Media y Desviación Estándar de la habilidad Transformación, banda Alfa 2. Prueba Cognitiva, nivel Global.

DERIVACIONES	Media	DesvSt	n
F7	8.157	0.413	4
T4	9.215	0.583	4
T6	8.800	0.187	4
T5	8.742	0.041	4
CZ	8.737	0.180	4

Tabla 672. Valores de la Media y Desviación Estándar de la habilidad Transformación, banda Beta 2. Prueba Cognitiva, nivel Global.

DERIVACIONES	Media	DesvSt	n
F4	12.432	0.446	4
C4	12.438	0.436	4
C3	12.137	0.641	4
T4	11.720	0.476	4
T6	12.420	0.519	4
T5	12.465	0.292	4
O1	12.245	0.557	4

Tabla 674. Valores de la Media y Desviación Estándar de la habilidad Transformación, banda Total. Prueba Cognitiva, nivel Global.

DERIVACIONES	Media	DesvSt	n
F4	9.752	0.876	4
C4	10.090	0.765	4
P4	8.735	0.805	4
T6	9.725	0.090	4
T5	8.735	0.805	4
CZ	10.193	0.259	4

Tabla 669. Valores de la Media y Desviación Estándar de la habilidad Transformación, banda Alfa 1. Prueba Cognitiva, nivel Global.

DERIVACIONES	Media	DesvSt	n
F4	9.790	0.305	4
T4	9.183	0.420	4

Tabla 671. Valores de la Media y Desviación Estándar de la habilidad Transformación, banda Beta 1. Prueba Cognitiva, nivel Global.

DERIVACIONES	Media	DesvSt	n
F7	7.485	0.650	4
CZ	7.833	0.568	4

Tabla 673. Valores de la Media y Desviación Estándar de la habilidad Transformación, banda Gamma. Prueba Cognitiva, nivel Global.

ATENCIÓN PERCEPTUAL

BANDA DELTA	GL	F	p(F)
Tratamientos	14	2.6	0.0091
Bloques (Suj)	3	0.4	0.7346

AGRUPAMIENTO

BANDA DELTA	GL	F	p(F)
Tratamientos	14	2.6	0.0091
Bloques (Suj)	3	0.4	0.7346

SIMETRIA DE LA FORMA

BANDA DELTA	GL	F	p(F)
Tratamientos	14	2.6	0.0091
Bloques (Suj)	3	0.4	0.7346

MEMORIA PERCEPTUAL

BANDA DELTA	GL	F	p(F)
Tratamientos	14	2.6	0.0091
Bloques (Suj)	3	0.4	0.7346

BANDA ALFA 1	GL	F	p(F)
Tratamientos	14	2.7	0.0062
Bloques (Suj)	3	2.7	0.0596

BANDA BETA 2	GL	F	p(F)
Tratamientos	14	2.2	0.0076
Bloques (Suj)	3	4.8	0.0063

RECONOCIMIENTO DE LA INF.

BANDA THETA 2	GL	F	p(F)
Tratamientos	14	2.1	0.0096
Bloques (Suj)	3	6.1	0.0019

DESCRIPCIÓN PERCEPTUAL

BANDA DELTA	GL	F	p(F)
Tratamientos	15	2.19	0.0025
Bloques (Suj)	3	6.59	0.0012

PERCEPCION EMOCIONAL

<i>BANDA DELTA</i>	GL	F	p(F)
Tratamientos	14	8.34	0.009
Bloques (Suj)	3	8.06	0.0004

<i>BANDA THETA 2</i>	GL	F	p(F)
Tratamientos	14	12.92	0.01
Bloques (Suj)	3	10.77	0.001

<i>BANDA ALFA 1</i>	GL	F	p(F)
Tratamientos	14	10.78	0.008
Bloques (Suj)	3	11.67	0.0001

<i>BANDA ALFA 2</i>	GL	F	p(F)
Tratamientos	14	6.19	0.01
Bloques (Suj)	3	2.65	0.0598

<i>BANDA BETA 1</i>	GL	F	p(F)
Tratamientos	14	2.77	0.0056
Bloques (Suj)	3	4.01	0.0134

<i>BANDA BETA 2</i>	GL	F	p(F)
Tratamientos	14	4.7	0.0001
Bloques (Suj)	3	4.08	0.0125

<i>BANDA GAMMA</i>	GL	F	p(F)
Tratamientos	14	4.32	0.0002
Bloques (Suj)	3	4.29	0.0101

<i>BANDA TOTAL</i>	GL	F	p(F)
Tratamientos	14	8.13	0.01
Bloques (Suj)	3	8.25	0.0004

RECONOCIMIENTO EMOCIONAL

<i>BANDA DELTA</i>	GL	F	p(F)
Tratamientos	14	2.81	0.0051
Bloques (Suj)	3	3.35	0.0274

<i>BANDA THETA 1</i>	GL	F	p(F)
Tratamientos	14	3.31	0.0016
Bloques (Suj)	3	8.25	0.0004

<i>BANDA THETA 2</i>	GL	F	p(F)
Tratamientos	14	5.05	0.0001
Bloques (Suj)	3	9.52	0.0002

<i>BANDA ALFA 1</i>	GL	F	p(F)
Tratamientos	14	3.87	0.0005
Bloques (Suj)	3	4.85	0.0057

<i>BANDA ALFA 2</i>	GL	F	p(F)
Tratamientos	14	3.6	0.0009
Bloques (Suj)	3	4.1	0.0121

<i>BANDA GAMMA</i>	GL	F	p(F)
Tratamientos	14	3.61	0.0008
Bloques (Suj)	3	5.22	0.0041

<i>BANDA TOTAL</i>	GL	F	p(F)
Tratamientos	14	2.97	0.0034
Bloques (Suj)	3	4.94	0.0052

DIFERENCIACION EMOCIONAL

<i>BANDA DELTA</i>	GL	F	p(F)
Tratamientos	14	2.97	0.0034
Bloques (Suj)	3	4.94	0.0052

<i>BANDA THETA 1</i>	GL	F	p(F)
Tratamientos	14	1.99	0.012
Bloques (Suj)	3	5.55	0.003

<i>BANDA THETA 2</i>	GL	F	p(F)
Tratamientos	14	2.6	0.0086
Bloques (Suj)	3	6.56	0.0013

<i>BANDA ALFA 1</i>	GL	F	p(F)
Tratamientos	14	2.88	0.0043
Bloques (Suj)	3	5.55	0.003

<i>BANDA ALFA 2</i>	GL	F	p(F)
Tratamientos	14	2.16	0.014
Bloques (Suj)	3	4.34	0.0096

<i>BANDA BETA 1</i>	GL	F	p(F)
Tratamientos	14	2.07	0.012
Bloques (Suj)	3	3.98	0.0139

<i>BANDA BETA 2</i>	GL	F	p(F)
Tratamientos	14	2.78	0.0055
Bloques (Suj)	3	4.63	0.0071

<i>BANDA GAMMA</i>	GL	F	p(F)
Tratamientos	14	3.14	0.0023
Bloques (Suj)	3	8.7	0.0003

<i>BANDA TOTAL</i>	GL	F	p(F)
Tratamientos	14	1.9	0.0045
Bloques (Suj)	3	4.94	0.0052

MEMORIA EMOCIONAL

<i>BANDA DELTA</i>	GL	F	p(F)
Tratamientos	14	1.92	0.013
Bloques (Suj)	3	3.4	0.0258

<i>BANDA THETA 1</i>	GL	F	p(F)
Tratamientos	14	2.26	0.0108
Bloques (Suj)	3	7.04	0.0009

<i>BANDA ALFA 1</i>	GL	F	p(F)
Tratamientos	14	3.04	0.0029
Bloques (Suj)	3	6.82	0.001

<i>BANDA ALFA 2</i>	GL	F	p(F)
Tratamientos	14	2.19	0.0103
Bloques (Suj)	3	2.66	0.0597

<i>BANDA BETA 1</i>	GL	F	p(F)
Tratamientos	14	2.38	0.013
Bloques (Suj)	3	2.62	0.0619

<i>BANDA BETA 2</i>	GL	F	p(F)
Tratamientos	14	2.21	0.0038
Bloques (Suj)	3	2.91	0.0448

<i>BANDA GAMMA</i>	GL	F	p(F)
Tratamientos	14	2.5	0.011
Bloques (Suj)	3	2.68	0.0579

<i>BANDA TOTAL</i>	GL	F	p(F)
Tratamientos	14	2.2	0.0045
Bloques (Suj)	3	4.84	0.0058

260

Tabla 676. Resultados significativos ($p(F) < .01$) del Análisis de Varianza de un factor por bandas. 11 habilidades de la evaluación Emocional, nivel Básico.

RELACION EMOCIONAL

BANDA DELTA	GL	F	p(F)
Tratamientos	14	2.66	0.0074
Bloques (Suj)	3	3.83	0.0161

BANDA THETA 1	GL	F	p(F)
Tratamientos	14	2.1	0.0103
Bloques (Suj)	3	5.45	0.0033

BANDA THETA 2	GL	F	p(F)
Tratamientos	14	3.41	0.0013
Bloques (Suj)	3	5.88	0.0022

BANDA ALFA 1	GL	F	p(F)
Tratamientos	14	3.01	0.0031
Bloques (Suj)	3	7.81	0.0005

BANDA ALFA 2	GL	F	p(F)
Tratamientos	14	2.53	0.0104
Bloques (Suj)	3	4.57	0.0075

BANDA BETA 1	GL	F	p(F)
Tratamientos	14	2.32	0.0102
Bloques (Suj)	3	3.11	0.0355

BANDA BETA 2	GL	F	p(F)
Tratamientos	14	3.16	0.0022
Bloques (Suj)	3	1.5	0.2274

BANDA GAMMA	GL	F	p(F)
Tratamientos	14	3.54	0.001
Bloques (Suj)	3	1.72	0.1757

BANDA TOTAL	GL	F	p(F)
Tratamientos	14	1.97	0.0053
Bloques (Suj)	3	3.28	0.0294

EMPATIA

BANDA DELTA	GL	F	p(F)
Tratamientos	14	2.53	0.0102
Bloques (Suj)	3	2.6	0.0635

BANDA THETA 1	GL	F	p(F)
Tratamientos	14	3.2	0.0019
Bloques (Suj)	3	7.2	0.0008

BANDA THETA 2	GL	F	p(F)
Tratamientos	14	4.22	0.0003
Bloques (Suj)	3	10.5	0.0001

BANDA ALFA 1	GL	F	p(F)
Tratamientos	14	3.89	0.0005
Bloques (Suj)	3	8.33	0.0003

BANDA ALFA 2	GL	F	p(F)
Tratamientos	14	2.63	0.008
Bloques (Suj)	3	2.55	0.0671

BANDA BETA 1	GL	F	p(F)
Tratamientos	14	2.66	0.0075
Bloques (Suj)	3	2.21	0.1002

BANDA BETA 2	GL	F	p(F)
Tratamientos	14	3.23	0.0019
Bloques (Suj)	3	1.96	0.1338

BANDA GAMMA	GL	F	p(F)
Tratamientos	14	3.9	0.0005
Bloques (Suj)	3	4.73	0.0065

BANDA TOTAL	GL	F	p(F)
Tratamientos	14	2.66	0.0074
Bloques (Suj)	3	3.83	0.0161

FLEXIBILIDAD EN EL SENTIMIENTO

BANDA DELTA	GL	F	p(F)
Tratamientos	14	1.66	0.0103
Bloques (Suj)	4	4.3	0.0045

BANDA THETA 1	GL	F	p(F)
Tratamientos	14	2.68	0.0048
Bloques (Suj)	4	8.75	0.0001

BANDA THETA 2	GL	F	p(F)
Tratamientos	14	4.04	0.0002
Bloques (Suj)	4	7.14	0.0002

BANDA ALFA 1	GL	F	p(F)
Tratamientos	14	3.68	0.0004
Bloques (Suj)	4	6.09	0.0006

BANDA ALFA 2	GL	F	p(F)
Tratamientos	14	2.7	0.0045
Bloques (Suj)	4	2.66	0.0412

BANDA BETA 1	GL	F	p(F)
Tratamientos	14	3.01	0.002
Bloques (Suj)	4	3.25	0.018

BANDA BETA 2	GL	F	p(F)
Tratamientos	14	3.16	0.0014
Bloques (Suj)	4	2.86	0.0309

BANDA GAMMA	GL	F	p(F)
Tratamientos	14	4.2	0.0001
Bloques (Suj)	4	3.15	0.0207

BANDA TOTAL	GL	F	p(F)
Tratamientos	14	2.17	0.011
Bloques (Suj)	4	5.01	0.0019

TOLERANCIA

BANDA DELTA	GL	F	p(F)
Tratamientos	14	1.83	0.0107
Bloques (Suj)	3	3.96	0.0141

BANDA THETA 1	GL	F	p(F)
Tratamientos	14	2.5	0.0102
Bloques (Suj)	3	7.72	0.0005

BANDA THETA 2	GL	F	p(F)
Tratamientos	14	3.37	0.0014
Bloques (Suj)	3	9.13	0.0002

BANDA ALFA 1	GL	F	p(F)
Tratamientos	14	2.97	0.0035
Bloques (Suj)	3	5.81	0.0024

BANDA ALFA 2	GL	F	p(F)
Tratamientos	14	2.29	0.0103
Bloques (Suj)	3	3.36	0.0269

BANDA GAMMA	GL	F	p(F)
Tratamientos	14	3.96	0.0004
Bloques (Suj)	3	8.3	0.0004

BANDA TOTAL	GL	F	p(F)
Tratamientos	14	2.25	0.0115
Bloques (Suj)	3	5.61	0.0028

261

Tabla 677. Resultados significativos ($p(F) < .01$) del Análisis de Varianza de un factor por bandas. 11 habilidades de la evaluación Emocional, nivel Básico.

RECUPERACION DEL ESTADO EMOCIONAL

<i>BANDA DELTA</i>	GL	F	p(F)
Tratamientos	14	3.27	0.0017
Bloques (Suj)	3	7.43	0.0007

<i>BANDA THETA 1</i>	GL	F	p(F)
Tratamientos	14	2.87	0.0044
Bloques (Suj)	3	5.04	0.0048

<i>BANDA THETA 2</i>	GL	F	p(F)
Tratamientos	14	4.29	0.0002
Bloques (Suj)	3	11.38	0.0001

<i>BANDA ALFA 2</i>	GL	F	p(F)
Tratamientos	14	2.34	0.012
Bloques (Suj)	3	3.26	0.0301

<i>BANDA BETA 2</i>	GL	F	p(F)
Tratamientos	14	2.87	0.0044
Bloques (Suj)	3	4.91	0.0054

<i>BANDA GAMMA</i>	GL	F	p(F)
Tratamientos	14	2.81	0.005
Bloques (Suj)	3	7.01	0.0009

<i>BANDA TOTAL</i>	GL	F	p(F)
Tratamientos	14	2.24	0.0022
Bloques (Suj)	3	6.53	0.0013

CONCEPTO SOCIAL

<i>BANDA DELTA</i>	GL	F	p(F)
Tratamientos	14	1.73	0.0057
Bloques (Suj)	3	2.89	0.0455

<i>BANDA THETA 1</i>	GL	F	p(F)
Tratamientos	14	2.34	0.013
Bloques (Suj)	3	6.92	0.001

<i>BANDA THETA 2</i>	GL	F	p(F)
Tratamientos	14	3.27	0.0017
Bloques (Suj)	3	7.43	0.0007

<i>BANDA ALFA 1</i>	GL	F	p(F)
Tratamientos	14	3.24	0.0018
Bloques (Suj)	3	7.06	0.0009

<i>BANDA ALFA 2</i>	GL	F	p(F)
Tratamientos	14	2.5	0.0101
Bloques (Suj)	3	2.74	0.0543

<i>BANDA BETA 1</i>	GL	F	p(F)
Tratamientos	14	2.47	0.0109
Bloques (Suj)	3	4.12	0.012

<i>BANDA BETA 2</i>	GL	F	p(F)
Tratamientos	14	3.27	0.0017
Bloques (Suj)	3	7.43	0.0007

<i>BANDA GAMMA</i>	GL	F	p(F)
Tratamientos	14	3.7	0.0007
Bloques (Suj)	3	5	0.005

<i>BANDA TOTAL</i>	GL	F	p(F)
Tratamientos	14	2.21	0.0036
Bloques (Suj)	3	4.62	0.0072

PERCEPCION AFECTIVA SOCIAL

<i>BANDA DELTA</i>	GL	F	p(F)
Tratamientos	14	3.27	0.0017
Bloques (Suj)	3	7.43	0.0007

<i>BANDA THETA 1</i>	GL	F	p(F)
Tratamientos	14	2.52	0.0106
Bloques (Suj)	3	5.77	0.0025

<i>BANDA THETA 2</i>	GL	F	p(F)
Tratamientos	14	4.05	0.0004
Bloques (Suj)	3	9.64	0.0002

<i>BANDA ALFA 1</i>	GL	F	p(F)
Tratamientos	14	3.12	0.0025
Bloques (Suj)	3	8.56	0.0003

<i>BANDA ALFA 2</i>	GL	F	p(F)
Tratamientos	14	2.19	0.0051
Bloques (Suj)	3	4.39	0.009

<i>BANDA BETA 1</i>	GL	F	p(F)
Tratamientos	14	1.87	0.0088
Bloques (Suj)	3	2.35	0.0847

<i>BANDA GAMMA</i>	GL	F	p(F)
Tratamientos	14	1.89	0.0058
Bloques (Suj)	3	0.93	0.5654

<i>BANDA TOTAL</i>	GL	F	p(F)
Tratamientos	14	1.94	0.0096
Bloques (Suj)	3	3.61	0.0206

202

Tabla 678. Resultados significativos ($p(F) < .01$) del Análisis de Varianza de un factor por bandas. 11 habilidades de la evaluación Emocional, nivel Básico.

RECONOCIMIENTO COGNITIVO

<i>BANDA DELTA</i>	GL	F	p(F)
Tratamientos	6	30.8	0.01
Bloques (Suj)	3	1.38	0.28

<i>BANDA THETA 1</i>	GL	F	p(F)
Tratamientos	6	37.2	0.01
Bloques (Suj)	3	3.7	0.0302

<i>BANDA THETA 2</i>	GL	F	p(F)
Tratamientos	14	1.86	0.0111
Bloques (Suj)	3	5.02	0.0049

<i>BANDA ALFA 1</i>	GL	F	p(F)
Tratamientos	6	30	0.01
Bloques (Suj)	3	8.3	0.0014

<i>BANDA ALFA 2</i>	GL	F	p(F)
Tratamientos	6	18.9	0.009
Bloques (Suj)	3	1.67	0.2077

<i>BANDA BETA 1</i>	GL	F	p(F)
Tratamientos	6	13.7	0.01
Bloques (Suj)	3	4.23	0.0197

<i>BANDA BETA 2</i>	GL	F	p(F)
Tratamientos	6	7.15	0.0007
Bloques (Suj)	3	2.1	0.1356

<i>BANDA GAMMA</i>	GL	F	p(F)
Tratamientos	14	1.82	0.011
Bloques (Suj)	3	3.47	0.024

<i>BANDA TOTAL</i>	GL	F	p(F)
Tratamientos	6	22.7	0.01
Bloques (Suj)	3	4.28	0.0188

CLASIFICACION COGNITIVA

<i>BANDA ALFA 1</i>	GL	F	p(F)
Tratamientos	14	1.74	0.012
Bloques (Suj)	4	1.65	0.1741

<i>BANDA GAMMA</i>	GL	F	p(F)
Tratamientos	14	1.8	0.011
Bloques (Suj)	4	6.5	0.000

ORGANIZACIÓN COGNITIVA

<i>BANDA DELTA</i>	GL	F	p(F)
Tratamientos	14	2.5	0.0088
Bloques (Suj)	4	7.7	0.0001

<i>BANDA THETA 1</i>	GL	F	p(F)
Tratamientos	14	2.59	0.0061
Bloques (Suj)	4	5.83	0.0008

<i>BANDA THETA 2</i>	GL	F	p(F)
Tratamientos	14	2.79	0.0035
Bloques (Suj)	4	5.1	0.0017

<i>BANDA ALFA 1</i>	GL	F	p(F)
Tratamientos	14	2.3	0.0124
Bloques (Suj)	4	1.5	0.2177

<i>BANDA ALFA 2</i>	GL	F	p(F)
Tratamientos	14	1.58	0.012
Bloques (Suj)	4	2.75	0.0363

<i>BANDA BETA 1</i>	GL	F	p(F)
Tratamientos	14	2.2	0.0118
Bloques (Suj)	4	0.59	0.6772

<i>BANDA BETA 2</i>	GL	F	p(F)
Tratamientos	14	2.6	0.0062
Bloques (Suj)	4	3.7	0.0096

<i>BANDA GAMMA</i>	GL	F	p(F)
Tratamientos	14	3.07	0.0017
Bloques (Suj)	4	7.78	0.0001

<i>BANDA TOTAL</i>	GL	F	p(F)
Tratamientos	14	2.4	0.0102
Bloques (Suj)	4	4.8	0.0025

Tabla 679. Resultados significativos ($p(F) < .01$) del Análisis de Varianza de un factor por bandas. 15 habilidades de la evaluación Cognitiva. nivel Básico.

ATENCION COGNITIVA

<i>BANDA DELTA</i>	GL	F	p(F)
Tratamientos	6	65.5	0.0001
Bloques (Suj)	3	2.62	0.0819

<i>BANDA THETA 1</i>	GL	F	p(F)
Tratamientos	6	55.1	0.0001
Bloques (Suj)	3	8.4	0.0013

<i>BANDA THETA 2</i>	GL	F	p(F)
Tratamientos	6	29.7	0.0001
Bloques (Suj)	3	3.3	0.0408

<i>BANDA ALFA 1</i>	GL	F	p(F)
Tratamientos	6	87	0.0001
Bloques (Suj)	3	11	0.0004

<i>BANDA ALFA 2</i>	GL	F	p(F)
Tratamientos	6	35.2	0.0001
Bloques (Suj)	3	9.24	0.0009

<i>BANDA BETA 1</i>	GL	F	p(F)
Tratamientos	6	23	0.0001
Bloques (Suj)	3	1.97	0.1546

<i>BANDA BETA 2</i>	GL	F	p(F)
Tratamientos	6	11	0.0001
Bloques (Suj)	3	2.1	0.1396

<i>BANDA TOTAL</i>	GL	F	p(F)
Tratamientos	6	41.8	0.0001
Bloques (Suj)	3	5.67	0.0067

DESCRIPCION COGNITIVA

<i>BANDA DELTA</i>	GL	F	p(F)
Tratamientos	6	46	0.0001
Bloques (Suj)	3	1.3	0.3153

<i>BANDA THETA 1</i>	GL	F	p(F)
Tratamientos	6	102	0.0001
Bloques (Suj)	3	8.1	0.002

<i>BANDA THETA 2</i>	GL	F	p(F)
Tratamientos	6	77.4	0.0001
Bloques (Suj)	3	17.7	0.0001

<i>BANDA ALFA 1</i>	GL	F	p(F)
Tratamientos	6	77.4	0.0102
Bloques (Suj)	3	17.7	0.0001

<i>BANDA ALFA 2</i>	GL	F	p(F)
Tratamientos	6	17.2	0.012
Bloques (Suj)	3	1.91	0.1635

<i>BANDA BETA 1</i>	GL	F	p(F)
Tratamientos	6	14.3	0.0101
Bloques (Suj)	3	4.35	0.0179

<i>BANDA BETA 2</i>	GL	F	p(F)
Tratamientos	6	55.6	0.01
Bloques (Suj)	3	5.28	0.0088

<i>BANDA GAMMA</i>	GL	F	p(F)
Tratamientos	6	36.25	0.01
Bloques (Suj)	3	4.89	0.0117

<i>BANDA TOTAL</i>	GL	F	p(F)
Tratamientos	6	56	0.01
Bloques (Suj)	3	4.68	0.0138

DISCRIMINACIÓN

<i>BANDA DELTA</i>	GL	F	p(F)
Tratamientos	6	39.6	0.0103
Bloques (Suj)	3	3.43	0.0388

<i>BANDA THETA 1</i>	GL	F	p(F)
Tratamientos	6	40.5	0.01
Bloques (Suj)	3	1.33	0.2947

<i>BANDA THETA 2</i>	GL	F	p(F)
Tratamientos	6	39.8	0.01
Bloques (Suj)	3	8.24	0.0014

<i>BANDA ALFA 1</i>	GL	F	p(F)
Tratamientos	6	32	0.0103
Bloques (Suj)	3	3.7	0.0296

<i>BANDA ALFA 2</i>	GL	F	p(F)
Tratamientos	6	34.5	0.0104
Bloques (Suj)	3	6.6	0.0037

<i>BANDA BETA 1</i>	GL	F	p(F)
Tratamientos	6	18.1	0.01
Bloques (Suj)	3	2.12	0.1332

<i>BANDA BETA 2</i>	GL	F	p(F)
Tratamientos	6	9.9	0.0002
Bloques (Suj)	3	0.9	0.556

<i>BANDA TOTAL</i>	GL	F	p(F)
Tratamientos	6	6.4	0.0012
Bloques (Suj)	3	6.9	0.003

MEMORIA PARA DETALLES

<i>BANDA DELTA</i>	GL	F	p(F)
Tratamientos	6	17	0.0101
Bloques (Suj)	3	5.7	0.0067

<i>BANDA THETA 1</i>	GL	F	p(F)
Tratamientos	6	30.3	0.01
Bloques (Suj)	3	1.35	0.2895

<i>BANDA THETA 2</i>	GL	F	p(F)
Tratamientos	6	25.7	0.01
Bloques (Suj)	3	5.77	0.0062

<i>BANDA ALFA 1</i>	GL	F	p(F)
Tratamientos	6	25.7	0.013
Bloques (Suj)	3	3.91	0.0256

<i>BANDA ALFA 2</i>	GL	F	p(F)
Tratamientos	6	20.9	0.011
Bloques (Suj)	3	3.21	0.047

<i>BANDA BETA 1</i>	GL	F	p(F)
Tratamientos	6	15.8	0.0101
Bloques (Suj)	3	0.99	0.5774

<i>BANDA GAMMA</i>	GL	F	p(F)
Tratamientos	6	8.1	0.0004
Bloques (Suj)	3	5.1	0.0102

<i>BANDA TOTAL</i>	GL	F	p(F)
Tratamientos	6	22.6	0.01
Bloques (Suj)	3	5.73	0.0064

Tabla 680. Resultados significativos ($p(F) < .01$) del Análisis de Varianza de un factor por bandas. 14 habilidades de la evaluación Cognitiva, nivel Básico.

JERARQUIZACION

BANDA DELTA	GL	F	p(F)
Tratamientos	6	13.9	0.01
Bloques (Suj)	3	1.26	0.3189

BANDA THETA 1	GL	F	p(F)
Tratamientos	6	34.34	0.01
Bloques (Suj)	3	19.31	0

BANDA THETA 2	GL	F	p(F)
Tratamientos	6	9.86	0.0002
Bloques (Suj)	3	0.89	0.5321

BANDA ALFA 1	GL	F	p(F)
Tratamientos	6	28.2	0.011
Bloques (Suj)	3	11.04	0.0004

BANDA ALFA 2	GL	F	p(F)
Tratamientos	6	18.2	0
Bloques (Suj)	3	1.24	0.3234

BANDA GAMMA	GL	F	p(F)
Tratamientos	6	13.03	0.0001
Bloques (Suj)	3	2.4	0.1008

BANDA TOTAL	GL	F	p(F)
Tratamientos	6	28.96	0.012
Bloques (Suj)	3	4.74	0.0132

BANDA GAMMA	GL	F	p(F)
Tratamientos	6	9.87	0.0002
Bloques (Suj)	3	10.7	0.0005

BANDA TOTAL	GL	F	p(F)
Tratamientos	6	33.9	0.01
Bloques (Suj)	3	5.13	0.0098

ASOCIACIÓN COGNITIVA

BANDA DELTA	GL	F	p(F)
Tratamientos	6	42.9	0.01
Bloques (Suj)	3	3.08	0.0533

BANDA THETA 1	GL	F	p(F)
Tratamientos	6	23.6	0
Bloques (Suj)	3	2.83	0.0669

BANDA THETA 2	GL	F	p(F)
Tratamientos	6	31	0.01
Bloques (Suj)	3	2.75	0.072

BANDA ALFA 1	GL	F	p(F)
Tratamientos	6	29.8	0.01
Bloques (Suj)	3	2.55	0.0872

BANDA ALFA 2	GL	F	p(F)
Tratamientos	6	29.2	0.0102
Bloques (Suj)	3	7.3	0.0024

BANDA BETA 1	GL	F	p(F)
Tratamientos	6	29	0.0101
Bloques (Suj)	3	3.52	0.0358

BANDA BETA 2	GL	F	p(F)
Tratamientos	6	21.5	0.01
Bloques (Suj)	3	1.94	0.1578

BANDA GAMMA	GL	F	p(F)
Tratamientos	6	9.87	0.0002
Bloques (Suj)	3	10.7	0.0005

BANDA TOTAL	GL	F	p(F)
Tratamientos	6	33.9	0.01
Bloques (Suj)	3	5.13	0.0098

SECUENCIA COGNITIVA

BANDA DELTA	GL	F	p(F)
Tratamientos	6	22.5	0.01
Bloques (Suj)	3	1.82	0.178

BANDA THETA 1	GL	F	p(F)
Tratamientos	6	31	0.01
Bloques (Suj)	3	6.5	0.004

BANDA THETA 2	GL	F	p(F)
Tratamientos	6	30.8	0.011
Bloques (Suj)	3	0.88	0.5254

BANDA ALFA 1	GL	F	p(F)
Tratamientos	6	30.6	0.0101
Bloques (Suj)	3	5.58	0.0071

BANDA ALFA 2	GL	F	p(F)
Tratamientos	6	35.7	0.01
Bloques (Suj)	3	0.83	0.5029

BANDA BETA 1	GL	F	p(F)
Tratamientos	6	26.1	0
Bloques (Suj)	3	4.3	0.0185

BANDA BETA 2	GL	F	p(F)
Tratamientos	6	12	0.0001
Bloques (Suj)	3	1.02	0.4089

BANDA GAMMA	GL	F	p(F)
Tratamientos	6	5.3	0.0031
Bloques (Suj)	3	4.3	0.0193

BANDA TOTAL	GL	F	p(F)
Tratamientos	6	26.9	0.01
Bloques (Suj)	3	3.98	0.0242

VOCABULARIO

BANDA DELTA	GL	F	p(F)
Tratamientos	6	43	0.01
Bloques (Suj)	3	1.6	0.21

BANDA THETA 1	GL	F	p(F)
Tratamientos	6	39	0.011
Bloques (Suj)	3	3.4	0.0406

BANDA THETA 2	GL	F	p(F)
Tratamientos	6	50.1	0.01
Bloques (Suj)	3	4.29	0.0187

BANDA ALFA 1	GL	F	p(F)
Tratamientos	6	42	0.0101
Bloques (Suj)	3	4.6	0.0142

BANDA ALFA 2	GL	F	p(F)
Tratamientos	6	31.2	0.01
Bloques (Suj)	3	3.19	0.0481

BANDA BETA 1	GL	F	p(F)
Tratamientos	6	22.8	0.001
Bloques (Suj)	3	4.11	0.0217

BANDA BETA 2	GL	F	p(F)
Tratamientos	6	13.3	0.01
Bloques (Suj)	3	2.79	0.0696

BANDA GAMMA	GL	F	p(F)
Tratamientos	6	6.15	0.0015
Bloques (Suj)	3	3.9	0.0258

BANDA TOTAL	GL	F	p(F)
Tratamientos	6	36.3	0.01
Bloques (Suj)	3		0.0295

Tabla 681. Resultados significativos ($p(F) < .01$) del Análisis de Varianza de un factor por bandas. 14 habilidades de la evaluación Cognitiva, nivel Básico.

CONCEPTUALIZACION

BANDA DELTA	GL	F	p(F)
Tratamientos	6	19	0.01
Bloques (Suj)	3	0.7	0.5795

BANDA THETA 1	GL	F	p(F)
Tratamientos	6	11	0.0001
Bloques (Suj)	3	0.3	0.8109

BANDA THETA 2	GL	F	p(F)
Tratamientos	6	21	0.01
Bloques (Suj)	3	0.6	0.6067

BANDA ALFA 1	GL	F	p(F)
Tratamientos	6	24	0.01
Bloques (Suj)	3	3.1	0.0526

BANDA ALFA 2	GL	F	p(F)
Tratamientos	6	13	0.0001
Bloques (Suj)	3	3.1	0.0511

BANDA BETA 1	GL	F	p(F)
Tratamientos	6	14	0.0101
Bloques (Suj)	3	0.8	0.5054

BANDA BETA 2	GL	F	p(F)
Tratamientos	6	10	0.0002
Bloques (Suj)	3	3.5	0.0352

BANDA TOTAL	GL	F	p(F)
Tratamientos	6	17	0.01
Bloques (Suj)	3	0.8	0.5224

SEGUIMIENTO DE INSTRUCCIONES

BANDA DELTA	GL	F	p(F)
Tratamientos	6	33.3	0.01
Bloques (Suj)	3	1.35	0.2886

BANDA THETA 1	GL	F	p(F)
Tratamientos	6	17.7	0.009
Bloques (Suj)	3	0.91	0.5433

BANDA THETA 2	GL	F	p(F)
Tratamientos	6	28.4	0.009
Bloques (Suj)	3	3.17	0.0491

BANDA ALFA 2	GL	F	p(F)
Tratamientos	6	17.2	0.01
Bloques (Suj)	3	0.66	0.5912

BANDA BETA 1	GL	F	p(F)
Tratamientos	6	24.3	0.0101
Bloques (Suj)	3	1.66	0.2103

BANDA BETA 2	GL	F	p(F)
Tratamientos	6	8.48	0.0003
Bloques (Suj)	3	0.63	0.6074

BANDA TOTAL	GL	F	p(F)
Tratamientos	6	25.7	0.01
Bloques (Suj)	3	1.39	0.2784

Tabla 682. Resultados significativos ($p(F) < .01$) del Análisis de Varianza de un factor por bandas. 14 habilidades de la evaluación Cognitiva, nivel Básico.

DISCRIMINACIÓN

<i>BANDA THETA 2</i>	GL	F	p(F)
Tratamientos	15	6.1	0.01
Bloques (Suj)	4	24.66	0.01

<i>BANDA ALFA 1</i>	GL	F	p(F)
Tratamientos	15	5.82	0.01
Bloques (Suj)	4	17.27	0.01

<i>BANDA BETA 2</i>	GL	F	p(F)
Tratamientos	15	4.63	0.01
Bloques (Suj)	4	16.09	0.001

<i>BANDA GAMMA</i>	GL	F	p(F)
Tratamientos	15	4.79	0.009
Bloques (Suj)	4	4.48	0.0034

MEMORIA

<i>BANDA GAMMA</i>	GL	F	p(F)
Tratamientos	15	4.22	0.0001
Bloques (Suj)	4	86.7	0.003

RECONOCIMIENTO DE LA TERCERA DIMENSION

<i>BANDA DELTA</i>	GL	F	p(F)
Tratamientos	15	4.81	0.01
Bloques (Suj)	4	26.24	0.009

CONSERVACIÓN ESPACIAL

<i>BANDA DELTA</i>	GL	F	p(F)
Tratamientos	15	7.78	0.01
Bloques (Suj)	4	18.89	0.009

<i>BANDA THETA 1</i>	GL	F	p(F)
Tratamientos	15	6.5	0.009
Bloques (Suj)	4	17.61	0.0083

<i>BANDA GAMMA</i>	GL	F	p(F)
Tratamientos	15	3.51	0.0004
Bloques (Suj)	4	24.48	0.0001

267

FIGURA FONDO

<i>BANDA GAMMA</i>	GL	F	p(F)
Tratamientos	15	2.36	0.009
Bloques (Suj)	4	12.92	0.003

ANALOGÍA DE IMÁGENES

<i>BANDA DELTA</i>	GL	F	p(F)
Tratamientos	15	5.6	0.009
Bloques (Suj)	4	17.1	0.0031

ABSTRACCIÓN VISUAL

<i>BANDA DELTA</i>	GL	F	p(F)
Tratamientos	15	4.76	0.01
Bloques (Suj)	4	3.78	0.0085

<i>BANDA GAMMA</i>	GL	F	p(F)
Tratamientos	15	2.48	0.0069
Bloques (Suj)	4	12.4	0.01

<i>BANDA THETA 1</i>	GL	F	p(F)
Tratamientos	15	3.34	0.0006
Bloques (Suj)	4	7.79	0.0001

<i>BANDA GAMMA</i>	GL	F	p(F)
Tratamientos	15	2.9	0.002
Bloques (Suj)	4	19.88	0.009

Tabla 683. Resultados significativos ($p(F) < .01$) del Análisis de Varianza de un factor por bandas. 12 habilidades de la evaluación Perceptual, nivel Global.

MEMORIA

<i>BANDA DELTA</i>	GL	F	p(F)
Tratamientos	14	1.89	0.0101
Bloques (Suj)	3	4.55	0.0077

<i>BANDA THETA 1</i>	GL	F	p(F)
Tratamientos	14	2.67	0.0073
Bloques (Suj)	3	9.88	0.0001

<i>BANDA THETA 2</i>	GL	F	p(F)
Tratamientos	14	3.07	0.0027
Bloques (Suj)	3	10.92	0.0001

<i>BANDA ALFA 1</i>	GL	F	p(F)
Tratamientos	14	3.61	0.0008
Bloques (Suj)	3	11.28	0.0001

<i>BANDA ALFA 2</i>	GL	F	p(F)
Tratamientos	14	3.52	0.001
Bloques (Suj)	3	4.68	0.0067

<i>BANDA BETA 1</i>	GL	F	p(F)
Tratamientos	14	2.42	0.0108
Bloques (Suj)	3	1.27	0.2952

<i>BANDA BETA 2</i>	GL	F	p(F)
Tratamientos	14	2.29	0.0104
Bloques (Suj)	3	1.76	0.1679

<i>BANDA GAMMA</i>	GL	F	p(F)
Tratamientos	14	2.59	0.0087
Bloques (Suj)	3	0.4	0.7574

<i>BANDA TOTAL</i>	GL	F	p(F)
Tratamientos	14	2.3	0.011
Bloques (Suj)	3	6.6	0.0012

ANALOGIAS

<i>BANDA DELTA</i>	GL	F	p(F)
Tratamientos	14	1.77	0.0107
Bloques (Suj)	3	3.58	0.0212

<i>BANDA THETA 1</i>	GL	F	p(F)
Tratamientos	14	2.65	0.007
Bloques (Suj)	3	14.64	0

<i>BANDA THETA 2</i>	GL	F	p(F)
Tratamientos	14	4.32	0.0002
Bloques (Suj)	3	20.86	0

<i>BANDA ALFA 1</i>	GL	F	p(F)
Tratamientos	14	2.91	0.004
Bloques (Suj)	3	9.22	0.0002

<i>BANDA ALFA 2</i>	GL	F	p(F)
Tratamientos	14	2.76	0.0057
Bloques (Suj)	3	11.12	0.0001

<i>BANDA BETA 1</i>	GL	F	p(F)
Tratamientos	14	2.37	0.0107
Bloques (Suj)	3	3.94	0.0145

<i>BANDA BETA 2</i>	GL	F	p(F)
Tratamientos	14	2.02	0.01
Bloques (Suj)	3	8.34	0.0003

<i>BANDA GAMMA</i>	GL	F	p(F)
Tratamientos	14	2.52	0.0104
Bloques (Suj)	3	8.77	0.0003

<i>BANDA TOTAL</i>	GL	F	p(F)
Tratamientos	14	2.32	0.0108
Bloques (Suj)	3	7.48	0.0006

PLANEACION

<i>BANDA DELTA</i>	GL	F	p(F)
Tratamientos	14	1.69	0.0101
Bloques (Suj)	3	3.6	0.0207

<i>BANDA THETA 1</i>	GL	F	p(F)
Tratamientos	14	1.87	0.0094
Bloques (Suj)	3	6.39	0.0015

<i>BANDA THETA 2</i>	GL	F	p(F)
Tratamientos	14	4.3	0.0002
Bloques (Suj)	3	8.16	0.0004

<i>BANDA ALFA 1</i>	GL	F	p(F)
Tratamientos	14	3.85	0.0005
Bloques (Suj)	3	7.89	0.0005

<i>BANDA ALFA 2</i>	GL	F	p(F)
Tratamientos	14	2.97	0.0035
Bloques (Suj)	3	5.06	0.0047

<i>BANDA BETA 1</i>	GL	F	p(F)
Tratamientos	14	3.06	0.0028
Bloques (Suj)	3	3.71	0.0184

<i>BANDA BETA 2</i>	GL	F	p(F)
Tratamientos	14	3.6	0.0009
Bloques (Suj)	3	4.64	0.007

<i>BANDA GAMMA</i>	GL	F	p(F)
Tratamientos	14	4.04	0.0004
Bloques (Suj)	3	2.8	0.0504

<i>BANDA TOTAL</i>	GL	F	p(F)
Tratamientos	14	2.2	0.012
Bloques (Suj)	3	4.21	0.0109

COMPRESION

<i>BANDA DELTA</i>	GL	F	p(F)
Tratamientos	14	1.7	0.013
Bloques (Suj)	3	3.94	0.0144

<i>BANDA THETA 1</i>	GL	F	p(F)
Tratamientos	14	2.17	0.0069
Bloques (Suj)	3	10.24	0.0001

<i>BANDA THETA 2</i>	GL	F	p(F)
Tratamientos	14	2.92	0.0039
Bloques (Suj)	3	10.22	0.0001

<i>BANDA ALFA 1</i>	GL	F	p(F)
Tratamientos	14	3.51	0.001
Bloques (Suj)	3	10.23	0.0001

<i>BANDA ALFA 2</i>	GL	F	p(F)
Tratamientos	14	2.84	0.0048
Bloques (Suj)	3	6.25	0.0016

<i>BANDA BETA 1</i>	GL	F	p(F)
Tratamientos	14	2.54	0.0101
Bloques (Suj)	3	4.02	0.0132

<i>BANDA BETA 2</i>	GL	F	p(F)
Tratamientos	14	3.29	0.0017
Bloques (Suj)	3	6.21	0.0017

<i>BANDA GAMMA</i>	GL	F	p(F)
Tratamientos	14	3.48	0.0011
Bloques (Suj)	3	7.14	0.0008

<i>BANDA TOTAL</i>	GL	F	p(F)
Tratamientos	14	2.06	0.0104
Bloques (Suj)	3	7.26	0.0007

Tabla 684. Resultados significativos ($p(F) < .01$) del Análisis de Varianza de un factor por bandas. 14 habilidades de la evaluación Cognitiva, nivel Global.

SOLUCION DE PROBLEMAS

BANDA DELTA	GL	F	p(F)
Tratamientos	14	3.03	0.003
Bloques (Suj)	3	6.27	0.0016

BANDA THETA 1	GL	F	p(F)
Tratamientos	14	3.94	0.0004
Bloques (Suj)	3	11.12	0.0001

BANDA THETA 2	GL	F	p(F)
Tratamientos	14	4.28	0.0002
Bloques (Suj)	3	10.88	0.0001

BANDA ALFA 1	GL	F	p(F)
Tratamientos	14	5.07	0.0001
Bloques (Suj)	3	10.5	0.0001

BANDA ALFA 2	GL	F	p(F)
Tratamientos	14	3.62	0.0008
Bloques (Suj)	3	4	0.0135

BANDA BETA 1	GL	F	p(F)
Tratamientos	14	3.82	0.0006
Bloques (Suj)	3	4.86	0.0057

BANDA BETA 2	GL	F	p(F)
Tratamientos	14	3.9	0.0005
Bloques (Suj)	3	6.56	0.0013

BANDA GAMMA	GL	F	p(F)
Tratamientos	14	4.15	0.0003
Bloques (Suj)	3	6.31	0.0016

BANDA TOTAL	GL	F	p(F)
Tratamientos	14	3.51	0.001
Bloques (Suj)	3	8.38	0.0003

PROCESOS ARITMETICOS

BANDA DELTA	GL	F	p(F)
Tratamientos	14	3.37	0.0014
Bloques (Suj)	3	6.37	0.0015

BANDA THETA 1	GL	F	p(F)
Tratamientos	14	4.74	0.0001
Bloques (Suj)	3	15.69	0.0003

BANDA THETA 2	GL	F	p(F)
Tratamientos	14	4.46	0.0002
Bloques (Suj)	3	13.52	0.0007

BANDA ALFA 1	GL	F	p(F)
Tratamientos	14	4.89	0.0001
Bloques (Suj)	3	12.11	0.0008

BANDA ALFA 2	GL	F	p(F)
Tratamientos	14	4.58	0.0001
Bloques (Suj)	3	5.73	0.0026

BANDA BETA 1	GL	F	p(F)
Tratamientos	14	4.08	0.0003
Bloques (Suj)	3	5.65	0.0027

BANDA BETA 2	GL	F	p(F)
Tratamientos	14	3.21	0.002
Bloques (Suj)	3	7.19	0.0008

BANDA TOTAL	GL	F	p(F)
Tratamientos	14	3.95	0.0004
Bloques (Suj)	3	9.6	0.0002

TOMA DE DECISIONES

BANDA DELTA	GL	F	p(F)
Tratamientos	14	3.44	0.0012
Bloques (Suj)	3	6.9	0.001

BANDA THETA 1	GL	F	p(F)
Tratamientos	14	4.26	0.0002
Bloques (Suj)	3	11.58	0.0001

BANDA THETA 2	GL	F	p(F)
Tratamientos	14	5.26	0.0001
Bloques (Suj)	3	12.66	0.0026

BANDA ALFA 1	GL	F	p(F)
Tratamientos	14	5.46	0.01
Bloques (Suj)	3	14.43	0.0036

BANDA ALFA 2	GL	F	p(F)
Tratamientos	14	5.41	0.01
Bloques (Suj)	3	7.11	0.0008

BANDA BETA 1	GL	F	p(F)
Tratamientos	14	4.42	0.0002
Bloques (Suj)	3	4.61	0.0072

BANDA BETA 2	GL	F	p(F)
Tratamientos	14	4.14	0.0003
Bloques (Suj)	3	5.06	0.0047

BANDA GAMMA	GL	F	p(F)
Tratamientos	14	3.8	0.0006
Bloques (Suj)	3	4.03	0.0131

BANDA TOTAL	GL	F	p(F)
Tratamientos	14	4.1	0.0003
Bloques (Suj)	3	9.61	0.0002

ABSTRACCION

BANDA DELTA	GL	F	p(F)
Tratamientos	14	1.79	0.0736
Bloques (Suj)	3	1.86	0.1495

BANDA THETA 1	GL	F	p(F)
Tratamientos	14	2.36	0.0159
Bloques (Suj)	3	8.23	0.0004

BANDA THETA 2	GL	F	p(F)
Tratamientos	14	3.42	0.0012
Bloques (Suj)	3	5.25	0.0039

BANDA ALFA 1	GL	F	p(F)
Tratamientos	14	3.47	0.0011
Bloques (Suj)	3	8.07	0.0004

BANDA ALFA 2	GL	F	p(F)
Tratamientos	14	3.66	0.0008
Bloques (Suj)	3	5.11	0.0045

BANDA BETA 1	GL	F	p(F)
Tratamientos	14	3.39	0.0013
Bloques (Suj)	3	2.6	0.064

BANDA TOTAL	GL	F	p(F)
Tratamientos	14	2.59	0.0089
Bloques (Suj)	3	2.69	0.0574

Tabla 685. Resultados significativos ($p(F) < .01$) del Análisis de Varianza de un factor por bandas. 14 habilidades de la evaluación Cognitiva, nivel Global.

SINTESIS

BANDA DELTA	GL	F	p(F)
Tratamientos	14	3.22	0.0019
Bloques (Suj)	3	5.99	0.002

BANDA THETA 1	GL	F	p(F)
Tratamientos	14	4.23	0.0003
Bloques (Suj)	3	9.87	0.0001

BANDA THETA 2	GL	F	p(F)
Tratamientos	14	4.58	0.0001
Bloques (Suj)	3	9.89	0.0001

BANDA ALFA 1	GL	F	p(F)
Tratamientos	14	5.22	0.0001
Bloques (Suj)	3	10.17	0.0001

BANDA ALFA 2	GL	F	p(F)
Tratamientos	14	4.03	0.0004
Bloques (Suj)	3	4.1	0.0122

BANDA BETA 1	GL	F	p(F)
Tratamientos	14	4.43	0.0002
Bloques (Suj)	3	5.52	0.0031

BANDA BETA 2	GL	F	p(F)
Tratamientos	14	4.52	0.0002
Bloques (Suj)	3	7.58	0.0006

BANDA GAMMA	GL	F	p(F)
Tratamientos	14	3.81	0.0006
Bloques (Suj)	3	4.84	0.0058

BANDA TOTAL	GL	F	p(F)
Tratamientos	14	3.85	0.0005
Bloques (Suj)	3	7.94	0.0005

SENSIBILIDAD GRAMATICAL

BANDA DELTA	GL	F	p(F)
Tratamientos	14	4.4	0.0002
Bloques (Suj)	3	6.58	0.0012

BANDA THETA 1	GL	F	p(F)
Tratamientos	14	4.43	0.0002
Bloques (Suj)	3	16.26	0

BANDA THETA 2	GL	F	p(F)
Tratamientos	14	4.62	0.0001
Bloques (Suj)	3	16.23	0

BANDA ALFA 1	GL	F	p(F)
Tratamientos	14	4.83	0.0001
Bloques (Suj)	3	17.63	0

BANDA ALFA 2	GL	F	p(F)
Tratamientos	14	4.42	0.0002
Bloques (Suj)	3	4.13	0.0119

BANDA BETA 1	GL	F	p(F)
Tratamientos	14	3.89	0.0005
Bloques (Suj)	3	8.26	0.0004

BANDA BETA 2	GL	F	p(F)
Tratamientos	14	3.75	0.0006
Bloques (Suj)	3	8.27	0.0004

BANDA GAMMA	GL	F	p(F)
Tratamientos	14	3.87	0.0005
Bloques (Suj)	3	7.78	0.0005

BANDA TOTAL	GL	F	p(F)
Tratamientos	14	5	0.0001
Bloques (Suj)	3	12.13	0

LECTURA

BANDA DELTA	GL	F	p(F)
Tratamientos	14	1.88	0.0076
Bloques (Suj)	3	5.35	0.0036

BANDA THETA 1	GL	F	p(F)
Tratamientos	14	2.54	0.01
Bloques (Suj)	3	11.46	0.0001

BANDA THETA 2	GL	F	p(F)
Tratamientos	14	2.99	0.0033
Bloques (Suj)	3	9.46	0.0002

BANDA ALFA 1	GL	F	p(F)
Tratamientos	14	3.77	0.0006
Bloques (Suj)	3	8.93	0.0002

BANDA ALFA 2	GL	F	p(F)
Tratamientos	14	2.92	0.0039
Bloques (Suj)	3	3.72	0.0182

BANDA BETA 1	GL	F	p(F)
Tratamientos	14	2.56	0.0094
Bloques (Suj)	3	3.19	0.0326

BANDA BETA 2	GL	F	p(F)
Tratamientos	14	3.02	0.0031
Bloques (Suj)	3	4.32	0.0097

BANDA TOTAL	GL	F	p(F)
Tratamientos	14	2.37	0.0104
Bloques (Suj)	3	7.2	0.0008

RAZONAMIENTO

BANDA DELTA	GL	F	p(F)
Tratamientos	14	2.71	0.0066
Bloques (Suj)	3	5.97	0.0021

BANDA THETA 1	GL	F	p(F)
Tratamientos	14	3.05	0.0029
Bloques (Suj)	3	11.71	0.0001

BANDA THETA 2	GL	F	p(F)
Tratamientos	14	3.14	0.0023
Bloques (Suj)	3	9.26	0.0002

BANDA ALFA 1	GL	F	p(F)
Tratamientos	14	4.28	0.0002
Bloques (Suj)	3	8.66	0.0003

BANDA ALFA 2	GL	F	p(F)
Tratamientos	14	3.42	0.0012
Bloques (Suj)	3	6.52	0.0013

BANDA BETA 1	GL	F	p(F)
Tratamientos	14	3.33	0.0015
Bloques (Suj)	3	3.14	0.0345

BANDA TOTAL	GL	F	p(F)
Tratamientos	14	3.01	0.0031
Bloques (Suj)	3	7.67	0.0005

Tabla 686. Resultados significativos ($p(F) < .01$) del Análisis de Varianza de un factor por bandas. 14 habilidades de la evaluación Cognitiva, nivel Global.

CRITERIO

BANDA DELTA	GL	F	p(F)
Tratamientos	14	3.72	0.0007
Bloques (Suj)	3	5.46	0.0033

BANDA THETA 1	GL	F	p(F)
Tratamientos	14	4.37	0.0002
Bloques (Suj)	3	15.33	0

BANDA THETA 2	GL	F	p(F)
Tratamientos	14	4.6	0.0001
Bloques (Suj)	3	10.87	0.0001

BANDA ALFA 1	GL	F	p(F)
Tratamientos	14	5.36	0.01
Bloques (Suj)	3	6.45	0.0014

BANDA ALFA 2	GL	F	p(F)
Tratamientos	14	4.88	0.0001
Bloques (Suj)	3	5.38	0.0035

BANDA BETA 1	GL	F	p(F)
Tratamientos	14	4.47	0.0002
Bloques (Suj)	3	2.35	0.0851

BANDA BETA 2	GL	F	p(F)
Tratamientos	14	3.65	0.0008
Bloques (Suj)	3	2.18	0.1039

BANDA TOTAL	GL	F	p(F)
Tratamientos	14	4.34	0.0002
Bloques (Suj)	3	8.25	0.0004

TRANSFORMACION

BANDA DELTA	GL	F	p(F)
Tratamientos	14	2.44	0.013
Bloques (Suj)	3	2.09	0.1141

BANDA THETA 1	GL	F	p(F)
Tratamientos	14	2.44	0.0101
Bloques (Suj)	3	3.82	0.0163

BANDA THETA 2	GL	F	p(F)
Tratamientos	14	2.82	0.005
Bloques (Suj)	3	4.49	0.0082

BANDA ALFA 1	GL	F	p(F)
Tratamientos	14	2.19	0.0109
Bloques (Suj)	3	3.42	0.0252

BANDA ALFA 2	GL	F	p(F)
Tratamientos	14	2.85	0.0046
Bloques (Suj)	3	2.56	0.0669

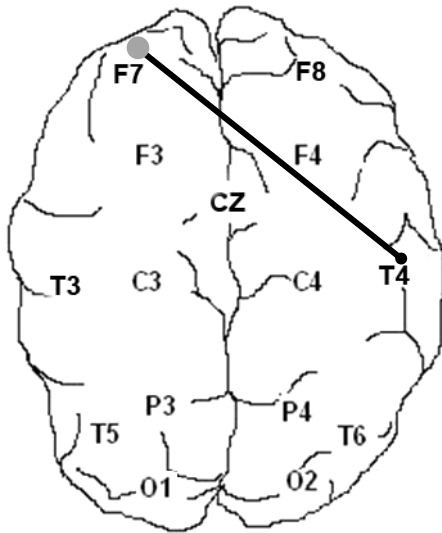
BANDA BETA 1	GL	F	p(F)
Tratamientos	14	2.59	0.0089
Bloques (Suj)	3	1.69	0.1818

BANDA BETA 2	GL	F	p(F)
Tratamientos	14	2.25	0.0112
Bloques (Suj)	3	1.69	0.1821

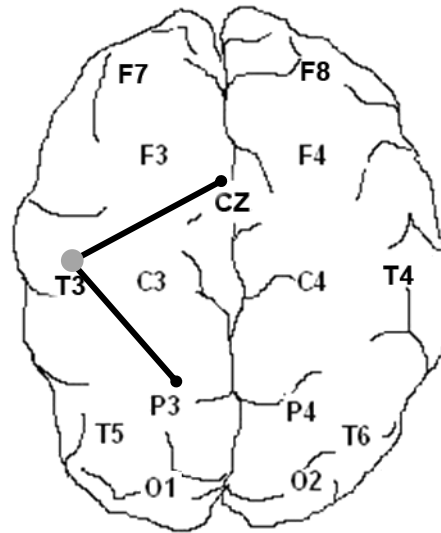
BANDA GAMMA	GL	F	p(F)
Tratamientos	14	2.19	0.012
Bloques (Suj)	3	3.24	0.0308

BANDA TOTAL	GL	F	p(F)
Tratamientos	14	2.55	0.0097
Bloques (Suj)	3	2.91	0.0449

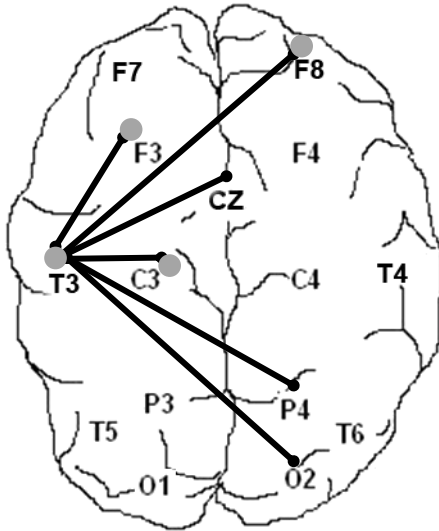
Tabla 687. Resultados significativos ($p(F) < .01$) del Análisis de Varianza de un factor por bandas. 14 habilidades de la evaluación Cognitiva, nivel Global.



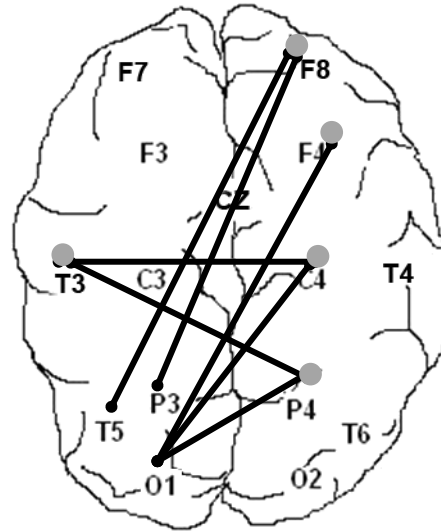
Topograma 1. Habilidad de Atención Perceptual, banda Delta. Derivaciones significativas $p(F) < .01$. Prueba Perceptual, Nivel Básico. El punto gris indica la derivación que marca la diferencia.



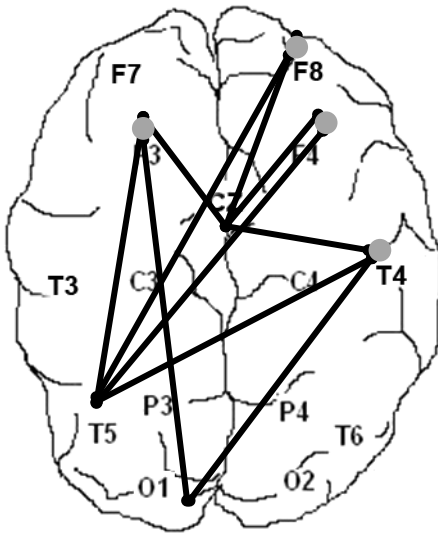
Topograma 2. Habilidad de Agrupamiento, banda Beta 2. Derivaciones significativas $p(F) < .01$. Prueba Perceptual, Nivel Básico. El punto el gris indica la derivación que marca la diferencia.



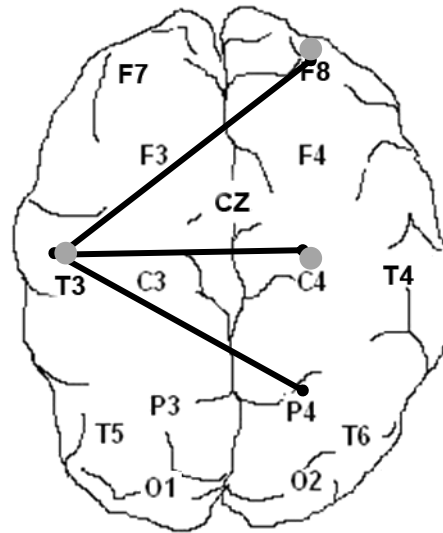
Topograma Habilidad de Simetría de la Forma, banda Beta 1. Derivaciones significativas $p(F) < .01$. Prueba Perceptual, Nivel Básico. El punto gris indica la derivación que marca la diferencia.



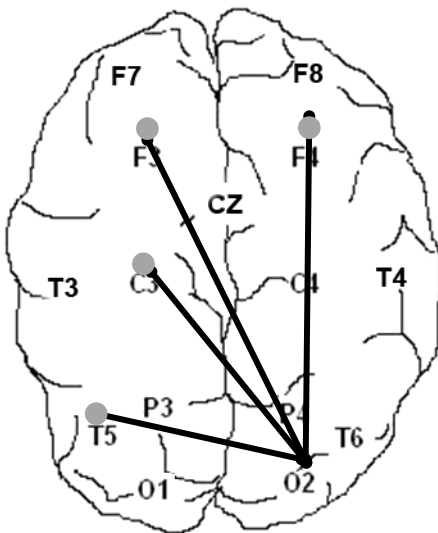
Topograma 4. Habilidad de Memoria Perceptual, banda Delta. Derivaciones significativas $p(F) < .01$. Prueba Perceptual, Nivel Básico. El punto gris indica la derivación que marca la diferencia.



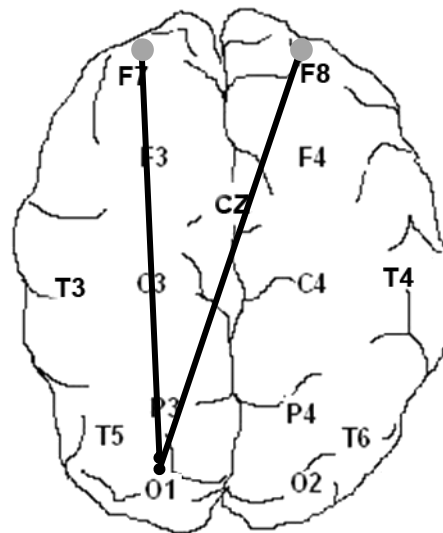
Topograma 5. Habilidad de Memoria Perceptual, banda Alfa 1. Derivaciones significativas $p(F) < .01$. Prueba Perceptual, Nivel Básico. El punto gris indica la derivación que marca la diferencia.



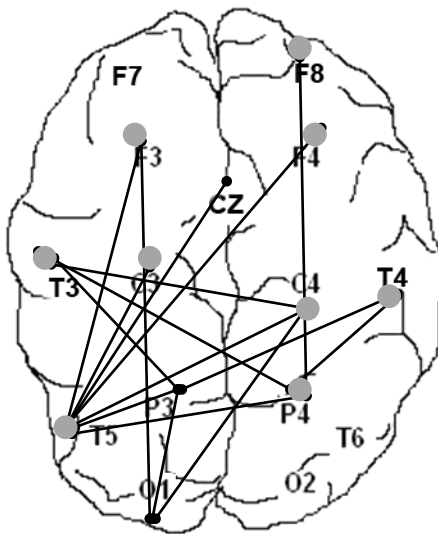
Topograma 6. Habilidad de Memoria Perceptual, banda Beta 2. Derivaciones significativas $p(F) < .01$. Prueba Perceptual, Nivel Básico. El punto gris indica la derivación que marca la diferencia.



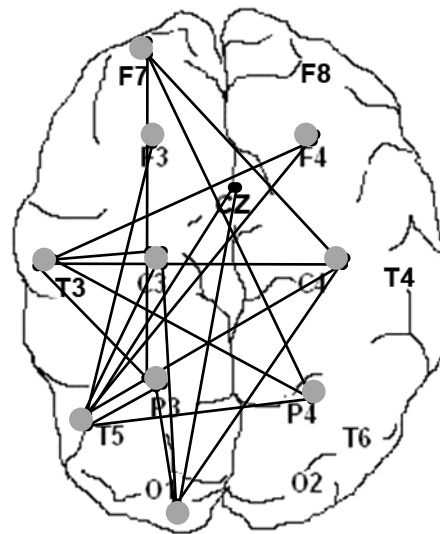
Topograma 7. Habilidad de Reconocimiento de la Información, banda Theta 2. Derivaciones significativas $p(F) < .01$. Prueba Perceptual, Nivel Básico. El punto gris indica la derivación que marca la diferencia.



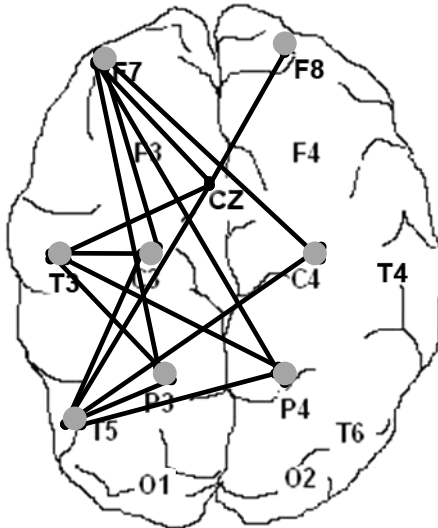
Topograma 8. Habilidad de Descripción Perceptual, banda Delta. Derivaciones significativas $p(F) < .01$. Prueba Perceptual, Nivel Básico. El punto gris indica la derivación que marca la diferencia.



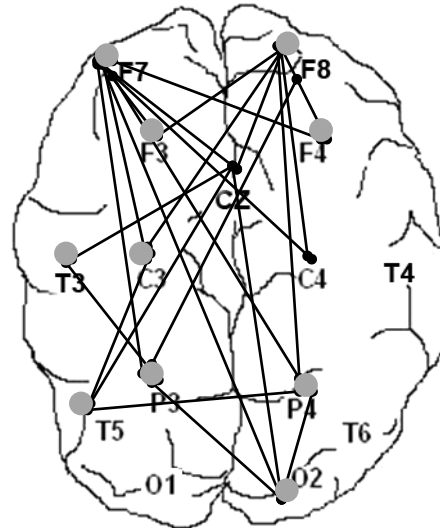
Topograma 9. Habilidad de Percepción Emocional, banda Delta, Potencia Absoluta. Derivaciones significativas $p(F) < .01$. Prueba Emocional, Nivel Básico. El punto gris indica la derivación que marca la diferencia.



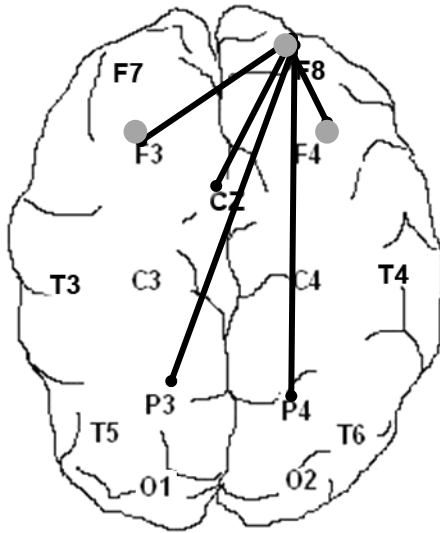
Topograma 10. Habilidad de Percepción Emocional, banda Theta 2, Potencia Absoluta. Derivaciones significativas $p(F) < .01$. Prueba Emocional, Nivel Básico. El punto gris indica la derivación que marca la diferencia.



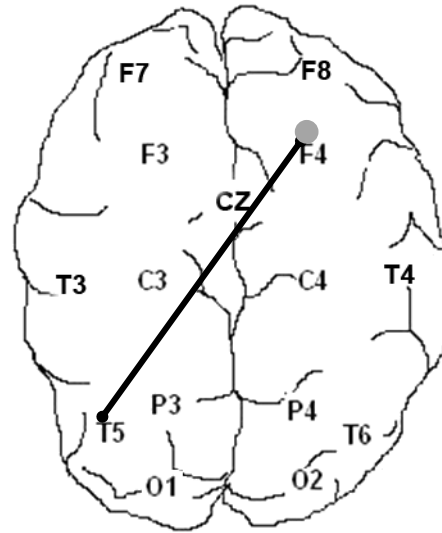
Topograma 11. Habilidad de Percepción Emocional, banda Alfa 1, Potencia Absoluta. Derivaciones significativas $p(F) < .01$. Prueba Emocional, Nivel Básico. El punto gris indica la derivación que marca la diferencia.



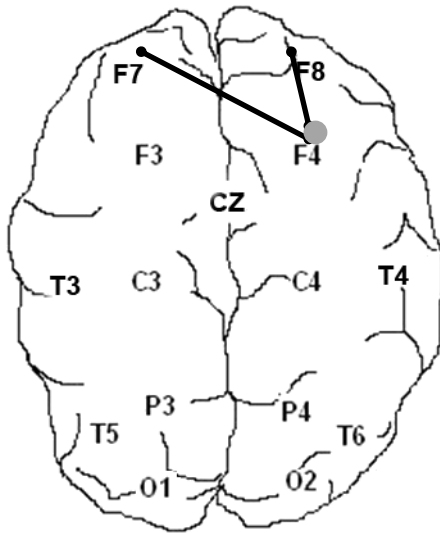
Topograma 12. Habilidad de Percepción Emocional, banda Alfa 2, Potencia Absoluta. Derivaciones significativas $p(F) < .01$. Prueba Emocional, Nivel Básico. El punto gris indica la derivación que marca la diferencia.



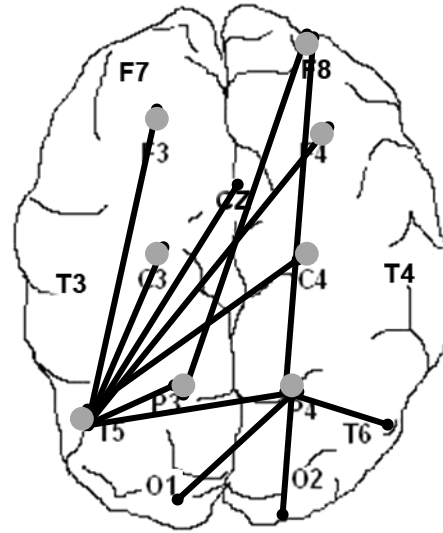
Topograma 13. Habilidad de Percepción Emocional, banda Beta 1, Potencia Absoluta. Derivaciones significativas $p(F) < .01$. Prueba Emocional, Nivel Básico. El punto gris indica la derivación que marca la diferencia.



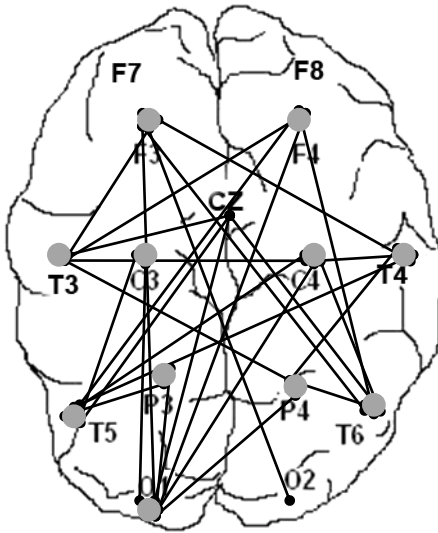
Topograma 14. Habilidad de Percepción Emocional, banda Beta 2, Potencia Absoluta. Derivaciones significativas $p(F) < .01$. Prueba Emocional, Nivel Básico. El punto gris indica la derivación que marca la diferencia.



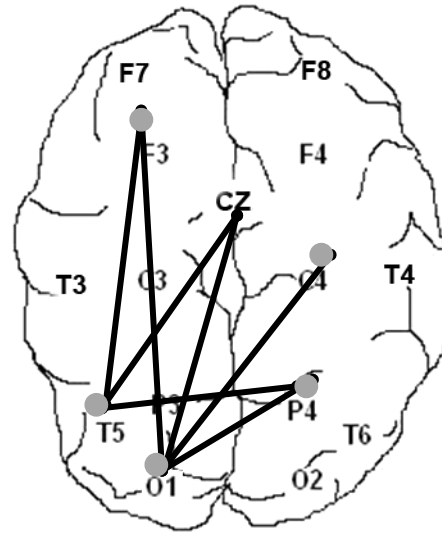
Topograma 15. Habilidad de Percepción Emocional, banda Gamma, Potencia Absoluta. Derivaciones significativas $p(F) < .01$. Prueba Emocional, Nivel Básico. El punto gris indica la derivación que marca la diferencia.



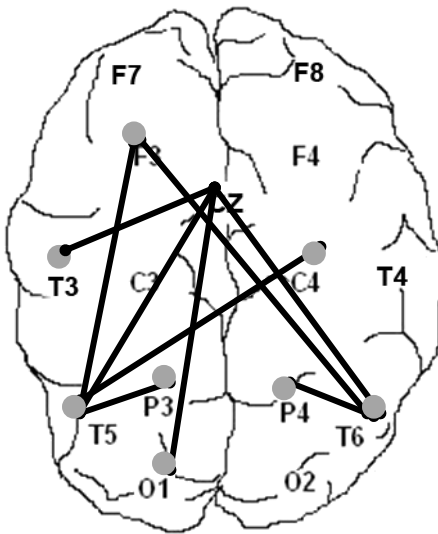
Topograma 16. Habilidad de Percepción Emocional, banda Total, Potencia Absoluta. Derivaciones significativas $p(F) < .01$. Prueba Emocional, Nivel Básico. El punto gris indica la derivación que marca la diferencia.



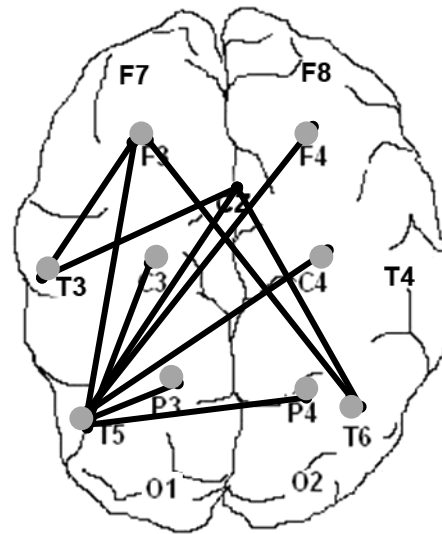
Topograma 17. Habilidad de Reconocimiento Emocional, banda Delta, Potencia Absoluta. Derivaciones significativas $p(F) < .01$. Prueba Emocional, Nivel Básico. El punto gris indica la derivación que marca la diferencia.



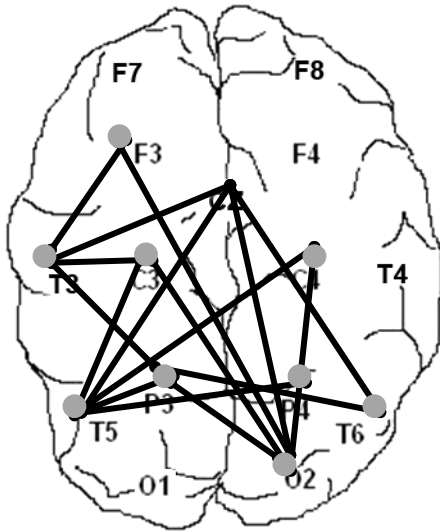
Topograma 18. Habilidad de Reconocimiento Emocional, banda Theta 1, Potencia Absoluta. Derivaciones significativas $p(F) < .01$. Prueba Emocional, Nivel Básico. El punto gris indica la derivación que marca la diferencia.



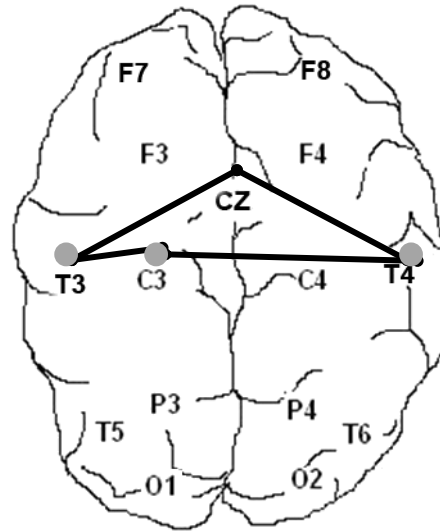
Topograma 19. Habilidad de Reconocimiento Emocional, banda Theta 2, Potencia Absoluta. Derivaciones significativas $p(F) < .01$. Prueba Emocional, Nivel Básico. El punto gris indica la derivación que marca la diferencia,



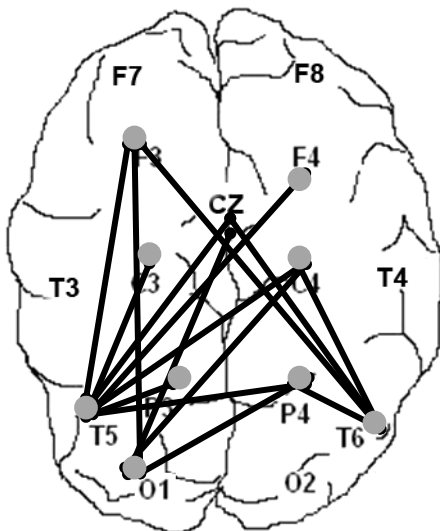
Topograma 20. Habilidad de Reconocimiento Emocional, banda Alfa 1, Potencia Absoluta. Derivaciones significativas $p(F) < .01$. Prueba Emocional, Nivel Básico. El punto gris indica la derivación que marca la diferencia,



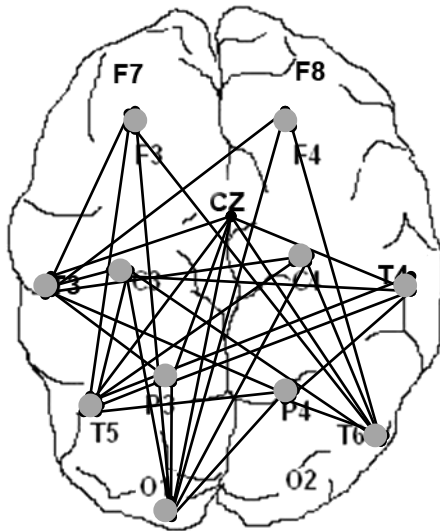
Topograma 21. Habilidad de Reconocimiento Emocional, banda Alfa 2, Potencia Absoluta. Derivaciones significativas $p(F) < .01$. Prueba Emocional, Nivel Básico. El punto gris indica la derivación que marca la diferencia.



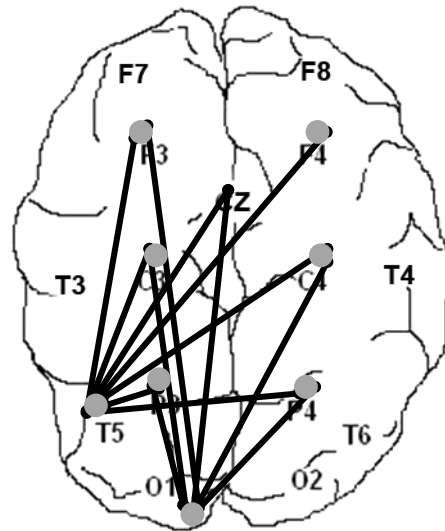
Topograma 22. Habilidad de Reconocimiento Emocional, banda Gamma, Potencia Absoluta. Derivaciones significativas $p(F) < .01$. Prueba Emocional, Nivel Básico. El punto gris indica la derivación que marca la diferencia.



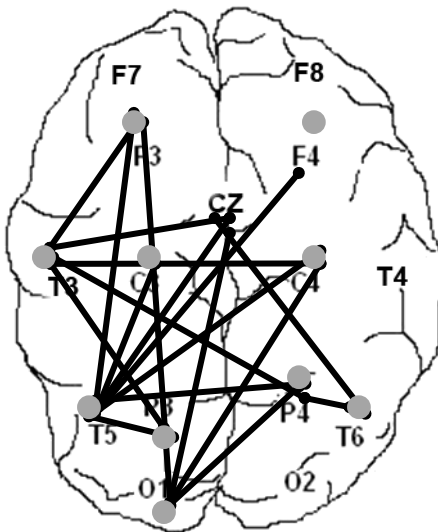
Topograma 23. Habilidad de Reconocimiento Emocional, banda Total, Potencia Absoluta. Derivaciones significativas $p(F) < .01$. Prueba Emocional, Nivel Básico. El punto gris indica la derivación que marca la diferencia.



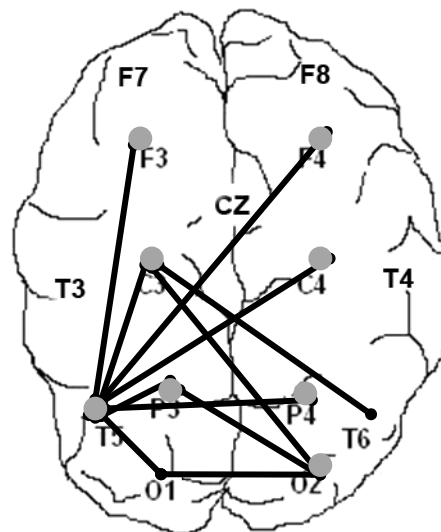
Topograma 24. Habilidad de Diferenciación Emocional, banda Delta, Potencia Absoluta. Derivaciones significativas $p(F) < .01$. Prueba Emocional, Nivel Básico. El punto gris indica la derivación que marca la diferencia,



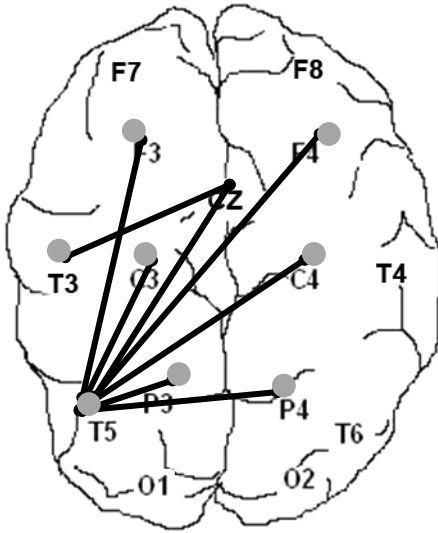
Topograma 25. Habilidad de Diferenciación Emocional, banda Theta 1, Potencia Absoluta. Derivaciones significativas $p(F) < .01$. Prueba Emocional, Nivel Básico. El punto gris indica la derivación que marca la diferencia,



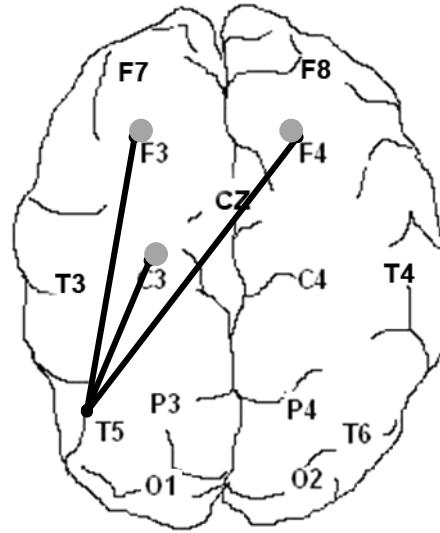
Topograma 26. Habilidad de Diferenciación Emocional, banda Theta 2, Potencia Absoluta. Derivaciones significativas $p(F) < .01$. Prueba Emocional, Nivel Básico. El punto gris indica la derivación que marca la diferencia.



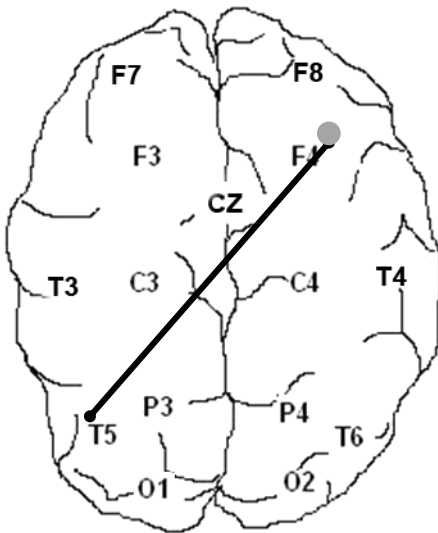
Topograma 27. Habilidad de Diferenciación Emocional, banda Alfa 1, Potencia Absoluta. Derivaciones significativas $p(F) < .01$. Prueba Emocional, Nivel Básico. El punto gris indica la derivación que marca la diferencia,



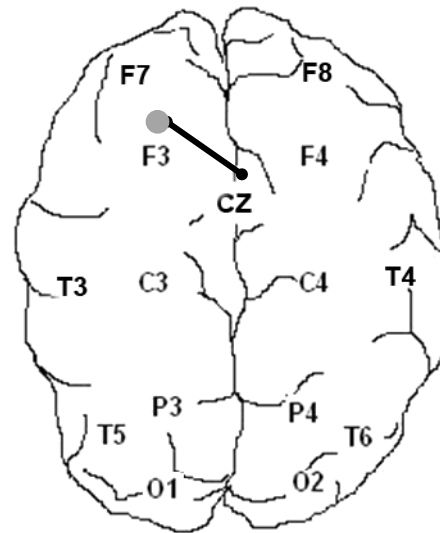
Topograma 28. Habilidad de Diferenciación Emocional, banda Alfa 2, Potencia Absoluta. Derivaciones significativas $p(F) < .01$. Prueba Emocional, Nivel Básico. El punto gris indica la derivación que marca la diferencia,



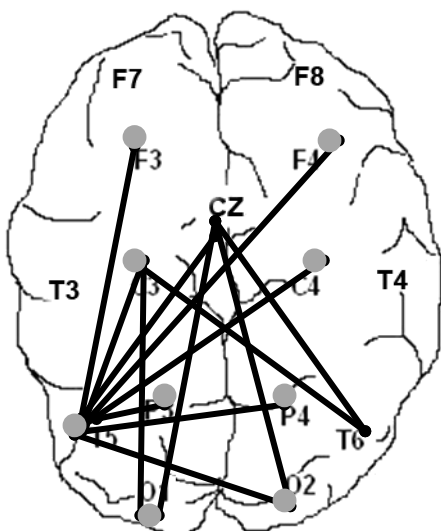
Topograma 29. Habilidad de Diferenciación Emocional, banda Beta 1, Potencia Absoluta. Derivaciones significativas $p(F) < .01$. Prueba Emocional, Nivel Básico. El punto gris indica la derivación que marca la diferencia.



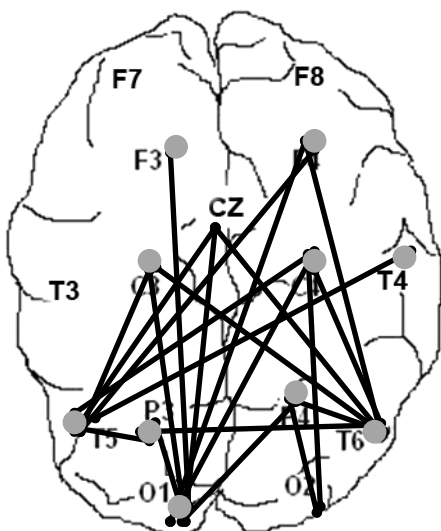
Topograma 30. Habilidad de Diferenciación Emocional, banda Beta 2, Potencia Absoluta. Derivaciones significativas $p(F) < .01$. Prueba Emocional, Nivel Básico. El punto gris indica la derivación que marca la diferencia.



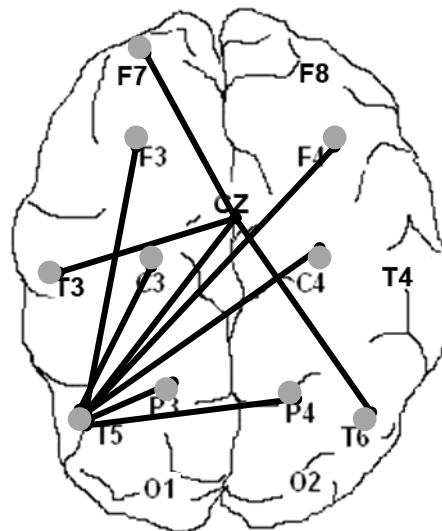
Topograma 31. Habilidad de Diferenciación Emocional, banda Gamma, Potencia Absoluta. Derivaciones significativas $p(F) < .01$. Prueba Emocional, Nivel Básico. El punto gris indica la derivación



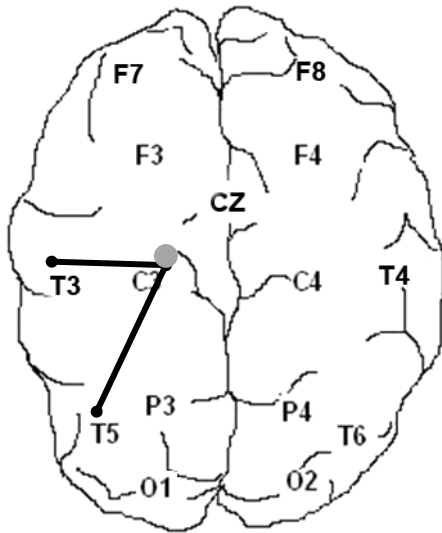
Topograma 32. Habilidad de Diferenciación Emocional, banda Total, Potencia Absoluta. Derivaciones significativas $p(F) < .01$. Prueba Emocional, Nivel Básico. El punto gris indica la derivación que marca la diferencia.



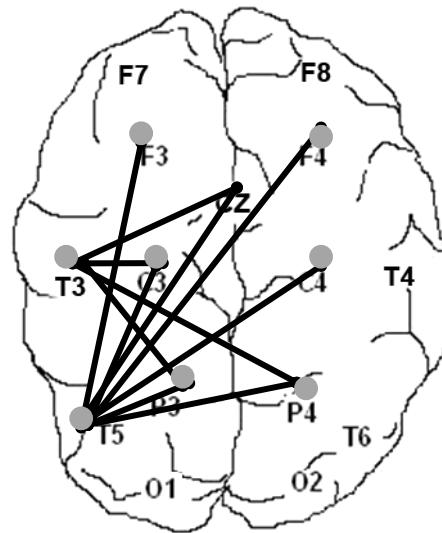
Topograma 33. Habilidad de Memoria Emocional, banda Delta, Potencia Absoluta. Derivaciones significativas $p(F) < .01$. Prueba Emocional, Nivel Básico. El punto gris indica la derivación que marca la diferencia.



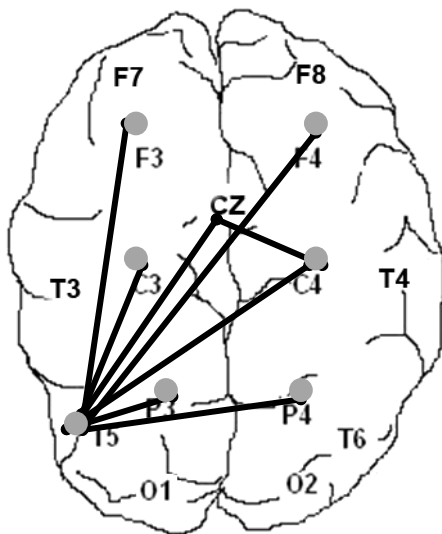
Topograma 34. Habilidad de Memoria Emocional, banda Theta 1, Potencia Absoluta. Derivaciones significativas $p(F) < .01$. Prueba Emocional, Nivel Básico. El punto gris indica la derivación que marca la diferencia.



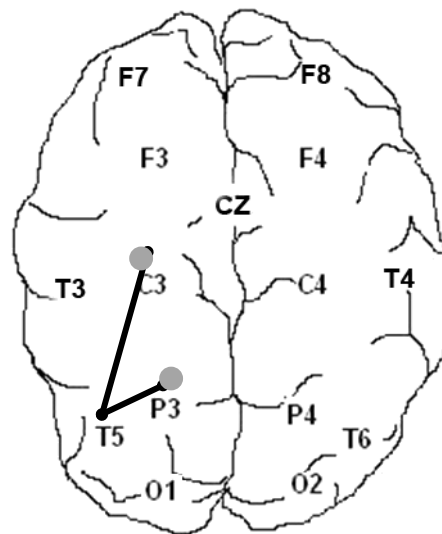
Topograma 35. Habilidad de Memoria Emocional, banda Alfa 1, Potencia Absoluta. Derivaciones significativas $p(F) < .01$. Prueba Emocional, Nivel Básico. El punto gris indica la derivación que marca la diferencia,



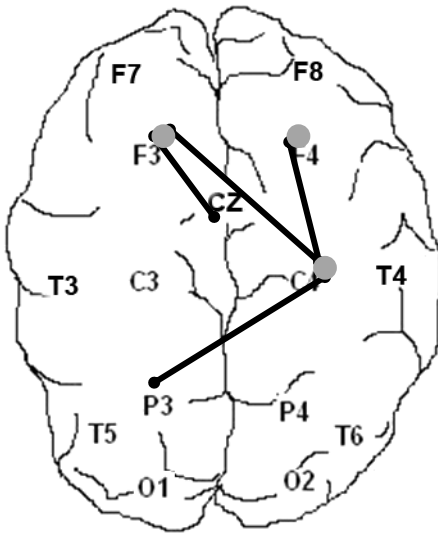
Topograma 36. Habilidad de Memoria Emocional, banda Alfa 2, Potencia Absoluta. Derivaciones significativas $p(F) < .01$. Prueba Emocional, Nivel Básico. El punto gris indica la derivación que marca la diferencia.



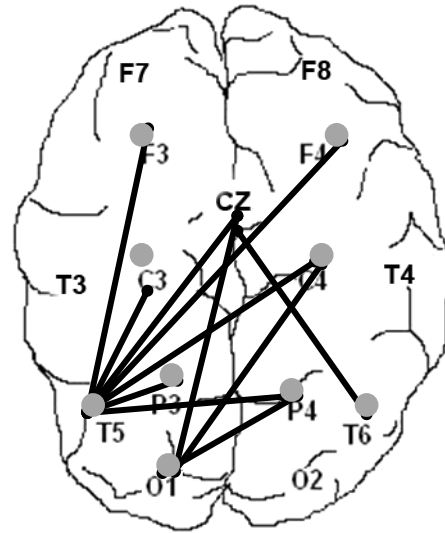
Topograma 37. Habilidad de Memoria Emocional, banda Beta 1, Potencia Absoluta. Derivaciones significativas $p(F) < .01$. Prueba Emocional, Nivel Básico. El punto gris indica la derivación que marca la diferencia.



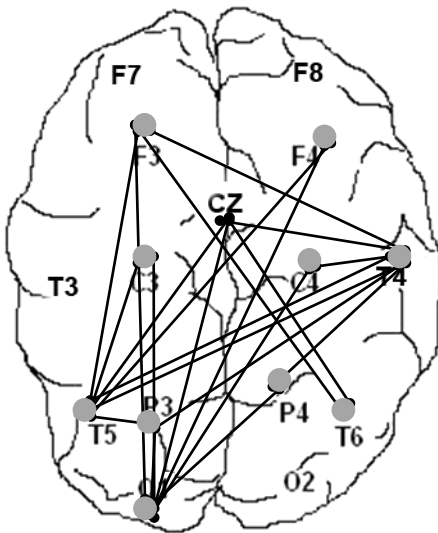
Topograma 38. Habilidad de Memoria Emocional, banda Beta 2, Potencia Absoluta. Derivaciones significativas $p(F) < .01$. Prueba Emocional, Nivel Básico. El punto gris indica la derivación que marca la diferencia.



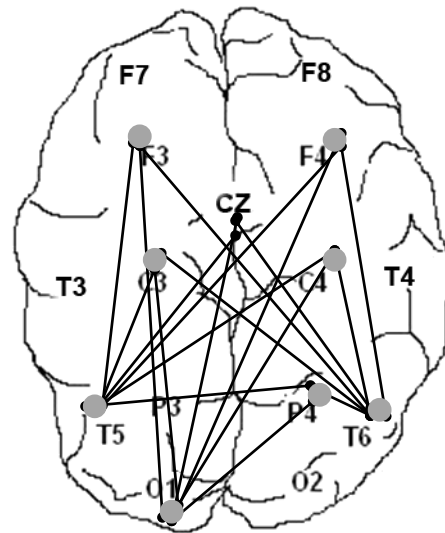
Topograma 39. Habilidad de Memoria Emocional, banda Gamma, Potencia Absoluta. Derivaciones significativas $p(F) < .01$. Prueba Emocional, Nivel Básico. El punto gris indica la derivación que marca la diferencia.



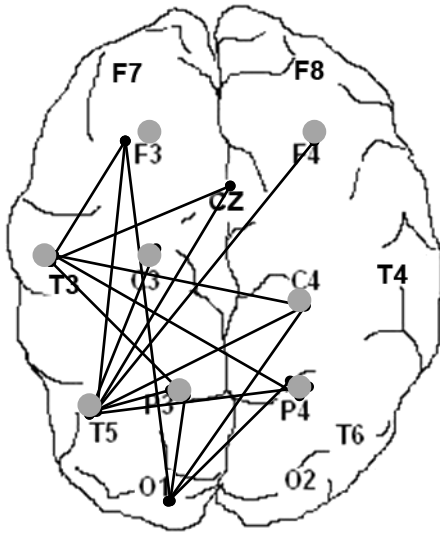
Topograma 40. Habilidad de Memoria Emocional, banda Total, Potencia Absoluta. Derivaciones significativas $p(F) < .01$. Prueba Emocional, Nivel Básico. El punto gris indica la derivación que marca la diferencia.



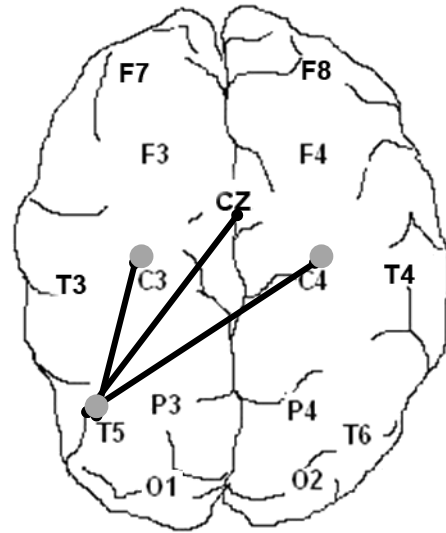
Topograma 41. Habilidad de Relación Emocional, banda Delta, Potencia Absoluta. Derivaciones significativas $p(F) < .01$. Prueba Emocional, Nivel Básico. El punto gris indica la derivación que marca la diferencia.



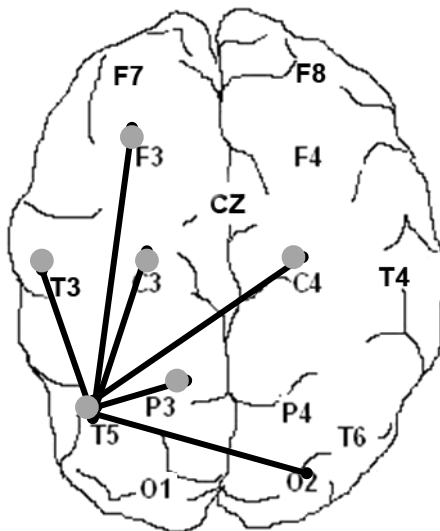
Topograma 42. Habilidad de Relación Emocional, banda Theta 1, Potencia Absoluta. Derivaciones significativas $p(F) < .01$. Prueba Emocional, Nivel Básico. El punto gris indica la derivación que marca la diferencia.



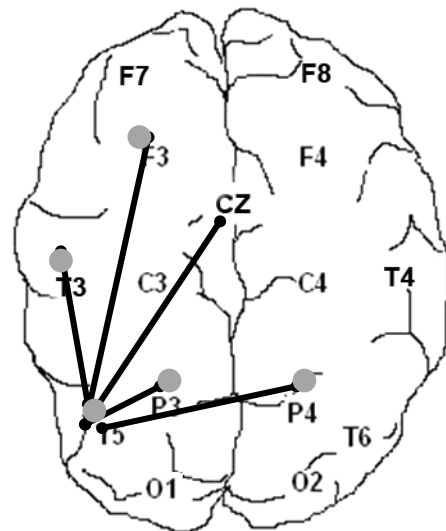
Topograma 43. Habilidad de Relación Emocional, banda Theta 2, Potencia Absoluta. Derivaciones significativas $p(F) < .01$. Prueba Emocional, Nivel Básico. El punto gris indica la derivación que marca la diferencia.



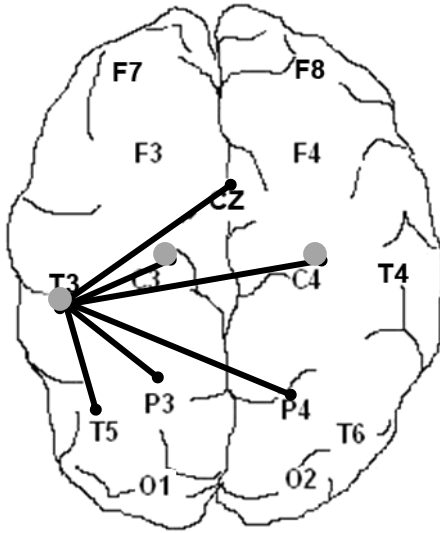
Topograma 44. Habilidad de Relación Emocional, banda Alfa 1, Potencia Absoluta. Derivaciones significativas $p(F) < .01$. Prueba Emocional, Nivel Básico. El punto gris indica la derivación que marca la diferencia.



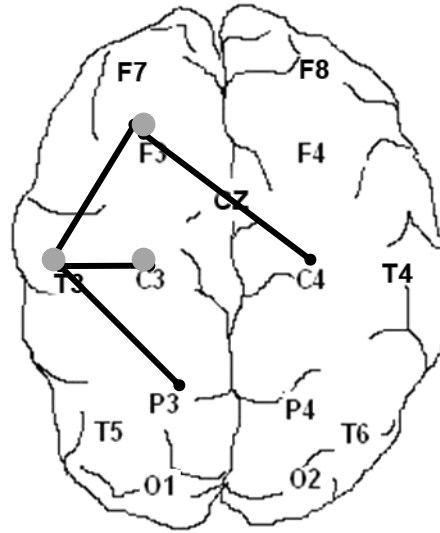
Topograma 45. Habilidad de Relación Emocional, banda Alfa 2, Potencia Absoluta. Derivaciones significativas $p(F) < .01$. Prueba Emocional, Nivel Básico. El punto gris indica la derivación que marca la diferencia.



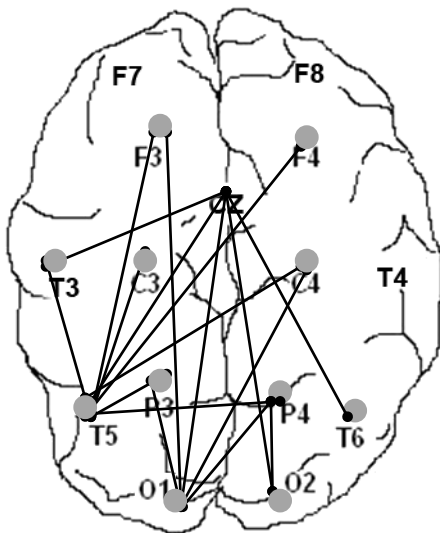
Topograma 46. Habilidad de Relación Emocional, banda Beta 1, Potencia Absoluta. Derivaciones significativas $p(F) < .01$. Prueba Emocional, Nivel Básico. El punto gris indica la derivación que marca la diferencia.



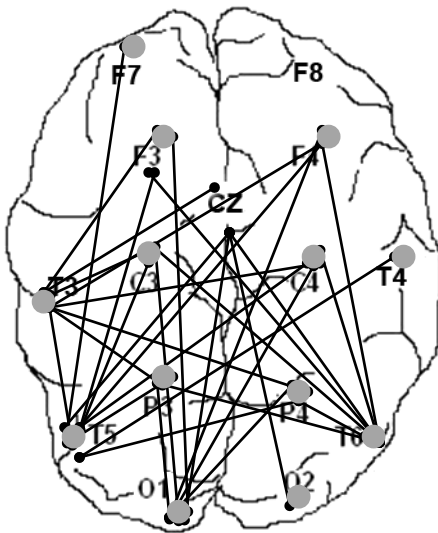
Topograma 47. Habilidad de Relación Emocional, banda Beta 2, Potencia Absoluta. Derivaciones significativas $p(F) < .01$. Prueba Emocional, Nivel Básico. El punto gris indica la derivación que marca la diferencia.



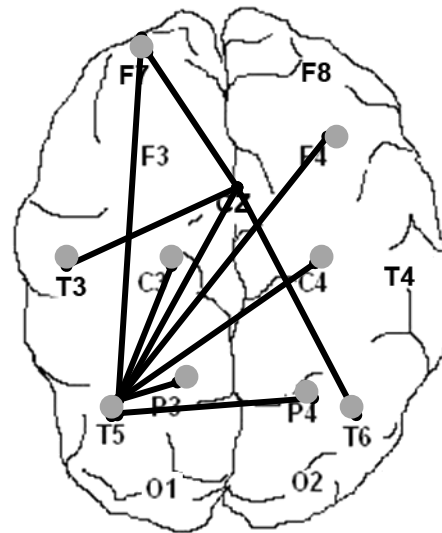
Topograma 48. Habilidad de Relación Emocional, banda Gamma, Potencia Absoluta. Derivaciones significativas $p(F) < .01$. Prueba Emocional, Nivel Básico. El punto gris indica la derivación que marca la diferencia.



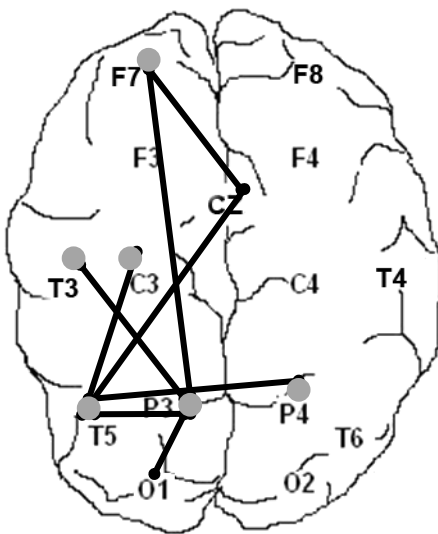
Topograma 49. Habilidad de Relación Emocional, banda Total, Potencia Absoluta. Derivaciones significativas $p(F) < .01$. Prueba Emocional, Nivel Básico. El punto gris indica la derivación que marca la diferencia.



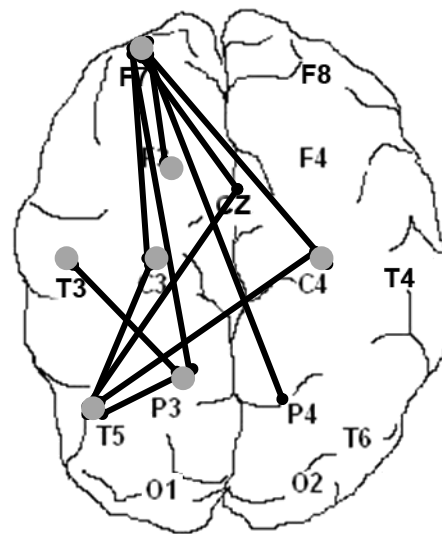
Topograma 50. Habilidad de Empatía, banda Delta, Potencia Absoluta. Derivaciones significativas $p(F) < .01$. Prueba Emocional, Nivel Básico. El punto gris indica la derivación que marca la diferencia.



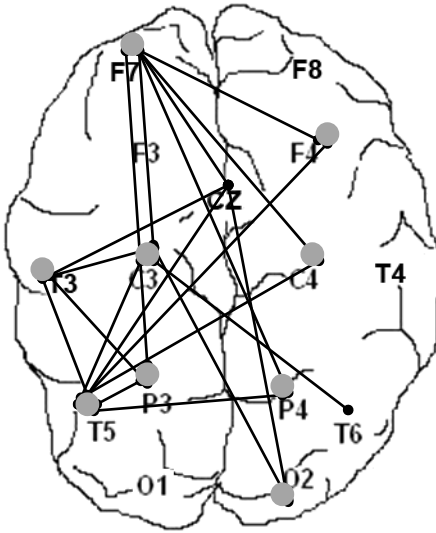
Topograma 51. Habilidad de Empatía, banda Theta 1, Potencia Absoluta. Derivaciones significativas $p(F) < .01$. Prueba Emocional, Nivel Básico. El punto gris indica la derivación que marca la diferencia.



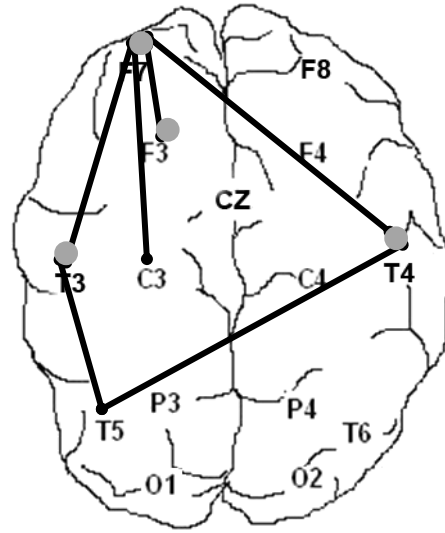
Topograma 52. Habilidad de Empatía, banda Theta 2, Potencia Absoluta. Derivaciones significativas $p(F) < .01$. Prueba Emocional, Nivel Básico. El punto gris indica la derivación que marca la diferencia.



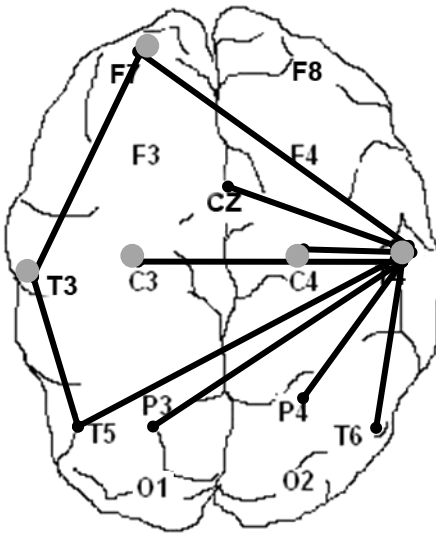
Topograma 53. Habilidad de Empatía, banda Alfa 1, Potencia Absoluta. Derivaciones significativas $p(F) < .01$. Prueba Emocional, Nivel Básico. El punto gris indica la derivación que marca la diferencia.



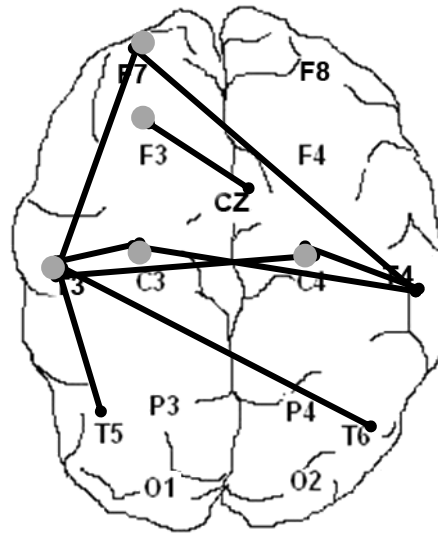
Topograma 54. Habilidad de Empatía, banda Alfa 2, Potencia Absoluta. Derivaciones significativas $p(F) < .01$. Prueba Emocional, Nivel Básico. El punto gris indica la derivación que marca la diferencia.



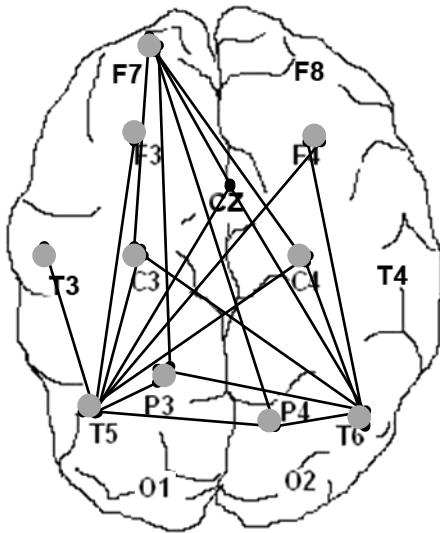
Topograma 55. Habilidad de Empatía, banda Beta 1, Potencia Absoluta. Derivaciones significativas $p(F) < .01$. Prueba Emocional, Nivel Básico. El punto gris indica la derivación que marca la diferencia.



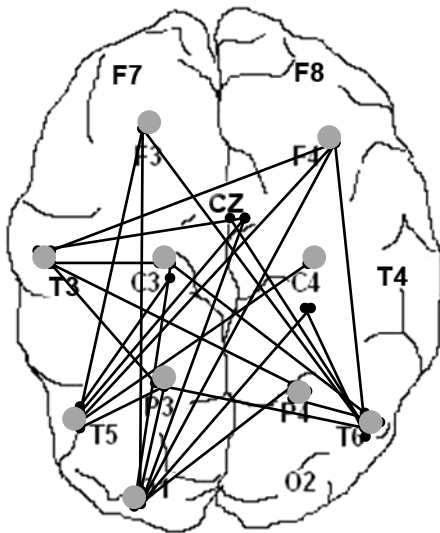
Topograma 56. Habilidad de Empatía, banda Beta 2, Potencia Absoluta. Derivaciones significativas $p(F) < .01$. Prueba Emocional, Nivel Básico. El punto gris indica la derivación que indica la diferencia.



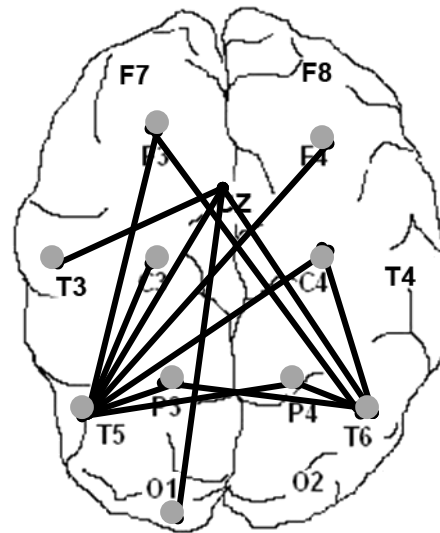
Topograma 57. Habilidad de Empatía, banda Gamma, Potencia Absoluta. Derivaciones significativas $p(F) < .01$. Prueba Emocional, Nivel Básico. El punto gris indica la derivación que marca la diferencia.



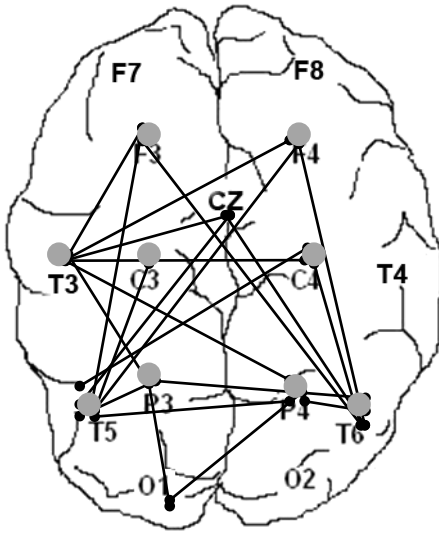
Topograma 58. Habilidad de Empatía, banda Total, Potencia Absoluta. Derivaciones significativas $p(F) < .01$. Prueba Emocional, Nivel Básico. El punto gris indica la derivación que marca la diferencia.



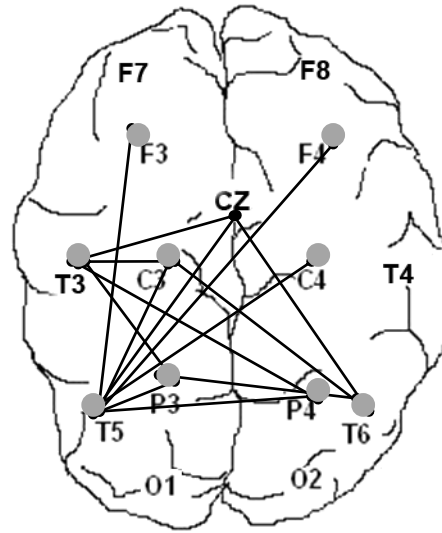
Topograma 59. Habilidad de Flexibilidad en el Sentimiento, banda Delta, Potencia Absoluta. Derivaciones significativas $p(F) < .01$. Prueba Emocional, Nivel Básico. El punto gris indica la derivación que marca la diferencia.



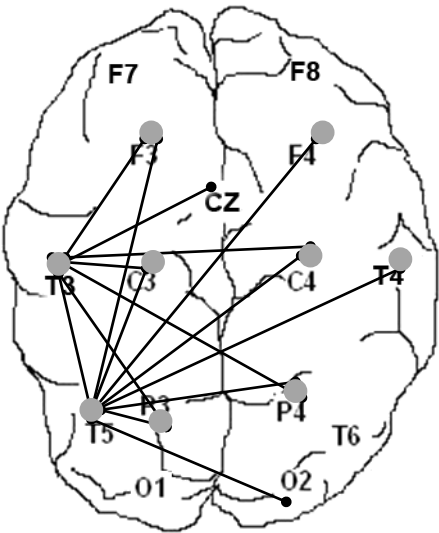
Topograma 60. Habilidad de Flexibilidad en el Sentimiento, banda Theta 1, Potencia Absoluta. Derivaciones significativas $p(F) < .01$. Prueba Emocional, Nivel Básico. El punto gris indica la derivación que marca la diferencia.



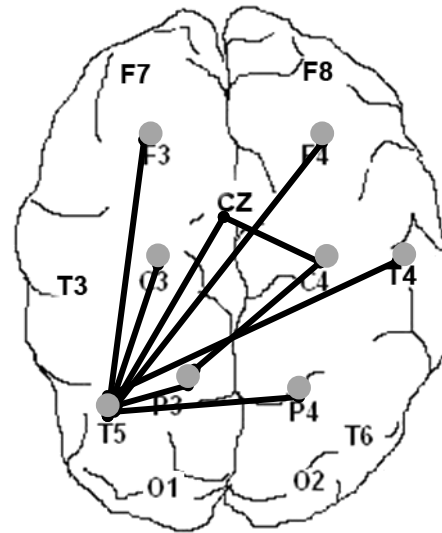
Topograma 61. Habilidad de Flexibilidad en el Sentimiento, banda Theta 2, Potencia Absoluta. Derivaciones significativas $p(F) < .01$. Prueba Emocional, Nivel Básico. El punto gris indica la derivación que marca la diferencia.



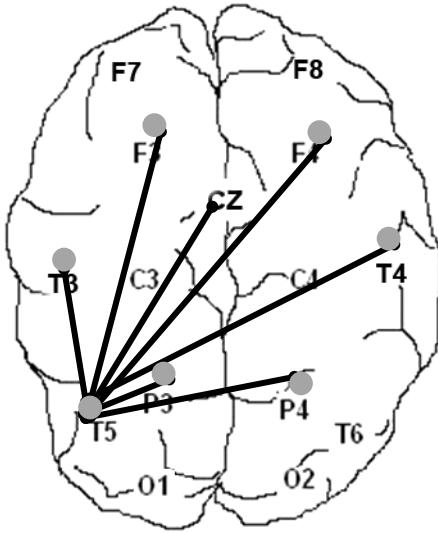
Topograma 62. Habilidad de Flexibilidad en el Sentimiento, banda Alfa 1, Potencia Absoluta. Derivaciones significativas $p(F) < .01$. Prueba Emocional, Nivel Básico. El punto gris indica la derivación que marca la diferencia.



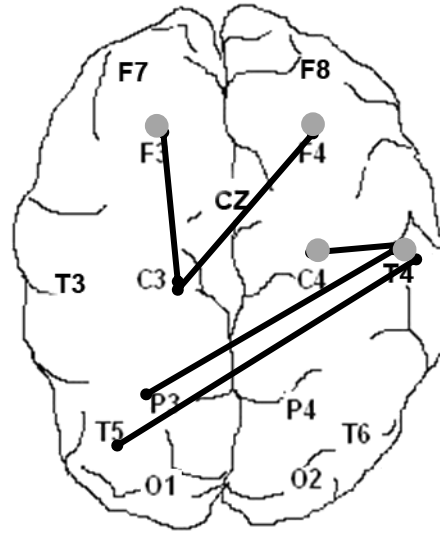
Topograma 63. Habilidad de Flexibilidad en el Sentimiento, banda Alfa 2, Potencia Absoluta. Derivaciones significativas $p(F) < .01$. Prueba Emocional, Nivel Básico. El punto gris indica la derivación que marca la diferencia.



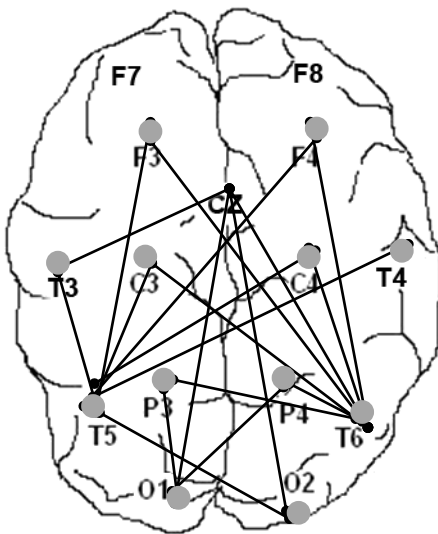
Topograma 64. Habilidad de Flexibilidad en el Sentimiento, banda Beta 1, Potencia Absoluta. Derivaciones significativas $p(F) < .01$. Prueba Emocional, Nivel Básico. El punto gris indica la derivación que marca la diferencia.



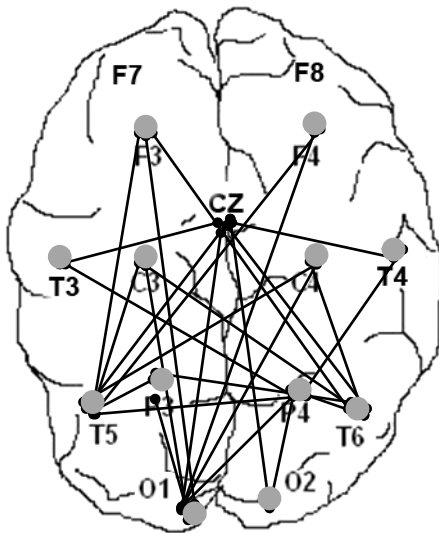
Topograma 65. Habilidad de Flexibilidad en el Sentimiento, banda Beta 2, Potencia Absoluta. Derivaciones significativas $p(F) < .01$. Prueba Emocional, Nivel Básico. El punto gris indica la derivación que marca la diferencia.



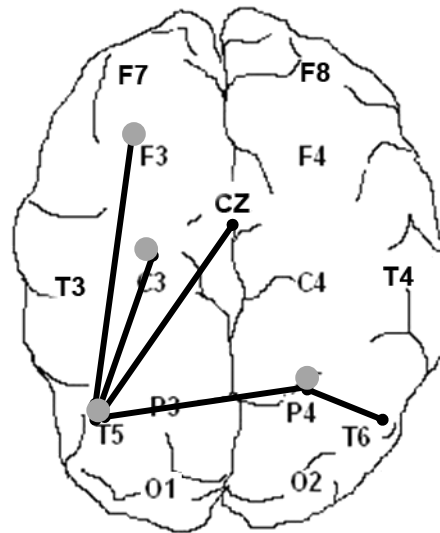
Topograma 66. Habilidad de Flexibilidad en el Sentimiento, banda Gamma, Potencia Absoluta. Derivaciones significativas $p(F) < .01$. Prueba Emocional, Nivel Básico. El punto gris indica la derivación que marca la diferencia.



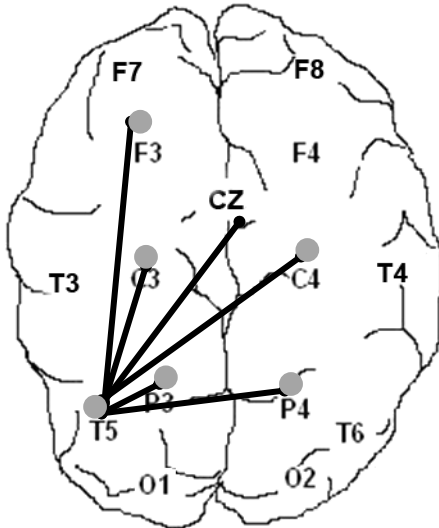
Topograma 67. Habilidad de Flexibilidad en el Sentimiento, banda Total, Potencia Absoluta. Derivaciones significativas $p(F) < .01$. Prueba Emocional, Nivel Básico. El punto gris indica la derivación que marca la diferencia.



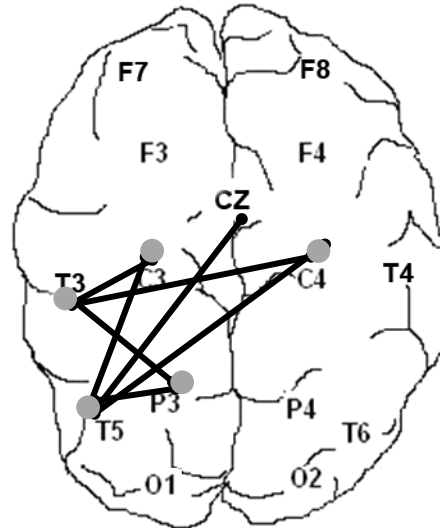
Topograma 68. Habilidad de Tolerancia, banda Delta, Potencia Absoluta. Derivaciones significativas $p(F) < .01$. Prueba Emocional, Nivel Básico. El punto gris indica la derivación que marca la diferencia.



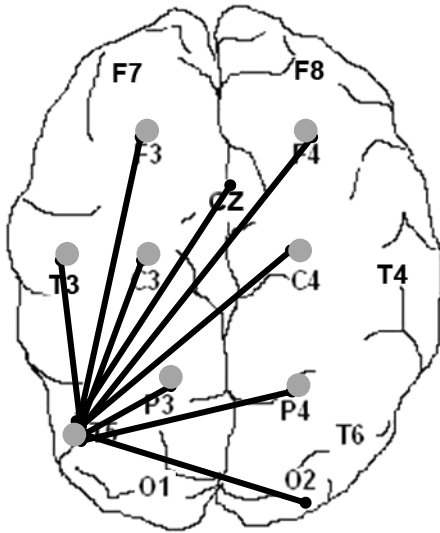
Topograma 69. Habilidad de Tolerancia, banda Theta 1, Potencia Absoluta. Derivaciones significativas $p(F) < .01$. Prueba Emocional, Nivel Básico. El punto gris indica la derivación que marca la diferencia.



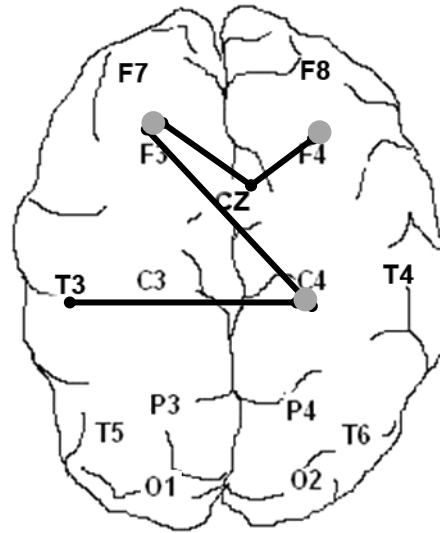
Topograma 70. Habilidad de Tolerancia, banda Theta 2, Potencia Absoluta. Derivaciones significativas $p(F) < .01$. Prueba Emocional, Nivel Básico. El punto gris indica la derivación que marca la diferencia.



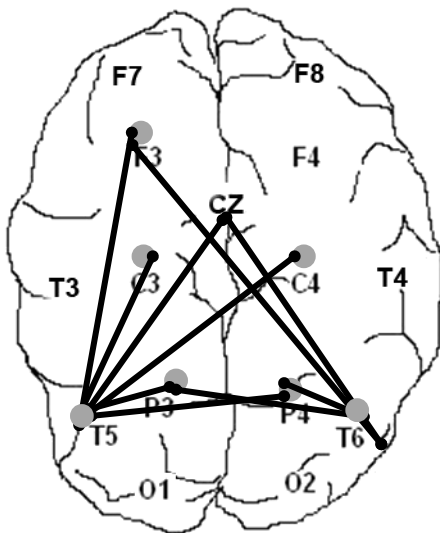
Topograma 71. Habilidad de Tolerancia, banda Alfa 1, Potencia Absoluta. Derivaciones significativas $p(F) < .01$. Prueba Emocional, Nivel Básico. El punto gris indica la derivación que marca la diferencia.



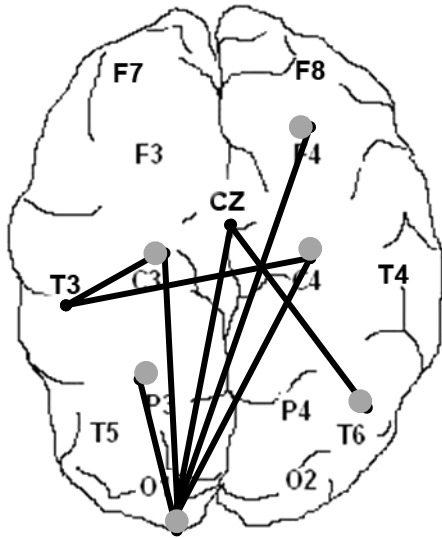
Topograma 72. Habilidad de Tolerancia, banda Alfa 2, Potencia Absoluta. Derivaciones significativas $p(F) < .01$. Prueba Emocional, Nivel Básico. El punto gris indica la derivación que marca la diferencia.



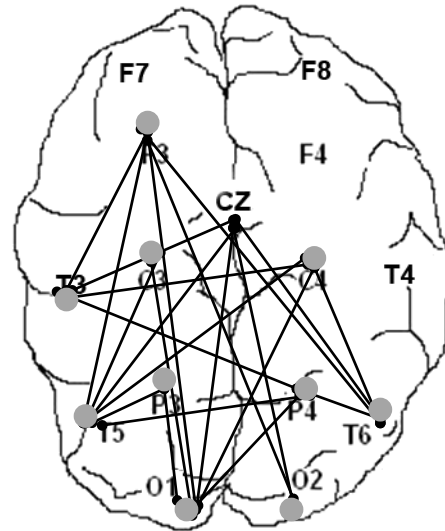
Topograma 73. Habilidad de Tolerancia, banda Gamma, Potencia Absoluta. Derivaciones significativas $p(F) < .01$. Prueba Emocional, Nivel Básico. El punto gris indica la derivación que marca la diferencia.



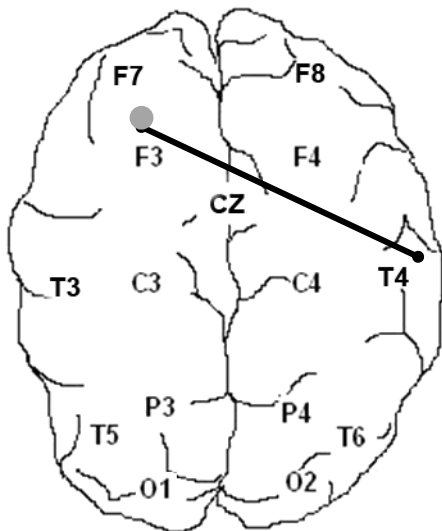
Topograma 74. Habilidad de Tolerancia, banda Total, Potencia Absoluta. Derivaciones significativas $p(F) < .01$. Prueba Emocional, Nivel Básico. El punto gris indica la derivación que marca la diferencia.



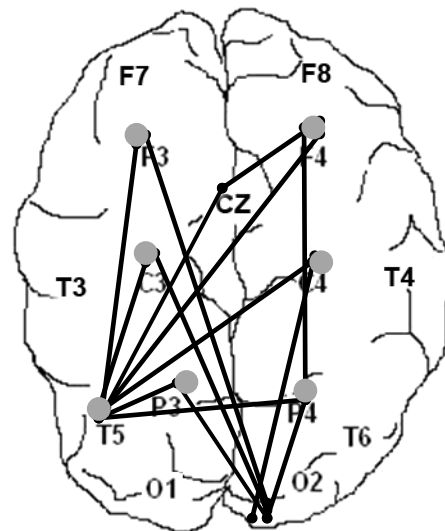
Topograma 75. Habilidad de Recuperación del Estado Emocional, banda Delta, Potencia Absoluta. Derivaciones significativas $p(F) < .01$. Prueba Emocional, Nivel Básico. El punto gris indica la derivación que marca la diferencia.



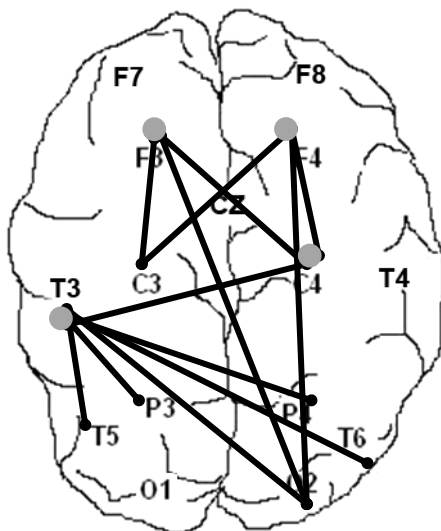
Topograma 76. Habilidad de Recuperación del Estado Emocional, banda Theta 1, Potencia Absoluta. Derivaciones significativas $p(F) < .01$. Prueba Emocional, Nivel Básico. El punto gris indica la derivación que marca la diferencia.



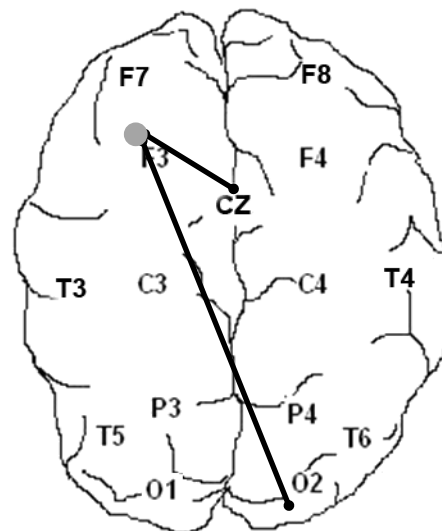
Topograma 77. Habilidad de Recuperación del Estado Emocional, banda Theta 2, Potencia Absoluta. Derivaciones significativas $p(F) < .01$. Prueba Emocional, Nivel Básico. El punto gris indica la derivación que marca la diferencia.



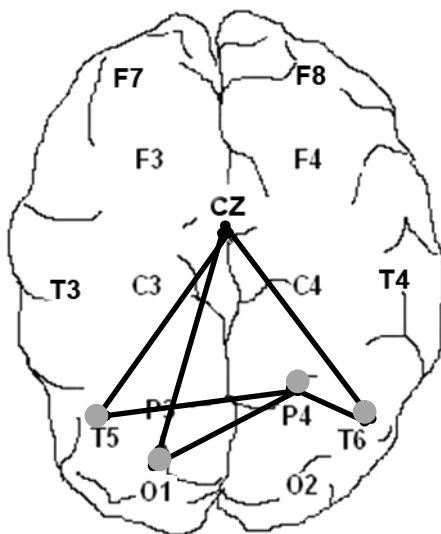
Topograma 78. Habilidad de Recuperación del Estado Emocional, banda Alfa 2, Potencia Absoluta. Derivaciones significativas $p(F) < .01$. Prueba Emocional, Nivel Básico. El punto gris indica la derivación que marca la diferencia.



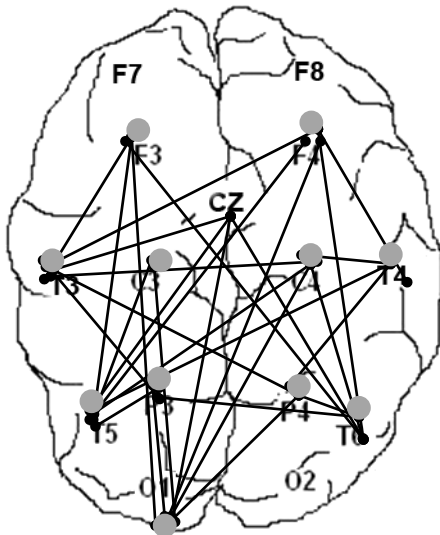
Topograma 79. Habilidad de Recuperación del Estado Emocional, banda Beta 2, Potencia Absoluta. Derivaciones significativas $p(F) < .01$. Prueba Emocional, Nivel Básico. El punto gris indica la derivación que marca la diferencia.



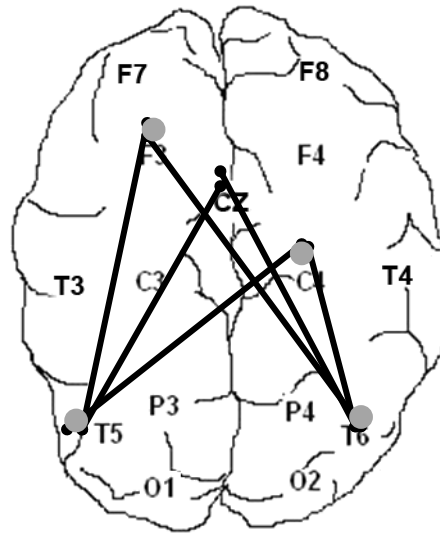
Topograma 80. Habilidad de Recuperación del Estado Emocional, banda Gamma, Potencia Absoluta. Derivaciones significativas $p(F) < .01$. Prueba Emocional, Nivel Básico. El punto gris indica la derivación que marca la diferencia.



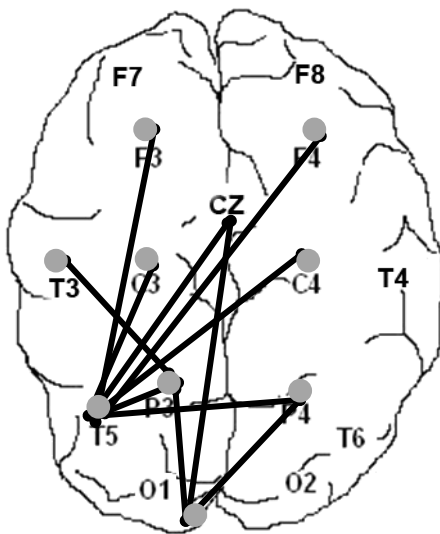
Topograma 81 Habilidad de Recuperación del Estado Emocional, banda Total, Potencia Absoluta. Derivaciones significativas $p(F) < .01$. Prueba Emocional, Nivel Básico. El punto gris indica la derivación que marca la diferencia.



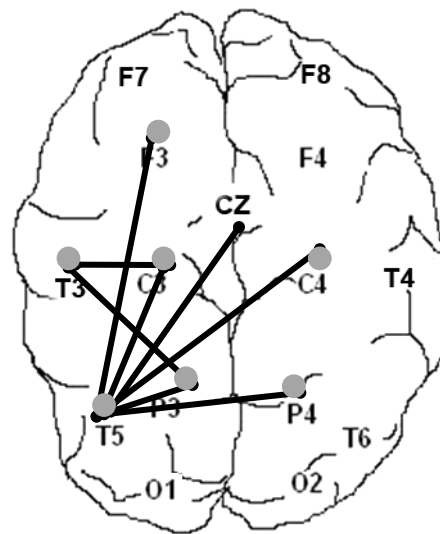
Topograma 82. Habilidad de Concepto Social, banda Delta, Potencia Absoluta. Derivaciones significativas $p(F) < .01$. Prueba Emocional, Nivel Básico. El punto gris indica la derivación que marca la diferencia.



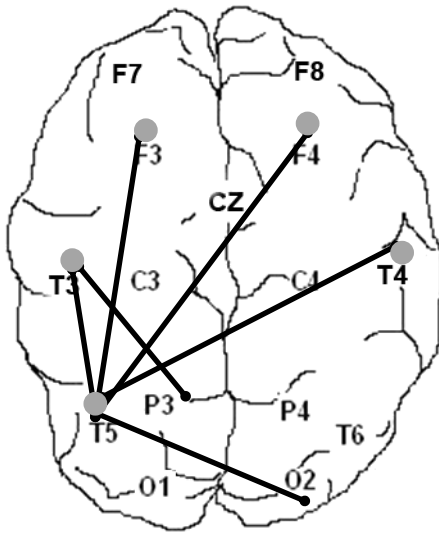
Topograma 83. Habilidad de Concepto Social, banda Theta 1, Potencia Absoluta. Derivaciones significativas $p(F) < .01$. Prueba Emocional, Nivel Básico. El punto gris indica la derivación que marca la diferencia.



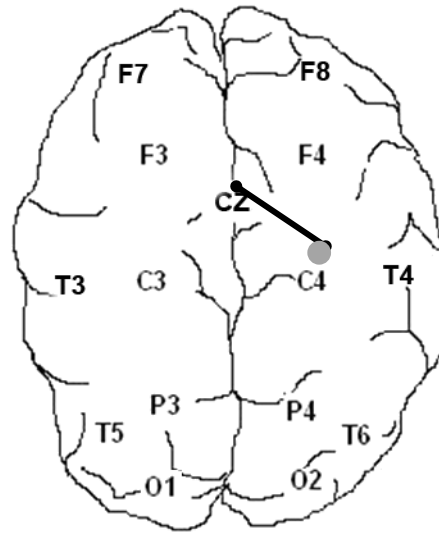
Topograma 84. Habilidad de Concepto Social, banda Theta 2, Potencia Absoluta. Derivaciones significativas $p(F) < .01$. Prueba Emocional, Nivel Básico. El punto gris indica la derivación que marca la diferencia.



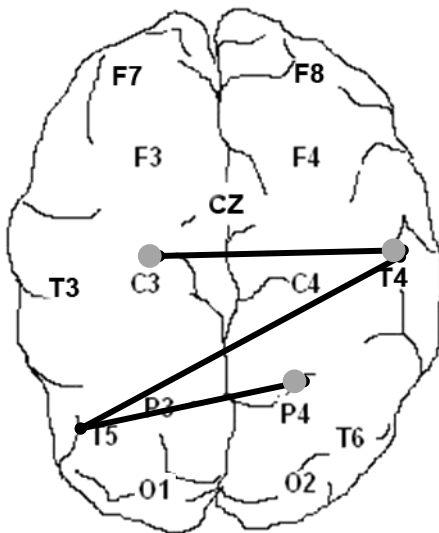
Topograma 85. Habilidad de Concepto Social, banda Alfa 1, Potencia Absoluta. Derivaciones significativas $p(F) < .01$. Prueba Emocional, Nivel Básico. El punto gris indica la derivación que marca la diferencia.



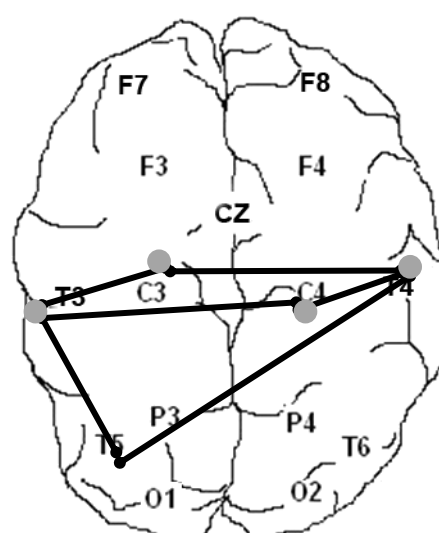
Topograma 86. Habilidad de Concepto Social, banda Alfa 2, Potencia Absoluta. Derivaciones significativas $p(F) < .01$. Prueba Emocional, Nivel Básico. El punto gris indica la derivación que marca la diferencia.



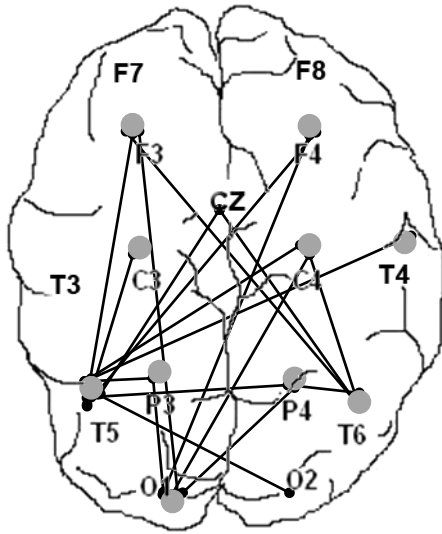
Topograma 87. Habilidad de Concepto Social, banda Beta 1, Potencia Absoluta. Derivaciones significativas $p(F) < .01$. Prueba Emocional, Nivel Básico. El punto gris indica la derivación que marca la diferencia.



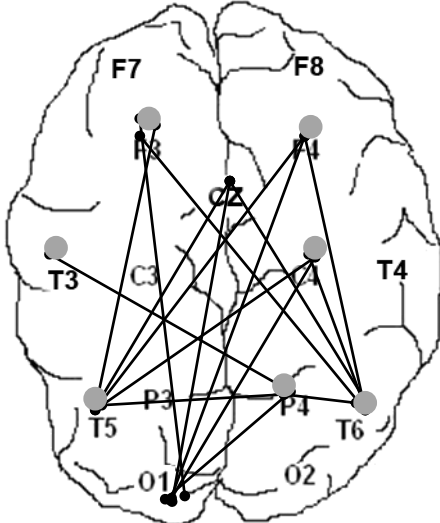
Topograma 88. Habilidad de Concepto Social, banda Beta 2, Potencia Absoluta. Derivaciones significativas $p(F) < .01$. Prueba Emocional, Nivel Básico. El punto gris indica la derivación que marca la diferencia.



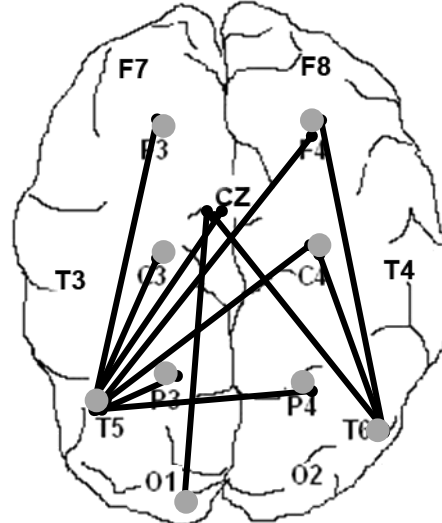
Topograma 89. Habilidad de Concepto Social, banda Gamma, Potencia Absoluta. Derivaciones significativas $p(F) < .01$. Prueba Emocional, Nivel Básico. El punto gris indica la derivación que marca la diferencia.



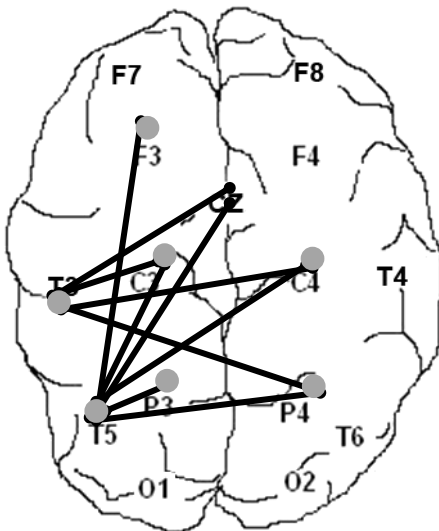
Topograma 90. Habilidad de Concepto Social, banda Total, Potencia Absoluta. Derivaciones significativas $p(F) < .01$. Prueba Emocional, Nivel Básico. El punto gris indica la derivación que marca la diferencia.



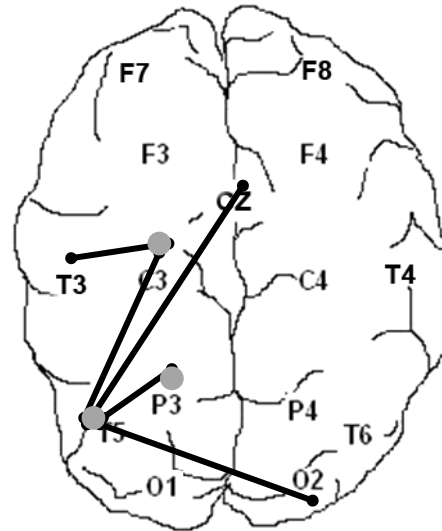
Topograma 91. Habilidad de Percepción Afectiva Social, banda Delta, Potencia Absoluta. Derivaciones significativas $p(F) < .01$. Prueba Emocional, Nivel Básico. El punto gris indica la derivación que marca la diferencia.



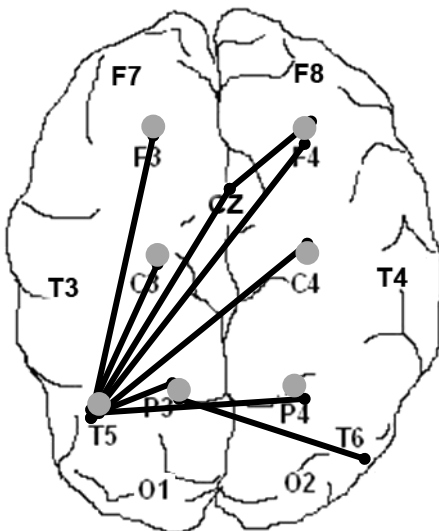
Topograma 92. Habilidad de Percepción Afectiva Social, banda Theta 1, Potencia Absoluta. Derivaciones significativas $p(F) < .01$. Prueba Emocional, Nivel Básico. El punto gris indica la derivación que marca la diferencia.



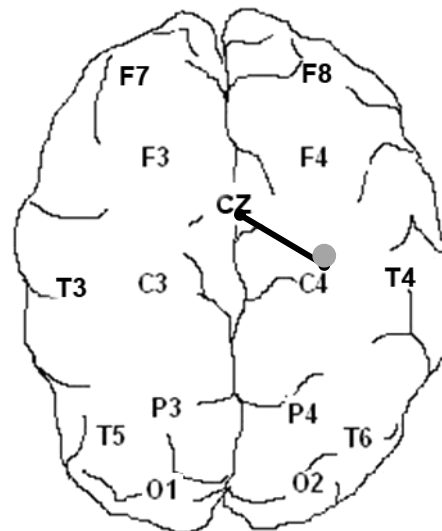
Topograma 93. Habilidad de Percepción Afectiva Social, banda Theta 2, Potencia Absoluta. Derivaciones significativas $p(F) < .01$. Prueba Emocional, Nivel Básico. El punto gris indica la derivación que marca la diferencia.



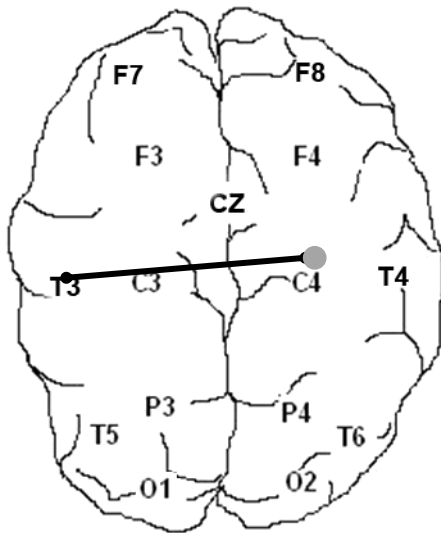
Topograma 94. Habilidad de Percepción Afectiva Social, banda Alfa 1, Potencia Absoluta. Derivaciones significativas $p(F) < .01$. Prueba Emocional, Nivel Básico. El punto gris indica la derivación que marca la diferencia.



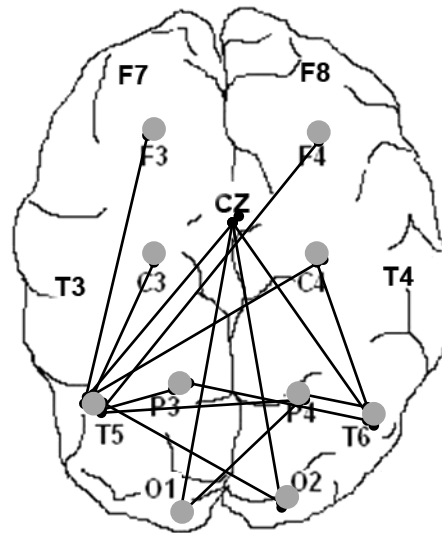
Topograma 95. Habilidad de Percepción Afectiva Social, banda Alfa 2, Potencia Absoluta. Derivaciones significativas $p(F) < .01$. Prueba Emocional, Nivel Básico. El punto gris indica la derivación que marca la diferencia.



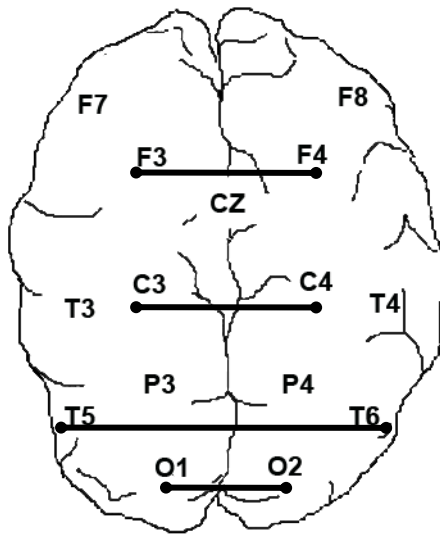
Topograma 96. Habilidad de Percepción Afectiva Social, banda Beta 1, Potencia Absoluta. Derivaciones significativas $p(F) < .01$. Prueba Emocional, Nivel Básico. El punto gris indica la derivación que marca la diferencia.



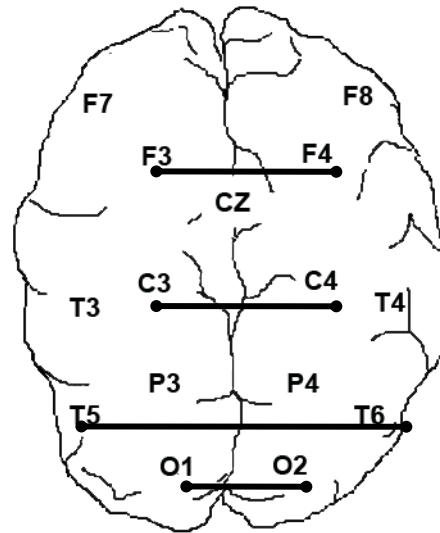
Topograma 97. Habilidad de Percepción Afectiva Social, banda Gamma Potencia Absoluta. Derivaciones significativas $p(F) < .01$. Prueba Emocional, Nivel Básico. El punto gris indica la derivación que marca la diferencia.



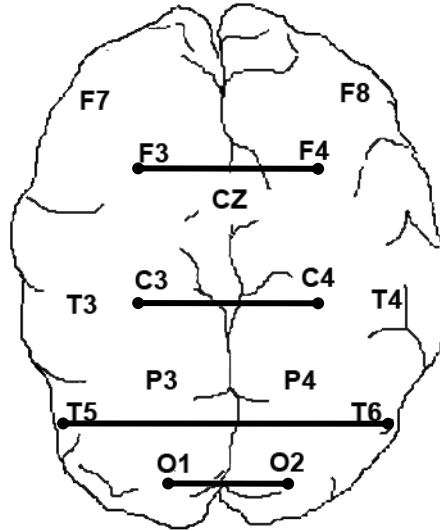
Topograma 98. Habilidad de Percepción Afectiva Social, banda Total, Potencia Absoluta. Derivaciones significativas $p(F) < .01$. Prueba Emocional, Nivel Básico. El punto gris indica la derivación que marca la diferencia.



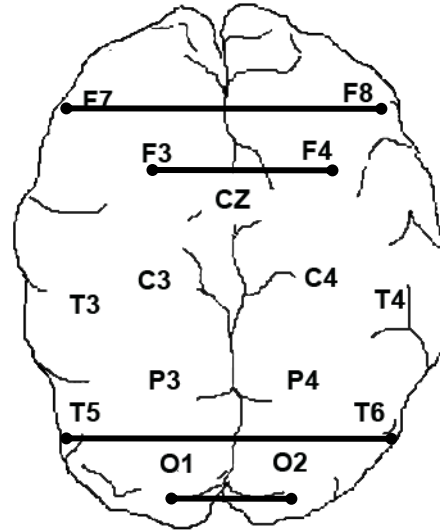
Topograma 99. Habilidad de Atención Cognitiva, banda Delta, Correlación Interhemisférica. Derivaciones significativas $p(F) < .01$. Prueba Cognitiva, Nivel Básico.



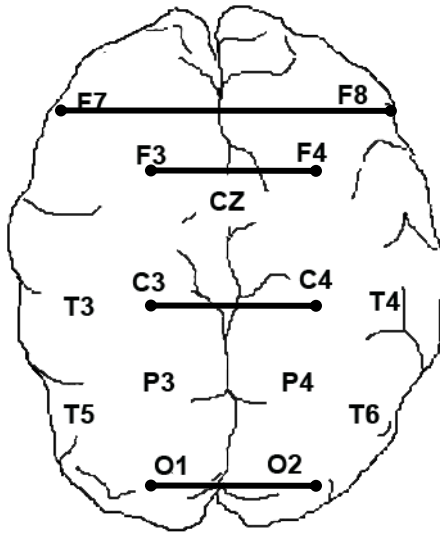
Topograma 100. Habilidad de Atención Cognitiva, banda Theta 1, Correlación Interhemisférica. Derivaciones significativas $p(F) < .01$. Prueba Cognitiva, Nivel Básico.



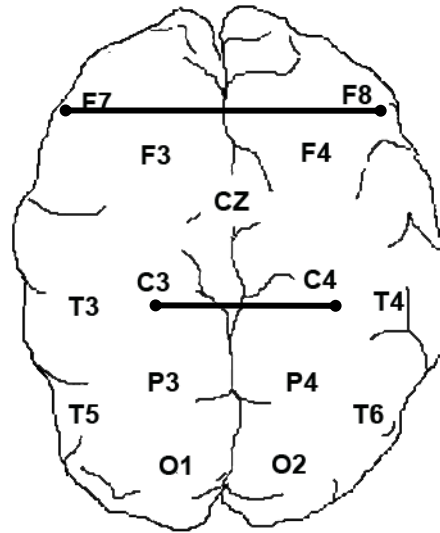
Topograma 101. Habilidad de Atención Cognitiva, banda Theta 2, Correlación Interhemisférica. Derivaciones significativas $p(F) < .01$. Prueba Cognitiva, Nivel Básico.



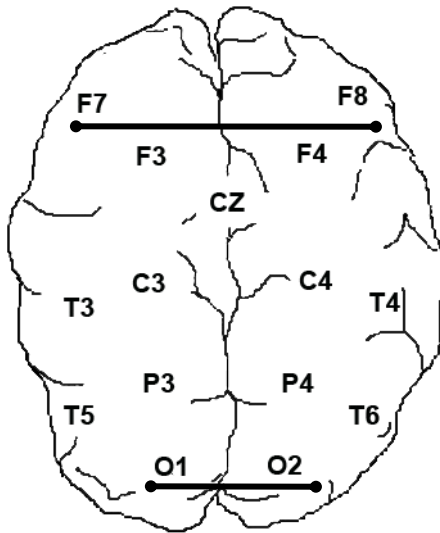
Topograma 102. Habilidad de Atención Cognitiva, banda Alfa 1, Correlación Interhemisférica. Derivaciones significativas $p(F) < .01$. Prueba Cognitiva, Nivel Básico.



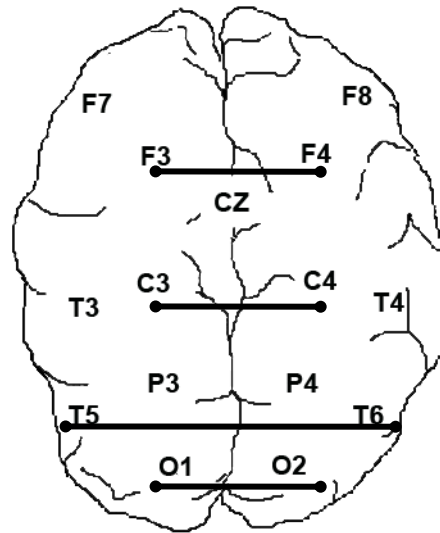
Topograma 103. Habilidad de Atención Cognitiva, banda Alfa 2, Correlación Interhemisférica. Derivaciones significativas $p(F) < .01$. Prueba Cognitiva, Nivel Básico.



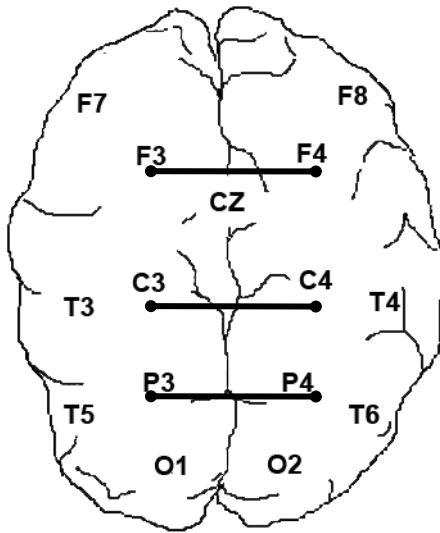
Topograma 104. Habilidad de Atención Cognitiva, banda Beta 1, Correlación Interhemisférica. Derivaciones significativas $p(F) < .01$. Prueba Cognitiva, Nivel Básico.



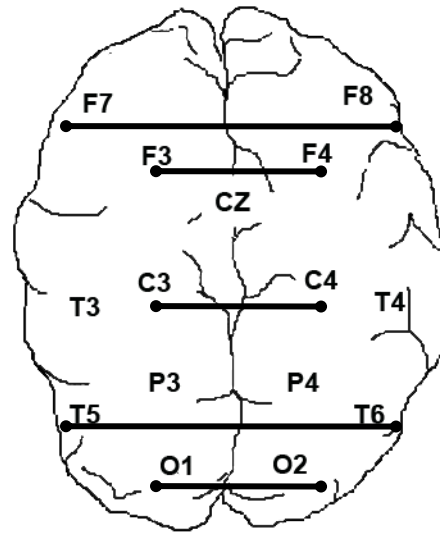
Topograma 105. Habilidad de Atención Cognitiva, banda Beta 2, Correlación Interhemisférica. Derivaciones significativas $p(F) < .01$. Prueba Cognitiva, Nivel Básico.



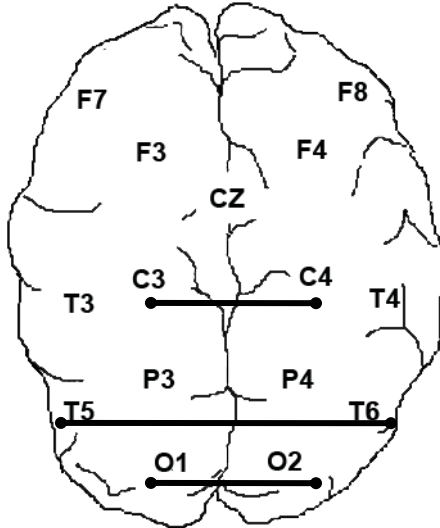
Topograma 106. Habilidad de Atención Cognitiva, banda Total, Correlación Interhemisférica. Derivaciones significativas $p(F) < .01$. Prueba Cognitiva, Nivel Básico.



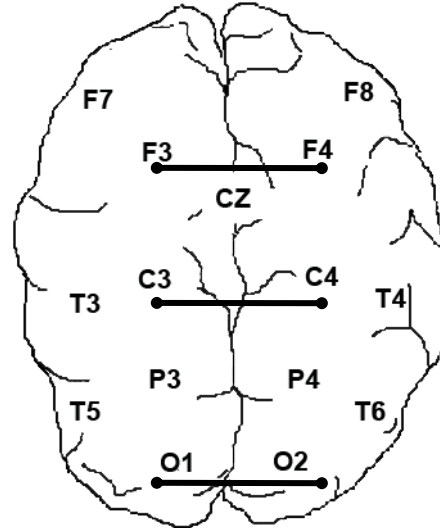
Topograma 107. Habilidad de Descripción Cognitiva, banda Delta, Correlación Interhemisférica. Derivaciones significativas $p(F) < .01$. Prueba Cognitiva, Nivel Básico.



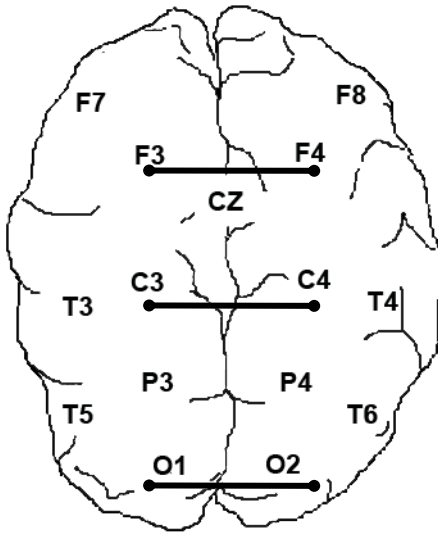
Topograma 108. Habilidad de Descripción Cognitiva, banda Theta 1, Correlación Interhemisférica. Derivaciones significativas $p(F) < .01$. Prueba Cognitiva, Nivel Básico.



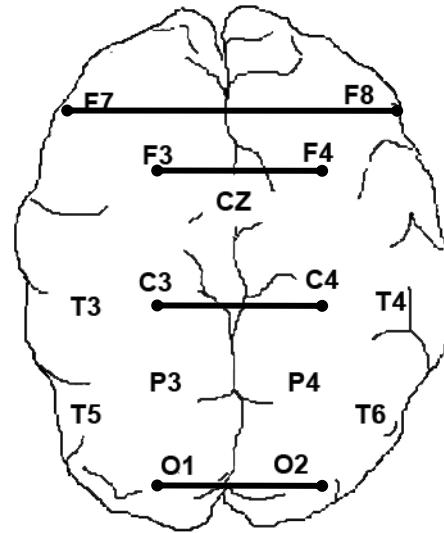
Topograma 109. Habilidad de Descripción Cognitiva, banda Theta 2, Correlación Interhemisférica. Derivaciones significativas $p(F) < .01$. Prueba Cognitiva, Nivel Básico.



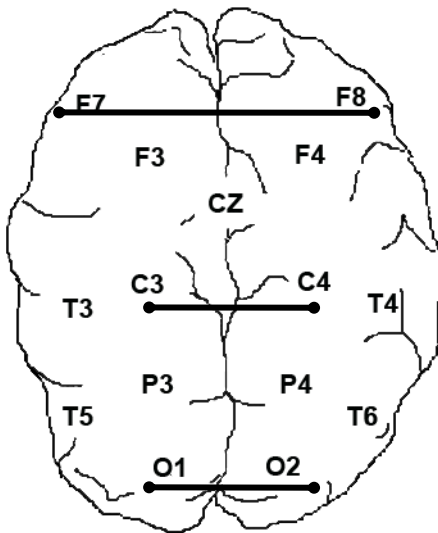
Topograma 110. Habilidad de Descripción Cognitiva, banda Alfa 1, Correlación Interhemisférica. Derivaciones significativas $p(F) < .01$. Prueba Cognitiva, Nivel Básico.



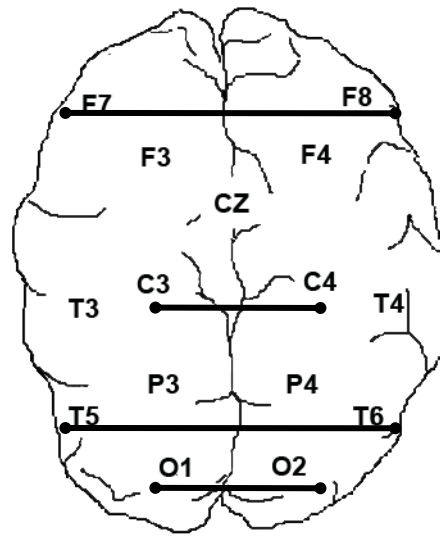
Topograma 111. Habilidad de Descripción Cognitiva, banda Alfa 2, Correlación Interhemisférica. Derivaciones significativas $p(F) < .01$. Prueba Cognitiva, Nivel Básico.



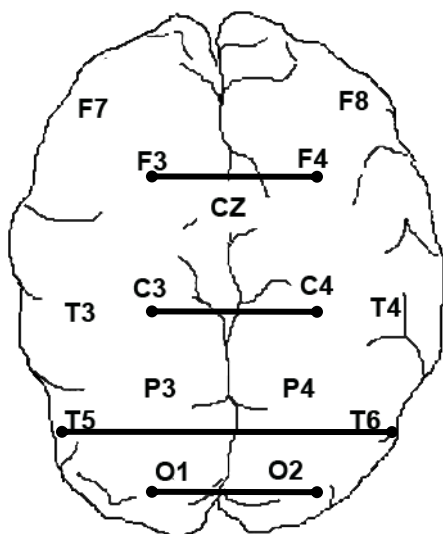
Topograma 112. Habilidad de Descripción Cognitiva, banda Beta 1, Correlación Interhemisférica. Derivaciones significativas $p(F) < .01$. Prueba Cognitiva, Nivel Básico.



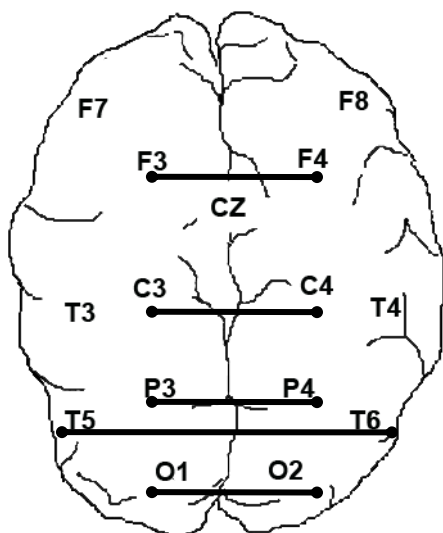
Topograma 113. Habilidad de Descripción Cognitiva, banda Beta 2, Correlación Interhemisférica. Derivaciones significativas $p(F) < .01$. Prueba Cognitiva, Nivel Básico.



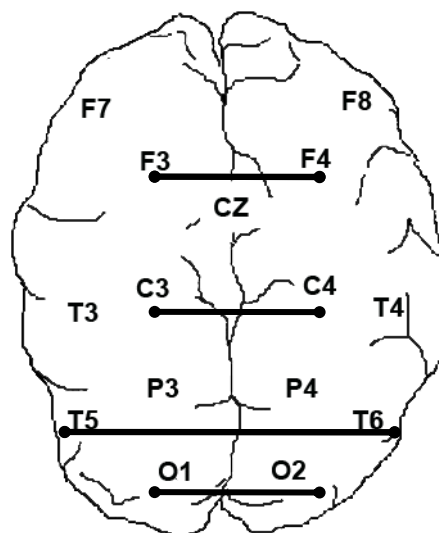
Topograma 114. Habilidad de Descripción Cognitiva, banda Gamma, Correlación Interhemisférica. Derivaciones significativas $p(F) < .01$. Prueba Cognitiva, Nivel Básico.



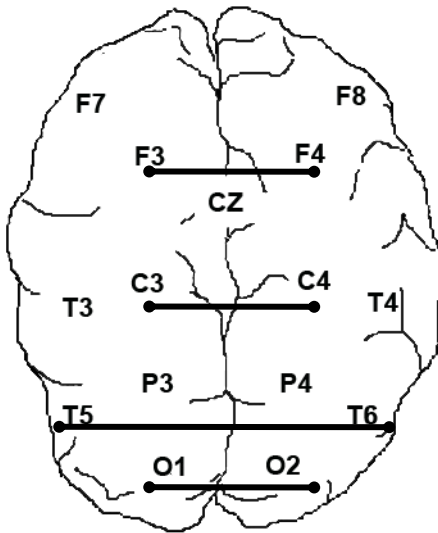
Topograma 115. Habilidad de Descripción Cognitiva, banda Total, Correlación Interhemisférica. Derivaciones significativas $p(F) < .01$. Prueba Cognitiva, Nivel Básico.



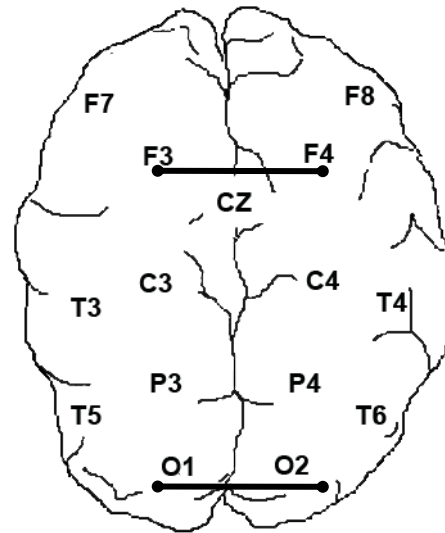
Topograma 116. Habilidad de Discriminación Cognitiva, banda Delta, Correlación Interhemisférica. Derivaciones significativas $p(F) < .01$. Prueba Cognitiva, Nivel Básico.



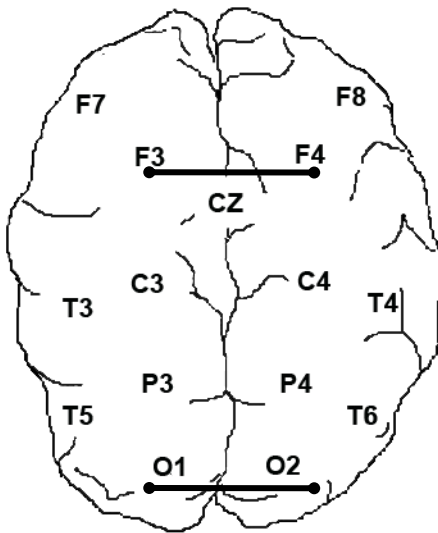
Topograma 117. Habilidad de Discriminación Cognitiva, banda Theta 1, Correlación Interhemisférica. Derivaciones significativas $p(F) < .01$. Prueba Cognitiva, Nivel Básico.



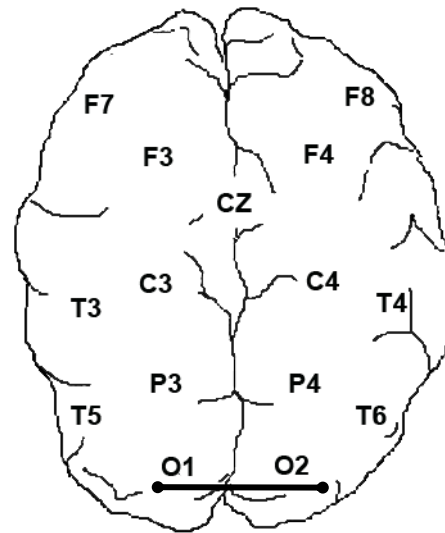
Topograma 118. Habilidad de Discriminación Cognitiva, banda Theta 2, Correlación Interhemisférica. Derivaciones significativas $p(F) < .01$. Prueba Cognitiva, Nivel Básico.



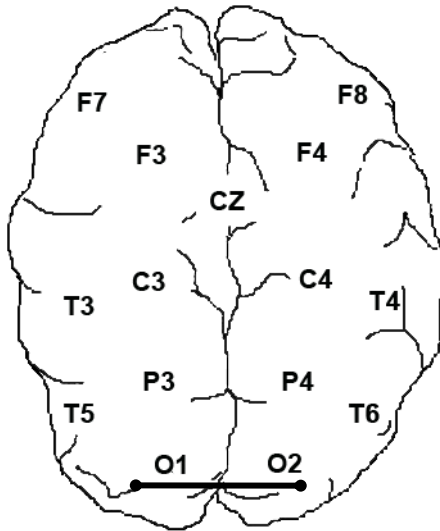
Topograma 119. Habilidad de Discriminación Cognitiva, banda Alfa 1, Correlación Interhemisférica. Derivaciones significativas $p(F) < .01$. Prueba Cognitiva, Nivel Básico.



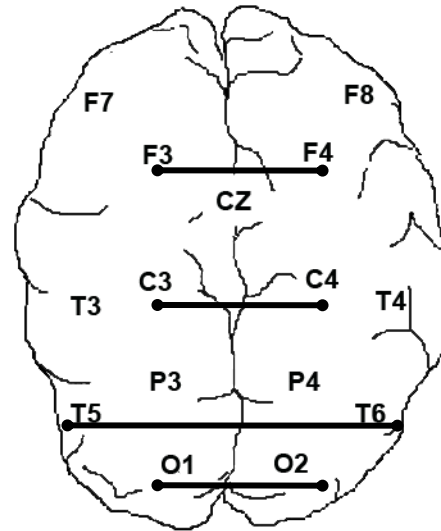
Topograma 120. Habilidad de Discriminación Cognitiva, banda Alfa 2, Correlación Interhemisférica. Derivaciones significativas $p(F) < .01$. Prueba Cognitiva, Nivel Básico.



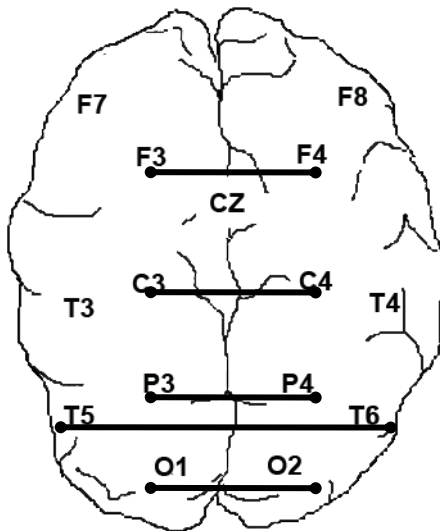
Topograma 121. Habilidad de Discriminación Cognitiva, banda Beta 1, Correlación Interhemisférica. Derivaciones significativas $p(F) < .01$. Prueba Cognitiva, Nivel Básico.



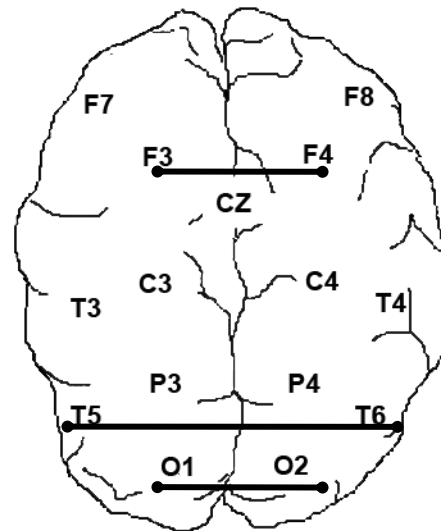
Topograma 122. Habilidad de Discriminación Cognitiva, banda Beta 2, Correlación Interhemisférica. Derivaciones significativas $p(F) < .01$. Prueba Cognitiva, Nivel Básico.



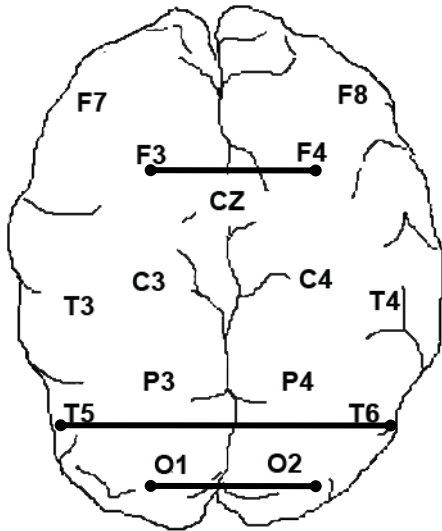
Topograma 123. Habilidad de Discriminación Cognitiva, banda Total, Correlación Interhemisférica. Derivaciones significativas $p(F) < .01$. Prueba Cognitiva, Nivel Básico.



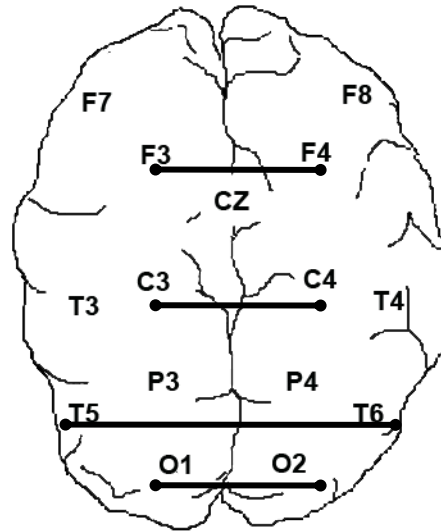
Topograma 124. Habilidad de Memoria para Detalles, banda Delta, Correlación Interhemisférica. Derivaciones significativas $p(F) < .01$. Prueba Cognitiva, Nivel Básico.



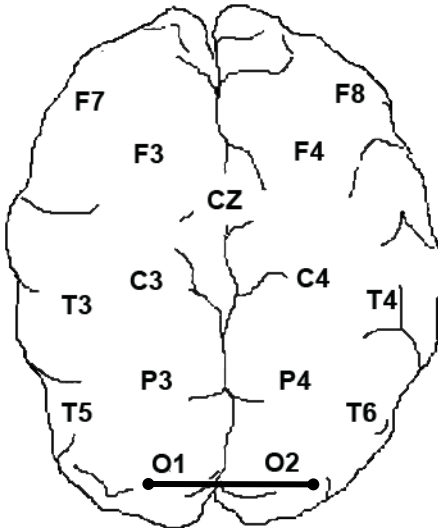
Topograma 125. Habilidad de Memoria para Detalles, banda Theta 1, Correlación Interhemisférica. Derivaciones significativas $p(F) < .01$. Prueba Cognitiva, Nivel Básico.



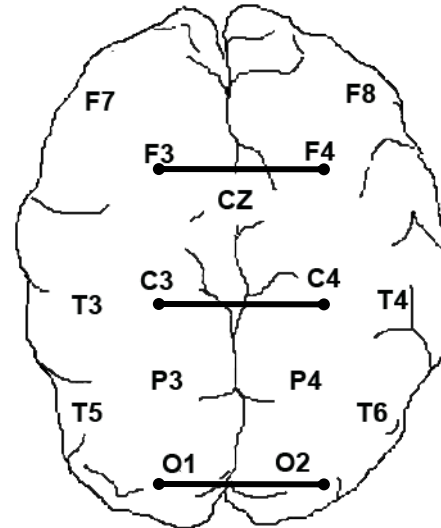
Topograma 126. Habilidad de Memoria para Detalles, banda Theta 2, Correlación Interhemisférica. Derivaciones significativas $p(F) < .01$. Prueba Cognitiva, Nivel Básico.



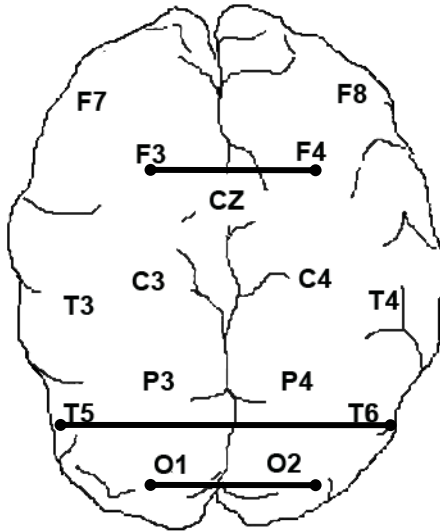
Topograma 127. Habilidad de Memoria para Detalles, banda Alfa 1, Correlación Interhemisférica. Derivaciones significativas $p(F) < .01$. Prueba Cognitiva, Nivel Básico.



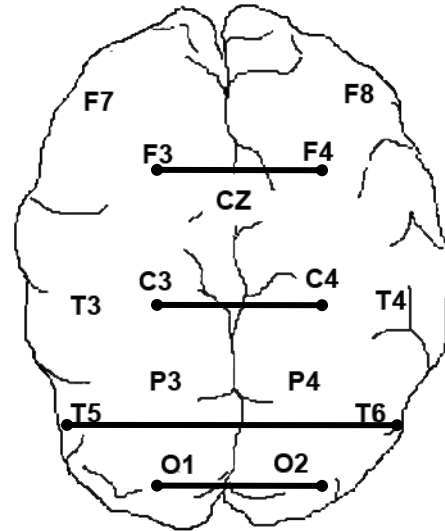
Topograma 128. Habilidad de Memoria para Detalles, banda Alfa 2, Correlación Interhemisférica. Derivaciones significativas $p(F) < .01$. Prueba Cognitiva, Nivel Básico.



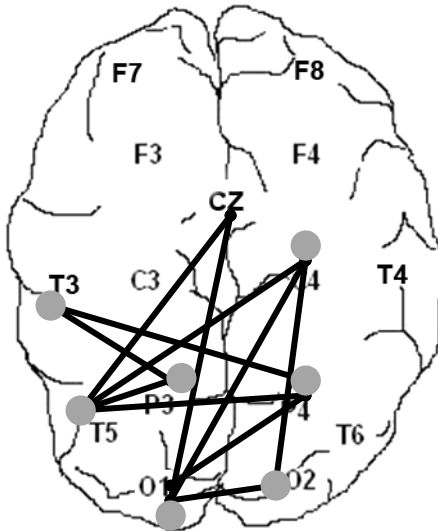
Topograma 129. Habilidad de Memoria para Detalles, banda Beta 1, Correlación Interhemisférica. Derivaciones significativas $p(F) < .01$. Prueba Cognitiva, Nivel Básico.



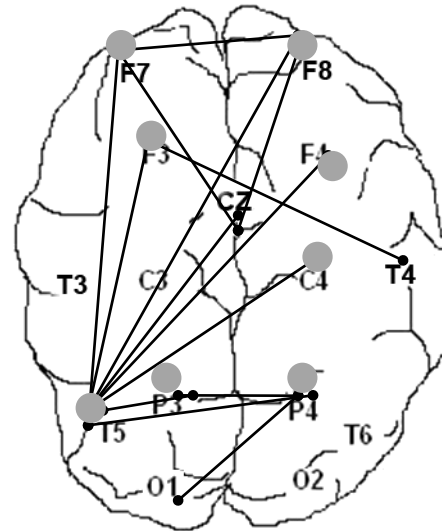
Topograma 130. Habilidad de Memoria para Detalles, banda Gamma, Correlación Interhemisférica. Derivaciones significativas $p(F) < .01$. Prueba Cognitiva, Nivel Básico.



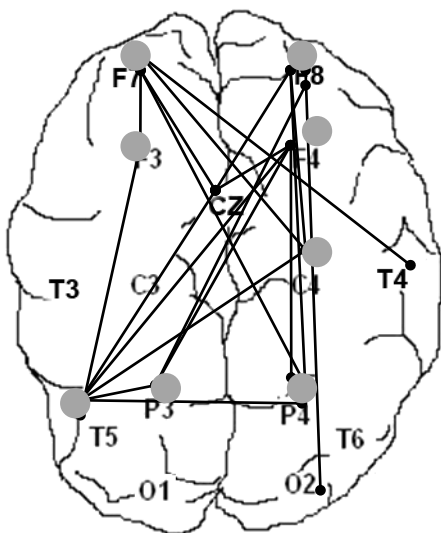
Topograma 131. Habilidad de Memoria para Detalles, banda Total, Correlación Interhemisférica. Derivaciones significativas $p(F) < .01$. Prueba Cognitiva, Nivel Básico.



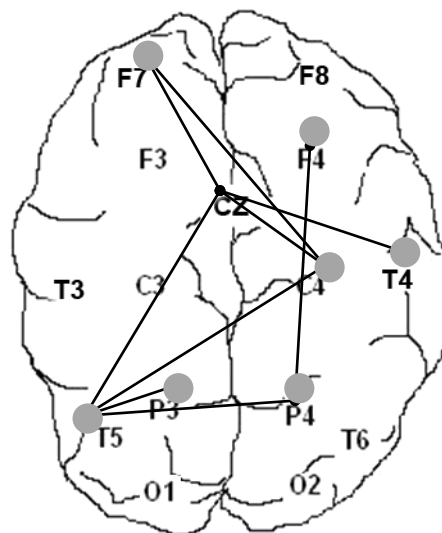
Topograma 132. Habilidad de Reconocimiento Cognitivo, banda Delta, Potencia Absoluta. Derivaciones significativas $p(F) < .01$. Prueba Cognitiva, Nivel Básico. El punto gris indica la derivación que marca la diferencia.



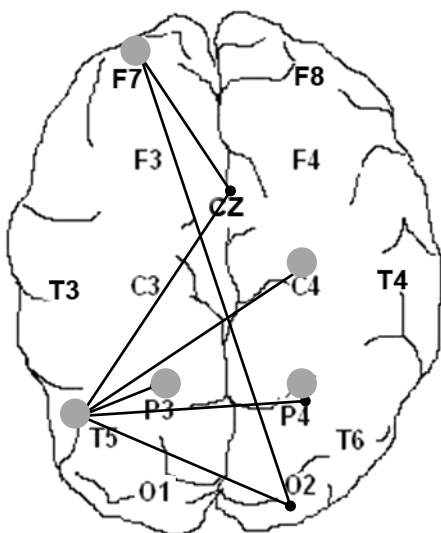
Topograma 133. Habilidad de Reconocimiento Cognitivo, banda Theta 1, Potencia Absoluta. Derivaciones significativas $p(F) < .01$. Prueba Cognitiva, Nivel Básico. El punto gris indica la derivación que marca la diferencia.



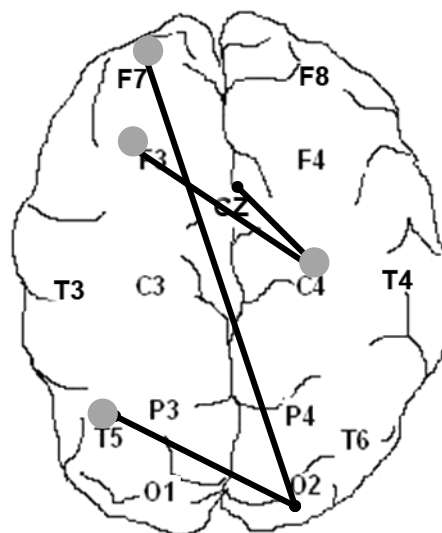
Topograma 134. Habilidad de Reconocimiento Cognitivo, banda Theta 2, Potencia Absoluta. Derivaciones significativas $p(F) < .01$. Prueba Cognitiva, Nivel Básico. El punto gris indica la derivación que marca la diferencia.



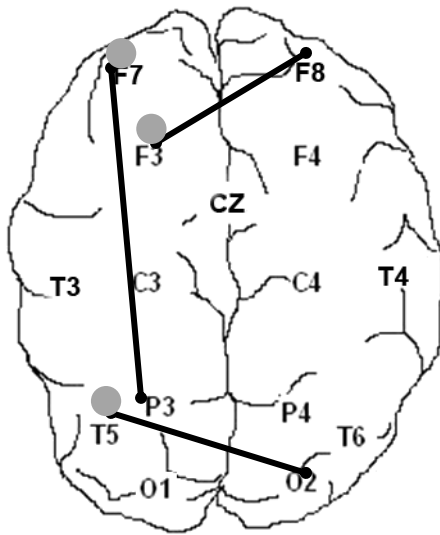
Topograma 135. Habilidad de Reconocimiento Cognitivo, banda Alfa 1, Potencia Absoluta. Derivaciones significativas $p(F) < .01$. Prueba Cognitiva, Nivel Básico. El punto gris indica la derivación que marca la diferencia.



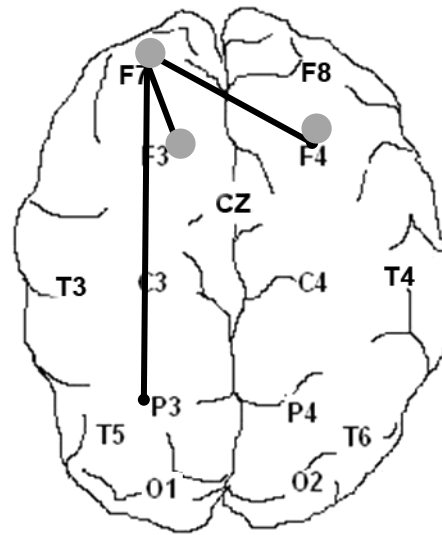
Topograma 136. Habilidad de Reconocimiento Cognitivo, banda Alfa 2, Potencia Absoluta. Derivaciones significativas $p(F) < .01$. Prueba Cognitiva, Nivel Básico. El punto gris indica la derivación que marca la diferencia.



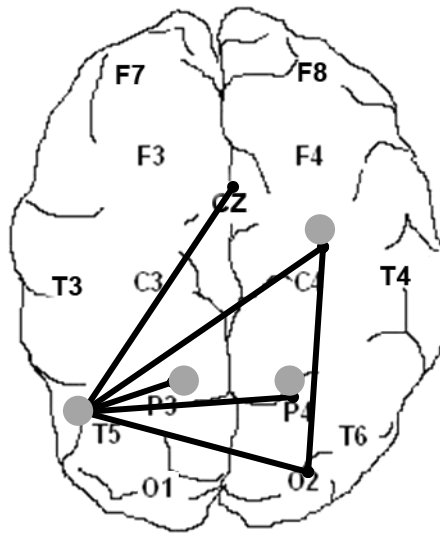
Topograma 137. Habilidad de Reconocimiento Cognitivo, banda Beta 1, Potencia Absoluta. Derivaciones significativas $p(F) < .01$. Prueba Cognitiva, Nivel Básico. El punto gris indica la derivación que marca la diferencia.



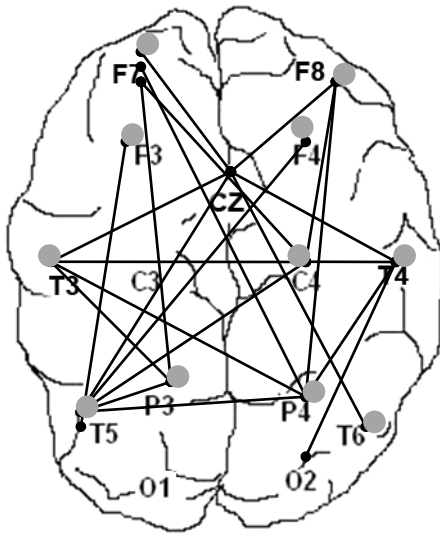
Topograma 138. Habilidad de Reconocimiento Cognitivo, banda Beta 2, Potencia Absoluta. Derivaciones significativas $p(F) < .01$. Prueba Cognitiva, Nivel Básico. El punto gris indica la derivación que marca la diferencia.



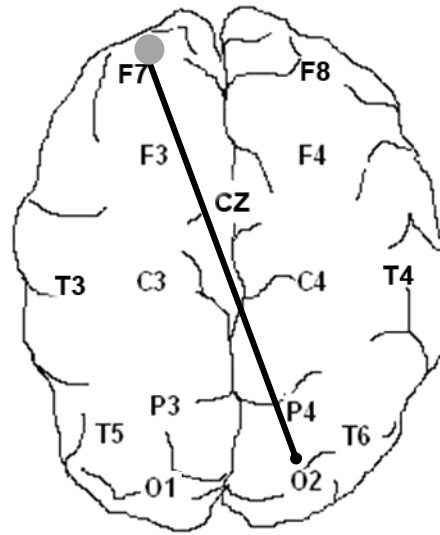
Topograma 139. Habilidad de Reconocimiento Cognitivo, banda Gamma, Potencia Absoluta. Derivaciones significativas $p(F) < .01$. Prueba Cognitiva, Nivel Básico. El punto gris indica la derivación que marca la diferencia.



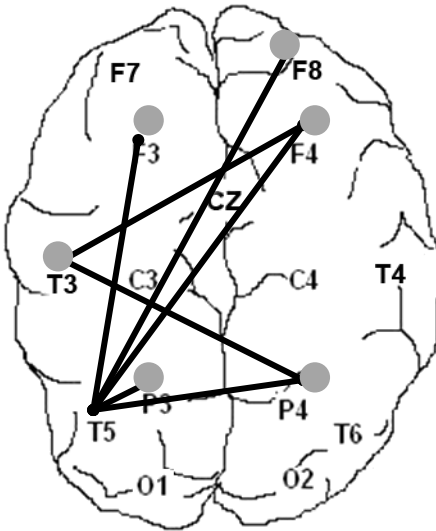
Topograma 140. Habilidad de Reconocimiento Cognitivo, banda Total, Potencia Absoluta. Derivaciones significativas $p(F) < .01$. Prueba Cognitiva, Nivel Básico. El punto gris indica la derivación que marca la diferencia.



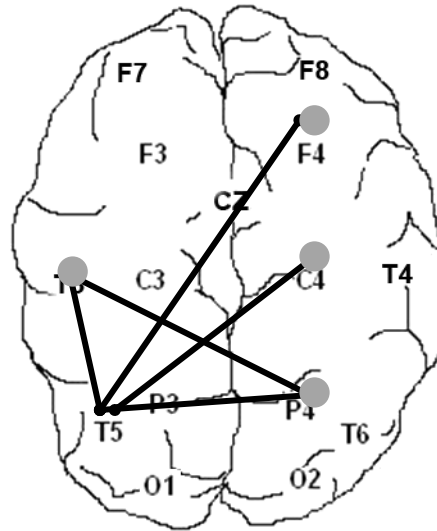
Topograma 141. Habilidad de Clasificación Cognitiva, banda Alfa 1, Potencia Absoluta. Derivaciones significativas $p(F) < .01$. Prueba Cognitiva, Nivel Básico. El punto gris indica la derivación que marca la diferencia.



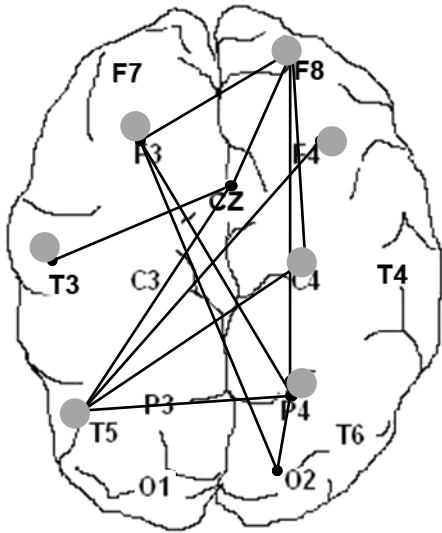
Topograma 142. Habilidad de Clasificación Cognitiva, banda Gamma, Potencia Absoluta. Derivaciones significativas $p(F) < .01$. Prueba Cognitiva, Nivel Básico. El punto gris indica la derivación que marca la diferencia.



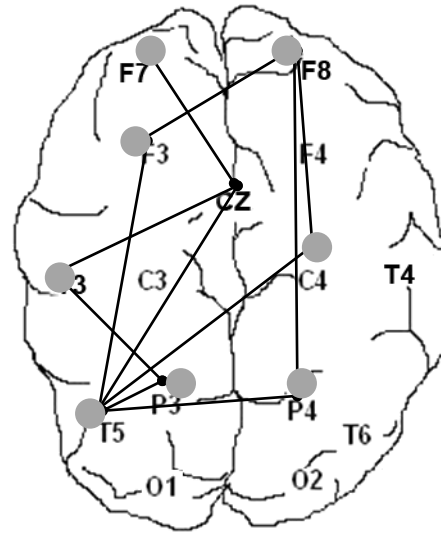
Topograma 143. Habilidad de Organización Cognitiva, banda Delta, Potencia Absoluta. Derivaciones significativas $p(F) < .01$. Prueba Cognitiva, Nivel Básico. El punto gris indica la derivación que marca la diferencia.



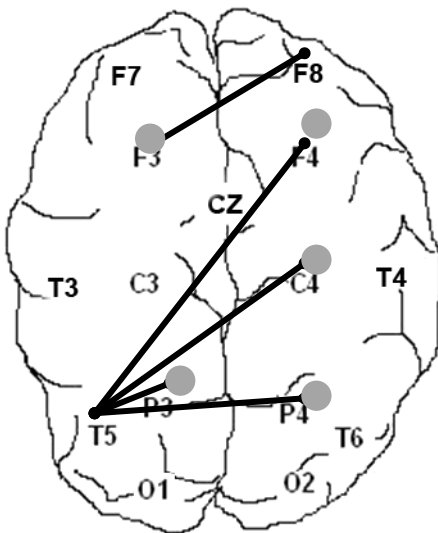
Topograma 144. Habilidad de Organización Cognitiva, banda Theta 1, Potencia Absoluta. Derivaciones significativas $p(F) < .01$. Prueba Cognitiva, Nivel Básico. El punto gris indica la derivación que marca la diferencia.



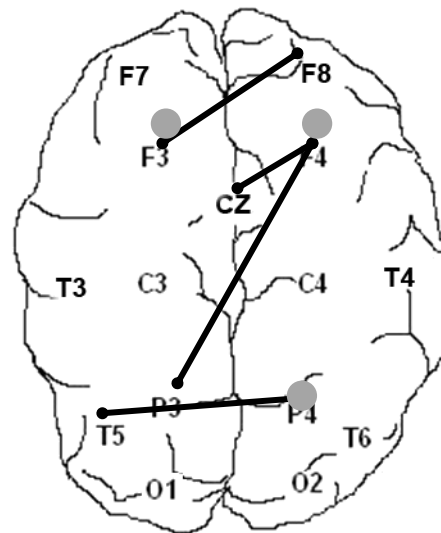
Topograma 145. Habilidad de Organización Cognitiva, banda Theta 2, Potencia Absoluta. Derivaciones significativas $p(F) < .01$. Prueba Cognitiva, Nivel Básico. El punto gris indica la derivación que marca la diferencia.



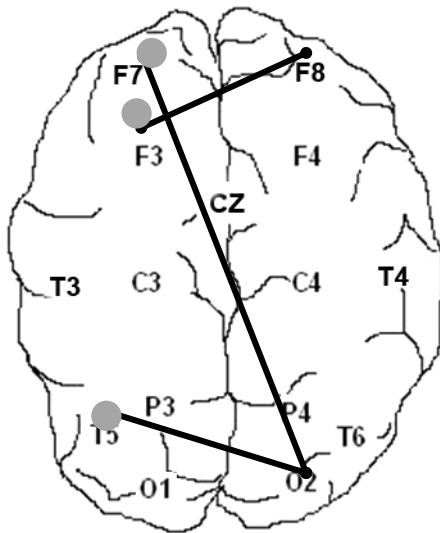
Topograma 146. Habilidad de Organización Cognitiva, banda Alfa 1, Potencia Absoluta. Derivaciones significativas $p(F) < .01$. Prueba Cognitiva, Nivel Básico. El punto gris indica la derivación que marca la diferencia.



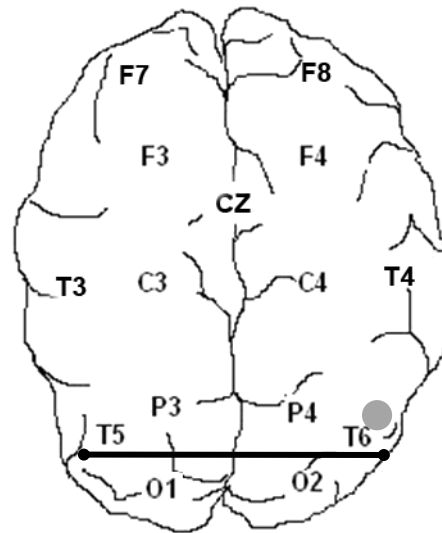
Topograma 147. Habilidad de Organización Cognitiva, banda Alfa 2, Potencia Absoluta. Derivaciones significativas $p(F) < .01$. Prueba Cognitiva, Nivel Básico. El punto gris indica la derivación que marca la diferencia.



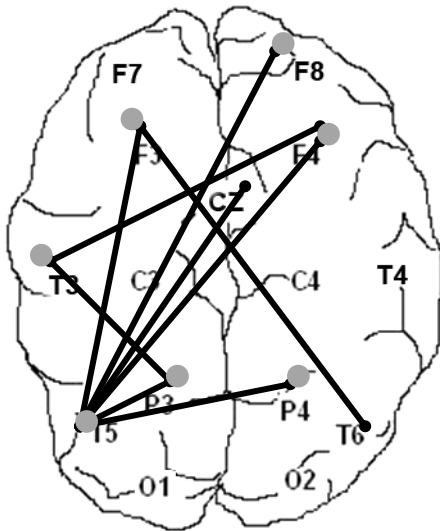
Topograma 148. Habilidad de Organización Cognitiva, banda Beta 1, Potencia Absoluta. Derivaciones significativas $p(F) < .01$. Prueba Cognitiva, Nivel Básico. El punto gris indica la derivación que marca la diferencia.



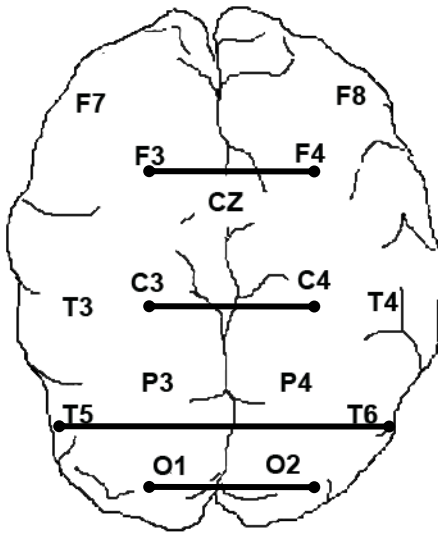
Topograma 149. Habilidad de Organización Cognitiva, banda Beta 2, Potencia Absoluta. Derivaciones significativas $p(F) < .01$. Prueba Cognitiva, Nivel Básico. El punto gris indica la derivación que marca la diferencia.



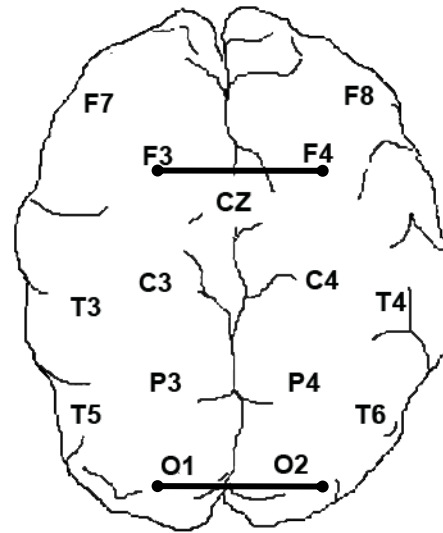
Topograma 150. Habilidad de Organización Cognitiva, banda Gamma, Potencia Absoluta. Derivaciones significativas $p(F) < .01$. Prueba Cognitiva, Nivel Básico. El punto gris indica la derivación que marca la diferencia.



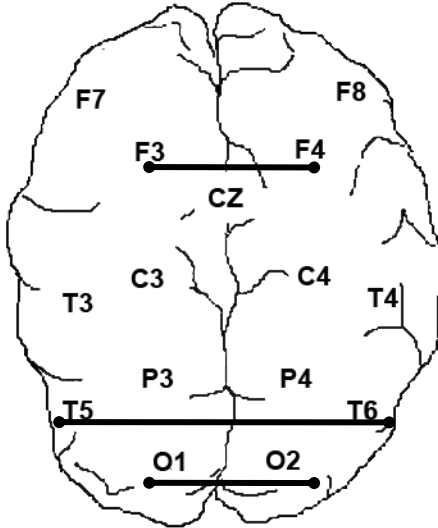
Topograma 151. Habilidad de Organización Cognitiva, banda Total, Potencia Absoluta. Derivaciones significativas $p(F) < .01$. Prueba Cognitiva, Nivel Básico. El punto gris indica la derivación que marca la diferencia.



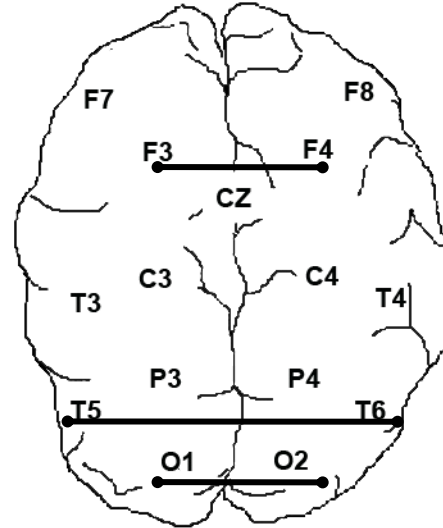
Topograma 152. Habilidad de Jerarquización Cognitiva, banda Delta, Correlación Interhemisférica. Derivaciones significativas $p(F) < .01$. Prueba Cognitiva, Nivel Básico



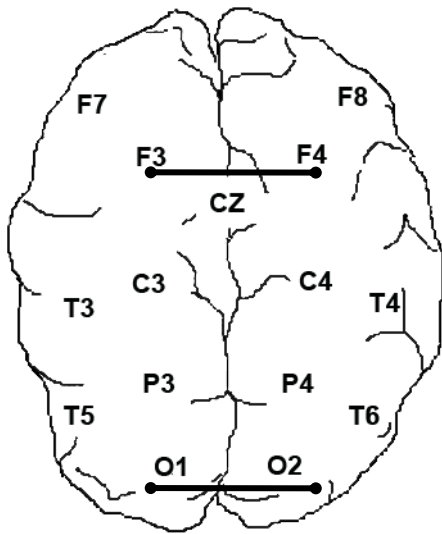
Topograma 153. Habilidad de Jerarquización Cognitiva, banda Theta 1, Correlación Interhemisférica. Derivaciones significativas $p(F) < .01$. Prueba Cognitiva, Nivel Básico



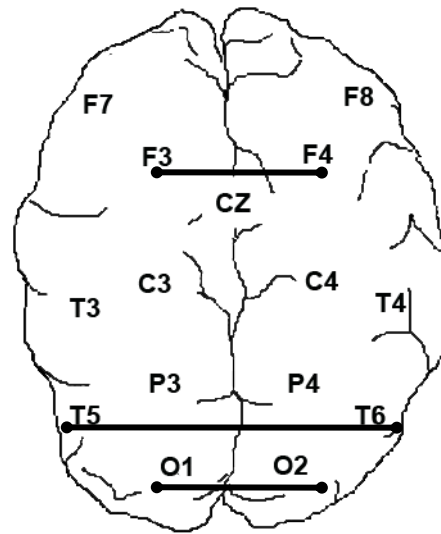
Topograma 154. Habilidad de Jerarquización Cognitiva, banda Theta 2, Correlación Interhemisférica. Derivaciones significativas $p(F) < .01$. Prueba Cognitiva, Nivel Básico



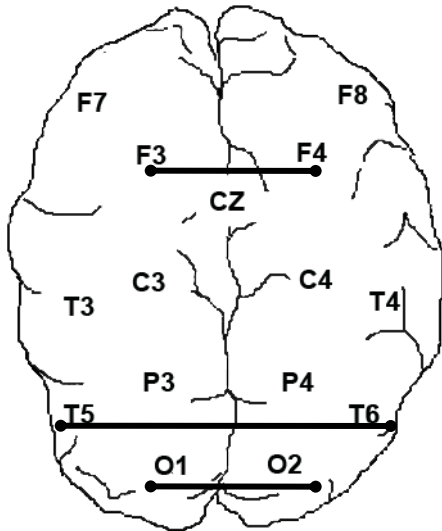
Topograma 155. Habilidad de Jerarquización Cognitiva, banda Alfa 1, Correlación Interhemisférica. Derivaciones significativas $p(F) < .01$. Prueba Cognitiva, Nivel Básico



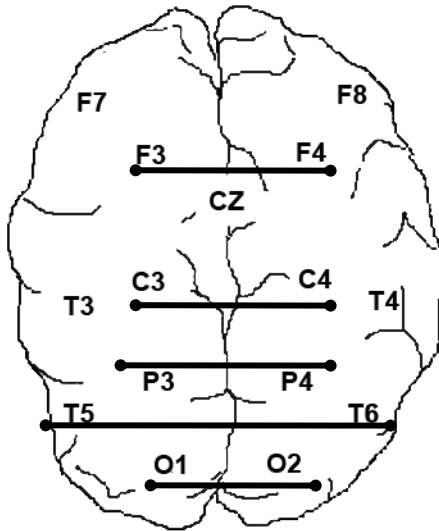
Topograma 156. Habilidad de Jerarquización Cognitiva, banda Alfa 2, Correlación Interhemisférica. Derivaciones significativas $p(F) < .01$. Prueba Cognitiva, Nivel Básico.



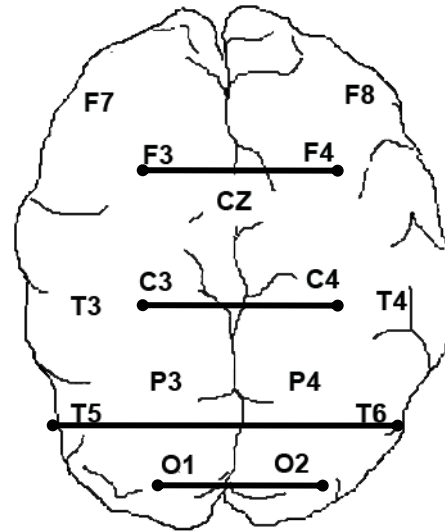
Topograma 157. Habilidad de Jerarquización Cognitiva, banda Beta 1, Correlación Interhemisférica. Derivaciones significativas $p(F) < .01$. Prueba Cognitiva, Nivel Básico.



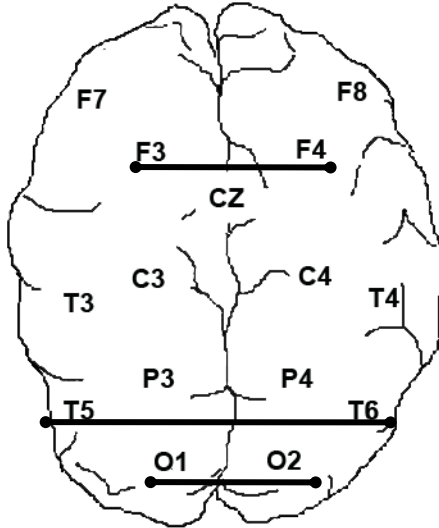
Topograma 158. Habilidad de Jerarquización Cognitiva, banda Total, Correlación Interhemisférica. Derivaciones significativas $p(F) < .01$. Prueba Cognitiva, Nivel Básico



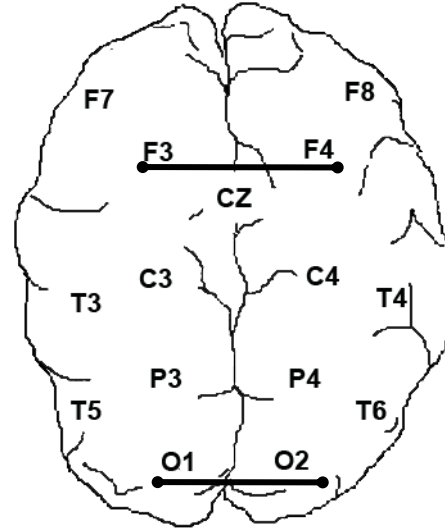
Topograma 159. Habilidad de Asociación Cognitiva, banda Delta, Correlación Interhemisférica. Derivaciones significativas $p(F) < .01$. Prueba Cognitiva, Nivel Básico.



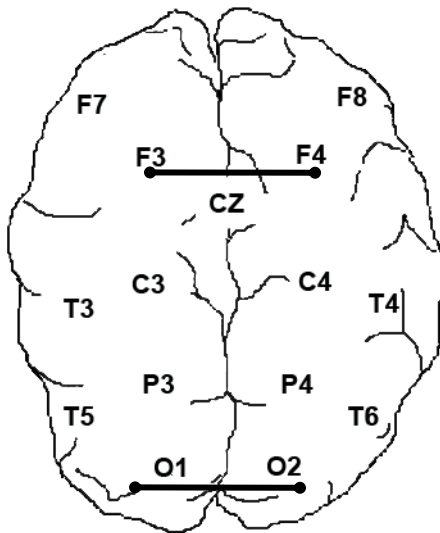
Topograma 160. Habilidad de Asociación Cognitiva, banda Theta 1, Correlación Interhemisférica. Derivaciones significativas $p(F) < .01$. Prueba Cognitiva, Nivel Básico.



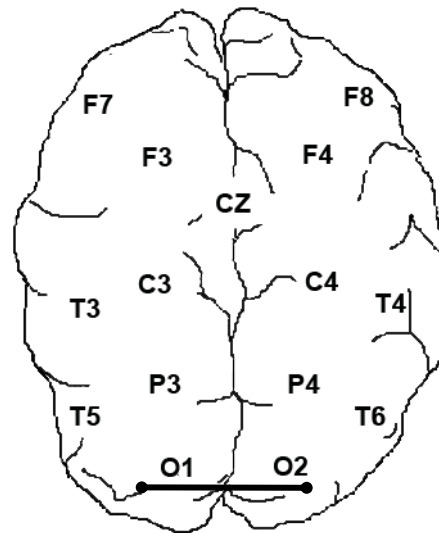
Topograma 161. Habilidad de Asociación Cognitiva, banda Theta 2, Correlación Interhemisférica. Derivaciones significativas $p(F) < .01$. Prueba Cognitiva, Nivel Básico.



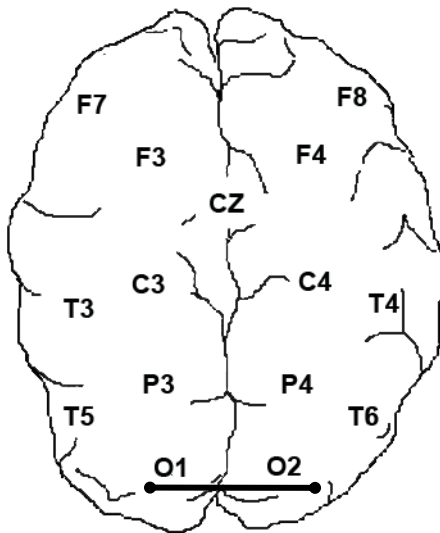
Topograma 162. Habilidad de Asociación Cognitiva, banda Alfa 1, Correlación Interhemisférica. Derivaciones significativas $p(F) < .01$. Prueba Cognitiva, Nivel Básico.



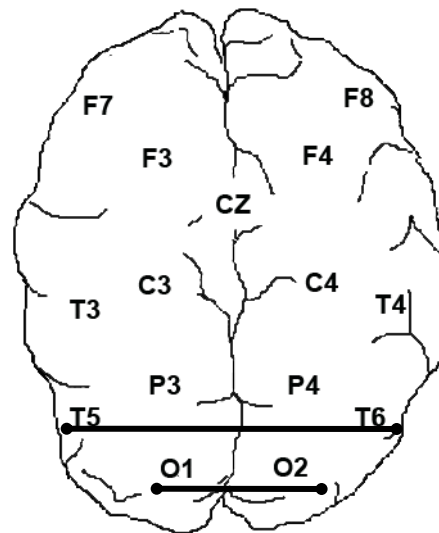
Topograma 163. Habilidad de Asociación Cognitiva, banda Alfa 2, Correlación Interhemisférica. Derivaciones significativas $p(F) < .01$. Prueba Cognitiva, Nivel Básico.



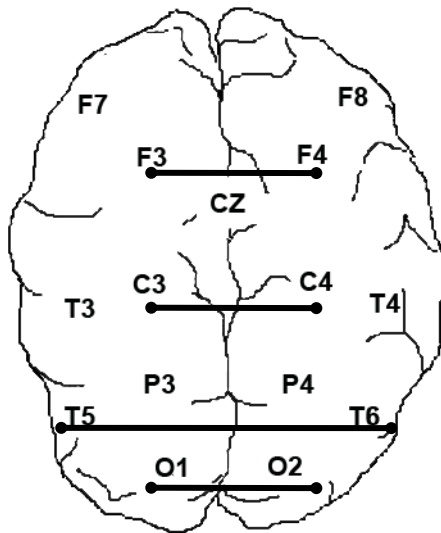
Topograma 164. Habilidad de Asociación Cognitiva, banda Beta 1, Correlación Interhemisférica. Derivaciones significativas $p(F) < .01$. Prueba Cognitiva, Nivel Básico.



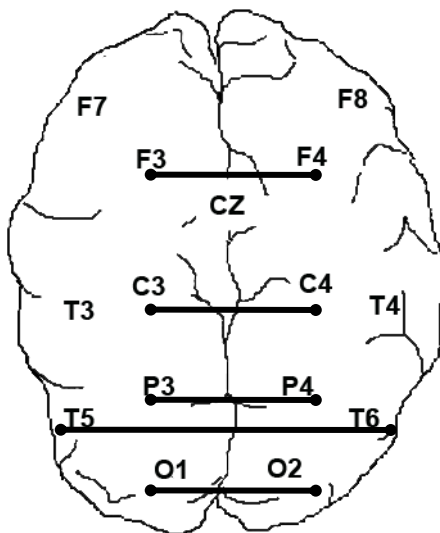
Topograma 165. Habilidad de Asociación Cognitiva, banda Beta 2, Correlación Interhemisférica. Derivaciones significativas $p(F) < .01$. Prueba Cognitiva, Nivel Básico.



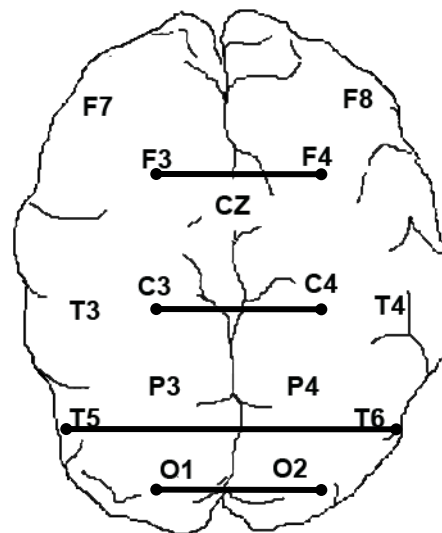
Topograma 166. Habilidad de Asociación Cognitiva, banda Gamma, Correlación Interhemisférica. Derivaciones significativas $p(F) < .01$. Prueba Cognitiva, Nivel Básico.



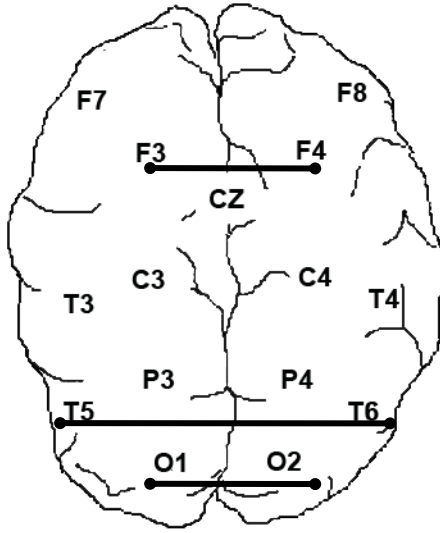
Topograma 167. Habilidad de Asociación Cognitiva, banda Total, Correlación Interhemisférica. Derivaciones significativas $p(F) < .01$. Prueba Cognitiva, Nivel Básico.



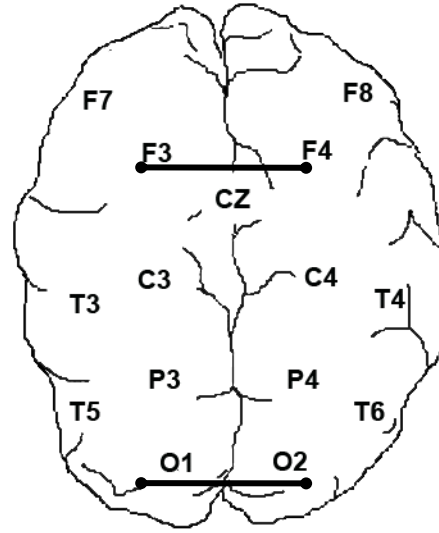
Topograma 168. Habilidad de Secuencia Cognitiva, banda Delta, Correlación Interhemisférica. Derivaciones significativas $p(F) < .01$. Prueba Cognitiva, Nivel Básico



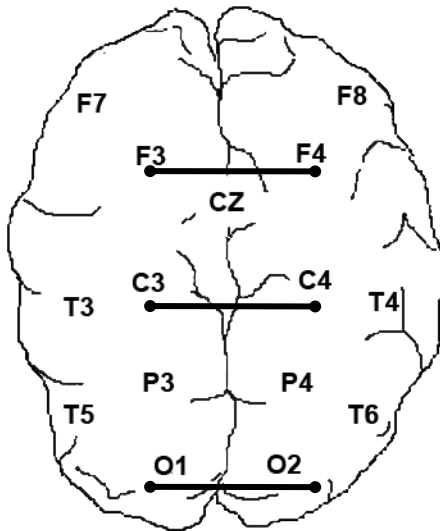
Topograma 169. Habilidad de Secuencia Cognitiva, banda Theta 1, Correlación Interhemisférica. Derivaciones significativas $p(F) < .01$. Prueba Cognitiva, Nivel Básico



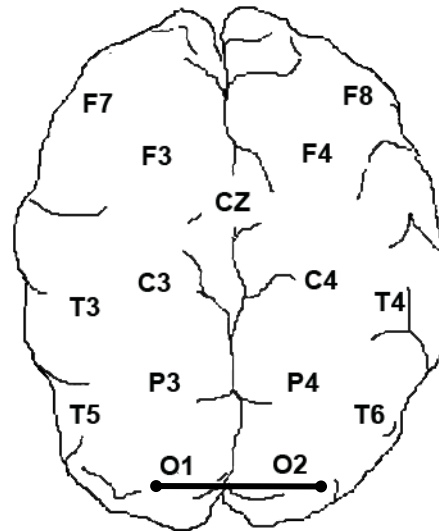
Topograma 170. Habilidad de Secuencia Cognitiva, banda Theta 2, Correlación Interhemisférica. Derivaciones significativas $p(F) < .01$. Prueba Cognitiva, Nivel Básico.



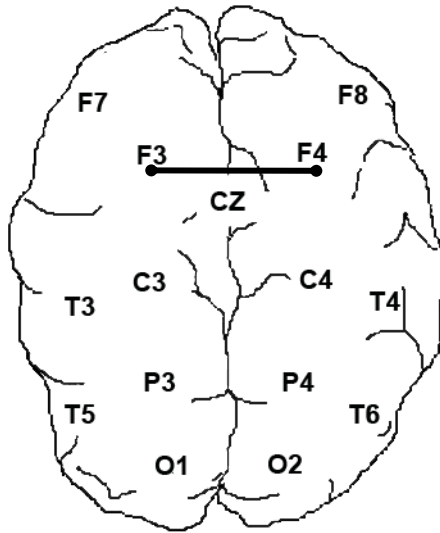
Topograma 171. Habilidad de Secuencia Cognitiva, banda Alfa 1, Correlación Interhemisférica. Derivaciones significativas $p(F) < .01$. Prueba Cognitiva, Nivel Básico.



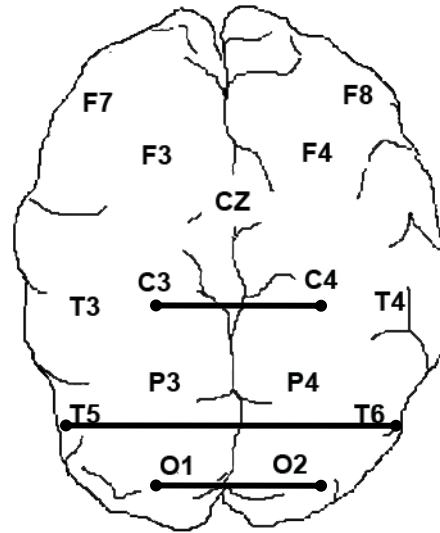
Topograma 172. Habilidad de Secuencia Cognitiva, banda Alfa 2, Correlación Interhemisférica. Derivaciones significativas $p(F) < .01$. Prueba Cognitiva, Nivel Básico



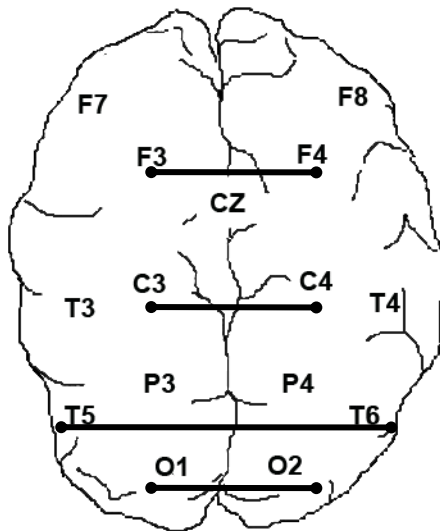
Topograma 173. Habilidad de Secuencia Cognitiva, banda Beta 1, Correlación Interhemisférica. Derivaciones significativas $p(F) < .01$. Prueba Cognitiva, Nivel Básico



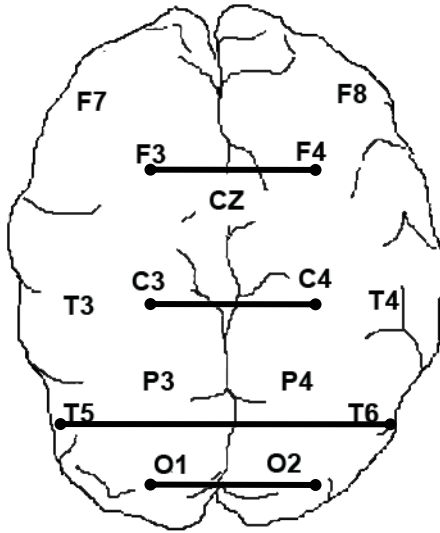
Topograma 174. Habilidad de Secuencia Cognitiva, banda Beta 2, Correlación Interhemisférica. Derivaciones significativas $p(F) < .01$. Prueba Cognitiva, Nivel Básico.



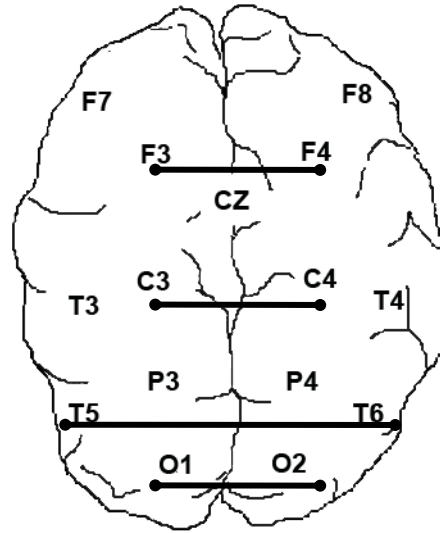
Topograma 175. Habilidad de Secuencia Cognitiva, banda Gamma, Correlación Interhemisférica. Derivaciones significativas $p(F) < .01$. Prueba Cognitiva, Nivel Básico.



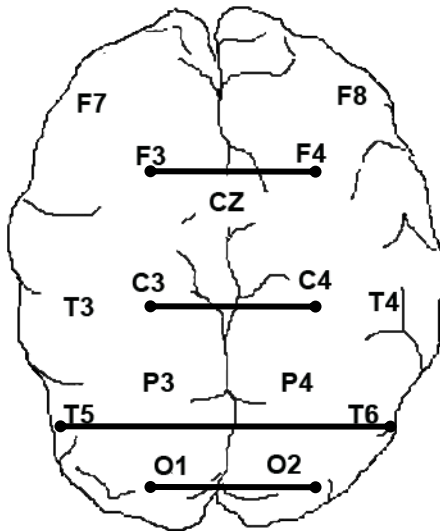
Topograma 176. Habilidad de Secuencia Cognitiva, banda Total, Correlación Interhemisférica. Derivaciones significativas $p(F) < .01$. Prueba Cognitiva, Nivel Básico.



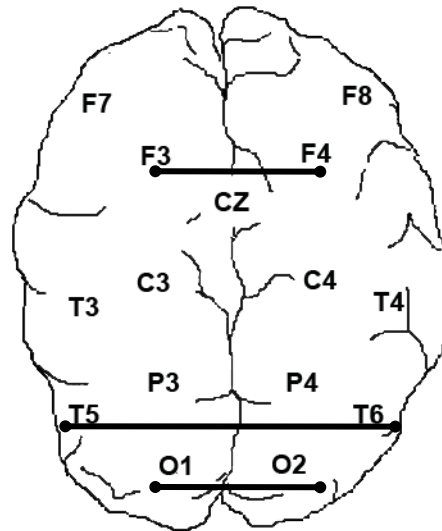
Topograma 177. Habilidad de Vocabulario, banda Delta, Correlación Interhemisférica. Derivaciones significativas $p(F) < .01$. Prueba Cognitiva, Nivel Básico.



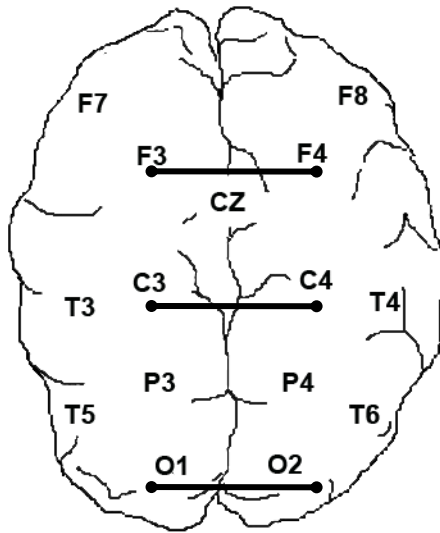
Topograma 178. Habilidad de Vocabulario, banda Theta 1, Correlación Interhemisférica. Derivaciones significativas $p(F) < .01$. Prueba Cognitiva, Nivel Básico.



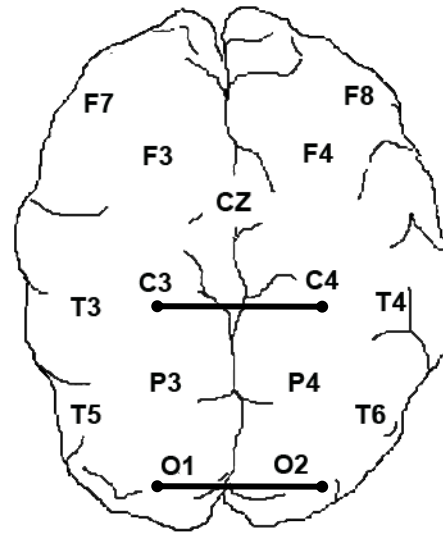
Topograma 179. Habilidad de Vocabulario, banda Theta 2, Correlación Interhemisférica. Derivaciones significativas $p(F) < .01$. Prueba Cognitiva, Nivel Básico.



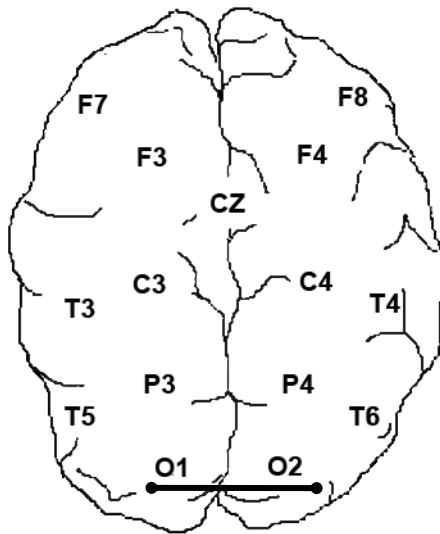
Topograma 180. Habilidad de Vocabulario, banda Alfa 1, Correlación Interhemisférica. Derivaciones significativas $p(F) < .01$. Prueba Cognitiva, Nivel Básico.



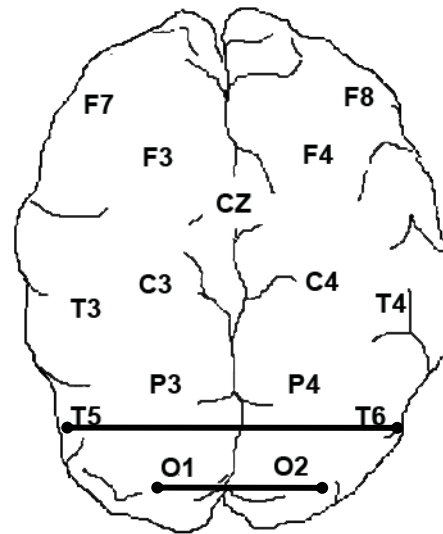
Topograma 181. Habilidad de Vocabulario, banda Alfa 2, Correlación Interhemisférica. Derivaciones significativas $p(F) < .01$. Prueba Cognitiva, Nivel Básico.



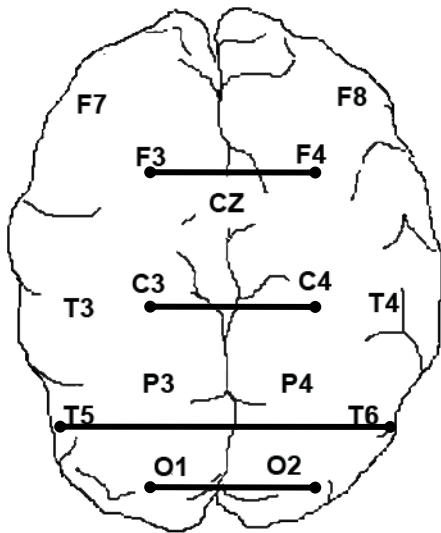
Topograma 182. Habilidad de Vocabulario, banda Beta 1, Correlación Interhemisférica. Derivaciones significativas $p(F) < .01$. Prueba Cognitiva, Nivel Básico.



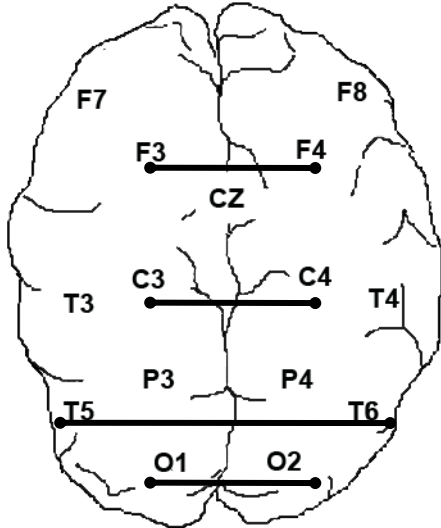
Topograma 183. Habilidad de Vocabulario, banda Beta 2, Correlación Interhemisférica. Derivaciones significativas $p(F) < .01$. Prueba Cognitiva, Nivel Básico.



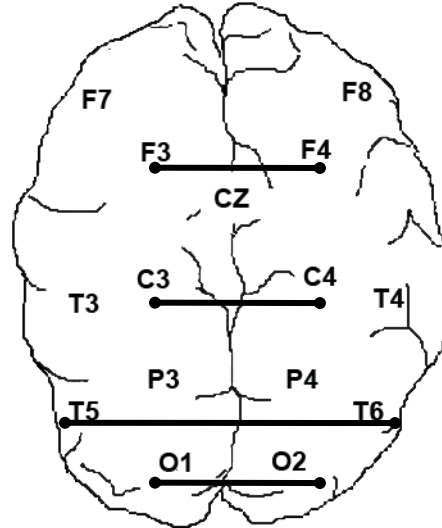
Topograma 184. Habilidad de Vocabulario, banda Gamma, Correlación Interhemisférica. Derivaciones significativas $p(F) < .01$. Prueba Cognitiva, Nivel Básico.



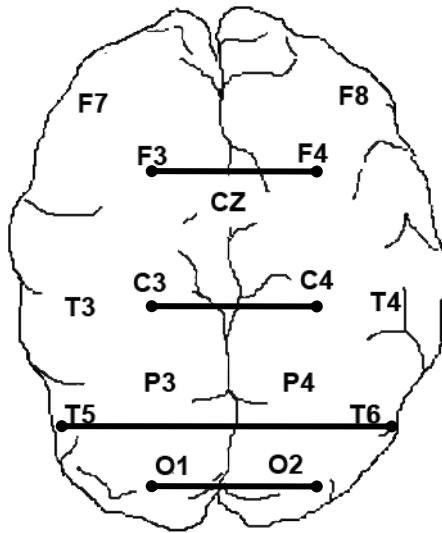
Topograma 185. Habilidad de Vocabulario, banda Total. Correlación Interhemisférica. Derivaciones significativas $p(F) < .01$. Prueba Cognitiva, Nivel Básico.



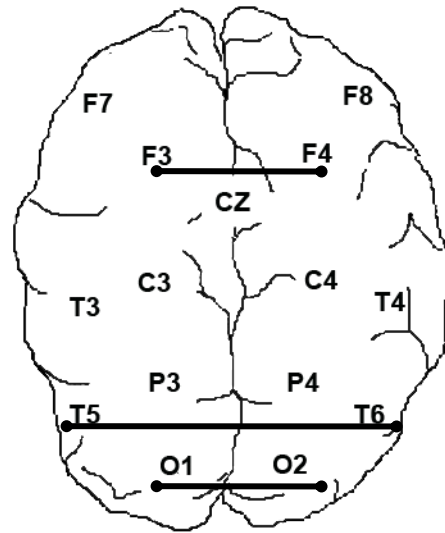
Topograma 186. Habilidad de Conceptualización Cognitiva, banda Delta. Correlación Interhemisférica. Derivaciones significativas $p(F) < .01$. Prueba Cognitiva, Nivel Básico.



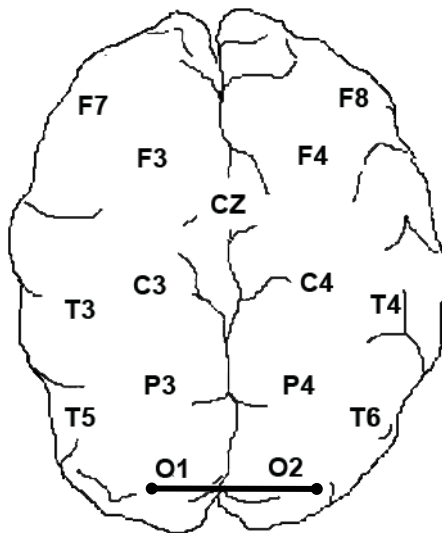
Topograma 187. Habilidad de Conceptualización Cognitiva, banda Theta 1. Correlación Interhemisférica. Derivaciones significativas $p(F) < .01$. Prueba Cognitiva, Nivel Básico.



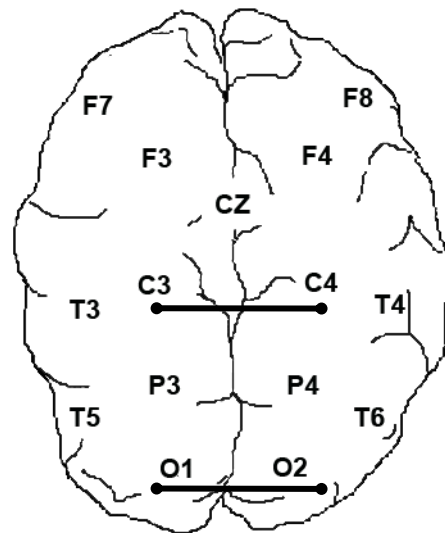
Topograma 188. Habilidad de Conceptualización Cognitiva, banda Theta 2. Correlación Interhemisférica. Derivaciones significativas $p(F) < .01$. Prueba Cognitiva, Nivel Básico.



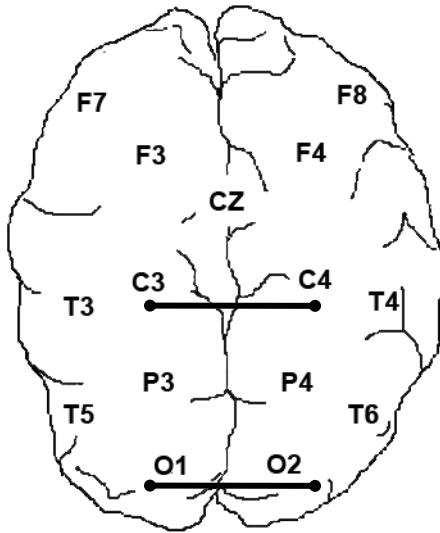
Topograma 189. Habilidad de Conceptualización Cognitiva, banda Alfa 1. Correlación Interhemisférica. Derivaciones significativas $p(F) < .01$. Prueba Cognitiva, Nivel Básico.



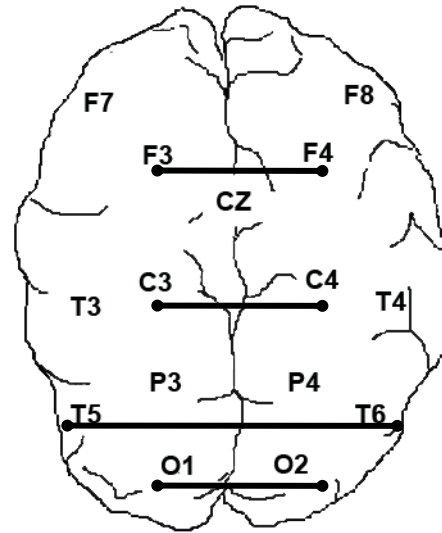
Topograma 190. Habilidad de Conceptualización Cognitiva, banda Alfa 2. Correlación Interhemisférica. Derivaciones significativas $p(F) < .01$. Prueba Cognitiva, Nivel Básico.



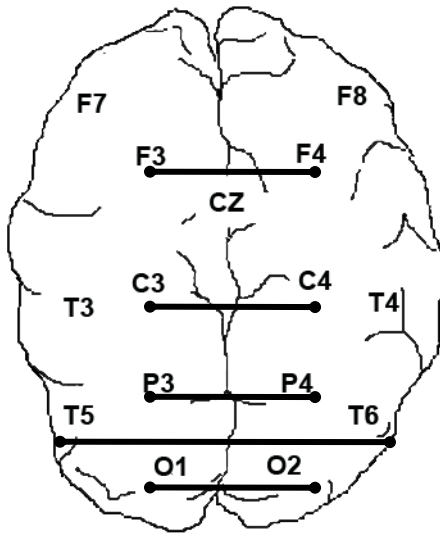
Topograma 191. Habilidad de Conceptualización Cognitiva, banda Beta 1. Correlación Interhemisférica. Derivaciones significativas $p(F) < .01$. Prueba Cognitiva, Nivel Básico.



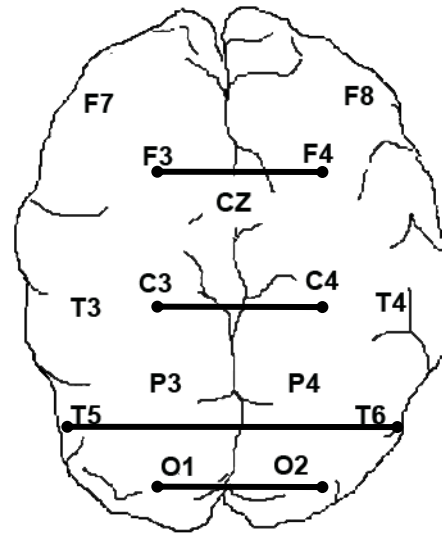
Topograma 192. Habilidad de Conceptualización Cognitiva, banda Beta 2. Correlación Interhemisférica. Derivaciones significativas $p(F) < .01$. Prueba Cognitiva, Nivel Básico.



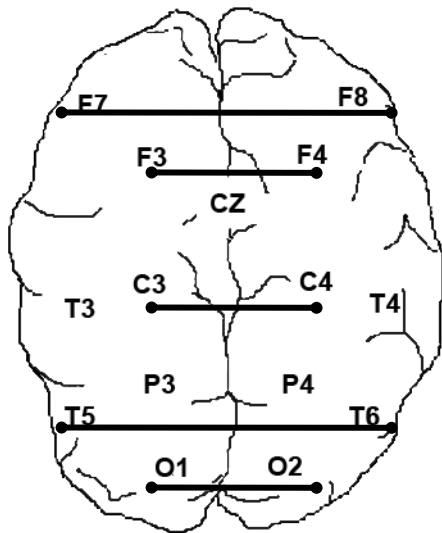
Topograma 193. Habilidad de Conceptualización Cognitiva, banda Total. Correlación Interhemisférica. Derivaciones significativas $p(F) < .01$. Prueba Cognitiva, Nivel Básico.



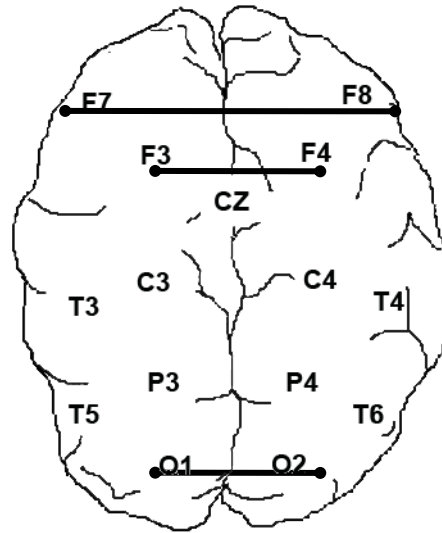
Topograma 194. Habilidad de Seguimiento de Instrucciones, banda Delta. Correlación Interhemisférica. Derivaciones significativas $p(F) < .01$. Prueba Cognitiva, Nivel Básico.



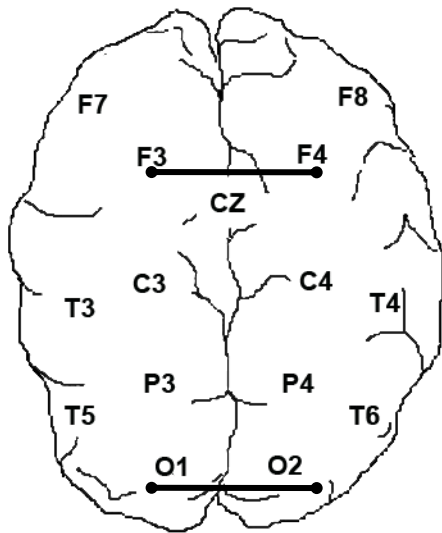
Topograma 195. Habilidad de Seguimiento de Instrucciones, banda Theta 1. Correlación Interhemisférica. Derivaciones significativas $p(F) < .01$. Prueba Cognitiva, Nivel Básico.



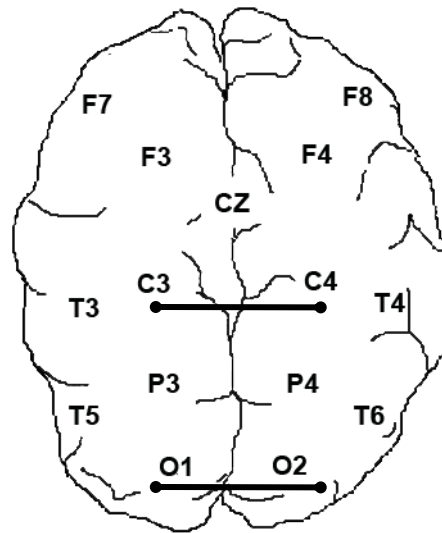
Topograma 196. Habilidad de Seguimiento de Instrucciones, banda Theta 2, Correlación Interhemisférica. Derivaciones significativas $p(F) < .01$. Prueba Cognitiva, Nivel Básico.



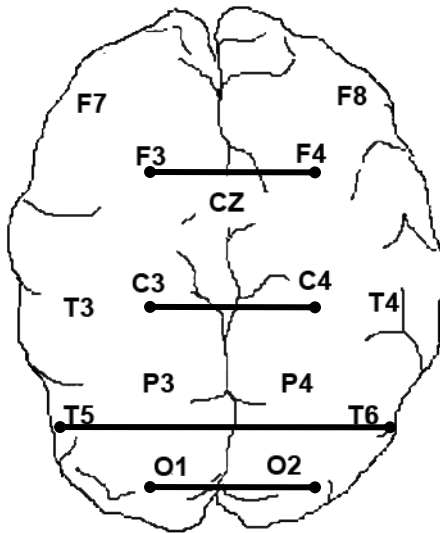
Topograma 197. Habilidad de Seguimiento de Instrucciones, banda Alfa 2, Correlación Interhemisférica. Derivaciones significativas $p(F) < .01$. Prueba Cognitiva, Nivel Básico.



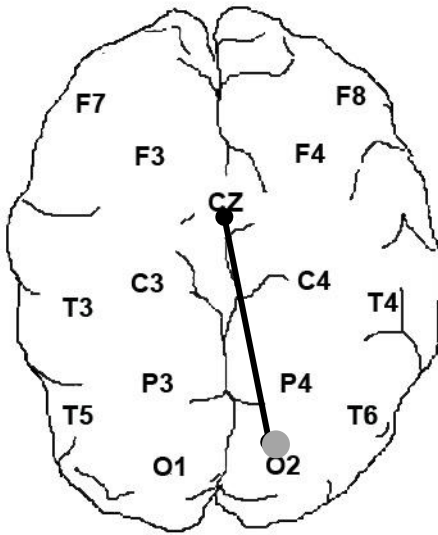
Topograma 198. Habilidad de Seguimiento de Instrucciones, banda Beta 1, Correlación Interhemisférica. Derivaciones significativas $p(F) < .01$. Prueba Cognitiva, Nivel Básico.



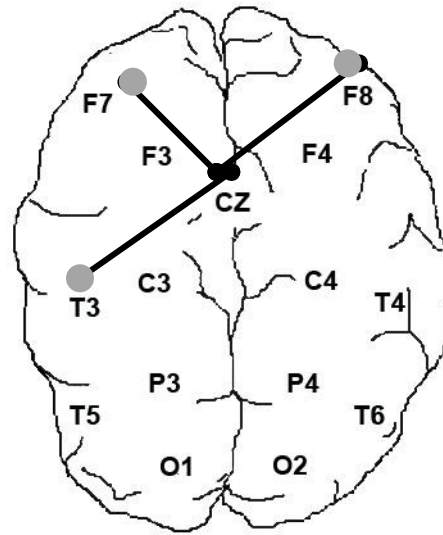
Topograma 199. Habilidad de Seguimiento de Instrucciones, banda Beta 2, Correlación Interhemisférica. Derivaciones significativas $p(F) < .01$. Prueba Cognitiva, Nivel Básico.



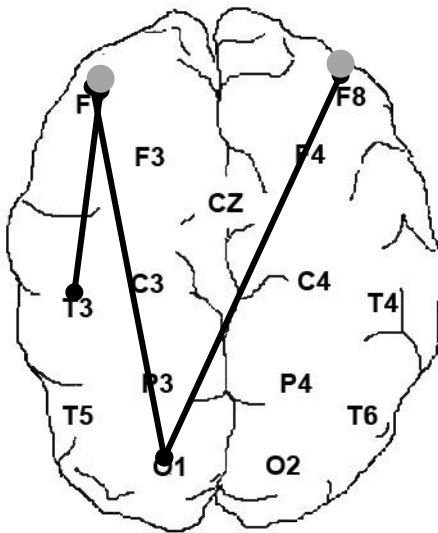
Topograma 200. Habilidad de Seguimiento de Instrucciones, banda Total, Correlación Interhemisférica. Derivaciones significativas $p(F) < .01$. Prueba Cognitiva, Nivel Básico.



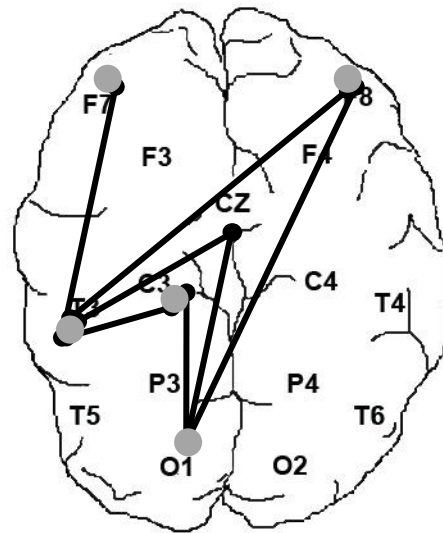
Topograma 201. Habilidad de Discriminación, banda Theta 2, Potencia Absoluta. Derivaciones significativas $p(F) < .01$. Prueba Perceptual, Nivel Global. El punto gris indica la derivación que marca la diferencia.



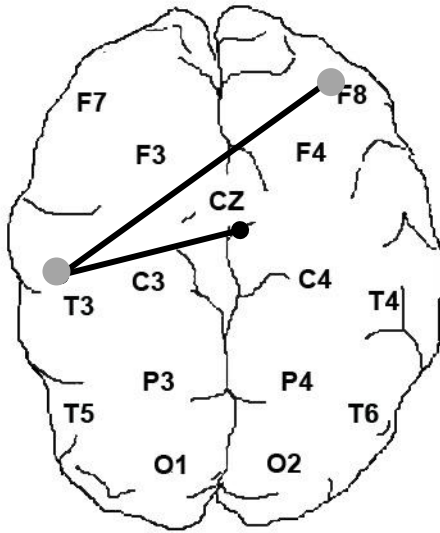
Topograma 202. Habilidad de Discriminación, banda Alfa 1, Potencia Absoluta. Derivaciones significativas $p(F) < .01$. Prueba Perceptual, Nivel Global. El punto gris indica la derivación que marca la diferencia.



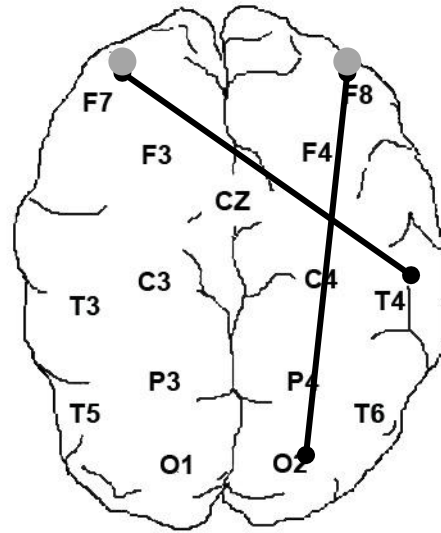
Topograma 203. Habilidad de Discriminación, banda Beta 2, Potencia Absoluta. Derivaciones significativas $p(F) < .01$. Prueba Perceptual, Nivel Global. El punto gris indica la derivación que marca la diferencia.



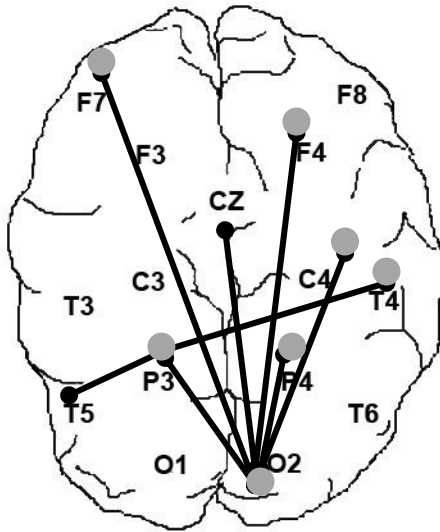
Topograma 204. Habilidad de Discriminación, banda Gamma, Potencia Absoluta. Derivaciones significativas $p(F) < .01$. Prueba Perceptual, Nivel Global. El punto gris indica la derivación que marca la diferencia.



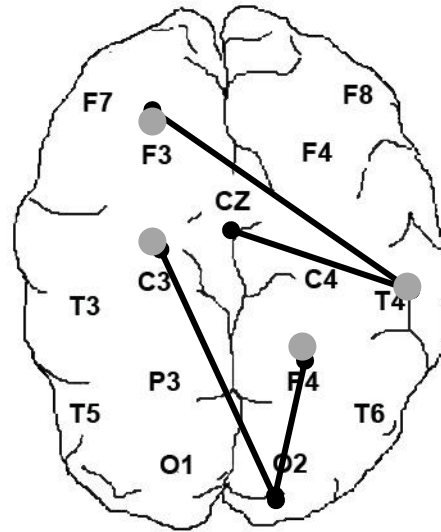
Topograma 205. Habilidad de Memoria Perceptual, banda Gamma, Potencia Absoluta. Derivaciones significativas $p(F) < .01$. Prueba Perceptual, Nivel Global. El punto gris indica la derivación que marca la diferencia.



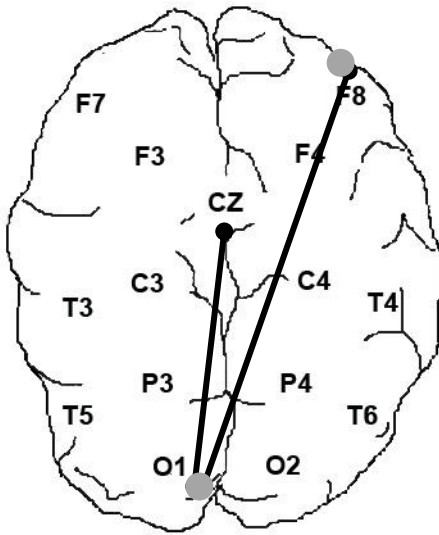
Topograma 206. Habilidad de Reconocimiento de la Tercera Dimensión, banda Delta, Potencia Absoluta. Derivaciones significativas $p(F) < .01$. Prueba Perceptual, Nivel Global. El punto gris indica la derivación que marca la diferencia.



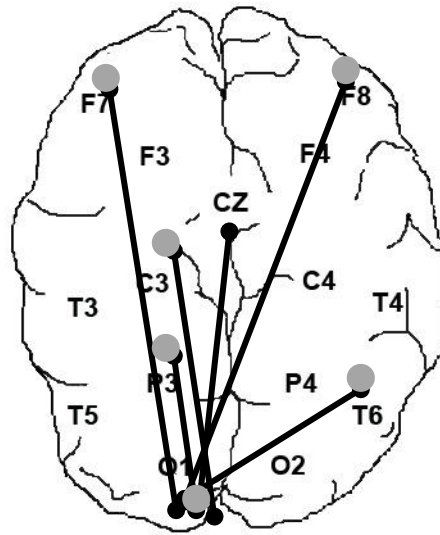
Topograma 207. Habilidad de Conservación Espacial, banda Delta, Potencia Absoluta. Derivaciones significativas $p(F) < .01$. Prueba Perceptual, Nivel Global. El punto gris indica la derivación que marca la diferencia.



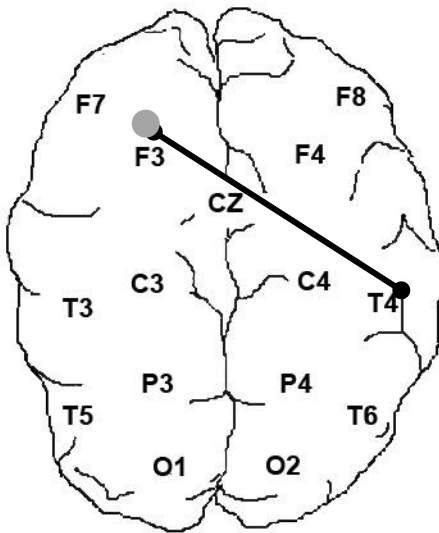
Topograma 208. Habilidad de Conservación Espacial, banda Theta 1, Potencia Absoluta. Derivaciones significativas $p(F) < .01$. Prueba Perceptual, Nivel Global. El punto gris indica la derivación que marca la diferencia.



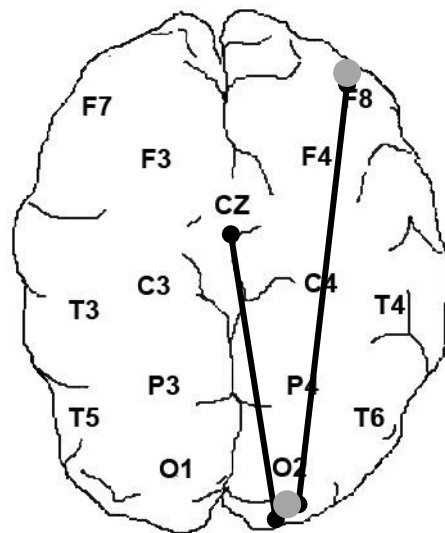
Topograma 209. Habilidad de Conservación Espacial, banda Gamma, Potencia Absoluta. Derivaciones significativas $p(F) < .01$. Prueba Perceptual, Nivel Global. El punto gris indica la derivación que marca la diferencia.



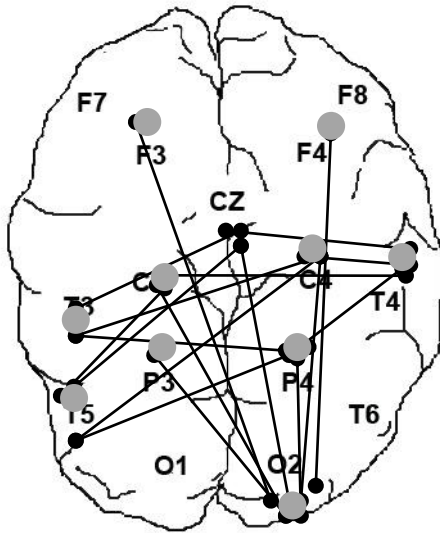
Topograma 210. Habilidad de Figura Fondo, banda Gamma, Potencia Absoluta. Derivaciones significativas $p(F) < .01$. Prueba Perceptual, Nivel Global. El punto gris indica la derivación que marca la diferencia.



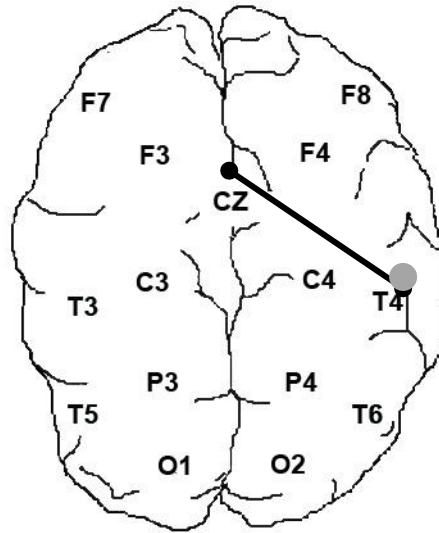
Topograma 211. Habilidad de Analogía de Imágenes, banda Delta, Potencia Absoluta. Derivaciones significativas $p(F) < .01$. Prueba Perceptual, Nivel Global. El punto gris indica la derivación que marca la diferencia.



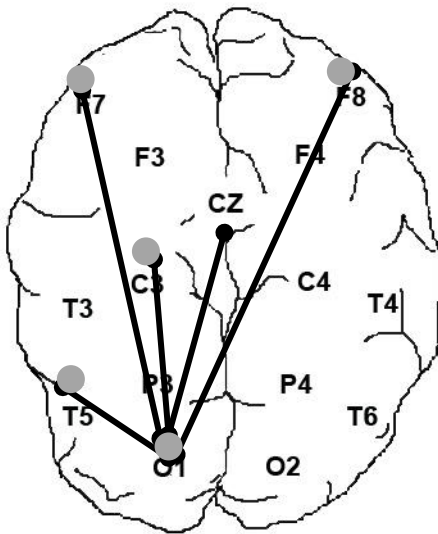
Topograma 212. Habilidad de Analogía de Imágenes, banda Gamma, Potencia Absoluta. Derivaciones significativas $p(F) < .01$. Prueba Perceptual, Nivel Global. El punto gris indica la derivación que marca la diferencia.



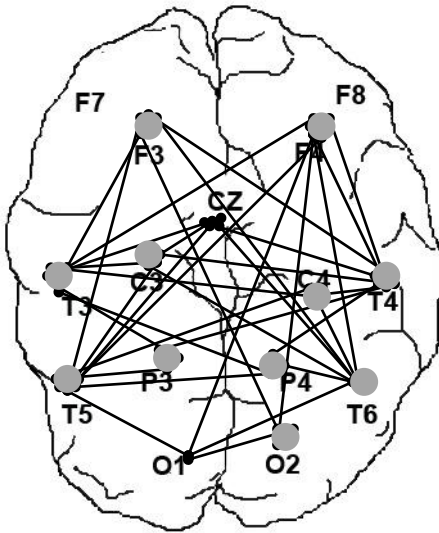
Topograma 213. Habilidad de Abstracción Visual, banda Delta, Potencia Absoluta. Derivaciones significativas $p(F) < .01$. Prueba Perceptual, Nivel Global. El punto gris indica la derivación que marca la diferencia.



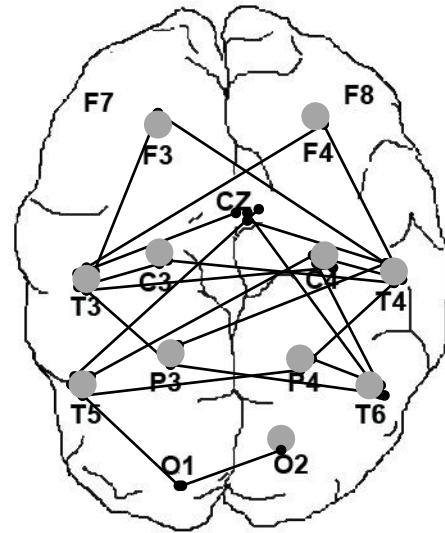
Topograma 214. Habilidad de Abstracción Visual, banda Theta 1, Potencia Absoluta. Derivaciones significativas $p(F) < .01$. Prueba Perceptual, Nivel Global. El punto gris indica la derivación que marca la diferencia.



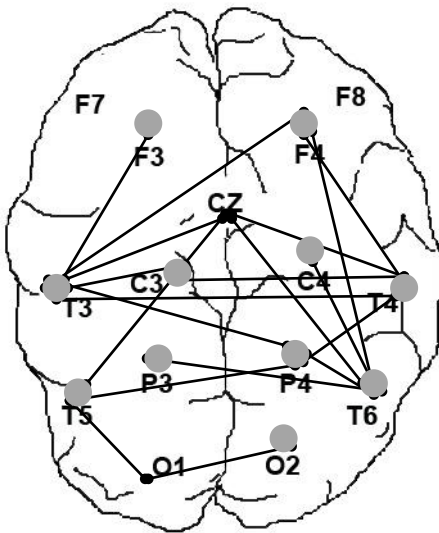
Topograma 215. Habilidad de Abstracción Visual, banda Gamma, Potencia Absoluta. Derivaciones significativas $p(F) < .01$. Prueba Perceptual, Nivel Global. El punto gris indica la derivación que marca la diferencia.



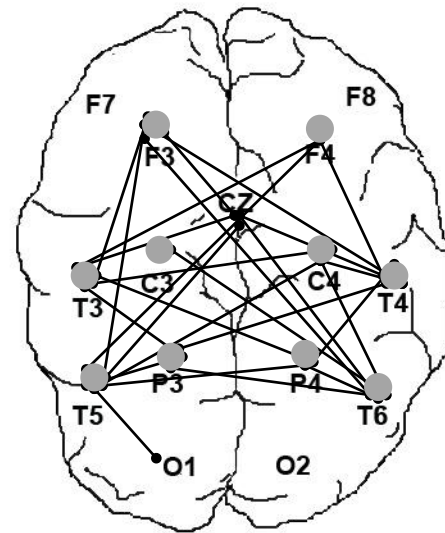
Topograma 216. Habilidad de Memoria, banda Delta, Potencia Absoluta. Derivaciones significativas $p(F) < .01$. Prueba Cognitiva, Nivel Global. El punto gris indica la derivación que marca la diferencia.



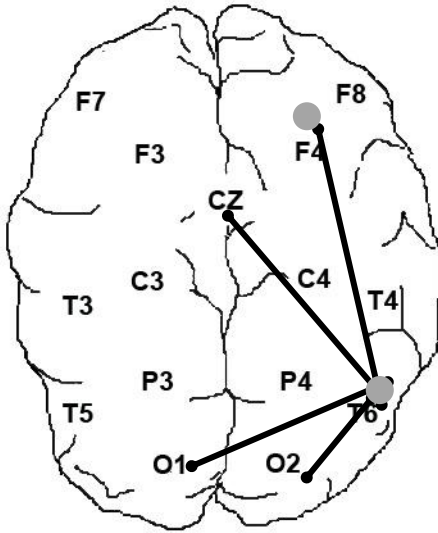
Topograma 217. Habilidad de Memoria, banda Theta 1, Potencia Absoluta. Derivaciones significativas $p(F) < .01$. Prueba Cognitiva, Nivel Global. El punto gris indica la derivación que marca la diferencia.



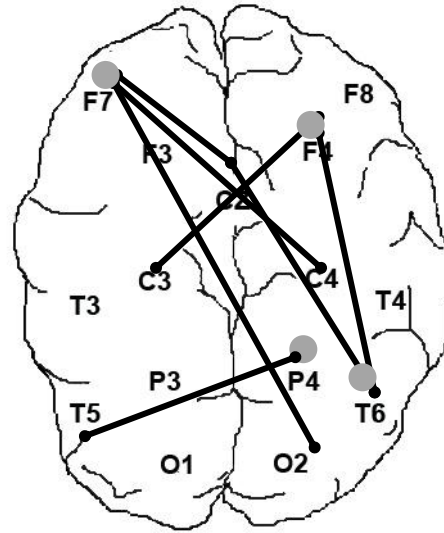
Topograma 218. Habilidad de Memoria, banda Theta 2, Potencia Absoluta. Derivaciones significativas $p(F) < .01$. Prueba Cognitiva, Nivel Global. El punto gris indica la derivación que marca la diferencia.



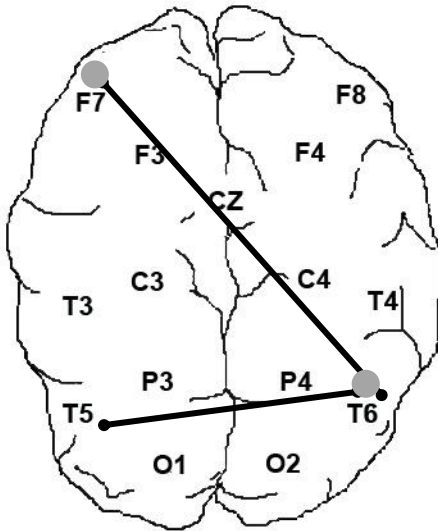
Topograma 219. Habilidad de Memoria, banda Alfa 1, Potencia Absoluta. Derivaciones significativas $p(F) < .01$. Prueba Cognitiva, Nivel Global. El punto gris indica la derivación que marca la diferencia.



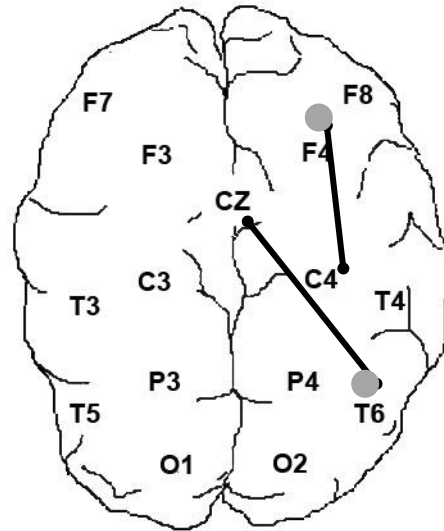
Topograma 220. Habilidad de Memoria, banda Alfa 2, Potencia Absoluta. Derivaciones significativas $p(F) < .01$. Prueba Cognitiva, Nivel Global. El punto gris indica la derivación que marca la diferencia.



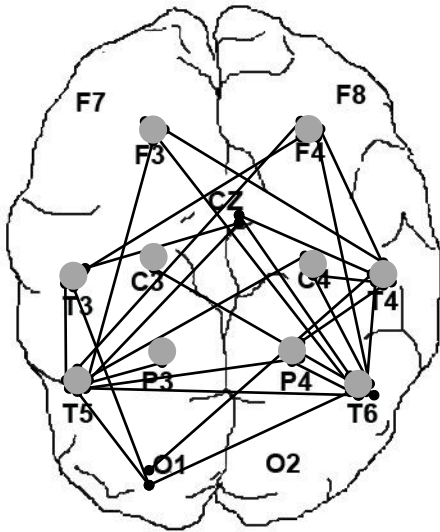
Topograma 221. Habilidad de Memoria, banda Beta 1, Potencia Absoluta. Derivaciones significativas $p(F) < .01$. Prueba Cognitiva, Nivel Global. El punto gris indica la derivación que marca la diferencia.



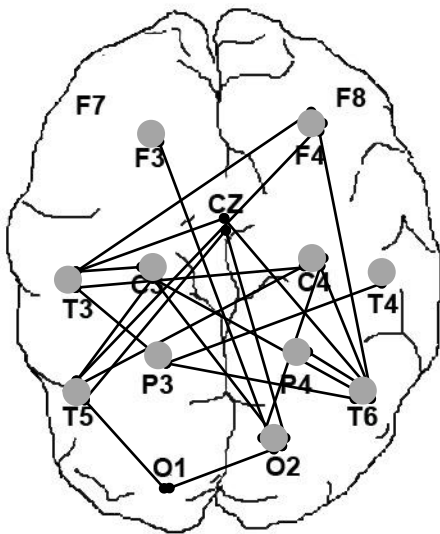
Topograma 222. Habilidad de Memoria, banda Beta 2, Potencia Absoluta. Derivaciones significativas $p(F) < .01$. Prueba Cognitiva, Nivel Global. El punto gris indica la derivación que marca la diferencia.



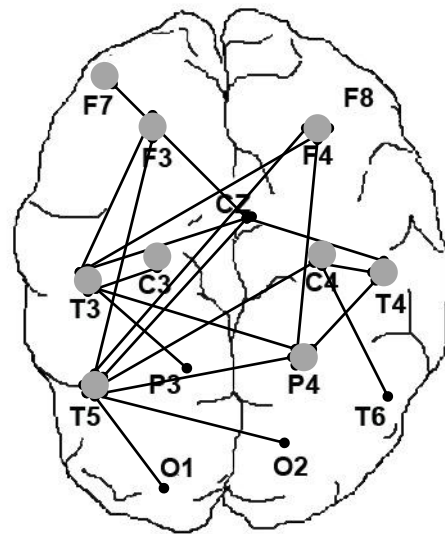
Topograma 223. Habilidad de Memoria, banda Gamma, Potencia Absoluta. Derivaciones significativas $p(F) < .01$. Prueba Cognitiva, Nivel Global. El punto gris indica la derivación que marca la diferencia.



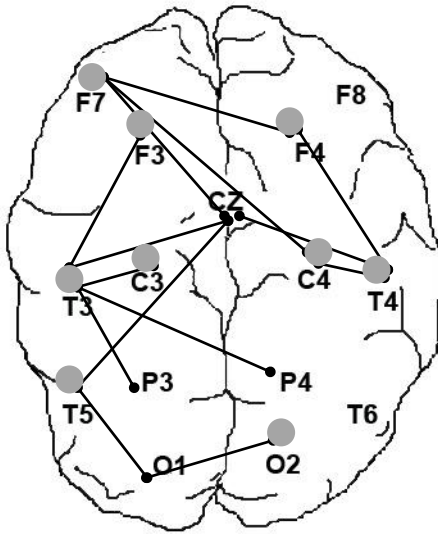
Topograma 224. Habilidad de Memoria, banda Total, Potencia Absoluta. Derivaciones significativas $p(F) < .01$. Prueba Cognitiva, Nivel Global. El punto gris indica la derivación que marca la diferencia.



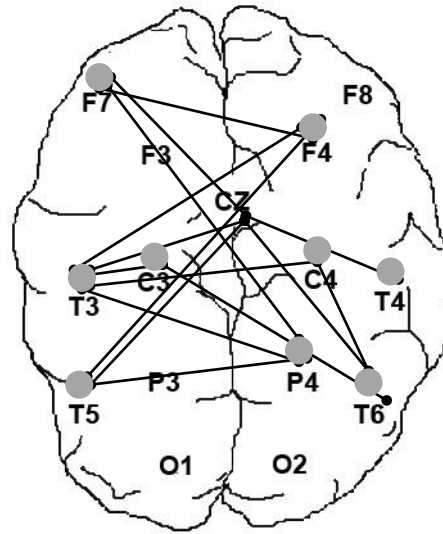
Topograma 225. Habilidad de Analogías, banda Delta, Potencia Absoluta. Derivaciones significativas $p(F) < .01$. Prueba Cognitiva, Nivel Global. El punto gris indica la derivación que marca la diferencia.



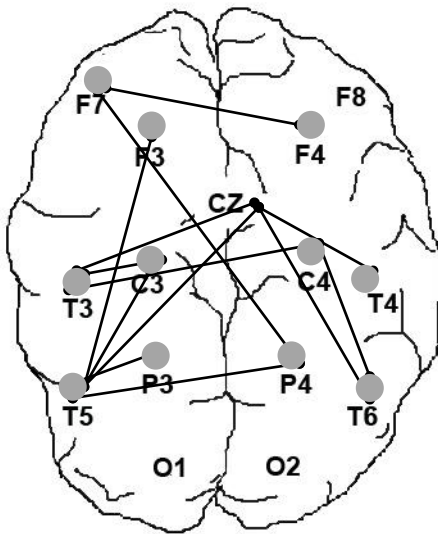
Topograma 226. Habilidad de Analogías, banda Theta 1, Potencia Absoluta. Derivaciones significativas $p(F) < .01$. Prueba Cognitiva, Nivel Global. El punto gris indica la derivación que marca la diferencia.



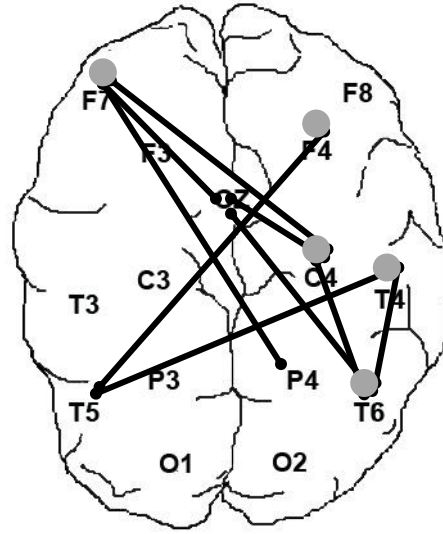
Topograma 227. Habilidad de Analogías, banda Theta 2, Potencia Absoluta. Derivaciones significativas $p(F) < .01$. Prueba Cognitiva, Nivel Global. El punto gris indica la derivación que marca la diferencia.



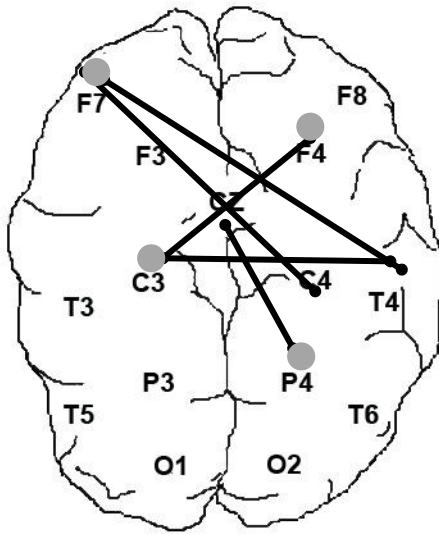
Topograma 228. Habilidad de Analogías, banda Alfa 1, Potencia Absoluta. Derivaciones significativas $p(F) < .01$. Prueba Cognitiva, Nivel Global. El punto gris indica la derivación que marca la diferencia.



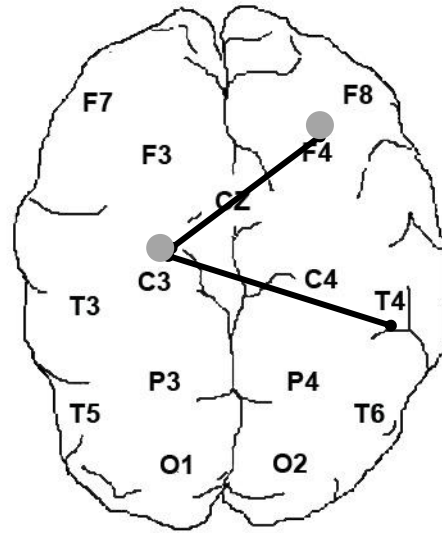
Topograma 229. Habilidad de Analogías, banda Alfa 2, Potencia Absoluta. Derivaciones significativas $p(F) < .01$. Prueba Cognitiva, Nivel Global. El punto gris indica la derivación que marca la diferencia.



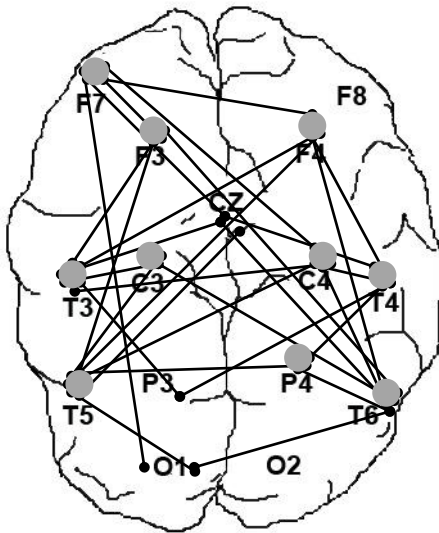
Topograma 230. Habilidad de Analogías, banda Beta 1, Potencia Absoluta. Derivaciones significativas $p(F) < .01$. Prueba Cognitiva, Nivel Global. El punto gris indica la derivación que marca la diferencia.



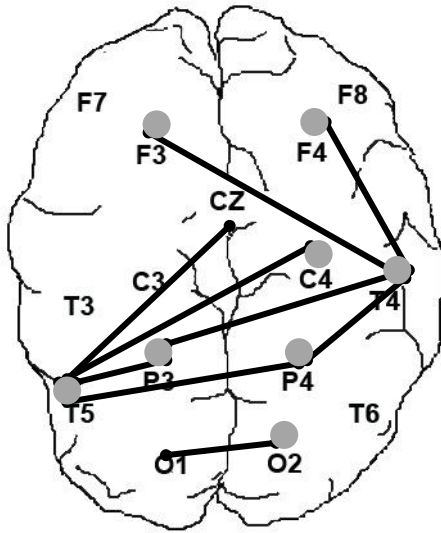
Topograma 231. Habilidad de Analogías, banda Beta 2, Potencia Absoluta. Derivaciones significativas $p(F) < .01$. Prueba Cognitiva, Nivel Global. El punto gris indica la derivación que marca la diferencia.



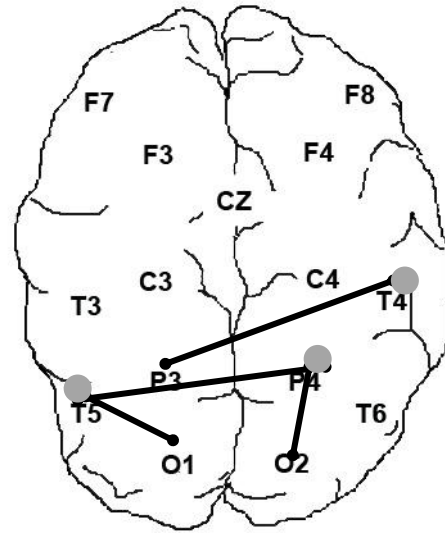
Topograma 232. Habilidad de Analogías, banda Gamma, Potencia Absoluta. Derivaciones significativas $p(F) < .01$. Prueba Cognitiva, Nivel Global. El punto gris indica la derivación que marca la diferencia.



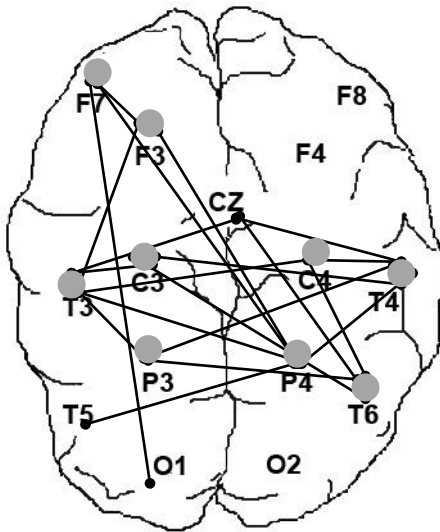
Topograma 233. Habilidad de Analogías, banda Total, Potencia Absoluta. Derivaciones significativas $p(F) < .01$. Prueba Cognitiva, Nivel Global. El punto gris indica la derivación que marca la diferencia.



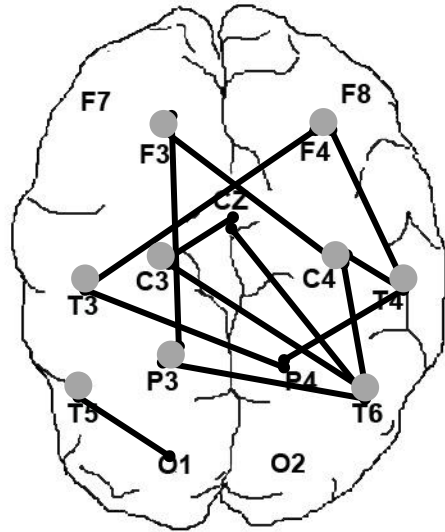
Topograma 234. Habilidad de Planeación, banda Delta, Potencia Absoluta. Derivaciones significativas $p(F) < .01$. Prueba Cognitiva, Nivel Global. El punto gris indica la derivación que marca la diferencia.



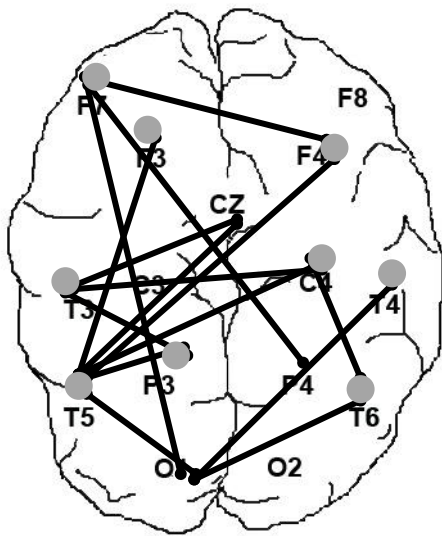
Topograma 235. Habilidad de Planeación, banda Theta 1, Potencia Absoluta. Derivaciones significativas $p(F) < .01$. Prueba Cognitiva, Nivel Global. El punto gris indica la derivación que marca la diferencia.



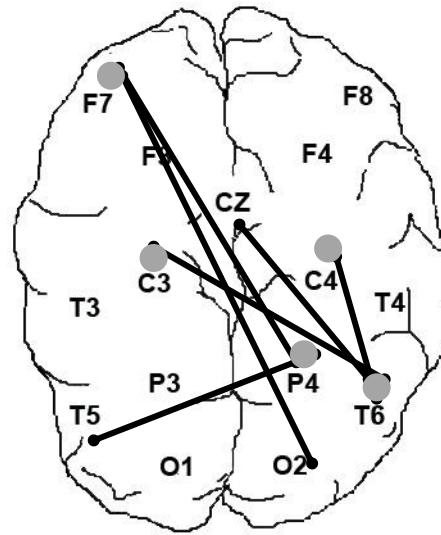
Topograma 236. Habilidad de Planeación, banda Theta 2, Potencia Absoluta. Derivaciones significativas $p(F) < .01$. Prueba Cognitiva, Nivel Global. El punto gris indica la derivación que marca la diferencia.



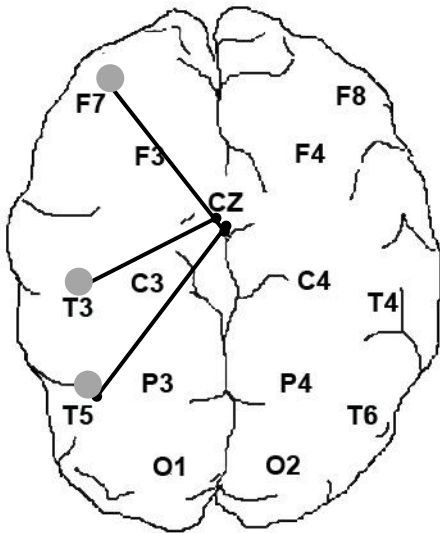
Topograma 237. Habilidad de Planeación, banda Alfa 1, Potencia Absoluta. Derivaciones significativas $p(F) < .01$. Prueba Cognitiva, Nivel Global. El punto gris indica la derivación que marca la diferencia.



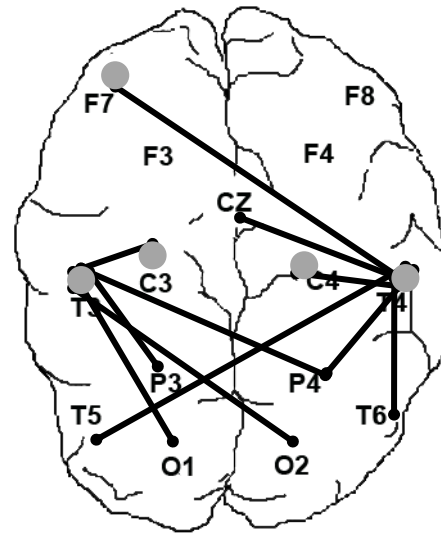
Topograma 238. Habilidad de Planeación, banda Alfa 2, Potencia Absoluta. Derivaciones significativas $p(F) < .01$. Prueba Cognitiva, Nivel Global. El punto gris indica la derivación que marca la diferencia.



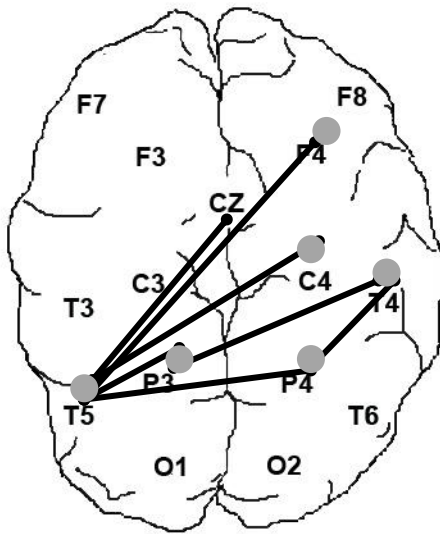
Topograma 239. Habilidad de Planeación, banda Beta 1, Potencia Absoluta. Derivaciones significativas $p(F) < .01$. Prueba Cognitiva, Nivel Global. El punto gris indica la derivación que marca la diferencia.



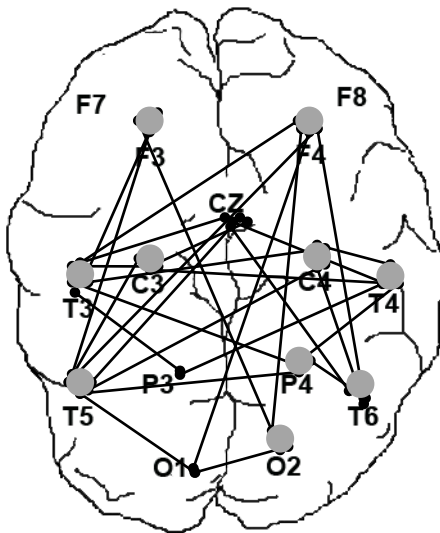
Topograma 240. Habilidad de Planeación, banda Beta 2, Potencia Absoluta. Derivaciones significativas $p(F) < .01$. Prueba Cognitiva, Nivel Global. El punto gris indica la derivación que marca la diferencia.



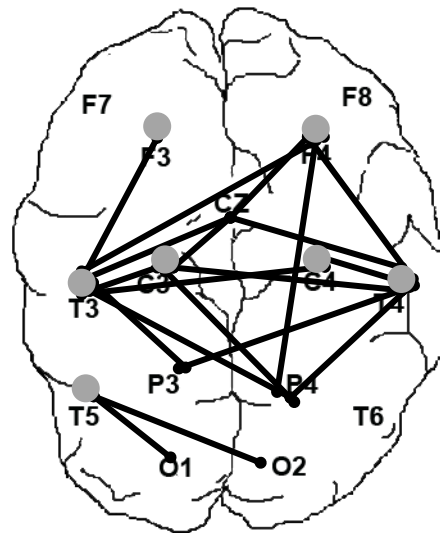
Topograma 241. Habilidad de Planeación, banda Gamma, Potencia Absoluta. Derivaciones significativas $p(F) < .01$. Prueba Cognitiva, Nivel Global. El punto gris indica la derivación que marca la diferencia.



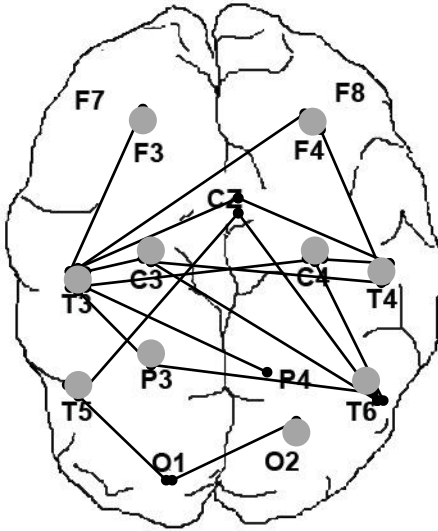
Topograma 242. Habilidad de Planeación, banda Total, Potencia Absoluta. Derivaciones significativas $p(F) < .01$. Prueba Cognitiva, Nivel Global. El punto gris indica la derivación que marca la diferencia.



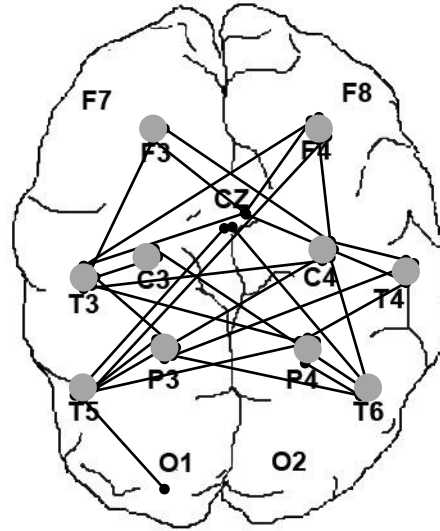
Topograma 243. Habilidad de Comprensión, banda Delta, Potencia Absoluta. Derivaciones significativas $p(F) < .01$. Prueba Cognitiva, Nivel Global. El punto gris indica la derivación que marca la diferencia.



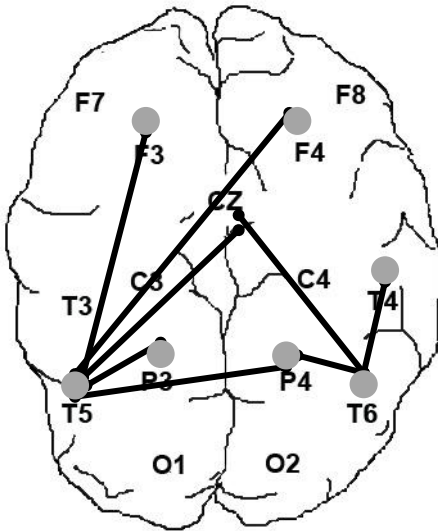
Topograma 244. Habilidad de Comprensión, banda Theta 1, Potencia Absoluta. Derivaciones significativas $p(F) < .01$. Prueba Cognitiva, Nivel Global. El punto gris indica la derivación que marca la diferencia.



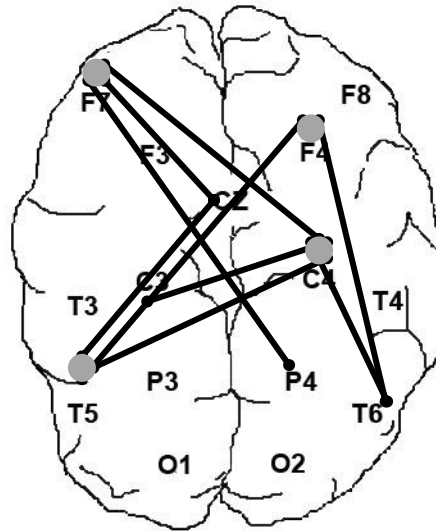
Topograma 245. Habilidad de Comprensión, banda Theta 2, Potencia Absoluta. Derivaciones significativas $p(F) < .01$. Prueba Cognitiva, Nivel Global. El punto gris indica la derivación que marca la diferencia.



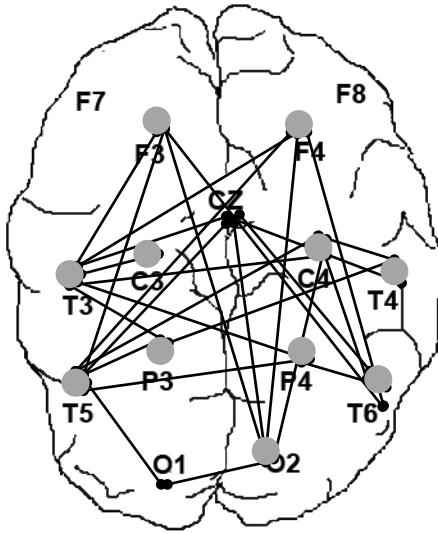
Topograma 246. Habilidad de Comprensión, banda Alfa 1, Potencia Absoluta. Derivaciones significativas $p(F) < .01$. Prueba Cognitiva, Nivel Global. El punto gris indica la derivación que marca la diferencia.



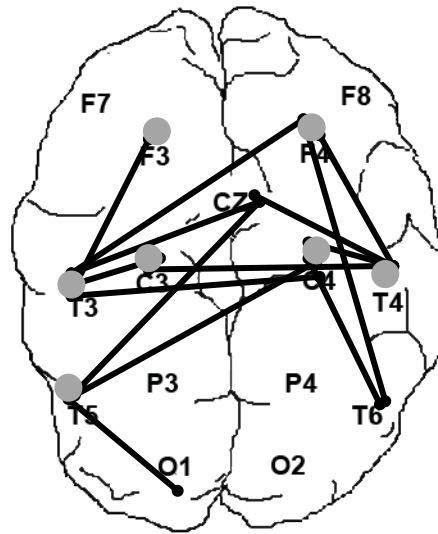
Topograma 247. Habilidad de Comprensión, banda Alfa 2, Potencia Absoluta. Derivaciones significativas $p(F) < .01$. Prueba Cognitiva, Nivel Global. El punto gris indica la derivación que marca la diferencia.



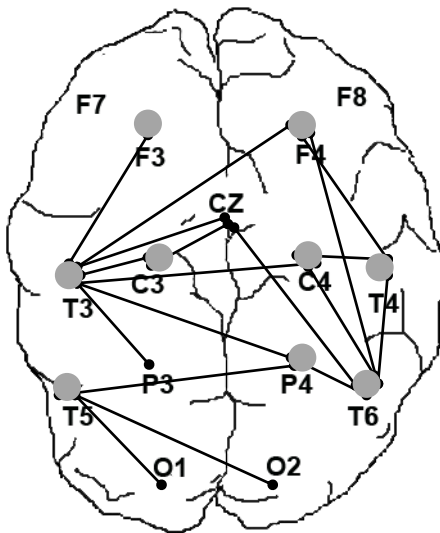
Topograma 248. Habilidad de Comprensión, banda Beta 1, Potencia Absoluta. Derivaciones significativas $p(F) < .01$. Prueba Cognitiva, Nivel Global. El punto gris indica la derivación que marca la diferencia.



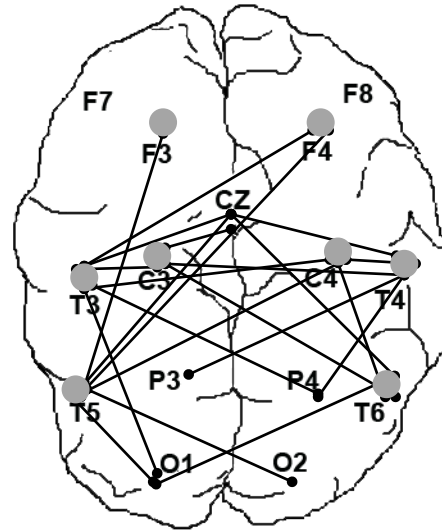
Topograma 252. Habilidad de Solución de Problemas, banda Delta, Potencia Absoluta. Derivaciones significativas $p(F) < .01$. Prueba Cognitiva, Nivel Global. El punto gris indica la derivación que marca la diferencia.



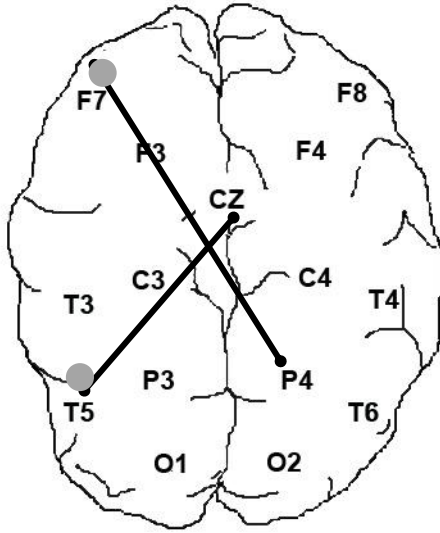
Topograma 253. Habilidad de Solución de Problemas, banda Theta 1, Potencia Absoluta. Derivaciones significativas $p(F) < .01$. Prueba Cognitiva, Nivel Global. El punto gris indica la derivación que marca la diferencia.



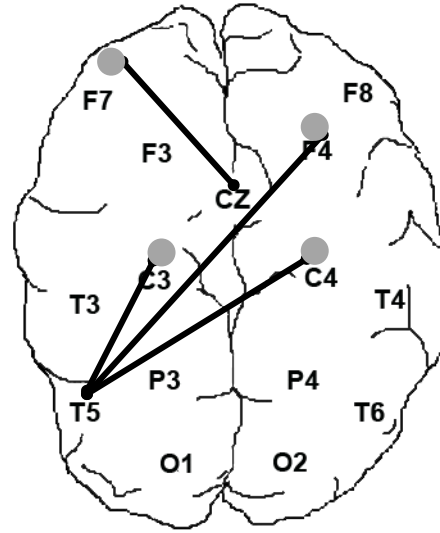
Topograma 254. Habilidad de Solución de Problemas, banda Theta 2, Potencia Absoluta. Derivaciones significativas $p(F) < .01$. Prueba Cognitiva, Nivel Global. El punto gris indica la derivación que marca la diferencia.



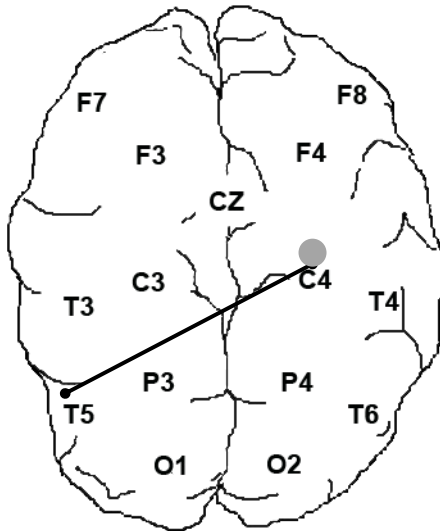
Topograma 255. Habilidad de Solución de Problemas, banda Alfa 1, Potencia Absoluta. Derivaciones significativas $p(F) < .01$. Prueba Cognitiva, Nivel Global. El punto gris indica la derivación que marca la diferencia.



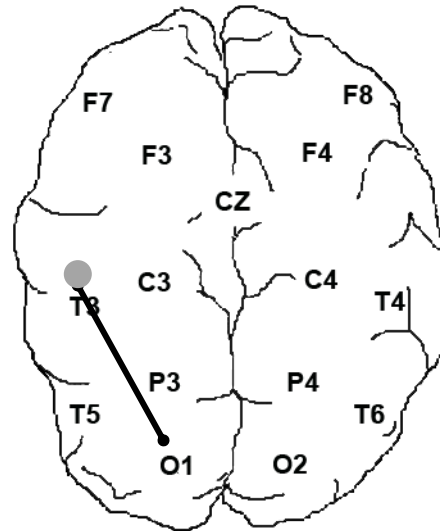
Topograma 256. Habilidad de Solución de Problemas, banda Alfa 2, Potencia Absoluta. Derivaciones significativas $p(F) < .01$. Prueba Cognitiva, Nivel Global. El punto gris indica la derivación que marca la diferencia.



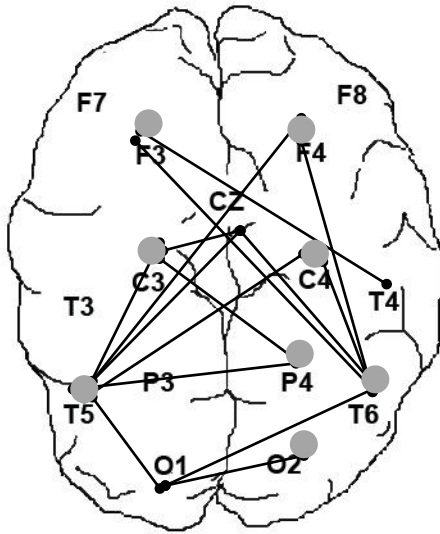
Topograma 257. Habilidad de Solución de Problemas, banda Beta 1, Potencia Absoluta. Derivaciones significativas $p(F) < .01$. Prueba Cognitiva, Nivel Global. El punto gris indica la derivación que marca la diferencia.



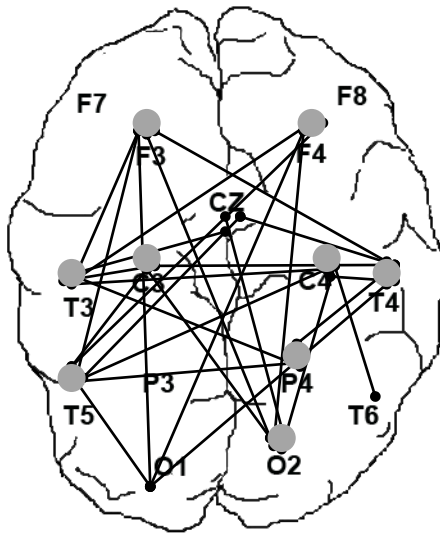
Topograma 258. Habilidad de Solución de Problemas, banda Beta 2, Potencia Absoluta. Derivaciones significativas $p(F) < .01$. Prueba Cognitiva, Nivel Global. El punto gris indica la derivación que marca la diferencia.



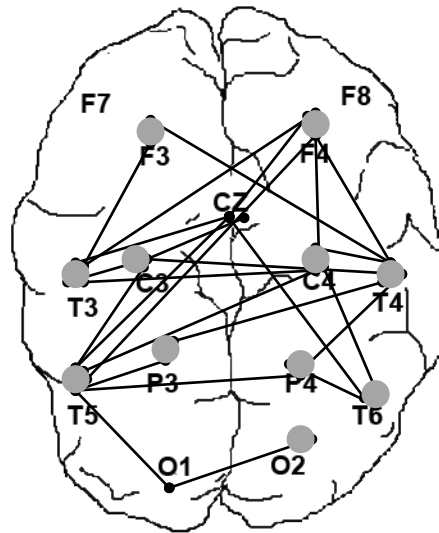
Topograma 259. Habilidad de Solución de Problemas, banda Gamma, Potencia Absoluta. Derivaciones significativas $p(F) < .01$. Prueba Cognitiva, Nivel Global. El punto gris indica la derivación que marca la diferencia.



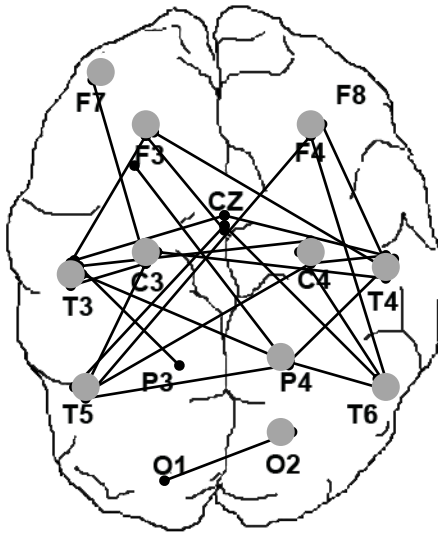
Topograma 260. Habilidad de Solución de Problemas, banda Total, Potencia Absoluta. Derivaciones significativas $p(F) < .01$. Prueba Cognitiva, Nivel Global. El punto gris indica la derivación que marca la diferencia.



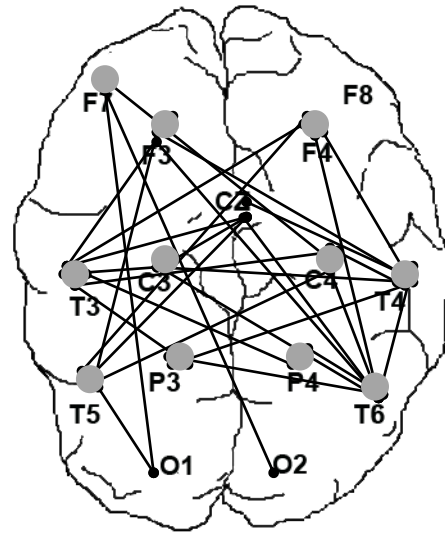
Topograma 261. Habilidad de Procesos Aritméticos, banda Delta, Potencia Absoluta. Derivaciones significativas $p(F) < .01$. Prueba Cognitiva, Nivel Global. El punto gris indica la derivación que marca la diferencia.



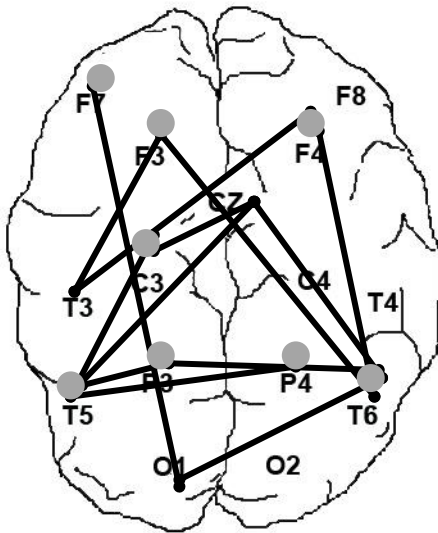
Topograma 262. Habilidad de Procesos Aritméticos, banda Theta 1, Potencia Absoluta. Derivaciones significativas $p(F) < .01$. Prueba Cognitiva, Nivel Global. El punto gris indica la derivación que marca la diferencia.



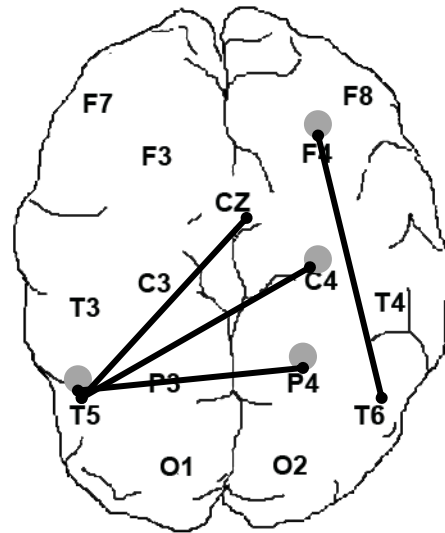
Topograma 263. Habilidad de Procesos Aritméticos, banda Theta 2, Potencia Absoluta. Derivaciones significativas $p(F) < .01$. Prueba Cognitiva, Nivel Global. El punto gris indica la derivación que marca la diferencia.



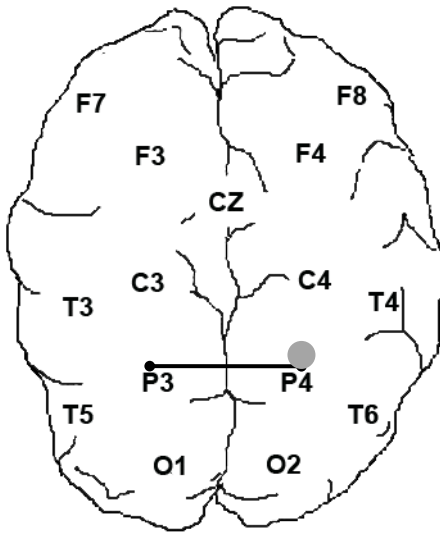
Topograma 264. Habilidad de Procesos Aritméticos, banda Alfa 1, Potencia Absoluta. Derivaciones significativas $p(F) < .01$. Prueba Cognitiva, Nivel Global. El punto gris indica la derivación que marca la diferencia.



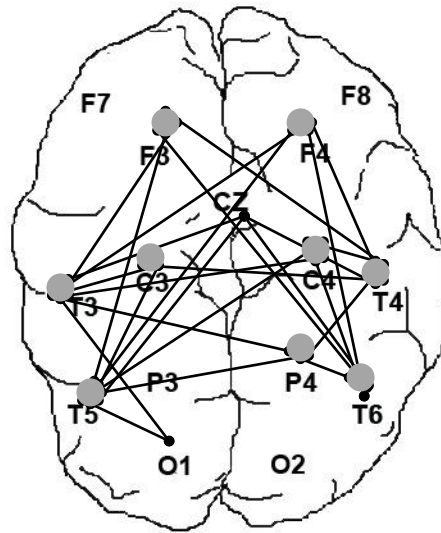
Topograma 265. Habilidad de Procesos Aritméticos, banda Alfa 2, Potencia Absoluta. Derivaciones significativas $p(F) < .01$. Prueba Cognitiva, Nivel Global. El punto gris indica la derivación que marca la diferencia.



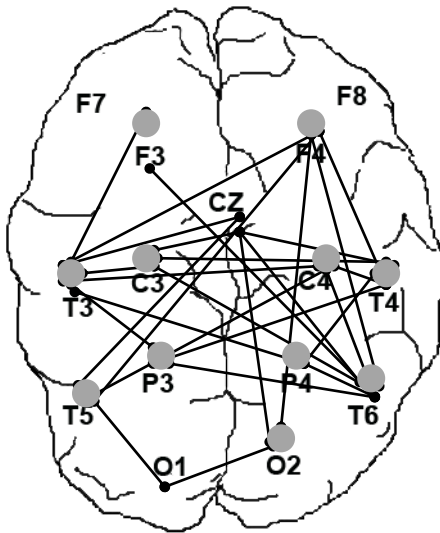
Topograma 266. Habilidad de Procesos Aritméticos, banda Beta 1, Potencia Absoluta. Derivaciones significativas $p(F) < .01$. Prueba Cognitiva, Nivel Global. El punto gris indica la derivación que marca la diferencia.



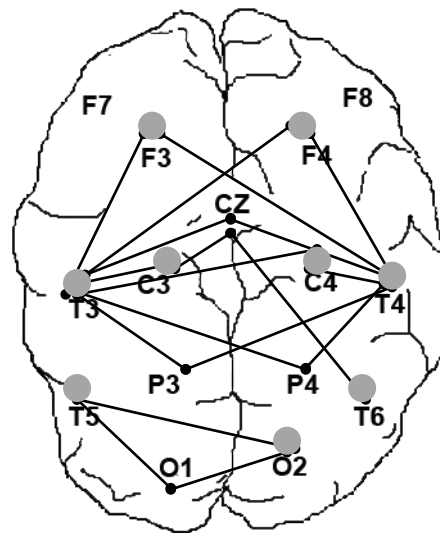
Topograma 267. Habilidad de Procesos Aritméticos, banda Beta 2, Potencia Absoluta. Derivaciones significativas $p(F) < .01$. Prueba Cognitiva, Nivel Global. El punto gris indica la derivación que marca la diferencia.



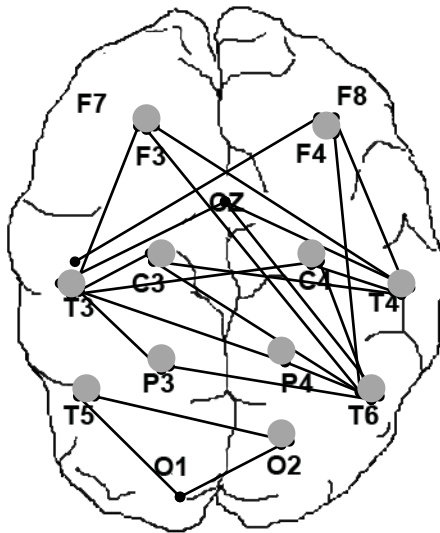
Topograma 268. Habilidad de Procesos Aritméticos, banda Total, Potencia Absoluta. Derivaciones significativas $p(F) < .01$. Prueba Cognitiva, Nivel Global. El punto gris indica la derivación que marca la diferencia.



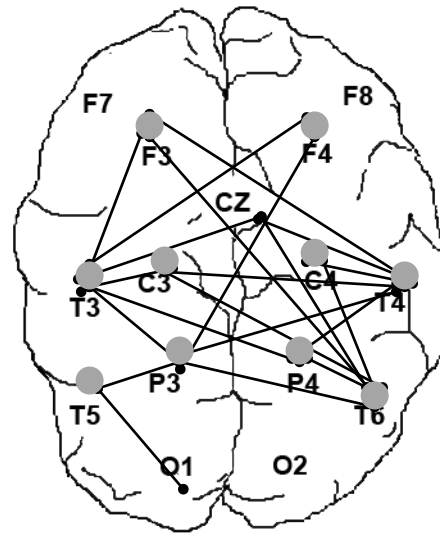
Topograma 269. Habilidad de Toma de Decisiones, banda Delta, Potencia Absoluta. Derivaciones significativas $p(F) < .01$. Prueba Cognitiva, Nivel Global. El punto gris indica la derivación que marca la diferencia.



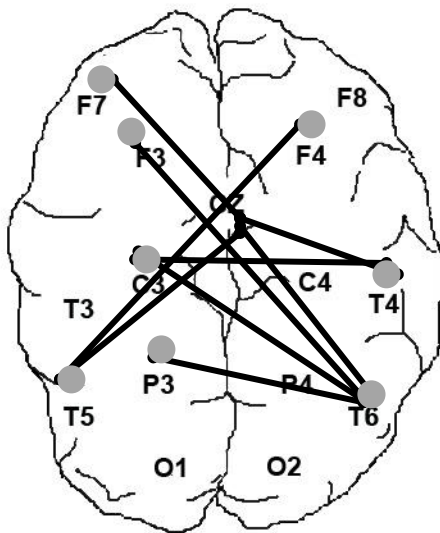
Topograma 270. Habilidad de Toma de Decisiones, banda Theta 1, Potencia Absoluta. Derivaciones significativas $p(F) < .01$. Prueba Cognitiva, Nivel Global. El punto gris indica la derivación que marca la diferencia.



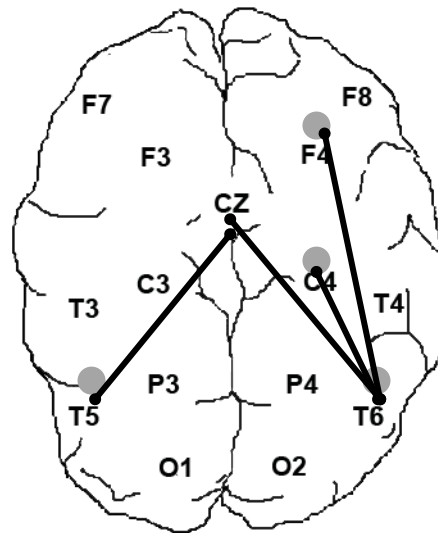
Topograma 271. Habilidad de Toma de Decisiones, banda Theta 2, Potencia Absoluta. Derivaciones significativas $p(F) < .01$. Prueba Cognitiva, Nivel Global. El punto gris indica la derivación que marca la diferencia.



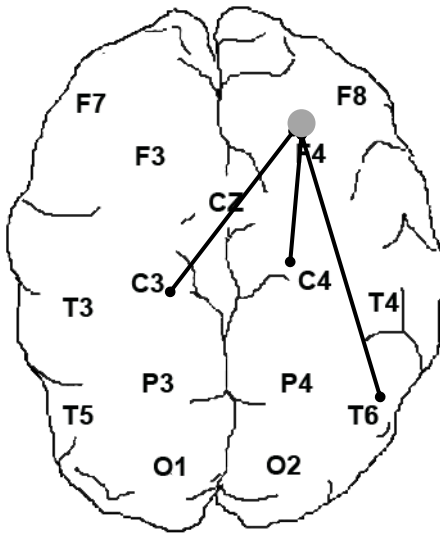
Topograma 272. Habilidad de Toma de Decisiones, banda Alfa 1, Potencia Absoluta. Derivaciones significativas $p(F) < .01$. Prueba Cognitiva, Nivel Global. El punto gris indica la derivación que marca la diferencia.



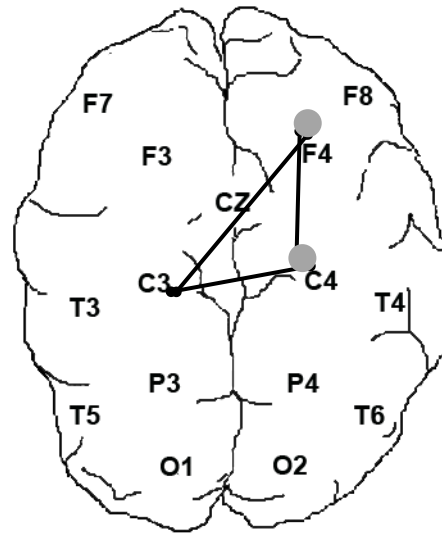
Topograma 273. Habilidad de Toma de Decisiones, banda Alfa 2, Potencia Absoluta. Derivaciones significativas $p(F) < .01$. Prueba Cognitiva, Nivel Global. El punto gris indica la derivación que marca la diferencia.



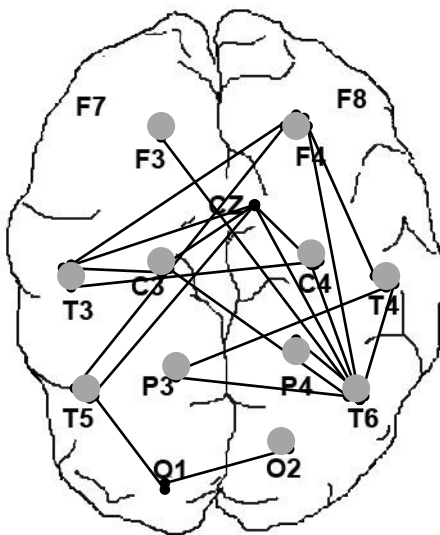
Topograma 274. Habilidad de Toma de Decisiones, banda Beta 1, Potencia Absoluta. Derivaciones significativas $p(F) < .01$. Prueba Cognitiva, Nivel Global. El punto gris indica la derivación que marca la diferencia.



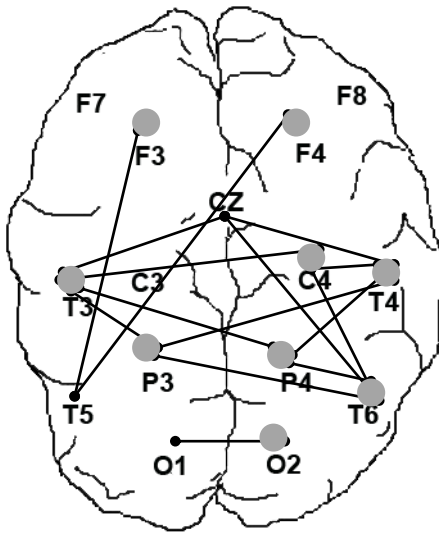
Topograma 275. Habilidad de Toma de Decisiones, banda Beta 2, Potencia Absoluta. Derivaciones significativas $p(F) < .01$. Prueba Cognitiva, Nivel Global. El punto gris indica la derivación que marca la diferencia.



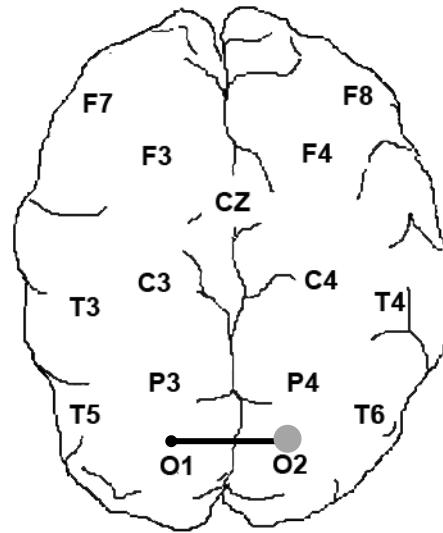
Topograma 276. Habilidad de Toma de Decisiones, banda Gamma, Potencia Absoluta. Derivaciones significativas $p(F) < .01$. Prueba Cognitiva, Nivel Global. El punto gris indica la derivación que marca la diferencia.



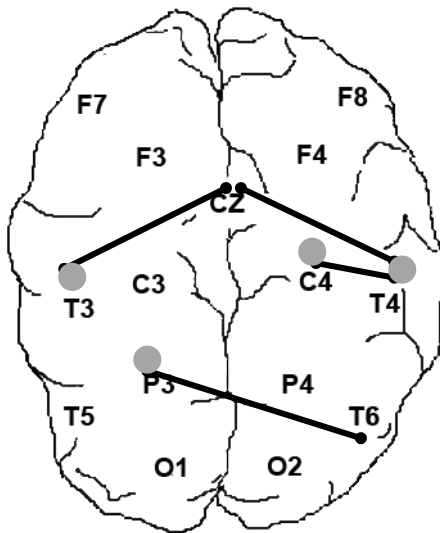
Topograma 277. Habilidad de Toma de Decisiones, banda Total, Potencia Absoluta. Derivaciones significativas $p(F) < .01$. Prueba Cognitiva, Nivel Global. El punto gris indica la derivación que marca la diferencia.



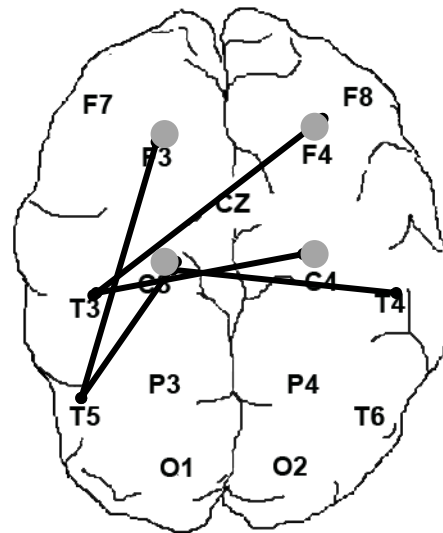
Topograma 278. Habilidad de Abstracción, banda Delta, Potencia Absoluta. Derivaciones significativas $p(F) < .01$. Prueba Cognitiva, Nivel Global. El punto gris indica la derivación que marca la diferencia.



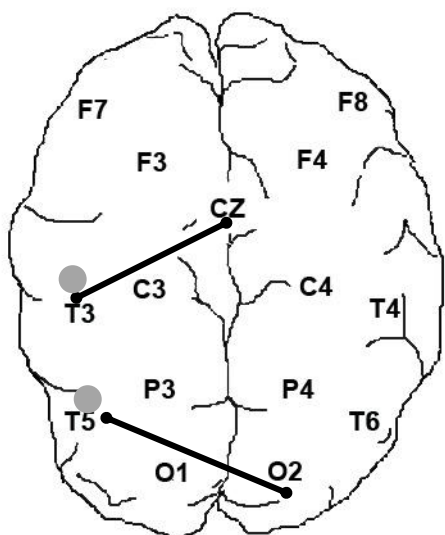
Topograma 279. Habilidad de Abstracción, banda Theta 1, Potencia Absoluta. Derivaciones significativas $p(F) < .01$. Prueba Cognitiva, Nivel Global. El punto gris indica la derivación que marca la diferencia.



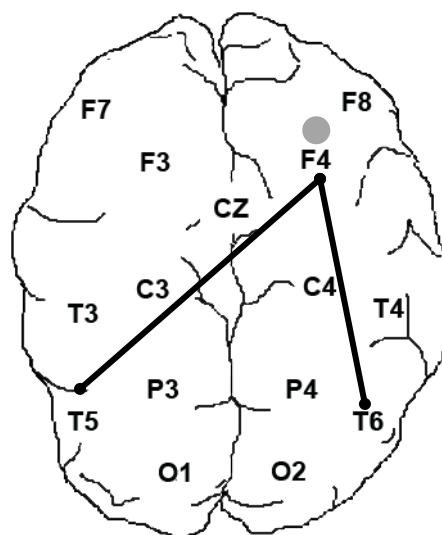
Topograma 280. Habilidad de Abstracción, banda Theta 2, Potencia Absoluta. Derivaciones significativas $p(F) < .01$. Prueba Cognitiva, Nivel Global. El punto gris indica la derivación que marca la diferencia.



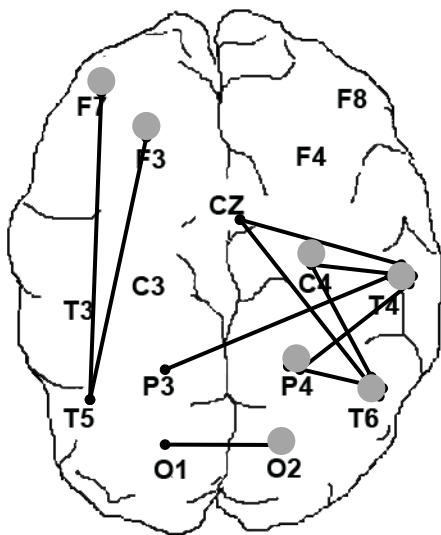
Topograma 281. Habilidad de Abstracción, banda Alfa 1, Potencia Absoluta. Derivaciones significativas $p(F) < .01$. Prueba Cognitiva, Nivel Global. El punto gris indica la derivación que marca la diferencia.



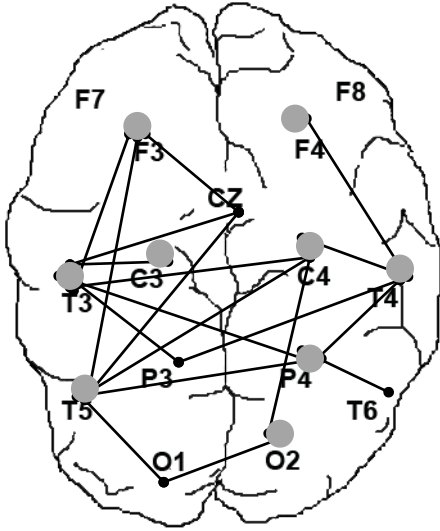
Topograma 282. Habilidad de Abstracción, banda Alfa 2, Potencia Absoluta. Derivaciones significativas $p(F) < .01$. Prueba Cognitiva, Nivel Global. El punto gris indica la derivación que marca la diferencia.



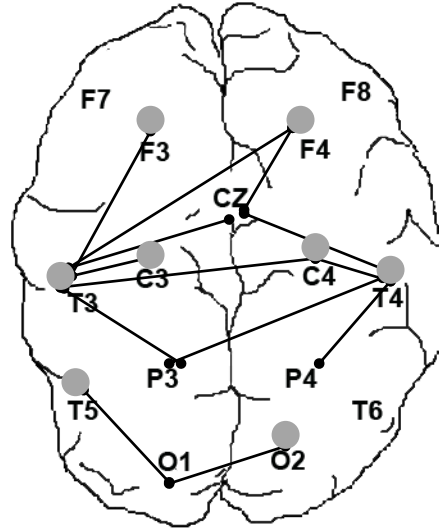
Topograma 283. Habilidad de Abstracción, banda Beta 1, Potencia Absoluta. Derivaciones significativas $p(F) < .01$. Prueba Cognitiva, Nivel Global. El punto gris indica la derivación que marca la diferencia.



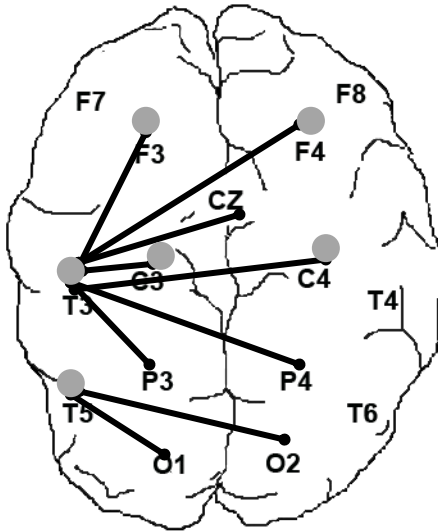
Topograma 284. Habilidad de Abstracción, banda Total, Potencia Absoluta. Derivaciones significativas $p(F) < .01$. Prueba Cognitiva, Nivel Global. El punto gris indica la derivación que marca la diferencia.



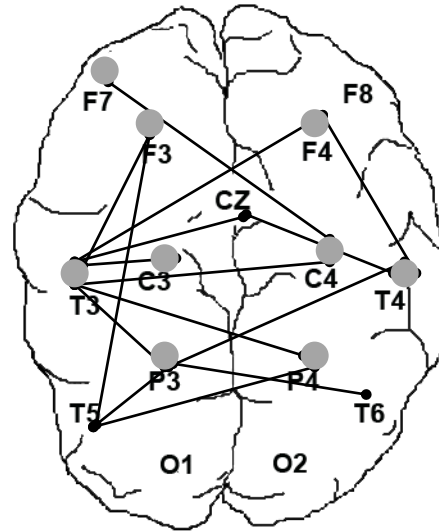
Topograma 285. Habilidad de Síntesis, banda Delta, Potencia Absoluta. Derivaciones significativas $p(F) < .01$. Prueba Cognitiva, Nivel Global. El punto gris indica la derivación que marca la diferencia.



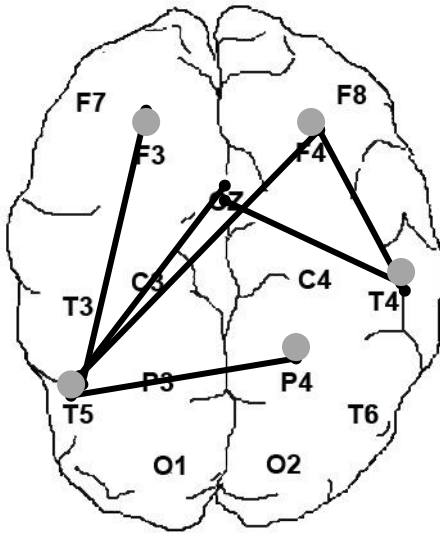
Topograma 286. Habilidad de Síntesis, banda Theta 1, Potencia Absoluta. Derivaciones significativas $p(F) < .01$. Prueba Cognitiva, Nivel Global. El punto gris indica la derivación que marca la diferencia.



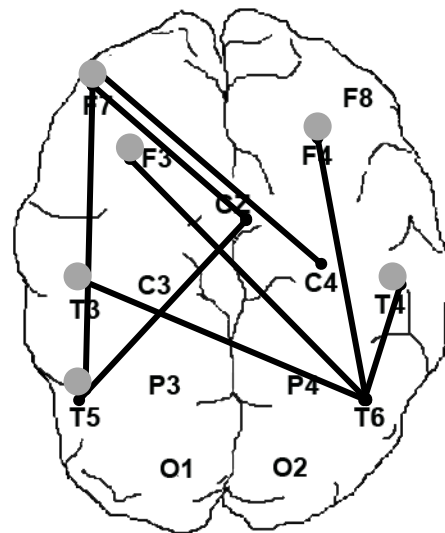
Topograma 287 Habilidad de Síntesis, banda Theta 2, Potencia Absoluta. Derivaciones significativas $p(F) < .01$. Prueba Cognitiva, Nivel Global. El punto gris indica la derivación que marca la diferencia.



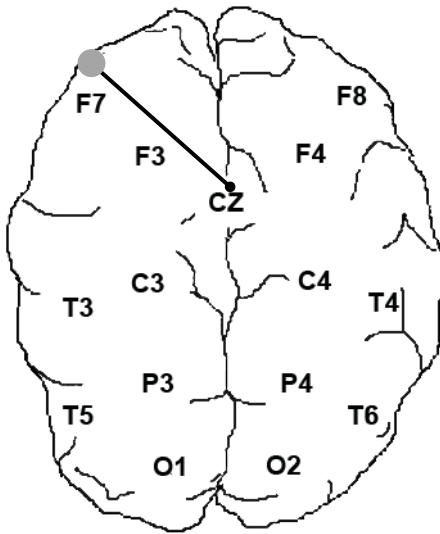
Topograma 288. Habilidad de Síntesis, banda Alfa 1, Potencia Absoluta. Derivaciones significativas $p(F) < .01$. Prueba Cognitiva, Nivel Global. El punto gris indica la derivación que marca la diferencia.



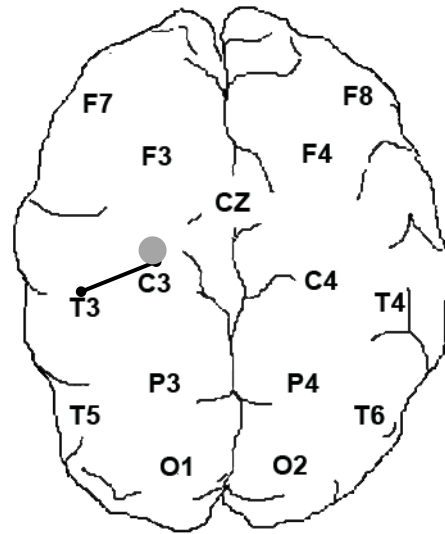
Topograma 289. Habilidad de Síntesis, banda Alfa 2, Potencia Absoluta. Derivaciones significativas $p(F) < .01$. Prueba Cognitiva, Nivel Global. El punto gris indica la derivación que marca la diferencia.



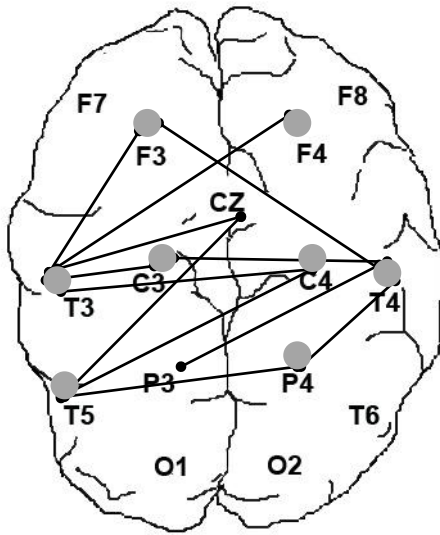
Topograma 290. Habilidad de Síntesis, banda Beta 1, Potencia Absoluta. Derivaciones significativas $p(F) < .01$. Prueba Cognitiva, Nivel Global. El punto gris indica la derivación que marca la diferencia.



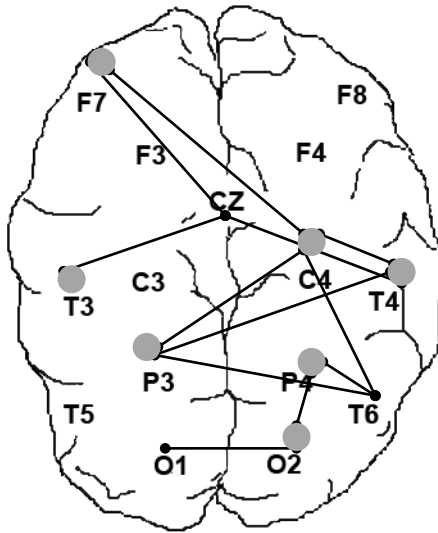
Topograma 291. Habilidad de Síntesis, banda Beta 2, Potencia Absoluta. Derivaciones significativas $p(F) < .01$. Prueba Cognitiva, Nivel Global. El punto gris indica la derivación que marca la diferencia.



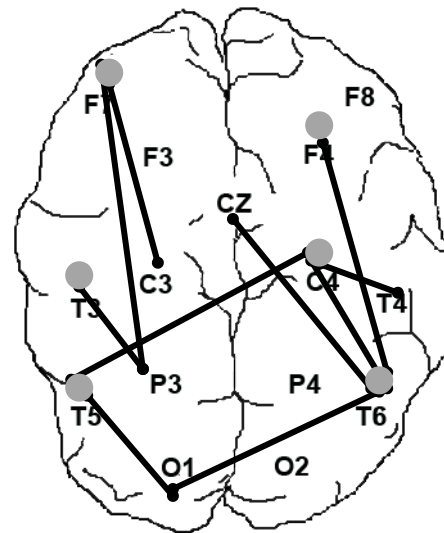
Topograma 292. Habilidad de Síntesis, banda Gamma, Potencia Absoluta. Derivaciones significativas $p(F) < .01$. Prueba Cognitiva, Nivel Global. El punto gris indica la derivación que marca la diferencia.



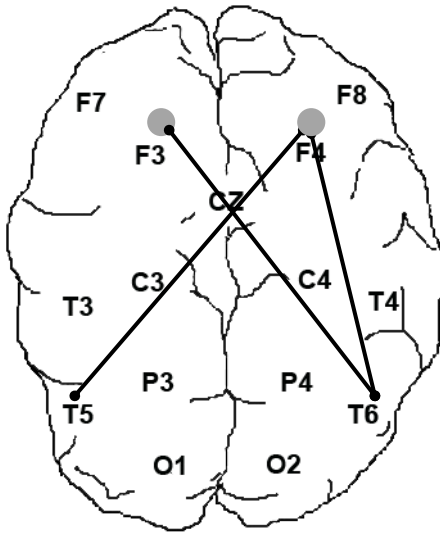
Topograma 293. Habilidad de Síntesis, banda Total, Potencia Absoluta. Derivaciones significativas $p(F) < .01$. Prueba Cognitiva, Nivel Global. El punto gris indica la derivación que marca la diferencia.



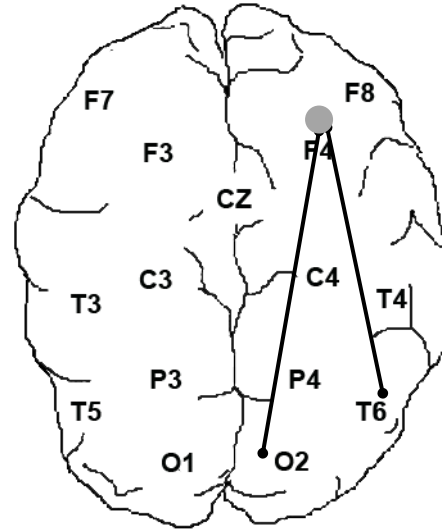
Topograma 294. Habilidad de Sensibilidad Gramatical, banda Delta, Potencia Absoluta. Derivaciones significativas $p(F) < .01$. Prueba Cognitiva, Nivel Global. El punto gris indica la derivación que marca la diferencia.



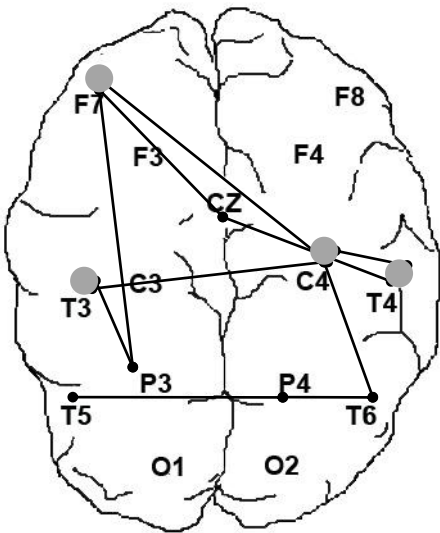
Topograma 295. Habilidad de Sensibilidad Gramatical, banda Theta 1, Potencia Absoluta. Derivaciones significativas $p(F) < .01$. Prueba Cognitiva, Nivel Global. El punto gris indica la derivación que marca la diferencia.



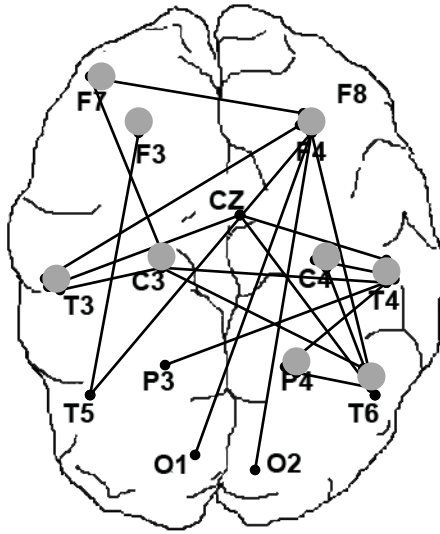
Topograma 300. Habilidad de Sensibilidad Gramatical, banda Beta 2, Potencia Absoluta. Derivaciones significativas $p(F) < .01$. Prueba Cognitiva, Nivel Global. El punto gris indica la derivación que marca la diferencia.



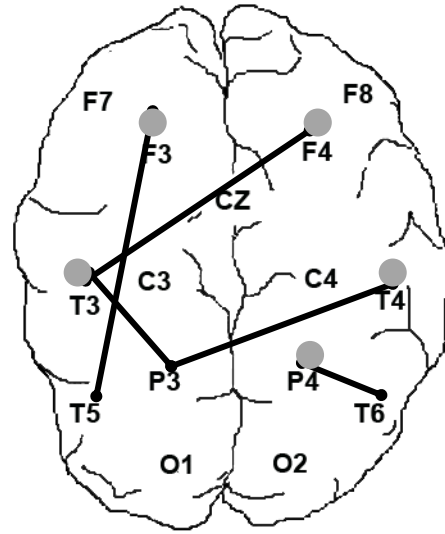
Topograma 301. Habilidad de Sensibilidad Gramatical, banda Gamma, Potencia Absoluta. Derivaciones significativas $p(F) < .01$. Prueba Cognitiva, Nivel Global. El punto gris indica la derivación que marca la diferencia.



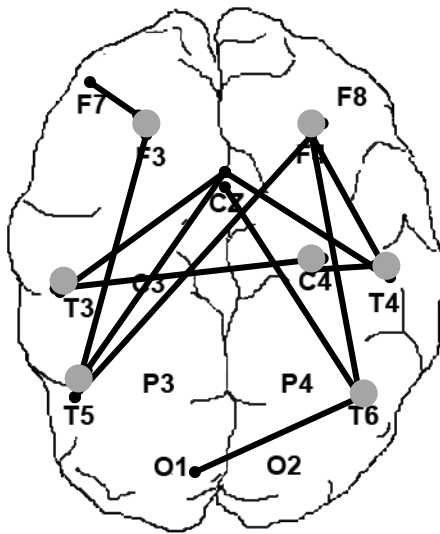
Topograma 302. Habilidad de Sensibilidad Gramatical, banda Total, Potencia Absoluta. Derivaciones significativas $p(F) < .01$. Prueba Cognitiva, Nivel Global. El punto gris indica la derivación que marca la diferencia.



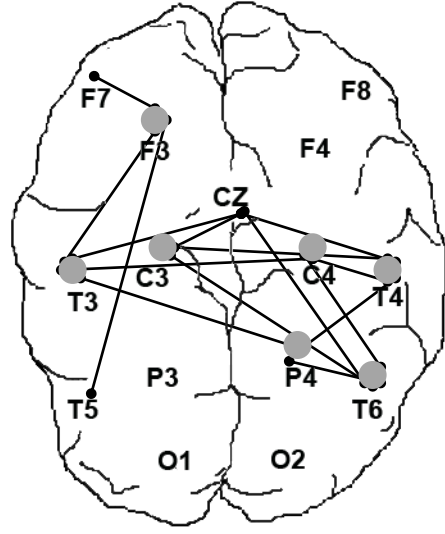
Topograma 303. Habilidad de Lectura, banda Delta, Potencia Absoluta. Derivaciones significativas $p(F) < .01$. Prueba Cognitiva, Nivel Global. El punto gris indica la derivación que marca la diferencia.



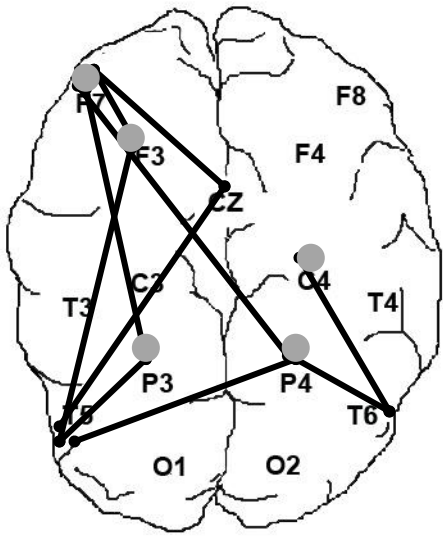
Topograma 304. Habilidad de Lectura, banda Theta 1, Potencia Absoluta. Derivaciones significativas $p(F) < .01$. Prueba Cognitiva, Nivel Global. El punto gris indica la derivación que marca la diferencia.



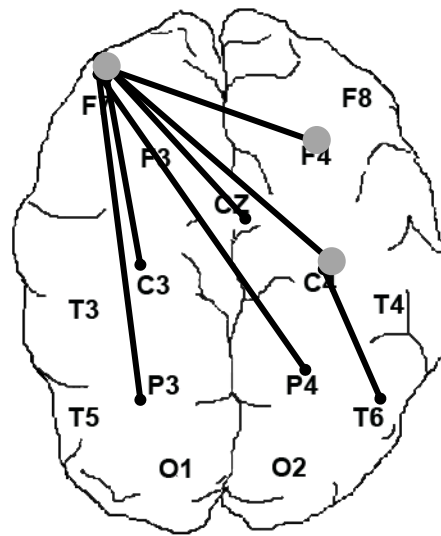
Topograma 305. Habilidad de Lectura, banda Theta 2, Potencia Absoluta. Derivaciones significativas $p(F) < .01$. Prueba Cognitiva, Nivel Global. El punto gris indica la derivación que marca la diferencia.



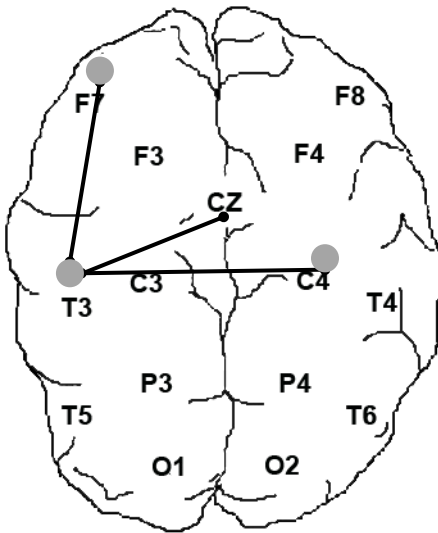
Topograma 306. Habilidad de Lectura, banda Alfa 1, Potencia Absoluta. Derivaciones significativas $p(F) < .01$. Prueba Cognitiva, Nivel Global. El punto gris indica la derivación que marca la diferencia.



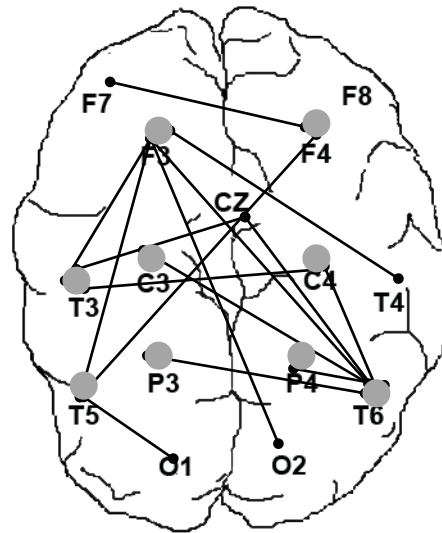
Topograma 307. Habilidad de Lectura, banda Alfa 2, Potencia Absoluta. Derivaciones significativas $p(F) < .01$. Prueba Cognitiva, Nivel Global. El punto gris indica la derivación que marca la diferencia.



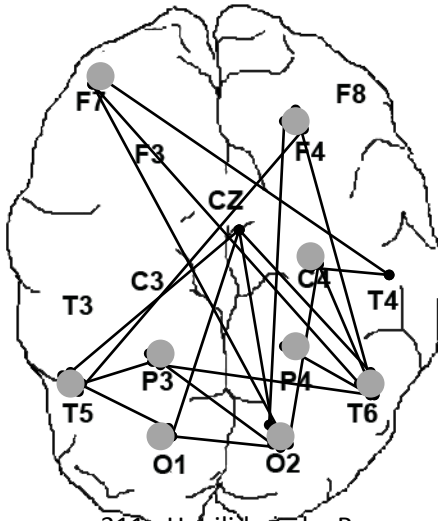
Topograma 308. Habilidad de Lectura, banda Beta 1, Potencia Absoluta. Derivaciones significativas $p(F) < .01$. Prueba Cognitiva, Nivel Global. El punto gris indica la derivación que marca la diferencia.



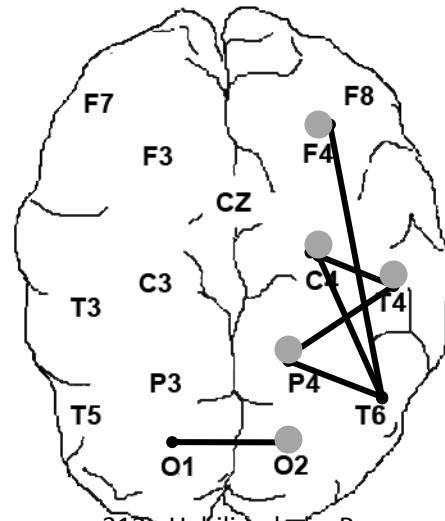
Topograma 309. Habilidad de Lectura, banda Beta 2, Potencia Absoluta. Derivaciones significativas $p(F) < .01$. Prueba Cognitiva, Nivel Global. El punto gris indica la derivación que marca la diferencia.



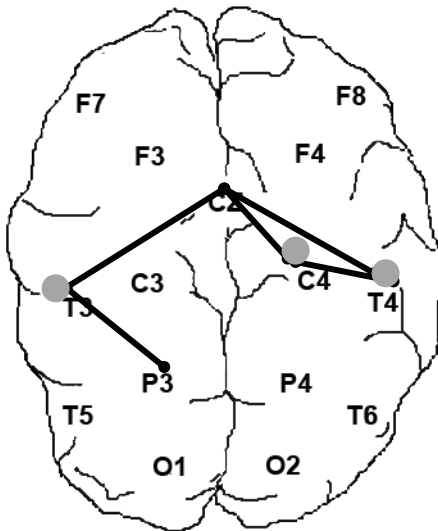
Topograma 310. Habilidad de Lectura, banda Total, Potencia Absoluta. Derivaciones significativas $p(F) < .01$. Prueba Cognitiva, Nivel Global. El punto gris indica la derivación que marca la diferencia.



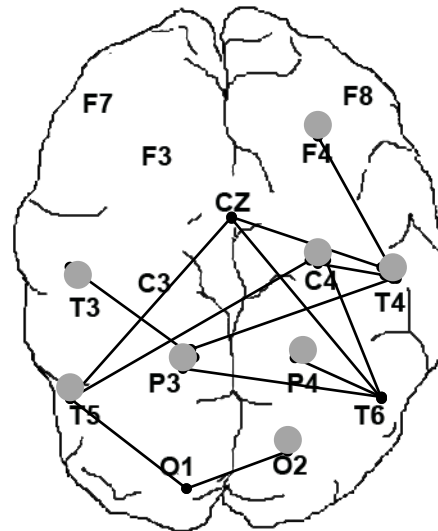
Topograma 311. Habilidad de Razonamiento, banda Delta, Potencia Absoluta. Derivaciones significativas $p(F) < .01$. Prueba Cognitiva, Nivel Global. El punto gris indica la derivación que marca la diferencia.



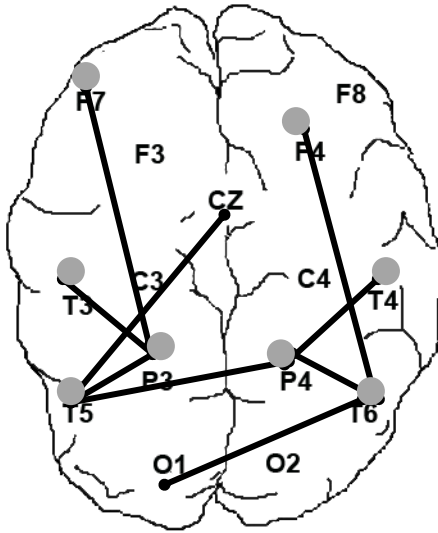
Topograma 312. Habilidad de Razonamiento, banda Theta 1, Potencia Absoluta. Derivaciones significativas $p(F) < .01$. Prueba Cognitiva, Nivel Global. El punto gris indica la derivación que marca la diferencia.



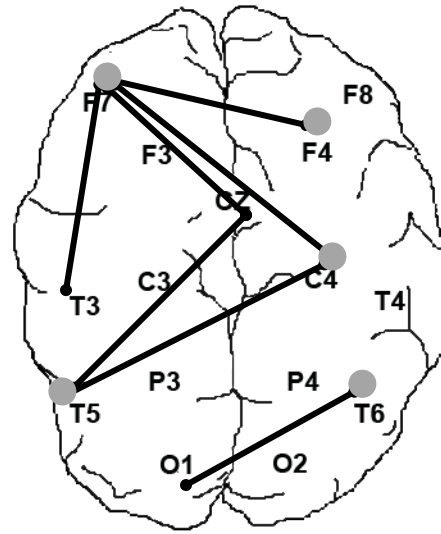
Topograma 313. Habilidad de Razonamiento, banda Theta 2, Potencia Absoluta. Derivaciones significativas $p(F) < .01$. Prueba Cognitiva, Nivel Global. El punto gris indica la derivación que marca la diferencia.



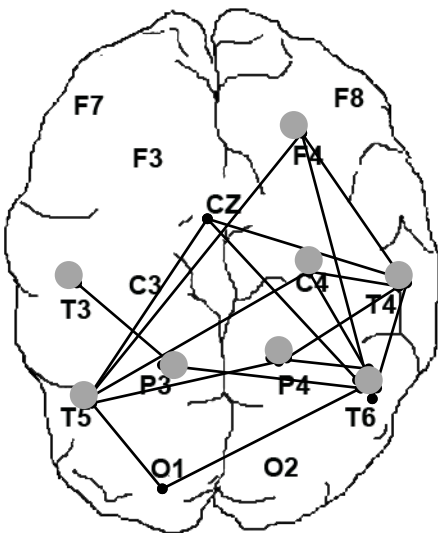
Topograma 314. Habilidad de Razonamiento, banda Alfa 1, Potencia Absoluta. Derivaciones significativas $p(F) < .01$. Prueba Cognitiva, Nivel Global. El punto gris indica la derivación que marca la diferencia.



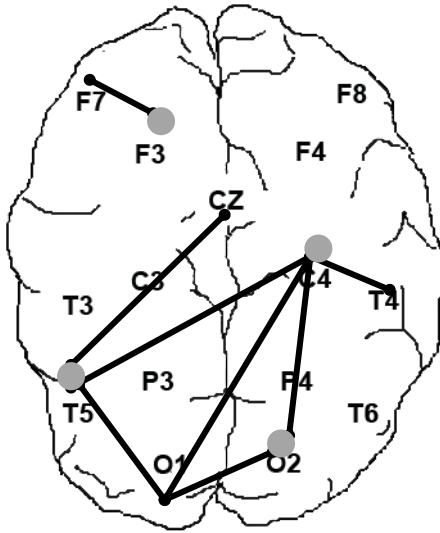
Topograma 315. Habilidad de Razonamiento, banda Alfa 2, Potencia Absoluta. Derivaciones significativas $p(F) < .01$. Prueba Cognitiva, Nivel Global. El punto gris indica la derivación que marca la diferencia.



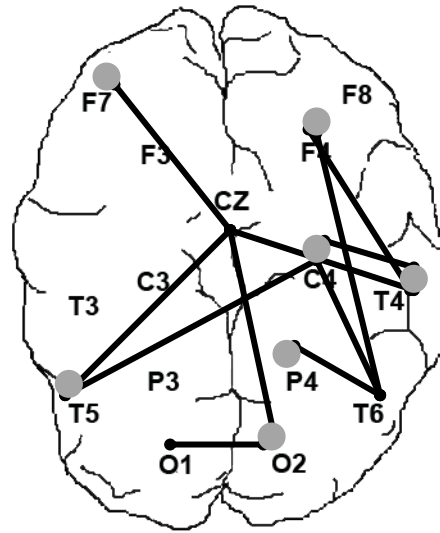
Topograma 316. Habilidad de Razonamiento, banda Beta 1, Potencia Absoluta. Derivaciones significativas $p(F) < .01$. Prueba Cognitiva, Nivel Global. El punto gris indica la derivación que marca la diferencia.



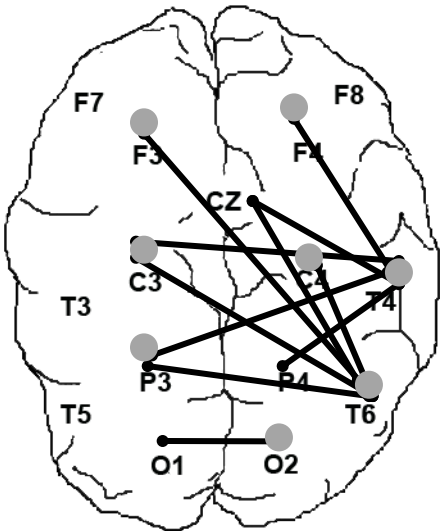
Topograma 317. Habilidad de Razonamiento, banda Total, Potencia Absoluta. Derivaciones significativas $p(F) < .01$. Prueba Cognitiva, Nivel Global. El punto gris indica la derivación que marca la diferencia.



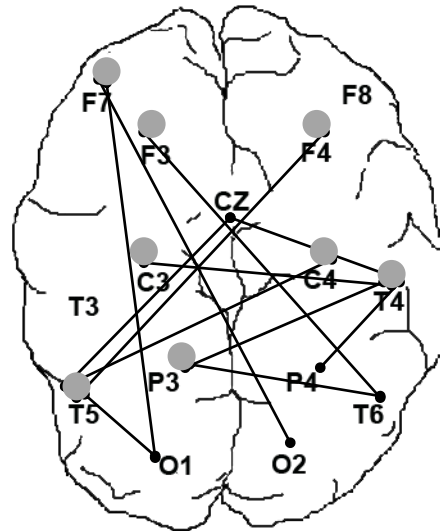
Topograma 318. Habilidad de Criterio, banda Delta, Potencia Absoluta. Derivaciones significativas $p(F) < .01$. Prueba Cognitiva, Nivel Global. El punto gris indica la derivación que marca la diferencia.



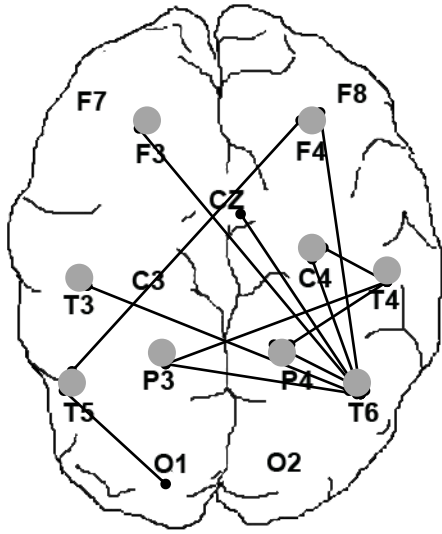
Topograma 319. Habilidad de Criterio, banda Theta 1, Potencia Absoluta. Derivaciones significativas $p(F) < .01$. Prueba Cognitiva, Nivel Global. El punto gris indica la derivación que marca la diferencia.



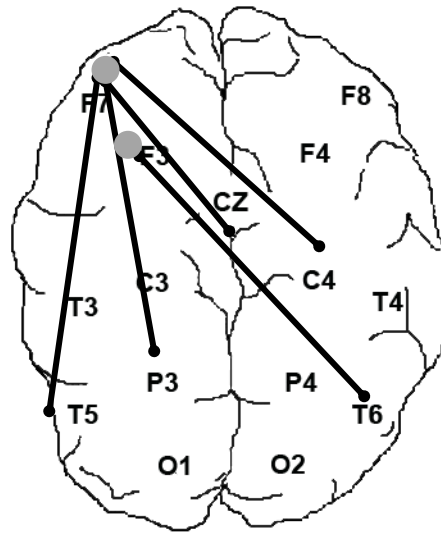
Topograma 320. Habilidad de Criterio, banda Theta 2, Potencia Absoluta. Derivaciones significativas $p(F) < .01$. Prueba Cognitiva, Nivel Global. El punto gris indica la derivación que marca la diferencia.



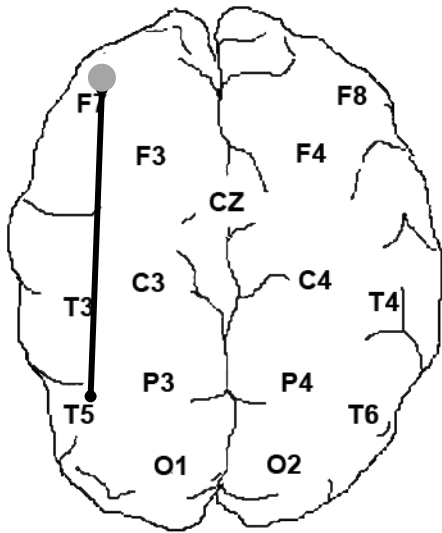
Topograma 321. Habilidad de Criterio, banda Alfa 1, Potencia Absoluta. Derivaciones significativas $p(F) < .01$. Prueba Cognitiva, Nivel Global. El punto gris indica la derivación que marca la diferencia.



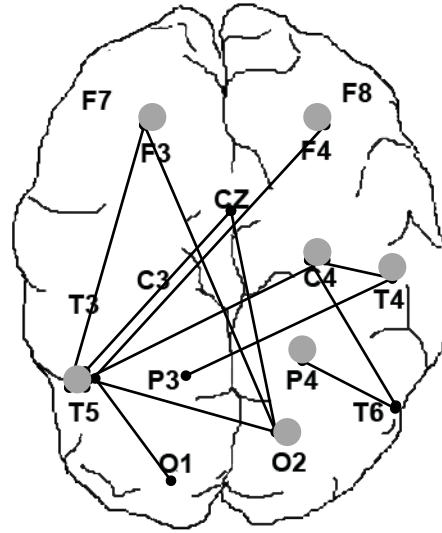
Topograma 322. Habilidad de Criterio, banda Alfa 2, Potencia Absoluta. Derivaciones significativas $p(F) < .01$. Prueba Cognitiva, Nivel Global. El punto gris indica la derivación que marca la diferencia.



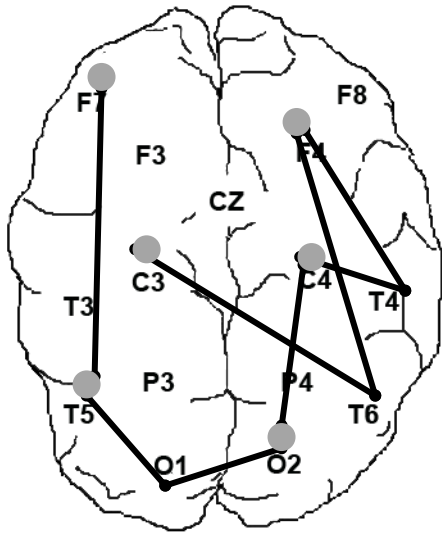
Topograma 323. Habilidad de Criterio, banda Beta 1, Potencia Absoluta. Derivaciones significativas $p(F) < .01$. Prueba Cognitiva, Nivel Global. El punto gris indica la derivación que marca la diferencia.



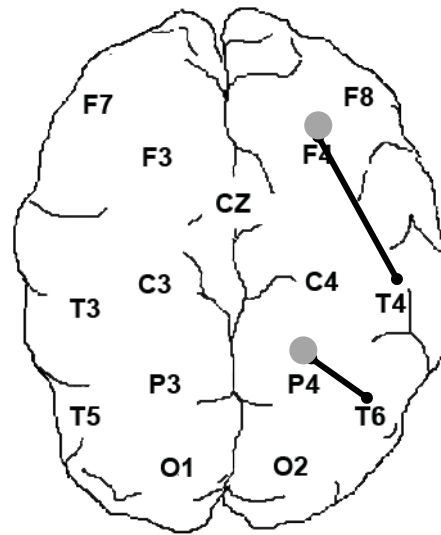
Topograma 324. Habilidad de Criterio, banda Beta 2, Potencia Absoluta. Derivaciones significativas $p(F) < .01$. Prueba Cognitiva, Nivel Global. El punto gris indica la derivación que marca la diferencia.



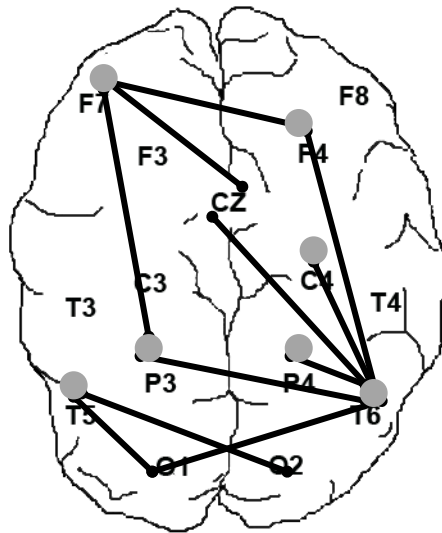
Topograma 325. Habilidad de Criterio, banda Total, Potencia Absoluta. Derivaciones significativas $p(F) < .01$. Prueba Cognitiva, Nivel Global. El punto gris indica la derivación que marca la diferencia.



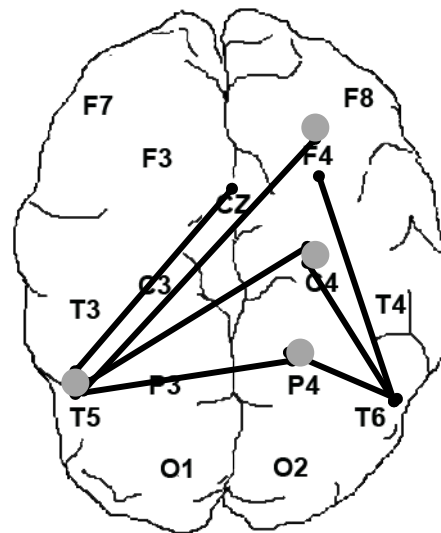
Topograma 326. Habilidad de Transformación, banda Delta, Potencia Absoluta. Derivaciones significativas $p(F) < .01$. Prueba Cognitiva, Nivel Global. El punto gris indica la derivación que marca la diferencia.



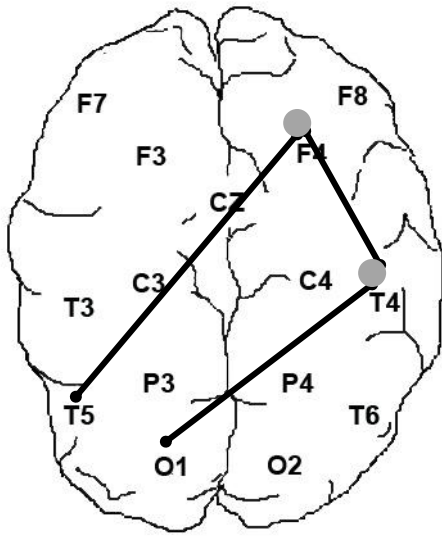
Topograma 327. Habilidad de Transformación, banda Theta 1, Potencia Absoluta. Derivaciones significativas $p(F) < .01$. Prueba Cognitiva, Nivel Global. El punto gris indica la derivación que marca la diferencia.



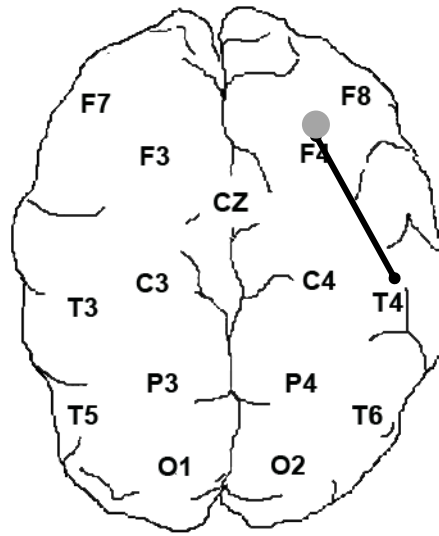
Topograma 328. Habilidad de Transformación, banda Theta 2, Potencia Absoluta. Derivaciones significativas $p(F) < .01$. Prueba Cognitiva, Nivel Global. El punto gris indica la derivación que marca la diferencia.



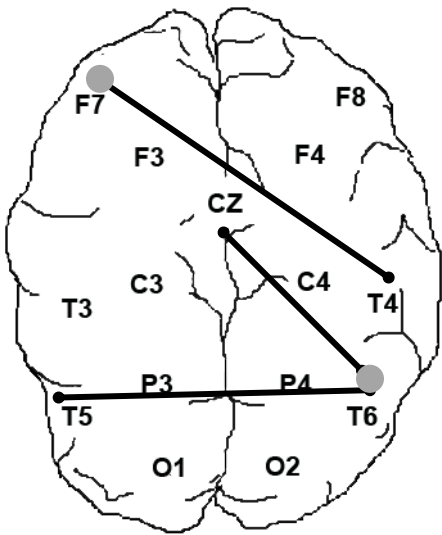
Topograma 329. Habilidad de Transformación, banda Alfa 1, Potencia Absoluta. Derivaciones significativas $p(F) < .01$. Prueba Cognitiva, Nivel Global. El punto gris indica la derivación que marca la diferencia.



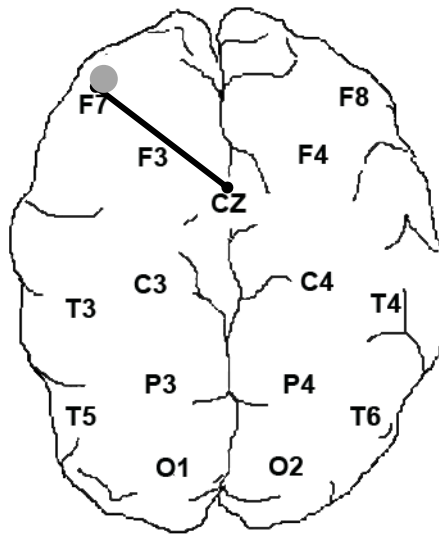
Topograma 330. Habilidad de Transformación, banda Alfa 2, Potencia Absoluta. Derivaciones significativas $p(F) < .01$. Prueba Cognitiva, Nivel Global. El punto gris indica la derivación que marca la diferencia.



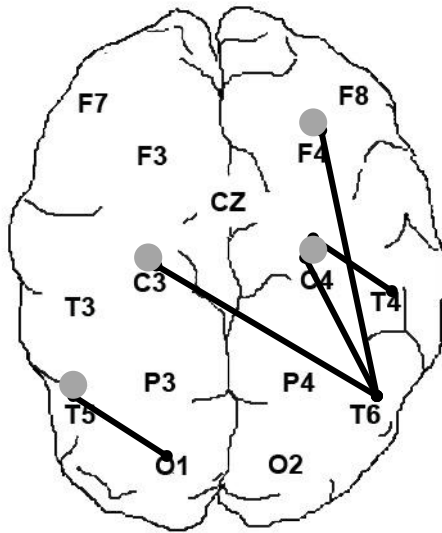
Topograma 331. Habilidad de Transformación, banda Beta 1, Potencia Absoluta. Derivaciones significativas $p(F) < .01$. Prueba Cognitiva, Nivel Global. El punto gris indica la derivación que marca la diferencia.



Topograma 332. Habilidad de Transformación, banda Beta 2, Potencia Absoluta. Derivaciones significativas $p(F) < .01$. Prueba Cognitiva, Nivel Global. El punto gris indica la derivación que marca la diferencia.



Topograma 333. Habilidad de Transformación, banda Gamma, Potencia Absoluta. Derivaciones significativas $p(F) < .01$. Prueba Cognitiva, Nivel Global. El punto gris indica la derivación que marca la diferencia.



Topograma 334. Habilidad de Transformación, banda Total, Potencia Absoluta. Derivaciones significativas $p(F) < .01$. Prueba Cognitiva, Nivel Global. El punto gris indica la derivación que marca la diferencia.